

GM 71048

Technical report and recommendations on the 2018 exploration program, Eleonore JV project

Documents complémentaires

Additional Files



Licence



License

Cette première page a été ajoutée
au document et ne fait pas partie du
rapport tel que soumis par les auteurs.

Énergie et Ressources
naturelles

Québec 

Technical Report and Recommendations
On the 2018 Exploration Program
Eleonore JV Project, Québec

Prepared by:
Charles Gaumond, Geo. (OGQ #1927)

Osisko Mining

December 2018

ITEM 1 SUMMARY	5
ITEM 2 INTRODUCTION	5
ITEM 3 PROPERTY DESCRIPTION AND LOCATION	6
ITEM 4 ACCESSIBILITY, CLIMATE, LOCAL RESOURCES, INFRASTRUCTURE AND PHYSIOGRAPHY	7
ITEM 5 HISTORY	7
5.1. Property ownership	7
5.2. Previous work	7
ITEM 6 GEOLOGICAL SETTING AND MINERALIZATION	9
6.1. Regional Geology	9
6.2. Property Geology	11
6.3. Mineralization	12
6.4. Glacial Geology	13
ITEM 7 DEPOSIT TYPES	13
ITEM 8 EXPLORATION	13
8.1. Sample preparation, analysis and security	15
8.2. Results	16
8.3. Data Verification.....	34
ITEM 9 SECONDARY ENVIRONMENT WORKS	41
9.1. Sampling	41
9.2. Sample processing and assays	42
9.3. Results.....	42
ITEM 10 INTERPRETATION AND CONCLUSIONS	44
ITEM 11 RECOMMENDATIONS	45
ITEM 12 REFERENCES	46

LIST OF TABLES

Table 1: Summary of previous work done on the Eleonore JV property	7
Table 2: Best grab values obtained during the 2018 prospection campaign.....	17
Table 3: Best channel sample values obtained during the 2018 campaign.....	18
Table 4: Blank samples for grab samples on the 2018 prospection.....	37

Table 5: Blank samples for channel samples on the 2018 program	41
--	----

LIST OF FIGURES

Figure 1: Location of the Eleonore JV property, James Bay, Quebec.....	6
Figure 2: Geology of the Eleonore JV area modified from SIGÉOM map RG 2010-02-C001 (Bandyayera et al, 2010).	11
Figure 3: Sample distribution of the 2018 Eleonore JV campaign	14
Figure 4: Location of the eight trenches of the 2018 campaign.	15
Figure 5: Copper values returned on grab samples.....	19
Figure 6: Silver values returned on grab samples	20
Figure 7: EJV2018TR-001 Greywacke 3%PO, 2%PY.....	21
Figure 8: EJV2018TR-001_Greywacke low dip	21
Figure 9: EJV2018TR003-G1 Epidote alteration band inside the diorite.....	22
Figure 10: EJV2018TR003-G2 Mineralized mafic intrusive (I3A) 10% pyrite+/-pyrrhotite. Returned 1.71 g/t Ag, 19.2 ppm Mo and 888 ppm Cu over 0.6 meter	23
Figure 11: EJV2018TR004-G2 Diorite carrying 5% chalcopyrite, 1% malachite, 1% pyrite over 0.5 meter	24
Figure 12: EJV2018TR004-R3 Diorite affected by epidote alteration and carrying 3-5% chalcopyrite, 3 % pyrite	25
Figure 13: EJV2018TR004-R3 Medium grained diorite affected by epidote alteration and carrying 3-5% chalcopyrite, 3 % pyrite	26
Figure 14: EJV2018TR005-R1 Medium grained diorite carrying 3-10% pyrite.....	27
Figure 15: EJV2018TR006-G1 Diorite affected by moderate epidote alteration carrying 3-5% disseminated pyrite	28
Figure 16: EJV2018TR006-G2 Coarse grained felsic intrusive unit affected by hematite +- epidote alteration.....	29
Figure 17: EJV2018TR007-R1; Intense silicification and hydrothermal breccia over 3 meters.....	30

Figure 18: EJV2018TR007-R1: Highly altered in chlorite-hematite-magnetite granodiorite and an epidote veinlet brecciated by a quartz-hematite vein in the deformation zone. 31

Figure 19: EJV2018TR007-R2; Altered granodiorite, epidote shear veinlets and a possible sub-rounded fragment 32

Figure 20: EJV2018TR008-G1 Altered granodiorite affected by chlorite-silica-epidote-hematite-magnetite alteration..... 33

Figure 21: EJV2018TR008-R1 Chlorite-hematite-k-feldspar altered granodiorite affected by multiple millimeter-sized crack-seal quartz veinlets 33

Figure 22: EJV2018TR008-R1 Chlorite-hematite-k-feldspar-epidote-silica altered granodiorite affected by multiple mm-sized crack-seal quartz veinlets 34

Figure 23: QAQC (silver) with reference material CDN-HZ-2 on the grab samples..... 35

Figure 24: QAQC (gold) with reference material CDN-HZ-2 on the grab samples 36

Figure 25: QAQC (copper) with reference material CDN-HZ-2 on the grab samples..... 36

Figure 26: QAQC (silver) with reference material CDN-HZ-2 on the channel samples . 38

Figure 27: QAQC (gold) with reference material CDN-HZ-2 on the channel samples ... 38

Figure 28: QAQC (copper) with reference material CDN-HZ-2 on the channel samples 39

Figure 29: QAQC (silver) with reference material OREAS 624 on the channel samples 39

Figure 30: QAQC (gold) with reference material OREAS 624 on the channel samples . 40

Figure 31: QAQC (copper) with reference material OREAS 624 on the channel samples 40

Figure 32: Gold (ppt) on HMC normalized to 15 kilogram till samples 43

Figure 33: Copper (ppm) in fine fraction till survey on the OreVision® grid..... 44

LIST OF APPENDIX

Appendix 1 – Claim List

Appendix 2 – Abbreviation List

Appendix 3 – Outcrops and Boulders Location and Description

Appendix 4 – Grab Sample Location and Results

Appendix 5 – Channels Location and Description

Appendix 6 – Channel Samples Results

Appendix 7 – Till Results and Description (Fine Fraction)

Appendix 8 – Till Results and Description (HMC)

Appendix 9 – Certificate of Analysis for the Grab Samples

Appendix 10 – Certificate of Analysis for the Channel Samples

Appendix 11 – Certificate of Analysis for the Fine Fraction Till

Appendix 12 – Certificate of Analysis for the HMC Till

LIST OF PLANS

Plan 1 – Copper (ppm) on boulder and outcrop samples

Plan 2 – Silver (ppm) on boulder and outcrop samples

ITEM 1 SUMMARY

The Eleonore JV property is held by Osisko Mining and Midland Exploration on a 50%-50% distribution. The 2018 area of interest is located on the southernmost part of the Éléonore JV claim block, around 60 kilometers south-east of Goldcorp' world-class Éléonore gold mine. The Éléonore JV bloc claim covers a wide area of the contact between La Grande and Opinaca sub-provinces. This lower James Bay region is certainly one the most attractive gold exploration area outside of Abitibi, largely since the discovery of Éléonore Mine in 2004 by Virginia. Many exploration companies are actively exploring the area. The Cheechoo project, developed by Sirios Resources and its partners, is located mid-way between Éléonore mine and the Osisko-Midland claim block.

The work of the 2018 campaign took place between June 4th and June 28th 2018. Between those dates, the exploration campaign exposed a total of 258 described outcrops and 246 collected samples for multi-elements analysis. Simultaneously, 8 trenches were excavated and 143 channel samples were collected for multi-elements analysis. Finally, a total of 53 till samples were collected for fine fraction multi-element analysis and/or go heavy mineral concentrate (HMC) analysis.

Best results of the 2018 summer campaign, involves the discovery of a 1 to 3 meter wide mineralized horizon in an epidote altered dioritic unit. Geochemistry returned up to 0.9% Cu and 54.3 g/t Ag over 3 meters on channel samples.

ITEM 2 INTRODUCTION

The main objective of this report is to present the exploration work and the results obtained in June's 2018 campaign on the Eleonore JV project and to give recommendations regarding future work. The data presented in this report are from the Osisko Mining's database. Information regarding the regional geology and the previous work comes from the references cited at the end of the present report.

Author of the report is Charles Gaumond, geologist and member of Ordre des Géologues du Québec (OGQ), #1927. Members of the 2018 team were:

- Charles Gaumond, geo. Project geologist OGQ#1927
- Claire Legoux, ing. OIQ#5005950
- Abdourhaman Nour Ayeh, geologist in training
- Frederic Roberge, geo. OGQ#1973
- Jean-François Larivière, geo. OGQ#1001
- Jordan Olivier-Lapierre, student in geology (U.Laval)
- Julien Vézina, student in geology (U.Laval)
- Gabriel Demers, student in mineral technique (C. de Tethford)
- Andy Rochette, technician

ITEM 3 PROPERTY DESCRIPTION AND LOCATION

The Eleonore JV property is located in north and in east of Opinaca reservoir in the James Bay region of Quebec approximately 320 kilometers north of town of Matagami (Figure 1). The property is contained within five SNRC sheets: 33C16, 33B12, 33B11, 33B05 and 33B06.

The Eleonore JV project consists in a joint venture agreement with Midland Exploration Inc, where each party, Osisko mining and Midland Exploration, hold the property at 50%. The property includes 588 map-designated claims covering a surface of about 308.02 square kilometers (30802.7 hectares). A list of these claims is found in Appendix 1.

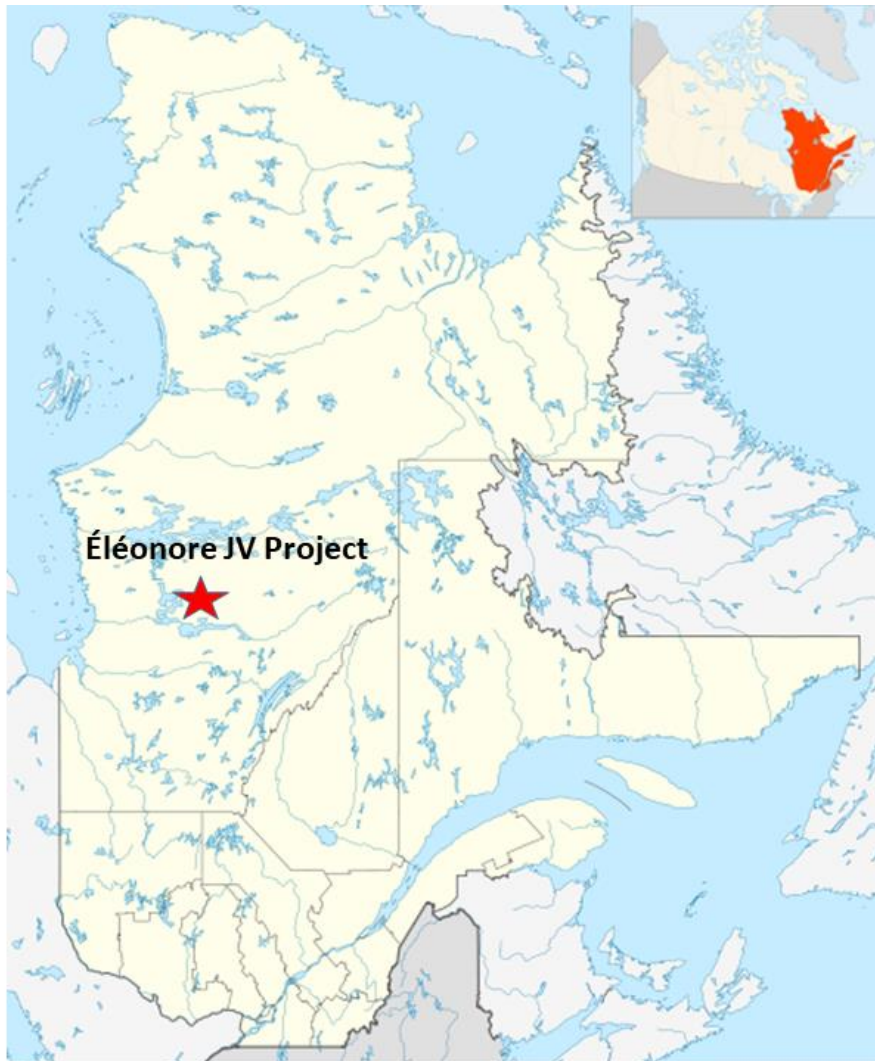


Figure 1: Location of the Eleonore JV property, James Bay, Quebec.

ITEM 4 ACCESSIBILITY, CLIMATE, LOCAL RESOURCES, INFRASTRUCTURE AND PHYSIOGRAPHY

The Eleonore JV project is accessible by helicopter from Goldcorp’s Eleonore Mine camp. The Goldcorp’s Eleonore Mine is accessible by the James Bay highway north to kilometer marker 395 where a 75-km gravel road running north-east provides access to the Sarcelle evacuator of the Opinaca. The Goldcorp’s Eleonore Mine camp is in the end of a 65-km long road from the Sarcelle evacuator.

The physiography of the property is typical for the James Bay area, being characterized by gentle relief with rolling hills, abundant lakes, rivers and streams and sparse to medium density conifer forests. The property is covered by water approximately at 25%. The North West area of the property is positioned northern of the Opinaca reservoir which drains to the north-northwest into the Boyd Lake and eventually into Sakami Lake and the LG2 reservoir. The Eastern part of the property is crosscutted by a river connected to the Opinaca Reservoir.

The property is covered by snow and ice from approximately November to April. Prospecting is possible from May to October while drilling and geophysical campaigns can be undertaken year-round.

ITEM 5 HISTORY

5.1. Property ownership

The claims of the Eleonore JV property are held 50% by Osisko Mining Inc. and 50% by Midland Exploration Inc. and were acquired by map staking.

5.2. Previous work

Table 1 summarises the most significant work done in the project area to-date.

Table 1: Summary of previous work done on the Eleonore JV property

<p>Northwest Bloc</p> <p><u>Eastmain resources Inc. (2005-2007)</u></p> <p>-Mapping and prospecting (107 samples) performed over soil geochemical targets, as well as targets identified from magnetic and electromagnetic data from 2005 geophysical and 2005 and 2006 geochemical surveys.</p> <p><u>Ministère des Ressources naturelles et de la Faune (2007)</u></p> <p>-Mapping NTS sheets 33C09 and 33C16 (RG-2007-05, Bandyayera and Fliszar, 2007).</p> <p><u>C2C Gold Inc. (2008)</u></p>

-Till survey totalizing 96 samples on various projects of the company including 49 sample within the Sarcelle property.

Virginia Mines Inc. (2010-2012)

-Lake-bottom sediment survey (477 samples), mapping and prospecting (597 samples in 2011 and 195 samples in 2012), 4 diamond drill holes (668 meters).

Aurizon Mines Ltd.

- Mapping and prospecting (2589 grabs samples), Till survey totalizing 709 samples, soil survey totalizing 79 samples and 32 diamond drill holes (5896 meters). (2010-2011)

-Airborne magnetic and Dighem survey. (2013)

Central Bloc

Ministère des Ressources naturelles et de la Faune (1998)

-Geology of Lichteneger lake area NTS sheets 33B01, 33B02, 33B03, 33B04, 33B05, 33B06, 33B07, 33B08, 33B09, 33B10, 33B11, 33B12, 33B13, 33B14, 33B15, 33B16, (RG 98-15, Simard, 1998)

Dios Exploration Inc. (2006-2007)

- Mapping and prospecting (557 grabs samples).

Golden Valley Mines Ltd. (2006-2007)

-Mapping and prospecting, channel sampling, humus sampling and a diamond drilling campaign.

Ministère des Ressources naturelles et de la Faune (2010)

-Geological synthesis of the Opinaca Reservoir area NTS sheets 33B12, 33B13, 33C09, 33C10, 33C11, 33C15, 33C16 (RG 2010-02, Bandyayera, 2010).

Virginia Mines Inc. And Aurizon Mines Ltd (2011 and 2013)

-Till survey totalizing 66 samples on the Éléonore East property, mapping and prospecting. Mapping and prospecting (47 grabs samples).

Southeast Bloc

Everton resources Inc. (2006-2007)

-Mapping and prospecting, till and soil survey.

Golden Valley Mines Ltd. (2006-2007)

-Mapping and prospecting, channel sampling, humus sampling and a diamond drilling campaign.

Sirios Ressources Inc. (2006-2008)

- Mapping and prospecting and lac-bottom sediment survey

Dios Exploration Inc. (2007)

- High-resolution Airborne Magnetic and Gamma-ray Spectrometric (AGS) survey.

Dios Exploration Inc. (2009-2010)

- Aeromagnetic survey, mapping and prospecting and till survey on the Au33 property.

Services Techniques Géonordic Inc. (2008)

- Lac-bottom sediment survey and Airborne magnetic survey on Gipouloux property

Dios Exploration Inc. (2009-2012)

- Mapping and prospecting, till survey, lac-bottom sediment survey and high density airborne magnetic survey.

Aurizon Mines Inc. (2011-2012)

- Mapping and prospecting, till survey, MMI survey, channel sampling and DIGHEM electromagnetic and magnetic airborne geophysical survey.

Hecla Québec Inc. (2014)

- Mapping and prospecting, till survey, soil sampling survey and channel sampling.

Beaufield Resources (2018)

- Mapping and prospection, lake sediment survey

ITEM 6 GEOLOGICAL SETTING AND MINERALIZATION

6.1. Regional Geology

The Eleonore JV project is located within the Superior Archean province, more specifically, at the limit of the Opinaca Subprovince to the north and the La Grande Subprovince to the south. Apart from Proterozoic diabase dykes, rocks in the region are Archean in age. La Grande Subprovince, the older of the two, comprises volcano-plutonic assemblages deposited upon a tonalitic basement. Syn- to late-tectonic plutonic rocks form the bulk of this subprovince, while volcano-sedimentary rocks account for approximately 15%. The latter rocks form two laterally-extensive greenstone belts, which the Lower Eastmain greenstone belt occurs southern of the western Eleonore JV property block. The Opinaca Subprovince, composed mainly of diatexite and migmatized paragneiss, constitutes a sedimentary basin formed on rocks of the La Grande Subprovince. Rocks of both subprovinces have been injected by intrusive suites of various compositions and ages.

The boundary between the two subprovinces is generally marked by regional deformation zones, an abrupt change in metamorphic gradient from upper greenschist/lower amphibolite in the La Grande Subprovince to upper amphibolite/granulite in the Opinaca Subprovince and injection of felsic to intermediate intrusions. This boundary occurs at the south of the western part of the property limit and crosscuts eastern part of the property of the Eleonore JV property, although it is largely hidden by the presence of intrusive rocks belonging to both subprovinces.

The structural style varies between the two subprovinces, although both were affected by the principal deformation phase D2 which produces a penetrative fabric generally oriented E-W to NW-SE for the La Grande and E-W to WNW-ESE in the Opinaca Subprovince. The deformation style in the volcanic and sedimentary rocks of the La Grande Subprovince was affected in part by the presence of the large intrusive masses that acted as rigid bodies about which the volcanosedimentary units were folded.

In the region of Eleonore JV property, the Opinaca Subprovince is composed of rocks of the Laguiche Complex, nomenclature introduced by Bandyayera and Fliszar (2007). This complex includes all metasedimentary rocks of the subprovince, and is composed of amphibolite with local iron formation, and four units of paragneiss with varying amounts of mobilizate. These rocks were intruded by two formally recognized intrusive suites as well as an ultramafic intrusion. A 200m wide horizon of amphibolite horizon hosted in the paragneiss sequence occurs at the eastern part of the Eleonore JV property. These rocks could have a volcanic origin as mafic lavas or mafic tuffs.

In the region of Eleonore JV property, epicontinental rocks of the La Grande Subprovince are composed of rocks of the Eastmain Group (Bandyayera et al, 2010). The base of this group is composed largely of volcanic, volcanoclastic and sedimentary rocks of the Bernou, Pilipas and Kasak formations. These vary in age from 2722 Ma for the Bernou Formation to 2704 Ma for the Kasak Formation. These in turn are overlain by siliciclastic sedimentary rocks of the Low Formation, which, as indicated by age dating of maximum time of deposition, were deposited in at least two sedimentary cycles. Several formally recognized plutons of intermediate to felsic composition, ranging in age from approximately 2709 Ma to 2672 Ma, intrude these rocks. It is important to mention that most of the Eleonore gold mineralization occurs in altered greywacke of the Low Formation.

A list of the abbreviations of geological terms used in the figures and text herein is found in Appendix 2.

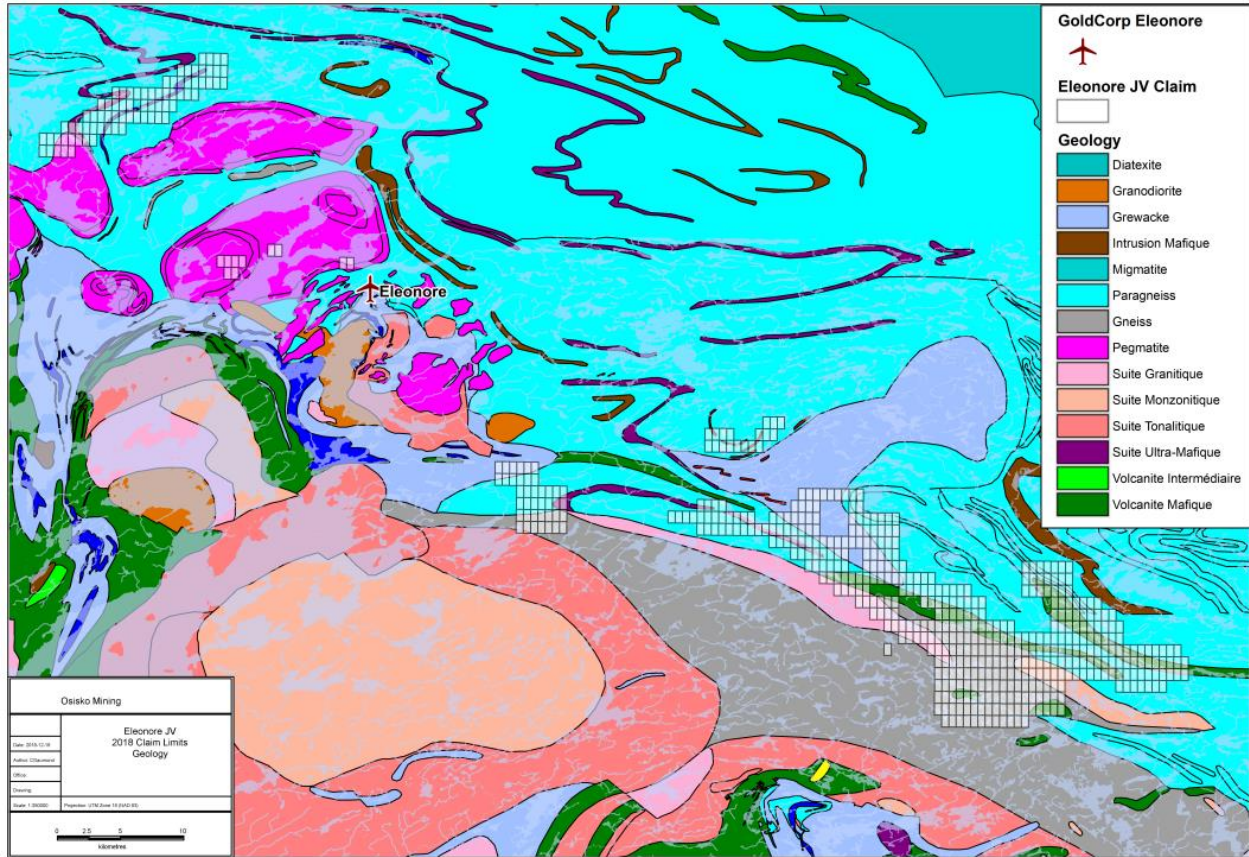


Figure 2: Geology of the Eleonore JV area modified from SIGÉOM map RG 2010-02-C001 (Bandyayera et al, 2010).

6.2. Property Geology

The Eleonore JV project is located at the limit of the Opinaca Subprovince and the La Grande Subprovince. Most of the rock hosted by the property are from Archean age. Volcano-sedimentary rocks account for most of the property. At the North-West of the property, a significant amount of felsic intrusive rock can be found. Mafic volcanic rock are mostly found in the South-East of the property, although they usually under a thick layer of overburden. Below, is listed the main lithological units encountered in the 2018 campaign.

Paragneiss:

The paragneiss units are mainly found on the north-east part of the property. They are usually fine to medium grained and light grey and beige-yellowish colored when weathered. They are mainly composed of quartz, white feldspar and biotite. Observed accessory minerals are muscovite, aluminosilicates and garnets. Metamorphism is omnipresent and is characterized by an average of 15% leucosomes. Migmatites can also be found in the north-east area of the property. The most common alterations affecting the paragneiss units are silicate, epidote, chlorite and potassic alterations.

Amphibolites:

Amphibolite outcrops were observed on the property. They are generally fine to medium grained and green to greenish black colored. The amphibolites are composed of amphiboles, white feldspar and garnets. Silicified and mineralized amphibole-rich paragneiss were also observed.

Diorite:

Diorite outcrops are largely found on the southernmost part of the property, where most of the 2018 field work took place. The diorite unit is mainly fine to medium grained, white to green colored and composed of white feldspar and amphibole. The diorite outcrops are usually homogenous and weakly to moderately foliated. Alterations observed in the unit are epidote, silicate, hematite and carbonate. Mineralization comes as decimeter-sized horizons controlled by the main deformation.

Granodiorite:

The granodiorites encountered are generally weakly foliated and medium grained. They are composed of feldspar, quartz, biotite and amphiboles. Alterations observed are silicate, epidote, chlorite, hematite, magnetite and potassic.

6.3. Mineralization

Following the discovery of the Roberto Zone in 2005, considerable exploration work takes place around the Opinaca Reservoir leading to the discovery of several gold occurrences. Cheechoo is actually one of the best discoveries since the last 5 years in the region. The mineralization hosted in a silicified and rich-albite tonalite opened more horizons for new gold discovery in the region. Historically, only few showings are inside the Eleonore JV property because the area has received limited exploration work in the past. *Dago showing*, found in 2007 during prospecting works, consists in a mineralized paragneiss enclosure in disseminated arsenopyrite and pyrite hosted in a metatexite. The *sample 389610 showing*, discovered in 2005, is outside the property in a small block of claims in the middle of the Eleonore JV property. This mineralization is characterized by up to 5% of disseminated sulfides (arsenopyrite, pyrrhotite, pyrite and chalcopyrite) hosted in a silicified biotite and garnet schist. The *sample 54720023*, the *Plateau* and the *RS showings*, found in 2006, are also outside in the Eleonore JV property but in small blocks of claims in the middle of the eastern part of the Eleonore JV claims. The *sample 54720023 showing* is hosted in a mafic dyke with up to 2% pyrrhotite and traces of chalcopyrite and pentlandite. The *Plateau showing* consists in up to 10% of pyrrhotite-pyrite and traces of chalcopyrite included in an iron formation and paragneiss. The *RS showing* is characterized by semi-massive sulfides (30%) mostly composed of pyrrhotite. The gold is associated with arsenopyrite and löllingite or is free in garnet fractures.

6.4. Glacial Geology

The Eleonore JV project area was influenced by two successive ice flows originating from two ice spreading centers. The glacial map of Canada (Dyke et Prest 1987) clearly shows the distribution and flow directions of a younger southwest ice flow (240°) as demonstrated by the dominant orientation of glacial landforms over the area. Striation marks on bedrock in the Quebec James Bay area provide evidence for an earlier ice flow to the NW (290°-330°) (Paradis and Boivert 1995; Veillette 1995; Veillette et al. 1999). This older ice flow appears to have been associated with a northeast-trending ice divide that extended from Desmaraisville to the Tichegami Hills. The somewhat simple succession of ice flows, combined with a predominance of glacial deposits in superficial sediments (Fulton 1995), allow the application of glacial indicator tracing method over the area.

ITEM 7 DEPOSIT TYPES

Orogenic lode-gold mineralization is the main deposit type being sought by Osisko Mining on the Eleonore JV property. Lately, copper-silver-molybdenum porphyry are also of interest on the Eleonore JV property. Although these deposits can occur in any lithology, the exploration program is paying particular attention to altered sedimentary rocks given that the Eleonore mine occurs in greywacke. The primary exploration targets are fault zones and these are targeted using lineaments analysis on regional magnetic surveys, topographic maps and satellite images. Other targets include bends in regional foliation, lithological contacts, borders of intrusions, metamorphic gradients and contacts between subprovinces. It is important to bear in mind that in orogenic systems, there may be coexistence of sterile veins and auriferous veins.

ITEM 8 EXPLORATION

Ground exploration of the property took place in June 2018. Exploration mainly focused on finding the source of copper-bearing boulders discovered in 2017 on the southernmost part of the property. Those boulders returned in 2017 up to 8.28% Cu and 8.8 g/t Ag. The winter 2018 OreVision® induced polarization survey then succeeded in unveiling several chargeability anomalies in the area. Exploration throughout the property was accomplished with the support of a BeepMat from GDD Instruments. In addition, a FMC Spider 1600 excavator was used to dig trenches on points of interest on the OreVision® I.P. grid. Below, figure 3 shows the distribution of grab sample collected during the 2018 exploration survey. Finally, figure 4 shows the location of the eight trenches of the 2018 campaign.

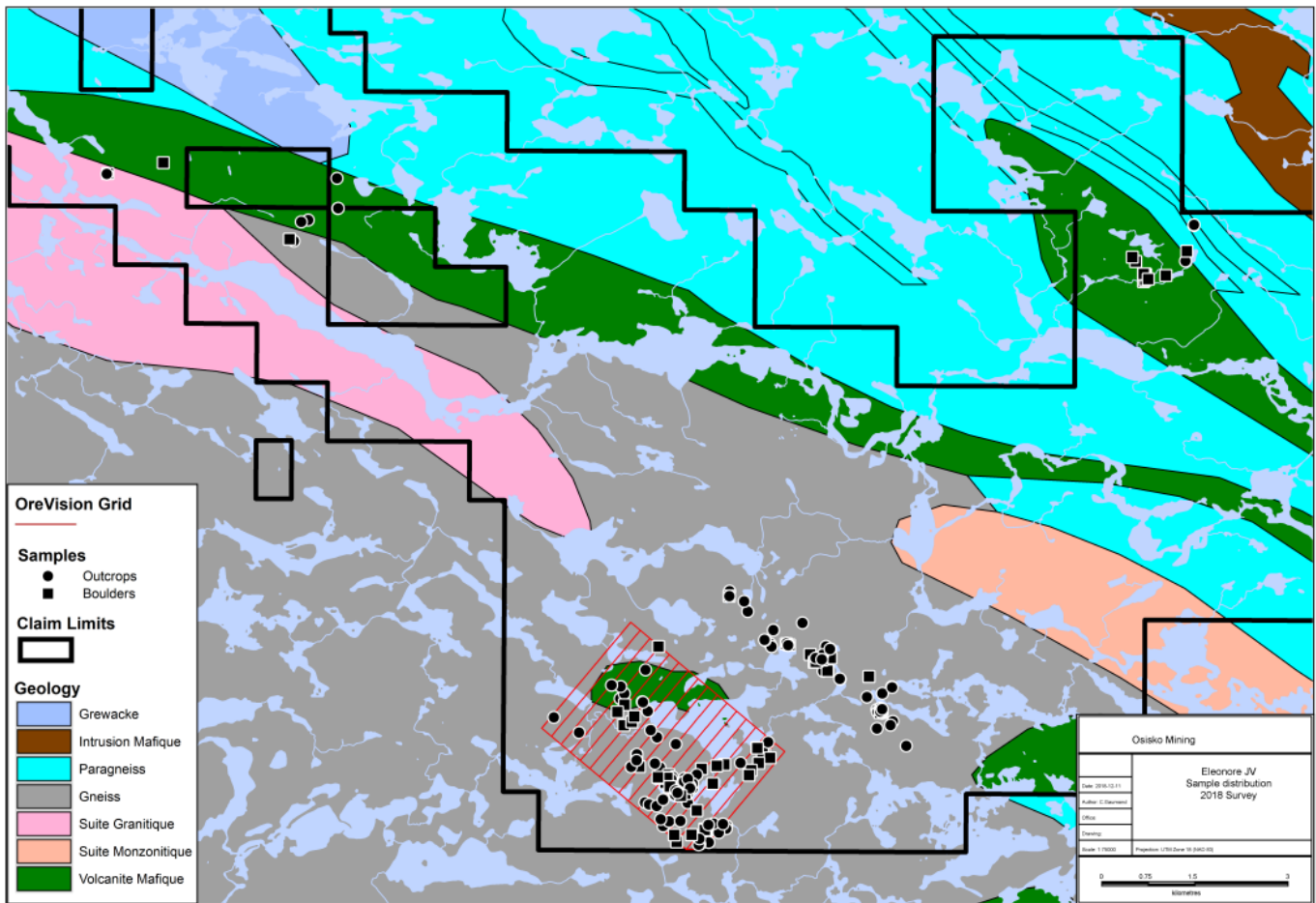


Figure 3: Sample distribution of the 2018 Eleonore JV campaign

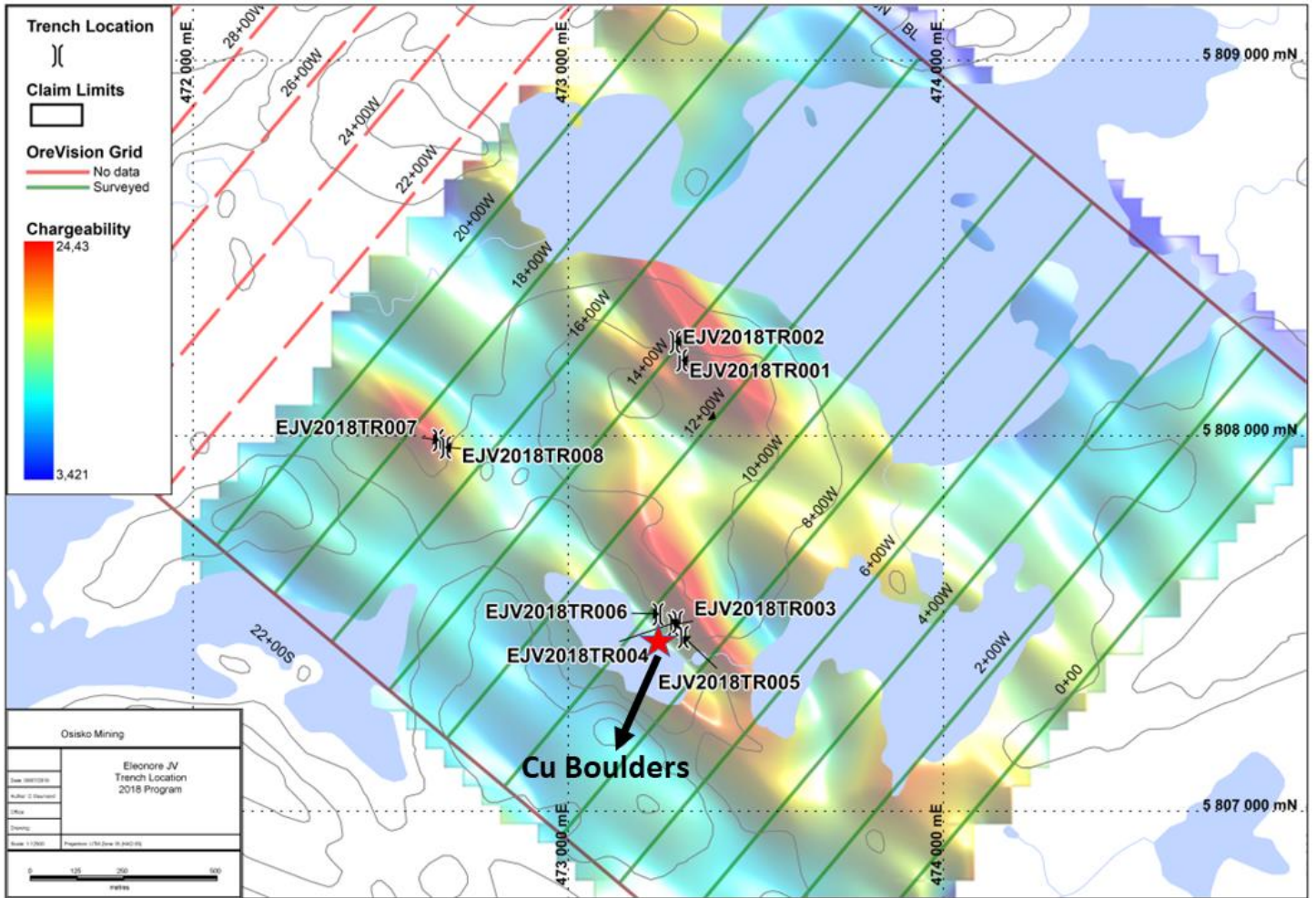


Figure 4: Location of the eight trenches of the 2018 campaign.

8.1. Sample preparation, analysis and security

Gold was analyzed by fire assay and inductively coupled plasma with atomic emission spectroscopy (ICP-AES), the Au-ICP21 method of ALS Minerals laboratories, when the presence of coarse grained gold was not anticipated. These samples were crushed in their entirety at the ALS Minerals preparation laboratory in Val-d’Or to >70% passing 2 mm (10 mesh; ALS Minerals procedure CRU-31). A 200- to 250-g sub-sample was obtained after splitting the finer material (< 2 mm). The split portion derived from the crushing process was pulverized using a ring mill to > 85% passing 75 µm (200 mesh - ALS Minerals procedure PUL-31). From each such pulp, a 100-g sub-sample was obtained from another splitting and shipped to the ALS Minerals laboratory for assay, typically on a 30 grams sample. For the samples with the values higher than 10 g/t Au, the analysis was repeated with the Au-GRA21 procedure (AAS followed by gravimetric finish). Other concentration of other elements, including Ag, Al, As, Ba, Be, Bi, Ca, Cd, Ce, Co, Cr, Cu, Cs, Fe, Ga, Ge, Hf, In, K, La, Li, Mg, Mn, Mo, Na, Nb, Ni, P, Pb, Rb, Re, S, Sb, Sc, Se,

Sn, Sr, Ta, Te, Th, Ti, Tl, U, V, W, Y, Zn and Zr, were determined by the ME-MS61 procedure (4-acid digestion followed by ICP-MS analysis). In the case of Cu, Pb, Zn >10000 ppm, OG62 analysis is proceeded. The remainder of the pulp (nominally 100 to 150 g) and the rejects are held at the secure location for future reference. The author is of the opinion that sample preparation, security and analytical procedures were adequate to ensure the quality of the analytical results.

8.2. Results

The prospection work realized in summer 2018 focused on the reconnaissance of the 2018 OreVision® grid. Multiple chargeability and resistivity anomalies were brought up by the survey. Main objective was to explain the chargeability anomalies by identifying mineralized outcrops/trenches and subsequently to identify the source of the copper-bearing boulders found in 2016-2017.

The exploration phase succeeded in explaining most of the chargeability anomalies. The most interesting chargeability being located 125 meters north-east of the copper-bearing boulders. Indeed, trench EJV2018TR004 returned up to 0.9% Cu, 54.3 g/t Ag and 5.96 ppm Mo over 3 meters. The mineralization is hosted in an epidote altered diorite and consists of 2-10% chalcopyrite and 1-2% malachite. Both geochemistry and geology are similar to the copper-bearing boulders found 125 meters south-west of the trench. Thus, the mineralized horizon is most probably the source of those boulders.

In addition, a highly altered zone was discovered at about 900 meters west of the mineralized horizon. The granodioritic rock shows multiple strong alteration such as silicate, chlorite, epidote, potassic and hematite, consistent with the propylitic alteration of copper porphyry deposits.

Table 2 and 3 show the best values obtained during the 2018 exploration campaign (grabs and channels). Figure 5 and 6 respectively show the copper and silver values returned from analysis on the grab samples. The complete database of the grab samples and the channel samples can be found in appendix 5 and 6.

Table 2: Best grab values obtained during the 2018 prospection campaign.

Sample#	IdAffleur	X_UTM_NAD83	Y_UTM_Z18	TypeOccurrence	SampleDescription	Host	Alteration	Mineralization	Au_ppm	Ag_ppm	Cu_ppm	Mo_ppm
390783	EJV2018CL-026	473276	5807499	Affleurement	I2J rouillée AM+, BO++, 1-2%PY-CP(?), EP+, tr MC, TrMO	I2J	EPI(2,7) CAR(9,2)	PY(3) CP(0,5) MC(0,1) MO(0,1)	0.005	22.8	28700	20.4
390784	EJV2018CL-026	473275	5807500	Affleurement	I2J à AM minéralisée et rouillée avec mobilisat ou veine QZ (10-20%). 5-10%SF (PY-PO, CP?) disséminée dans PSC.	I2J	EPI(2,7) CAR(9,2)	PY(3) CP(0,5) MC(0,1) MO(0,1)	0.002	3.52	3920	37.6
390852	EJV2018A N-005	474026	5806970	Affleurement	Melanosome de BO-AM-MC (2-5%). Localement 1% de bornite	I1C	HEM(1,3)	MG(1)	0.324	5.62	3130	0.46
390778	EJV2018CL-022	473289	5807503	Affleurement	I2J/I3A avec AM++, tr EPI, 5-10%pyrite-PO dis et dans les plans de la foliation. Peut-être CP.	I2J	EPI(8,3)	PY(4) PY(1) MG(1)	0.008	1.51	1335	11.05
390890	EJV2018C GJV-003	475039	5809846	Affleurement	S3-M4, tres SIL, 15-20% de veines de quartz, 5 à 10 % de pyrite dissimilé et tr-1% CPY	S3 M4	SIL(10,1) SIL(6,6) CHL(1,6)	PY(8) CP(0,5) BN(0,1)	0.001	2.59	1120	2.6
390968	EJV2018C G-018	473163	5807755	Bloc Erratique	S3 3%PO 1%PY SIL?	S3		PO(3) PY(1)	0.002	2.13	1090	6.61
390782	EJV2018CL-026	473276	5807496	Affleurement	50% mobilisat et 50%I2J, EP, AM, +/-BIO, +/-HEM, trace de malachite, tr-1% PY+/-CP(?)	I2J	EPI(2,7) CAR(9,2)	PY(3) CP(0,5) MC(0,1) MO(0,1)	-0.001	5.49	812	37.4
390853	EJV2018A N-005	474027	5806972	Affleurement	I1C mag	I1C	HEM(1,3)	MG(1)	0.014	2.8	734	0.38
390893	EJV2018C G-023	473357	5807419	Bloc Erratique		I2J		PY(15)	0.012	2.82	581	18.2
390972	EJV2018C GJOL-001	474830	5810058	Affleurement	S3/M4 silicifié. 2-3% PY-PO diss. Localement 5% PY dans veinules. 5% chlorite dans veinule	S3 M4	SIL(8,3) CHL(2,5)	PY(3) PO(2)	-0.001	1.46	361	30.5
390971	EJV2018C G-021	473243	5807530	Bloc Erratique	I2J+VNQZ dans tranchée 8-10%PY	I1N			-0.001	0.42	222	18.95
390688	EJV2018FR-044	472346	5808752	Bloc Erratique	S3/M4. 2-3% Py diss.	S3 M4		PY(2)	-0.001	2.18	201	25.6
391519	EJV2018JF-019	480722	5815720	Bloc Erratique		M4		PY(0.8)	-0.001	0.23	90.2	44.5
390652	EJV2018FR-001	473184	5807566	Bloc Erratique	Phase plus felsique. 1% Py diss, 1% Molybdenite en amas. Legere alteration en epidote.	I2J M3	EPI(1,3)	PY(8)	-0.001	0.19	64.4	88.8
391061	EJV2018CL-084	465120	5817491	Bloc Erratique	Bloc de paragneiss avec 2-3% pyrite disséminée le long des rubans gneissiques. Présence d'une petite vn de qz	S3 M4	SIL(10,1)	PY(2,5)	0.127	0.42	32.3	44.5
390896	EJV2018FR-010	473797	5806959	Affleurement	I1 riche en qz 5-10%MO, 15-25cm	I1C M3		PY(0,5) MO(5)	-0.001	0.12	10.1	10000
391521	EJV2018JF-021	480540	5815988	Bloc Erratique		M20		MO(0.3) PY(0.1)	-0.001	0.06	6.7	116
390983	EJV2018C GJOL-010	476476	5808792	Affleurement	veine qz no min. 30% éponte	I1	SIL(10,1)		-0.001	0.01	4.3	20.4
391522	EJV2018JF-022	467428	5816579	Affleurement		M20		PY(0.01)	-0.001	0.03	2.4	115
390887	EJV2018C GJV-001	474801	5809792	Affleurement	veine de quartz de 2 à 3 % biotite avec traces de pyrite dans la veine.	S3 M4	SIL(10,1)	PY(0,1)	-0.001	0.01	1.8	23.8
391068	EJV2018CL-089	467886	5817242	Affleurement					-0.001	0.01	1.3	22

Table 3: Best channel sample values obtained during the 2018 campaign.

HOLE_NUMBER	SAMPLE	from	to	comments	Au_ppm	Ag_ppm	Cu_ppm	Mo_ppm
EJV2018TR004-R3	388813	1.3	2.3	I2J; Ep-4; 3% Py DI PER 4% Cp DI SCH; SP 4	0.008	159	24800	12.9
EJV2018TR004-G2	388807	0	0.4	I2J; He-2 Ep-3; 2% Py DI PER 3% Cp AL SCH 1% Mc AL PER; SP 5 FLT 3	0.002	71	14700	3.23
EJV2018TR004-G2	388808	0.4	0.9	I2J; Ep-4 He-2; 5% Cp DI SCH 1% Py DI PER 1% Mc DI PER; SP 5 FLT 3	0.003	30.4	26200	5.92
EJV2018TR004-G3	388809	0	0.5	I2J; Ep-5; 3% Cp DI SCH 3% Py DI PER 2% Mc DI PER	0.003	10.8	9260	2.2
EJV2018TR004-R2	388759	2	3	I2J; Ep-1 He-1; 1.5% Py DI PER 0.1% Cp AL PER 0.1% Mc AL PER; SP 3	0.001	5.89	314	0.71
EJV2018TR004-R3	388812	1	1.3	I2J; Ep-4; 3% Py DI PER 4% Cp DI SCH; SP 4	0.003	4.77	4150	6.56
EJV2018TR004-R3	388814	2.3	3	I2J; Chl-1 Ep-2; 2% Py DI PER 1% Cp DI PER; SP 4	0.0005	2.75	811	0.56
EJV2018TR004-R2	388761	4	4.5	I2J; Ep-1 He-1; 5% Py DI PER 0.1% Mc AL PER; SP 3	0.002	1.75	784	8.41
EJV2018TR003-G2	388734	0.4	1	I3A; Ep-1 Ep-2; 15% Py DI SCH; SP 2	0.012	1.71	888	19.2
EJV2018TR004-R2	388760	3	4	I2J; Ep-1 He-1; 0.5% Py DI PER 0.1% Cp AL PER 0.1% Mc AL PER; SP 3	0.0005	1.7	199	0.79
EJV2018TR004-R3	388816	3	4	I2J; Chl-1 Ep-2; 2% Py DI PER 1% Cp DI PER; 100% VN QZ 3 cm; SP 4	0.0005	1.68	358	2.62
EJV2018TR004-R2	388758	1.5	2	I2J; Ep-5 Ep-2 He-1; 3% Py DI PER; SP 3	0.003	1.5	1045	4.16
EJV2018TR006-R5	388854	0.5	1.5	I1B; Ep-4 He-3NO MIN ; SP 5	0.0005	1.47	60.7	0.53
EJV2018TR004-G1	388806	0	0.4	I2J; Ep-3 He-3; 5% Py DI SCH; SP 4	0.008	1.87	528	49.3
EJV2018TR003-R3	388752	6.1	6.4	I3A; Ep-1 Ep-4 Chl-1; 20% Py DI SCH	0.02	1.32	592	7.18
EJV2018TR005-R1	388820	3.1	4	I2J; Ep-3; 10% Py DI SCH	0.009	0.84	1155	11.5
EJV2018TR004-R1	388804	3	3.5	I2J; Ep-2; 1.5% Py DI SCH; SP 3 FLT 3	0.001	0.62	56.7	27.9
EJV2018TR001-R1	388712	9	10	M4; Oxid-1 Carb-1 Sil-1; 3% Po DI SCH 1% Py AL SCH	0.004	0.4	96.5	14.35
EJV2018TR006-R2	388839	2	2.6	I2J; Ep-3 He-3; 1% Py DI PER	0.0005	0.29	92.4	10.1
EJV2018TR003-G1	388732	0	0.5	I2J; Ep-3 Ep-1; 1% Py DI SCH 1.5% Mt DI PER; SP 3	0.0005	0.06	24.1	12.9

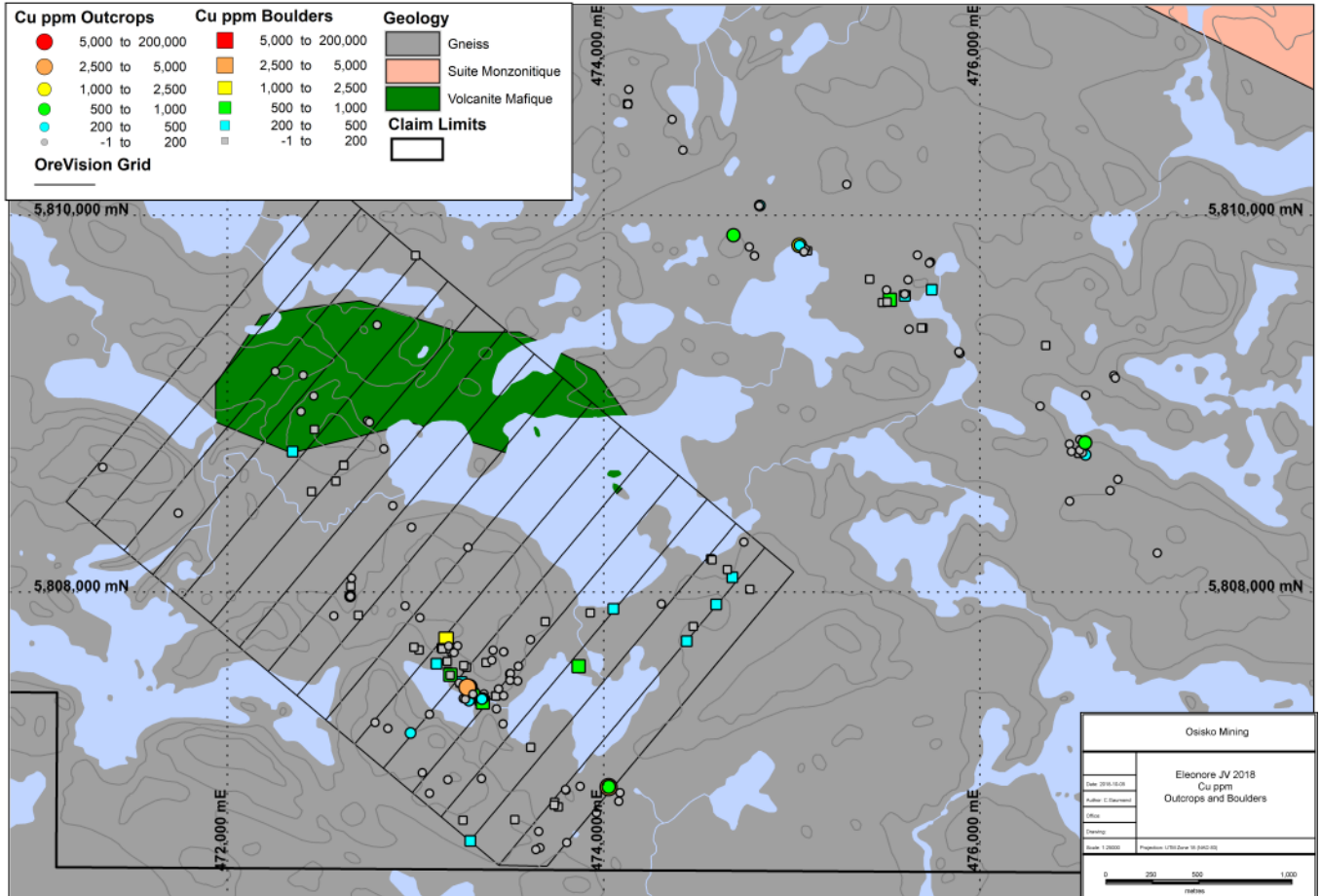


Figure 5: Copper values returned on grab samples

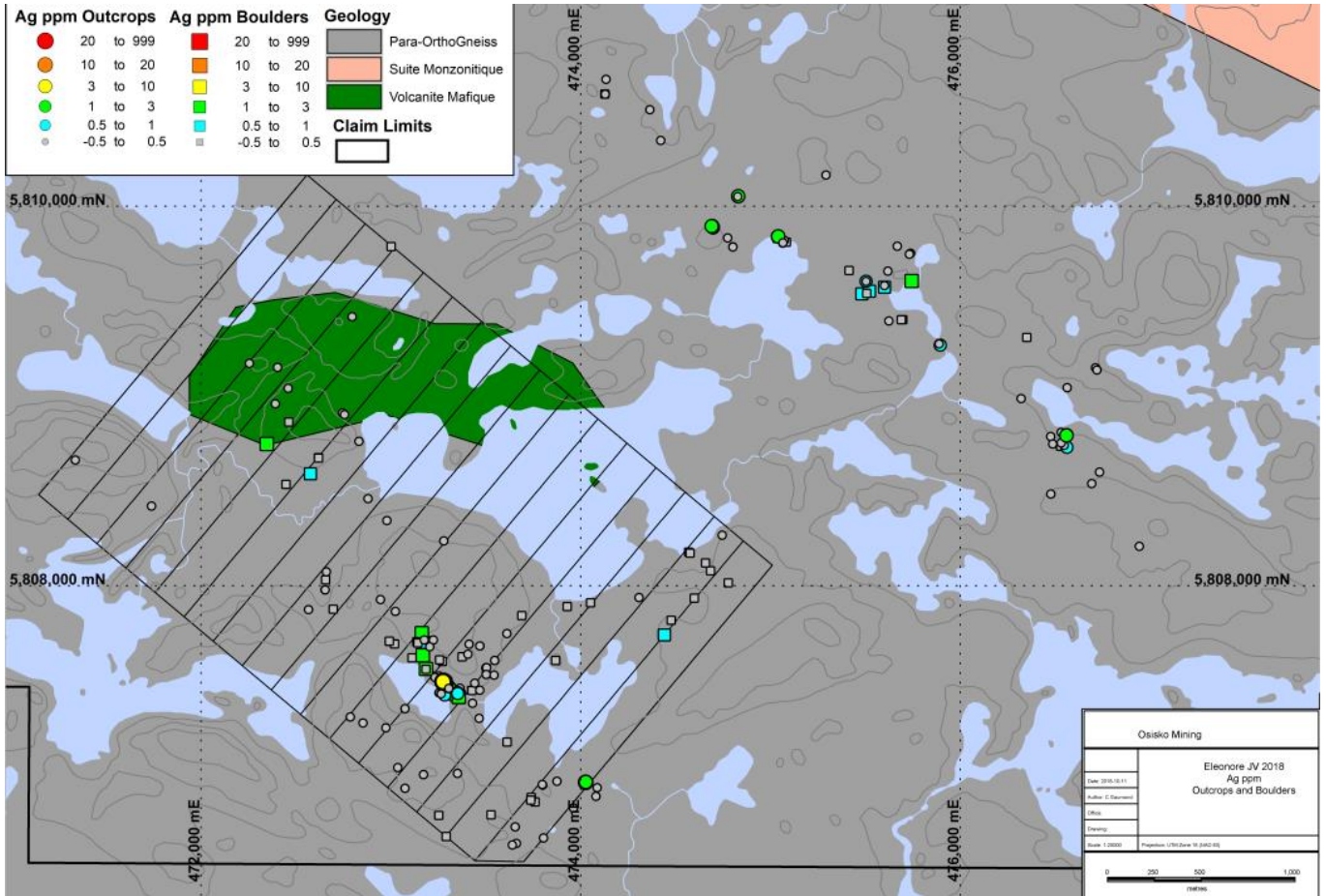


Figure 6: Silver values returned on grab samples

Below, is a description of each trench excavated on the 2018 trenches program.

Trench EJV2018TR-001:

The trench is spatially related to the EM anomaly (AeroTEM (GM 65000)) as well as the OreVision chargeability anomaly. The only lithological unit encountered on the first trench is a homogeneous and granoblastic paragneiss rich in biotite and garnet. The gneissic texture is generally well defined at N320-330 degrees, with a north-east dip around 20-25 degrees, locally 30-40 degrees; and it is characterized by an alternation of bands carrying the assemblage of biotite - garnet ± quartz ± feldspar ± chlorite-rich fine-grained bands, of quartz – feldspar ± botite-rich fine-grained bands and sometimes of quartz - feldspar ± biotite-rich medium to coarse-grained bands or injections. Theses medium to coarse-grained bands or injections are sometimes very irregular and discontinuous, and give a heterogeneous texture to the rock. Some chlorite-rich bands and some disseminated/patchy epidote was observed. However, many millimeter to centimeter sized rusty fractures rich in sulphide quartz and carbonates were observed. Locally, the rock is weakly silicified and we observed some silicified ovoid fragments. The trench shows some rare quartz veins or

veinlets that are generally subvertical, oriented at N110-120 degrees and contain traces to 1% of pyrite-pyrrhotite. Mineralization intersected consists in pyrrhotite and pyrite, ranging from traces to 10%; with an average of 2-3% sulfide along the trench. Pyrrhotite occurs mainly within biotite-garnet-rich bands, and appears as sub-millimeter sized stringers, xenomorph and sometimes tabular. Pyrite is often automorph (cubic texture) or as clusters. In the less gneissic portion, mineralization consists in finely disseminated pyrite and pyrrhotite.

The presence of continuous sulfides within and along the weakly dipped gneissic bands could explain the strongly chargeability anomaly. Besides, geophysical anomaly trend corresponds to the structural trend of the rock. No significant values were returned.



Figure 7: EJV2018TR-001 Greywacke 3%PO, 2%PY



Figure 8: EJV2018TR-001_Greywacke low dip

Trench EJV2018TR-002:

The same paragneiss was encountered on the second trench and it is in contact (at N295 and N315 degrees) with a fine to medium-grained and homogenous gabbro. No significant mineralization and alteration were observed, except a very weak chloritization in the gabbro. The paragneiss contains until 1% sulfides (pyrite and pyrrhotite) as dissemination and along schistosity planes and the gabbro contains only traces. Trench EJV2018TR-002 was planned as a wider and longer trench, but thick overburden limits the excavation. No significant values were returned.

Trench EJV2018TR-003:

The mainly lithological unit encountered on the third trench is a diorite, composed of the assemblage of feldspar – amphiboles – epidote – quartz \pm chlorite. The diorite has sometimes a gneissic texture which is more or less defined at N330-335 degrees, with a north-east dip around 35-50 degrees; and it is characterized by the presence of 1-10% of quartz – feldspar \pm amphiboles-rich fine to medium -grained bands. All diorite channels show a weak to strong epidote alteration that come in centimeter to meter-sized bands in the main foliation. Mineralization occurs mainly as pyrite and pyrrhotite assemblage, but some small amounts of chalcopyrite and malachite were locally observed (trace to 1%). The diorite is also crosscut by a mineralized mafic intrusive (I3A) rock of 30-40 centimeter thickness oriented at N300-305/37. Mineralization intersected in these rock consists in 10-20% pyrite+/-pyrrhotite(tr)+/-chalcopyrite(tr) as disseminated clusters along the foliation planes. Best values returned are 1.71 g/t Ag, 19.2 ppm Mo and 888 ppm Cu over 0.6 meter.

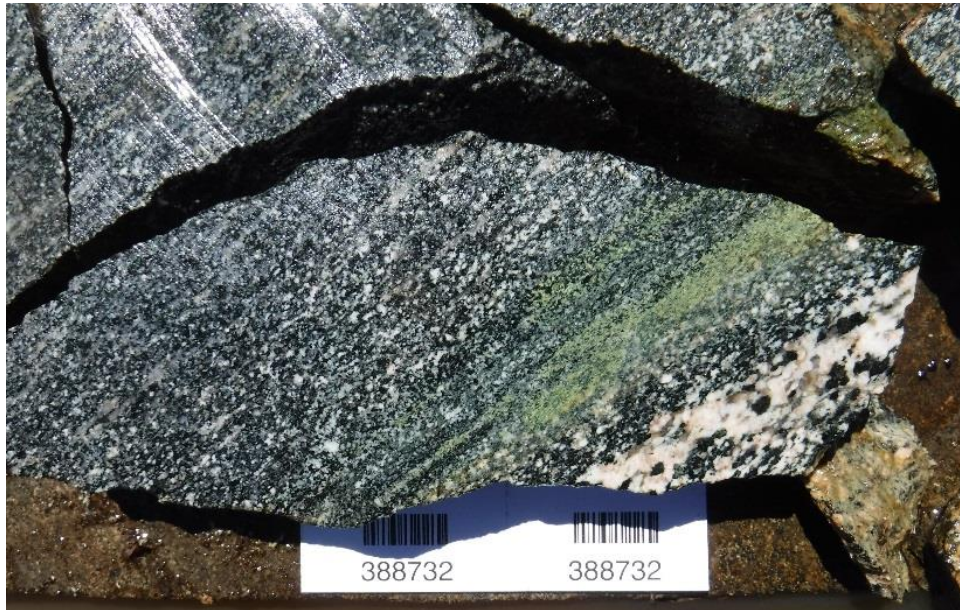


Figure 9: EJV2018TR003-G1 Epidote alteration band inside the diorite

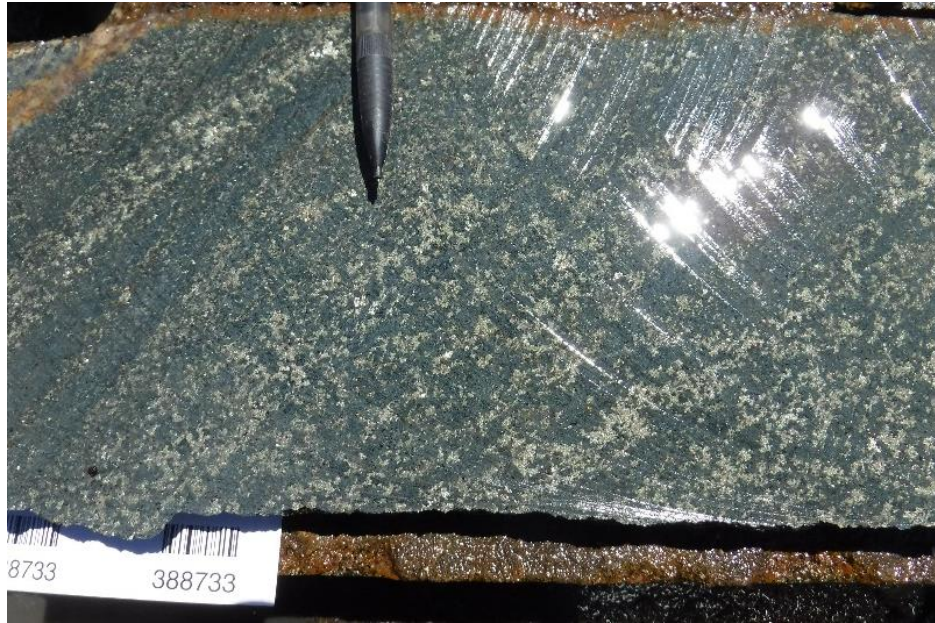


Figure 10: EJV2018TR003-G2 Mineralized mafic intrusive (I3A) 10% pyrite+/-pyrrhotite. Returned 1.71 g/t Ag, 19.2 ppm Mo and 888 ppm Cu over 0.6 meter

Trench EJV2018TR-004:

The main lithological unit encountered on trench EJV2018TR004 is a foliated, homogenous diorite. The diorite is composed of the assemblage of feldspar – amphiboles – chlorite – epidote – quartz. It shows a well-developed foliation at N338/-30. A possible fault zone is also observed at N305/-55, characterized by multiple parallel fractures. Unit also shows 5-10% leucosomes usually centimeter-sized in the main foliation. The unit is affected by a weak to moderate epidote alteration characterized by centimeter to decimeter sized epidote-altered bands in the main foliation. The epidote altered bands usually carries most of the mineralization. Mineralization consists of tr-3% pyrite disseminated in the main foliation and tr-5% chalcopyrite (up to 10% locally) disseminated and in small clusters. Most of the chalcopyrite mineralization was observed on a 1.3 meter wide interval on channel 3 (from 1 to 2.3 meters) (Figure 11-12-13). The mineralized horizon seem to follow the main foliation at N330-340 degrees at low dip at -30-35 degrees. Consistence in mineralization, alteration and host rock suggest the mineralized horizon of trench EJV2018TR004 may very well be the source of the copper-bearing boulder found previously (2016-2017). Those boulders are located about 70 meters south-west from the trench. Best values were obtained are 54.3 g/t Ag, 0.9% Cu and 5.96 ppm Mo over 3 meters.



Figure 11: EJV2018TR004-G2 Diorite carrying 5% chalcopyrite, 1% malachite, 1% pyrite over 0.5 meter



Figure 12: EJV2018TR004-R3 Diorite affected by epidote alteration and carrying 3-5% chalcopyrite, 3 % pyrite



Figure 13: EJV2018TR004-R3 Medium grained diorite affected by epidote alteration and carrying 3-5% chalcopyrite, 3 % pyrite

Trench EJV2018TR-005:

Trench EJV2018TR005 was excavated on a BeepMat conductor, found at the beginning of the 2018 Grid prospecting program. It is located 110 meters east of the copper-bearing boulders found in 2016-2017. The main lithological unit encountered is a foliated homogenous diorite. The diorite is composed of the assemblage of feldspar – amphiboles – chlorite – epidote \pm quartz. Little quartz was observed, hence the lithological unit may also be of a mafic intrusive composition. It shows a moderately-developed foliation at N330/-30. Unit also shows 5-10% leucosomes usually centimeter-sized in the main foliation. The unit is affected by a weak to moderate epidote alteration and a weak hematite alteration, characterized by centimeter sized epidote altered bands in the main foliation and penetrative hematite alteration. On channel 1, mineralization can reach up to 5% disseminated pyrite in the main foliation. Mineralization is usually associated with the epidote altered bands. On channel 2 and 3, mineralization is scarce. No significant values were returned from analysis.



Figure 14: EJV2018TR005-R1 Medium grained diorite carrying 3-10% pyrite

EJV2018TR-006:

Trench EJV2018TR006 is an excavated stripe about 5 meters wide and 40 meters long oriented at around N240°. It ends about 25 meters north of the copper-bearing boulders found in 2016-2017. The main lithological unit encountered is a foliated, homogenous, and fine to medium grained diorite. The diorite is composed of the assemblage of feldspar – amphiboles – chlorite – epidote – quartz. It shows a moderately-developed foliation at N325/-30. Unit also shows 5-10% leucosomes usually centimeter-sized in the main foliation. The unit is affected by a weak to moderate epidote alteration and a weak hematite alteration, characterized by centimeter sized epidote altered bands in the main foliation and penetrative hematite alteration. Mineralization is generally scarce, but channel 1 and 2 carries up to 4% disseminated pyrite and stringers of pyrite along the main foliation. At the extreme south of the trench, a contact with a felsic intrusive unit is observed. The felsic unit is coarse grained, massive and homogenous. It is affected by a weak penetrative epidote alteration and a moderate hematite alteration penetrative and filling fractures. No significant mineralization was observed in the felsic unit. No significant values were returned from analysis.



Figure 15: EJV2018TR006-G1 Diorite affected by moderate epidote alteration carrying 3-5% disseminated pyrite

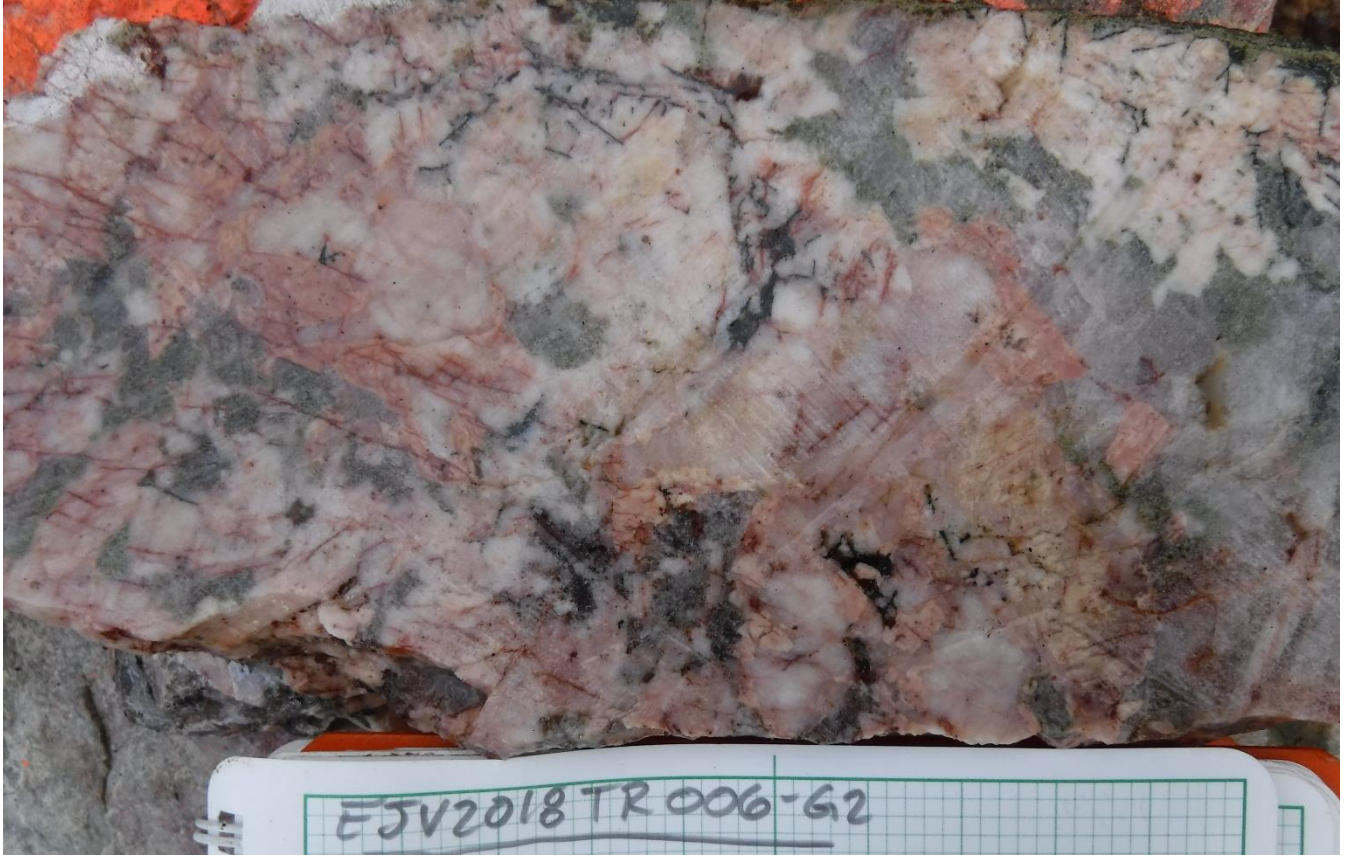


Figure 16: EJV2018TR006-G2 Coarse grained felsic intrusive unit affected by hematite +- epidote alteration

EJV2018TR-007:

Trench EJV2018TR007 is 18 meters long and 2 meters wide, approximately trending east-north-east to west-south-west. Only one lithology was encountered, interpreted as a **highly altered** granodiorite. To the north-east, the rock is intensely silicified and brecciated (hydrothermal breccia) over the first 3 meters, making it impossible to identify the protolith. The rock then becomes strongly altered in a chlorite-hematite-magnetite-epidote and potassic-feldspar assemblage. Multiple crack 'n' seal quartz-epidote-hematite-chlorite veinlets are observed throughout the trench. Local centimeter sized senestre movement have also been observed. The outcrop is locally mineralized in disseminated pyrite (traces amount and up to 1-2% locally) as fine grains and clusters and found, as well, associated with quartz-hematite veinlets (1 millimeter thick). Few chalcopyrite grains were observed strictly associated with the quartz-hematite veinlets mentioned above. A fault zone was observed, on 2 meters (at meters 8 to 10; described in channel 1), trending 335-155°. A few brecciated quartz-epidote-hematite veinlets, 2-3 centimeter thick, were found within the deformation zone. No significant values were returned from analysis.



Figure 17: EJV2018TR007-R1; Intense silicification and hydrothermal breccia over 3 meters.



Figure 18: EJV2018TR007-R1: Highly altered in chlorite-hematite-magnetite granodiorite and an epidote veinlet brecciated by a quartz-hematite vein in the deformation zone.



Figure 19: EJV2018TR007-R2; Altered granodiorite, epidote shear veinlets and a possible sub-rounded fragment

EJV2018TR008

Trench EJV2018TR008 is 13 meters long and 2 meters wide, approximately trending ENE-WSW. Trench EJV2018TR008 is spaced by about 20 meters to trench EJV2018TR007 and are both very similar. Only one lithology was encountered, interpreted as a highly altered granodiorite. The rock is intensely silicified and brecciated texture (hydrothermal breccia) on 3-4 meters, making it impossible to identify the protolith. The rock then becomes strongly altered in a chlorite-hematite-magnetite-epidote-silica assemblage (propylitic?). The outcrop is, very locally, mineralized in disseminated pyrite (traces up to 1%) as fine grains and clusters are found associated with quartz-hematite veinlets (1mm thick). Few chalcopyrite grains were observed strictly associated with the quartz-hematite veinlets mentioned above. A fault zone was observed, on 2 meters (at meters 2 to 4; described in channel 3), trending 335-155°. No significant values were returned from analysis.



Figure 20: EJV2018TR008-G1 Altered granodiorite affected by chlorite-silica-epidote-hematite-magnetite alteration

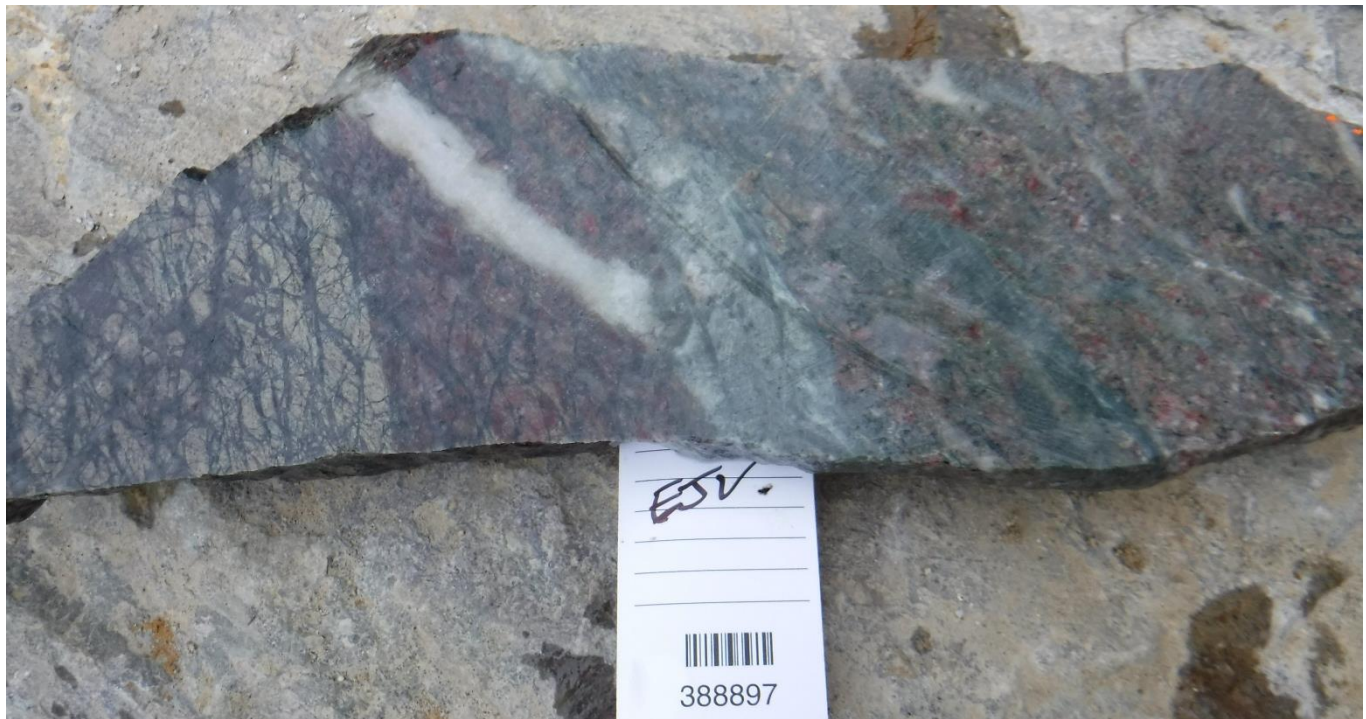


Figure 21: EJV2018TR008-R1 Chlorite-hematite-k-feldspar altered granodiorite affected by multiple millimeter-sized crack-n-seal quartz veinlets



Figure 22: EJV2018TR008-R1 Chlorite-hematite-k-feldspar-epidote-silica altered granodiorite affected by multiple mm-sized crack-n-seal quartz veinlets

8.3. Data Verification

The authors of the present report were directly involved in collecting, recording, interpreting and presenting the data in this report and in the accompanying maps and sections. Data was reviewed and checked by the authors and is believed to be accurate.

The rock samples were sent for analysis at ALS Chemex laboratory. In addition to the internal quality checks used by ALS Chemex laboratory, the prospecting work conducted by Osisko Mining was undertaken in the rules of the art. All samples were placed in individual bag and tagged with their appropriate number. Bags were sealed with fiberglass tape. The authors are not aware of any sampling or recovery factors that would impact the reliability of the samples.

In addition to the internal quality checks used by the ALS Minerals laboratory, the exploration work conducted by Osisko Mining was undertaken using a quality assurance

and quality control program according to industry standards for early-stage exploration projects. These procedures are essential to monitor and control (1) accuracy, (2) precision and (3) possible contamination of the samples. For this campaign, gold, silver and copper were used to monitor the assay results of the samples. For the channel samples, three standards-blanks were inserted in every 17 sample batch (17 samples, 2 standards and 1 blank). For the grab samples, two standards-blanks were inserted in every 18 sample batch (18 samples, 1 standard and 1 blank).

Figure 23, 24, 25 and table 4 shows returned values of the reference material (CDN-HZ-2). It was noted that sample 390 785 failed the quality control test on the Cu element. Re-assay was not needed because the standards on the same certificate passed the QAQC. The failed blank 390 785 is most probably underwent a very weak contamination during crushing or pulverization.

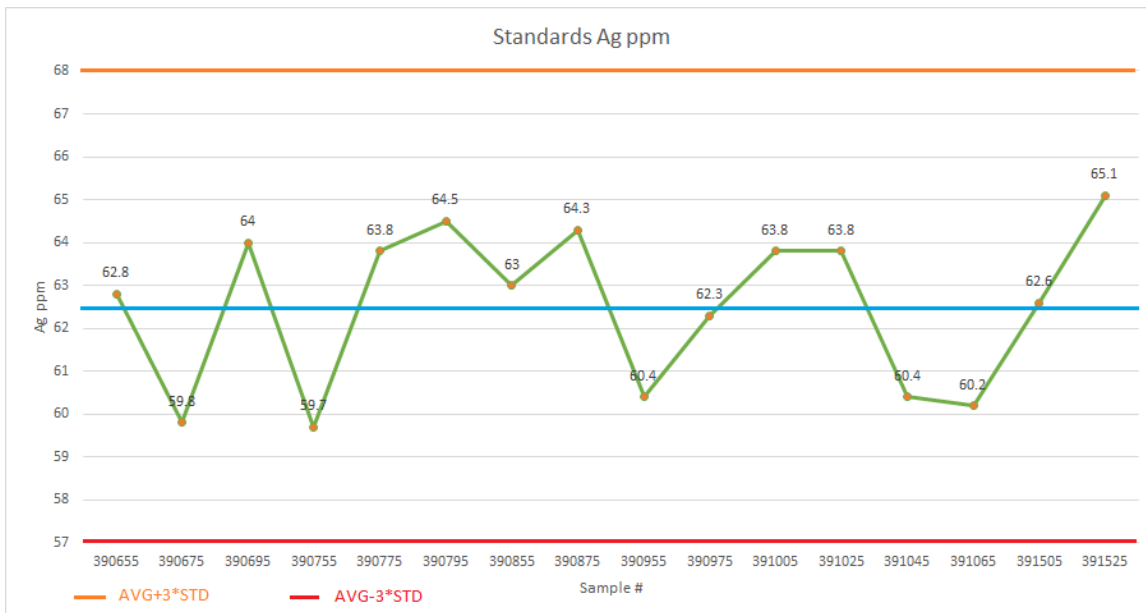


Figure 23: QAQC (silver) with reference material CDN-HZ-2 on the grab samples

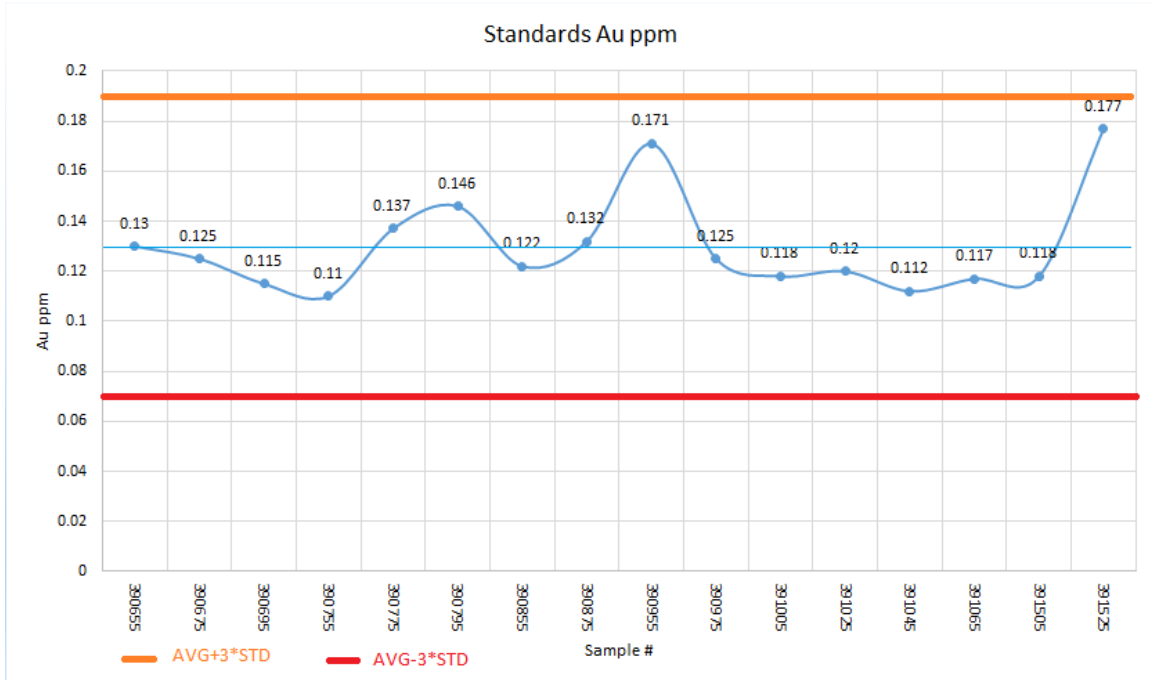


Figure 24: QAQC (gold) with reference material CDN-HZ-2 on the grab samples

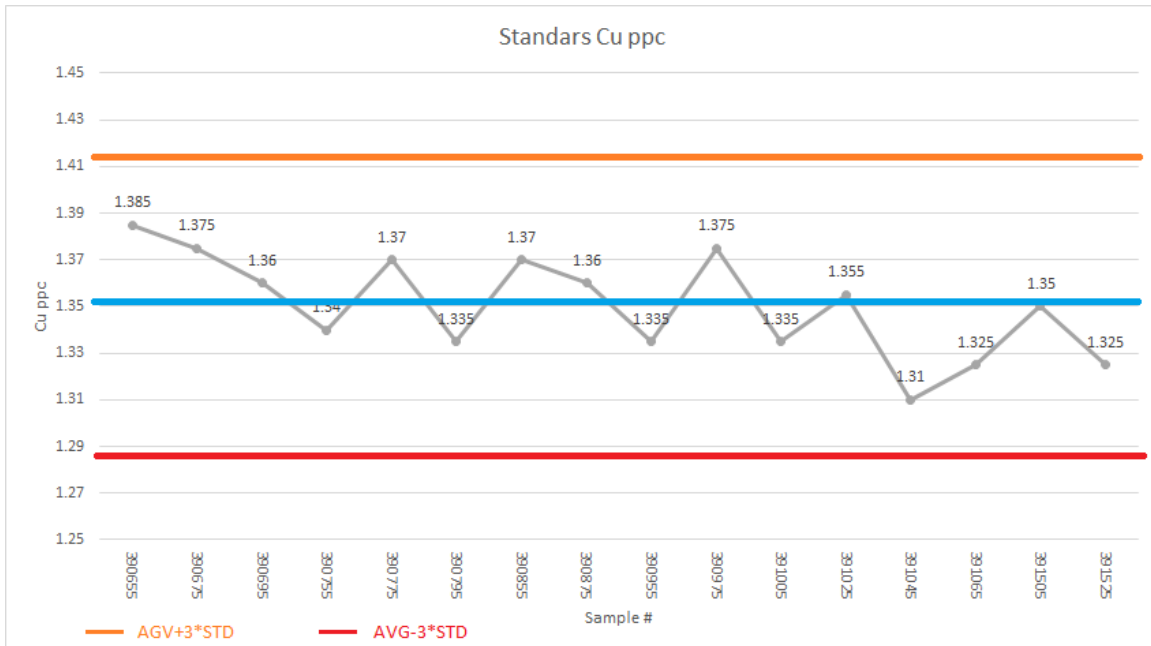


Figure 25: QAQC (copper) with reference material CDN-HZ-2 on the grab samples

Table 4: Blank samples for grab samples on the 2018 prospection

TagNumber	Type	Voucher	Au_ppm	Ag_ppm	Cu_ppm	Comments
390665	Blanc	VO18163561	-0.001	0.01	1.8	Au, Ag, Cu Pass
390685	Blanc	VO18163592	-0.001	0.02	1.4	Au, Ag, Cu Pass
390765	Blanc	VO18163561	-0.001	0.01	2	Au, Ag, Cu Pass
390785	Blanc	VO18163561	-0.001	0.07	44.9	Au, Ag Pass ; Cu Fail
390865	Blanc	VO18163561	-0.001	0.01	1.4	Au, Ag, Cu Pass
390885	Blanc	VO18163592	-0.001	0.02	1.2	Au, Ag, Cu Pass
390965	Blanc	VO18163578	0.001	0.03	5.9	Au, Ag, Cu Pass
390985	Blanc	VO18163592	-0.001	0.01	1	Au, Ag, Cu Pass
391015	Blanc	VO18174773	0.001	0.01	2	Au, Ag, Cu Pass
391035	Blanc	VO18174773	-0.001	0.02	3.1	Au, Ag, Cu Pass
391055	Blanc	VO18174773	-0.001	0.02	2	Au, Ag, Cu Pass
391515	Blanc	VO18174773	-0.001	0.02	2.4	Au, Ag, Cu Pass

For the channel samples, figures 26, 27, 28, 29, 30, 31 and table 5 show returned values of the reference material (CDN-HZ-2 and ORES 624). It was noted that sample 388 905 failed the quality control test on the Au element for standard CDN-HZ-2. Reassay was not needed because the other standard/blank on the same voucher passed the gold QAQC. In addition, no significant gold values were returned in the voucher.

It was also noted that sample 388 810 failed the blank quality control test on the Cu element. Reassay was needed to confirm some significant copper values returned in the same voucher. Fortunately, reassay succeeded in eliminating the failed QAQC on copper. The failed blank 388 810 is most probably underwent a weak contamination during crushing or pulverization.

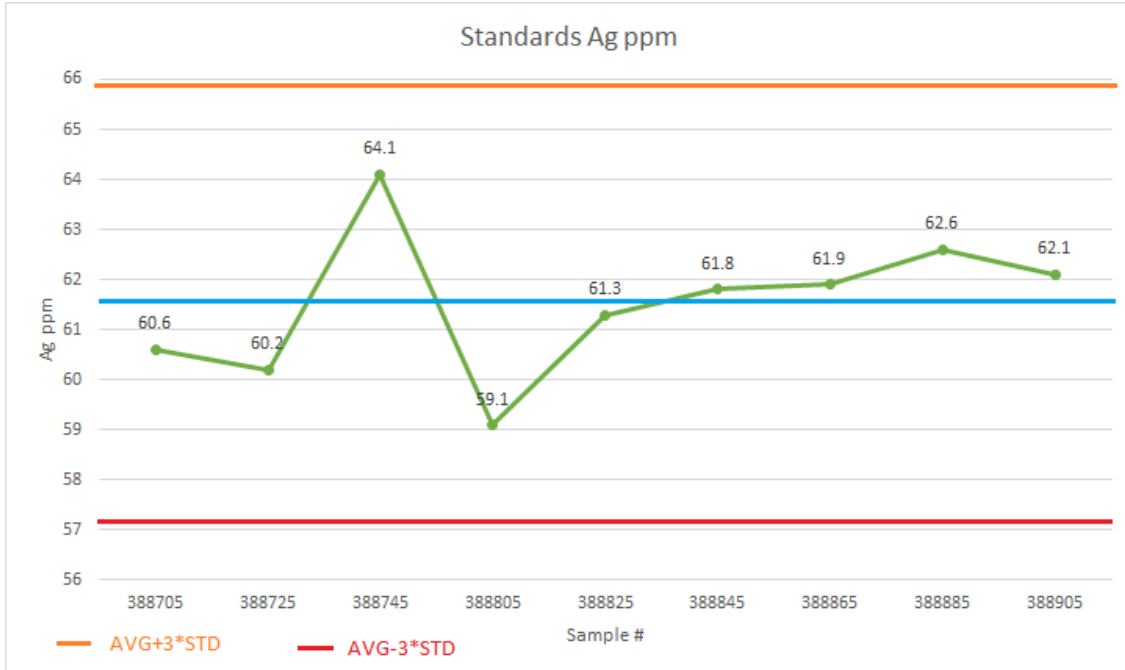


Figure 26: QAQC (silver) with reference material CDN-HZ-2 on the channel samples

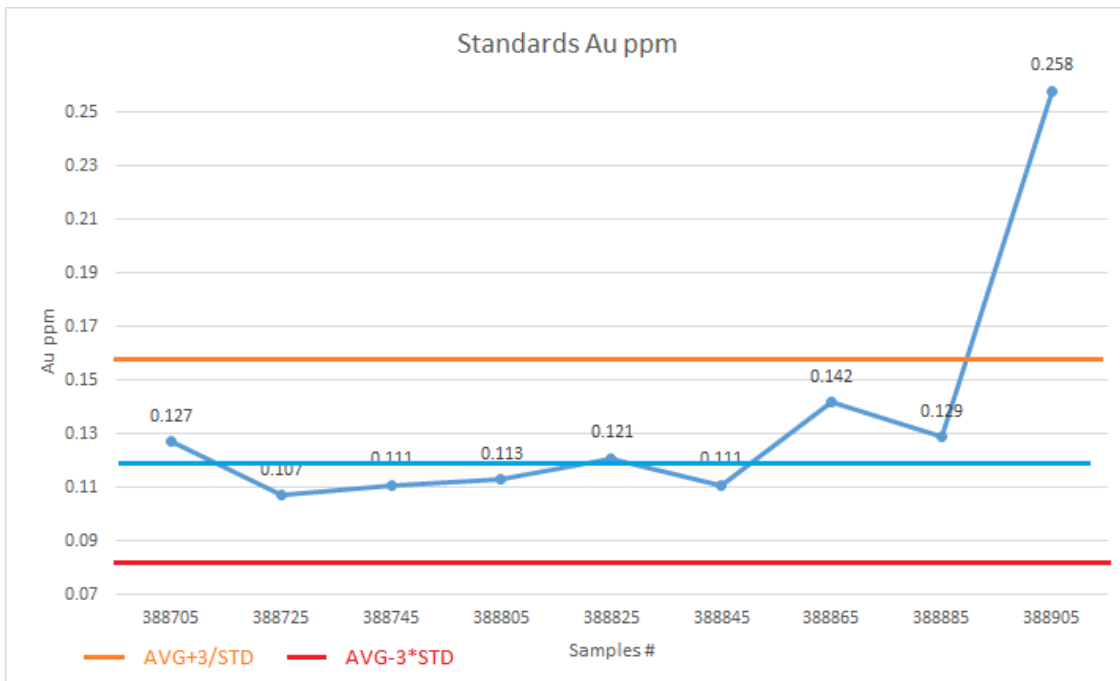


Figure 27: QAQC (gold) with reference material CDN-HZ-2 on the channel samples

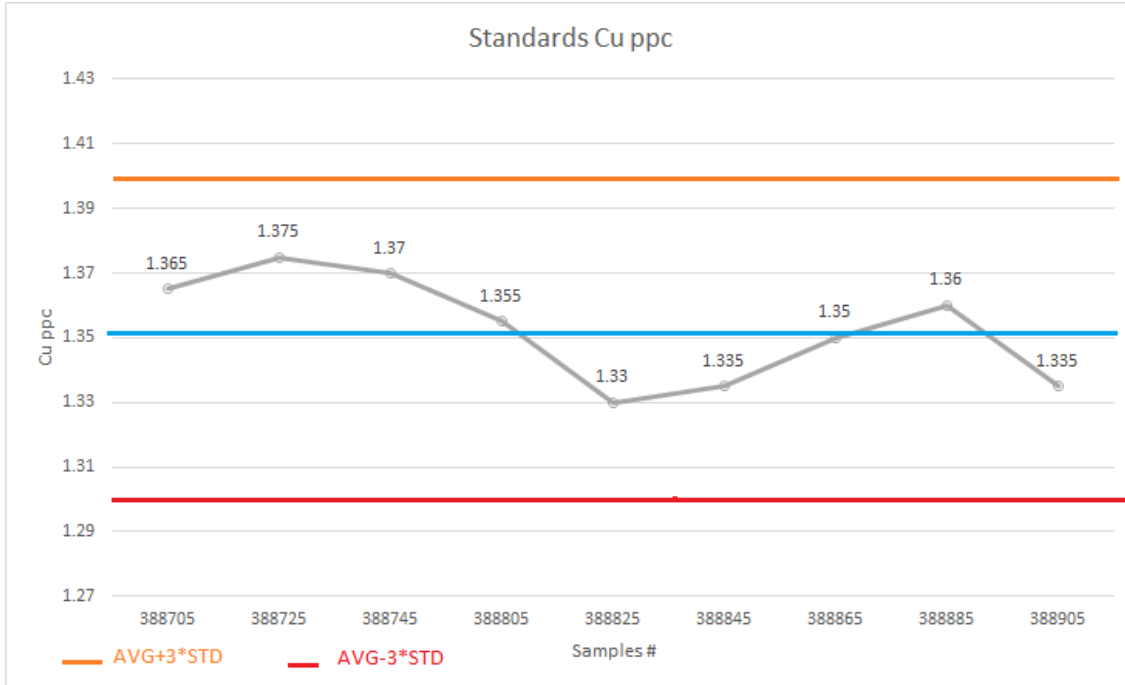


Figure 28: QAQC (copper) with reference material CDN-HZ-2 on the channel samples

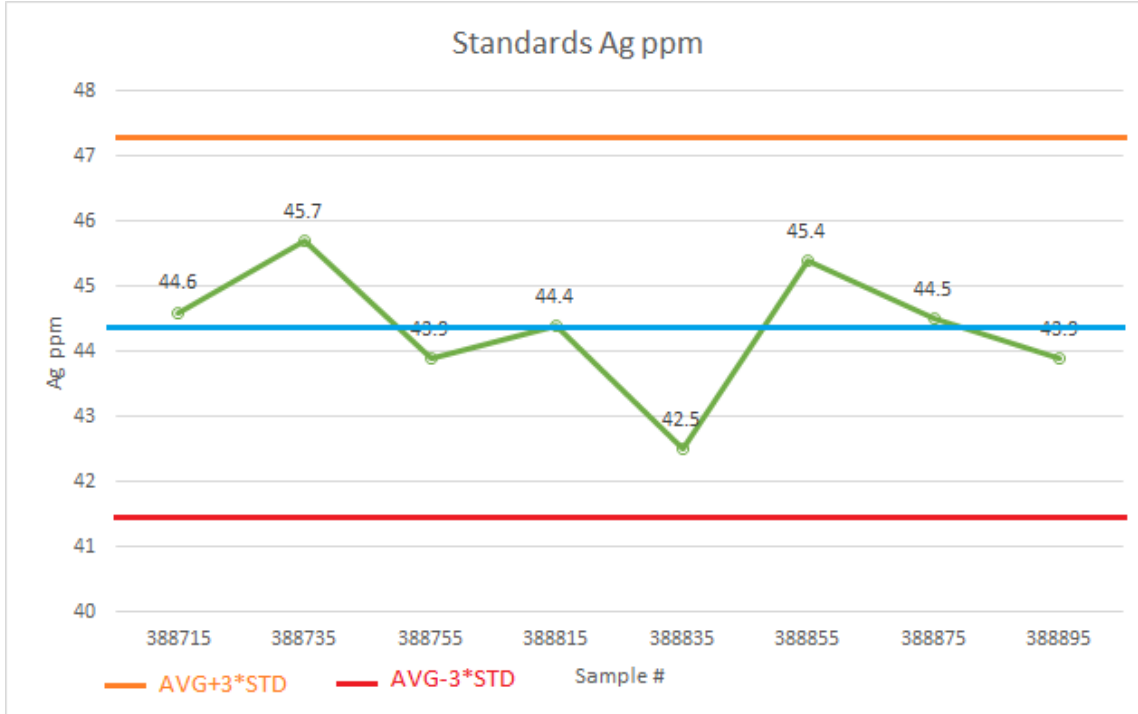


Figure 29: QAQC (silver) with reference material OREAS 624 on the channel samples

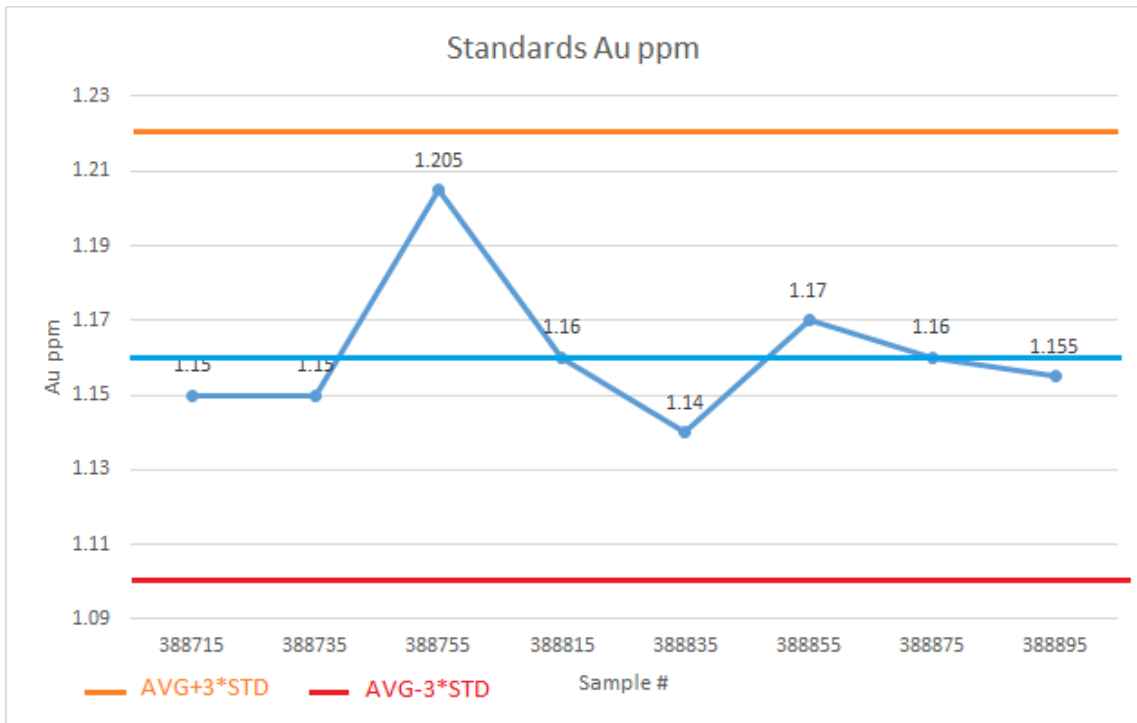


Figure 30: QAQC (gold) with reference material OREAS 624 on the channel samples

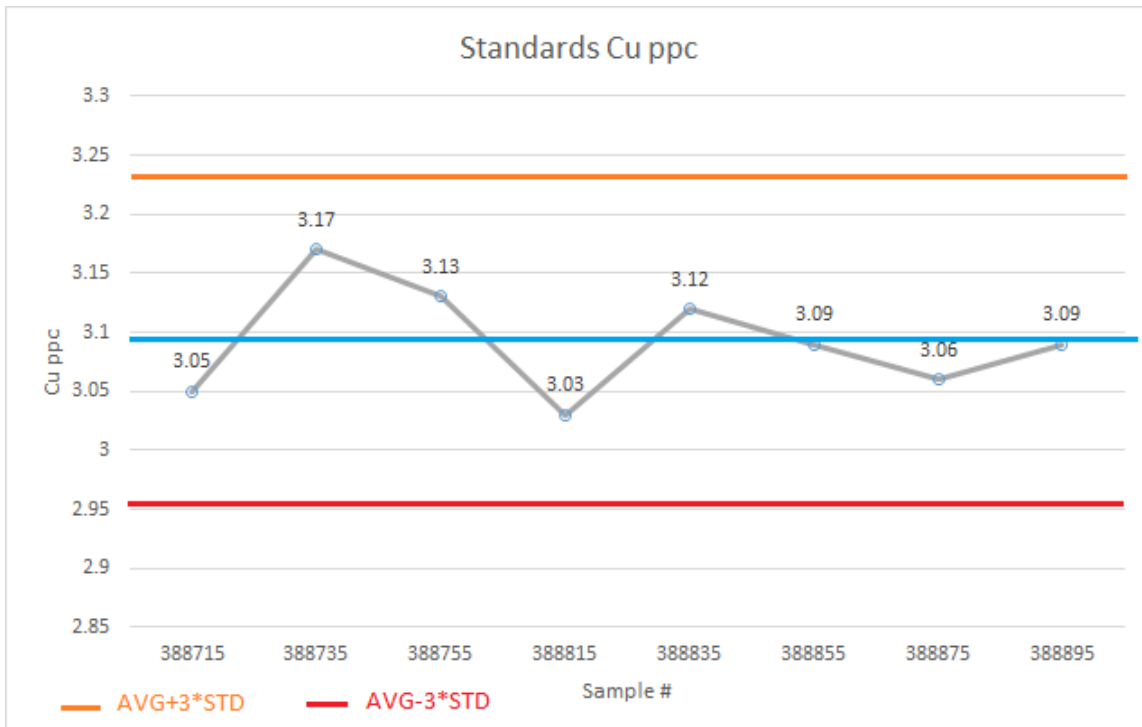


Figure 31: QAQC (copper) with reference material OREAS 624 on the channel samples

Table 5: Blank samples for channel samples on the 2018 program

Channel	TagNumber	Type	Voucher	Au ppm	Ag ppm	Cu ppm	Comments
EJV2018TR001-R1	388710	Blanc	VO18163599	-0.001	0.01	2.4	Passed
EJV2018TR001-R1	388720	Blanc	VO18163599	-0.001	0.01	3.5	Passed
EJV2018TR003-R1	388730	Blanc	VO18163603	-0.001	0.01	2.7	Passed
EJV2018TR003-R2	388740	Blanc	VO18163603	-0.001	0.01	4.3	Passed
EJV2018TR003-R3	388750	Blanc	VO18163605	-0.001	0.02	2.3	Passed
EJV2018TR004-G3	388810	Blanc	VO18213918 (VO18247719)	-0.001 (-0.001)	0.19 (0.04)	87.1 (18.5)	Failed (Reassay Passed)
EJV2018TR005-R3	388830	Blanc	VO18163614	-0.001	0.02	7.5	Passed
EJV2018TR006-R4	388850	Blanc	VO18163617	0.002	0.01	2	Passed
EJV2018TR007-R1	388870	Blanc	VO18163694	-0.001	0.01	1.6	Passed
EJV2018TR007-R3	388890	Blanc	VO18163704	-0.001	0.01	5.9	Passed
EJV2018TR008-G1	388910	Blanc	VO18163711	-0.001	0.02	2.8	Passed

ITEM 9 SECONDARY ENVIRONMENT WORKS

During the summer 2018, a total of twenty (20) 15 kilograms basal till samples were collected for heavy mineral concentrate analysis and fine fraction analysis. In addition, thirty-three (33) 1 kilogram basal till samples were collected for fine fraction analysis.

9.1. Sampling

During summer 2018, a local sampling and a follow-up till sampling were carried out on two separate areas of the Eleonore JV's property. A total of 53 samples were collected.

A small follow up survey was undertaken on the north-east part of the property to better define a gold anomalous till from 2017. Twenty samples were collected for the follow-up survey. Those samples were collected in a 200-300 meters mesh. All the samples were collected from shallow pits (0.1m-1.5m) dug by the use of hand shovels. At all digging stations, a 15 kilograms sample, for the heavy mineral concentrate analysis, and a 1 kilograms sample, for the fine fraction analysis, were collected. Each sample location was recorded by a *Garmin 76x* hand held GPS (± 3 meters). A sample description was written

by a geologist or engineer on site. The samples were stored in double-layered plastic bag with secured numbering.

Also, a local one kilogram till survey was undertaken on the 2018 OreVision® grid, to better define the copper anomalies encountered previously. Thirty-three (33) samples were collected on a 200 meters mesh. All the samples were collected from shallow pits (0.1m-1.5m) dug by the use of hand shovels. At all digging stations, a 1 kilogram sample, for the fine fraction analysis, were collected. Each sample location was recorded by a *Garmin 76x* hand held GPS (± 3 meters). A sample description was written by a geologist or engineer on site. The samples were stored in double-layered plastic bag with secured numbering.

9.2. Sample processing and assays

Samples of 15kg were shipped to Overburden Drilling Management (ODM) (Ottawa, On.) for preparation of the non-magnetic heavy mineral concentrate using a shaking table, hand magnetic to remove magnetic minerals, and heavy liquid extraction (density >3.3 cc). The non-magnetic heavy mineral fraction (about 50 g) was then shipped to Actlabs (Ancaster, On.) for a multi-element analysis. These samples were analyzed by ActLabs analytical codes 3A and 3C, which consist in an atomic emission spectroscopy analysis (ICP-ES) with an aqua-regia digestion (Base metal elements – Ag, Cd, Cu, Mn, Mo, Ni, Pb, S, Zn) and a neutron activation analysis (INAA). The 1 kg samples were first sieved using a 63 micrometer mesh to get a fine fraction at Actlabs (Ancaster, On.). The fine fraction was analyzed using ActLabs analytical code 1H, which consists in an atomic emission spectrometry analysis (ICP-ES) following a four-acids digestion and a neutron activation analysis (INAA). All values from the two labs were then plotted into MapInfo GIS or ArcGIS software at Osisko Mining for interpretation of the results.

9.3. Results

The Eleonore JV area has generally a low gold background associated with the till samples. Some weak to moderate till anomalies were obtained from the 2016-2017 campaign. On the north-east part of the property, the 20 tills samples collected has the purpose of confirming and better defining a high potential gold area. Unfortunately, no till samples returned significant gold values (Figure 32).

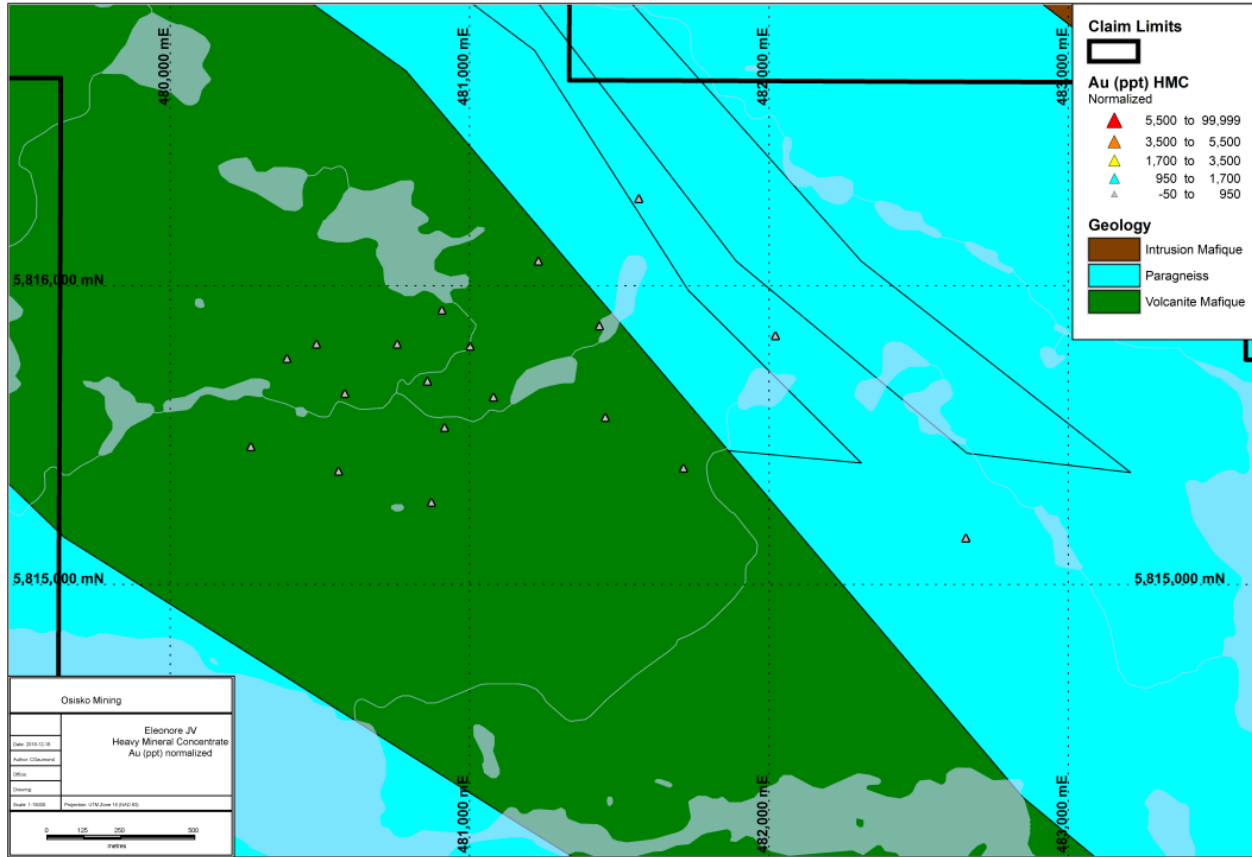


Figure 32: Gold (ppt) on HMC normalized to 15 kilogram till samples

A second till survey was completed on the OreVision® grid, where 33 tills were collected for fine fraction analysis. Results returned one major copper anomaly located around 450 meters down-ice of the known copper mineralization (Figure 32). The complete database of the till samples can be found in appendix 7, 8 and 9.

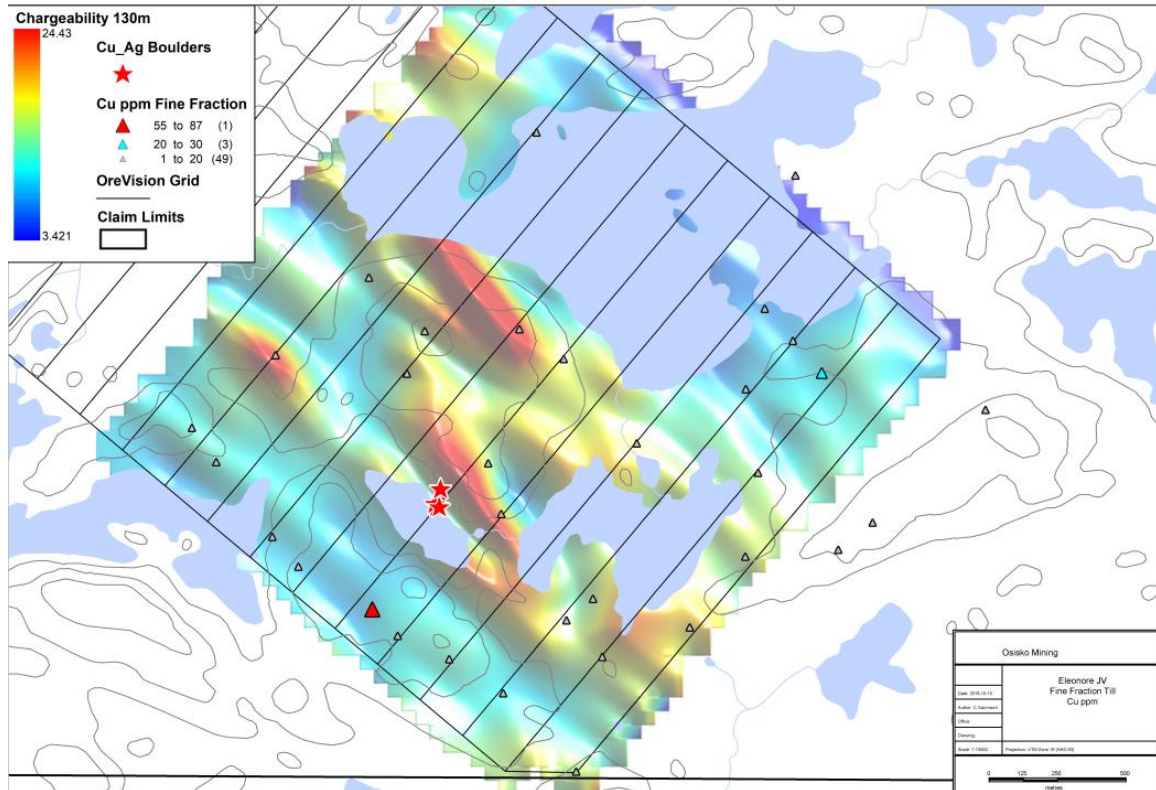


Figure 33: Copper (ppm) in fine fraction till survey on the OreVision® grid.

ITEM 10 INTERPRETATION AND CONCLUSIONS

The 2018 exploration program succeeded in identifying the source of the copper-bearing boulders discovered in 2016-2017. Indeed, a three meter wide mineralized zone was encountered on trench EJV2018TR004. Mineralization consists of 3-10% chalcopyrite and 1-2% malachite over 3 meters, that returned 0.9% copper, 54.3 g/t silver and 5.96 ppm molybdenum over 3 meters. Mineralization is hosted in an epidote altered diorite and is mainly controlled by main foliation. Although only one mineralized horizon was discovered, it is believed that several similar mineralized horizon may be present under the overburden. Locally, the overburden can be very thick, and the small excavator used on the campaign is often not enough to reach the bedrock.

The highly altered granodioritic rock found on trenches EJV2018TR007 and 008 is very interesting for copper porphyry potential. These trenches aimed to explain a chargeability anomaly nearby, but unveiled a highly altered zone instead. The chargeability in the area is still unexplained and increasingly interesting.

ITEM 11 RECOMMENDATIONS

With more and more interest in precious and base metal, ground exploration on high potential property is warranted. The Eleonore JV property is located on a nearly virgin territory. The property is also located on the famous Opinaca – Lagrande sub-provinces contact, which is host to a world class gold deposit.

Adding the 2018 field work to previous work on the property, the work accomplished up to date reveals a fairly good amount of information to establish a good understanding of the general geological context of the property.

The 2018 exploration program succeeded in identifying some mineralized zones and some high potential for mineralization zones. It is recommended to proceed with some additional surface exploration around the OreVision® grid to better define the diorite intrusion hosting most of the mineralization.

Since the fine fraction till analysis seem to respond well for copper exploration, a fine fraction basal till survey is also recommended around to OreVision® grid, aiming at unveiling more copper-silver anomalies nearby.

Finally, the highly altered granodiorite found on trenches EJV2018TR007 and 008, located next to a chargeability anomaly is very promising. Unfortunately, a thick overburden covers the bedrock. A fine fraction till survey would certainly better define the mineralized zone. It is also suggested to investigate the chargeability anomaly with a larger excavator or with diamond drilling survey.

ITEM 12 REFERENCES

Bandyayera, D., Fliszár, A., 2007. Géologie de la région de la baie Kasipasikatch (33C09) et du lac Janin (33C16). Ministère des Ressources Naturelles et Faune du Québec, RP2007-05, 15 p.

Bandyayera and Lacoste, 2009. Géologie de la région du lac de Rotis (33C10), du lac Bernou (33C11) et du lac Boyd (33C15). Ministère des Ressources Naturelles et Faune du Québec, RP2009-06, 15 p.

Bandyayera, D., P. Rhéaume, C. Maurice, É. Bédard, S. Morin and E.W. Sawyer, 2010. Synthèse géologique du secteur du Réservoir Opinaca, Baie-James. Ministère des Ressources naturelles et de la Faune du Québec, RG 2010-02, 46 pages, 1 map.

Franconi, A., 1978. La Bande Volcanosédimentaire de la Rivière Eastmain Inférieure. Ministère des Richesses Naturelles du Québec, DPV-574.

Hughes, C.J., 1973. Spilites, keratophyres and the igneous spectrum. *Geological Magazine*, v. 109, pp. 513-537.

Le Bas, M.J., Le Maître, R.W., Streckeisen, A.L. and Zanettin, B., 1986. A chemical classification of volcanic rocks based on the total alkali-silica diagram. *Journal of Petrology*, v. 27, pp. 745-750.

Low, A.P., 1897. Rapport sur des explorations faites dans la péninsule du Labrador, le long de la Grande rivière de l'est, des rivières Koksoak, Hamilton et Manicouagan et des parties d'autres rivières. Commission géologique du Canada; rapport annuel, volume 8, partie L, pages 237-239.

Middlemost, E.A.K., 1985. *Magmas and Magmatic Rocks. An Introduction to Igneous Petrology*. London, New York: Longman, 266 pages.

Ouellette, J-F., Poitras, S. 2007. Technical Report and Recommendations June 2006-July 2007 Exploration Program, Éléonore Régional Property, James Bay region, Québec, Canada. Technical Report. Virginia Mines Inc. GM63295.

Oswald, R. and Vachon, D., 2011. Technical Report and Recommendations October 2010-August 2011 Exploration and Drilling Programs, Éléonore Régional Property, James Bay region, Québec, Canada. Virginia Mines Inc. GM66169.

Poitras, S., 2010. Progress Report, June 2008-September 2010 Exploration Program

Éléonore Régional Property, James Bay region, Québec, Canada. Virginia Mines. GM65201.

Remick, J. H., 1977. Wemindji Area, Municipality of James Bay, Ministère des Richesses Naturelles, Quebec, Preliminary report (DPV-446).

Shaw, G., 1942. Eastmain preliminary map, Quebec. Geological Survey of Canada, Paper 42-10.

Trépanier, S., Mathieu, L. and Faure, S. Precursors predicted by artificial neural networks for mass balance calculation: Quantifying hydrothermal alteration in volcanic rocks. Computers and Geosciences, volume 89, April 2016, pages 32-43

Vachon, 2012. Progress Report June 2012-September 2012 Exploration Program, Éléonore Régional Property, James Bay region, Québec, Canada. Virginia Mines Inc. GM67091.

Vachon, 2014. Progress Report, August 2012-May 2014 Exploration Program, Éléonore Régional Property, James Bay region, Quebec, Canada. Virginia Mines Inc. GM68423.

Martin-Tanguay, B. and Stephens, M., 2018. Opinaca East project compilation report, (RS, plateau and South Block), Lower James Bay, Quebec. GM 70464.

Dated in Québec, Qc, this 12th day of December 2018.



Charles Gaumond, Geo. (OGQ No.1927)

Appendix 1: Claim List

NoClaim	SNRC	Superficie (HA)	Detenteur
2446037	33C16	52.09	Exploration Midland inc. (100%)
2446045	33C16	52.08	Exploration Midland inc. (100%)
2446071	33C16	52.06	Exploration Midland inc. (100%)
2446057	33C16	52.07	Exploration Midland inc. (100%)
2446041	33C16	52.09	Exploration Midland inc. (100%)
2446050	33C16	52.08	Exploration Midland inc. (100%)
2446051	33C16	52.08	Exploration Midland inc. (100%)
2446052	33C16	52.08	Exploration Midland inc. (100%)
2446056	33C16	52.07	Exploration Midland inc. (100%)
2446058	33C16	52.07	Exploration Midland inc. (100%)
2446059	33C16	52.07	Exploration Midland inc. (100%)
2446070	33C16	52.06	Exploration Midland inc. (100%)
2446046	33C16	52.08	Exploration Midland inc. (100%)
2446038	33C16	52.09	Exploration Midland inc. (100%)
2446039	33C16	52.09	Exploration Midland inc. (100%)
2446040	33C16	52.09	Exploration Midland inc. (100%)
2446047	33C16	52.08	Exploration Midland inc. (100%)
2446048	33C16	52.08	Exploration Midland inc. (100%)
2446049	33C16	52.08	Exploration Midland inc. (100%)
2446055	33C16	52.07	Exploration Midland inc. (100%)
2446060	33C16	52.07	Exploration Midland inc. (100%)
2446061	33C16	52.07	Exploration Midland inc. (100%)
2446062	33C16	52.07	Exploration Midland inc. (100%)
2446063	33C16	52.07	Exploration Midland inc. (100%)
2446074	33C16	52.06	Exploration Midland inc. (100%)
2446072	33C16	52.06	Exploration Midland inc. (100%)
2446073	33C16	52.06	Exploration Midland inc. (100%)
2446075	33C16	52.06	Exploration Midland inc. (100%)
2446077	33C16	52.05	Exploration Midland inc. (100%)
2446078	33C16	52.05	Exploration Midland inc. (100%)
2446079	33C16	52.05	Exploration Midland inc. (100%)
2446080	33C16	52.05	Exploration Midland inc. (100%)
2446084	33C16	52.04	Exploration Midland inc. (100%)
2446085	33C16	52.04	Exploration Midland inc. (100%)
2440428	33C16	52.04	Redevances Aurifères Osisko Ltée (100%)
2440394	33C16	52.06	Redevances Aurifères Osisko Ltée (100%)
2440392	33C16	52.07	Redevances Aurifères Osisko Ltée (100%)
2440393	33C16	52.06	Redevances Aurifères Osisko Ltée (100%)
2440395	33C16	52.06	Redevances Aurifères Osisko Ltée (100%)
2440411	33C16	52.05	Redevances Aurifères Osisko Ltée (100%)
2440412	33C16	52.05	Redevances Aurifères Osisko Ltée (100%)
2440427	33C16	52.04	Redevances Aurifères Osisko Ltée (100%)
2440429	33C16	52.04	Redevances Aurifères Osisko Ltée (100%)
2440430	33C16	52.04	Redevances Aurifères Osisko Ltée (100%)
2440396	33C16	52.06	Redevances Aurifères Osisko Ltée (100%)
2440397	33C16	52.06	Redevances Aurifères Osisko Ltée (100%)
2440413	33C16	52.05	Redevances Aurifères Osisko Ltée (100%)
2440414	33C16	52.05	Redevances Aurifères Osisko Ltée (100%)
2440415	33C16	52.05	Redevances Aurifères Osisko Ltée (100%)

NoClaim	SNRC	Superficie (HA)	Detenteur
2440416	33C16	52.05	Redevances Aurifères Osisko Ltée (100%)
2446097	33C16	52.02	Exploration Midland inc. (100%)
2440434	33C16	52.04	Redevances Aurifères Osisko Ltée (100%)
2440431	33C16	52.04	Redevances Aurifères Osisko Ltée (100%)
2440432	33C16	52.04	Redevances Aurifères Osisko Ltée (100%)
2440433	33C16	52.04	Redevances Aurifères Osisko Ltée (100%)
2446086	33C16	52.03	Exploration Midland inc. (100%)
2446087	33C16	52.03	Exploration Midland inc. (100%)
2446088	33C16	52.03	Exploration Midland inc. (100%)
2446110	33C16	52.01	Exploration Midland inc. (100%)
2446098	33C16	52.02	Exploration Midland inc. (100%)
2446099	33C16	52.02	Exploration Midland inc. (100%)
2446100	33C16	52.02	Exploration Midland inc. (100%)
2446101	33C16	52.02	Exploration Midland inc. (100%)
2446109	33C16	52.01	Exploration Midland inc. (100%)
2440435	33C16	52.04	Redevances Aurifères Osisko Ltée (100%)
2440436	33C16	52.04	Redevances Aurifères Osisko Ltée (100%)
2446089	33C16	52.03	Exploration Midland inc. (100%)
2446090	33C16	52.03	Exploration Midland inc. (100%)
2446091	33C16	52.03	Exploration Midland inc. (100%)
2446092	33C16	52.03	Exploration Midland inc. (100%)
2446111	33C16	52.01	Exploration Midland inc. (100%)
2446093	33C16	52.03	Exploration Midland inc. (100%)
2446094	33C16	52.03	Exploration Midland inc. (100%)
2446102	33C16	52.02	Exploration Midland inc. (100%)
2446103	33C16	52.02	Exploration Midland inc. (100%)
2446112	33C16	52.01	Exploration Midland inc. (100%)
2424056	33C09	52.18	Exploration Midland inc. (100%)
2424057	33C09	52.17	Exploration Midland inc. (100%)
2424060	33C09	52.18	Exploration Midland inc. (100%)
2424061	33C09	52.17	Exploration Midland inc. (100%)
2424062	33C09	52.17	Exploration Midland inc. (100%)
2424059	33C09	52.16	Exploration Midland inc. (100%)
2424065	33C09	52.16	Exploration Midland inc. (100%)
2424058	33C09	52.17	Exploration Midland inc. (100%)
2424063	33C09	52.17	Exploration Midland inc. (100%)
2424064	33C09	52.17	Exploration Midland inc. (100%)
2369306	33B12	52.35	Exploration Midland inc. (100%)
2369308	33B12	52.35	Exploration Midland inc. (100%)
2369309	33B12	52.34	Exploration Midland inc. (100%)
2369310	33B12	52.34	Exploration Midland inc. (100%)
2369311	33B12	52.34	Exploration Midland inc. (100%)
2369312	33B12	52.34	Exploration Midland inc. (100%)
2369313	33B12	52.34	Exploration Midland inc. (100%)
2369314	33B12	52.34	Exploration Midland inc. (100%)
2441157	33B12	52.39	Exploration Midland inc. (100%)
2441170	33B12	52.38	Exploration Midland inc. (100%)
2441398	33B12	52.37	Exploration Midland inc. (100%)
2441399	33B12	52.37	Exploration Midland inc. (100%)

NoClaim	SNRC	Superficie (HA)	Detenteur
2441401	33B12	52.37	Exploration Midland inc. (100%)
2441405	33B12	52.36	Exploration Midland inc. (100%)
2441406	33B12	52.36	Exploration Midland inc. (100%)
2441407	33B12	52.36	Exploration Midland inc. (100%)
2441408	33B12	52.36	Exploration Midland inc. (100%)
2369307	33B12	52.35	Exploration Midland inc. (100%)
2369303	33B12	52.35	Exploration Midland inc. (100%)
2369304	33B12	52.35	Exploration Midland inc. (100%)
2369305	33B12	52.35	Exploration Midland inc. (100%)
2441155	33B12	52.39	Exploration Midland inc. (100%)
2441154	33B12	52.39	Exploration Midland inc. (100%)
2441156	33B12	52.39	Exploration Midland inc. (100%)
2441167	33B12	52.38	Exploration Midland inc. (100%)
2441168	33B12	52.38	Exploration Midland inc. (100%)
2441169	33B12	52.38	Exploration Midland inc. (100%)
2441395	33B12	52.37	Exploration Midland inc. (100%)
2441396	33B12	52.37	Exploration Midland inc. (100%)
2441397	33B12	52.37	Exploration Midland inc. (100%)
2441402	33B12	52.36	Exploration Midland inc. (100%)
2441403	33B12	52.36	Exploration Midland inc. (100%)
2441404	33B12	52.36	Exploration Midland inc. (100%)
2441400	33B12	52.37	Exploration Midland inc. (100%)
2441441	33B12	52.37	Exploration Midland inc. (100%)
2441443	33B12	52.37	Exploration Midland inc. (100%)
2441445	33B12	52.37	Exploration Midland inc. (100%)
2441446	33B12	52.37	Exploration Midland inc. (100%)
2441447	33B12	52.36	Exploration Midland inc. (100%)
2441173	33B12	52.38	Exploration Midland inc. (100%)
2441158	33B12	52.39	Exploration Midland inc. (100%)
2441159	33B12	52.39	Exploration Midland inc. (100%)
2441160	33B12	52.39	Exploration Midland inc. (100%)
2441171	33B12	52.38	Exploration Midland inc. (100%)
2441172	33B12	52.38	Exploration Midland inc. (100%)
2441437	33B12	52.38	Exploration Midland inc. (100%)
2441438	33B12	52.38	Exploration Midland inc. (100%)
2441439	33B12	52.38	Exploration Midland inc. (100%)
2441440	33B12	52.38	Exploration Midland inc. (100%)
2441374	33B12	52.3	Exploration Midland inc. (100%)
2441358	33B12	52.32	Exploration Midland inc. (100%)
2441357	33B12	52.32	Exploration Midland inc. (100%)
2441359	33B12	52.32	Exploration Midland inc. (100%)
2441360	33B12	52.32	Exploration Midland inc. (100%)
2441365	33B12	52.31	Exploration Midland inc. (100%)
2441366	33B12	52.31	Exploration Midland inc. (100%)
2441367	33B12	52.31	Exploration Midland inc. (100%)
2441368	33B12	52.31	Exploration Midland inc. (100%)
2441442	33B12	52.37	Exploration Midland inc. (100%)
2441430	33B12	52.38	Exploration Midland inc. (100%)
2441431	33B12	52.38	Exploration Midland inc. (100%)

NoClaim	SNRC	Superficie (HA)	Detenteur
2441432	33B12	52.38	Exploration Midland inc. (100%)
2441489	33B12	52.38	Exploration Midland inc. (100%)
2441482	33B12	52.38	Exploration Midland inc. (100%)
2441483	33B12	52.38	Exploration Midland inc. (100%)
2441484	33B12	52.38	Exploration Midland inc. (100%)
2441488	33B12	52.37	Exploration Midland inc. (100%)
2441490	33B12	52.38	Exploration Midland inc. (100%)
2441500	33B12	52.37	Exploration Midland inc. (100%)
2441501	33B12	52.37	Exploration Midland inc. (100%)
2441480	33B12	52.38	Exploration Midland inc. (100%)
2441433	33B12	52.38	Exploration Midland inc. (100%)
2441444	33B12	52.37	Exploration Midland inc. (100%)
2441448	33B12	52.36	Exploration Midland inc. (100%)
2441479	33B12	52.38	Exploration Midland inc. (100%)
2441481	33B12	52.38	Exploration Midland inc. (100%)
2441485	33B12	52.37	Exploration Midland inc. (100%)
2441486	33B12	52.37	Exploration Midland inc. (100%)
2441487	33B12	52.37	Exploration Midland inc. (100%)
2441370	33B12	52.31	Exploration Midland inc. (100%)
2441361	33B12	52.32	Exploration Midland inc. (100%)
2441362	33B12	52.32	Exploration Midland inc. (100%)
2441363	33B12	52.32	Exploration Midland inc. (100%)
2441364	33B12	52.32	Exploration Midland inc. (100%)
2441369	33B12	52.31	Exploration Midland inc. (100%)
2441371	33B12	52.31	Exploration Midland inc. (100%)
2441372	33B12	52.3	Exploration Midland inc. (100%)
2441373	33B12	52.3	Exploration Midland inc. (100%)
2441531	33B12	52.4	Exploration Midland inc. (100%)
2441465	33B12	52.39	Exploration Midland inc. (100%)
2441464	33B12	52.39	Exploration Midland inc. (100%)
2441466	33B12	52.39	Exploration Midland inc. (100%)
2441467	33B12	52.39	Exploration Midland inc. (100%)
2441468	33B12	52.39	Exploration Midland inc. (100%)
2441469	33B12	52.39	Exploration Midland inc. (100%)
2441470	33B12	52.39	Exploration Midland inc. (100%)
2441513	33B12	52.36	Exploration Midland inc. (100%)
2441520	33B12	52.35	Exploration Midland inc. (100%)
2441521	33B12	52.35	Exploration Midland inc. (100%)
2441522	33B12	52.35	Exploration Midland inc. (100%)
2441502	33B12	52.37	Exploration Midland inc. (100%)
2441491	33B12	52.38	Exploration Midland inc. (100%)
2441492	33B12	52.38	Exploration Midland inc. (100%)
2441503	33B12	52.37	Exploration Midland inc. (100%)
2441504	33B12	52.37	Exploration Midland inc. (100%)
2441511	33B12	52.36	Exploration Midland inc. (100%)
2441519	33B12	52.35	Exploration Midland inc. (100%)
2441529	33B12	52.4	Exploration Midland inc. (100%)
2441530	33B12	52.4	Exploration Midland inc. (100%)
2441515	33B12	52.36	Exploration Midland inc. (100%)

NoClaim	SNRC	Superficie (HA)	Detenteur
2441525	33B12	52.35	Exploration Midland inc. (100%)
2441523	33B12	52.35	Exploration Midland inc. (100%)
2441524	33B12	52.35	Exploration Midland inc. (100%)
2441526	33B12	52.35	Exploration Midland inc. (100%)
2441527	33B12	52.35	Exploration Midland inc. (100%)
2441514	33B12	52.36	Exploration Midland inc. (100%)
2441493	33B12	52.38	Exploration Midland inc. (100%)
2441494	33B12	52.38	Exploration Midland inc. (100%)
2441495	33B12	52.38	Exploration Midland inc. (100%)
2441505	33B12	52.37	Exploration Midland inc. (100%)
2441506	33B12	52.37	Exploration Midland inc. (100%)
2441512	33B12	52.36	Exploration Midland inc. (100%)
2440211	33B12	52.42	Redevances Aurifères Osisko Ltée (100%)
2440252	33B12	52.41	Redevances Aurifères Osisko Ltée (100%)
2440253	33B12	52.41	Redevances Aurifères Osisko Ltée (100%)
2440161	33B12	52.43	Redevances Aurifères Osisko Ltée (100%)
2440162	33B12	52.43	Redevances Aurifères Osisko Ltée (100%)
2440204	33B12	52.42	Redevances Aurifères Osisko Ltée (100%)
2440205	33B12	52.42	Redevances Aurifères Osisko Ltée (100%)
2440206	33B12	52.42	Redevances Aurifères Osisko Ltée (100%)
2440207	33B12	52.42	Redevances Aurifères Osisko Ltée (100%)
2440246	33B12	52.41	Redevances Aurifères Osisko Ltée (100%)
2440247	33B12	52.41	Redevances Aurifères Osisko Ltée (100%)
2440248	33B12	52.41	Redevances Aurifères Osisko Ltée (100%)
2440249	33B12	52.41	Redevances Aurifères Osisko Ltée (100%)
2440250	33B12	52.41	Redevances Aurifères Osisko Ltée (100%)
2440251	33B12	52.41	Redevances Aurifères Osisko Ltée (100%)
2441471	33B12	52.39	Exploration Midland inc. (100%)
2441472	33B12	52.39	Exploration Midland inc. (100%)
2441473	33B12	52.39	Exploration Midland inc. (100%)
2441474	33B12	52.39	Exploration Midland inc. (100%)
2441532	33B12	52.4	Exploration Midland inc. (100%)
2441533	33B12	52.4	Exploration Midland inc. (100%)
2441534	33B12	52.4	Exploration Midland inc. (100%)
2441535	33B12	52.4	Exploration Midland inc. (100%)
2441536	33B12	52.4	Exploration Midland inc. (100%)
2441477	33B12	52.39	Exploration Midland inc. (100%)
2441475	33B12	52.39	Exploration Midland inc. (100%)
2441476	33B12	52.39	Exploration Midland inc. (100%)
2441478	33B12	52.39	Exploration Midland inc. (100%)
2441496	33B12	52.38	Exploration Midland inc. (100%)
2441497	33B12	52.38	Exploration Midland inc. (100%)
2441498	33B12	52.38	Exploration Midland inc. (100%)
2441499	33B12	52.38	Exploration Midland inc. (100%)
2441537	33B12	52.4	Exploration Midland inc. (100%)
2441538	33B12	52.4	Exploration Midland inc. (100%)
2441516	33B12	52.36	Exploration Midland inc. (100%)
2441508	33B12	52.37	Exploration Midland inc. (100%)
2441507	33B12	52.37	Exploration Midland inc. (100%)

NoClaim	SNRC	Superficie (HA)	Detenteur
2441509	33B12	52.37	Exploration Midland inc. (100%)
2441510	33B12	52.37	Exploration Midland inc. (100%)
2440042	33B06	52.46	Redevances Aurifères Osisko Ltée (100%)
2440081	33B06	52.45	Redevances Aurifères Osisko Ltée (100%)
2440083	33B06	52.45	Redevances Aurifères Osisko Ltée (100%)
2440208	33B12	52.42	Redevances Aurifères Osisko Ltée (100%)
2439953	33B05	52.44	Redevances Aurifères Osisko Ltée (100%)
2439920	33B05	52.45	Redevances Aurifères Osisko Ltée (100%)
2439954	33B05	52.44	Redevances Aurifères Osisko Ltée (100%)
2439955	33B05	52.44	Redevances Aurifères Osisko Ltée (100%)
2440163	33B12	52.43	Redevances Aurifères Osisko Ltée (100%)
2440164	33B12	52.43	Redevances Aurifères Osisko Ltée (100%)
2440165	33B12	52.43	Redevances Aurifères Osisko Ltée (100%)
2440209	33B12	52.42	Redevances Aurifères Osisko Ltée (100%)
2440210	33B12	52.42	Redevances Aurifères Osisko Ltée (100%)
2440099	33B11	52.38	Redevances Aurifères Osisko Ltée (100%)
2440100	33B11	52.38	Redevances Aurifères Osisko Ltée (100%)
2440102	33B11	52.37	Redevances Aurifères Osisko Ltée (100%)
2440103	33B11	52.37	Redevances Aurifères Osisko Ltée (100%)
2440104	33B11	52.37	Redevances Aurifères Osisko Ltée (100%)
2440092	33B11	52.41	Redevances Aurifères Osisko Ltée (100%)
2440087	33B11	52.42	Redevances Aurifères Osisko Ltée (100%)
2440089	33B11	52.42	Redevances Aurifères Osisko Ltée (100%)
2440090	33B11	52.41	Redevances Aurifères Osisko Ltée (100%)
2440091	33B11	52.41	Redevances Aurifères Osisko Ltée (100%)
2440093	33B11	52.4	Redevances Aurifères Osisko Ltée (100%)
2440095	33B11	52.4	Redevances Aurifères Osisko Ltée (100%)
2442861	33B11	52.41	Redevances Aurifères Osisko Ltée (100%)
2440088	33B11	52.42	Redevances Aurifères Osisko Ltée (100%)
2442829	33B11	52.43	Redevances Aurifères Osisko Ltée (100%)
2442847	33B11	52.42	Redevances Aurifères Osisko Ltée (100%)
2440079	33B06	52.46	Redevances Aurifères Osisko Ltée (100%)
2440037	33B06	52.47	Redevances Aurifères Osisko Ltée (100%)
2440038	33B06	52.47	Redevances Aurifères Osisko Ltée (100%)
2440039	33B06	52.47	Redevances Aurifères Osisko Ltée (100%)
2440043	33B06	52.46	Redevances Aurifères Osisko Ltée (100%)
2440077	33B06	52.47	Redevances Aurifères Osisko Ltée (100%)
2440080	33B06	52.46	Redevances Aurifères Osisko Ltée (100%)
2442977	33B06	52.46	Redevances Aurifères Osisko Ltée (100%)
2440027	33B06	52.48	Redevances Aurifères Osisko Ltée (100%)
2440041	33B06	52.46	Redevances Aurifères Osisko Ltée (100%)
2443017	33B06	52.44	Redevances Aurifères Osisko Ltée (100%)
2442830	33B11	52.43	Redevances Aurifères Osisko Ltée (100%)
2442831	33B11	52.43	Redevances Aurifères Osisko Ltée (100%)
2442848	33B11	52.42	Redevances Aurifères Osisko Ltée (100%)
2442849	33B11	52.42	Redevances Aurifères Osisko Ltée (100%)
2442850	33B11	52.42	Redevances Aurifères Osisko Ltée (100%)
2442851	33B11	52.42	Redevances Aurifères Osisko Ltée (100%)
2443016	33B06	52.44	Redevances Aurifères Osisko Ltée (100%)

NoClaim	SNRC	Superficie (HA)	Detenteur
2443018	33B06	52.44	Redevances Aurifères Osisko Ltée (100%)
2440082	33B06	52.45	Redevances Aurifères Osisko Ltée (100%)
2440084	33B06	52.44	Redevances Aurifères Osisko Ltée (100%)
2440085	33B06	52.44	Redevances Aurifères Osisko Ltée (100%)
2440086	33B06	52.44	Redevances Aurifères Osisko Ltée (100%)
2443023	33B06	52.44	Redevances Aurifères Osisko Ltée (100%)
2442837	33B11	52.43	Redevances Aurifères Osisko Ltée (100%)
2442832	33B11	52.43	Redevances Aurifères Osisko Ltée (100%)
2442833	33B11	52.43	Redevances Aurifères Osisko Ltée (100%)
2442834	33B11	52.43	Redevances Aurifères Osisko Ltée (100%)
2442835	33B11	52.43	Redevances Aurifères Osisko Ltée (100%)
2442836	33B11	52.43	Redevances Aurifères Osisko Ltée (100%)
2442838	33B11	52.43	Redevances Aurifères Osisko Ltée (100%)
2440101	33B11	52.38	Redevances Aurifères Osisko Ltée (100%)
2440096	33B11	52.39	Redevances Aurifères Osisko Ltée (100%)
2440094	33B11	52.4	Redevances Aurifères Osisko Ltée (100%)
2440097	33B11	52.39	Redevances Aurifères Osisko Ltée (100%)
2440098	33B11	52.39	Redevances Aurifères Osisko Ltée (100%)
2439989	33B06	52.52	Redevances Aurifères Osisko Ltée (100%)
2439991	33B06	52.52	Redevances Aurifères Osisko Ltée (100%)
2440000	33B06	52.51	Redevances Aurifères Osisko Ltée (100%)
2440001	33B06	52.51	Redevances Aurifères Osisko Ltée (100%)
2440003	33B06	52.51	Redevances Aurifères Osisko Ltée (100%)
2440061	33B06	52.52	Redevances Aurifères Osisko Ltée (100%)
2440067	33B06	52.51	Redevances Aurifères Osisko Ltée (100%)
2440073	33B06	52.49	Redevances Aurifères Osisko Ltée (100%)
2440074	33B06	52.49	Redevances Aurifères Osisko Ltée (100%)
2442900	33B06	52.49	Redevances Aurifères Osisko Ltée (100%)
2440025	33B06	52.49	Redevances Aurifères Osisko Ltée (100%)
2440012	33B06	52.5	Redevances Aurifères Osisko Ltée (100%)
2440013	33B06	52.5	Redevances Aurifères Osisko Ltée (100%)
2440014	33B06	52.5	Redevances Aurifères Osisko Ltée (100%)
2440024	33B06	52.49	Redevances Aurifères Osisko Ltée (100%)
2440033	33B06	52.48	Redevances Aurifères Osisko Ltée (100%)
2440075	33B06	52.48	Redevances Aurifères Osisko Ltée (100%)
2440076	33B06	52.48	Redevances Aurifères Osisko Ltée (100%)
2442924	33B06	52.48	Redevances Aurifères Osisko Ltée (100%)
2442925	33B06	52.48	Redevances Aurifères Osisko Ltée (100%)
2442926	33B06	52.48	Redevances Aurifères Osisko Ltée (100%)
2442927	33B06	52.48	Redevances Aurifères Osisko Ltée (100%)
2442956	33B06	52.47	Redevances Aurifères Osisko Ltée (100%)
2442952	33B06	52.47	Redevances Aurifères Osisko Ltée (100%)
2442953	33B06	52.47	Redevances Aurifères Osisko Ltée (100%)
2442954	33B06	52.47	Redevances Aurifères Osisko Ltée (100%)
2442955	33B06	52.47	Redevances Aurifères Osisko Ltée (100%)
2442981	33B06	52.46	Redevances Aurifères Osisko Ltée (100%)
2440078	33B06	52.47	Redevances Aurifères Osisko Ltée (100%)
2442951	33B06	52.47	Redevances Aurifères Osisko Ltée (100%)
2442978	33B06	52.46	Redevances Aurifères Osisko Ltée (100%)

NoClaim	SNRC	Superficie (HA)	Detenteur
2442979	33B06	52.46	Redevances Aurifères Osisko Ltée (100%)
2442980	33B06	52.46	Redevances Aurifères Osisko Ltée (100%)
2442982	33B06	52.46	Redevances Aurifères Osisko Ltée (100%)
2442983	33B06	52.46	Redevances Aurifères Osisko Ltée (100%)
2442984	33B06	52.46	Redevances Aurifères Osisko Ltée (100%)
2443001	33B06	52.45	Redevances Aurifères Osisko Ltée (100%)
2443002	33B06	52.45	Redevances Aurifères Osisko Ltée (100%)
2443003	33B06	52.45	Redevances Aurifères Osisko Ltée (100%)
2443004	33B06	52.45	Redevances Aurifères Osisko Ltée (100%)
2443005	33B06	52.45	Redevances Aurifères Osisko Ltée (100%)
2443022	33B06	52.44	Redevances Aurifères Osisko Ltée (100%)
2443000	33B06	52.45	Redevances Aurifères Osisko Ltée (100%)
2443019	33B06	52.44	Redevances Aurifères Osisko Ltée (100%)
2443020	33B06	52.44	Redevances Aurifères Osisko Ltée (100%)
2443021	33B06	52.44	Redevances Aurifères Osisko Ltée (100%)
2439965	33B06	52.54	Redevances Aurifères Osisko Ltée (100%)
2439966	33B06	52.54	Redevances Aurifères Osisko Ltée (100%)
2439967	33B06	52.54	Redevances Aurifères Osisko Ltée (100%)
2439976	33B06	52.53	Redevances Aurifères Osisko Ltée (100%)
2439977	33B06	52.53	Redevances Aurifères Osisko Ltée (100%)
2439978	33B06	52.53	Redevances Aurifères Osisko Ltée (100%)
2439979	33B06	52.53	Redevances Aurifères Osisko Ltée (100%)
2440044	33B06	52.54	Redevances Aurifères Osisko Ltée (100%)
2440053	33B06	52.53	Redevances Aurifères Osisko Ltée (100%)
2442899	33B06	52.49	Redevances Aurifères Osisko Ltée (100%)
2440015	33B06	52.5	Redevances Aurifères Osisko Ltée (100%)
2440071	33B06	52.5	Redevances Aurifères Osisko Ltée (100%)
2440072	33B06	52.5	Redevances Aurifères Osisko Ltée (100%)
2442987	33B06	52.46	Redevances Aurifères Osisko Ltée (100%)
2442988	33B06	52.46	Redevances Aurifères Osisko Ltée (100%)
2442989	33B06	52.46	Redevances Aurifères Osisko Ltée (100%)
2442928	33B06	52.48	Redevances Aurifères Osisko Ltée (100%)
2442957	33B06	52.47	Redevances Aurifères Osisko Ltée (100%)
2442958	33B06	52.47	Redevances Aurifères Osisko Ltée (100%)
2442985	33B06	52.46	Redevances Aurifères Osisko Ltée (100%)
2442986	33B06	52.46	Redevances Aurifères Osisko Ltée (100%)
2443006	33B06	52.45	Redevances Aurifères Osisko Ltée (100%)
2443024	33B06	52.44	Redevances Aurifères Osisko Ltée (100%)
2440002	33B06	52.51	Redevances Aurifères Osisko Ltée (100%)
2439990	33B06	52.52	Redevances Aurifères Osisko Ltée (100%)
2439988	33B06	52.52	Redevances Aurifères Osisko Ltée (100%)
2440052	33B06	52.54	Redevances Aurifères Osisko Ltée (100%)
2456420	33B06	52.5	Exploration Midland inc. (100%)
2440062	33B06	52.52	Redevances Aurifères Osisko Ltée (100%)
2440063	33B06	52.52	Redevances Aurifères Osisko Ltée (100%)
2440064	33B06	52.52	Redevances Aurifères Osisko Ltée (100%)
2442901	33B06	52.49	Redevances Aurifères Osisko Ltée (100%)
2442902	33B06	52.49	Redevances Aurifères Osisko Ltée (100%)
2442929	33B06	52.48	Redevances Aurifères Osisko Ltée (100%)

NoClaim	SNRC	Superficie (HA)	Detenteur
2456421	33B06	52.5	Exploration Midland inc. (100%)
2442959	33B06	52.47	Redevances Aurifères Osisko Ltée (100%)
2442960	33B06	52.47	Redevances Aurifères Osisko Ltée (100%)
2442961	33B06	52.47	Redevances Aurifères Osisko Ltée (100%)
2442962	33B06	52.47	Redevances Aurifères Osisko Ltée (100%)
2456425	33B06	52.5	Exploration Midland inc. (100%)
2456426	33B06	52.5	Exploration Midland inc. (100%)
2442909	33B06	52.49	Redevances Aurifères Osisko Ltée (100%)
2442905	33B06	52.49	Redevances Aurifères Osisko Ltée (100%)
2442906	33B06	52.49	Redevances Aurifères Osisko Ltée (100%)
2442907	33B06	52.49	Redevances Aurifères Osisko Ltée (100%)
2442908	33B06	52.49	Redevances Aurifères Osisko Ltée (100%)
2442910	33B06	52.49	Redevances Aurifères Osisko Ltée (100%)
2442911	33B06	52.49	Redevances Aurifères Osisko Ltée (100%)
2456410	33B06	52.51	Exploration Midland inc. (100%)
2440068	33B06	52.51	Redevances Aurifères Osisko Ltée (100%)
2440069	33B06	52.51	Redevances Aurifères Osisko Ltée (100%)
2440070	33B06	52.51	Redevances Aurifères Osisko Ltée (100%)
2456396	33B06	52.53	Exploration Midland inc. (100%)
2456397	33B06	52.53	Exploration Midland inc. (100%)
2456398	33B06	52.53	Exploration Midland inc. (100%)
2456399	33B06	52.53	Exploration Midland inc. (100%)
2456400	33B06	52.53	Exploration Midland inc. (100%)
2456401	33B06	52.53	Exploration Midland inc. (100%)
2440050	33B06	52.54	Redevances Aurifères Osisko Ltée (100%)
2440045	33B06	52.54	Redevances Aurifères Osisko Ltée (100%)
2440046	33B06	52.54	Redevances Aurifères Osisko Ltée (100%)
2440047	33B06	52.54	Redevances Aurifères Osisko Ltée (100%)
2440048	33B06	52.54	Redevances Aurifères Osisko Ltée (100%)
2440049	33B06	52.54	Redevances Aurifères Osisko Ltée (100%)
2440051	33B06	52.54	Redevances Aurifères Osisko Ltée (100%)
2456404	33B06	52.52	Exploration Midland inc. (100%)
2456405	33B06	52.52	Exploration Midland inc. (100%)
2456406	33B06	52.52	Exploration Midland inc. (100%)
2456407	33B06	52.52	Exploration Midland inc. (100%)
2456408	33B06	52.52	Exploration Midland inc. (100%)
2456409	33B06	52.52	Exploration Midland inc. (100%)
2440058	33B06	52.53	Redevances Aurifères Osisko Ltée (100%)
2440054	33B06	52.53	Redevances Aurifères Osisko Ltée (100%)
2440055	33B06	52.53	Redevances Aurifères Osisko Ltée (100%)
2440056	33B06	52.53	Redevances Aurifères Osisko Ltée (100%)
2440057	33B06	52.53	Redevances Aurifères Osisko Ltée (100%)
2440059	33B06	52.53	Redevances Aurifères Osisko Ltée (100%)
2440060	33B06	52.53	Redevances Aurifères Osisko Ltée (100%)
2442934	33B06	52.48	Redevances Aurifères Osisko Ltée (100%)
2442964	33B06	52.47	Redevances Aurifères Osisko Ltée (100%)
2442966	33B06	52.47	Redevances Aurifères Osisko Ltée (100%)
2442967	33B06	52.47	Redevances Aurifères Osisko Ltée (100%)
2443007	33B06	52.45	Redevances Aurifères Osisko Ltée (100%)

NoClaim	SNRC	Superficie (HA)	Detenteur
2456423	33B06	52.5	Exploration Midland inc. (100%)
2442932	33B06	52.48	Redevances Aurifères Osisko Ltée (100%)
2442903	33B06	52.49	Redevances Aurifères Osisko Ltée (100%)
2442904	33B06	52.49	Redevances Aurifères Osisko Ltée (100%)
2442930	33B06	52.48	Redevances Aurifères Osisko Ltée (100%)
2442931	33B06	52.48	Redevances Aurifères Osisko Ltée (100%)
2456422	33B06	52.5	Exploration Midland inc. (100%)
2456424	33B06	52.5	Exploration Midland inc. (100%)
2456411	33B06	52.51	Exploration Midland inc. (100%)
2456412	33B06	52.51	Exploration Midland inc. (100%)
2456413	33B06	52.51	Exploration Midland inc. (100%)
2456414	33B06	52.51	Exploration Midland inc. (100%)
2456415	33B06	52.51	Exploration Midland inc. (100%)
2456416	33B06	52.51	Exploration Midland inc. (100%)
2456417	33B06	52.51	Exploration Midland inc. (100%)
2456418	33B06	52.51	Exploration Midland inc. (100%)
2456419	33B06	52.51	Exploration Midland inc. (100%)
2440066	33B06	52.52	Redevances Aurifères Osisko Ltée (100%)
2440065	33B06	52.52	Redevances Aurifères Osisko Ltée (100%)
2456402	33B06	52.52	Exploration Midland inc. (100%)
2456403	33B06	52.52	Exploration Midland inc. (100%)
2442840	33B11	52.43	Redevances Aurifères Osisko Ltée (100%)
2442841	33B11	52.43	Redevances Aurifères Osisko Ltée (100%)
2442842	33B11	52.43	Redevances Aurifères Osisko Ltée (100%)
2442854	33B11	52.42	Redevances Aurifères Osisko Ltée (100%)
2442855	33B11	52.42	Redevances Aurifères Osisko Ltée (100%)
2442856	33B11	52.42	Redevances Aurifères Osisko Ltée (100%)
2442864	33B11	52.41	Redevances Aurifères Osisko Ltée (100%)
2442865	33B11	52.41	Redevances Aurifères Osisko Ltée (100%)
2442866	33B11	52.41	Redevances Aurifères Osisko Ltée (100%)
2442867	33B11	52.41	Redevances Aurifères Osisko Ltée (100%)
2442965	33B06	52.47	Redevances Aurifères Osisko Ltée (100%)
2442963	33B06	52.47	Redevances Aurifères Osisko Ltée (100%)
2442933	33B06	52.48	Redevances Aurifères Osisko Ltée (100%)
2456430	33B06	52.5	Exploration Midland inc. (100%)
2456427	33B06	52.5	Exploration Midland inc. (100%)
2456428	33B06	52.5	Exploration Midland inc. (100%)
2456429	33B06	52.5	Exploration Midland inc. (100%)
2456431	33B06	52.5	Exploration Midland inc. (100%)
2442939	33B06	52.48	Redevances Aurifères Osisko Ltée (100%)
2442935	33B06	52.48	Redevances Aurifères Osisko Ltée (100%)
2442936	33B06	52.48	Redevances Aurifères Osisko Ltée (100%)
2442937	33B06	52.48	Redevances Aurifères Osisko Ltée (100%)
2442938	33B06	52.48	Redevances Aurifères Osisko Ltée (100%)
2442940	33B06	52.48	Redevances Aurifères Osisko Ltée (100%)
2442941	33B06	52.48	Redevances Aurifères Osisko Ltée (100%)
2442860	33B11	52.42	Redevances Aurifères Osisko Ltée (100%)
2442846	33B11	52.43	Redevances Aurifères Osisko Ltée (100%)
2442843	33B11	52.43	Redevances Aurifères Osisko Ltée (100%)

NoClaim	SNRC	Superficie (HA)	Detenteur
2442844	33B11	52.43	Redevances Aurifères Osisko Ltée (100%)
2442845	33B11	52.43	Redevances Aurifères Osisko Ltée (100%)
2442858	33B11	52.42	Redevances Aurifères Osisko Ltée (100%)
2442859	33B11	52.42	Redevances Aurifères Osisko Ltée (100%)
2443025	33B06	52.44	Redevances Aurifères Osisko Ltée (100%)
2443026	33B06	52.44	Redevances Aurifères Osisko Ltée (100%)
2443027	33B06	52.44	Redevances Aurifères Osisko Ltée (100%)
2442870	33B11	52.41	Redevances Aurifères Osisko Ltée (100%)
2442857	33B11	52.42	Redevances Aurifères Osisko Ltée (100%)
2442868	33B11	52.41	Redevances Aurifères Osisko Ltée (100%)
2442869	33B11	52.41	Redevances Aurifères Osisko Ltée (100%)
2443030	33B06	52.44	Redevances Aurifères Osisko Ltée (100%)
2443012	33B06	52.45	Redevances Aurifères Osisko Ltée (100%)
2442990	33B06	52.46	Redevances Aurifères Osisko Ltée (100%)
2443008	33B06	52.45	Redevances Aurifères Osisko Ltée (100%)
2443009	33B06	52.45	Redevances Aurifères Osisko Ltée (100%)
2443010	33B06	52.45	Redevances Aurifères Osisko Ltée (100%)
2443011	33B06	52.45	Redevances Aurifères Osisko Ltée (100%)
2443013	33B06	52.45	Redevances Aurifères Osisko Ltée (100%)
2443014	33B06	52.45	Redevances Aurifères Osisko Ltée (100%)
2443015	33B06	52.45	Redevances Aurifères Osisko Ltée (100%)
2442918	33B06	52.49	Redevances Aurifères Osisko Ltée (100%)
2442912	33B06	52.49	Redevances Aurifères Osisko Ltée (100%)
2442913	33B06	52.49	Redevances Aurifères Osisko Ltée (100%)
2442914	33B06	52.49	Redevances Aurifères Osisko Ltée (100%)
2442915	33B06	52.49	Redevances Aurifères Osisko Ltée (100%)
2442916	33B06	52.49	Redevances Aurifères Osisko Ltée (100%)
2442917	33B06	52.49	Redevances Aurifères Osisko Ltée (100%)
2442888	33B06	52.5	Redevances Aurifères Osisko Ltée (100%)
2442889	33B06	52.5	Redevances Aurifères Osisko Ltée (100%)
2442890	33B06	52.5	Redevances Aurifères Osisko Ltée (100%)
2442891	33B06	52.5	Redevances Aurifères Osisko Ltée (100%)
2442892	33B06	52.5	Redevances Aurifères Osisko Ltée (100%)
2442976	33B06	52.47	Redevances Aurifères Osisko Ltée (100%)
2442996	33B06	52.46	Redevances Aurifères Osisko Ltée (100%)
2442991	33B06	52.46	Redevances Aurifères Osisko Ltée (100%)
2442992	33B06	52.46	Redevances Aurifères Osisko Ltée (100%)
2442993	33B06	52.46	Redevances Aurifères Osisko Ltée (100%)
2442994	33B06	52.46	Redevances Aurifères Osisko Ltée (100%)
2442995	33B06	52.46	Redevances Aurifères Osisko Ltée (100%)
2442997	33B06	52.46	Redevances Aurifères Osisko Ltée (100%)
2442998	33B06	52.46	Redevances Aurifères Osisko Ltée (100%)
2442999	33B06	52.46	Redevances Aurifères Osisko Ltée (100%)
2443031	33B06	52.44	Redevances Aurifères Osisko Ltée (100%)
2443028	33B06	52.44	Redevances Aurifères Osisko Ltée (100%)
2443029	33B06	52.44	Redevances Aurifères Osisko Ltée (100%)
2442943	33B06	52.48	Redevances Aurifères Osisko Ltée (100%)
2442944	33B06	52.48	Redevances Aurifères Osisko Ltée (100%)
2442945	33B06	52.48	Redevances Aurifères Osisko Ltée (100%)

Appendix 2 : Abbreviation List



Gouvernement du Québec
Ministère des Ressources naturelles
Direction de la géologie

Légende générale de la carte géologique

- Édition revue et augmentée -

Kamal N.M. Sharma
coordonnateur



SÉRIE DES MANUSCRITS BRUTS

MB 96-28

Tableau 5 — Roches felsiques / acides

ROCHES FELSIQUES / ACIDES 1			
I1 ROCHES INTRUSIVES FELSIQUES		ROCHES VOLCANIQUES FELSIQUES V1	
I1A Granite à feldspath alcalin	←	→ Rhyolite à feldspath alcalin	V1A
I1B Granite	←	→ Rhyolite	V1B
I1C Granodiorite	←	→ Rhyodacite	V1C
I1D Tonalite	←	→ Dacite	V1D
I1E Trondhjémite		Rhyolite comenditique	V1BC
I1F Aplite		Rhyolite pantelléritique	V1BP
I1G Pegmatite (granitique)		Trachydacite	V1E
I1H Granophyre			
I1I Granitoïde riche en quartz			
I1J Quartzolite (silexite)			
I1K Alaskite			
I1L Syéno-granite			
I1M Monzo-granite			
I1N Filon / veine de quartz			
I1O Granite à feldspath alcalin avec hypersthène (charnockite à feldspath alcalin)			
I1P Granite à hypersthène (charnockite)			
I1Q Syéno-granite à hypersthène			
I1R Monzo-granite à hypersthène (farsundite)			
I1S Granodiorite à hypersthène (opdalite ou charno-enderbite)			
I1T Tonalite à hypersthène (enderbite)			

←→ indique les termes intrusifs et volcaniques équivalents

Tableau 6 — Roches intermédiaires

ROCHES INTERMÉDIAIRES 2			
I2 ROCHES INTRUSIVES INTERMÉDIAIRES		ROCHES VOLCANIQUES INTERMÉDIAIRES V2	
I2A	Syénite quartzifère à feldspath alcalin	← →	Trachyte quartzifère à feldspath alcalin V2A
I2B	Syénite à feldspath alcalin	← →	Trachyte à feldspath alcalin V2B
I2C	Syénite quartzifère	← →	Trachyte quartzifère V2C
I2D	Syénite	← →	Trachyte V2D
I2E	Monzonite quartzifère	← →	Latite quartzifère V2E
I2F	Monzonite	← →	Latite V2FL
I2G	Monzodiorite quartzifère	← →	(Andésite) (V2J)
I2H	Monzodiorite	← →	(Andésite) (V2J)
I2I	Diorite quartzifère	← →	(Andésite) (V2J)
I2J	Diorite	← →	Andésite V2J
I2K	Monzosyénite		Icelandite V2JI
I2BR	Syénite foïdifère à feldspath alcalin		Trachyte foïdifère à feldspath alcalin V2BR
I2DR	Syénite foïdifère		Trachyte foïdifère V2DR
I2DF	Syénite foïdique		Phonolite V2G
I2KF	Monzosyénite foïdique		Phonolite téphritique V2GT
I2FR	Monzonite foïdifère		Latite foïdifère V2LR
I2HR	Monzodiorite foïdifère		Trachyandesite V2F
I2HF	Monzodiorite foïdique		Benmoreïte V2FB
I2JR	Diorite foïdifère		Trachyte comenditique V2DC
I2JF	Diorite foïdique		Trachyte pantelléritique V2DP
I2M	Syénite à feldspath alcalin avec hypersthène		
I2N	Syénite à hypersthène		
I2O	Monzonite à hypersthène (mangérite)		
I2P	Monzodiorite à hypersthène (jotunite)		
I2Q	Diorite à hypersthène		

←→ indique les termes intrusifs et volcaniques équivalents

Foïdifère : Feldspathoïdifère

Foïdique : Feldspathoïdique

Tableau 7 — Roches mafiques / basiques

ROCHES MAFIQUES / BASIQUES 3			
I3	ROCHES INTRUSIVES MAFIQUES	ROCHES VOLCANIQUES MAFIQUES	V3
I3A	Gabbro	Basalte andésitique/Andésite basaltique	V3A
I3B	Diabase	Icelandite basaltique	V3AI
I3C	Monzogabbro	Basalte	V3B
I3D	Ferrogabbro	Basalte à quartz	V3C
I3E	Gabbro à quartz	Trachybasalte	V3D
I3F	Diabase à quartz	Hawaiite	V3DH
I3G	Anorthosite	Trachybasalte potassique	V3DK
I3H	Anorthosite gabbroïque	Basalte à olivine	V3E
I3I	Gabbro anorthositique	Basalte magnésien (> 9 % MgO)	V3F
I3J	Norite	Trachyandésite basaltique	V3G
I3P	Leuconorite	Mugéarite	V3GM
I3K	Gabbro à olivine	Shoshonite	V3GS
I3L	Norite à olivine	Basanite	V3H
I3M	Diabase à olivine	Basanite phonolitique	V3HP
I3N	Troctolite	Téphrite	V3I
I3O	Lamprophyre mafique	Téphrite phonolitique	V3IP
I3OM	Minette	Boninite	V3J
I3OK	Kersantite		
I3OV	Vogesite		
I3OS	Spessartite		
I3CQ	Monzogabbro quartzifère		
I3CR	Monzogabbro foïdifère		
I3CF	Monzogabbro foïdique		
I3AR	Gabbro foïdifère		
I3AF	Gabbro foïdique		
I3GQ	Anorthosite quartzifère		
I3GR	Anorthosite foïdifère		
I3Q	Gabbronorite		
I3R	Gabbronorite à olivine		
I3S	Monzonorite		
I3T	Anorthosite à hypersthène		

Tableau 8 — Roches ultramafiques et ultrabasiques

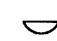
ROCHES ULTRAMAFIQUES ET ULTRABASIQUES 4			
I4 ROCHES INTRUSIVES ULTRAMAFIQUES / ULTRABASIQUES		ROCHES VOLCANIQUES V4 ULTRAMAFIQUES / ULTRABASIQUES	
I4A	Hornblendite	Komatiite (> 18 % MgO)	V4A
I4B	Pyroxénite		
I4C	Clinopyroxénite	Komatiite pyroxénitique	V4B
I4D	Webstérite		
I4E	Orthopyroxénite	Komatiite péridotitique	V4C
I4F	Clinopyroxénite à olivine		
I4G	Webstérite à olivine	Komatiite dunitique	V4D
I4H	Orthopyroxénite à olivine		
I4I	Péridotite	Meimechite	V4E
I4J	Wehrlite		
I4K	Lherzolite	Melilitite	V4F
I4L	Harzburgite		
I4M	Dunite	Melilitite à olivine	V4FO
I4N	Serpentinite		
I4O	Lamprophyre ultramafique	Roche volcanique ultramafique à melilite	V4M
I4OS	Sannaïte		
I4OC	Camptonite	Picrobasalte	V4G
I4OM	Monchiquite		
I4OP	Polzenite	Picrite	V4H
I4OA	Alnöite		
I4P	Kimberlite	Foïdite	V4I
I4PA	Kimberlite (groupe I)		
I4PB	Kimberlite (groupe II)	Néphéline	V4IN
I4Q	Carbonatite		
I4QM	Magnésiocarbonatite	Foïdite phonolitique	V4IP
I4QC	Calciocarbonatite		
I4QF	Ferrocronatite	Foïdite téphritique	V4IT
I4QA	Aillikites		
I4QD	Damtjernites (Damkjernites)		
I4R	Lamproïte		
I4S	Foïdolite		
I4T	Melilitolite		

< 10 % de plagioclase (PG) est toléré dans les roches ultramafiques. Lorsque observé, indiquer sa présence par «PG».

Tableau 9 — Volcanites explosives

VOLCANITES EXPLOSIVES		
▼	Pyroclastites/tuf - indifférenciés	TU
▼ _x	Tuf à cristaux	TX
▼ _r	Tuf lithique	TI
▼ _l	Tuf à lapilli	TL
▼ _{ls}	Lapillistone	TO
▼ _b	Tuf à blocs	TM
▼ _{lb}	Tuf à lapilli et à blocs	TY
▼ _{bl}	Tuf à blocs et à lapilli	TZ
▼ _e	Tuf à cendres	TD
▼ _c	Tuf cherteux	TC
▼ _g	Tuf graphiteux	TG
▼ _s	Tuf soudé	TS
▼ _h	Hyalotuf (Vitric tuff)	TH
◆	Brèche pyroclastique	BP
▼	Volcanoclastites*	VC
	etc.	

Fragments
 Polygéniques

 Monogéniques
Exemples :

V2▼ _x PG	Tuf intermédiaire, à cristaux de PG
V2▼ _{lb} ☾	Tuf intermédiaire, à lapilli et à blocs, monogénique
VID▼ _b ☾	Tuf dacitique, à blocs, monogénique
V▼ _c	Tuf cherteux
V▼	Tuf indifférencié

* Il est recommandé de limiter l'utilisation du terme «volcanoclastite», autant que possible.

Tableau 15 — Codification lithologique des sédiments**S SÉDIMENTS** (roches sédimentaires indéterminées)**S1 GRÈS** (terme général comprenant les arénites et les wackes)

- S1A** Grès quartzitique
- S1B** Grès feldspathique
- S1C** Arkose
- S1D** Grès arkosique
- S1E** Grès lithique
- S1F** Grès lithique subfeldspathique

S2 ARÉNITE

- S2A** Arénite quartzitique
- S2B** Subarkose
- S2C** Arkose
- S2D** Arénite arkosique
- S2E** Arénite lithique
- S2F** Sublitharénite

S3 WACKE

- S3A** Wacke quartzitique
- S3C** Wacke arkosique
- S3D** Wacke feldspathique
- S3E** Wacke lithique

S4 CONGLOMÉRAT

- S4A** Conglomérat monogénique
- S4B** Conglomérat monogénique «clast-supported»
- S4C** Conglomérat monogénique «matrix-supported»
- S4D** Conglomérat polygénique
- S4E** Conglomérat polygénique «clast-supported»
- S4F** Conglomérat polygénique «matrix-supported»
- S4G** Conglomérat intraformationnel
- S4H** Conglomérat intraformationnel «clast-supported»
- S4I** Conglomérat intraformationnel «matrix-supported»
- S4J** Tillite

N.B. — Il est recommandé de limiter l'utilisation des termes de la série **S1**. Ces termes généraux ne sont utilisés que lorsqu'il n'est pas possible d'être plus précis, notamment lors de la compilation de données anciennes.

S5 BRÈCHE

- S5A** Brèche monogénique
- S5B** Brèche monogénique «clast-supported»
- S5C** Brèche monogénique «matrix-supported»
- S5D** Brèche polygénique
- S5E** Brèche polygénique «clast-supported»
- S5F** Brèche polygénique «matrix-supported»
- S5G** Brèche intraformationnel
- S5H** Brèche intraformationnel «clast-supported»
- S5I** Brèche intraformationnel «matrix-supported»

S6 MUDROCK

- | | | |
|----------------------|---------------------|----------------------|
| S6A Siltstone | S6D Mudstone | S6G Claystone |
| S6B Siltshale | S6E Mudshale | S6H Clayshale |
| S6C Siltslate | S6F Mudslate | S6I Clayslate |

S7 CALCAIRE

- | | | |
|-------------------------|-----------------------|------------------------|
| S7A Calcilutite | S7E Mudstone | S7I Boundstone |
| S7B Calcisiltite | S7F Wackestone | S7J Bafflestone |
| S7C Calcarénite | S7G Packstone | S7K Rudstone |
| S7D Calcirudite | S7H Grainstone | |

S8 DOLOMIE

- S8A** Dololutite
- S8B** Dolosiltite
- S8C** Dolarénite
- S8D** Dolorudite

S9 FORMATION DE FER

- S9A** Formation de fer indéterminée
- S9B** Formation de fer oxydée
- S9C** Formation de fer carbonatée
- S9D** Formation de fer silicatée
- S9E** Formation de fer sulfurée

S10 CHERT**S10A** Chert oxydé**S10B** Chert carbonaté**S10C** Chert silicaté**S10D** Chert sulfuré**S10E** Chert graphiteux/carboné**S10F** Chert ferrugineux**S10J** Jaspe (Jaspilite)**S11 EXHALITE****S12 ÉVAPORITE****S12A** Halite**S12B** Sylvite**S12C** Anhydrite**S12D** Gypse**S12E** Sulfate**S13 PHOSPHORITE****SYMBOLES POUR ROCHES SÉDIMENTAIRES**

Une liste des symboles pour les structures et textures des roches sédimentaires est présentée dans le tableau 16. Pour se bien familiariser avec l'utilisation de ces symboles, et pour d'autres symboles utilisés pour les roches sédimentaires, se référer à Bouma (1962) et Tassé, Lajoie et Dimroth (1978).

Tableau 17A — Roches métamorphiques et tectoniques

ROCHES MÉTAMORPHIQUES ET TECTONIQUES M		
M1 Gneiss	M18 Cornéenne	
M2 Gneiss rubané	M20 Métatexite	spécifier le %
M3 Orthogneiss	M21 Diatexite	du mobilisat et
M4 Paragneiss	M21A Granite d'anatexie	identifier la
M5 Gneiss quartzofeldspathique	M22 Migmatite	protolite
M6 Gneiss granitique	M23 Agmatite	
M7 Granulite (gneiss granulitique)	M24 Cataclasite*	
M8 Schiste	M25 Mylonite*	
M9 Orthoschiste	M26 Brèche tectonique*	
M10 Paraschiste		
M11 Phyllade		
M12 Quartzite		
M13 Marbre (calcaire cristallin)		
M14 Roche calco-silicatée	M30 Tourmalinite	
M15 Roche métasomatique (incluant skarn ou tactite)	M31 Coticule	
M16 Amphibolite		
M17 Éclogite		

* Utiliser plutôt les codes de tectonites (T). Ces codes ont été utilisés avant l'introduction de la classe des tectonites.

Tableau 17B – Tectonites

TECTONITES T	
T1	Cataclasite
T1A	Brèche de faille
T1B	Microbrèche de faille
T1C	Gouge de faille
T1D	Pseudotachylite
T1E	Mylolisthénite
T1F	Brèche d'impact
T1G	Impactite
T2	Mylonite
T2A	Protomylonite
T2B	Orthomylonite
T2C	Ultramylonite
T2D	Phyllonite
T2E	Blastomylonite
T3A	Gneiss droit («Straight gneiss»)
T3B	Gneiss porphyroclastique
T3C	Gneiss régulier
T3D	Gneiss irrégulier
T4	Brèche tectonique
T4A	Mélange tectonique
T4B	Brèche tectonique à matrice de marbre («Marble tectonic breccia»)

Tableau 18 — Codes mnémoniques des minéraux et des fossiles, et divers

CODES MNÉMONIQUES DES MINÉRAUX ET DES FOSSILES, ET DIVERS

CODES MNÉMONIQUES DES MINÉRAUX ET DES FOSSILES										GRANULOMÉTRIE ET λ : PLIS			
Acanthite	AV	Chondrodite	HR	Greenockite	GK	Minéraux radioactifs	MR	Serpentine	ST	FOSSILES	YY	< 0.001 mm	1
Actinote	AC	Chromite	CM	Grenat	GR	Molybdénite	MO	Sidérite(sidérose)	SD	Brachiopodes	YB	A. 0.001-0.01 mm	2
Aeschnite - (Y)	EC	Chrysocolle	CY	Grenat-almandin	GA	Molybdite(dine)	MB	Sidérolite	SI	Bryozoaires	YZ	< 0.01 mm	2
Agate	AE	Chrysotile	CS	Grenat-andradite	GD	Monazite	MZ	Sillimanite	SM	Céphalopodes	YC	B. 0.01-0.05 mm	3
Aikinite	BP	Clevelandite	CI	Grenat-grossulaire	GG	Muscovite	MV	Smaltite/Smaltine	TW	Conulaires	YA	C. 0.05-0.1 mm	3
Albite	AB	Clinopyroxène	CX	Grenat-pyrope	GY	Néphéline	NP	Samarskite	SK	Coraux	YX	D. 0.1-0.2 mm	3
Allanite	AL	Clinzoisite	CZ	Grenat-spessartine	GS	Oligoclase	OG	Smithsonite	ZO	Crinoides	YR	< 0.2 mm	4
Altaïte	TP	Cobaltite	CE	Grenat-uvarovite	GU	Olivine	OV	Sodalite	SS	Échinodermes	YD	E. 0.2-0.5 mm	5
Amazonite	AI	Columbite/Niobite	NB	Grunérite	GN	Or natif (visible)	Au	Spécularite	HS	Éponges	YE	F. 0.5-1.0 mm	5
Améthyste	AH	Columbo-tantalite	TO	Gummite	GB	Orthoclase (orthoese)	OR	Sphalérite	SP	Gastéropodes	YT	G. 1-2 mm	6
Amiante (Asbestos)	AO	Cordiérite	CD	Gunningite	GI	Orthopyroxène	OX	Sphène/Titanite	SN	Graptolites	YG	H. 2-5 mm	6
Amphibole	AM	Corindon	CN	Gypse	GE	Ottrelite	OL	Spinelite	SL	Ostracodes	YO	J. 0.5-1 cm	7
Andalousite	AD	Cosalite	PI	Halite	HL	Oxyde de fer	OF	Spodumène	SO	Pélécopodes	YP	K. 1-3 cm	7
Andésine	AA	Covellite	CV	Heazlewoodite	HZ	Oxyhombiende	OH	Staurolite	SU	Plantes	YN	> 3 cm	8
Anhydrite	AY	Cubanite	CF	Hédénbergite	HG	(hombiende brune)	PH	Stéatite	TS	Poissons	YK	L. 3-10 cm	8
Ankérte	AK	Cuivre natif (visible)	Cu	Hématite	HM	Paragonite	PE	Stibine/Stibnite	SB	Stromatolites	YS	M. 10-30 cm	8
Annabergite	NG	Cummingtonite	CG	Hercynite	HC	Pechblende	PB	Stibite(Heulandite)	HD	Stromatoporoïdes	YI	N. 30-100 cm	8
Anorthite	AN	Cuprite	CU	Holmquistite	HK	Penninite/Pennine	PT	Stipnomélane	SE	Traces fossiles	YF	P. 1 m	8
Anthophyllite	AT	Digenite	DG	Hornblende	HB	Pentandrite	PD	Sulfures	SF	Trilobites	YL	Q. 1-2 m	8
Antigorite	AR	Diopside	DP	Hypersthène	HP	Perovskite	PK	Syvanite	SV		R	2-4 m	8
Apatite	AP	Disthène/Kyanite	KN	Iddingsite	IG	Perthite	PR	Szomolnokite	SZ	DIVERS	S	4-6 m	8
Argent natif (visible)	Ag	Dolomite	DM	Ilménite	IM	Petzite	PZ	Talc	TC	Bioclastes	XB	T. 6-10 m	8
Arséniopyrite	AS	Dravite	TG	Jade	JA	Phénacite/Phénakite	PA	Tantalite	TN	Ciment	XC	U. 10 m	8
Augite	AG	Dravite-Schorlite	DS	Jaspe	JP	Phlogopite	PH	Tellurobismuthite	TB	Hydrocarbures	XH	V. 10-20 m	8
Aurite	AU	Electrum	EM	Kaolinite	KL	Pistachite	PC	Tennantite	TT	Liant	XL	W. 20-50 m	8
Awaruite	NF	Enargite	EG	Klokmannite	KK	Plagioclase	PG	Tétradymite	TD	Lithoclastes	XR	Y. 50-100 m	8
Axinite	AX	Enstatite	ES	Kornéupine	KP	Poliucite	ZP	Tétrahédrite	TH	Matière organique	XG	Z. 100 m	8
Azurite	AZ	Epidote	EP	Kornéupine	KP	Préhnite	PN	Thorianite	TR	Matrice	XM	X. Autres	8
Barytine	BR	Eudialyte	EU	Labradorite	LB	Pumpellyite	PP	Thorite	TI	Oncolites	XT		8
Bastnaesite	BA	Euxénite - (Y)	EX	Lawsonite	LS	Pyrite	PY	Topaze	TZ	Coilites	XO		8
Béryl	BL	Fayalite	FA	Lépidolite	LP	Pyrochlore	PM	Torbernite	TU	Pellets	XP		8
Biotite	BO	Feldspath vert/brun	FV	Leucite	LC	Pyrolusite	PS	Tourmaline	TL	Péoloïdes	XD		8
Bismuthinite	BM	Feldspath	FP	Leucoxène	LX	Pyrophyllite	PL	Tourmaline zircifère	TA	Autres	XX		8
Bismutite	BS	Feldspath noir	FN	Limonite	LM	Pyroxène	PX	Trémolite	TM				8
Bornite	BN	Feldspath potassique	FK	Magnésite	MN	Pyrrhotite(Pyrrhotine)	PO	Uraninite	UR				8
Boulangerite	BG	Feldspathoïde	FD	Magnétite	MG	Quartz	QZ	Uranophane	UP				8
Brochantite	BH	Fergusonite	FS	Malachite	MC	Quartz bleu	QB	Uranothorite	UT				8
Brucite	BC	Fibrolite	FB	Marcasite	MS	Riebeckite	RB	Vallerite	VL				8
Bytownite	BT	Fluorite (fluorine)	FL	Mariposite	MT	Rozénite	RZ	Vermiculite	VR				8
Calaverite	CA	Forstérite	FO	Méllite	ME	Rutile	RL	Vésuvianite	VV				8
Calcite	CC	Franklinite	FR	Mésoperthite	MP	Samarskite-(Y)	UL	Violante	VO				8
Carbonate	CB	Freibergite	FG	Mica	MI	Sandine	SA	Willemite	WM				8
Chabazite (Chabasite) ZB	ZB	Fuchsite	FC	Microcline	ML	Sapphirine	SH	Wilsonite	WS				8
Chalcocite(ne)	CT	Gahnite	GH	Millerite	NS	Scapolite	SC	Wolframite	WF				8
Chalcopyrite	CP	Galène	GL	Minéraux argileux	MA	Scheelite	SW	Wollastonite	WL				8
Chert	CH	Gédrite	GT	Minéraux décoratifs	MD	Schorlite(Schorl)	TF	Wulfenite	WN				8
Chloanthite	CO	Glaucophane	GC	Minéraux lourds	MX	Séénite	SG	Zéolite	ZL				8
Chlorite	CL	Goethite	GO	Minéraux maigres	MF	Séénium	SE	Zincite	ZN				8
Chloroïde	CR	Graphite	GP	Minéraux opaques	OP	Séicite	Sr	Zircon	ZC				8
								Zoisite	ZS				8

Tableau 19 – Codes mnémoniques – Structures, textures et autres

CODES MNÉMONIQUES - STRUCTURES, TEXTURES ET AUTRES

STRUCTURES, TEXTURES ET AUTRES													
Aciculaire	AC	Coulée	CL	Fentes de dessiccation	FD	Granoclassement inverse suivi de normal	GJ	Lits épais (>25 cm)	LG	«Rill mark(s)»	RM	Tuf à cendre	TD
Adcumul	AD	Coulée coussinée à noyaux	NC	Fente de refroidissement	FM	Granoclassement normal suivi d'inverse	GK	Lits lenticulaires	LD	«Rip-up clast(s)»	RI	Tuf à cristaux	TX
Affleurement caractérisé par le pissement	AA	saussurisés	NC	Fibreux (se)	FI	Granoclassement normal	GI	Lits minces (1-10 cm)	LM	Ruban de quartz	RQ	Tuf à lapilli	TL
Agmatitique	AT	Coulée fragmentée	FZ	Fibroblastique	FB	normal	GN	Lobe	LB	Rubané(e)	RU	Tuf à lapilli et à blocs	TY
Alaskitique	AL	Coulée massive	FB	Filonien	FN	Granoclastique	GQ	Massif(ve)	MA	Rubanement concentrique	RA	Tuf cherteux	TC
Altéré	AE	Coulée massive à noyaux saussurisés	NM	Filons-couches	FC	Mégaporphyrque	MP	Mégacoussins (à)	MC	Rubanement de diffusion	MD	Tuf graphiteux	TG
Amas arrondis (globulaires)	AO	Coulée massive à surface coussinée	CZ	Filons-couches	FC	Mélanocrate	MX	Mélanosome	MS	«(Liesegang rings)»	LJ	Tuf lithique	TI
Amas irréguliers	AI	Coussins	CS	(symvolcaniques)	FH	Granules (à)	GU	Mésocrate	MK	Rubanement symétrique	RS	Tuf soudé	TS
Amiboidal(e)	AB	Coussins massives	CM	Flammes	FL	(2-4 mm)	GU	Mésocumulat	MF	Rubanement tectonique	RT	Tuface	TU
Amygdalaire	AM	grenues et/ou parties basales grenues de	GB	«Flaser»	FS	Hélicitique	HE	Métamorphisé	ME	Saccaroidale	SA	Turbidite (voir guide des géofiches)	TB
Anastomosé	AN	coussins	CS	Fluë, par fluage - fluidal	FL	Hétéradcumul	HA	Miarolitique	MI	(granoblastique)	SD	Variolite	VA
Antirapakivi	AR	Coussins	CS	Fluidal(e)	FL	Hétéroblastique	HB	Micritique	MT	Schisteux	SC	Veiné(e)	VN
Aphanitique	AP	Coussins	CS	(à structure)	FL	Hétérogène	HK	Microbrèche	MB	«Schlieren»	SH	Vésiculaire	VE
Arborescent	AS	Coussins allongés	XP	Flûte déformée par surcharge	FX	Hétérogranulaire	HG	Microporphyrique	MR	Scoria(e)	SR	Vitreux(se)	VI
Autoclastique	AU	Coussins aplatis	FP	Flûte («flutecast»)	FT	Holocristallin(e)	HC	Minicoussins (à)	MU	«Shatter» cone	SV	Volcanique	VO
Bancs (en)	BA	Coussins en	CS	Foilié(e)	FO	Holocrystallin(e)	HO	Mobilisat	MZ	«Slump»	SL	Volcanoclastites	VC
Bandes de cimentation	BM	molaires	MD	Fossilifère	FF	Holomélanocrate	HM	Monogénique	MO	Sommital(e)	SM	Xénoblastique	XB
Basal(e)	BS	Coussins fragmentés	CF	Fracturé(e)	FA	Holomélanocrate	HM	«Monomitic»	MM	Sphérolitique	SP	Xénomorphe	XM
Birds eyes	BE	Coussins isolés	CI	Fractures radiales dans les coussins	FC	Homogène	HJ	Mosaïque	MO	Spinifex (à)	SX	Autres	XX
Biseau	BI	Coussins joints	CJ	Fractures radiales dans les coussins	FC	Homotactique	HT	Myonitique	MN	Stratifications entrecroisées	SE		
Blocs (à)	BL	Coussins aplatis	FP	Fractures radiales dans les coussins	FC	Hyaloclastite	HY	Myrméitique	MY	de fosse	SF		
Bordure/rimite	BR	Crescumul	CT	Fractures radiales dans les coussins	FC	Hyaloclastites	HY	Nébulitique	NB	Nématoblastique	NE		
de coulée	BU	Cristalloblastique	CR	Fragments allongés «monomitic»/monogéniques	FW	remaniées	HR	Néosome	NS	Nodulaire	NO	Suite désor. de couches d'épaisseur inconstante	QA
Bothryoidal	BV	Cristaux (en)	CP	Fragments allongés «polyimic»/polygéniques	FU	Hyalopituite	HP	«Streaky» matiques	SM	Noyaux	NY	Suite désor. de couches d'épaisseur constante	QB
Boudinage	BO	Coussins isolés	CI	Fragments aplatis	FA	Hyalotuf	HT	«Streaky» matiques	SM	Ocellaire	OC	Rythme régulier de couches d'épaisseur inconstante	QC
Brèche à coussins ordinaires isolés	BC	Cumulat (à)	CU	«monomitic»/polygéniques	FU	Hydrothermal	HD	Stratiforme/stratifié	ST	Oeilé(e)	OE	Rythme régulier de couches d'épaisseur constante	QD
Brèche à coussins peu serrés («dish struc.»)	BG	Cupules	CU	«monomitic»/polygéniques	FU	Hypocristallin(e)	HX	Stratiforme/stratifié	ST	«Oolitic»	OO	Rythme irrégulier de couches d'épaisseur constante	QE
Brèche à méga-coussins isolés	BF	Cyclique	CY	«monomitic»/polygéniques	FU	Idiomorphe	ID	«Stromatic»	SK	Ophitique	OP	Rythme irrégulier de couches d'épaisseur constante	QF
Brèche à mini-coussins isolés	BB	Dendritique	DT	«monomitic»/polygéniques	FU	Imbrication de cailloux, blocs	IM	«Stromatic»	SK	Orbitculaire	OR	Cycles complets	QG
Brèche de coulée/ brèche de lave	BQ	Diabasique	DB	«monomitic»/polygéniques	FU	Impregnation	IP	«Stromatic»	SK	Orthocumulat	OU	Cycles incomplets	QH
Brèche de coussins désagrégés/brisés	BH	Diablastique	DB	«monomitic»/polygéniques	FU	Interganulaire	IG	«Stromatic»	SK	Paléosome	PS	Autre	QX
Brèche de coussins fragmentés	BK	Diacasé	DC	«monomitic»/polygéniques	FU	Intersertale	IS	«Stromatic»	SK	Paléosurface	PS		
Brèche d'intrusion	BN	Direction d'écoulement de coulée	DE	«monomitic»/polygéniques	FU	Intracastés(à)	IT	«Stromatic»	SK	d'érosion	PE		
Brèche pyroclastique	BP	«dish struc.»	DS	«monomitic»/polygéniques	FU	Intracastés(à)	IT	«Stromatic»	SK	Panidiomorphe	PA		
Brèche/brèche	BR	Courant (64-256 mm)	DR	«monomitic»/polygéniques	FU	Intracastés(à)	IT	«Stromatic»	SK	Patron d'interférence	PV		
Brèche tectonique	BT	Discordance	DD	«monomitic»/polygéniques	FU	Intracastés(à)	IT	«Stromatic»	SK	Pegmatitique	PG		
Broyage	BY	Disséminé	DI	«monomitic»/polygéniques	FU	Intracastés(à)	IT	«Stromatic»	SK	Pegmatitique	PG		
Cailoux alignés «pebble stringers»	PK	Drusique	DK	«monomitic»/polygéniques	FU	Intracastés(à)	IT	«Stromatic»	SK	Pegmatitique	PG		
Cailoux 4-64mm	CA	Dunes	DU	«monomitic»/polygéniques	FU	Intracastés(à)	IT	«Stromatic»	SK	Pegmatitique	PG		
Cannelure	CN	Echappement (structure d')	SB	«monomitic»/polygéniques	FU	Intracastés(à)	IT	«Stromatic»	SK	Pegmatitique	PG		
Cataclastique	CQ	Échardes	ED	«monomitic»/polygéniques	FU	Intracastés(à)	IT	«Stromatic»	SK	Pegmatitique	PG		
Cendres (à)	CE	Écoulement	EO	«monomitic»/polygéniques	FU	Intracastés(à)	IT	«Stromatic»	SK	Pegmatitique	PG		
Centre volcanique/ faciès proximal	VP	Empreinte de charge	EC	«monomitic»/polygéniques	FU	Intracastés(à)	IT	«Stromatic»	SK	Pegmatitique	PG		
Cheminée d'alimentation (dyke nourricier)	DN	«load cast»	EC	«monomitic»/polygéniques	FU	Intracastés(à)	IT	«Stromatic»	SK	Pegmatitique	PG		
Cheminée volcanique	CV	Empreinte d'impact	EI	«monomitic»/polygéniques	FU	Intracastés(à)	IT	«Stromatic»	SK	Pegmatitique	PG		
Chenal	CH	Enclave	EN	«monomitic»/polygéniques	FU	Intracastés(à)	IT	«Stromatic»	SK	Pegmatitique	PG		
Chenalisé	CG	Encroûtement	EC	«monomitic»/polygéniques	FU	Intracastés(à)	IT	«Stromatic»	SK	Pegmatitique	PG		
Chenal	CS	«(crustification)»	EM	«monomitic»/polygéniques	FU	Intracastés(à)	IT	«Stromatic»	SK	Pegmatitique	PG		
d'érosion (à)	CD	«(crustification)»	EM	«monomitic»/polygéniques	FU	Intracastés(à)	IT	«Stromatic»	SK	Pegmatitique	PG		
Cisaillé(e)	CS	«(crustification)»	EM	«monomitic»/polygéniques	FU	Intracastés(à)	IT	«Stromatic»	SK	Pegmatitique	PG		
Colloforme	OL	«(crustification)»	EM	«monomitic»/polygéniques	FU	Intracastés(à)	IT	«Stromatic»	SK	Pegmatitique	PG		
Columnaire/joints en colonnes)	JC	«(crustification)»	EM	«monomitic»/polygéniques	FU	Intracastés(à)	IT	«Stromatic»	SK	Pegmatitique	PG		
Concrétion(s)	CC	«(crustification)»	EM	«monomitic»/polygéniques	FU	Intracastés(à)	IT	«Stromatic»	SK	Pegmatitique	PG		
Convolutions (à)	CB	«(crustification)»	EM	«monomitic»/polygéniques	FU	Intracastés(à)	IT	«Stromatic»	SK	Pegmatitique	PG		
Coronitique	KO	«(crustification)»	EM	«monomitic»/polygéniques	FU	Intracastés(à)	IT	«Stromatic»	SK	Pegmatitique	PG		

SÉQUENCE : Q...

RELATION AVEC LE CORPS GÉOLOGIQUE ADJACENT : 0 À 9

Appendix 3: Outcrops and Boulders descriptions

IdAffleur	Geo_Nom	TypeOccurence	Datum	Zone	X_UTM	Y_UTM	Ratio_Litho1	Lith1_CodeMeta
EJV2018AN-001	Abdourahman Nour Ayeh	Bloc Erratique	83	18	473374	5807633	100	M4
EJV2018AN-002	Abdourahman Nour Ayeh	Affleurement	83	18	473376	5807594	90	
EJV2018AN-003	Abdourahman Nour Ayeh	Affleurement	83	18	474105	5807012	100	
EJV2018AN-004	Abdourahman Nour Ayeh	Affleurement	83	18	474084	5807006	100	
EJV2018AN-005	Abdourahman Nour Ayeh	Affleurement	83	18	474024	5806971	100	
EJV2018AN-006	Abdourahman Nour Ayeh	Affleurement	83	18	474041	5806926	100	
EJV2018AN-007	Abdourahman Nour Ayeh	Affleurement	83	18	474094	5806949	99	
EJV2018AN-008	Abdourahman Nour Ayeh	Affleurement	83	18	474090	5806896	100	
EJV2018AN-009	Abdourahman Nour Ayeh	Affleurement	83	18	474130	5806914	100	
EJV2018AN-010	Abdourahman Nour Ayeh	Affleurement	83	18	474023	5806829	98	
EJV2018AN-011	Abdourahman Nour Ayeh	Affleurement	83	18	473963	5806835	100	M4
EJV2018AN-012	Abdourahman Nour Ayeh	Affleurement	83	18	473915	5806913	95	M4
EJV2018AN-013	Abdourahman Nour Ayeh	Affleurement	83	18	473787	5806686	100	M3
EJV2018AN-014	Abdourahman Nour Ayeh	Affleurement	83	18	473691	5806649	98	M4
EJV2018AN-015	Abdourahman Nour Ayeh	Affleurement	83	18	473660	5806649	100	M4
EJV2018AN-016	Abdourahman Nour Ayeh	Affleurement	83	18	473639	5806640	100	M4
EJV2018AN-017	Abdourahman Nour Ayeh	Affleurement	83	18	473645	5806635	100	M4
EJV2018AN-018	Abdourahman Nour Ayeh	Affleurement	83	18	473075	5806942	95	M4
EJV2018AN-019	Abdourahman Nour Ayeh	Affleurement	83	18	473171	5807011	99	
EJV2018AN-020	Abdourahman Nour Ayeh	Affleurement	83	18	473350	5807017	100	
EJV2018AN-021	Abdourahman Nour Ayeh	Affleurement	83	18	473361	5807134	100	M4
EJV2018AN-022	Abdourahman Nour Ayeh	Affleurement	83	18	473443	5807246	100	
EJV2018AN-023	Abdourahman Nour Ayeh	Affleurement	83	18	473430	5807387	98	
EJV2018AN-024	Abdourahman Nour Ayeh	Affleurement	83	18	473465	5807307	100	M4
EJV2018AN-025	Abdourahman Nour Ayeh	Affleurement	83	18	473412	5807246	100	
EJV2018AN-026	Abdourahman Nour Ayeh	Bloc Erratique	83	18	473018	5807698	100	
EJV2018AN-027	Abdourahman Nour Ayeh	Affleurement	83	18	473142	5807784	70	
EJV2018AN-028	Abdourahman Nour Ayeh	Affleurement	83	18	473228	5807852	100	M4
EJV2018AN-029	Abdourahman Nour Ayeh	Affleurement	83	18	473218	5808068	100	
EJV2018AN-030	Abdourahman Nour Ayeh	Affleurement	83	18	473023	5807871	100	
EJV2018AN-031	Abdourahman Nour Ayeh	Affleurement	83	18	472789	5807316	100	
EJV2018AN-032	Abdourahman Nour Ayeh	Affleurement	83	18	472944	5807984	100	
EJV2018AN-033	Abdourahman Nour Ayeh	Affleurement	83	18	472909	5808170	100	
EJV2018AN-034	Abdourahman Nour Ayeh	Bloc Erratique	83	18	472690	5807884	100	
EJV2018AN-035	Abdourahman Nour Ayeh	Affleurement	83	18	472559	5807904	100	
EJV2018AN-036	Abdourahman Nour Ayeh	Bloc Erratique	83	18	472648	5808040	100	
EJV2018AN-037	Abdourahman Nour Ayeh	Bloc Erratique	83	18	472447	5808540	100	
EJV2018AN-038	Abdourahman Nour Ayeh	Bloc Erratique	83	18	472576	5808595	100	
EJV2018AN-039	Abdourahman Nour Ayeh	Bloc Erratique	83	18	472617	5808678	100	
EJV2018AN-040	Abdourahman Nour Ayeh	Bloc Erratique	83	18	472710	5808777	70	

Charles Gaumond, geo (#1927)




IdAffleur	Geo_Nom	TypeOccurence	Datum	Zone	X_UTM	Y_UTM	Ratio_Litho1	Lith1_CodeMeta
EJV2018AN-041	Abdourahman Nour Ayeh	Affleurement	83	18	471738	5808426	100	
EJV2018AN-042	Abdourahman Nour Ayeh	Affleurement	83	18	472391	5808966	100	
EJV2018AN-043	Abdourahman Nour Ayeh	Affleurement	83	18	472456	5809049	80	M3
EJV2018AN-044	Abdourahman Nour Ayeh	Affleurement	83	18	472797	5809422	100	
EJV2018AN-045	Abdourahman Nour Ayeh	Bloc Erratique	83	18	473000	5809793	95	M3
EJV2018CG-001	Charles Gaumont	Bloc Erratique	83	18	473275	5807608	100	
EJV2018CG-002	Charles Gaumont	Bloc Erratique	83	18	473265	5807614	100	
EJV2018CG-003	Charles Gaumont	Affleurement	83	18	473277	5808242	100	
EJV2018CG-004	Charles Gaumont	Bloc Erratique	83	18	474684	5808085	100	
EJV2018CG-005	Charles Gaumont	Bloc Erratique	83	18	474657	5808126	100	
EJV2018CG-006	Charles Gaumont	Affleurement	83	18	474426	5807895	100	
EJV2018CG-007	Charles Gaumont	Bloc Erratique	83	18	474051	5807917	100	M4
EJV2018CG-008	Charles Gaumont	Bloc Erratique	83	18	473867	5807612	100	
EJV2018CG-009	Charles Gaumont	Affleurement	83	18	473643	5807630	100	
EJV2018CG-010	Charles Gaumont	Affleurement	83	18	473546	5807613	51	M4
EJV2018CG-011	Charles Gaumont	Affleurement	83	18	473543	5807535	100	M4
EJV2018CG-012	Charles Gaumont	Affleurement	83	18	476600	5807600	100	
EJV2018CG-013	Charles Gaumont	Affleurement	83	18	473466	5807454	100	
EJV2018CG-014	Charles Gaumont	Affleurement	83	18	473205	5807683	100	
EJV2018CG-015	Charles Gaumont	Bloc Erratique	83	18	473188	5807692	100	M4
EJV2018CG-016	Charles Gaumont	Bloc Erratique	83	18	473183	5807704	100	M4
EJV2018CG-017	Charles Gaumont	Affleurement	83	18	473178	5807717	100	
EJV2018CG-018	Charles Gaumont	Bloc Erratique	83	18	473161	5807753	100	
EJV2018CG-019	Charles Gaumont	Affleurement	83	18	473251	5807502	100	
EJV2018CG-020	Charles Gaumont	Bloc Erratique	83	18	473612	5807185	100	
EJV2018CG-021	Charles Gaumont	Bloc Erratique	83	18	473243	5807530	100	
EJV2018CG-022	Charles Gaumont	Affleurement	83	18	476719	5809143	100	M4
EJV2018CG-023	Charles Gaumont	Bloc Erratique	83	18	473357	5807419	100	
EJV2018CGJOL-001	Charles Gaumont	Affleurement	83	18	474826	5810050	50	M4
EJV2018CGJOL-002	Charles Gaumont	Bloc Erratique	83	18	475413	5809667	100	M4
EJV2018CGJOL-003	Charles Gaumont	Affleurement	83	18	475502	5809610	100	M4
EJV2018CGJOL-004	Charles Gaumont	Bloc Erratique	83	18	475740	5809611	100	M4
EJV2018CGJOL-005	Charles Gaumont	Affleurement	83	18	475721	5809717	100	
EJV2018CGJOL-006	Charles Gaumont	Bloc Erratique	83	18	476348	5809312	100	M4
EJV2018CGJOL-007	Charles Gaumont	Affleurement	83	18	476460	5809166	100	
EJV2018CGJOL-008	Charles Gaumont	Affleurement	83	18	476710	5809153	90	
EJV2018CGJOL-009	Charles Gaumont	Affleurement	83	18	476560	5809048	100	M4
EJV2018CGJOL-010	Charles Gaumont	Affleurement	83	18	476476	5808794	100	
EJV2018CGJOL-011	Charles Gaumont	Affleurement	83	18	476531	5808814	100	M4
EJV2018CGJOL-012	Charles Gaumont	Affleurement	83	18	476486	5808753	100	M4
EJV2018CGJOL-013	Charles Gaumont	Affleurement	83	18	476462	5808485	70	M4
EJV2018CGJOL-014	Charles Gaumont	Affleurement	83	18	476684	5808543	100	M4
EJV2018CGJV-001	Charles Gaumont	Affleurement	83	18	474800	5809790	100	M4
EJV2018CGJV-002	Charles Gaumont	Bloc Erratique	83	18	475034	5809836	100	M4
EJV2018CGJV-003	Charles Gaumont	Affleurement	83	18	475041	5809846	100	M4
EJV2018CGJV-004	Charles Gaumont	Affleurement	83	18	476945	5808212	100	M4
EJV2018CGJV-005	Charles Gaumont	Bloc Erratique	83	18	473759	5806867	100	
EJV2018CL-001	Claire Legoux	Affleurement	83	18	473275	5807471	100	M1
EJV2018CL-002	Claire Legoux	Affleurement	83	18	473290	5807489	100	M1
EJV2018CL-003	Claire Legoux	Affleurement	83	18	473230	5807522	100	M1
EJV2018CL-004	Claire Legoux	Affleurement	83	18	474747	5808269	100	M1

IdAffleur	Geo_Nom	TypeOccurence	Datum	Zone	X_UTM	Y_UTM	Ratio_Litho1	Lith1_CodeMeta
EJV2018CL-005	Claire Legoux	Bloc Erratique	83	18	474568	5808183	100	M4
EJV2018CL-006	Claire Legoux	Bloc Erratique	83	18	474575	5808178	100	M1
EJV2018CL-007	Claire Legoux	Affleurement	83	18	474306	5807943	100	
EJV2018CL-008	Claire Legoux	Affleurement	83	18	474227	5808004	100	
EJV2018CL-009	Claire Legoux	Bloc Erratique	83	18	473928	5807896	100	M4
EJV2018CL-010	Claire Legoux	Bloc Erratique	83	18	473687	5807850	100	M15
EJV2018CL-011	Claire Legoux	Affleurement	83	18	473613	5807756	100	
EJV2018CL-012	Claire Legoux	Affleurement	83	18	473502	5807575	80	M4
EJV2018CL-013	Claire Legoux	Affleurement	83	18	473499	5807572	100	M4
EJV2018CL-014	Claire Legoux	Affleurement	83	18	473502	5807544	100	M4
EJV2018CL-015	Claire Legoux	Affleurement	83	18	473461	5807503	80	
EJV2018CL-016	Claire Legoux	Affleurement	83	18	473440	5807492	95	
EJV2018CL-017	Claire Legoux	Bloc Erratique	83	18	473425	5807455	100	M4
EJV2018CL-018	Claire Legoux	Affleurement	83	18	473363	5807466	100	M4
EJV2018CL-019	Claire Legoux	Affleurement	83	18	473357	5807446	95	
EJV2018CL-020	Claire Legoux	Affleurement	83	18	473467	5807690	100	M4
EJV2018CL-021	Claire Legoux	Affleurement	83	18	473412	5807640	100	
EJV2018CL-022	Claire Legoux	Affleurement	83	18	473289	5807506	100	
EJV2018CL-023	Claire Legoux	Affleurement	83	18	473285	5807434	70	M1
EJV2018CL-024	Claire Legoux	Affleurement	83	18	473283	5807430	80	M4
EJV2018CL-025	Claire Legoux	Affleurement	83	18	473305	5807463	100	
EJV2018CL-026	Claire Legoux	Affleurement	83	18	473276	5807496	100	
EJV2018CL-027	Claire Legoux	Affleurement	83	18	473279	5807493	100	M1
EJV2018CL-028	Claire Legoux	Affleurement	83	18	473350	5807443	100	M1
EJV2018CL-029	Claire Legoux	Bloc Erratique	83	18	473344	5807433	100	

IdAffleur	Geo_Nom	TypeOccurence	Datum	Zone	X_UTM	Y_UTM	Ratio_Litho1	Lith1_CodeMeta
EJV2018CL-030	Claire Legoux	Affleurement	83	18	473253	5807442	80	M1
EJV2018CL-031	Claire Legoux	Affleurement	83	18	473263	5807438	80	M1
EJV2018CL-032	Claire Legoux	Affleurement	83	18	472849	5807278	100	
EJV2018CL-033	Claire Legoux	Affleurement	83	18	473036	5807048	95	M4
EJV2018CL-034	Claire Legoux	Affleurement	83	18	472973	5807258	80	
EJV2018CL-035	Claire Legoux	Affleurement	83	18	473074	5807358	100	
EJV2018CL-036	Claire Legoux	Affleurement	83	18	471199	5808507	90	
EJV2018CL-037	Claire Legoux	Affleurement	83	18	471546	5808718	98	
EJV2018CL-038	Claire Legoux	Affleurement	83	18	471337	5808669	55	
EJV2018CL-039	Claire Legoux	Affleurement	83	18	474133	5810674	100	M4
EJV2018CL-040	Claire Legoux	Affleurement	83	18	474130	5810598	100	M4
EJV2018CL-041	Claire Legoux	Bloc Erratique	83	18	474126	5810597	100	M4
EJV2018CL-042	Claire Legoux	Affleurement	83	18	474421	5810352	100	M4
EJV2018CL-043	Claire Legoux	Affleurement	83	18	474082	5810333	100	
EJV2018CL-044	Claire Legoux	Affleurement	83	18	474364	5810515	100	M4
EJV2018CL-045	Claire Legoux	Affleurement	83	18	475064	5809811	100	M4
EJV2018CL-046	Claire Legoux	Bloc Erratique	83	18	475083	5809817	100	M4
EJV2018CL-047	Claire Legoux	Affleurement	83	18	475072	5809826	100	M4
EJV2018CL-048	Claire Legoux	Affleurement	83	18	475290	5810171	95	M4
EJV2018CL-049	Claire Legoux	Affleurement	83	18	475672	5809790	99	
EJV2018CL-050	Claire Legoux	Affleurement	83	18	475729	5809754	100	M4
EJV2018CL-051	Claire Legoux	Affleurement	83	18	475616	5809661	99	M4
EJV2018CL-052	Claire Legoux	Affleurement	83	18	475600	5809596	100	M4
EJV2018CL-053	Claire Legoux	Bloc Erratique	83	18	475601	5809578	100	M4
EJV2018CL-054	Claire Legoux	Bloc Erratique	83	18	475521	5809557	100	

IdAffleur	Geo_Nom	TypeOccurence	Datum	Zone	X_UTM	Y_UTM	Ratio_Litho1	Lith1_CodeMeta
EJV2018CL-055	Claire Legoux	Bloc Erratique	83	18	475506	5809846	100	M4
EJV2018CL-056	Claire Legoux	Bloc Erratique	83	18	475475	5809536	100	M4
EJV2018CL-057	Claire Legoux	Affleurement	83	18	475628	5809401	100	
EJV2018CL-058	Claire Legoux	Bloc Erratique	83	18	475696	5809408	100	
EJV2018CL-059	Claire Legoux	Bloc Erratique	83	18	475689	5809408	100	M4
EJV2018CL-060	Claire Legoux	Affleurement	83	18	475894	5809273	80	
EJV2018CL-061	Claire Legoux	Affleurement	83	18	476320	5808993	100	M4
EJV2018CL-062	Claire Legoux	Affleurement	83	18	476561	5808800	100	M4
EJV2018CL-063	Claire Legoux	Bloc Erratique	83	18	476552	5808759	100	M4
EJV2018CL-064	Claire Legoux	Affleurement	83	18	476553	5808759	100	M4
EJV2018CL-065	Claire Legoux	Affleurement	83	18	476558	5808734	100	M4
EJV2018CL-066	Claire Legoux	Bloc Erratique	83	18	476527	5808742	100	M4
EJV2018CL-067	Claire Legoux	Affleurement	83	18	476549	5808750	100	M4
EJV2018CL-068	Claire Legoux	Affleurement	83	18	476754	5808671	50	M4
EJV2018CL-069	Claire Legoux	Affleurement	83	18	476736	5808604	70	
EJV2018CL-070	Claire Legoux	Affleurement	83	18	476644	5808864	100	
EJV2018CL-071	Claire Legoux	Affleurement	83	18	477503	5808311	100	
EJV2018CL-072	Claire Legoux	Affleurement	83	18	441539	5823725	100	
EJV2018CL-073	Claire Legoux	Bloc Erratique	83	18	441505	5823685	100	M4
EJV2018CL-074	Claire Legoux	Bloc Erratique	83	18	441238	5823659	100	M4
EJV2018CL-075	Claire Legoux	Affleurement	83	18	441229	5823649	100	
EJV2018CL-076	Claire Legoux	Affleurement	83	18	440899	5823538	100	
EJV2018CL-077	Claire Legoux	Affleurement	83	18	441023	5823352	100	
EJV2018CL-078	Claire Legoux	Affleurement	83	18	441313	5822564	100	
EJV2018CL-079	Claire Legoux	Bloc Erratique	83	18	480797	5815639	100	
EJV2018CL-080	Claire Legoux	Bloc Erratique	83	18	481075	5815695	100	M4
EJV2018CL-081	Claire Legoux	Affleurement	83	18	481400	5815941	100	
EJV2018CL-082	Claire Legoux	Bloc Erratique	83	18	481410	5816082	100	
EJV2018CL-083	Claire Legoux	Affleurement	83	18	481525	5816501	100	
EJV2018CL-084	Claire Legoux	Bloc Erratique	83	18	465120	5817491	100	M4
EJV2018CL-085	Claire Legoux	Bloc Erratique	83	18	464239	5817320	100	
EJV2018CL-086	Claire Legoux	Affleurement	83	18	464221	5817313	100	
EJV2018CL-087	Claire Legoux	Bloc Erratique	83	18	465204	5817203	100	
EJV2018CL-088	Claire Legoux	Affleurement	83	18	467905	5816767	90	M4

IdAffleur	Geo_Nom	TypeOccurence	Datum	Zone	X_UTM	Y_UTM	Ratio_Litho1	Lith1_CodeMeta
EJV2018CL-089	Claire Legouix	Affleurement	83	18	467886	5817242	100	
EJV2018FR-001	Frederic Roberge	Bloc Erratique	83	18	473186	5807566	100	M3
EJV2018FR-002	Frederic Roberge	Bloc Erratique	83	18	473133	5807633	100	
EJV2018FR-003	Frederic Roberge	Bloc Erratique	83	18	472992	5807712	100	M4
EJV2018FR-004	Frederic Roberge	Affleurement	83	18	472856	5807579	100	
EJV2018FR-005	Frederic Roberge	Bloc Erratique	83	18	474779	5808019	100	M4
EJV2018FR-006	Frederic Roberge	Bloc Erratique	83	18	474599	5807939	100	
EJV2018FR-007	Frederic Roberge	Bloc Erratique	83	18	474476	5807825	100	
EJV2018FR-008	Frederic Roberge	Bloc Erratique	83	18	474439	5807748	100	
EJV2018FR-009	Frederic Roberge	Affleurement	83	18	473875	5806966	95	M4
EJV2018FR-010	Frederic Roberge	Affleurement	83	18	473785	5806958	85	M3
EJV2018FR-011	Frederic Roberge	Bloc Erratique	83	18	473738	5806892	100	M4
EJV2018FR-012	Frederic Roberge	Bloc Erratique	83	18	473736	5806875	100	M4
EJV2018FR-013	Frederic Roberge	Affleurement	83	18	473656	5806733	100	
EJV2018FR-014	Frederic Roberge	Affleurement	83	18	473653	5806691	100	
EJV2018FR-015	Frederic Roberge	Affleurement	83	18	473632	5806676	70	
EJV2018FR-016	Frederic Roberge	Affleurement	83	18	473418	5806571	75	M4
EJV2018FR-017	Frederic Roberge	Bloc Erratique	83	18	473289	5806681	100	M4
EJV2018FR-018	Frederic Roberge	Bloc Erratique	83	18	473528	5806796	100	M3
EJV2018FR-019	Frederic Roberge	Affleurement	83	18	473551	5806984	95	M3
EJV2018FR-020	Frederic Roberge	Affleurement	83	18	473691	5807163	90	M3
EJV2018FR-021	Frederic Roberge	Affleurement	83	18	473828	5807344	95	M3
EJV2018FR-022	Frederic Roberge	Affleurement	83	18	473564	5807159	80	M3
EJV2018FR-023	Frederic Roberge	Bloc Erratique	83	18	473250	5806796	100	M4
EJV2018FR-024	Frederic Roberge	Affleurement	83	18	473308	5807469	100	M3
EJV2018FR-025	Frederic Roberge	Bloc Erratique	83	18	473176	5807563	100	
EJV2018FR-026	Frederic Roberge	Bloc Erratique	83	18	473170	5807588	100	
EJV2018FR-027	Frederic Roberge	Bloc Erratique	83	18	473166	5807645	100	M4
EJV2018FR-028	Frederic Roberge	Bloc Erratique	83	18	473112	5807623	100	M4
EJV2018FR-029	Frederic Roberge	Bloc Erratique	83	18	473140	5807700	100	M3
EJV2018FR-030	Frederic Roberge	Affleurement	83	18	473214	5807725	100	M4
EJV2018FR-031	Frederic Roberge	Affleurement	83	18	472981	5808342	100	M3
EJV2018FR-032	Frederic Roberge	Affleurement	83	18	472907	5808353	100	
EJV2018FR-033	Frederic Roberge	Affleurement	83	18	472881	5808378	100	
EJV2018FR-034	Frederic Roberge	Affleurement	83	18	472856	5808261	100	
EJV2018FR-035	Frederic Roberge	Affleurement	83	18	472658	5808000	100	
EJV2018FR-036	Frederic Roberge	Affleurement	83	18	472658	5807983	100	
EJV2018FR-037	Frederic Roberge	Affleurement	83	18	472879	5808462	95	
EJV2018FR-038	Frederic Roberge	Affleurement	83	18	472201	5807968	90	
EJV2018FR-039	Frederic Roberge	Affleurement	83	18	472832	5808765	80	M4

IdAffleur	Geo_Nom	TypeOccurence	Datum	Zone	X_UTM	Y_UTM	Ratio_Litho1	Lith1_CodeMeta
EJV2018FR-040	Frederic Roberge	Affleurement	83	18	472744	5808918	100	M4
EJV2018FR-041	Frederic Roberge	Affleurement	83	18	472970	5809436	70	
EJV2018FR-042	Frederic Roberge	Affleurement	83	18	472763	5808867	70	
EJV2018FR-043	Frederic Roberge	Bloc Erratique	83	18	472462	5808867	100	M3
EJV2018FR-044	Frederic Roberge	Bloc Erratique	83	18	472346	5808753	100	M4
EJV2018FR-045	Frederic Roberge	Affleurement	83	18	471709	5808463	95	
EJV2018FR-046	Frederic Roberge	Affleurement	83	18	471815	5808471	95	
EJV2018FR-047	Frederic Roberge	Affleurement	83	18	472259	5809126	100	
EJV2018FR-048	Frederic Roberge	Affleurement	83	18	472548	5809437	90	
EJV2018FR-049	Frederic Roberge	Affleurement	83	18	472386	5809182	60	M4
EJV2018FR-050	Frederic Roberge	Affleurement	83	18	472262	5809172	50	M3
EJV2018FR-051	Frederic Roberge	Affleurement	83	18	472201	5809168	100	
EJV2018FR-052	Frederic Roberge	Affleurement	83	18	472152	5809263	100	
EJV2018FR-053	Frederic Roberge	Affleurement	83	18	474679	5809903	70	M4
EJV2018FR-054	Frederic Roberge	Affleurement	83	18	474679	5809903	70	M4
EJV2018FR-055	Frederic Roberge	Affleurement	83	18	474767	5809848	70	
EJV2018JF-000	Jean-François Larivière	Affleurement	83	18	473305	5807464	80	
EJV2018JF-001	Jean-François Larivière	Affleurement	83	18	441598	5823733	100	
EJV2018JF-002	Jean-François Larivière	Affleurement	83	18	441699	5823746	100	
EJV2018JF-003	Jean-François Larivière	Bloc Erratique	83	18	441689	5823449	100	M4
EJV2018JF-004	Jean-François Larivière	Affleurement	83	18	441726	5823386	100	
EJV2018JF-005	Jean-François Larivière	Affleurement	83	18	441737	5823345	100	
EJV2018JF-006	Jean-François Larivière	Affleurement	83	18	441852	5823360	100	
EJV2018JF-007	Jean-François Larivière	Bloc Erratique	83	18	441992	5823261	100	M4
EJV2018JF-008	Jean-François Larivière	Bloc Erratique	83	18	441938	5823032	85	
EJV2018JF-009	Jean-François Larivière	Bloc Erratique	83	18	441929	5823013	85	
EJV2018JF-010	Jean-François Larivière	Bloc Erratique	83	18	441965	5822980	100	
EJV2018JF-011	Jean-François Larivière	Affleurement	83	18	441977	5822975	100	
EJV2018JF-012	Jean-François Larivière	Bloc Erratique	83	18	442014	5822958	100	M4
EJV2018JF-013	Jean-François Larivière	Affleurement	83	18	441795	5822722	100	
EJV2018JF-014	Jean-François Larivière	Bloc Erratique	83	18	480718	5815601	100	M4
EJV2018JF-015	Jean-François Larivière	Bloc Erratique	83	18	480747	5815625	100	
EJV2018JF-016	Jean-François Larivière	Bloc Erratique	83	18	480754	5815711	100	M4
EJV2018JF-017	Jean-François Larivière	Bloc Erratique	83	18	480742	5815720	100	
EJV2018JF-018	Jean-François Larivière	Bloc Erratique	83	18	480720	5815720	100	
EJV2018JF-019	Jean-François Larivière	Bloc Erratique	83	18	480722	5815720	100	M4
EJV2018JF-020	Jean-François Larivière	Bloc Erratique	83	18	480597	5815917	100	M4
EJV2018JF-021	Jean-François Larivière	Bloc Erratique	83	18	480540	5815988	100	M20
EJV2018JF-022	Jean-François Larivière	Affleurement	83	18	467428	5816579	100	M20
EJV2018JF-023	Jean-François Larivière	Affleurement	83	18	467318	5816552	100	M20
EJV2018JF-024	Jean-François Larivière	Affleurement	83	18	467200	5816247	100	
EJV2018JF-025	Jean-François Larivière	Bloc Erratique	83	18	467129	5816274	100	M4
EJV2018JF-026	Jean-François Larivière	Bloc Erratique	83	18	480718	5815603	100	M20

IdAffleur	Lith1_CodePrim	Ratio_Litho2	Lith2_CodeMeta	Lith2_CodePrim
EJV2018AN-001	S2	0		
EJV2018AN-002	I2J	10		I1G
EJV2018AN-003	I2J	0		
EJV2018AN-004	I1C	0		
EJV2018AN-005	I1C	0		
EJV2018AN-006	I1C	0		
EJV2018AN-007	I1C	1		I1
EJV2018AN-008	I1C	0		
EJV2018AN-009	I1C	0		
EJV2018AN-010	I1C	2		I1G
EJV2018AN-011	S3	0		
EJV2018AN-012	S3	5		I1G
EJV2018AN-013	I1C	0		
EJV2018AN-014	S3	2		I1G
EJV2018AN-015	S3	0		
EJV2018AN-016	S3	0		
EJV2018AN-017	S3	0		
EJV2018AN-018	S3	5		I1G
EJV2018AN-019	I3A	1		I1G
EJV2018AN-020	I1D	0		
EJV2018AN-021	S3	0		
EJV2018AN-022	I2J	0		
EJV2018AN-023	I2J	2		I1G
EJV2018AN-024	S3	0		
EJV2018AN-025	I2J	0		
EJV2018AN-026	I2J	0		
EJV2018AN-027	I1G	30		I2J
EJV2018AN-028	S3	0		
EJV2018AN-029	I1D	0		
EJV2018AN-030	I1C	0		
EJV2018AN-031	I1B	0		
EJV2018AN-032	I1B	0		
EJV2018AN-033	I1C	0		
EJV2018AN-034	V3B	0		
EJV2018AN-035	I1C	0		
EJV2018AN-036	I3A	0		
EJV2018AN-037	I2J	0		
EJV2018AN-038	I3A	0		
EJV2018AN-039	I3A	0		
EJV2018AN-040	I1G	30	M4	S3

IdAffleur	Lith1_CodePrim	Ratio_Litho2	Lith2_CodeMeta	Lith2_CodePrim
EJV2018AN-041	I1D	0		
EJV2018AN-042	I1C	0		
EJV2018AN-043	I2J	20		I1G
EJV2018AN-044	I1D	0		
EJV2018AN-045	I2J	5		I1G
EJV2018CG-001	I1C	0		
EJV2018CG-002	I1C	0		
EJV2018CG-003	S3	0		
EJV2018CG-004	I1C	0		
EJV2018CG-005	I1C	0		
EJV2018CG-006	I1C	0		
EJV2018CG-007	S3	0		
EJV2018CG-008	I1C	0		
EJV2018CG-009	I1D	0		
EJV2018CG-010	S3	49		I1D
EJV2018CG-011	S3	0		
EJV2018CG-012	S3	0		
EJV2018CG-013	I2J	0		
EJV2018CG-014	I1C	0		
EJV2018CG-015	S3	0		
EJV2018CG-016	S3	0		
EJV2018CG-017	I2J	0		
EJV2018CG-018	S3	0		
EJV2018CG-019	I2J	0		
EJV2018CG-020	I1C	0		
EJV2018CG-021	I1N	0		
EJV2018CG-022	S3	0		
EJV2018CG-023	I2J			
EJV2018CGJOL-001	S3	50		I1
EJV2018CGJOL-002	S3	0		
EJV2018CGJOL-003	S3	0		
EJV2018CGJOL-004	S3	0		
EJV2018CGJOL-005	I1C	0		
EJV2018CGJOL-006	S3	0		
EJV2018CGJOL-007	I1	0		
EJV2018CGJOL-008	I1	10	M4	S3
EJV2018CGJOL-009	S3	0		
EJV2018CGJOL-010	I1	0		
EJV2018CGJOL-011	S3	0		
EJV2018CGJOL-012	S3	0		
EJV2018CGJOL-013	S3	30		I1
EJV2018CGJOL-014	S3	0		
EJV2018CGJV-001	S3	0		
EJV2018CGJV-002	S3	0		
EJV2018CGJV-003	S3	0		
EJV2018CGJV-004	S3	0		
EJV2018CGJV-005	I1C	0		
EJV2018CL-001	I2J	0		
EJV2018CL-002	I2J	0		
EJV2018CL-003	I2J	0		
EJV2018CL-004	I2J	0		

IdAffleur	Lith1_CodePrim	Ratio_Litho2	Lith2_CodeMeta	Lith2_CodePrim
EJV2018CL-005	S3	0		
EJV2018CL-006	I2J	0		
EJV2018CL-007	I1C	0		
EJV2018CL-008	I1C	0		
EJV2018CL-009	S3	0		
EJV2018CL-010	I1B	0		
EJV2018CL-011	I1C	0		
EJV2018CL-012	S3	20		I1G
EJV2018CL-013	S3	0		
EJV2018CL-014	S3	0		
EJV2018CL-015	I1G	20	M4	S3
EJV2018CL-016	I1D	5		I1G
EJV2018CL-017	S3	0		
EJV2018CL-018	S3	0		
EJV2018CL-019	I2J	5		I1G
EJV2018CL-020	S3	0		
EJV2018CL-021	I2J	0		
EJV2018CL-022	I2J	0		
EJV2018CL-023	I2J	30	M1	I1C
EJV2018CL-024	S3	20	M1	I2J
EJV2018CL-025	I2J	0		
EJV2018CL-026	I2J	0		
EJV2018CL-027	I2J	0		
EJV2018CL-028	I2J	0		
EJV2018CL-029	I2J	0		

IdAffleur	Lith1_CodePrim	Ratio_Litho2	Lith2_CodeMeta	Lith2_CodePrim
EJV2018CL-030	I1C	20	M1	I2J
EJV2018CL-031	I1C	20	M1	I2J
EJV2018CL-032	I1C	0		
EJV2018CL-033	S3	5		I1C
EJV2018CL-034	I1C	20	M4	S3
EJV2018CL-035	I1C	0		
EJV2018CL-036	I1C	10		I1G
EJV2018CL-037	I1C	2		I1G
EJV2018CL-038	I1C	45		I1D
EJV2018CL-039	S3	0		
EJV2018CL-040	S3	0		
EJV2018CL-041	S3	0		
EJV2018CL-042	S3	0		
EJV2018CL-043	I1C	0		
EJV2018CL-044	S3	0		
EJV2018CL-045	S3	0		
EJV2018CL-046	S3	0		
EJV2018CL-047	S3	0		
EJV2018CL-048	S3	5		I1
EJV2018CL-049	I2J	1		I1G
EJV2018CL-050	S3	0		
EJV2018CL-051	S3	1		I1G
EJV2018CL-052	S3	0		
EJV2018CL-053	S3	0		
EJV2018CL-054	I3A	0		

IdAffleur	Lith1_CodePrim	Ratio_Litho2	Lith2_CodeMeta	Lith2_CodePrim
EJV2018CL-055	S3	0		
EJV2018CL-056	S3	0		
EJV2018CL-057	I1	0		
EJV2018CL-058	I1	0		
EJV2018CL-059	S3	0		
EJV2018CL-060	I1B	20	M4	S3
EJV2018CL-061	S3	0		
EJV2018CL-062	S3	0		
EJV2018CL-063	S3	0		
EJV2018CL-064	S3	0		
EJV2018CL-065	S3	0		
EJV2018CL-066	S3	0		
EJV2018CL-067	S3	0		
EJV2018CL-068	S3	50		I1B
EJV2018CL-069	I1B	30	M4	S3
EJV2018CL-070	I1B	0		
EJV2018CL-071	I1B	0		
EJV2018CL-072	I1B	0		
EJV2018CL-073	S3	0		
EJV2018CL-074	S3	0		
EJV2018CL-075	I1B	0		
EJV2018CL-076	I1B	0		
EJV2018CL-077	I1B	0		
EJV2018CL-078	I1C	0		
EJV2018CL-079	I1B	0		
EJV2018CL-080	S3	0		
EJV2018CL-081	I1B	0		
EJV2018CL-082	S3	0		
EJV2018CL-083	I1	0		
EJV2018CL-084	S3	0		
EJV2018CL-085	I1B	0		
EJV2018CL-086	I1C	0		
EJV2018CL-087	S3	0		
EJV2018CL-088	S3	10		I1B

IdAffleur	Lith1_CodePrim	Ratio_Litho2	Lith2_CodeMeta	Lith2_CodePrim
EJV2018CL-089	I1G	0		
EJV2018FR-001	I2J	0		
EJV2018FR-002	I1C	0		
EJV2018FR-003	S3	0		
EJV2018FR-004	I1B	0		
EJV2018FR-005	S3	0		
EJV2018FR-006	I2J	0		
EJV2018FR-007	I3A	0		
EJV2018FR-008	I1C	0		
EJV2018FR-009	S3	5		I1B
EJV2018FR-010	I1C	15	M3	I2J
EJV2018FR-011	S3	0		
EJV2018FR-012	S3	0		
EJV2018FR-013	I1C	0		
EJV2018FR-014	I3A	0		
EJV2018FR-015	I1C	30		I3A
EJV2018FR-016	S3	25		I3A
EJV2018FR-017	S3	0		
EJV2018FR-018	I2J	0		
EJV2018FR-019	I1C	5		I1B
EJV2018FR-020	I1C	10		I2J
EJV2018FR-021	I1C	5		I1B
EJV2018FR-022	I1C	20	M3	I2J
EJV2018FR-023	S3	0		
EJV2018FR-024	I2J	0		
EJV2018FR-025	I2J	0		
EJV2018FR-026	I2J	0		
EJV2018FR-027	S3	0		
EJV2018FR-028	S3	0		
EJV2018FR-029	I2J	0		
EJV2018FR-030	S3	0		
EJV2018FR-031	I1C	0		
EJV2018FR-032	I1C	0		
EJV2018FR-033	I1C	0		
EJV2018FR-034	I1C	0		
EJV2018FR-035	I1C	0		
EJV2018FR-036	V3	0		
EJV2018FR-037	I1C	5		I1B
EJV2018FR-038	I1C	10		I1B
EJV2018FR-039	S3	20		I1C

IdAffleur	Lith1_CodePrim	Ratio_Litho2	Lith2_CodeMeta	Lith2_CodePrim
EJV2018FR-040	S3	0		
EJV2018FR-041	I1C	30		I1B
EJV2018FR-042	I1C	30		I1B
EJV2018FR-043	I1C	0		
EJV2018FR-044	S3	0		
EJV2018FR-045	I1C	5		I1B
EJV2018FR-046	I1C	5		I1B
EJV2018FR-047	I1C	0		
EJV2018FR-048	I1C	10		I1B
EJV2018FR-049	S3	40	M3	I2J
EJV2018FR-050	I2J	50		I1B
EJV2018FR-051	I1C	0		
EJV2018FR-052	I1C	0		
EJV2018FR-053	S3	30		I1B
EJV2018FR-054	S3	30		I1B
EJV2018FR-055	I1B	30	M4	S3
EJV2018JF-000	I1C	20		I1G
EJV2018JF-001	I1B	0		
EJV2018JF-002	I1B	0		
EJV2018JF-003		0		
EJV2018JF-004	I1B	0		
EJV2018JF-005	I1B	0		
EJV2018JF-006	I1B	0		
EJV2018JF-007		0		
EJV2018JF-008	I1B	15	M4	
EJV2018JF-009	I1B	15	M4	
EJV2018JF-010	I3A	0		
EJV2018JF-011	I1B	0		
EJV2018JF-012		0		
EJV2018JF-013	I1B	0		
EJV2018JF-014		0		
EJV2018JF-015	I1D	0		
EJV2018JF-016		0		
EJV2018JF-017	I1B	0		
EJV2018JF-018	I1C	0		
EJV2018JF-019		0		
EJV2018JF-020		0		
EJV2018JF-021		0		
EJV2018JF-022		0		
EJV2018JF-023		0		
EJV2018JF-024	I1B	0		
EJV2018JF-025		0		
EJV2018JF-026		0		

IdAffleur	Lith_Desc
EJV2018AN-001	Unité marquée par une alternance de bandes mafique, magnétiques, localement décimétriques et de bandes felsiques centimétrique.
EJV2018AN-002	I2J d'aspect gneissique recoupé par un dyke de I1G (pegmatite de 20 cm de large sur 1,5 cm) orienté N314/71° qui se termine en biseau. Affleurement 10m x 3m
EJV2018AN-003	Aff. I2J/I2H, de couleur gris-vert-rosé en surf. altérée et gris-vert en cassure fraîche. Plusieurs zones sonnent magnétiques au beepmat.
EJV2018AN-004	Aff. orienté N-E, majoritairement magnétique, de 15m/2m à 10m au sud-ouest du précédent. Couleur noir-blanc en patine altérée et gris-noir-verdâtre en cassure fraîche.
EJV2018AN-005	Aff. orienté N-E. Dim. 10m/1,5m. Observation de bandes felsiques // à FO et de bandes mafiques. Nodules centimétriques formés de BO avec halo de malachite (trace à localement 1%) + 1% de Bornite.
EJV2018AN-006	Aff. de 12m/2m sans minéralisation significatif. Présente des bandes felsiques orientées N330/80, dont une bande discontinue plissée en Z avec une direction de plongée N302
EJV2018AN-007	Aff. recoupé par 2 dykes felsiques/pegmatite orientés N155-335 et une VQZ d'un mètre de long stérile. Observation de fractures conjuguées injectés par du QZ et orientées N135-310 et N185-005.
EJV2018AN-008	I1C présentant des bandes felsiques centimétriques // à la FO (mobilisat?) et des bandes mafiques décimétriques.
EJV2018AN-009	Aff. sur le flanc d'une colline. Dim. environ 70m x 10m. Localement de composition tonalitique (sous formes de bandes). Réseau de fracturées conjuguées orientés N62-240 et N132-312.
EJV2018AN-010	I1C à magnétite recoupé par des dykes de pegmatites.
EJV2018AN-011	Deux boutons non connectés de M4 à MG localement rouillés (biotite) présentant des bandes centimétriques plus felsiques essentiellement formées de QZ+FP. Aspect poivre et sel en cassure fraîche et brun-gris-noir en patine altérée.
EJV2018AN-012	Aff. de bord de lac, 15m x 10 présentant des bandes centimétriques plus felsiques essentiellement QZ+FP. Dykes de pegmatites érodés surplombent l'affleurement.
EJV2018AN-013	I1C à MG, gneissique, recoupé par un dyke de I1G (20-50cm d'épaisseur) avec un minéral de QZ de 30cm environ, hématisé. Bande felsique de composition I1C et bandes mafique de composition I2J
EJV2018AN-014	Petit aff. sur le flanc d'une montagne. Dim 2x1m. Très faiblement à faiblement FO. Fracturé et injecté par un dyke de I1G. Alternance de bandes plus felsiques (3-4cm) et plus mafiques (2cm).
EJV2018AN-015	Aff. de flanc de montagne. Dim 3 x 1,5m. Mobilisat boudiné et plissé en Z
EJV2018AN-016	Affil sur flanc de montagne. Dim 1,5x1m. Gneissosité exprimée par l'alternance des bandes (dm) plus felsiques et de bandes +mafiques pluridécimétriques.
EJV2018AN-017	Petit affil. de M4 présentant un rubanement exprimés par l'alternance des bandes +felsiques et +mafiques.
EJV2018AN-018	Subaffleurant. Dim 7mx2m. Patine d'altération gris-brun. Cassure fraîche couleur poivre et sel.
EJV2018AN-019	subaffleurant, coupé par un dyke irrégulier de I1G. Observation d'un minéral translucide vert (olivine) environ 2% sr l'échantillon. Patine d'altération gris-vert et poivre et sel en cassure fraîche. Pas de quartz observé malgré la finesse des grains.
EJV2018AN-020	Aff. sur flanc de colline. Patine d'altération couleur brun-gris et cassure fraîche couleur blanc-verdâtre. Silicification locale (VQZ). Trace de minéral vert présentant un éclat vitreux, en baguette (Apatite?). Localement Mag.
EJV2018AN-021	Patine d'altération couleur brun-verdâtre et aspect poivre et sel en cassure fraîche. Aff. 4mx3m sur le flanc d'une colline.
EJV2018AN-022	Petit aff. d'intrusif intermédiaire mafique, subaffleurant, faiblement folié avec environ 1-2% de QZ et pas de minéralisation apparente.
EJV2018AN-023	Aff. de flanc de montagne 12m/7m coupé par un dyke irrégulier de I1G. Faible pourcentage de QZ.
EJV2018AN-024	Affil. bord du lac, 20m/10m de dimension. Trace à 1% PY. Bandes très MAG // à la FO. Observation de petites bandes +felsique (cm) présentant des nodules monominéraux de FP (1-2cm). Trace à 3% de GR. Localement rouillé (biotite).
EJV2018AN-025	Aff. de 5m/2m, épidotisé en bande et présentant des plissement dans des petites bandes +felsique (probablement du mobilisat (début de migmatisation?). Pas de minéralisation apparente.
EJV2018AN-026	Bloc subarrondi (dim. 50cm/30cm), rouillé sur une partie (25-35%), +/-GR, localement épidotisé avec 1-2%PY dis. Couleur cassure fraîche: gris-verdâtre; patine d'altération: brun-gris-vert.
EJV2018AN-027	Aff. formé de 2 lithos: I1G dans sa partie basale, surplombé par du I2J avec un contact franc orienté N 332/25. FO mesuré dans le I2J orienté N-S.
EJV2018AN-028	Localement silicifié (VQZ stérile), avec des bandes rouillées (biotite), localement mag et pas de minéralisation apparente. Couleur de patine altérée: Brun, vert; cassure fraîche: poivre et sel.
EJV2018AN-029	Aff. I1D, localement d'aspect pegmatique avec ce qui semble être une enclave de I2J (40cm/20cm). Patine d'altération gris-blanc et cassure fraîche grs-verdâtre. Pas de MIN apparente.
EJV2018AN-030	Aff. de I1C, granoblastique, non mag, présentant une faible épidotisation et pas de MIN apparente. Localement pegmatitique.
EJV2018AN-031	Aff. de granite, avec des veinules d'épidote. Non mag. Dimension 3m x 1m.
EJV2018AN-032	I1B non minéralisé, granoblastique, présentant une foliation marquée par l'alignement des minéraux mafiques. Dim 5m x 1m
EJV2018AN-033	Petit aff. massive et homogène de 3m/0,5m, localement hématisé. Pas de minéralisation apparente.
EJV2018AN-034	2 blocs de V3B (2m par 1m de dim.) présentant une silicification penetrative (5 à 20% de l'Aff.) avec des veines cmtrique d'épidote. 1 à 2% PY disséminées et veinules de carbonates.
EJV2018AN-035	Aff. I1C/I1B de 5m x 1m de dimension, localement MAG et sans minéralisation apparente. Hématisation en spot. Présente des bandes cm +felsiques (Qz+FP). Couleur ALT: brun-gris et frais de gris-blanc.
EJV2018AN-036	Bloc I3A, rouillé, épidotisé et anguleux de 30cm par 20cm avec trace à 1% PY.
EJV2018AN-037	Bloc subarrondi de I2J rouillé, localement épidotisé en amas, avec trace de PY disséminées. Localement MAG, Dim 40cm/30cm. Patine d'altération brun-rouille et gris-vert en cassure fraîche.
EJV2018AN-038	Bloc subanguleux, rouillé de I3A très épidotisé avec 10-15% PY fine en amas. Dimension: 80cm/30cm. Localement magnétique. Patine d'altération: brun-rouille. Cassure fraîche: gris-verdâtre.
EJV2018AN-039	2 blocs de I3A à MG dont un très épidotisé (jusqu'à 85%) et légèrement rouillé, brun-vert en patine d'altération et vert-gris en cassure fraîche. Le second n'est pas épidotisé mais rouillé et MAG. Faiblement FO avec 1%PY
EJV2018AN-040	Aff. 10m x 3m de I1G présentant des enclaves parfois métriques et épidotisé en bandes // à la FO. Mélanosome centimétrique à porphyre de AM+BO +/-MG retrouvé entre l'enclave et la pegmatite.

IdAffleur	Lith_Desc
EJV2018AN-041	Aff. I1D visible sur le flanc, faiblement granoblastique et homogène. Pas de MIN apparente. Spot d'hématisation. Localement MAG. Gris-noir en patien d'altération et gris-poivre et sel en cassure fraîche.
EJV2018AN-042	Aff. douteux (probablement bloc) de 7m x 2m légèrement épidotisé en veinules. Localement faible magnétisme. Hématisation autour de la magnétite (probablement Hématite). Pas de minéralisation apparente.
EJV2018AN-043	Aff. d'orthogneiss recoupé par un dyke de I1G irrégulier. Localement bandes centimétriques, plus felsiques (QZ+FP) et discontinues. Gneissosité de direction variables. Localement magnétique.
EJV2018AN-044	Aff. homogène de tonalite (10mx1m), localement rouillé et MAG. Pas de MIN apparente Spot d'hématisation. Patine d'altération brun-gris et gris-noir en cassure fraîche.
EJV2018AN-045	Bloc d'orthogneiss arrondi (4m x 3m) avec 5% I1G minéralisé en Hématite (CLU 2-5%HEM). Patine d'altération brune et gris-vert en cassure fraîche.
EJV2018CG-001	Bloc 3*3*1m anguleux
EJV2018CG-002	Bloc sub-anguleux 0,3x0,3x,3m
EJV2018CG-003	Decapage a bras. 6000 HFR. S9??
EJV2018CG-004	Bloc 2x2x2m, sub arrondis.
EJV2018CG-005	0,3*0,3*0,5m sub arrondis
EJV2018CG-006	
EJV2018CG-007	Bloc 0,3*0,4*0,2m
EJV2018CG-008	Bloc sub-anguleux 0,5x0,4x0,3m
EJV2018CG-009	Affleurement 50x50m
EJV2018CG-010	10x10m. Zone contact
EJV2018CG-011	Magnétique. 12x12m
EJV2018CG-012	
EJV2018CG-013	Affleurement 20x20m
EJV2018CG-014	
EJV2018CG-015	Bloc 1x1x0,7m, Anguleux. Plusieurs blocs.
EJV2018CG-016	1*1*0,3m sub-anguleux
EJV2018CG-017	10x10m
EJV2018CG-018	1x1x1m Anguleux
EJV2018CG-019	3x5m
EJV2018CG-020	Bloc 2x2x2m Anguleux
EJV2018CG-021	Bloc I1N +I2J?? Ou S3?? Sub anguleux 0,3*0,3*0,3m
EJV2018CG-022	5x5m
EJV2018CG-023	
EJV2018CGJOL-001	Affleurement localement conducteur jusqu'à 1200 HFR. 2x3m. Patine brun-gris. Cassure gris moyen. Semble y avoir un contact transitionnel entre le sédiment et l'intrusion felsique.
EJV2018CGJOL-002	bloc sub-angulaire. 60x60x60cm. Patine gris moyen rouillé. Cassure gris moyen avec bandes mm. rouillées.
EJV2018CGJOL-003	quelques zones conductrices dans un périmètre de 50m non accessible; 1,5m de mort terrain. Aff. 2x10m. Patine gris moyen aspect rouillé. Cassure gris moyen.
EJV2018CGJOL-004	bloc sub angulaire 80x80x80cm. Patine gris rouillé. Cassure gris moyen.
EJV2018CGJOL-005	10x20m. Patine gris. Cassure beige. Présence d'un dyke pegmatitique graphique qui recoupe 2% de l'intrusif.
EJV2018CGJOL-006	bloc sub-arrondi météorisé 1x1x0,5m
EJV2018CGJOL-007	6x4m
EJV2018CGJOL-008	aff. 15x20m. 90% d'intrusion felsique recoupé de S3/M4 10% [FO,GF,GR,GS]. Le S3 fait 30 cm d'épaisseur. Patine gris-blanc-beige. Cassure beige-rose.
EJV2018CGJOL-009	8x10m. Patine brun-gris. Cassure poivre-brun. Le S3 est recoupé d'un dyke U1G de 30 cm d'épaisseur.
EJV2018CGJOL-010	3x4m
EJV2018CGJOL-011	aff. 4x6m situé à 100m d'une zone conductrice. Légèrement météorisé. Patine gris moyen à brun. Cassure grise.
EJV2018CGJOL-012	légèrement météorisé. 20x5m. Patine gris moyen. Cassure gris intermédiaire. Semble être recoupé d'un dyke U1G d'environ 20cm d'épaisseur qui semble suivre la FO.
EJV2018CGJOL-013	aff. 50x50m. Semble y avoir un contact transitionnel entre S3 et I1. S3 localement mag. Quelques dykes de U1G décimétriques recouperent la foliation. La patine est grise moyen et la cassure grise foncé.
EJV2018CGJOL-014	5x2m. Cassure grise
EJV2018CGJV-001	DIM: 15m par 6m, patine gris moyen, cassure gris moyen, non mag, 5 à 10 % bandes cm loc plissées, composition felsique grain moyen
EJV2018CGJV-002	Bloc subangulaire 40x40x30cm, patine gris moyen moyennement rouillé, cassure gris moyen
EJV2018CGJV-003	DIM: 50cm par 1.5m, couleur platine gris brun et localement rouillé, couleur cassure gris moyen à verdâtre.
EJV2018CGJV-004	patine grise legerement météorisé. Cassure grise moyenne.
EJV2018CGJV-005	0,5x0,5x0,3 m sub-anguleux
EJV2018CL-001	Roche foliée gneissique à AM probablement de composition dioritique de couleur gris verdâtre en cassure fraîche et gris en patine. Présence de 5% de mobilisat blanc à grains moyens à grossiers (I1C à I1B) de 5 à cm de large souvent // au rubanement.
EJV2018CL-002	Aff hétérogène caractérisé par alternance lits (0,1-5mm) riches en AM, rubans (mm-dm) composition mafique (AM+/-BO) puis rubans un peu plus riches en QZ (5-10%), ce qui donne l'aspect gneissique à la roche. Présence 5% mobilisat blanc (I1C-IB, GM+/-GG).
EJV2018CL-003	Dim: 10m*4m. Patine grise, cassure grise verdâtre.
EJV2018CL-004	Dim:20m*20m. Patine blanche verdâtre et cassure gris vert blanc. 5% mobilisat blanc à grains grossiers I1C 10-50cm de large

IdAflleur	Lith_Desc
EJV2018CL-005	Bloc de 60cm*20cm*20cm anguleux
EJV2018CL-006	Bloc anguleux de 40cm*20cm*80cm d'un gneiss d'origine sédimentaire ou intrusive (?)
EJV2018CL-007	Dim: 10m*5m. Patine et cassure gris blanc un peu rosé. 1-2% mobilisat blanc à grains grossiers de -cm de large
EJV2018CL-008	Dim:10m*4m. Granodiorite blanche et grise homogène légèrement foliée à AM+/-BIO
EJV2018CL-009	Bloc arrondi de 40cm*60cm*40cm de paragneiss à biotite
EJV2018CL-010	Bloc anguleux à subarrondi de dim 20cm*15cm*15cm. Patine grise et blanche. Cassure blanc vert pistache
EJV2018CL-011	DIM:50m*50m. Plusieurs petits butons identiques de part et d'autres de cet affl. I1C ou I1D avec quelques phénocristaux de 5-10mm idiomorphes (FP). Présence aussi de 5% mobilisat blanc et grossier de compo felsique (5-10cm)
EJV2018CL-012	Dim: 10m*8m. Affl de paragneiss gris brun en patine et gris noire et brun en cassure recoupé par un dyke de pegmatite blanc gris rosé
EJV2018CL-013	Affl identique au EJV2018CL-012. Dim:2m*2m. Patine grise localement brune. Cassure gris noir brune.
EJV2018CL-014	Dim: 10m*5m. Patine brune, cassure gris noir brun.
EJV2018CL-015	Plusieurs petits affl entre 10-50m*10-50m. Pegmatite à patine blanche contenant des lambeaux de paragneiss cm-m.
EJV2018CL-016	Plusieurs aff 10-50m*10-50m à flanc de collines de tonalite ou granodiorite à patine blanche et cassure blanche grise picoté de vert noir foncé recoupé par des dykes de pegmatite.
EJV2018CL-017	Bloc 2m*1m (?) ou affleurement (?) à patine gris brun et cassure gris moyen. I1D(M1) ou S3(M4) à Am-BO
EJV2018CL-018	dim:3m*1m.Patine brune. Cassure gris noir moyen.
EJV2018CL-019	Dim:15*20m. Patine verte et blanche. Cassure gris vert moyen.
EJV2018CL-020	Dim:20m*5m. Patine brune. Cassure gris brun à noir.
EJV2018CL-021	Dim:10m*5m. Patine blanche verte. Cassure gris vert. Affl folié à gneissique (début de ségrégation)
EJV2018CL-022	dim:4m*3m. Diorite très altérée et minéralisée, foliée à gneissique par endroits.
EJV2018CL-023	dim: grosse butte affl qui longe un lac et qui est en relief. Semble y avoir deux lithos, une felsique et une à composition plus intermédiaire. Les relations entre ces deux lithos sont difficiles à observer et semble à faible pendage.
EJV2018CL-024	meme affl que EJV2018CL-023 meme dans le flanc de la butte. Paragneiss ou intrusif felsique. Présence de bandes mm-cm de compositions différentes (felsiques et légèrement plus mafiques à biotite)
EJV2018CL-025	dim: 10m*5m. Affl sub en place (blocs basulés). Légèrement magnétique
EJV2018CL-026	Dim: 10m*3m. Patine gris vert avec deux bandes 5-15cm rouillées à N310-315. Légèrement magnétique.
EJV2018CL-027	Dim: 3m*2m. Patine grise avec patch vert pomme. Cassure grise verdâtre.
EJV2018CL-028	Dim: 7m*2m. Présence de 5% de mobilisat grossiers très irréguliers recoupant parfois la gneissosité. Diorite foliée à gneissique avec 5% bandes bandes blanchâtres mm-cm (leucosomes)
EJV2018CL-029	Bloc pris sous l'eau dans le lac, très anguleux, provient probablement de l'affleurement présent dans le lac. Bloc de 10cm*10cm*15cm.

IdAffleur	Lith_Desc
EJV2018CL-030	dim:6m*50m. Granodiorite à patine blanche grise et rose en contact avec une diorite blanche et verte
EJV2018CL-031	Meme affleurement que -030
EJV2018CL-032	Dim: 5m*20m. Patine blanche et rose; cassure blanc gris rose
EJV2018CL-033	Dim:2m*2m. Paragneiss à biotite recoupaît par des injections grossières à QZ-FP, BO
EJV2018CL-034	Dim:8m*5m. Granodiorite blanche un peu rosatre en contact avec un metasediment (? Ou roche intrusive à grains plus fins?). M4(S3)[GR FO GS GF], BO, QZ, FP, EP. Le paragneiss contient de nombreuses bandes felsiques ainsi que des bandes mm-cm riches en QZ.
EJV2018CL-035	Dim: 2m*5m sous la mousse. Granodiorite ou monzonite quartzifère altérée en épidote, hematite et riche en chlorite localement mais presque pas minéralisée. Difficile de voir la roche en patine, le % de QZ est dur à estimer, entre 10 et 20%
EJV2018CL-036	dim: 10m*3m, sur un flanc. Granodiorite homogène légèrement folié à patine blanche et cassure grise, non magnétique.
EJV2018CL-037	Dim: 10m*5m, sur le top. Granodiorite à patine blanche et cassure grise avec 1%phénocristaux de FP. Localement présence de dykes(?) à grains fins de composition felsique.
EJV2018CL-038	Dim: 30m*5m. Granodiorite à AM avec 1%phénocristaux probablement recoupée par une autre roche intrusive felsique à grains plus fins et à biotite non foliée (tonalite?).
EJV2018CL-039	Dim: 5m*1m. Sur le flanc d'une butte. Paragneiss homogène à patine blanche et grise avec 5% mobilisat blanc felsique à grains moyens+/-grossiers
EJV2018CL-040	Dim:50m*5m sur un flanc. Paragneiss à biotite homogène avec 10% mobilisat blanc de composition felsique à grains moyens-grossiers, recoupé par des injections grossières à pegmatitiques.
EJV2018CL-041	Bloc subanguleux de 20cm*30cm*10cm d'un paragneiss à biotite à patine blanche brunatre et cassure gris légèrement verdâtre.
EJV2018CL-042	Dim: 6m*3m Paragneiss migmatisé avec 30% mobilisat à grains moyens+/-grossiers de composition felsique de 1cm à 10cm de large, parfois discontinu et irrégulier. Présence également de schlieres de biotite de 5mm-1cm de large.
EJV2018CL-043	Dim: 5m*1m sous la mousse dans le bois. Intrusif felsique homogène et massif à amphibole de patine blanche et cassure blanche et grise.
EJV2018CL-044	Dim: 3m*7m sous la mousse dans le bois. Paragneiss migmatisé avec 5% mobilisat blanc de composition felsique, bandes larges de 5mm-5cm.
EJV2018CL-045	Dim: 1m*1m, sous la mousse. Paragneiss de patine beige et cassure gris bleuté. 1% mobilisat blanc a grains moyens de composition felsique, bandes de 1 a 5 cm de large
EJV2018CL-046	Bloc anguleux de 40cm*60cm*15cm de paragneiss gris bleuté en cassure et beige brunâtre en patine.
EJV2018CL-047	Dim: 2m*1m sous la mousse. Paragneiss de patine beige brunatre et de cassure grise. 1-2% mobilisat de 1 a 10cm de large // foliation parfois irrégulier, discontinus et plissés (plis localement de plis ptigmatitiques)
EJV2018CL-048	Dim: 5m*3m. Paragneiss en contact avec un dyke felsique a grains moyen blanc et très légèrement rose. Le paragneiss contient aussi 5% mobilisat blanc de composition felsique +/-AM, de 1-5cm de large
EJV2018CL-049	Dim: 5m*5m. Diorite quartzifere (?) a AM-BO a patine blanche et verte et cassure grise.
EJV2018CL-050	Dim: 5m*8m. Paragneiss a patine beige brunatre et cassure grise contenant 5-10% mobilisat blanc de 1-10cm de large // foliation
EJV2018CL-051	Dim: 3m*4m. Paragneiss a patine et cassure grises recoupé par quelques dykes d'intrusifs felsiques a GG a PG. 5% bandes blanchâtres dans le paragneiss (mm-cm)
EJV2018CL-052	Dim: 10m*5m, paragneiss a patine beige brunatre et cassure grise contenant 5-10% mobilisat blanc de composition felsique
EJV2018CL-053	Bloc subanguleux de 1m*1m*40cm de paragneiss silicifié et minéralisé. Le bloc est caractérisé par la présence de bandes très silicifiées a GF-GM, de petits lits de biotite mm et de bandes a GM QZ-FP+/-BO legerement moins silicifiées.
EJV2018CL-054	Bloc anguleux de 2m*1m*80cm de metagabbro ou metadiorite a AM bien folié contenant une bande de 15-20cm de large a grain plus fin, silicifiée et minéralisée. Bloc très magnétique

IdAffleur	Lith_Desc
EJV2018CL-055	Bloc subanguleux de 1,5m*1m*1m de metasediment très silicifié aphanitique a grains fins a patine beige brunatre et cassure gris blanc legerement bleuté.
EJV2018CL-056	Bloc subarrondi de 1,5m*1m*60cm de paragneiss a patine brunatre et cassure gris foncé brunatre.
EJV2018CL-057	dim: 20m*2m. Intrusif felsique a patine grise et rose et cassure grise rosatre.
EJV2018CL-058	Bloc subanguleux enterré d'environ 1m*1m*80cm d'un intrusif felsique a patine blanche et cassure grise legerement epidotisé avec quelques veines quartz
EJV2018CL-059	Bloc anguleux de 2m*1m*60cm d'un paragneiss a patine et cassure grise
EJV2018CL-060	Paragneiss recoupé (ou enclave?) par un intrusif felsique a patine blanche a grains moyens+/-grossiers parfois pegmatitique. Le paragneiss forme une bande de 1 a 1.5m de large, il est rouillé, minéralisé et tres silicifié.
EJV2018CL-061	Plusieurs surfaces affleurantes sur un flanc de montagne. Dim:5m*10m. Paragneiss avec 5-10% mobilisat blanc a grains moyens-grossiers de composition felsique.
EJV2018CL-062	Dim: 3m*2m. Conducteur (4200HFR et 2125LFR, RT:50%). Roche metasedimentaire a patine beige brunatre et localement rouillé et cassure grise, parfois grise bleuté. Bande rouillée de 30cm de large // a la foliation.
EJV2018CL-063	Petit bloc arrondi trouvé sur un affleurement de 20cm*40cm*20cm a patine rouillé et cassure brune et grise legerement vert pale.
EJV2018CL-064	Dim: 20m*3m. Affleurement sub-en-place Roche metasedimentaire a biotite avec 5% de mobilisat blanc de composition felsique
EJV2018CL-065	Dim: 4m*8m. Metasediment patine brune, cassure grise.
EJV2018CL-066	Bloc anguleux de 80cm*40cm*30cm a patine brunatre un peu rouillé et cassure gris bleuté
EJV2018CL-067	Dim: 5m*5m. Patine brunatre, cassure grise
EJV2018CL-068	Dim:3m*2m sous la mousse. Cela semble des injections de granite dans le paragneiss (injections felsiques blanches de 5-10cm de large, avec concentration de biotite le long des bandes (ou mobilisat?))
EJV2018CL-069	dim: 50m*8m. Paragneiss migmatisé recoupé par un granite
EJV2018CL-070	Dim: 40m*10m. Granite a patine blanche homogene, massif a legerement folie
EJV2018CL-071	Dim: 20m*15m. Granite a patine blanche et cassure grise et blanche
EJV2018CL-072	DIM: affl decametrique d'un granite homogene et massif blanc rosatre en patine et en cassure
EJV2018CL-073	Bloc subarrondi de 70cm*40cm*25cm d'un paragneiss localement silicifié
EJV2018CL-074	Bloc anguleux d'une roche métasédimentaire a grains fins gris clair en patine et gris un peu bleuté en cassure
EJV2018CL-075	affleurement plurimetrique d'un granite blanc rosé homogene et massif
EJV2018CL-076	Affleurement plurimetrique d'un granite blanc rosé homogene et massif
EJV2018CL-077	affleurement plurimetrique d'un granite blanc rosé homogene et massif
EJV2018CL-078	Dim: 15m*5m. Intrusif felsique tres legerement folié.
EJV2018CL-079	bloc subarrondi a subanguleux de 20cm*40cm*60cm d'un granite homogene massif a legerement folié plus
EJV2018CL-080	Bloc subarrondi de 20cm*20cm*40cm d'un metasediment avec 20% veines QZ
EJV2018CL-081	affleurement plurimetrique sur un petit button. Granite homogene et massif a patine et cassure blanc rosatre. Présence de 1% enclaves de paragneiss allongées ou arrondies cm-dm
EJV2018CL-082	Bloc anguleux d'un métasédiment de 1m*40cm*20cm a patine beige et cassure gris clair. Présence d'un niveau gris foncé aphanitique de 1cm de large
EJV2018CL-083	Dim:15m*2m. Intrusif felsique a patine blanche et cassure blanche grise contenant quelques enclaves de paragneiss un peu diffuses sans orientations preferentielles cm-dm.
EJV2018CL-084	Bloc anguleux a 2m*1m*80cm a patine beige brunatre et cassure gris moyen. 30% mobilisat blanc a grains moyens blancs de 1-5mm de large
EJV2018CL-085	Bloc anguleux de 80cm*60cm*20cm de granite altéré en épidote
EJV2018CL-086	Dim: 5m*1m. Granodiorite a patine blanche et cassure grise et blanche
EJV2018CL-087	Bloc anguleux de 20cm*20cm*10cm. Metasediment
EJV2018CL-088	Dim: 50m*20m sous la mouss, un beau paragneiss a biotite et grenat avec au nord de l'affleurement un granite a patine blanche homogene

IdAffleur	Lith_Desc
EJV2018CL-089	Dim: 3m*3m. Granite pegmatitique a patine blanche et cassure blanche. Présence de 2% d'enclaves de paragneiss allongées et decimetriques
EJV2018FR-001	Bloc de 50x30x30cm. Leucosome et melanosome centimetriques. Couleur altérée; rouille. Couleur frais; gris moyen
EJV2018FR-002	Bloc de 50x50x30cm, Anguleux. Couleur altérée; Gris pâle / rouille. Couleur frais; Gris. Roche felsique à Qz, Fld, Am.
EJV2018FR-003	Bloc de 50x30x10cm. Couleur altérée; brun / rouille. Couleur frais; Gris moyen. Roche métamorphique probablement d'origine sédimentaire (Qz, Bio, Fld, Gr)
EJV2018FR-004	Affleurement de 100m carré. Couleur altérée; rose blanchâtre. Couleur frais; rose grisâtre. Granite pegmatitique (localement)
EJV2018FR-005	1m x 60cm x 1m, sub-arrondis. Couleur altérée; gris localement rouille. Couleur frais; gris foncé. Roche métamorphique (gneissique) d'origine probablement sédimentaire? (Peut-être un Orthogneiss).
EJV2018FR-006	bloc de 40 x 30 x 30 cm, sub-arrondis. Couleur altérée; rouille. Couleur frais; gris foncé. Roche d'apparence métamorphique, d'origine probablement ignée (Am, Fld, Qz?)
EJV2018FR-007	Bloc de 40 x 30 x 30cm, sub-arrondis. Couleur altérée; brun. Couleur frais; vert/noir. Roche ignée mafique.
EJV2018FR-008	Bloc de 30 x 30 x 30cm, sub-arrondis. Couleur altérée; blanc/gris. Couleur frais; gris moyen. Granite (ou granodiorite) a magnétite.
EJV2018FR-009	2 affleurements, 200m carré. Couleur altérée; gris foncé (localement rouille). Couleur frais; Gris moyen. Roche méta d'origine probablement sédimentaire.
EJV2018FR-010	2 x Affl de 40m carré. Couleur altérée; blanchâtre. Couleur frais; gris pâle. Tonalite/granodiorite migmatisé injecté de dykes pegmatitiques mineurs et de veine de Qz blanche contenant des amas de molybdenite.
EJV2018FR-011	Bloc de 1m x 30cm x 50cm, sub-anguleux. Couleur altérée; gris moyen. Couleur frais; gris pâle.
EJV2018FR-012	Bloc de 50 x 30 x 30cm, anguleux. Couleur altérée; gris (léger rouille). Couleur frais; gris moyen. Roche métamorphique, gneissosité bien développé, probablement d'origine sédimentaire. (Bio, Qz, Fp, Gr)
EJV2018FR-013	Affl de 15 x 3m. Couleur altérée; gris pâle. Couleur frais; gris moyen. Roche intrusive felsique massive.
EJV2018FR-014	Gabbro ou diorite déformé. Présence de veines de Qz blanches, 10-30cm d'épaisseur.
EJV2018FR-015	Affl de 50 x 15m. Couleur altérée; gris / gris pâle. Couleur frais; gris / noir. Granodiorite et gabbro(diorite?) (relation non clair) injectés pas quelques dykes pegmatitique centimétriques.
EJV2018FR-016	Roche métamorphique d'origine probablement sédimentaire (Bio, Qz, Fp). Présence d'une roche mafique a GF/Gm déformé.
EJV2018FR-017	Bloc de 2 x 1m, sub-anguleux. Couleur altérée; brun rouille. Couleur frais; gris moyen. Roche métamorphique recristallisée, probablement d'origine sédimentaire (Bio, Am, Qz, Mt)
EJV2018FR-018	2 x 1m. Couleur altérée; blanc verdâtre. Couleur frais; verdâtre. Roche métamorphique d'origine ignée probablement intermédiaire (Am, Fp, Qz, Bo). Melanosome d'épaisseur 1-5cm.
EJV2018FR-019	8 x 5m. Couleur altérée; blanchâtre / gris pâle. Couleur frais; gris moyen. Roche métamorphique d'origine ignée à Fp, Qz, Am, Bo. Grains fins, localement gneissique. Présence de quelques dykes pegmatitiques.
EJV2018FR-020	Idem affleurement 019. 8 x 3m. Couleur altérée; blanchâtre / gris pâle. Couleur frais; gris moyen. Roche métamorphique d'origine ignée à Fp, Qz, Am, Bo. Grains fins, localement gneissique.
EJV2018FR-021	Idem affl 019. 8 x 5m. Couleur altérée; blanchâtre / gris pâle. Couleur frais; gris moyen. Roche métamorphique d'origine ignée à Fp, Qz, Am, Bo. Grains fins, localement gneissique. Présence de quelques dykes pegmatitiques.
EJV2018FR-022	5 x 5m. Couleur altérée; gris pâle. Couleur frais; gris / gris moyen. 80% Roche métamorphique d'origine ignée felsique, gneissique, grains fins. 20% de roche légèrement plus mafique (Am), gneissique, semble ne pas contenir de Qz, grains moyens.
EJV2018FR-023	Bloc ou affleurement? 3 x 1m. Couleur altérée; brun rouille. Couleur frais; gris moyen. Roche métamorphique, gneissique, d'origine sédimentaire (Fp, Qz, Bo). Magnétique (2/3)
EJV2018FR-024	I2J gneissique à grains fin/grains moyens. Conducteur avec le beep map. Fortement altéré en épidote. La minéralisation (15-20%Py) est associé aux niveaux à granulométrie plus fine. Les niveaux à grains moyens contiennent généralement 2-3% Py.
EJV2018FR-025	30 x 40cm, sub-anguleux. Couleur altérée; rouille. Couleur frais; verdâtre.
EJV2018FR-026	1,5 x 1m, sub-anguleux. Couleur altéré; rouille. Couleur frais; verdâtre. I2J (ou I3A) des partie du bloc semble plus mafique (du a la gneissosité?).
EJV2018FR-027	30 x 40cm. Couleur altérée; rouille. Couleur frais; gris moyen/foncé. Roche métamorphique d'origine sédimentaire (Qz, Fp, Bo). 5-10% mobilisat.
EJV2018FR-028	30 x 30cm. Couleur altérée; rouille. Couleur frais; gris moyen/foncé. Roche métamorphique d'origine sédimentaire. 10% mobilisat.
EJV2018FR-029	1m x 50cm. Couleur altérée; gris/verdâtre. Couleur frais; gris/verdâtre. 10% mobilisat.
EJV2018FR-030	5 x 2m. Couleur altérée; gris/blanchâtre. Couleur frais; gris moyen. Roche métamorphique gneissique d'origine sédimentaire. 30-40% mobilisat.
EJV2018FR-031	8 x 4m. Couleur altérée; blanchâtre gris. Couleur frais; gris moyen. Roche ignée felsique, gneissique. Magnétique (2/3). 20% mobilisat.
EJV2018FR-032	Idem affl 031. 8 x 4m. Sans magnétite, avec amphiboles.
EJV2018FR-033	Idem affl. 031. Avec amphiboles.
EJV2018FR-034	Idem affl. 0.31. Localement porphyrique
EJV2018FR-035	Idem affl. 033. Localement porphyrique. 100m carré.
EJV2018FR-036	5 x 5m. Couleur altérée; brun/rouille. Couleur frais; vert foncé. Roche mafique, probablement volcanique, grains fins. Localement les textures sont complètement oblitérées par l'altération (Sil, Epi, Chi). Non conducteur. Magnétique (2/3). Bréchique?
EJV2018FR-037	8 x 3m. Couleur altérée; blanc rosé. Couleur frais; gris. Roche ignée felsique (Fp, Qz, Am, Bo?) le % de Qz varie grandement (5-20%)
EJV2018FR-038	8 x 3m. Couleur altérée; gris blanchâtre. Couleur frais; girs pâle. Non magnétique. 10% I1B Pegmatitique (Injections, 1-5cm d'épaisseur)
EJV2018FR-039	5 x 2,5m. Couleur altérée; beige/noir. Couleur frais; gris/noir, gris/pâle.

IdAffleur	Lith_Desc
EJV2018FR-040	5 x 4m. Couleur altérée; brun rouille/gris. Couleur frais; gris foncé. Paragneiss à Bo, Gr de couleur rouillé. Non conducteur, non magnétique.
EJV2018FR-041	20 x 15m. Couleur altérée; blanc rosé. Couleur frais; blanc grisâtre. Immense affleurement sur le top de la bute. I1C injecté de I1B pegmatitique
EJV2018FR-042	100 m carré. Idem 041.
EJV2018FR-043	50 x 40 x 40cm. Couleur altérée; gris moyen/rouille. Couleur frais; gris moyen. Roche ignée felsique, gneissique. Magnétique (2/3). Non conducteur. Niveau épidotisé, 5mm d'épaisseur, contenant 2-3% Py en grains très fins.
EJV2018FR-044	1m x 50cm x 1m. Couleur altérée; brun rouille. Couleur frais; gris moyen/brun. Roche métamorphique, gneissique, d'origine sédimentaire (Bo, Fp, Qz)
EJV2018FR-045	200m carré. Couleur altérée; blanc rosé. Couleur frais; blanc gris. Immense affl en flanc de montagne. Magnétique (1/3). Injecté de dykes de I1B pegmatitique mineurs.
EJV2018FR-046	30 x 20m. Idem affl 044.
EJV2018FR-047	10 x 2m. Couleur altérée; rosé. Couleur frais; rosé. Roche ignée felsique. Non magnétique.
EJV2018FR-048	8 x 4m. Couleur altérée; blanchâtre. Couleur frais; blanc rosé. Roche ignée felsique porphyrique, légèrement foliée. Magnétique (2/3)
EJV2018FR-049	30 x 20m. L'affleurement comporte 3 lithos; 40% S3/M4, 35% I2J/M3, 35% I1P Peg. S3/M4; GS, GF, GR; Magnétique (2/3). I2J/M3; GS GF GM; Non magnétique; Très peu de Qz. I1P Peg; PG MA.
EJV2018FR-050	50 x 20m. Couleur altérée; brun/rouille. Couleur frais; gris moyen. Immense affl au sommet d'une bute. I2J/M3 injecté de dyke pegmatitique de I1B massif. 20% mobilisat dans I2J/M3. Non magnétique.
EJV2018FR-051	5 x 3m. Couleur altérée; rosé blanc. Couleur frais; rosé blanc. I1C à mgnétite.
EJV2018FR-052	10 x 5m. I1C à magnétite. Idem 051
EJV2018FR-053	5 x 5m. Couleur altérée; brun rouille. Couleur frais; gris moyen. Paragneiss migmatisé (30-40% mobilisat I1B). Affleurement plissé. Très conducteur au beep mat. Non magnétique.
EJV2018FR-054	Idem 053. Créé pour les échantillons seulement.
EJV2018FR-055	25 x 10m. Couleur altérée; blanchâtre. Couleur frais; blanc gris. Affl composé principalement de mobilisat (I1B, 70%) et de S3/M4 (30%).
EJV2018JF-000	Pegmatite with amphiboles. Sample comes from the pegmatite only (100%).
EJV2018JF-001	30m x 10m granite outcrop containing 2 to 4% amphiboles. Is weakly magnetic (magnetite).
EJV2018JF-002	Magnetite granite containing up to 3% magnetite and traces of disseminated pyrite.
EJV2018JF-003	Biotite quartz feldspath fine grained paragneiss boulder (2m x 1m) found at the bottom of the hill.
EJV2018JF-004	Outcrop ridge 50m x 50m of medium grained granite. Locally weakly magnetic. No samples, no sulfides observed.
EJV2018JF-005	Granite outcrop, coarse grained and not foliated containi 1% magnetite ans maybe traces of sulfide.
EJV2018JF-006	30m x 10m of granite outcrop locally magnetic (disseminated magnetite grains), medium to coarse grained.
EJV2018JF-007	6m x 4m x 3m subangular boulder of biotite paragneiss.
EJV2018JF-008	Subrounded 3m x 2m x 2m granite boulder with paragneiss fragments.
EJV2018JF-009	1m x 1m x 1m subrounded boulder containing paragneiss fragments. Not magnetic
EJV2018JF-010	40cm x 30cm rusty angular gabbro boulder. Not magnetic.
EJV2018JF-011	Granite 30m x 15m outcrop. No sulfides observed. Locally weakly magnetic
EJV2018JF-012	20cm x 8cm x 12cm subangular boulder of fine grained paragneiss. Contains a quartz vein mineralized in pyrite (and also copper colored spot, probably irridescant alteration of sulfide)
EJV2018JF-013	3m x 3m outcrop
EJV2018JF-014	Subangular 60cm x 40cm biotite paragneiss (rusty) boulder containing disseminated traces of pyrite.
EJV2018JF-015	60cm x 60cm foliated tonalite? Boulder.
EJV2018JF-016	Subangular 40cm x 40cm biotite pragneiss boulder containing quartz vein. Disseminated pyrite in quartz vein.
EJV2018JF-017	Fine grained pinkish granite subangular 40cm x 30xm boulder containing disseminated pyrite.
EJV2018JF-018	biotite granodiorite? 1.5m x 1m subangular boulder. Moderately magnetic locally (magnetite).
EJV2018JF-019	60cm x 40cm sunabgular biotite paragneiss boulder containing 8mm quartz-feldspath vein. Disseminated pyrite (tr to 1%) hosted in the vein.
EJV2018JF-020	Subangular 60cm x 40cm biotite paragneiss boulder containing a 6mm quartz-feldspath vein mineralized in pyrite traces at its borders.
EJV2018JF-021	Subangular 30cm x 30cm biotite paragneiss with pegmatitic anatexic injections (10cm). Not magnetic.
EJV2018JF-022	Outcrop of bioite paragneiss injected with anatexic pegmatitic injections. Also quartz rich boudinaged horizons is present. Rust is observed locally, sulfides?
EJV2018JF-023	Foliated biotite paragneiss inhedcted by pegmatitic injections (anatexic). Presence of quartz-feldspath veinlet containing traces of disseminated pyrite.
EJV2018JF-024	10m x 2m granite outcrop which is followed on top of the hill. Weakly magnetic locally (magnetite) and no sulfides observed.
EJV2018JF-025	Subangular 30cm x 30cm biotite paragneiss boulder containing quartz-feldspath veinlet (1cm) where local rusty spot could be sulfides?
EJV2018JF-026	Subangular 1m x 50cm x 50cm boulder found in small boulder field near creek swamp. Biotite paragneiss injected by anatexic pegmatites (2-5cm thick).

IdAffleur	Texture_Code	Texture_Desc	Miner1	Miner1 %	Miner2
EJV2018AN-001	GR GF HJ GS FO		QZ	39	BO
EJV2018AN-002	GF GM GS GR FO HK	HK parce seulement une partie de l'affleurement est recoupé par le dyke de l1G.	PG	30	AM
EJV2018AN-003	MA HJ		PG	40	AM
EJV2018AN-004	MA GR GM HJ		PG	46	AM
EJV2018AN-005	GR FO GM HJ		QZ	26	PG
EJV2018AN-006	GR FO GM HK		QZ	26	PG
EJV2018AN-007	FO HJ GM		QZ	13	AM
EJV2018AN-008	GR FO GS GM HK		QZ	27	FP
EJV2018AN-009	GR GM GF HK FO GS	Localement, bandes centimétriques de composition tonalitique (début de migmatisation??)	QZ	19	FK
EJV2018AN-010	GR FO GM HJ		QZ	24	PG
EJV2018AN-011	GF GS HK FO	HK puisque certaines bandes sont plus felsiques que le reste de l'unité.	QZ	37	BO
EJV2018AN-012	FO GS GF HJ		QZ	38	BO
EJV2018AN-013	GS FO GR GM GF HJ		QZ	30	FP
EJV2018AN-014	FO GR HJ GS GF	faiblement FO	QZ	40	PG
EJV2018AN-015	GF GR GS HJ		QZ	44	BO
EJV2018AN-016	GS FO GR HJ		QZ	44	BO
EJV2018AN-017	GF GR GS HJ		QZ	45	BO
EJV2018AN-018	GF HJ GR GS		QZ	29	FP
EJV2018AN-019	GF GR HJ		AM	65	FP
EJV2018AN-020	GM GG GR HJ MA		FP	65	QZ
EJV2018AN-021	GR GF HJ GS FO		QZ	45	BO
EJV2018AN-022	GM FO HJ		AM	32	PG
EJV2018AN-023	GF GR HJ		AM	20	QZ
EJV2018AN-024	GF HJ FO GS		FP	36	QZ
EJV2018AN-025	GR RU HJ	Faible rubannement	AM	45	FP
EJV2018AN-026	GR GM		QZ	27	FP
EJV2018AN-027	GR FO GF GM		AM	31	FP
EJV2018AN-028	GF FO GS HJ		QZ	56	BO
EJV2018AN-029	GM MA GR		QZ	65	FP
EJV2018AN-030	GR MA PG GM		QZ	36	FP
EJV2018AN-031	EQ HJ GG GR FO	Faible foliation marquée par les minéraux mafiques.	PG	22	QZ
EJV2018AN-032	HJ EQ FO GR		AM	12	QZ
EJV2018AN-033	EQ MA GR HJ GG		QZ	30	PG
EJV2018AN-034	HJ MA AP GF	GF: minéraux de PG	PG	98	OP
EJV2018AN-035	GR EQ FO GM GG	Faible foliation, impossible d'être mesurer.	FP	41	QZ
EJV2018AN-036	GR FO GM HJ		AM	52	PG
EJV2018AN-037	HJ GR FO	Faiblement GR	QZ	14	FP
EJV2018AN-038	HJ GR EQ MA	Faiblement GR	PG	26	AM
EJV2018AN-039	FO GM HJ EQ		PG	37	AM
EJV2018AN-040	PG MA HK	HK puisque la composition minéralogique de l'affleurement est assez variable entre le l1G, le mélanosome et S3	QZ	50	FP

IdAflleur	Texture_Code	Texture_Desc	Miner1	Miner1 %	Miner2
EJV2018AN-041	HJ GR MA EQ		QZ	42	PG
EJV2018AN-042	HK FO EQ	HK puisque le I1C est localement pegmatitique	QZ	50	FP
EJV2018AN-043	GS HK GR FO GF GM	HK puisque rubans plus felsiques de composition granidoritiques/tonalitiques (pegmatites)	FP	63	QZ
EJV2018AN-044	HJ FO GR	Faiblement granoblastique.	AM	23	QZ
EJV2018AN-045	FO GF HJ		QZ	37	FP
EJV2018CG-001	GR FO HJ GF	10% leucosomes	QZ	39	PG
EJV2018CG-002	GF HJ GR		QZ	9	PG
EJV2018CG-003	GF GR PQ HJ FO		GR	10	QZ
EJV2018CG-004	GR GF ZR HJ FO		QZ	19	PG
EJV2018CG-005	GF FO				
EJV2018CG-006	GF HJ FO				
EJV2018CG-007	GF GB HJ FO				
EJV2018CG-008	GF GM HJ ZR				
EJV2018CG-009					
EJV2018CG-010	GF GR HJ				
EJV2018CG-011	GR HJ FO GF				
EJV2018CG-012					
EJV2018CG-013	GR HJ FO	Fracturé et bloqueux			
EJV2018CG-014	GF GR HJ FO				
EJV2018CG-015					
EJV2018CG-016	GF FO				
EJV2018CG-017	GF FO HJ				
EJV2018CG-018	GF GR HJ				
EJV2018CG-019	GF HJ FO				
EJV2018CG-020					
EJV2018CG-021					
EJV2018CG-022	GF GR HJ FO	5% leucosomes			
EJV2018CG-023					
EJV2018CGJOL-001	GR GF GS FO AE		QZ	28	FP
EJV2018CGJOL-002	RU GF GR AE		QZ	28	FP
EJV2018CGJOL-003	GR GF FO GS		QZ	32	FP
EJV2018CGJOL-004	RU GR AE	rubans mm.	QZ	22	FP
EJV2018CGJOL-005	GM HJ MA		QZ	30	FP
EJV2018CGJOL-006	GF FO HJ ZM RU		QZ	26	PG
EJV2018CGJOL-007	GF HJ MA		QZ	30	FP
EJV2018CGJOL-008	HJ MA GF		QZ	30	FP
EJV2018CGJOL-009	GF GR		QZ	30	FP
EJV2018CGJOL-010	GS GF	S3/M4 migmatisé	QZ	30	FP
EJV2018CGJOL-011	GR GF GS FO		OP	1	FP
EJV2018CGJOL-012	FO GR GF		QZ	20	FP
EJV2018CGJOL-013	GF GR FO GS		QZ	20	FP
EJV2018CGJOL-014	FO GF GR		QZ	30	FP
EJV2018CGJV-001	GR GF RU GS		QZ	30	FP
EJV2018CGJV-002	GR GF GS RU	2-3% de bande mm (3-mm) 'épaisseur. Bande de composition felsique qui est continue dans l'ensemble.	QZ	19	FP
EJV2018CGJV-003	AE ZR GF GR FO		QZ	27	FP
EJV2018CGJV-004	GR GF FO GS		QZ	25	FP
EJV2018CGJV-005	GR GF ZR PO	porphérique de feldpath mm à cm. 10% locozone.	QZ	23	FP
EJV2018CL-001	GF GM GR GS FO		FP	57	AM
EJV2018CL-002	GF GM GR HK GS FO		FP	59	AM
EJV2018CL-003	GS GF GM	Aspect gneissique, caractérisé par rubannement mm à dm riches en AM, parfois légèrement plus riche en Qz (intermédiaire).	FP	63	AM
EJV2018CL-004	GS RU GF FO		PG	50	AM

IdAffleur	Texture_Code	Texture_Desc	Miner1	Miner1 %	Miner2
EJV2018CL-005	GR GF		FP	63	QZ
EJV2018CL-006	GF GR FO		FP	68	QZ
EJV2018CL-007	HJ GM MA FO	Granodiorite homogène massive è légèrement foliée	FP	75	AM
EJV2018CL-008	FO GM HJ		FP	60	QZ
EJV2018CL-009	GR HJ GF FO		FP	54	QZ
EJV2018CL-010	HK AE GF GM		FP	67	QZ
EJV2018CL-011	GM FO HJ PO		FP	60	QZ
EJV2018CL-012	GR FO GF		FP	55	QZ
EJV2018CL-013	GF FO GR		FP	57	QZ
EJV2018CL-014	GF FO GR GS		FP	60	QZ
EJV2018CL-015	PG MA GG		FP	70	QZ
EJV2018CL-016	GF FO HJ		FP	58	QZ
EJV2018CL-017	GF FO GR HJ		FP	60	QZ
EJV2018CL-018	GR GF FO GS HJ		FP	54	BO
EJV2018CL-019	GM FO HJ	Dim:15m*20m. Gabbro ou diorite homogène foliée à localement avec un aspect gneissique (début de ségrégation)	FP	59	AM
EJV2018CL-020	GR GF GM FO GS HJ		FP	54	QZ
EJV2018CL-021	GR GM FO GS		FP	53	AM
EJV2018CL-022	AE GF ZM ZR FO GS	Aspect hétérogène de par la présence de rubans très altérés en EPI et de bandes brunes rouillées plus riches en sulfures. Ces bandes ont différentes orientations et sont parfois irrégulières	FP	53	AM
EJV2018CL-023	GS FO GF HJ GR	Aspect gneissique de par la présence de bandes felsiques blanches mm (5%) et de bandes légèrement plus mafiques à AM et/ou BO (début de ségrégation)	FP	53	AM
EJV2018CL-024	GR FO GF		FP	54	QZ
EJV2018CL-025	GF GM FO GS HJ	Affl homogène folié à gneissique (quelques bandes leucocrates mm-cm)	FP	64	AM
EJV2018CL-026	FO GS GF GM GR	Diorite foliée à gneissique rouillée et altérée en épidote avec 2-3% leucosomes blancs à FP-QZ (2-10mm)	FP	54	AM
EJV2018CL-027	GF GS FO GR AE		FP	58	AM
EJV2018CL-028	GS FO AE RU ZR		FP	64	AM
EJV2018CL-029	GF GM AE FO HJ		FP	58	AM

IdAffleur	Texture_Code	Texture_Desc	Miner1	Miner1 %	Miner2
EJV2018CL-030	GF FO GS GR		FP	61	QZ
EJV2018CL-031	GF GM GR FO GS		FP	61	QZ
EJV2018CL-032	GM MA HJ	Très légèrement folié	FP	66	QZ
EJV2018CL-033	GR FO HJ GF		FP	61	QZ
EJV2018CL-034	GM MA HJ		FP	66	QZ
EJV2018CL-035	AE GF GM FO HJ		FP	62	QZ
EJV2018CL-036	GM HJ FO		FP	67	QZ
EJV2018CL-037	GM FO HJ		FP	66	QZ
EJV2018CL-038	GM FO HJ		FP	70	QZ
EJV2018CL-039	GR GF HF		FP	62	QZ
EJV2018CL-040	GR FO HJ GF		FP	62	QZ
EJV2018CL-041	GF GR HJ FO		FP	63	QZ
EJV2018CL-042	GF FO GR GS		FP	66	QZ
EJV2018CL-043	GM MA HJ		FP	71	QZ
EJV2018CL-044	GR GF FO GS		FP	65	QZ
EJV2018CL-045	GF GR FO HJ		FP	53	QZ
EJV2018CL-046	GF FO GR HJ		FP	56	QZ
EJV2018CL-047	GF GR RU HJ		FP	64	QZ
EJV2018CL-048	FO GR HJ		FP	64	QZ
EJV2018CL-049	GF GR HJ		FP	75	QZ
EJV2018CL-050	GR GF FO HJ		FP	65	BO
EJV2018CL-051	GF GR FO HJ		FP	60	QZ
EJV2018CL-052	GF GR FO HJ		FP	62	QZ
EJV2018CL-053	GF GM RU GS GR		FP	50	QZ
EJV2018CL-054	FO GM HJ		PG	45	AM

IdAffleur	Texture_Code	Texture_Desc	Miner1	Miner1 %	Miner2
EJV2018CL-055	AE AP HJ GR EQ		FP	61	QZ
EJV2018CL-056	GM HJ GR MZ	10% mobilisat a GM GG de composition felsique avec +/- BO	FP	43	QZ
EJV2018CL-057	MA GM HJ		FP	70	QZ
EJV2018CL-058	FO GM	Bloc folié avec un petit apesct gneissique	FP	63	QZ
EJV2018CL-059	GR FO HJ GF GM		FP	51	QZ
EJV2018CL-060	GM GG PG MA HJ SH	M4(S3)(GF FO AE ZR GR). Au contact avec le paragneiss, l'intrusif contient de nombreux schlieren de biotite et semble silicifié	FP	64	QZ
EJV2018CL-061	GR FO HJ		FP	60	QZ
EJV2018CL-062	GF GR FO MZ		FP	54	QZ
EJV2018CL-063	GF GM GS RU FO		FP	61	QZ
EJV2018CL-064	GR FO GF GM MZ		FP	50	BO
EJV2018CL-065	GF GR FO HJ GM PJ	Localement paragneiss semble déformé (?) avec présence de 60%-70% porphyroclastes (?) de feldspaths blancs de 1-2cm*0,5-1cm entourée d'une matrice riche en BO-CL. La biotite semble contourner et entourer les phenocristaux FP+/-QZ	FP	42	QZ
EJV2018CL-066	GF GR FO HJ MZ	5% mobilisat	FP	49	QZ
EJV2018CL-067	GF GR FO HJ		FP	59	QZ
EJV2018CL-068	GR GF FO HJ		FP	59	QZ
EJV2018CL-069	GM HJ MA	S3(M22)(MZ GF GR FO), avec 10-20% mobilisat blanc de 1-10cm de large de composition felsique a grains moyens localement plissés	FP	66	QZ
EJV2018CL-070	HJ GM MA FO		FP	67	QZ
EJV2018CL-071	GM HJ MA		FP	69	QZ
EJV2018CL-072	GM GG MA HJ		FP	67	QZ
EJV2018CL-073	GF GR FO HJ		FP	57	QZ
EJV2018CL-074	GF GR O HJ		FP	73	QZ
EJV2018CL-075	GM HJ MA		PG	72	QZ
EJV2018CL-076	GM GG HJ MA		FP	73	QZ
EJV2018CL-077	GM GG HJ MA		FP	73	QZ
EJV2018CL-078	GM HJ FO		FP	65	QZ
EJV2018CL-079	GM MA FO HJ		FP	53	QZ
EJV2018CL-080	GR FO GF		FP	57	QZ
EJV2018CL-081	GM HJ MA		FP	67	QZ
EJV2018CL-082	ME GF HJ FO		FP	62	QZ
EJV2018CL-083	GM MA FO	Le grain est fin a moyen localement grossier. L'intrusif est massif a legerement folié.	FP	62	QZ
EJV2018CL-084	FO GS GF GM		FP	59	QZ
EJV2018CL-085	GM HJ MA AE		FP	63	QZ
EJV2018CL-086	MA HJ GM GG		FP	62	QZ
EJV2018CL-087	GR GF FO GS				
EJV2018CL-088	GR FO GS HJ SC	Localement le paragneiss est schisteux marqué par une forte concentration de biotite préférentiellement orientée	FP	54	QZ

IdAffleur	Texture_Code	Texture_Desc	Miner1	Miner1 %	Miner2
EJV2018CL-089	PG GG MA		FP	77	QZ
EJV2018FR-001	GS GR GF HK		AM	33	FP
EJV2018FR-002	GR HJ GF MA		FP	68	QZ
EJV2018FR-003	GS GR HK		QZ	52	FP
EJV2018FR-004	PG MA		FP	45	QZ
EJV2018FR-005	GS GR HK GF		FP	60	QZ
EJV2018FR-006	GS GR				
EJV2018FR-007	MA GF		AM	39	FP
EJV2018FR-008	AA HJ GF GM		FP	69	QZ
EJV2018FR-009	GS GR GF HK PG		FP	50	QZ
EJV2018FR-010	GS GF GM GR		FP	51	QZ
EJV2018FR-011	GR GS GF HK				
EJV2018FR-012	GS GR HK		FP	40	QZ
EJV2018FR-013	MA GF HK		FP	55	QZ
EJV2018FR-014	GS FO GF		AM	55	FP
EJV2018FR-015	GF GS	Les textures appartiennent au I1C seulement. Localement gneissique.			
EJV2018FR-016	GS GR HK	Les textures sont associé au S3/M4.	FP	45	QZ
EJV2018FR-017	GR GS HK GF		FP	43	QZ
EJV2018FR-018	GS HK GF GM SH		FP	50	AM
EJV2018FR-019	GS GF		FP	55	QZ
EJV2018FR-020	GS GF GM				
EJV2018FR-021	GS GF PG				
EJV2018FR-022	GS GF GM		FP	50	QZ
EJV2018FR-023	GS GF GR HK		QZ	40	FP
EJV2018FR-024	GS GF GM HK		FP	36	AM
EJV2018FR-025	GM		FP	52	AM
EJV2018FR-026	GS GF GM HK		AM	52	FP
EJV2018FR-027	GF GR		FP	39	QZ
EJV2018FR-028	GR GF GS		FP	44	QZ
EJV2018FR-029	GM GF GS HK		FP	54	AM
EJV2018FR-030	GF GR HK SH		FP	40	QZ
EJV2018FR-031	GF GS GR SH		FP	50	QZ
EJV2018FR-032					
EJV2018FR-033					
EJV2018FR-034	PO				
EJV2018FR-035					
EJV2018FR-036	GS				
EJV2018FR-037	GF FO				
EJV2018FR-038	GM FO		FP	55	QZ
EJV2018FR-039	GF GS SH		FP	40	QZ

IdAffleur	Texture_Code	Texture_Desc	Miner1	Miner1 %	Miner2
EJV2018FR-040	GR GF GS		FP	39	QZ
EJV2018FR-041	GM GG PG FO		FP	55	QZ
EJV2018FR-042	GM PG FO		FP	55	QZ
EJV2018FR-043	GS GF HK		FP	54	QZ
EJV2018FR-044	GS GF GR		FP	35	QZ
EJV2018FR-045	GM FO HJ PO PG		FP	60	QZ
EJV2018FR-046	GM HJ FO PO				
EJV2018FR-047	GM FO HJ		FP	60	QZ
EJV2018FR-048	GM PO FO HJ PG		FP	60	QZ
EJV2018FR-049	GF GM HK PG GS GR				
EJV2018FR-050	GM GS		FP	60	AM
EJV2018FR-051	GM FO HJ		FP	68	QZ
EJV2018FR-052	GM FO HJ		FP	68	QZ
EJV2018FR-053	GF GS GR GM		FP	49	QZ
EJV2018FR-054					
EJV2018FR-055	GM GG MA GF GR GS		FP	60	QZ
EJV2018JF-000	PG		QZ	35	FP
EJV2018JF-001	GM	Not foliated			
EJV2018JF-002	GM	Not foliated.			
EJV2018JF-003	FO	Fine grained and strongly foliated.	QZ	35	FP
EJV2018JF-004					
EJV2018JF-005	GM	Not foliated			
EJV2018JF-006	GM	Not foliated			
EJV2018JF-007	FO GF				
EJV2018JF-008	GM	Granite not foliated. Paragneiss strongly foliated			
EJV2018JF-009	GM	Granite not foliated			
EJV2018JF-010	GM				
EJV2018JF-011		Not foliated			
EJV2018JF-012	FO				
EJV2018JF-013					
EJV2018JF-014					
EJV2018JF-015	FO	Fine to medium grained.			
EJV2018JF-016	FO				
EJV2018JF-017					
EJV2018JF-018	GM	Not foliated			
EJV2018JF-019	FO				
EJV2018JF-020	FO				
EJV2018JF-021	FO	Fine grained paragneiss hosting pegmatitic injections.			
EJV2018JF-022	GM				
EJV2018JF-023	GM				
EJV2018JF-024					
EJV2018JF-025					
EJV2018JF-026	FO GF	Locally pegmatitic horizons			

IdAffleur	Miner2 %	Miner3	Miner3 %	Miner4	Miner4 %	Miner5	Miner5 %	Miner6
EJV2018AN-001	11	AM	18	FK	13	OP	10	
EJV2018AN-002	10	FK	20	QZ	40			
EJV2018AN-003	41	FK	12	MU	5	OP	1	
EJV2018AN-004	36	MU	4	QZ	9	EP	1	OP
EJV2018AN-005	35	BO	13	AM	14	FK	10	OP
EJV2018AN-006	35	BO	13	AM	14	FK	10	OP
EJV2018AN-007	36	PG	47	OP	2			
EJV2018AN-008	42	BO	13	AM	14	OP	2	
EJV2018AN-009	46	AM	31	OP	2			
EJV2018AN-010	50	AM	12	FK	4	BO	6	OP
EJV2018AN-011	35	FP	24	OP	2			
EJV2018AN-012	33	FP	25	OP	2			
EJV2018AN-013	34	AM	24	EP	1	BO	7	OP
EJV2018AN-014	31	BO	25	OP	2			
EJV2018AN-015	29	GR	3	FP	20	OP	2	
EJV2018AN-016	29	GR	3	FP	20	OP	2	
EJV2018AN-017	30	GR	3	FP	22			
EJV2018AN-018	37	BO	32	OP	1			
EJV2018AN-019	28	BO	5	OV	2			
EJV2018AN-020	23	MU	5	AM	5	OP	1	
EJV2018AN-021	20	FP	33	OP	1			
EJV2018AN-022	66	QZ	2					
EJV2018AN-023	5	FP	65	BO	10			
EJV2018AN-024	25	BO	24	GR	3	OP	6	
EJV2018AN-025	29	QZ	15	EP	11			
EJV2018AN-026	33	AM	23	EP	3	OP	7	
EJV2018AN-027	28	QZ	39	OP	1			
EJV2018AN-028	20	FP	20	OP	2			
EJV2018AN-029	29	BO	1	AM	4	EP	1	
EJV2018AN-030	33	AM	18	BO	3	FK	8	OP
EJV2018AN-031	32	FK	26	EP	2	AM	18	
EJV2018AN-032	26	PG	26	FK	30	EP	2	BO
EJV2018AN-033	35	FK	10	AM	20	BO	5	
EJV2018AN-034	1							
EJV2018AN-035	33	AM	18	BO	6	OP	1	
EJV2018AN-036	41	MI	5	OP	1			
EJV2018AN-037	30	AM	45	BO	7	EP	2	OP
EJV2018AN-038	37	EP	8	OP	16			
EJV2018AN-039	47	BO	10	EP	2	OP	2	
EJV2018AN-040	50							

IdAffleur	Miner2 %	Miner3	Miner3 %	Miner4	Miner4 %	Miner5	Miner5 %	Miner6
EJV2018AN-041	47	AM	8	BO	3			
EJV2018AN-042	37	FK	5	AM	3	BO	2	MU
EJV2018AN-043	13	AM	7	BO	17			
EJV2018AN-044	27	PG	46	OP	2			
EJV2018AN-045	42	BO	9	AM	4	OP	4	
EJV2018CG-001	47	AM	5	CL	3	BO	2	OP
EJV2018CG-002	57	CL	20	AM	10	OP	2	
EJV2018CG-003	63	OP	10	BO	4	CL	4	
EJV2018CG-004	52	AM	14	BO	5	OP	5	
EJV2018CG-005								
EJV2018CG-006								
EJV2018CG-007								
EJV2018CG-008								
EJV2018CG-009								
EJV2018CG-010								
EJV2018CG-011								
EJV2018CG-012								
EJV2018CG-013								
EJV2018CG-014								
EJV2018CG-015								
EJV2018CG-016								
EJV2018CG-017								
EJV2018CG-018								
EJV2018CG-019								
EJV2018CG-020								
EJV2018CG-021								
EJV2018CG-022								
EJV2018CG-023								
EJV2018CGJOL-001	48	BO	11	CL	3	OP	5	
EJV2018CGJOL-002	52	BO	10	OP	5			
EJV2018CGJOL-003	59	BO	5	OP	2			
EJV2018CGJOL-004	55	BO	8	OP	8			
EJV2018CGJOL-005	60	CL	10					
EJV2018CGJOL-006	49	BO	20	OP	2	GR	1	
EJV2018CGJOL-007	60	BO	10					
EJV2018CGJOL-008	60	BO	10					
EJV2018CGJOL-009	50	BO	20					
EJV2018CGJOL-010	60	BO	10					
EJV2018CGJOL-011	83	BO	14					
EJV2018CGJOL-012	60	BO	20					
EJV2018CGJOL-013	59	BO	15	AM	4	OP	1	
EJV2018CGJOL-014	60	BO	10					
EJV2018CGJV-001	50	BO	20					
EJV2018CGJV-002	57	BO	14	OP	5			
EJV2018CGJV-003	49	BO	5	GP	1	CL	1	OP
EJV2018CGJV-004	60	AM	2	BO	13			
EJV2018CGJV-005	49	BO	24	OP	2			
EJV2018CL-001	28	QZ	10	OP	5			
EJV2018CL-002	27	QZ	10	OP	2			
EJV2018CL-003	27	QZ	10					
EJV2018CL-004	45	QZ	5					

IdAffleur	Miner2 %	Miner3	Miner3 %	Miner4	Miner4 %	Miner5	Miner5 %	Miner6
EJV2018CL-005	25	BO	10	OP	1			
EJV2018CL-006	10	AM	18	OP	2			
EJV2018CL-007	18	QZ	7					
EJV2018CL-008	30	AM	9	BO	1			
EJV2018CL-009	24	BO	17	CH	1	OP	2	
EJV2018CL-010	28	MF	5					
EJV2018CL-011	25	BO	10	AM	5			
EJV2018CL-012	25	MF	18	OP	1			
EJV2018CL-013	25	BO	18					
EJV2018CL-014	25	BO	15					
EJV2018CL-015	24	BO	5	MV	1			
EJV2018CL-016	20	AM	20	BO	2			
EJV2018CL-017	25	MF	15					
EJV2018CL-018	24	QZ	17	GR	1	OP	2	
EJV2018CL-019	36	QZ	1	OP	2			
EJV2018CL-020	23	BO	21	OP	1			
EJV2018CL-021	43	BO	2	QZ	2			
EJV2018CL-022	33	QZ	1	BO	1	OP	6	
EJV2018CL-023	39	BO	3	QZ	1	OP	2	
EJV2018CL-024	24	BO	14	OP	4			
EJV2018CL-025	32	BO	1	QZ	1	OP	1	
EJV2018CL-026	34	BO	2	QZ	2	OP	4	
EJV2018CL-027	34	QZ	1	BO	1	OP	3	
EJV2018CL-028	29	BO	2	QZ	1	OP	2	
EJV2018CL-029	34	QZ	2	OP	3			

IdAffleur	Miner2 %	Miner3	Miner3 %	Miner4	Miner4 %	Miner5	Miner5 %	Miner6
EJV2018CL-030	20	AM	5	BO	10	OP	2	
EJV2018CL-031	20	BO	10	AM	5	OP	2	
EJV2018CL-032	20	AM	9	CH	1	EP	1	HE
EJV2018CL-033	20	BO	15	OP	2			
EJV2018CL-034	18	AM	9	BO	2	EP	1	OP
EJV2018CL-035	15	AM	10	BO	5	CH	4	EP
EJV2018CL-036	22	AM	9	BO	2			
EJV2018CL-037	22	AM	10	BO	2			
EJV2018CL-038	20	AM	8	BO	2			
EJV2018CL-039	23	BO	15					
EJV2018CL-040	23	BO	15					
EJV2018CL-041	25	BO	10	OP	1			
EJV2018CL-042	22	BO	12					
EJV2018CL-043	20	AM	8	BO	1			
EJV2018CL-044	23	BO	12					
EJV2018CL-045	25	BO	18	GR	2	OP	1	
EJV2018CL-046	24	BO	15	GP	1	OP	2	
EJV2018CL-047	25	BO	10	GR	1			
EJV2018CL-048	23	BO	12	AM	1			
EJV2018CL-049	12	AM	10	BO	3			
EJV2018CL-050	15	OZ	20					
EJV2018CL-051	25	BO	15					
EJV2018CL-052	20	BO	18					
EJV2018CL-053	28	BO	11	GP	1	OP	5	
EJV2018CL-054	45	BO	2	OP	4			

IdAffleur	Miner2 %	Miner3	Miner3 %	Miner4	Miner4 %	Miner5	Miner5 %	Miner6
EJV2018CL-055	31	BO	2	CH	1	GP	1	OP
EJV2018CL-056	23	BO	14	CL	5	OP	8	
EJV2018CL-057	25	BO	5					
EJV2018CL-058	18	BO	13	EP	2	AM	2	OP
EJV2018CL-059	25	BO	20	EP	1	AM	1	OP
EJV2018CL-060	27	BO	5	OP	2			
EJV2018CL-061	25	BO	15					
EJV2018CL-062	24	BO	14	OP	4			
EJV2018CL-063	23	BO	12	OP	2			
EJV2018CL-064	23	OZ	20	CL	5	OP	1	
EJV2018CL-065	29	BO	20	CL	5	OP	2	
EJV2018CL-066	29	BO	18	OP	2			
EJV2018CL-067	23	BO	18					
EJV2018CL-068	23	BO	18					
EJV2018CL-069	30	MF	4					
EJV2018CL-070	28	BO	5					
EJV2018CL-071	28	MF	3					
EJV2018CL-072	30	BO	3					
EJV2018CL-073	23	BO	18	OP	1			
EJV2018CL-074	18	BO	5	EP	2	OP	1	
EJV2018CL-075	25	BO	3					
EJV2018CL-076	25	BO	2					
EJV2018CL-077	25	BO	2					
EJV2018CL-078	25	BO	10					
EJV2018CL-079	30	BO	15	OP	1			
EJV2018CL-080	25	BO	18					
EJV2018CL-081	30	BO	3					
EJV2018CL-082	18	BO	18	OP	1			
EJV2018CL-083	30	BO	8					
EJV2018CL-084	24	BO	12	CL	1	OP	2	
EJV2018CL-085	30	BO	3	CL	2	EP	2	
EJV2018CL-086	28	BO	8	OP	1			
EJV2018CL-087								
EJV2018CL-088	25	BO	20	GR	1			

IdAffleur	Miner2 %	Miner3	Miner3 %	Miner4	Miner4 %	Miner5	Miner5 %	Miner6
EJV2018CL-089	20	BO	3					
EJV2018FR-001	46	QZ	6	OP	8			
EJV2018FR-002	20	AM	10	OP	1			
EJV2018FR-003	30	BO	15	GR	1	OP	1	
EJV2018FR-004	45	BO	5					
EJV2018FR-005	25	AM	14					
EJV2018FR-006								
EJV2018FR-007	59	OP	1					
EJV2018FR-008	20	MT	7	OP	2			
EJV2018FR-009	30	BO	15	GR	1			
EJV2018FR-010	40	AM	4	MT	3	OP	1	
EJV2018FR-011								
EJV2018FR-012	34	BO	20	GR	2	OP	2	
EJV2018FR-013	38	BI	3	AM	3	GR	1	
EJV2018FR-014	40	BO	5					
EJV2018FR-015								
EJV2018FR-016	40	BO	15					
EJV2018FR-017	42	BO	15					
EJV2018FR-018	40	QZ	8	BO	2			
EJV2018FR-019	25	AM	15	BO	5			
EJV2018FR-020								
EJV2018FR-021								
EJV2018FR-022	40	BO	10					
EJV2018FR-023	40	BO	20					
EJV2018FR-024	28	OP	20					
EJV2018FR-025	44	OP	2					
EJV2018FR-026	44	OP	2					
EJV2018FR-027	37	BO	20	OP	2			
EJV2018FR-028	34	BO	18	OP	2			
EJV2018FR-029	44	OP	1					
EJV2018FR-030	40	BO	20					
EJV2018FR-031	45	BO	5					
EJV2018FR-032								
EJV2018FR-033								
EJV2018FR-034								
EJV2018FR-035								
EJV2018FR-036								
EJV2018FR-037								
EJV2018FR-038	35	AM	10					
EJV2018FR-039	25	BO	35					

IdAffleur	Miner6 %	Miner7	Miner7 %	% opaque	Mineral_CodeAgglom
EJV2018AN-001				9	QZ(44) BO(12) AM(20) FK(14) OP(10)
EJV2018AN-002					PG(30) AM(10) FK(20) QZ(40)
EJV2018AN-003				1	PG(41) AM(41) FK(12) MU(5) OP(1)
EJV2018AN-004	2			2	PG(47) AM(37) MU(4) QZ(9) EP(1) (2)
EJV2018AN-005	1			1	QZ(27) PG(35) BO(13) AM(14) FK(10) (1)
EJV2018AN-006	1			1	QZ(27) PG(35) BO(13) AM(14) FK(10) (1)
EJV2018AN-007				2	QZ(13) AM(37) PG(48) (2)
EJV2018AN-008				2	QZ(28) FP(43) BO(13) AM(14) OP(2)
EJV2018AN-009				2	QZ(19) FK(47) AM(32) (2)
EJV2018AN-010	2			2	QZ(25) PG(51) AM(12) FK(4) BO(6) (2)
EJV2018AN-011				2	QZ(38) BO(36) FP(24) OP (2)
EJV2018AN-012				2	QZ(38) BO(34) FP(26) (2)
EJV2018AN-013	2			2	QZ(30) FP(35) AM(25) EP(1) BO(7) (2)
EJV2018AN-014				2	QZ(40) PG(32) BO(26) (2)
EJV2018AN-015				2	QZ(45) BO(30) GR(3) FP(20) OP(2)
EJV2018AN-016				2	QZ(45) BO(30) GR(3) FP(20) (2)
EJV2018AN-017				0	QZ(45) BO(30) GR(3) FP(22) (0)
EJV2018AN-018				1	QZ(30) FP(37) BO(32) (1)
EJV2018AN-019					AM(65) FP(28) BO(5) OV(2)
EJV2018AN-020				1	FP(66) QZ(23) MU(5) AM(5) (1)
EJV2018AN-021				1	QZ(46) BO(20) FP(33) (1)
EJV2018AN-022					AM(32) PG(66) QZ(2)
EJV2018AN-023					AM(20) QZ(5) FP(65) BO(10)
EJV2018AN-024				6	FP(39) QZ(27) BO(25) GR(3) (6)
EJV2018AN-025					AM(45) FP(29) QZ(15) EP(11)
EJV2018AN-026				7	QZ(29) FP(36) AM(25) EP(3) OP(7)
EJV2018AN-027				1	AM(32) FP(28) QZ(39) (1)
EJV2018AN-028				2	QZ(58) BO(20) FP(20) (2)
EJV2018AN-029					QZ(65) FP(29) BO(1) AM(4) EP(1)
EJV2018AN-030	1			1	QZ(37) FP(33) AM(18) BO(3) FK(8) (1)
EJV2018AN-031					PG(22) QZ(32) FK(26) EP(2) AM(18) OP
EJV2018AN-032	2	OP	1	1	AM(13) QZ(26) PG(26) FK(30) EP(2) BO(2) OP(1)
EJV2018AN-033					QZ(30) PG(35) FK(10) AM(20) BO(5)
EJV2018AN-034				1	PG(30) (1)
EJV2018AN-035				1	FP(42) QZ(33) AM(18) BO(6) (1)
EJV2018AN-036				1	AM(53) PG(41) MI(5) (1)
EJV2018AN-037	1			1	QZ(15) FP(30) AM(45) BO(7) EP(2) OP(1)
EJV2018AN-038				13	PG(30) AM(44) EP(10) (16)
EJV2018AN-039				2	PG(38) AM(48) BO(10) EP(2) (2)
EJV2018AN-040					QZ(50) FP(50)

IdAffleur	Miner6 %	Miner7	Miner7 %	% opaque	Mineral_CodeAgglom
EJV2018AN-041					QZ(42) PG(47) AM(8) BO(3)
EJV2018AN-042	1	OP	1	1	QZ(51) FP(37) FK(5) AM(3) BO(2) MU(1) (1)
EJV2018AN-043					FP(63) QZ(13) AM(7) BO(17) OP
EJV2018AN-044				2	AM(23) QZ(28) PG(47) OP(2)
EJV2018AN-045				4	QZ(39) FP(44) BO(9) AM(4) (4)
EJV2018CG-001	2			2	QZ(40) PG(48) AM(5) CL(3) BO(2) OP(2)
EJV2018CG-002				2	QZ(10) PG(58) CL(20) AM(10) (2)
EJV2018CG-003				9	GR(10) QZ(70) BO(5) CL(5) (10)
EJV2018CG-004				5	QZ(20) PG(55) AM(15) BO(5) (5)
EJV2018CG-005				3	OP(3)
EJV2018CG-006					
EJV2018CG-007				2	OP(2)
EJV2018CG-008				2	OP(2)
EJV2018CG-009					
EJV2018CG-010				1	OP(1)
EJV2018CG-011				0	OP(0)
EJV2018CG-012					
EJV2018CG-013				1	OP(1)
EJV2018CG-014				0	OP(0)
EJV2018CG-015				5	OP(5)
EJV2018CG-016				5	OP(5)
EJV2018CG-017					
EJV2018CG-018				4	OP(4)
EJV2018CG-019				0	OP(0)
EJV2018CG-020				3	OP(3)
EJV2018CG-021				8	OP(8)
EJV2018CG-022					
EJV2018CG-023					
EJV2018CGJOL-001				5	QZ(30) FP(50) BO(12) CL(3) OP(5)
EJV2018CGJOL-002				5	QZ(30) FP(55) BO(10) (5)
EJV2018CGJOL-003				2	QZ(33) FP(60) BO(5) (2)
EJV2018CGJOL-004				7	QZ(23) FP(60) BO(9) (8)
EJV2018CGJOL-005					QZ(30) FP(60) CL(10)
EJV2018CGJOL-006				2	QZ(26) PG(50) BO(20) OP(1) GR(1) OP(2)
EJV2018CGJOL-007					QZ(30) FP(60) BO(10)
EJV2018CGJOL-008					QZ(30) FP(60) BO(10)
EJV2018CGJOL-009					QZ(30) FP(50) BO(20)
EJV2018CGJOL-010					QZ(30) FP(60) BO(10)
EJV2018CGJOL-011				1	OP(30) FP(59) BO(10) OP(1)
EJV2018CGJOL-012				0	QZ(20) FP(60) BO(20) (0)
EJV2018CGJOL-013				1	QZ(20) FP(60) BO(15) AM(4) (1)
EJV2018CGJOL-014				0	QZ(30) FP(60) BO(10) (0)
EJV2018CGJV-001				0	QZ(30) FP(50) BO(20) OP(0)
EJV2018CGJV-002				5	QZ(20) FP(60) BO(15) OP(5)
EJV2018CGJV-003	9			8	QZ(30) FP(54) BO(5) GP(1) CL(1) (9)
EJV2018CGJV-004				0	QZ(25) FP(60) AM(2) BO(13) OP(0)
EJV2018CGJV-005				2	QZ(23) FP(50) BO(25) OP(2)
EJV2018CL-001				0	FP(57) AM(28) QZ(10) OP(5) (0)
EJV2018CL-002				2	FP(60) AM(28) QZ(10) OP(2)
EJV2018CL-003				0	FP(63) AM(27) QZ(10) (0)
EJV2018CL-004				0	PG(50) AM(45) QZ(5) OP(0)

IdAffleur	Miner6 %	Miner7	Miner7 %	% opaque	Mineral_CodeAgglom
EJV2018CL-005				1	FP(64) QZ(25) BO(10) OP(1)
EJV2018CL-006				2	FP(70) QZ(10) AM(18) (2)
EJV2018CL-007					FP(75) AM(18) QZ(7)
EJV2018CL-008				0	FP(60) QZ(30) AM(9) BO(1) (0)
EJV2018CL-009				2	FP(55) QZ(25) BO(17) CH(1) (2)
EJV2018CL-010					FP(67) QZ(28) MF(5)
EJV2018CL-011				0	FP(60) QZ(25) BO(10) AM(5) (0)
EJV2018CL-012				1	FP(56) QZ(25) MF(18) (1)
EJV2018CL-013				0	FP(57) QZ(25) BO(18) OP(0)
EJV2018CL-014				0	FP(60) QZ(25) BO(15) OP(0)
EJV2018CL-015					FP(70) QZ(24) BO(5) MV(1) OP
EJV2018CL-016					FP(58) QZ(20) AM(20) BO(2) OP
EJV2018CL-017				0	FP(60) QZ(25) MF(15) OP(0)
EJV2018CL-018				2	FP(54) BO(24) QZ(17) GR(1) OP(2) OP(2)
EJV2018CL-019				2	FP(60) AM(37) QZ(1) (2)
EJV2018CL-020				1	FP(55) QZ(23) BO(21) (1)
EJV2018CL-021				0	FP(53) AM(43) BO(2) QZ(2) OP(0)
EJV2018CL-022				6	FP(57) AM(35) QZ(1) BO(1) OP(6)
EJV2018CL-023				2	FP(54) AM(40) BO(3) QZ(1) (2)
EJV2018CL-024				4	FP(56) QZ(25) BO(15) (4)
EJV2018CL-025				1	FP(65) AM(32) BO(1) QZ(1) (1)
EJV2018CL-026				4	FP(57) AM(35) BO(2) QZ(2) (4)
EJV2018CL-027				3	FP(60) AM(35) QZ(1) BO(1) OP(3)
EJV2018CL-028				2	FP(65) AM(30) BO(2) QZ(1) (2)
EJV2018CL-029				3	FP(60) AM(35) QZ(2) (3)

IdAffleur	Miner6 %	Miner7	Miner7 %	% opaque	Mineral_CodeAgglom
EJV2018CL-030				2	FP(63) QZ(20) AM(5) BO(10) OP(2)
EJV2018CL-031				2	FP(63) QZ(20) BO(10) AM(5) (2)
EJV2018CL-032	1	BO	2		FP(66) QZ(20) AM(9) CH(1) EP(1) HE(1) BO(2) OP
EJV2018CL-033				2	FP(63) QZ(20) BO(15) OP(2)
EJV2018CL-034	2			2	FP(68) QZ(18) AM(9) BO(2) EP(1) (2)
EJV2018CL-035	2	OP	1	1	FP(63) QZ(15) AM(10) BO(5) CH(4) EP(2) (1)
EJV2018CL-036					FP(67) QZ(22) AM(9) BO(2) OP
EJV2018CL-037					FP(66) QZ(22) AM(10) BO(2) OP
EJV2018CL-038				0	FP(70) QZ(20) AM(8) BO(2) OP(0)
EJV2018CL-039					FP(62) QZ(23) BO(15) OP
EJV2018CL-040					FP(62) QZ(23) BO(15) OP
EJV2018CL-041				1	FP(64) QZ(25) BO(10) OP(1)
EJV2018CL-042					FP(66) QZ(22) BO(12)
EJV2018CL-043					FP(71) QZ(20) AM(8) BO(1)
EJV2018CL-044					FP(65) QZ(23) BO(12)
EJV2018CL-045				1	FP(54) QZ(25) BO(18) GR(2) OP(1)
EJV2018CL-046				2	FP(57) QZ(25) BO(15) GP(1) (2)
EJV2018CL-047				0	FP(64) QZ(25) BO(10) GR(1) (0)
EJV2018CL-048				0	FP(64) QZ(23) BO(12) AM(1) (0)
EJV2018CL-049				0	FP(75) QZ(12) AM(10) BO(3) OP(0)
EJV2018CL-050				0	FP(65) BO(15) QZ(20) OP(0)
EJV2018CL-051					FP(60) QZ(25) BO(15) OP
EJV2018CL-052				0	FP(62) QZ(20) BO(18) OP(0)
EJV2018CL-053				5	FP(52) QZ(30) BO(12) GP(1) OP(5)
EJV2018CL-054				4	PG(47) AM(47) BO(2) (4)

IdAflleur	Miner6 %	Miner7	Miner7 %	% opaque	Mineral_CodeAgglom
EJV2018CL-055	2			2	FP(61) QZ(31) BO(2) CH(1) GP(1) OP(2) (2)
EJV2018CL-056				7	FP(47) QZ(25) BO(15) CL(5) OP(8)
EJV2018CL-057					FP(70) QZ(25) BO(5)
EJV2018CL-058	1			1	FP(64) QZ(18) BO(13) EP(2) AM(2) (1)
EJV2018CL-059	1			1	FP(51) QZ(25) BO(20) EP(1) AM(1) OP(1) (1)
EJV2018CL-060				2	FP(64) QZ(27) BO(5) OP(2) (2)
EJV2018CL-061					FP(60) QZ(25) BO(15)
EJV2018CL-062				4	FP(56) QZ(25) BO(15) (4)
EJV2018CL-063				2	FP(63) QZ(23) BO(12) (2)
EJV2018CL-064				1	FP(51) BO(23) QZ(20) CL(5) (1)
EJV2018CL-065				2	FP(43) QZ(30) BO(20) CL(5) (2)
EJV2018CL-066				2	FP(50) QZ(30) BO(18) (2)
EJV2018CL-067				0	FP(59) QZ(23) BO(18) OP(0)
EJV2018CL-068					FP(59) QZ(23) BO(18) OP
EJV2018CL-069				0	FP(66) QZ(30) MF(4) OP(0)
EJV2018CL-070					FP(67) QZ(28) BO(5) OP
EJV2018CL-071					FP(69) QZ(28) MF(3) OP
EJV2018CL-072				0	FP(67) QZ(30) BO(3) OP(0)
EJV2018CL-073				1	FP(58) QZ(23) BO(18) OP(1)
EJV2018CL-074				1	FP(74) QZ(18) BO(5) EP(2) (1)
EJV2018CL-075					PG(72) QZ(25) BO(3)
EJV2018CL-076					FP(73) QZ(25) BO(2)
EJV2018CL-077				0	FP(73) QZ(25) BO(2) (0)
EJV2018CL-078				0	FP(65) QZ(25) BO(10) (0)
EJV2018CL-079				1	FP(54) QZ(30) BO(15) OP(1)
EJV2018CL-080				0	FP(57) QZ(25) BO(18) (0)
EJV2018CL-081					FP(67) QZ(30) BO(3)
EJV2018CL-082				1	FP(63) QZ(18) BO(18) (1)
EJV2018CL-083				0	FP(62) QZ(30) BO(8) OP(0)
EJV2018CL-084				2	FP(60) QZ(25) BO(12) CL(1) OP(2)
EJV2018CL-085				0	FP(63) QZ(30) BO(3) CL(2) EP(2) (0)
EJV2018CL-086				1	FP(63) QZ(28) BO(8) (1)
EJV2018CL-087					
EJV2018CL-088					FP(54) QZ(25) BO(20) GR(1) OP

IdAffleur	Miner6 %	Miner7	Miner7 %	% opaque	Mineral_CodeAgglom
EJV2018CL-089					FP(77) QZ(20) BO(3) OP
EJV2018FR-001				7	AM(25) FP(50) QZ(7) OP(8)
EJV2018FR-002				1	FP(65) QZ(20) AM(10) (1)
EJV2018FR-003				1	QZ(30) FP(30) BO(15) GR(1) (1)
EJV2018FR-004					FP(45) QZ(45) BO(5)
EJV2018FR-005				0	FP(60) QZ(25) AM(14) (0)
EJV2018FR-006					
EJV2018FR-007				1	AM(39) FP(60) (1)
EJV2018FR-008				2	FP(71) QZ(20) MT(7) (2)
EJV2018FR-009				0	FP(50) QZ(30) BO(15) GR(1) (0)
EJV2018FR-010				1	FP(50) QZ(40) AM(4) MT(3) (1)
EJV2018FR-011				0	(0)
EJV2018FR-012				2	FP(40) QZ(35) BO(20) GR(2) (2)
EJV2018FR-013				0	FP(55) QZ(38) BI(3) AM(3) GR(1) (0)
EJV2018FR-014				0	AM(55) FP(40) BO(5) (0)
EJV2018FR-015					
EJV2018FR-016					FP(45) QZ(40) BO(15)
EJV2018FR-017				0	FP(43) QZ(42) BO(15) (0)
EJV2018FR-018				0	FP(50) AM(40) QZ(8) BO(2) (0)
EJV2018FR-019					FP(55) QZ(25) AM(15) BO(5)
EJV2018FR-020					
EJV2018FR-021					
EJV2018FR-022					FP(50) QZ(40) BO(10)
EJV2018FR-023				0	QZ(40) FP(40) BO(20) (0)
EJV2018FR-024				16	FP(45) AM(35) (20)
EJV2018FR-025				2	FP(53) AM(45) (2)
EJV2018FR-026				2	AM(53) FP(45) (2)
EJV2018FR-027				2	FP(40) QZ(38) BO(20) (2)
EJV2018FR-028				2	FP(45) QZ(35) BO(18) (2)
EJV2018FR-029				1	FP(55) AM(44) (1)
EJV2018FR-030				0	FP(40) QZ(40) BO(20) (0)
EJV2018FR-031				0	FP(50) QZ(45) BO(5) (0)
EJV2018FR-032					
EJV2018FR-033					
EJV2018FR-034					
EJV2018FR-035					
EJV2018FR-036				2	(2)
EJV2018FR-037					
EJV2018FR-038					FP(55) QZ(35) AM(10) OP
EJV2018FR-039				0	FP(40) QZ(25) BO(35) OP(0)

IdAffleur	Miner6 %	Miner7	Miner7 %	% opaque	Mineral_CodeAgglom
EJV2018FR-040				1	FP(40) QZ(30) BO(24) GR(5) OP(1)
EJV2018FR-041					FP(55) QZ(30) AM(15)
EJV2018FR-042					FP(55) QZ(30) AM(15)
EJV2018FR-043				1	FP(55) QZ(25) AM(14) BO(5) (1)
EJV2018FR-044				2	FP(35) QZ(30) BO(33) (2)
EJV2018FR-045					FP(60) QZ(30) AM(10)
EJV2018FR-046					
EJV2018FR-047					FP(60) QZ(30) AM(10)
EJV2018FR-048					FP(60) QZ(32) AM(8)
EJV2018FR-049				0	(0)
EJV2018FR-050				0	FP(60) AM(35) QZ(5) (0)
EJV2018FR-051					FP(68) QZ(25) AM(7)
EJV2018FR-052					FP(68) QZ(25) AM(7)
EJV2018FR-053				3	FP(50) QZ(27) BO(20) (3)
EJV2018FR-054					
EJV2018FR-055					FP(60) QZ(35) BO(5)
EJV2018JF-000				2	QZ(35) FP(35) AM(28) OP(2)
EJV2018JF-001				0	(0)
EJV2018JF-002				3	(3)
EJV2018JF-003				2	QZ(35) FP(35) BO(28) (2)
EJV2018JF-004					
EJV2018JF-005				1	(1)
EJV2018JF-006				0	(0)
EJV2018JF-007				0	(0)
EJV2018JF-008				0	(0)
EJV2018JF-009				0	(0)
EJV2018JF-010				1	(1)
EJV2018JF-011					
EJV2018JF-012				0	(0)
EJV2018JF-013					
EJV2018JF-014				0	(0)
EJV2018JF-015				0	(0)
EJV2018JF-016				0	(0)
EJV2018JF-017				0	(0)
EJV2018JF-018				0	(0)
EJV2018JF-019				1	(1)
EJV2018JF-020				0	(0)
EJV2018JF-021				0	(0)
EJV2018JF-022				0	(0)
EJV2018JF-023				0	(0)
EJV2018JF-024					
EJV2018JF-025					
EJV2018JF-026				1	(1)

IdAffleur	Mineral_Desc	Alteration 1	Alt1 %	Alt1_Distributi on	Alt1_Intens ity	Alt1_Control	Alteration 2
EJV2018AN-001		HEM	5	3	3	PSC	
EJV2018AN-002		EPI	2	1	2	VEI	
EJV2018AN-003							
EJV2018AN-004							
EJV2018AN-005		HEM	1	3	1	PEN	
EJV2018AN-006		EPI	1	1	2	VEI	
EJV2018AN-007		HEM	1	3	5	PEN	SIL
EJV2018AN-008							
EJV2018AN-009							
EJV2018AN-010		HEM	1	5	1	PEN	SIL
EJV2018AN-011							
EJV2018AN-012							
EJV2018AN-013		EPI	2	7	3	PEN	HEM
EJV2018AN-014							
EJV2018AN-015							
EJV2018AN-016							
EJV2018AN-017		SIL	1	1	10	VEI	
EJV2018AN-018		EPI	1	8	2	PEN	
EJV2018AN-019							
EJV2018AN-020		HEM	1	8	3	PEN	
EJV2018AN-021		HEM	1	7	3	PEN	
EJV2018AN-022							
EJV2018AN-023							
EJV2018AN-024							
EJV2018AN-025		EPI	15	9	6	PSC	
EJV2018AN-026		EPI	5	7	5	PEN	
EJV2018AN-027							
EJV2018AN-028		SIL	1	1	10	VEI	
EJV2018AN-029		EPI	1	8	5	PEN	
EJV2018AN-030							
EJV2018AN-031		EPI	1	1	4	VEI	
EJV2018AN-032		EPI	1	10	2	PEN	
EJV2018AN-033		HEM	2	7	3	PEN	
EJV2018AN-034		SIL	20	10	8	PEN	SIL
EJV2018AN-035		HEM	2	8	3	PEN	
EJV2018AN-036		EPI	1	7	6	PEN	
EJV2018AN-037		EPI	2	8	3	PEN	
EJV2018AN-038		EPI	87	10	9	PEN	
EJV2018AN-039	1-2% EP dans le second bloc mais jusqu'à 90% dans le 1er	EPI	85	10	10	PEN	SIL
EJV2018AN-040							

IdAffleur	Mineral_Desc	Alteration 1	Alt1 %	Alt1_Distributi on	Alt1_Intens ity	Alt1_Control	Alteration 2
EJV2018AN-041		HEM	1	8	2	PEN	
EJV2018AN-042		EPI	1	1	9	VEI	HEM
EJV2018AN-043		EPI	1	1	7	VEI	
EJV2018AN-044							
EJV2018AN-045		HEM	1	9	4	PEN	
EJV2018CG-001							
EJV2018CG-002		EPI	10	5	2	PEN	HEM
EJV2018CG-003		SIL	10	7	5	PEN	
EJV2018CG-004							
EJV2018CG-005		EPI	100	7	2	PEN	
EJV2018CG-006		SIL	1	1	10	VEI	
EJV2018CG-007							
EJV2018CG-008							
EJV2018CG-009							
EJV2018CG-010							
EJV2018CG-011							
EJV2018CG-012							
EJV2018CG-013		HEM	50	7	1	PEN	EPI
EJV2018CG-014							
EJV2018CG-015							
EJV2018CG-016		SIL	100	7	2	PEN	
EJV2018CG-017							
EJV2018CG-018							
EJV2018CG-019		EPI	30	7	1	PSC	
EJV2018CG-020		EPI	70	7	3	PEN	HEM
EJV2018CG-021		SIL	40	1	10	VEI	
EJV2018CG-022							
EJV2018CG-023							
EJV2018CGJOL-001		SIL	25	3	8	VEI	CHL
EJV2018CGJOL-002		SIL	80	8	6	PSC	
EJV2018CGJOL-003		SIL	50	5	5	PSC	
EJV2018CGJOL-004		SIL	90	5	6	PSC	
EJV2018CGJOL-005		SIL	1	1	10	VEI	
EJV2018CGJOL-006		SIL	100	7	3	PEN	
EJV2018CGJOL-007							
EJV2018CGJOL-008							
EJV2018CGJOL-009							
EJV2018CGJOL-010		SIL	1	1	10	VEI	
EJV2018CGJOL-011							
EJV2018CGJOL-012		SRP	10	3	3	PEN	
EJV2018CGJOL-013		SIL	1	1	10	VEI	
EJV2018CGJOL-014		SIL	1	1	10	VEI	CAR
EJV2018CGJV-001		SIL	1	1	10	VEI	
EJV2018CGJV-002							
EJV2018CGJV-003		SIL	2	1	10	VEI	SIL
EJV2018CGJV-004							
EJV2018CGJV-005							
EJV2018CL-001		EPI	5	2	1	VAR	
EJV2018CL-002		EPI	8	3	5	VAR	EPI
EJV2018CL-003		EPI	5	8	5	PEN	HEM
EJV2018CL-004	60%mélanosome à 45%AM et 40%leucosome à 25%AM et légèrement plus de QZ						

IdAffleur	Mineral_Desc	Alteration 1	Alt1 %	Alt1_Distributi on	Alt1_Intens ity	Alt1_Control	Alteration 2
EJV2018CL-005		EPI	10	5	1	PEN	CHL
EJV2018CL-006		EPI	50	5	1	PEN	
EJV2018CL-007		HEM	80	3	1	PEN	
EJV2018CL-008							
EJV2018CL-009		CHL	10	3	1	PEN	SIL
EJV2018CL-010		EPI	2	1	8	VEI	EPI
EJV2018CL-011		HEM	50	8	1	PEN	
EJV2018CL-012		SIL	5	1	10	VEI	
EJV2018CL-013		SIL	5	1	10	VEI	
EJV2018CL-014							
EJV2018CL-015		HEM	5	8	1	PEN	
EJV2018CL-016		EPI	2	1	10	VEI	
EJV2018CL-017	MF: AM et BO	EPI	2	8	1	PEN	
EJV2018CL-018		SIL	1	1	10	VEI	
EJV2018CL-019		EPI	20	3	3	PEN	HEM
EJV2018CL-020		SIL	2	1	10	VEI	
EJV2018CL-021		EPI	10	3	5	VEI	HEM
EJV2018CL-022		EPI	35	3	8	VAR	
EJV2018CL-023		EPI	50	8	1	VAR	
EJV2018CL-024		EPI	80	7	1	PEN	
EJV2018CL-025		EPI	10	2	8	VEI	
EJV2018CL-026	Localement 5-10%biotite	EPI	80	7	2	PEN	CAR
EJV2018CL-027		SIL	5	1	10	VEI	EPI
EJV2018CL-028		EPI	80	8	2	PEN	SIL
EJV2018CL-029		EPI	100	8	3	PEN	

IdAffleur	Mineral_Desc	Alteration 1	Alt1 %	Alt1_Distributi on	Alt1_Intens ity	Alt1_Control	Alteration 2
EJV2018CL-030		EPI	80	6	1	VAR	HEM
EJV2018CL-031		EPI	80	6	1	VAR	HEM
EJV2018CL-032		EPI	5	2	8	VEI	HEM
EJV2018CL-033							
EJV2018CL-034		EPI	15	3	4	VAR	SIL
EJV2018CL-035		EPI	5	1	8	VEI	HEM
EJV2018CL-036		HEM	80	8	1	PEN	
EJV2018CL-037		HEM	80	8	1	PEN	
EJV2018CL-038		HEM	80	8	1	PEN	
EJV2018CL-039							
EJV2018CL-040		SIL	2	1	10	VEI	
EJV2018CL-041		SIL	50	6	1	PEN	
EJV2018CL-042							
EJV2018CL-043							
EJV2018CL-044							
EJV2018CL-045	1-2% grenat rose clair de 1-2mm.	SIL	10	5	1	PEN	SIL
EJV2018CL-046		SIL	1	1	10	VEI	SIL
EJV2018CL-047		SIL	5	5	1	PEN	SIL
EJV2018CL-048		HEM	5	3	1	PEN	
EJV2018CL-049							
EJV2018CL-050		SIL	10	1	10	VEI	
EJV2018CL-051							
EJV2018CL-052		SIL	8	1	10	VEI	
EJV2018CL-053	Présence d'un minéral bleu très clair un peu translucide	SIL	40	8	2	PEN	SIL
EJV2018CL-054		SIL	5	6	3	PEN	

IdAffleur	Mineral_Desc	Alteration 1	Alt1 %	Alt1_Distributi on	Alt1_Intens ity	Alt1_Control	Alteration 2
EJV2018CL-055		CAR	80	5	4	PEN	SIL
EJV2018CL-056							
EJV2018CL-057		HEM	80	8	2	PEN	
EJV2018CL-058		EPI	80	6	1	PEN	SIL
EJV2018CL-059		SIL	5	1	10	VEI	
EJV2018CL-060		SIL	20	8	3	PEN	SIL
EJV2018CL-061							
EJV2018CL-062		SIL	5	1	10	VEI	SIL
EJV2018CL-063		SIL	5	1	10	VEI	
EJV2018CL-064							
EJV2018CL-065		SIL	15	1	10	VEI	SIL
EJV2018CL-066		SIL	80	6	2	PEN	SIL
EJV2018CL-067		SIL	5	1	10	VEI	
EJV2018CL-068							
EJV2018CL-069		SIL	5	1	10	VEI	
EJV2018CL-070							
EJV2018CL-071							
EJV2018CL-072		HEM	80	8	1	VAR	SIL
EJV2018CL-073		SIL	5	1	10	VEI	SIL
EJV2018CL-074	Présence d'un minéral bleu clair un peu translucide (?)	SIL	1	1	10	VEI	CAR
EJV2018CL-075							
EJV2018CL-076		SIL	1	1	10	VEI	
EJV2018CL-077		HEM	80	8	2	PEN	
EJV2018CL-078							
EJV2018CL-079							
EJV2018CL-080		SIL	20	1	10	VEI	
EJV2018CL-081							
EJV2018CL-082		SIL	5	1	10	VEI	
EJV2018CL-083		SIL	8	1	10	VEI	
EJV2018CL-084		SIL	5	1	10	VEI	
EJV2018CL-085		EPI	10	1	10	VEI	
EJV2018CL-086							
EJV2018CL-087							
EJV2018CL-088		SIL	1	1	10	VEI	

IdAflleur	Mineral_Desc	Alteration 1	Alt1 %	Alt1_Distributi on	Alt1_Intens ity	Alt1_Control	Alteration 2
EJV2018CL-089							
EJV2018FR-001		EPI	7	3	1	PEN	
EJV2018FR-002		EPI	1	1	1	PEN	
EJV2018FR-003							
EJV2018FR-004							
EJV2018FR-005							
EJV2018FR-006		EPI	3	3	3	PEN	
EJV2018FR-007		EPI	2	3	3	PEN	
EJV2018FR-008		EPI	2	1	1	PEN	
EJV2018FR-009							
EJV2018FR-010							
EJV2018FR-011		EPI	1	1	3	PEN	
EJV2018FR-012		EPI	1	1	1	PEN	
EJV2018FR-013		EPI	3	3	3	PEN	HEM
EJV2018FR-014							
EJV2018FR-015							
EJV2018FR-016							
EJV2018FR-017		EPI	2	3	3	PEN	
EJV2018FR-018		EPI	3	3	3	PEN	HEM
EJV2018FR-019							
EJV2018FR-020							
EJV2018FR-021							
EJV2018FR-022	Composition de I1C/M3.						
EJV2018FR-023							
EJV2018FR-024		EPI	20	7	7	PEN	
EJV2018FR-025							
EJV2018FR-026		EPI	7	1	3	VAR	
EJV2018FR-027							
EJV2018FR-028							
EJV2018FR-029		EPI	15	2	10	PEN	
EJV2018FR-030							
EJV2018FR-031		EPI	1	1	1	PEN	
EJV2018FR-032							
EJV2018FR-033							
EJV2018FR-034							
EJV2018FR-035							
EJV2018FR-036	% des minéraux impossible à évaluer du a l'altération intense.	SIL	25	3	8	PEN	EPI
EJV2018FR-037		EPI	1	1	1	PEN	
EJV2018FR-038							
EJV2018FR-039							

IdAffleur	Mineral_Desc	Alteration 1	Alt1 %	Alt1_Distributi on	Alt1_Intens ity	Alt1_Control	Alteration 2
EJV2018FR-040							
EJV2018FR-041							
EJV2018FR-042							
EJV2018FR-043		EPI	3	5	3	VAR	
EJV2018FR-044							
EJV2018FR-045							
EJV2018FR-046							
EJV2018FR-047		EPI	1	5	1	VEI	
EJV2018FR-048							
EJV2018FR-049		EPI	1	1	1	VAR	
EJV2018FR-050		HEM	5	3	3	PEN	EPI
EJV2018FR-051							
EJV2018FR-052							
EJV2018FR-053		SIL	10	2	6	PEN	
EJV2018FR-054							
EJV2018FR-055							
EJV2018JF-000							
EJV2018JF-001							
EJV2018JF-002							
EJV2018JF-003							
EJV2018JF-004							
EJV2018JF-005							
EJV2018JF-006							
EJV2018JF-007							
EJV2018JF-008							
EJV2018JF-009							
EJV2018JF-010							
EJV2018JF-011							
EJV2018JF-012							
EJV2018JF-013							
EJV2018JF-014							
EJV2018JF-015							
EJV2018JF-016							
EJV2018JF-017							
EJV2018JF-018							
EJV2018JF-019							
EJV2018JF-020							
EJV2018JF-021							
EJV2018JF-022							
EJV2018JF-023							
EJV2018JF-024							
EJV2018JF-025							
EJV2018JF-026							

IdAffleur	Alt3_Control	Alt_CodeAgglom	Alt_Comment	Mx1_Code	Mx1_Ratio	Mx1_Occur
EJV2018AN-001		HEM(3,3)		MG	10	ID
EJV2018AN-002		EPI(2,1)	Épidote injecté en veinules			
EJV2018AN-003				MG	1	DI
EJV2018AN-004				MG	1	DI
EJV2018AN-005		HEM(1,3)		MG	1	DI
EJV2018AN-006		EPI(2,1)		MG	1	DI
EJV2018AN-007		HEM(5,3) SIL(10,1)		MG	1	DI
EJV2018AN-008				MG	2	DI
EJV2018AN-009				MG	2	DI
EJV2018AN-010		HEM(1,5) SIL(10,1)		MG	2	DI
EJV2018AN-011				MG	2	DI
EJV2018AN-012				MG	2	DI
EJV2018AN-013		EPI(3,7) HEM(3,7)		MG	2	DI
EJV2018AN-014				MG	2	DI
EJV2018AN-015				MG	2	DI
EJV2018AN-016				PY	2	AI
EJV2018AN-017		SIL(10,1)				
EJV2018AN-018		EPI(2,8)	Epidotisation sans contrôle apparent.	MG	1	DI
EJV2018AN-019						
EJV2018AN-020		HEM(3,8)	Hematisation associé à la présence de MG	MG	1	DI
EJV2018AN-021		HEM(3,7)	Hematisation associé à la présence de la MG	MG	1	DI
EJV2018AN-022						
EJV2018AN-023						
EJV2018AN-024				MG	5	AI
EJV2018AN-025		EPI(6,9)				
EJV2018AN-026		EPI(5,7)		MG	5	DI
EJV2018AN-027				MG	1	DI
EJV2018AN-028		SIL(10,1)		MG	2	DI
EJV2018AN-029		EPI(5,8)	Superficiel et localement PEN			
EJV2018AN-030				MG	1	DI
EJV2018AN-031		EPI(4,1)				
EJV2018AN-032		EPI(2,10)		MG	1	DI
EJV2018AN-033		HEM(3,7)				
EJV2018AN-034	VEI	SIL(8,10) SIL(10,1) EPI(5,1)	Egalement EPI 7 (5,6) en bande et CAR 3 (5,4)	PY	1	AI
EJV2018AN-035		HEM(3,8)		MG	1	DI
EJV2018AN-036		EPI(6,7)		PY	1	DI
EJV2018AN-037		EPI(3,8)		PY	1	DI
EJV2018AN-038		EPI(9,10)		PY	15	AI
EJV2018AN-039	PEN	EPI(10,10) SIL(10,10) HEM(5,4)	Hem essentiellement en amas. EPI2 (2,7) PEN mais essentiellement en bandes // à la FO dans le second bloc	PY	1	DI
EJV2018AN-040						

IdAffleur	Alt3_Control	Alt_CodeAgglom	Alt_Comment	Mx1_Code	Mx1_Ratio	Mx1_Occur
EJV2018AN-041		HEM(2,8)				
EJV2018AN-042		EPI(9,1) HEM(1,6)		MG	1	DI
EJV2018AN-043		EPI(7,1)				
EJV2018AN-044				HM	1	AI
EJV2018AN-045		HEM(4,9)		MG	1	AI
EJV2018CG-001				MG	1	DI
EJV2018CG-002				CP	0.1	DI
EJV2018CG-003				PY	10	DI
EJV2018CG-004				MG	3	DI
EJV2018CG-005				PY	3	DI
EJV2018CG-006						
EJV2018CG-007				PO	2	DI
EJV2018CG-008				PO	2	DI
EJV2018CG-009						
EJV2018CG-010				PY	1	DI
EJV2018CG-011				PY	0.1	DI
EJV2018CG-012						
EJV2018CG-013				PY	1	DI
EJV2018CG-014				PY	0.1	DI
EJV2018CG-015				PY	5	DI
EJV2018CG-016				PY	5	DI
EJV2018CG-017						
EJV2018CG-018				PO	3	DI
EJV2018CG-019		EPI(1,7)		PY	0.1	DI
EJV2018CG-020				PY	3	DI
EJV2018CG-021				PY	8	AI
EJV2018CG-022						
EJV2018CG-023				PY	15	AI
EJV2018CGJOL-001		SIL(8,3) CHL(2,5)	altération plus intense en bordure du contact	PY	3	VN
EJV2018CGJOL-002		SIL(6,8)		PY	4	DI
EJV2018CGJOL-003		SIL(5,5)		PY	2	DI
EJV2018CGJOL-004		SIL(6,5)		PY	8	DI
EJV2018CGJOL-005		SIL(10,1)	veine de QZ 10cm d'épaisseur			
EJV2018CGJOL-006		SIL(3,7)		PY	2	DI
EJV2018CGJOL-007						
EJV2018CGJOL-008						
EJV2018CGJOL-009						
EJV2018CGJOL-010		SIL(10,1)				
EJV2018CGJOL-011				PY	1	DI
EJV2018CGJOL-012				PY	0.1	DI
EJV2018CGJOL-013				PY	1	DI
EJV2018CGJOL-014				PY	0.1	DT
EJV2018CGJV-001		SIL(10,1)	Veine de 10 à 20 cm d'épaisseur parallèle à la foliation, un peu irrégulière avec inclusion de biotite et pas de sulfure visible dans la veine.	PY	0.1	DI
EJV2018CGJV-002				PY	5	DI
EJV2018CGJV-003	PEN	SIL(10,1) SIL(6,6) CHL(1,6)	Présence de bandes très silicifiées cm-dm contenant quelques chlorite disséminée (La roche a une teinte verdâtre).	PY	8	DI
EJV2018CGJV-004			aucune altération visible.	PY	0.1	DI
EJV2018CGJV-005			aucune altération	PY	2	DI
EJV2018CL-001		EPI(1,2)	Présence de quelques FP faiblement épidotisés par endroits	PY	0.01	DI
EJV2018CL-002		EPI(5,3) EPI(1,8)		PY	1	DI
EJV2018CL-003		EPI(5,8) HEM(1,3)	Par endroit la roche est très altérée en épidote et le grain semble plus fin.	PY	0.01	DI
EJV2018CL-004				PY	0.01	DI

IdAflleur	Alt3_Control	Alt_CodeAgglom	Alt_Comment	Mx1_Code	Mx1_Ratio	Mx1_Occur
EJV2018CL-005		EPI(1,5) CHL(1,5)	Traces de quelques épidote disséminée. Légère chloritisation des mafiques	PY	1	DI
EJV2018CL-006		EPI(1,5)		PY	1.5	DI
EJV2018CL-007		HEM(1,3)	Très faible HEM sur l'ensemble de l'affleurement			
EJV2018CL-008						
EJV2018CL-009		CHL(1,3) SIL(10,1)	Présence de quelques veinules qz translucide de 1-3mm large	PY	1	DI
EJV2018CL-010	PEN	EPI(8,1) EPI(3,8) CHL(5,5)	Bloc très altérée (métasomatisme). Présence de veinules et amas riches en épidote et/ou chlorite, formant des patchs-amas aléatoires et irréguliers. HEM05(1-3)DIS			
EJV2018CL-011		HEM(1,8)		PY	0.1	DI
EJV2018CL-012		SIL(10,1)	Présence de nombreuses veines et veinules de QZ grise translucide brun rougeatre de 1cm à 10cm de large souvent // à la foliation. Les veinules sont parfois boudinées et en amas. Elles sont minéralisées avec TrPY disséminée en amas surtout aux épontes.	PY	0.5	DI
EJV2018CL-013		SIL(10,1)		PY	0.5	DI
EJV2018CL-014				PY	0.5	DI
EJV2018CL-015		HEM(1,8)				
EJV2018CL-016		EPI(10,1)				
EJV2018CL-017		EPI(1,8)	trace epidote localement	PY	0.01	DI
EJV2018CL-018		SIL(10,1)	Présence de quelques veinules QZ 1cm à 10cm orientées aléatoirement.	PY	1	DI
EJV2018CL-019	VEI	EPI(3,3) HEM(1,3) EPI(10,1)	EPI et HEM patchy ou en petites veinules-amas irréguliers mm à cm	PY	1.5	AI
EJV2018CL-020		SIL(10,1)	Présence de quelques veinules QZ grise brun rougeatre cm parfois en plaquage, minéralisée avec traces pyrite	PY	0.5	DI
EJV2018CL-021		EPI(5,3) HEM(5,3)		PY	0.1	AI
EJV2018CL-022		EPI(8,3)	L'altération en épidote se présente surtout sous forme de rubans (// à la -cm)// à la foliation. Elle se présente également sous forme disséminée ou en patch	PY	4	DI
EJV2018CL-023		EPI(1,8)	Légère EPI sur l'ens de l'affl finement disséminée	PY	1.5	DI
EJV2018CL-024		EPI(1,7)		PY	3.5	DI
EJV2018CL-025		EPI(8,2)	Quelques veinules ou amas de 1-5cm de large	PY	1	DI
EJV2018CL-026		EPI(2,7) CAR(9,2)	Légère EPI sur l'ensemble de l'affl sous forme disséminée dans le plan de foliation ou en amas+/- veinules irrégulières.	PY	3	DI
EJV2018CL-027		SIL(10,1) EPI(8,3)	Epidotisation sous forme de rubans ou veinules cm à dm. Présence de quelques veinules de QZ légèrement rouillées et plissées de 5 à 10cm de large.	PY	3	DI
EJV2018CL-028	VEI	EPI(2,8) SIL(10,1) EPI(8,2)	Légère épidotisation pénétrative, disséminée sur l'ensemble de l'affleurement. Présence d'environ 10% de bandes très épidotisées de 2 à 10cm de large //FO. Présence de quelques veinules de QZ de 1-5cm de large	PY	1	DI
EJV2018CL-029		EPI(3,8)		PY	2	DI

IdAffleur	Alt3_Control	Alt_CodeAgglom	Alt_Comment	Mx1_Code	Mx1_Ratio	Mx1_Occur
EJV2018CL-030	VEI	EPI(1,6) HEM(1,8) SIL(10,1)	CHL10(03-04)PSC	PY	1	DI
EJV2018CL-031	VEI	EPI(1,6) HEM(1,8) SIL(10,1)	CHL10(03-04)PSC	PY	1	DI
EJV2018CL-032	FRP	EPI(8,2) HEM(1,6) HEM(8,2)	Présence de veinules d'epidote de 1mm à 1cm. EPI et HEM en plaquage de fracture.			
EJV2018CL-033				PY	0.5	DI
EJV2018CL-034		EPI(4,3) SIL(10,1)	L'épidote se présente sous forme disséminée, en patch mm-cm, en plaquage de fracture ou dans les plans de foliation.	PY	0.5	DI
EJV2018CL-035	VEI	EPI(8,1) HEM(2,8) HEM(8,1)		PY	0.1	DI
EJV2018CL-036		HEM(1,8)				
EJV2018CL-037		HEM(1,8)				
EJV2018CL-038		HEM(1,8)		PY	0.1	DI
EJV2018CL-039						
EJV2018CL-040		SIL(10,1)	Veine QZ blanche et un grise un peu brunatre dans les fractures de 15-20cm de large à N315			
EJV2018CL-041		SIL(1,6)	Très légère silicification pervasive.	PY	1	DI
EJV2018CL-042			Pas d'altération visible			
EJV2018CL-043			Pas d'altération visible			
EJV2018CL-044			Pas d'altération visible			
EJV2018CL-045		SIL(1,5) SIL(10,1)	Faible silicification pervasive (bandes mm-cm silicifiées de couleur grise un peu bleutée). Présence de 1% de veine et amas riches en QZ de 5-10cm de large //foliation. Veine parfois boudinée grise blanche et brune.	PY	1	DI
EJV2018CL-046		SIL(10,1) SIL(1,5)	Présence de bandes 1-2 cm parfois 5cm très silicifiées parfois diffuses de couleur grises un peu bleuté.	PY	1.5	DI
EJV2018CL-047		SIL(1,5) SIL(10,1)	Présence de veines QZ cm-dm boudinées // fol. Présence de quelques bandes legerement silicifiées dans le paragneiss	PY	0.5	DI
EJV2018CL-048		HEM(1,3)	Légère hematization du dyke felsique	PY	0.5	DI
EJV2018CL-049				PY	0.1	DI
EJV2018CL-050		SIL(10,1)	Présence d'environ 10% veines de quartz grise et blanche de 1 a 10cm de large souvent // a la foliation	PY	0.5	DI
EJV2018CL-051						
EJV2018CL-052		SIL(10,1)	5-10% veines et veinules QZ grise et blanches de 1 a 5cm de large et // a la foliation.	PY	0.1	DI
EJV2018CL-053		SIL(2,8) SIL(8,2)		PY	4	DI
EJV2018CL-054		SIL(3,6)		PY	4	DI

IdAffleur	Alt3_Control	Alt_CodeAgglom	Alt_Comment	Mx1_Code	Mx1_Ratio	Mx1_Occur
EJV2018CL-055	PEN	CAR(4,5) SIL(10,1) SIL(5,8)	La silicification et la carbonatation affectent l'ensemble du bloc et sont pervasives, modérée. Présence de veines et veinules de quartz grises translucides de 2 à 3cm de large (pour les visibles)	PY	1	DI
EJV2018CL-056				PY	8	ID
EJV2018CL-057		HEM(2,8)				
EJV2018CL-058		EPI(1,6) SIL(10,1)		PY	1	DI
EJV2018CL-059		SIL(10,1)		PY	1	DI
EJV2018CL-060		SIL(3,8) SIL(10,1)	Moyenne silicification pervasive de la bande de paragneiss. Le paragneiss contient aussi les nombreuses veines de QZ mm à cm contenant quelques inclusions CHL, elles sont irrégulières, parfois discontinues mais dans l'ensemble orientées à N300-305	PY	1.5	DI
EJV2018CL-061						
EJV2018CL-062		SIL(10,1) SIL(3,5)	Moyenne silicification au niveau de la bande rouillée, qui contient également de nombreuses veines et veinules de quartz.	PY	2.5	DI
EJV2018CL-063		SIL(10,1)		PY	1.5	AI
EJV2018CL-064				PY	1	DI
EJV2018CL-065	VAR	SIL(10,1) SIL(2,8) CAR(2,5)		PY	2.5	AI
EJV2018CL-066		SIL(2,6) SIL(10,1)		PY	1.5	DI
EJV2018CL-067		SIL(10,1)		PY	0.1	DI
EJV2018CL-068						
EJV2018CL-069		SIL(10,1)		PY	0.1	DI
EJV2018CL-070						
EJV2018CL-071						
EJV2018CL-072		HEM(1,8) SIL(10,1)		MG	0.5	DI
EJV2018CL-073		SIL(10,1) SIL(1,6)		PY	1	DI
EJV2018CL-074	PEN	SIL(10,1) CAR(2,3) EPI(1,8)		PY	1	DI
EJV2018CL-075						
EJV2018CL-076		SIL(10,1)				
EJV2018CL-077		HEM(2,8)		MG	0.5	DI
EJV2018CL-078				MG	0.5	AI
EJV2018CL-079				MG	0.1	DI
EJV2018CL-080		SIL(10,1)		PY	0.5	DI
EJV2018CL-081						
EJV2018CL-082		SIL(10,1)	Présence localement d'amas de carbonates pervasif ou dans les veinules QZ (5mm-2cm de large)	PY	1	DI
EJV2018CL-083		SIL(10,1)	5-10% veines et veinules quartz de 5mm-5cm. Présence d'une grosse veine laiteuse de 20-40cm de large	PY	0.1	DI
EJV2018CL-084		SIL(10,1)		PY	2.5	DI
EJV2018CL-085		EPI(10,1)		PY	0.1	DI
EJV2018CL-086				MG	1	AI
EJV2018CL-087						
EJV2018CL-088		SIL(10,1)				

IdAffleur	Alt3_Control	Alt_CodeAgglom	Alt_Comment	Mx1_Code	Mx1_Ratio	Mx1_Occur
EJV2018CL-089						
EJV2018FR-001		EPI(1,3)		PY	8	DI
EJV2018FR-002		EPI(1,1)		PY	1	DI
EJV2018FR-003				PY	1	DI
EJV2018FR-004						
EJV2018FR-005				PY	0.5	DI
EJV2018FR-006		EPI(3,3)				
EJV2018FR-007				PY	1	DI
EJV2018FR-008		EPI(1,1)		PY	1.5	DI
EJV2018FR-009				PY	0.1	DI
EJV2018FR-010				PY	0.5	DI
EJV2018FR-011		EPI(3,1)		PY	0.5	DI
EJV2018FR-012		EPI(1,1)	Epidotisation concentré dans les niveaux plus mafiques du gneiss.	PY	1.5	DI
EJV2018FR-013		EPI(3,3) HEM(3,1)		PY	0.5	DI
EJV2018FR-014				PY	0.1	DI
EJV2018FR-015						
EJV2018FR-016						
EJV2018FR-017		EPI(3,3)		PY	0.5	DI
EJV2018FR-018		EPI(3,3) HEM(1,1)		PY	0.5	DI
EJV2018FR-019						
EJV2018FR-020						
EJV2018FR-021						
EJV2018FR-022						
EJV2018FR-023				PY	0.5	DI
EJV2018FR-024		EPI(7,7)		PY	20	DI
EJV2018FR-025				PY	1.5	DI
EJV2018FR-026		EPI(3,1)	Patches d'épidote.	PY	1.5	DI
EJV2018FR-027				PY	2	DI
EJV2018FR-028				PY	2	DT
EJV2018FR-029		EPI(10,2)	Environ 15% de la lithologie composant le bloc est complètement oblitéré par l'épidotisation.	PY	1	DI
EJV2018FR-030				PY	0.5	DI
EJV2018FR-031		EPI(1,1)		PY	0.1	DI
EJV2018FR-032						
EJV2018FR-033						
EJV2018FR-034						
EJV2018FR-035						
EJV2018FR-036	PEN	SIL(8,3) EPI(10,3) CHL(7,3)		PY	2.5	AI
EJV2018FR-037						
EJV2018FR-038						
EJV2018FR-039				PY	0.01	DI

IdAffleur	Alt3_Control	Alt_CodeAgglom	Alt_Comment	Mx1_Code	Mx1_Ratio	Mx1_Occur
EJV2018FR-040				PY	1	DI
EJV2018FR-041						
EJV2018FR-042						
EJV2018FR-043		EPI(3,5)		PY	1	DI
EJV2018FR-044				PY	2	DI
EJV2018FR-045						
EJV2018FR-046						
EJV2018FR-047		EPI(1,5)				
EJV2018FR-048						
EJV2018FR-049			Très très légère épidotisation dans le l11/M3.	PY	0.5	DI
EJV2018FR-050				PY	0.5	DI
EJV2018FR-051						
EJV2018FR-052						
EJV2018FR-053		SIL(6,2)	silicification pervasive modérée, localement associée à des veines de quartz fumé.	PY	3	DI
EJV2018FR-054						
EJV2018FR-055						
EJV2018JF-000				PY	2	DI
EJV2018JF-001				MG	0.5	DI
EJV2018JF-002				MG	3	DI
EJV2018JF-003				PY	2	DI
EJV2018JF-004						
EJV2018JF-005				MG	1	DI
EJV2018JF-006				MG	0.5	DI
EJV2018JF-007				PY	0.1	DI
EJV2018JF-008				PY	0.1	DI
EJV2018JF-009				PY	0.1	DI
EJV2018JF-010				PY	0.8	DI
EJV2018JF-011						
EJV2018JF-012				PY	0.5	DI
EJV2018JF-013						
EJV2018JF-014				PY	0.5	DI
EJV2018JF-015				PY	0.5	DI
EJV2018JF-016				PY	0.1	DI
EJV2018JF-017				PY	0.2	DI
EJV2018JF-018				PY	0.1	DI
EJV2018JF-019				PY	0.8	DI
EJV2018JF-020				PY	0.1	DI
EJV2018JF-021				MO	0.3	DI
EJV2018JF-022				PY	0.01	DI
EJV2018JF-023				PY	0.1	DI
EJV2018JF-024						
EJV2018JF-025						
EJV2018JF-026				PY	0.8	DI

IdAffleur	Mx1_Control	Mx1_Int	Mx2_Code	Mx2_Ratio	Mx2_Occur	Mx2_Control	Mx3_Code	Mx3_Ratio	Mx3_Occur
EJV2018CL-005	PEN								
EJV2018CL-006	PEN								
EJV2018CL-007									
EJV2018CL-008									
EJV2018CL-009	PEN		PY	0.5	DI	PSC			
EJV2018CL-010									
EJV2018CL-011	PEN		MG	0.1	DI	PEN			
EJV2018CL-012	PEN		PY	0.5	DI	VEI			
EJV2018CL-013	VEI								
EJV2018CL-014	PEN								
EJV2018CL-015									
EJV2018CL-016									
EJV2018CL-017	PEN								
EJV2018CL-018	PEN		MG	0.5	DI	PEN			
EJV2018CL-019	PEN								
EJV2018CL-020	PEN		PY	0.1	DI	VEI			
EJV2018CL-021	PEN								
EJV2018CL-022	PSC		PY	1	DI	PEN	MG	1	DI
EJV2018CL-023	PEN		PY	0.5	AI	PEN			
EJV2018CL-024	PSC								
EJV2018CL-025	PEN								
EJV2018CL-026	PSC		CP	0.5	AI	PEN	MC	0,1	DI
EJV2018CL-027	PEN								
EJV2018CL-028	PSC		PY	1	DI	PEN			
EJV2018CL-029	PEN		PY	1	DI	PSC			

IdAffleur	Mx3_Control	Mx4_Code	Mx4_Ratio	Mx4_Occur	Mx4_Control	Mx_Comment	Mx_CodeAgglom
EJV2018AN-001							MG(10)
EJV2018AN-002							
EJV2018AN-003							MG(1)
EJV2018AN-004							MG(1) HM(1)
EJV2018AN-005							MG(1)
EJV2018AN-006							MG(1)
EJV2018AN-007							MG(1) HM(1)
EJV2018AN-008							MG(2)
EJV2018AN-009							MG(2)
EJV2018AN-010						MG essentiellement dans les bandes plus mafiques de l'unité.	MG(2)
EJV2018AN-011							MG(2)
EJV2018AN-012							MG(2)
EJV2018AN-013							MG(2)
EJV2018AN-014							MG(2)
EJV2018AN-015							MG(2)
EJV2018AN-016							PY(2)
EJV2018AN-017							
EJV2018AN-018							MG(1)
EJV2018AN-019							
EJV2018AN-020							MG(1)
EJV2018AN-021							MG(1)
EJV2018AN-022							
EJV2018AN-023							
EJV2018AN-024							MG(5) PY(1)
EJV2018AN-025							
EJV2018AN-026							MG(5) PY(2)
EJV2018AN-027							MG(1)
EJV2018AN-028							MG(2)
EJV2018AN-029							
EJV2018AN-030							MG(1)
EJV2018AN-031							
EJV2018AN-032							MG(1)
EJV2018AN-033							
EJV2018AN-034							PY(1)
EJV2018AN-035							MG(1)
EJV2018AN-036							PY(1)
EJV2018AN-037							PY(1)
EJV2018AN-038							PY(15) MG(1)
EJV2018AN-039							PY(1) MG(1)
EJV2018AN-040							

IdAffleur	Mx3_Control	Mx4_Code	Mx4_Ratio	Mx4_Occur	Mx4_Control	Mx_Comment	Mx_CodeAgglom
EJV2018CL-055						1-2% fines pyrite et probablement pyrrhotite (odeur desagréable) finement disséminées. Présences de quelques feuillettes de graphite.	PY(1) PO(1)
EJV2018CL-056						5-10% pyrite cubique disséminée dans les plans de foliation ou en plaquage de fractures	PY(8)
EJV2018CL-057							
EJV2018CL-058							PY(1) PY(0,1)
EJV2018CL-059							PY(1)
EJV2018CL-060						1-2% pyrite finement disséminée. Odeur désagréable au Hcl (PO?)	PY(1,5) PO(0,5)
EJV2018CL-061							
EJV2018CL-062	PEN					2-3% fines pyrite et pyrrhotite disséminée, présence également de veinules riches en pyrite de 1-5mm de large.	PY(2,5) PY(0,5) PO(1)
EJV2018CL-063							PY(1,5)
EJV2018CL-064							PY(1)
EJV2018CL-065						2-3% fines a moyennes pyrites disséminée ou en amas.	PY(2,5)
EJV2018CL-066						1-3% fines a tres fines pyrite et pyrrhotite disséminées.	PY(1,5) PO(1)
EJV2018CL-067							PY(0,1)
EJV2018CL-068							
EJV2018CL-069							PY(0,1)
EJV2018CL-070							
EJV2018CL-071							
EJV2018CL-072							MG(0,5)
EJV2018CL-073							PY(1)
EJV2018CL-074							PY(1)
EJV2018CL-075							
EJV2018CL-076							
EJV2018CL-077							MG(0,5)
EJV2018CL-078							MG(0,5)
EJV2018CL-079							MG(0,1) PY(0,5)
EJV2018CL-080							PY(0,5)
EJV2018CL-081							
EJV2018CL-082						Traces a 1% pyrites tres finement disséminées	PY(1)
EJV2018CL-083							PY(0,1)
EJV2018CL-084						2-3% pyrite fines a moyennes disséminées, en amas parfois cubique et surtout présentes dans le long des rubans genissiques	PY(2,5)
EJV2018CL-085							PY(0,1)
EJV2018CL-086							MG(1)
EJV2018CL-087							
EJV2018CL-088							

IdAffleur	Mx3_Control	Mx4_Code	Mx4_Ratio	Mx4_Occur	Mx4_Control	Mx_Comment	Mx_CodeAgglom
EJV2018FR-040							PY(1)
EJV2018FR-041							
EJV2018FR-042							
EJV2018FR-043							PY(1)
EJV2018FR-044							PY(2)
EJV2018FR-045							
EJV2018FR-046							
EJV2018FR-047							
EJV2018FR-048							
EJV2018FR-049						tr-1% py disseminée (S3/M4)	
EJV2018FR-050						Concentré sporadiquement dans quelques rubans du gneiss.	
EJV2018FR-051							
EJV2018FR-052							
EJV2018FR-053						La minéralisation est associée aux zones silicifiées.	PY(3)
EJV2018FR-054							
EJV2018FR-055							
EJV2018JF-000							PY(2)
EJV2018JF-001						Disseminated magnetite in the granite	MG(0.5)
EJV2018JF-002							MG(3) PY(0.1)
EJV2018JF-003						Pyritic horizon (disseminated) present. Not magnetic.	PY(2)
EJV2018JF-004							
EJV2018JF-005							MG(1) PY(0.01)
EJV2018JF-006						No sulfides observed	MG(0.5)
EJV2018JF-007						Disseminated traces of sulfides.	PY(0.1)
EJV2018JF-008						Disseminated pyrite traces in granite near paragneiss fragments	PY(0.1)
EJV2018JF-009						Pyrite present in granite near paragneiss fragments. Sample is 100% granite	PY(0.1)
EJV2018JF-010							PY(0.8)
EJV2018JF-011							
EJV2018JF-012						Sample contains 10% quartz vein. Pyrite is located in the vein and its boundary.	PY(0.5)
EJV2018JF-013							
EJV2018JF-014						Disseminated pyrite traces in quartzofeldspathic biotite paragneiss.	PY(0.5)
EJV2018JF-015						Disseminated pyrite	PY(0.5)
EJV2018JF-016						Sample contains 10-15% of the quartz vein.	PY(0.1)
EJV2018JF-017							PY(0.2)
EJV2018JF-018						Disseminated pyrite	PY(0.1)
EJV2018JF-019							PY(0.8)
EJV2018JF-020							PY(0.1)
EJV2018JF-021						Disseminated (up to 8mm) molybdenite and traces of pyrite in the pegmatitic injections of the paragneiss.	MO(0.3) PY(0.1)
EJV2018JF-022							PY(0.01)
EJV2018JF-023							PY(0.1)
EJV2018JF-024							
EJV2018JF-025							
EJV2018JF-026						Disseminated pyrite observed and hosted in anatectic pegmatites. Sample is pegmatite 100%.	PY(0.8)

IdAffleur	Struc1_Type	Struc1_Code	Struc1_CodeDis c	Struc1_Dir	Struc1_Dip	Struc1_Int	Struc2_Type	Struc2_Code
EJV2018AN-041								
EJV2018AN-042								
EJV2018AN-043								
EJV2018AN-044	PI	FO	4	301	80	4		
EJV2018AN-045								
EJV2018CG-001								
EJV2018CG-002								
EJV2018CG-003								
EJV2018CG-004								
EJV2018CG-005								
EJV2018CG-006	PI	S1	4	330	60	4	PI	FR
EJV2018CG-007								
EJV2018CG-008								
EJV2018CG-009	PI	S1	4	310	80	3	PI	DY
EJV2018CG-010	PI	S1	4	330	45	3	PI	CT
EJV2018CG-011	PI	S1	4	315	50	3		
EJV2018CG-012								
EJV2018CG-013								
EJV2018CG-014	PI	S1	4	340	20	4		
EJV2018CG-015								
EJV2018CG-016								
EJV2018CG-017	PI	S1	4	340	30	3		
EJV2018CG-018								
EJV2018CG-019	PI	S1	4	330	65	4		
EJV2018CG-020								
EJV2018CG-021								
EJV2018CG-022	PI	S1	4	285	35	3		
EJV2018CG-023								
EJV2018CGJOL-001	PI	FO	4	300	48	4	PI	CT
EJV2018CGJOL-002								
EJV2018CGJOL-003	PI	FO	4	315	65	3		
EJV2018CGJOL-004								
EJV2018CGJOL-005	PI	FA	42	170	40	2		
EJV2018CGJOL-006								
EJV2018CGJOL-007								
EJV2018CGJOL-008	PI	CT	1	300	70	4		
EJV2018CGJOL-009	PI	DY	46	190	85	3		
EJV2018CGJOL-010	PI	VN	15	305	90	3		
EJV2018CGJOL-011	PI	FO	4	305	65	4		
EJV2018CGJOL-012	PI	FO	4	300	50	4	PI	DY
EJV2018CGJOL-013	PI	FO	4	300	70	3		
EJV2018CGJOL-014								
EJV2018CGJV-001	PI	S1	4	320	85	4	PI	VN
EJV2018CGJV-002								
EJV2018CGJV-003								
EJV2018CGJV-004	PI	FO	4	290	75	3		
EJV2018CGJV-005								
EJV2018CL-001	PI	FO	4	10	20	3		
EJV2018CL-002								
EJV2018CL-003								
EJV2018CL-004	PI	S1	4	330	65	4		

IdAffleur	Struc1_Type	Struc1_Code	Struc1_CodeDis c	Struc1_Dir	Struc1_Dip	Struc1_Int	Struc2_Type	Struc2_Code
EJV2018CL-055								
EJV2018CL-056								
EJV2018CL-057								
EJV2018CL-058								
EJV2018CL-059								
EJV2018CL-060	PI	CT	1	305	-99	3		
EJV2018CL-061								
EJV2018CL-062	PI	S1	4	300	70	2		
EJV2018CL-063								
EJV2018CL-064								
EJV2018CL-065	PI	S1	4	309	58	3	PI	ZC
EJV2018CL-066								
EJV2018CL-067	PI	VN	15	15	16	3		
EJV2018CL-068	PI	S1	4	290	-99	3		
EJV2018CL-069	Li	AP	60	10	32	3	PI	S1
EJV2018CL-070	PI	S1	4	295	-99	3		
EJV2018CL-071								
EJV2018CL-072	PI	VN	15	250	70	2	PI	VN
EJV2018CL-073								
EJV2018CL-074								
EJV2018CL-075								
EJV2018CL-076	PI	VN	15	170	74	3		
EJV2018CL-077								
EJV2018CL-078								
EJV2018CL-079								
EJV2018CL-080								
EJV2018CL-081								
EJV2018CL-082								
EJV2018CL-083	PI	VN	15	128	65	3	PI	S1
EJV2018CL-084								
EJV2018CL-085								
EJV2018CL-086								
EJV2018CL-087								
EJV2018CL-088	PI	S1	4	338	72	3	PI	VN

IdAffleur	Struc2_CodeDisc	Struc2_Dir	Struc2_Dip	Struc2_Int	Struc3_Type	Struc3_Code	Struc3_CodeDisc	Struc3_Dir
EJV2018CL-055								
EJV2018CL-056								
EJV2018CL-057								
EJV2018CL-058								
EJV2018CL-059								
EJV2018CL-060								
EJV2018CL-061								
EJV2018CL-062								
EJV2018CL-063								
EJV2018CL-064								
EJV2018CL-065	42	306	65	2				
EJV2018CL-066								
EJV2018CL-067								
EJV2018CL-068								
EJV2018CL-069	4	295	-99	2	PI	CT	1	308
EJV2018CL-070								
EJV2018CL-071								
EJV2018CL-072	15	225	-99	2				
EJV2018CL-073								
EJV2018CL-074								
EJV2018CL-075								
EJV2018CL-076								
EJV2018CL-077								
EJV2018CL-078								
EJV2018CL-079								
EJV2018CL-080								
EJV2018CL-081								
EJV2018CL-082								
EJV2018CL-083	4	308	-99	3				
EJV2018CL-084								
EJV2018CL-085								
EJV2018CL-086								
EJV2018CL-087								
EJV2018CL-088	15	320	-99	3				

IdAffleur	Struc3_Dip	Struc3_Int
EJV2018AN-001		
EJV2018AN-002		
EJV2018AN-003		
EJV2018AN-004		
EJV2018AN-005		
EJV2018AN-006		
EJV2018AN-007		
EJV2018AN-008		
EJV2018AN-009		
EJV2018AN-010		
EJV2018AN-011		
EJV2018AN-012		
EJV2018AN-013		
EJV2018AN-014		
EJV2018AN-015		
EJV2018AN-016		
EJV2018AN-017		
EJV2018AN-018		
EJV2018AN-019		
EJV2018AN-020		
EJV2018AN-021		
EJV2018AN-022		
EJV2018AN-023		
EJV2018AN-024		
EJV2018AN-025		
EJV2018AN-026		
EJV2018AN-027		
EJV2018AN-028	15	3
EJV2018AN-029		
EJV2018AN-030		
EJV2018AN-031		
EJV2018AN-032		
EJV2018AN-033		
EJV2018AN-034		
EJV2018AN-035		
EJV2018AN-036		
EJV2018AN-037		
EJV2018AN-038		
EJV2018AN-039		
EJV2018AN-040		

IdAffleur	Struc3_Dip	Struc3_Int
EJV2018AN-041		
EJV2018AN-042		
EJV2018AN-043		
EJV2018AN-044		
EJV2018AN-045		
EJV2018CG-001		
EJV2018CG-002		
EJV2018CG-003		
EJV2018CG-004		
EJV2018CG-005		
EJV2018CG-006		
EJV2018CG-007		
EJV2018CG-008		
EJV2018CG-009		
EJV2018CG-010		
EJV2018CG-011		
EJV2018CG-012		
EJV2018CG-013		
EJV2018CG-014		
EJV2018CG-015		
EJV2018CG-016		
EJV2018CG-017		
EJV2018CG-018		
EJV2018CG-019		
EJV2018CG-020		
EJV2018CG-021		
EJV2018CG-022		
EJV2018CG-023		
EJV2018CGJOL-001		
EJV2018CGJOL-002		
EJV2018CGJOL-003		
EJV2018CGJOL-004		
EJV2018CGJOL-005		
EJV2018CGJOL-006		
EJV2018CGJOL-007		
EJV2018CGJOL-008		
EJV2018CGJOL-009		
EJV2018CGJOL-010		
EJV2018CGJOL-011		
EJV2018CGJOL-012		
EJV2018CGJOL-013		
EJV2018CGJOL-014		
EJV2018CGJV-001		
EJV2018CGJV-002		
EJV2018CGJV-003		
EJV2018CGJV-004		
EJV2018CGJV-005		
EJV2018CL-001		
EJV2018CL-002		
EJV2018CL-003		
EJV2018CL-004		

IdAffleur	Struc3_Dip	Struc3_Int
EJV2018CL-005		
EJV2018CL-006		
EJV2018CL-007		
EJV2018CL-008		
EJV2018CL-009		
EJV2018CL-010		
EJV2018CL-011		
EJV2018CL-012		
EJV2018CL-013		
EJV2018CL-014		
EJV2018CL-015		
EJV2018CL-016		
EJV2018CL-017		
EJV2018CL-018		
EJV2018CL-019		
EJV2018CL-020		
EJV2018CL-021		
EJV2018CL-022		
EJV2018CL-023		
EJV2018CL-024		
EJV2018CL-025		
EJV2018CL-026		
EJV2018CL-027		
EJV2018CL-028		
EJV2018CL-029		

IdAffleur	Struc3_Dip	Struc3_Int
EJV2018CL-030		
EJV2018CL-031		
EJV2018CL-032		
EJV2018CL-033		
EJV2018CL-034		
EJV2018CL-035		
EJV2018CL-036		
EJV2018CL-037		
EJV2018CL-038		
EJV2018CL-039		
EJV2018CL-040		
EJV2018CL-041		
EJV2018CL-042		
EJV2018CL-043		
EJV2018CL-044		
EJV2018CL-045		
EJV2018CL-046		
EJV2018CL-047		
EJV2018CL-048		
EJV2018CL-049		
EJV2018CL-050		
EJV2018CL-051		
EJV2018CL-052	60	2
EJV2018CL-053		
EJV2018CL-054		

IdAffleur	Struc3_Dip	Struc3_Int
EJV2018CL-055		
EJV2018CL-056		
EJV2018CL-057		
EJV2018CL-058		
EJV2018CL-059		
EJV2018CL-060		
EJV2018CL-061		
EJV2018CL-062		
EJV2018CL-063		
EJV2018CL-064		
EJV2018CL-065		
EJV2018CL-066		
EJV2018CL-067		
EJV2018CL-068		
EJV2018CL-069	-99	3
EJV2018CL-070		
EJV2018CL-071		
EJV2018CL-072		
EJV2018CL-073		
EJV2018CL-074		
EJV2018CL-075		
EJV2018CL-076		
EJV2018CL-077		
EJV2018CL-078		
EJV2018CL-079		
EJV2018CL-080		
EJV2018CL-081		
EJV2018CL-082		
EJV2018CL-083		
EJV2018CL-084		
EJV2018CL-085		
EJV2018CL-086		
EJV2018CL-087		
EJV2018CL-088		

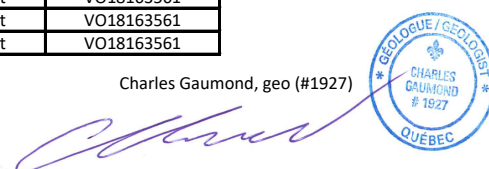
IdAffleur	Struc3_Dip	Struc3_Int
EJV2018CL-089		
EJV2018FR-001		
EJV2018FR-002		
EJV2018FR-003		
EJV2018FR-004		
EJV2018FR-005		
EJV2018FR-006		
EJV2018FR-007		
EJV2018FR-008		
EJV2018FR-009		
EJV2018FR-010		
EJV2018FR-011		
EJV2018FR-012		
EJV2018FR-013		
EJV2018FR-014		
EJV2018FR-015		
EJV2018FR-016		
EJV2018FR-017		
EJV2018FR-018		
EJV2018FR-019		
EJV2018FR-020		
EJV2018FR-021		
EJV2018FR-022		
EJV2018FR-023		
EJV2018FR-024		
EJV2018FR-025		
EJV2018FR-026		
EJV2018FR-027		
EJV2018FR-028		
EJV2018FR-029		
EJV2018FR-030		
EJV2018FR-031		
EJV2018FR-032		
EJV2018FR-033		
EJV2018FR-034		
EJV2018FR-035		
EJV2018FR-036		
EJV2018FR-037		
EJV2018FR-038		
EJV2018FR-039		

IdAffleur	Struc3_Dip	Struc3_Int
EJV2018FR-040		
EJV2018FR-041		
EJV2018FR-042		
EJV2018FR-043		
EJV2018FR-044		
EJV2018FR-045		
EJV2018FR-046		
EJV2018FR-047		
EJV2018FR-048		
EJV2018FR-049		
EJV2018FR-050		
EJV2018FR-051		
EJV2018FR-052		
EJV2018FR-053	53	3
EJV2018FR-054		
EJV2018FR-055		
EJV2018JF-000		
EJV2018JF-001		
EJV2018JF-002		
EJV2018JF-003		
EJV2018JF-004		
EJV2018JF-005		
EJV2018JF-006		
EJV2018JF-007		
EJV2018JF-008		
EJV2018JF-009		
EJV2018JF-010		
EJV2018JF-011		
EJV2018JF-012		
EJV2018JF-013		
EJV2018JF-014		
EJV2018JF-015		
EJV2018JF-016		
EJV2018JF-017		
EJV2018JF-018		
EJV2018JF-019		
EJV2018JF-020		
EJV2018JF-021		
EJV2018JF-022		
EJV2018JF-023		
EJV2018JF-024		
EJV2018JF-025		
EJV2018JF-026		

Appendix 4: Grab Samples Location and Results

TagNumber	IdAffleur	Datum	Zone	X_UTM	Y_UTM	Occurrence	Voucher
391042	EJV2018CL-069	83	18	476733	5808605	Affleurement	VO18174773
391043	EJV2018CL-072	83	18	441537	5823721	Affleurement	VO18174773
391047	EJV2018CL-073	83	18	441505	5823685	Bloc Erratique	VO18174773
391048	EJV2018CL-074	83	18	441238	5823659	Bloc Erratique	VO18174773
391049	EJV2018CL-075	83	18	441229	5823649	Affleurement	VO18174773
391511	EJV2018JF-012	83	18	442014	5822958	Bloc Erratique	VO18174773
391512	EJV2018JF-026	83	18	480718	5815603	Bloc Erratique	VO18174773
391513	EJV2018JF-014	83	18	480718	5815601	Bloc Erratique	VO18174773
391514	EJV2018JF-015	83	18	480747	5815625	Bloc Erratique	VO18174773
391516	EJV2018JF-016	83	18	480754	5815711	Bloc Erratique	VO18174773
391517	EJV2018JF-017	83	18	480742	5815720	Bloc Erratique	VO18174773
391518	EJV2018JF-018	83	18	480720	5815720	Bloc Erratique	VO18174773
391519	EJV2018JF-019	83	18	480722	5815720	Bloc Erratique	VO18174773
391520	EJV2018JF-020	83	18	480597	5815917	Bloc Erratique	VO18174773
391521	EJV2018JF-021	83	18	480540	5815988	Bloc Erratique	VO18174773
391522	EJV2018JF-022	83	18	467428	5816579	Affleurement	VO18174773
391523	EJV2018JF-023	83	18	467318	5816552	Affleurement	VO18174773
391524	EJV2018JF-024	83	18	467200	5816247	Affleurement	VO18174773
391526	EJV2018JF-025	83	18	467129	5816274	Bloc Erratique	VO18174773
390972	EJV2018CGJOL-001	83	18	474830	5810058	Affleurement	VO18163592
390974	EJV2018CGJOL-002	83	18	475413	5809667	Bloc Erratique	VO18163592
390977	EJV2018CGJOL-003	83	18	475503	5809610	Affleurement	VO18163592
390978	EJV2018CGJOL-004	83	18	475744	5809611	Bloc Erratique	VO18163592
390979	EJV2018CGJOL-006	83	18	476350	5809315	Bloc Erratique	VO18163592
390981	EJV2018CGJOL-008	83	18	476712	5809155	Affleurement	VO18163592
390982	EJV2018CGJOL-009	83	18	476562	5809050	Affleurement	VO18163592
390983	EJV2018CGJOL-010	83	18	476476	5808792	Affleurement	VO18163592
390984	EJV2018CGJOL-011	83	18	476531	5808815	Affleurement	VO18163592
390986	EJV2018CGJOL-012	83	18	476486	5808753	Affleurement	VO18163592
390987	EJV2018CGJOL-013	83	18	476477	5808489	Affleurement	VO18163592
390988	EJV2018CGJOL-014	83	18	476692	5808545	Affleurement	VO18163592
390887	EJV2018CGJV-001	83	18	474801	5809792	Affleurement	VO18163592
390889	EJV2018CGJV-002	83	18	475034	5809836	Bloc Erratique	VO18163592
390890	EJV2018CGJV-003	83	18	475039	5809846	Affleurement	VO18163592
390892	EJV2018CGJV-004	83	18	476943	5808214	Affleurement	VO18163592
390894	EJV2018CGJV-005	83	18	473759	5806867	Bloc Erratique	VO18163592
390851	EJV2018AN-001	83	18	473374	5807632	Bloc Erratique	VO18163561
390852	EJV2018AN-005	83	18	474026	5806970	Affleurement	VO18163561
390854	EJV2018AN-007	83	18	474086	5806942	Affleurement	VO18163561
390856	EJV2018AN-008	83	18	474080	5806896	Affleurement	VO18163561
390857	EJV2018AN-011	83	18	473961	5806835	Affleurement	VO18163561
390866	EJV2018AN-023	83	18	473430	5807387	Affleurement	VO18163561
390867	EJV2018AN-024	83	18	473465	5807307	Affleurement	VO18163561
390868	EJV2018AN-025	83	18	473412	5807698	Affleurement	VO18163561
391024	EJV2018CL-056	83	18	475481	5809543	Bloc Erratique	VO18174773
391026	EJV2018CL-057	83	18	475623	5809401	Affleurement	VO18174773
391501	EJV2018JF-000	83	18	473304	5807465	Affleurement	VO18174773
391027	EJV2018CL-058	83	18	475696	5809408	Bloc Erratique	VO18174773
391028	EJV2018CL-059	83	18	475689	5809408	Bloc Erratique	VO18174773
391029	EJV2018CL-060	83	18	475894	5809273	Affleurement	VO18174773
391031	EJV2018CL-061	83	18	476320	5808993	Affleurement	VO18174773
391032	EJV2018CL-062	83	18	476557	5808798	Affleurement	VO18174773
391036	EJV2018CL-063	83	18	476552	5808759	Bloc Erratique	VO18174773
391037	EJV2018CL-064	83	18	476553	5808759	Affleurement	VO18174773
391038	EJV2018CL-065	83	18	476561	5808735	Affleurement	VO18174773
391039	EJV2018CL-066	83	18	476527	5808742	Bloc Erratique	VO18174773
391040	EJV2018CL-067	83	18	476546	5808746	Affleurement	VO18174773
390858	EJV2018AN-013	83	18	473803	5806677	Affleurement	VO18163561
390859	EJV2018AN-014	83	18	473660	5806649	Affleurement	VO18163561
390860	EJV2018AN-016	83	18	473639	5806640	Affleurement	VO18163561
390861	EJV2018AN-018	83	18	473074	5806939	Affleurement	VO18163561
390862	EJV2018AN-019	83	18	473171	5807011	Affleurement	VO18163561
390863	EJV2018AN-020	83	18	473350	5807017	Affleurement	VO18163561
390870	EJV2018AN-030	83	18	473023	5807871	Affleurement	VO18163561
390871	EJV2018AN-031	83	18	472785	5807315	Affleurement	VO18163561
390872	EJV2018AN-032	83	18	472944	5807933	Affleurement	VO18163561

Charles Gaumont, geo (#1927)



TagNumber	IdAffleur	Datum	Zone	X_UTM	Y_UTM	Occurence	Voucher
390873	EJV2018AN-034	83	18	472696	5807883	Bloc Erratique	VO18163561
390874	EJV2018AN-035	83	18	472565	5807880	Affleurement	VO18163561
390876	EJV2018AN-036	83	18	472655	5808037	Bloc Erratique	VO18163561
390877	EJV2018AN-037	83	18	472447	5808540	Bloc Erratique	VO18163592
390878	EJV2018AN-038	83	18	472576	5808595	Bloc Erratique	VO18163592
390879	EJV2018AN-039	83	18	472617	5808681	Bloc Erratique	VO18163592
390881	EJV2018AN-041	83	18	471738	5808426	Affleurement	VO18163592
390882	EJV2018AN-042	83	18	472390	5808965	Affleurement	VO18163592
390883	EJV2018AN-043	83	18	472458	5809047	Affleurement	VO18163592
390884	EJV2018AN-044	83	18	472795	5809424	Affleurement	VO18163592
390886	EJV2018AN-045	83	18	473000	5809793	Bloc Erratique	VO18163592
390951	EJV2018CG-001	83	18	473271	5807607	Bloc Erratique	VO18163578
390952	EJV2018CG-002	83	18	473256	5807616	Bloc Erratique	VO18163578
390953	EJV2018CG-003	83	18	473278	5808243	Affleurement	VO18163578
390954	EJV2018CG-004	83	18	474684	5808085	Bloc Erratique	VO18163578
390956	EJV2018CG-005	83	18	474657	5808126	Bloc Erratique	VO18163578
390957	EJV2018CG-007	83	18	474051	5807917	Bloc Erratique	VO18163578
390958	EJV2018CG-008	83	18	473867	5807612	Bloc Erratique	VO18163578
390959	EJV2018CG-010	83	18	473546	5807613	Affleurement	VO18163578
390961	EJV2018CG-011	83	18	473543	5807535	Affleurement	VO18163578
390962	EJV2018CG-013	83	18	473468	5807456	Affleurement	VO18163578
390964	EJV2018CG-015	83	18	473192	5807690	Bloc Erratique	VO18163578
390966	EJV2018CG-016	83	18	473182	5807706	Bloc Erratique	VO18163578
390967	EJV2018CG-017	83	18	473175	5807720	Affleurement	VO18163578
390968	EJV2018CG-018	83	18	473163	5807755	Bloc Erratique	VO18163578
390969	EJV2018CG-019	83	18	473255	5807502	Affleurement	VO18163578
390970	EJV2018CG-020	83	18	473612	5807182	Bloc Erratique	VO18163578
390971	EJV2018CG-021	83	18	473243	5807530	Bloc Erratique	VO18163592
390980	EJV2018CG-022	83	18	476719	5809143	Affleurement	VO18163592
390792	EJV2018CL-001	83	18	473275	5807471	Affleurement	VO18163561
390654	EJV2018FR-003	83	18	472991	5807713	Bloc Erratique	VO18163561
390657	EJV2018FR-005	83	18	474777	5808021	Bloc Erratique	VO18163561
390658	EJV2018FR-006	83	18	474598	5807941	Bloc Erratique	VO18163561
390659	EJV2018FR-007	83	18	474476	5807824	Bloc Erratique	VO18163561
390660	EJV2018FR-008	83	18	474441	5807746	Bloc Erratique	VO18163561
390661	EJV2018FR-009	83	18	473874	5806976	Affleurement	VO18163561
390662	EJV2018FR-010	83	18	473799	5806956	Affleurement	VO18163561
390663	EJV2018FR-011	83	18	473739	5806891	Bloc Erratique	VO18163561
390664	EJV2018FR-012	83	18	473737	5806876	Bloc Erratique	VO18163561
390666	EJV2018FR-013	83	18	473654	5806736	Affleurement	VO18163561
390667	EJV2018FR-017	83	18	473291	5806685	Bloc Erratique	VO18163561
390668	EJV2018FR-018	83	18	473527	5806799	Bloc Erratique	VO18163561
390669	EJV2018FR-023	83	18	473252	5806796	Bloc Erratique	VO18163561
390670	EJV2018FR-024	83	18	473307	5807469	Affleurement	VO18163561
390671	EJV2018FR-025	83	18	473175	5807562	Bloc Erratique	VO18163561
390672	EJV2018FR-026	83	18	473171	5807585	Bloc Erratique	VO18163561
390673	EJV2018FR-027	83	18	473168	5807639	Bloc Erratique	VO18163561
390674	EJV2018FR-028	83	18	473111	5807626	Bloc Erratique	VO18163561
390676	EJV2018FR-029	83	18	473141	5807710	Bloc Erratique	VO18163561
390678	EJV2018FR-030	83	18	473223	5807721	Affleurement	VO18163561
390679	EJV2018FR-031	83	18	472978	5808350	Affleurement	VO18163561
390751	EJV2018CL-002	83	18	473285	5807491	Affleurement	VO18163561
390753	EJV2018CL-003	83	18	473231	5807524	Affleurement	VO18163561
390754	EJV2018CL-004	83	18	474745	5808272	Affleurement	VO18163561
390756	EJV2018CL-005	83	18	474568	5808183	Bloc Erratique	VO18163561
390757	EJV2018CL-006	83	18	474575	5808178	Bloc Erratique	VO18163561
390758	EJV2018CL-007	83	18	474307	5807944	Affleurement	VO18163561
390759	EJV2018CL-009	83	18	473928	5807896	Bloc Erratique	VO18163561
390760	EJV2018CL-010	83	18	473689	5807849	Bloc Erratique	VO18163561
390761	EJV2018CL-011	83	18	473611	5807754	Affleurement	VO18163561
390762	EJV2018CL-012	83	18	473502	5807575	Affleurement	VO18163561
390766	EJV2018CL-013	83	18	473499	5807572	Affleurement	VO18163561
390767	EJV2018CL-014	83	18	473502	5807544	Affleurement	VO18163561
390768	EJV2018CL-016	83	18	473441	5807493	Affleurement	VO18163561
390769	EJV2018CL-017	83	18	473425	5807455	Bloc Erratique	VO18163561
390772	EJV2018CL-018	83	18	473363	5807466	Affleurement	VO18163561

TagNumber	IdAffleur	Datum	Zone	X_UTM	Y_UTM	Occurence	Voucher
390773	EJV2018CL-019	83	18	473359	5807444	Affleurement	VO18163561
390774	EJV2018CL-020	83	18	473469	5807689	Affleurement	VO18163561
390776	EJV2018CL-021	83	18	473405	5807645	Affleurement	VO18163561
390777	EJV2018CL-022	83	18	473288	5807504	Affleurement	VO18163561
390779	EJV2018CL-023	83	18	473285	5807434	Affleurement	VO18163561
390780	EJV2018CL-024	83	18	473283	5807430	Affleurement	VO18163561
390781	EJV2018CL-025	83	18	473305	5807463	Affleurement	VO18163561
390782	EJV2018CL-026	83	18	473276	5807496	Affleurement	VO18163561
390786	EJV2018CL-027	83	18	473279	5807492	Affleurement	VO18163561
390787	EJV2018CL-028	83	18	473350	5807438	Affleurement	VO18163561
390791	EJV2018CL-029	83	18	473344	5807433	Bloc Erratique	VO18163561
390793	EJV2018CL-030	83	18	473253	5807442	Affleurement	VO18163561
390794	EJV2018CL-031	83	18	473263	5807438	Affleurement	VO18163561
390796	EJV2018CL-032	83	18	472852	5807283	Affleurement	VO18163592
390797	EJV2018CL-033	83	18	473036	5807048	Affleurement	VO18163592
390798	EJV2018CL-034	83	18	472973	5807258	Affleurement	VO18163592
390799	EJV2018CL-035	83	18	473074	5807358	Affleurement	VO18163592
390800	EJV2018CL-038	83	18	471337	5808669	Affleurement	VO18163592
391001	EJV2018CL-039	83	18	474133	5810674	Affleurement	VO18174773
391002	EJV2018CL-040	83	18	474130	5810598	Affleurement	VO18174773
391004	EJV2018CL-041	83	18	474126	5810597	Bloc Erratique	VO18174773
391006	EJV2018CL-042	83	18	474421	5810352	Affleurement	VO18174773
391007	EJV2018CL-044	83	18	474364	5810515	Affleurement	VO18174773
391008	EJV2018CL-045	83	18	475064	5809811	Affleurement	VO18174773
391011	EJV2018CL-046	83	18	475083	5809817	Bloc Erratique	VO18174773
391012	EJV2018CL-047	83	18	475072	5809826	Affleurement	VO18174773
391010	EJV2018CL-048	83	18	475291	5810170	Affleurement	VO18174773
391013	EJV2018CL-049	83	18	475667	5809795	Affleurement	VO18174773
391014	EJV2018CL-050	83	18	475737	5809758	Affleurement	VO18174773
391017	EJV2018CL-051	83	18	475618	5809664	Affleurement	VO18174773
391018	EJV2018CL-052	83	18	475601	5809589	Affleurement	VO18174773
391021	EJV2018CL-053	83	18	475601	5809578	Bloc Erratique	VO18174773
391022	EJV2018CL-054	83	18	475521	5809557	Bloc Erratique	VO18174773
391023	EJV2018CL-055	83	18	475506	5809546	Bloc Erratique	VO18174773
391050	EJV2018CL-076	83	18	440899	5823538	Affleurement	VO18174773
391051	EJV2018CL-077	83	18	473305	5807464	Affleurement	VO18174773
391052	EJV2018CL-078	83	18	441313	5822564	Affleurement	VO18174773
391053	EJV2018CL-079	83	18	480797	5815639	Bloc Erratique	VO18174773
391054	EJV2018CL-080	83	18	481075	5815695	Bloc Erratique	VO18174773
391056	EJV2018CL-081	83	18	481388	5815929	Affleurement	VO18174773
391057	EJV2018CL-082	83	18	481410	5816082	Bloc Erratique	VO18174773
391058	EJV2018CL-083	83	18	481520	5816494	Affleurement	VO18174773
391061	EJV2018CL-084	83	18	465120	5817491	Bloc Erratique	VO18174773
391062	EJV2018CL-085	83	18	464239	5817320	Bloc Erratique	VO18174773
391063	EJV2018CL-086	83	18	464221	5817313	Affleurement	VO18174773
391066	EJV2018CL-088	83	18	467899	5816763	Affleurement	VO18174773
391068	EJV2018CL-089	83	18	467886	5817242	Affleurement	VO18174773
390651	EJV2018FR-001	83	18	473185	5807567	Bloc Erratique	VO18163561
390653	EJV2018FR-002	83	18	473136	5807712	Bloc Erratique	VO18163561
390697	EJV2018FR-035	83	18	472659	5808080	Affleurement	VO18163592
390680	EJV2018FR-036	83	18	472652	5807984	Affleurement	VO18163561
390682	EJV2018FR-037	83	18	472879	5808465	Affleurement	VO18163561

TagNumber	IdAffleur	Datum	Zone	X_UTM	Y_UTM	Occurence	Voucher
390683	EJV2018FR-039	83	18	472831	5808767	Affleurement	VO18163592
390684	EJV2018FR-040	83	18	472744	5808916	Affleurement	VO18163592
390687	EJV2018FR-043	83	18	472461	5808869	Bloc Erratique	VO18163592
390688	EJV2018FR-044	83	18	472346	5808752	Bloc Erratique	VO18163592
390689	EJV2018FR-049	83	18	472402	5809157	Affleurement	VO18163592
390690	EJV2018FR-050	83	18	472254	5809178	Affleurement	VO18163592
390691	EJV2018FR-053	83	18	474697	5809891	Affleurement	VO18163592
390693	EJV2018FR-054	83	18	474692	5809901	Affleurement	VO18163592
390696	EJV2018FR-055	83	18	474774	5809839	Affleurement	VO18163592
391051	EJV2018JF-000	83	18	473305	5807464	Affleurement	VO18174773
391502	EJV2018JF-001	83	18	441598	5823733	Affleurement	VO18174773
391503	EJV2018JF-002	83	18	441699	5823746	Affleurement	VO18174773
391504	EJV2018JF-003	83	18	441689	5823449	Bloc Erratique	VO18174773
391506	EJV2018JF-005	83	18	441737	5823345	Affleurement	VO18174773
391507	EJV2018JF-007	83	18	441992	5823261	Bloc Erratique	VO18174773
391508	EJV2018JF-008	83	18	441938	5823032	Bloc Erratique	VO18174773
391509	EJV2018JF-009	83	18	441929	5823013	Bloc Erratique	VO18174773
391510	EJV2018JF-010	83	18	441965	5822980	Bloc Erratique	VO18174773
390869	EJV2018AN-026	83	18	473019	5807699	Bloc Erratique	VO18163561
391030	EJV2018CL-060	83	18	475888	5809281	Affleurement	VO18174773
391033	EJV2018CL-062	83	18	476559	5808799	Affleurement	VO18174773
391041	EJV2018CL-067	83	18	476531	5808759	Affleurement	VO18174773
391044	EJV2018CL-072	83	18	441536	5823720	Affleurement	VO18174773
390973	EJV2018CGJOL-001	83	18	474827	5810057	Affleurement	VO18163592
390976	EJV2018CGJOL-003	83	18	475503	5809610	Affleurement	VO18163592
390888	EJV2018CGJV-001	83	18	474801	5809791	Affleurement	VO18163592
390891	EJV2018CGJV-003	83	18	475040	5809846	Affleurement	VO18163592
390853	EJV2018AN-005	83	18	474027	5806972	Affleurement	VO18163561
390864	EJV2018AN-020	83	18	473350	5807017	Affleurement	VO18163561
390880	EJV2018AN-039	83	18	472618	5808679	Bloc Erratique	VO18163592
390960	EJV2018CG-010	83	18	473546	5807613	Affleurement	VO18163578
390963	EJV2018CG-013	83	18	473204	5807685	Affleurement	VO18163578
390896	EJV2018FR-010	83	18	473797	5806959	Affleurement	VO18163592
390677	EJV2018FR-029	83	18	473141	5807705	Bloc Erratique	VO18163561
390752	EJV2018CL-002	83	18	473295	5807485	Affleurement	VO18163561
390763	EJV2018CL-012	83	18	473504	5807574	Affleurement	VO18163561
390771	EJV2018CL-017	83	18	473426	5807454	Bloc Erratique	VO18163561
390770	EJV2018CL-020	83	18	473468	5807689	Affleurement	VO18163561
390778	EJV2018CL-022	83	18	473289	5807503	Affleurement	VO18163561
390783	EJV2018CL-026	83	18	473276	5807499	Affleurement	VO18163561
390788	EJV2018CL-028	83	18	473350	5807443	Affleurement	VO18163561
390790	EJV2018CL-031	83	18	473264	5807437	Affleurement	VO18163561
391003	EJV2018CL-040	83	18	474129	5810596	Affleurement	VO18174773
391009	EJV2018CL-045	83	18	475065	5809813	Affleurement	VO18174773
391016	EJV2018CL-050	83	18	475731	5809753	Affleurement	VO18174773
391019	EJV2018CL-052	83	18	475601	5809589	Affleurement	VO18174773
391059	EJV2018CL-083	83	18	481520	5816495	Affleurement	VO18174773
391067	EJV2018CL-088	83	18	467905	5816767	Affleurement	VO18174773
390652	EJV2018FR-001	83	18	473184	5807566	Bloc Erratique	VO18163561
390681	EJV2018FR-036	83	18	472653	5807984	Affleurement	VO18163561
390686	EJV2018FR-040	83	18	472755	5808908	Affleurement	VO18163592
390692	EJV2018FR-053	83	18	474699	5809895	Affleurement	VO18163592
390694	EJV2018FR-054	83	18	474690	5809900	Affleurement	VO18163592
391034	EJV2018CL-062	83	18	476559	5808798	Affleurement	VO18174773
391046	EJV2018CL-072	83	18	441537	5823721	Affleurement	VO18174773
390656	EJV2018FR-003	83	18	472991	5807714	Bloc Erratique	VO18163561
390764	EJV2018CL-012	83	18	473502	5807538	Affleurement	VO18163561
390784	EJV2018CL-026	83	18	473275	5807500	Affleurement	VO18163561

TagNumber	IdAffleur	Datum	Zone	X_UTM	Y_UTM	Occurence	Voucher
390789	EJV2018CL-028	83	18	473352	5807438	Affleurement	VO18163561
391020	EJV2018CL-052	83	18	475600	5809588	Affleurement	VO18174773
391060	EJV2018CL-083	83	18	481524	5816504	Affleurement	VO18174773
390893	EJV2018CG-023	83	18	473357	5807419	Bloc Erratique	VO18163592

TagNumber	SampleDescription	HostRock	Alteration
391042	Veine QZ blanche sans SF visibles	I1B	SIL(10,1)
391043	Veine QZ grise fumée de 8cm de large a N250	I1B	HEM(1,8) SIL(10,1)
391047	Paragneiss un peu silicifié avec 1%QZVN et 1% fines pyrites disséminées	S3 M4	SIL(10,1) SIL(1,6)
391048	Metasédiment (?) +/-EPI+/-CARB avec 1% fines pyrites disséminées. Présence d'un minéral bleu clair transparent.	S3 M4	SIL(10,1) CAR(2,3) EPI(1,8)
391049	Granite sans sulfures visibles	I1B	
391511		M4	
391512		M20	
391513		M4	
391514		I1D	
391516		M4	
391517		I1B	
391518		I1C	
391519		M4	
391520		M4	
391521		M20	
391522		M20	
391523		M20	
391524		I1B	
391526		M4	
390972	S3/M4 silicifié. 2-3% PY-PO diss. Localement 5% PY dans veinules. 5% chlorite dans veinule	S3 M4	SIL(8,3) CHL(2,5)
390974	S3/M4 loc. 5% PO-PY diss. dans veine. Alt. sil	S3 M4	SIL(6,8)
390977	S3 sil. 1-2% PY diss. 1% patine.	S3 M4	SIL(5,5)
390978	éch. Représentatif. Loc. 8% py diss. Dans foliation. S3/M4 sil.	S3 M4	SIL(6,5)
390979		S3 M4	SIL(3,7)
390981	S3/M4 no min.	I1	
390982	U1G no min.	S3 M4	
390983	veine qz no min. 30% éponte	I1	SIL(10,1)
390984	S3/M4 tr-1% py diss.	S3 M4	
390986	S3/M4 tr. PY	S3 M4	
390987	S3/M4 tr-1% py diss.	S3 M4	
390988	S3/M4 tr.PY diss.	S3 M4	
390887	veine de quartz de 2 à 3 % biotite avec traces de pyrite dans la veine.	S3 M4	SIL(10,1)
390889		S3 M4	
390890	S3-M4, tres silicifié, 15-20% de veines de quartz, 5 à 10 % de pyrite dissimilé et trace de CPY à 1%.	S3 M4	SIL(10,1) SIL(6,6) CHL(1,6)
390892	S3/M4, trace pyrite en BFR.	S3 M4	
390894	S3/M4, trace pyrite	I1C	
390851	Échantillon représentatif du bloc avec 5-10%MG, Légèrement HEM	S2 M4	HEM(3,3)
390852	Melanosome de BO-AM-MC (2-5%). Localement 1% de bornite	I1C	HEM(1,3)
390854	I1C avec trace à 1% Hematite disséminées avec un halo d'hématisation.	I1C	HEM(5,3) SIL(10,1)
390856	I1C sans minéralisation apparente. Échantillon à titre informatif	I1C	
390857	M4 rouillé	S3 M4	
390866	I2J sans minéralisation apparente. Échantillon à titre informatif	I2J	
390867	M4 avec trace à 1% PY, Très magnétique	S3 M4	
390868	I2J rouillé et épidotisé avec 1-2% PY disséminées.	I2J	EPI(5,7)
391024	Bloc subarrondi de paragneiss migmatisé avec 10% pyrite cubique	S3 M4	
391026	Intrusif felsique avec rare pyrite	I1	HEM(2,8)
391501	I1G dans I1C folié, 2%PY, EP+CL	I1G	
391027	Bloc d'un intrusif felsique legerement EPI avec 10%VNQZ et 1%PY disséminée	I1	EPI(1,6) SIL(10,1)
391028	Paragneiss avec 1%PY disséminée et traces VNQZ	S3 M4	SIL(10,1)
391029	Paragneiss a BO-CHL, tres silicifié avec 5%veine QZ mm. 1-2%pyrite disséminée	I1B	SIL(3,8) SIL(10,1)
391031	Paragneiss a biotite, sans sulfures visibles	S3 M4	
391032	Metasediment a biotite avce traces de pyrite, 1-5%veinules QZ	S3 M4	SIL(10,1) SIL(3,5)
391036	Petit bloc arrondi de paragneiss avec veinules QZ et 1-2% fines pyrites disséminées ou en amas irréguliers	S3 M4	SIL(10,1)
391037	Metasediment riche en biotite avec 5%mobilisat avec 1%pyrite disséminée ou en amas	S3 M4	
391038	Metasediment silicifié avec 2-3% fines a moyennes pyrites disséminées,1% veinules quartz	S3 M4	SIL(10,1) SIL(2,8) CAR(2,5)
391039	bloc de metasediment silicifié avec 1-2%PY-PO	S3 M4	SIL(2,6) SIL(10,1)
391040	Veine QZ avec rare pyrite	S3 M4	SIL(10,1)
390858	I1C gneissique à MG. Échantillon à titre informatif	I1C M3	EPI(3,7) HEM(3,7)
390859	I1C à magnétite. GF. Échantillon à titre informatif	S3 M4	
390860	M4 avec trace à localement 2% de PY en cluster // à la foliation.	S3 M4	
390861		S3 M4	EPI(2,8)
390862	micro gabbro. Échantillon à titre informatif	I3A	
390863	I1D à MG. Pas de MIN. Échantillon à titre informatif	I1D	HEM(3,8)
390870	I1C sans MIN apparente. Échantillon à titre informatif	I1C	
390871	I1B légèrement épidotisé, sans minéralisation apparente. Échantillon à titre informatif	I1B	EPI(4,1)
390872	I1B faiblement épidotisé, pas de MIN apparente. Échantillon à titre informatif	I1B	EPI(2,10)

TagNumber	SampleDescription	HostRock	Alteration
390873	V3B, 1-2%PY en amas rouillé, mag, EP+, SIL++; Veinules mm CB+QZ	V3B	SIL(8,10) SIL(10,1) EPI(5,1)
390874	I1C/I1B, léger HEM en spot/amaz	I1C	HEM(3,8)
390876	I3A rouillé avec trace à 1% PY disséminées	I3A	EPI(6,7)
390877	I2J rouillé, EPI+, trace à 1%PY DIS	I2J	EPI(3,8)
390878	I3A, EPI++, 15-30%PY fine en amas	I3A	EPI(9,10)
390879	Bloc I3A silicifié et très épidotisé, MAG avec 1%PY	I3A	EPI(10,10) SIL(10,10) HEM(5,4)
390881	I1D sans MIN apparente. Échantillon à titre informatif	I1D	HEM(2,8)
390882	I1C épidotisé en veinule, légèrement MAG, trace d'hématisation	I1C	EPI(9,1) HEM(1,6)
390883	Orthogneiss localement MAG. Pas de MIN. Échantillon à titre informatif	I2J M3	EPI(7,1)
390884	I1D folié, pas de MIN apparente.Échantillon à titre informatif	I1D	
390886	I1G hématisé avec localement 5% HEM.	I2J M3	HEM(4,9)
390951	I1C? Granoblastique, HJ, 1%PY, tr CP?	I1C	
390952	I1C 1-2%PY tr CP	I1C	
390953	S3, S9? 10%PY 10%GR	S3	
390954	I1C 3%MG, 5%PO	I1C	
390956	Bloc I1C 3%PY	I1C	
390957	Bloc S3-M4 1-3%PO	S3 M4	
390958	Bloc I1C 2%PO trCP	I1C	
390959	S3 1%PY	S3 M4	
390961	S3 trPY	S3 M4	
390962	I2J epi hem 1%PY	I2J	
390964	S3 bloc 5% PY localement cubic	S3 M4	
390966	S3 5%PY dans schistosité SIL?	S3 M4	
390967		I2J	
390968	S3 3%PO 1%PY SIL?	S3	
390969	I2J trPY	I2J	EPI(1,7)
390970	I1C EPI HEM 2%PY	I1C	
390971	I2J+VNQZ dans tranchée 8-10%PY	I1N	
390980	S3-M4	S3 M4	
390792	I2J EPI++ tr malachite tr pyrite	I2J M1	EPI(1,2)
390654	Paragneiss riche en biotite. 1% Py (grise argenté) diss et traces Cp?	S3 M4	
390657	Portion plus mafique du gneiss (Am+). Tr-1% Py diss en grains fins.	S3 M4	
390658	1% py diss	I2J	EPI(3,3)
390659	1% Py diss/amaz.	I3A	
390660	Roche felsique a magnétite. 1-2% Py diss.	I1C	EPI(1,1)
390661	Gneiss. Traces Py dans niveaux plus mafiques.	S3 M4	
390662	1% Py diss.	I1C M3	
390663	Tr-1% Py diss. Tr MO?	S3 M4	EPI(3,1)
390664	Paragneiss. 1-2% Py associé aux rubans mafiques.	S3 M4	EPI(1,1)
390666	Granodiorite a BO. Tr-1% Py diss. Épidotisé.	I1C	EPI(3,3) HEM(3,1)
390667	Tr-1% Py diss.	S3 M4	EPI(3,3)
390668	I2J/M3 à Qz. Shclierens riche en Am. Tr-1% Py diss.	I2J M3	EPI(3,3) HEM(1,1)
390669	Paragneiss. Tr-1% Py diss.	S3 M4	
390670	I2J/M3. 15-20% Py diss concentré majoritairement dans les niveaux à granulométrie plus fine du gneiss. Fortement épidotisé.	I2J M3	EPI(7,7)
390671	1% Py diss.	I2J	
390672	I2J à GF. 1-2% Py diss.	I2J	EPI(3,1)
390673	S3/M. 2-3% Py diss uniformément	S3 M4	
390674	S3/M4. 10% mobilisat. 2-3% Py diss.	S3 M4	
390676	I2J complètement oblitéré par l'épidotisation. Tr-1% Py diss	I2J M3	EPI(10,2)
390678	S3 / M4. 0,5% Py diss.	S3 M4	
390679	I1C/M3. 0.1 Py diss.	I1C M3	EPI(1,1)
390751	gneiss dioritique à AM+, EP+ contenant 3-4%pyrite disséminée et dans les plans de foliation	I2J M1	EPI(5,3) EPI(1,8)
390753	Diorite gneissique très altérée en épidote avec trace de pyrite disséminée, loc HEM	I2J M1	EPI(5,8) HEM(1,3)
390754	I2J (M1) avec trace de PY riche en AM (mélanosome)	I2J M1	
390756	Bloc de S3(M4) à BO avec un peu EP et quelques biotite choritisée. 1%pyrite disséminée	S3 M4	EPI(1,5) CHL(1,5)
390757	I2(M1) ou M4 à AM avec 1-2% fine pyrite disséminée	I2J M1	EPI(1,5)
390758	I1C avec rare pyrite disséminée	I1C	HEM(1,3) CHL(1,3)
390759	Bloc de paragneiss avec 1% fine pyrite disséminée	S3 M4	SIL(10,1)
390760	Roche intrusive felsique très altérée (EPI-HEM-CHL) (métasomatisme?) Pas de sulfures visibles	I1B M15	EPI(8,1) EPI(3,8) CHL(5,5)
390761	I1C/I1D à BO-AM avec traces de pyrite disséminée	I1C	HEM(1,8)
390762	S3(M4) à BO avec Tr-1%PY disséminée en amas irrg et cubique	S3 M4	SIL(10,1)
390766	Veine QZ grise translucide rouillée rougeatre d'environ 10-15cm de large avec traces de pyrite en amas	S3 M4	SIL(10,1)
390767		S3 M4	
390768	I1C/I1D Am+/-BO. No min observée.	I1D	EPI(10,1)
390769	Veine QZ grise translucide brun rougeâtre avec trace amas de pyrite	S3 M4	EPI(1,8)
390772	M4(S3) à BO+/-GR avec 2%pyrite disséminée avec une petite veinule QZ de 2mm avec pyrite aux épontes.	S3 M4	SIL(10,1)

TagNumber	SampleDescription	HostRock	Alteration
390773	Diorite ou gabbro à AM, EP++, +/-HEM (veinules-amas), 1-3%pyrite disséminée dans parties altérées.	I2J	EPI(3,3) HEM(1,3) EPI(10,1)
390774	S3(M4) avec traces de pyrite disséminée. Ech pris aux épontes de l'ech 390775	S3 M4	SIL(10,1)
390776	I2J avec traces de pyrite et une veinule QZ-FP de 5mm avec amas PY	I2J	EPI(5,3) HEM(5,3)
390777	I2J/I3A EPI++ avec 3-5% pyrite dis, en amas ou dans le plan de foliation.	I2J	EPI(8,3)
390779	I1C (?) gneissique ou paragneiss avec 1-2% EPI dis et 1-2% fine pyrite disséminée	I2J M1	EPI(1,8)
390780	M4(?) avec bandes leucocrates avec EP et mésocrates à BO. 3-4% pyrite disséminée dans la foliation et en amas	S3 M4	EPI(1,7)
390781	I2J/I3A à AM-EP avec 1% leucosome. 3-4%pyrite disséminée	I2J	EPI(8,2)
390782	50%mobilisat et 50%I2J, EP, AM, +/-BIO, +/-HEM, trace de malachite, tr-1% PY+/-CP(?)	I2J	EPI(2,7) CAR(9,2)
390786	I2J(M1) altéré en épidote, à AM+/-BO avec 3%pyrite disséminée	I2J M1	SIL(10,1) EPI(8,3)
390787	I2J(M1) avec 5%mobilisat avec 1-2%PY disséminée. EP++	I2J M1	EPI(2,8) SIL(10,1) EPI(8,2)
390791	Bloc de I2J très altéré en épidote avec 3%pyrite DIS+PSF	I2J	EPI(3,8)
390793	60%I1C avec 40%veine QZ rouillées; 1-2%PY DIS-AI dans PSC	I1C M1	EPI(1,6) HEM(1,8) SIL(10,1)
390794	Veine QZ rouillée aux épontes avec trPY AI	I1C M1	EPI(1,6) HEM(1,8) SIL(10,1)
390796	I1C EP+, HEM, CHL	I1C	EPI(8,2) HEM(1,6) HEM(8,2)
390797	M4(S3) à BO avec Tr-1%PY DIS PSC	S3 M4	
390798	S3(M4), BO, EP en amas/patch, MG, tr-1%PY DI PSC.	I1C	EPI(4,3) SIL(10,1)
390799	Granodiorite ou monzonite quartzifère à EP-HEM-CHL et rare PY	I1C	EPI(8,1) HEM(2,8) HEM(8,1)
390800	I1D à biotite avec traces de malachite	I1C	HEM(1,8)
391001	S3(M4) à biotite, pas de sulfures visibles.	S3 M4	
391002	Veine QZ blanche de 15-20cm de large avec rare pyrite	S3 M4	SIL(10,1)
391004	Bloc de paragneiss très faiblement silicifié avec 1% fines à moyennes pyrites disséminées	S3 M4	SIL(1,6)
391006	Paragneiss à biotite sans sulfures visibles. 1% mobilisat	S3 M4	
391007	Paragneiss. Pas de sulfures visibles	S3 M4	
391008	S3(M4) à biotite, grenat avec 1% très fines pyrites disséminées. Légère silicification pervasive.	S3 M4	SIL(1,5) SIL(10,1)
391011	Partie silicifiée du bloc de paragneiss avec 2% fines pyrites disséminées et 1% graphite	S3 M4	SIL(10,1) SIL(1,5)
391012	paragneiss à biotite, grenat avec 5% bandes +/-silicifiées. Tr-1%pyrite disséminée+amas.	S3 M4	SIL(1,5) SIL(10,1)
391010	60%I1 et 40%S3(M4) avec Tr-1%PY disséminée +/- en amas.	S3 M4	HEM(1,3)
391013	I2I (?) avec 5%I1 avec TrPY disséminée	I2I	
391014	Veine QZ grise et blanche avec fractures rouillées contenant des traces de pyrite. Veine de 4-5cm de large à N300	S3 M4	SIL(10,1)
391017	Paragneiss avec 1% mobilisat non altéré non minéralisé.	S3 M4	
391018	Veine QZ blanche et grise de 5cm de large à N309	S3 M4	SIL(10,1)
391021	Bloc de paragneiss très silicifié contenant 3-4%pyrite disséminées, 1%pyrrhotite en veinule avec le graphite.	S3 M4	SIL(2,8) SIL(8,2)
391022	Partie silicifiée et minéralisée (3-5%fines pyrite disséminée) du bloc de metagabbro ou metadiorite à amphibole	I3A	SIL(3,6)
391023	Bloc très silicifié de metasediment à grains très fins voire aphanitique avec 1-2%pyrite-pyrrhotite et traces de graphite. CB+++	S3 M4	CAR(4,5) SIL(10,1) SIL(5,8)
391050	Veinules QZ blanche laiteuse avec quelques EPI et CHL, 1-2cm de large à N170 sans sulfures visibles	I1B	SIL(10,1)
391051		I1C	
391052	Intrusif felsique sans sulfures visibles	I1C	
391053		I1B	
391054	Bloc de metasediment +50% veine QZ blanche avec tr pyrites disséminées	S3 M4	SIL(10,1)
391056	Granite sans sulfures visibles	I1B	
391057	Bloc de metasediment avec 5%veines QZ-CB avec Tr-1%pyrites finement disséminées	S3	SIL(10,1)
391058	Veine QZ blanche laiteuse de 20-40cm de large à N125-130 avec localement des fractures brunâtres	I1	SIL(10,1)
391061	Bloc de paragneiss avec 2-3% pyrite disséminée le long des rubans gneissiques. Présence d'une petite veinule de quartz	S3 M4	SIL(10,1)
391062	Granite très altéré en épidote avec rare pyrite	I1B	EPI(10,1)
391063	Granodiorite sans sulfures visibles	I1C	
391066	Paragneiss à biotite et grenat avec rare pyrite	S3 M4	SIL(10,1)
391068			
390651	phase mafique ruche en Am. 10-12% Py.	I2J M3	EPI(1,3)
390653	Roche felsique (Fld, Am, Qz). 1% py diss.	I1C	EPI(1,1)
390697	I1C; Qz-PG-AM; VnQz mm	I1C	
390680	Volcanite mafique silicifié, épidotisé, chloritisé. 1-3% Py en amas diss de façon hétérogène.	V3	SIL(8,3) EPI(10,3) CHL(7,3)
390682	I1C, Tr Py diss. Tr Epi.	I1C	

TagNumber	SampleDescription	HostRock	Alteration
390683	I1C, Tr Py diss. Magnétique.	S3 M4	
390684	S3/M4. Tr Py diss.	S3 M4	
390687	I1C/M3. 1-2% Py diss. Horizon épidotisé (5mm)	I1C M3	EPI(3,5)
390688	S3/M4. 2-3% Py diss.	S3 M4	
390689	S3/M4. 1% Py diss.	S3 M4	
390690	I2J/M3. 1% Py diss en rubans dans la gneissosité.	I2J M3	
390691	S3/M4 silicifié. 2-3% Py en amas disséminée. Vein de Qz, 1cm. Altération supergène marquée.	S3 M4	SIL(6,2)
390693	S3/M4. Grab sample scie portative. Veine Qz fumé, 3-4cm, épontes silicifiées avec 3-5% Py diss GF.	S3 M4	
390696	S3/M4. Pas de minéralisation.	I1B	
391051		I1C	
391502		I1B	
391503		I1B	
391504		M4	
391506		I1B	
391507		M4	
391508		I1B	
391509		I1B	
391510		I3A	
390869	I2J Rouille et EPI avec 1-2%PY	I2J	EPI(5,7)
391030	Contact paragneiss/I1 silicifié avec 1% fines pyrite disséminée +/- PO avec 5% veines QZ	I1B	SIL(3,8) SIL(10,1)
391033	Paragneiss rouillé minéralisé légèrement silicifié avec 2-3% fines pyrite disséminée. Possible présence de graphite.	S3 M4	SIL(10,1) SIL(3,5)
391041	Épontes de la veine de QZ, S3(M4) avec traces de pyrite	S3 M4	SIL(10,1)
391044	Veine QZ grise fumée de 8-10cm de large à N225	I1B	HEM(1,8) SIL(10,1)
390973	S3 stock., 1-2% PY-PO diss.	S3 M4	SIL(8,3) CHL(2,5)
390976	S3/M4, tr. PY. 60% mobilisat	S3 M4	SIL(5,5)
390888	éponge de la veine, S3-M4 à biotite, l'échantillon contient 15 de veine et 1% de mobilisa.	S3 M4	SIL(10,1)
390891	S3-M4 silicifié, 2% de pyrite finement disséminé.	S3 M4	SIL(10,1) SIL(6,6) CHL(1,6)
390853	I1C mag	I1C	HEM(1,3)
390864	I1D plus silicifié, pris aux épontes d'une veine de QZ d'aspect stérile	I1D	HEM(3,8)
390880	Bloc rouillé I3A, épidotisé avec 1%PY	I3A	EPI(10,10) SIL(10,10) HEM(5,4)
390960	I1D tr Py au contact	S3 M4	
390963	I1C I2J trPY	I2J	
390896	VN QZ 5%MO, 15-25cm	I1C M3	
390677	I2J/M3 moyennement à fortement épidotisé. 1% Py diss	I2J M3	EPI(10,2)
390752	Partie felsique du gneiss dioritique (mobilisat?) très altéré en épidote avec quelques AM contenant 2%PY en amas et disséminée.	I2J M1	EPI(5,3) EPI(1,8)
390763	Veine QZ grise translucide brun rougeâtre avec Tr-1%PY disséminée et en amas. Veine de 10-15cm à N305.	S3 M4	SIL(10,1)
390771	M4 ou I1D à AM-BO avec traces de pyrite	S3 M4	EPI(1,8)
390770	Veine QZ en plaquage avec 5%éponge S3(M4). Tr pyrite disséminée en amas. (attention sur le flag orange qui est sur le terrain, c'est le numero 390775 qui apparaît à la place du 390770)	S3 M4	SIL(10,1)
390778	I2J/I3A avec AM++, tr EPI, 5-10%pyrite-PO dis et surtout dans les plans de la foliation. Peut-être CP.	I2J	EPI(8,3)
390783	I2J rouillée AM+, BO++, 1-2%PY-CP(?), EP+, tr MC, TrMO	I2J	EPI(2,7) CAR(9,2)
390788	I2J avec 2-3%PY dis, EP+ DIS, légère CB.	I2J M1	EPI(2,8) SIL(10,1) EPI(8,2)
390790	Épontes de l'éch 390794: I1C avec 1-2%PYDIS+5%QZVN. (attention sur le flag orange qui est sur le terrain, c'est le numero 390795 qui apparaît à la place du 390790)	I1C M1	EPI(1,6) HEM(1,8) SIL(10,1)
391003	Épontes de l'échantillon 391002, paragneiss à biotite sans sulfures visibles	S3 M4	SIL(10,1)
391009	Veine QZ grise et blanche avec fractures brunes, pas de sulfures visibles.	S3 M4	SIL(1,5) SIL(10,1)
391016	Paragneiss avec 5% mobilisat avec traces de pyrite	S3 M4	SIL(10,1)
391019	Paragneiss à biotite avec rare pyrite	S3 M4	SIL(10,1)
391059	Intrusif felsique à biotite avec de rares pyrite. Épontes de la veine 391058	I1	SIL(10,1)
391067	Veine QZ démembrée de 20cm de large orientée à N320	S3 M4	SIL(10,1)
390652	Phase plus felsique. 1% Py diss, 1% Molybdénite en amas. Légère alteration en epidote.	I2J M3	EPI(1,3)
390681	Volcanite mafique. Sil pervasive intense / veine? Tr Py diss. Minéral bleu/gris ?	V3	SIL(8,3) EPI(10,3) CHL(7,3)
390686	S3/M4. 1Py diss. 3-4% grenats.	S3 M4	
390692	S3/M4 silicifié. 1-2% Py diss GF. Éch plus frais que 390691.	S3 M4	SIL(6,2)
390694	S3/M4. Grab sample scie portative. Silicification modérée, 2-3% Py diss GF.	S3 M4	
391034	Metasediment silicifié avec 1-2% fines pyrites disséminées et en amas. 1%PVN rouillée++m 5%veinules quartz.	S3 M4	SIL(10,1) SIL(3,5)
391046	Granite hematisé sans sulfures visibles	I1B	HEM(1,8) SIL(10,1)
390656	Paragneiss riche en biotite. 1% Py (grise argenté) diss	S3 M4	
390764	Veine QZ grise et blanche (40cm, N305). Pas de sulfures visibles.	S3 M4	SIL(10,1)
390784	I2J à AM minéralisée et rouillée avec mobilisat ou veine QZ (?) (10-20%). 5-10%SF (PY-PO, CP?) disséminée dans PSC.	I2J	EPI(2,7) CAR(9,2)

TagNumber	SampleDescription	HostRock	Alteration
390789	I2J à AM, +/-EPI dis, 1%veinule EPI mm, 2-3%PY DIS-PSC	I2J M1	EPI(2,8) SIL(10,1) EPI(8,2)
391020	Veine QZ blanche et grise de 5cm de large a N325	S3 M4	SIL(10,1)
391060	Intrusif felsique a biotite avec de rares pyrite	I1	SIL(10,1)
390893		I2J	

TagNumber	Mineralization	Au_ppm	Ag_ppm	Al_pct	As_ppm	Ba_ppm	Be_ppm	Bi_ppm
391042	PY(0,1)	-0.001	0.01	0.61	0.3	50	0.28	0.04
391043	MG(0,5)	-0.001	0.01	1.14	-0.2	80	0.26	0.09
391047	PY(1)	0.001	0.06	7.76	0.6	380	1.22	0.23
391048	PY(1)	0.003	0.11	8.33	1	360	1.31	0.19
391049		-0.001	0.02	7.27	0.6	730	0.87	0.09
391511	PY(0.5)	0.006	0.03	7.24	3.2	680	1.37	0.12
391512	PY(0.8)	-0.001	0.09	8.23	-0.2	890	1.55	0.01
391513	PY(0.5)	-0.001	0.09	8.09	0.3	690	2.57	0.05
391514	PY(0.5)	-0.001	0.11	8.33	-0.2	370	2.35	0.12
391516	PY(0.1)	-0.001	0.09	7.93	0.2	460	2.25	0.26
391517	PY(0.2)	-0.001	0.02	8.06	-0.2	1220	2.43	0.03
391518	PY(0.1)	-0.001	0.05	7.82	-0.2	2460	1.55	0.04
391519	PY(0.8)	-0.001	0.23	8.36	0.2	550	1.84	0.33
391520	PY(0.1)	-0.001	0.05	7.97	-0.2	780	1.97	0.07
391521	MO(0.3) PY(0.1)	-0.001	0.06	5.7	-0.2	940	1.06	0.05
391522	PY(0.01)	-0.001	0.03	1.81	0.6	40	0.42	0.02
391523	PY(0.1)	-0.001	0.15	7.85	0.7	370	5.36	0.26
391524		-0.001	0.05	7.84	0.7	1340	1.89	0.02
391526		-0.001	0.09	7.71	4.4	510	2.43	0.11
390972	PY(3) PO(2)	-0.001	1.46	5.2	-0.2	70	2.1	1.13
390974	PY(4) PO(1)	-0.001	0.2	6.8	0.3	430	0.82	0.16
390977	PY(2)	-0.001	0.65	7.72	-0.2	560	1.78	0.68
390978	PY(8)	0.003	1.59	6.75	-0.2	140	1.42	0.93
390979	PY(2)	-0.001	0.23	7.08	-0.2	70	1.41	0.34
390981		-0.001	0.04	8.19	-0.2	310	7.03	0.22
390982		-0.001	0.01	1.13	-0.2	40	0.49	0.09
390983		-0.001	0.01	3.43	-0.2	540	0.66	0.06
390984		-0.001	0.18	6.84	0.4	320	2.35	0.25
390986		-0.001	0.09	7.69	0.4	320	2.9	0.1
390987		-0.001	0.11	7.51	-0.2	240	1.27	0.34
390988		-0.001	0.12	7.41	-0.2	860	2.04	0.15
390887	PY(0,1)	-0.001	0.01	0.27	0.2	20	0.05	0.02
390889	PY(5)	-0.001	0.31	8.34	-0.2	430	1.15	0.8
390890	PY(8) CP(0,5) BN(0,1)	0.001	2.59	5.64	1.7	150	2.09	4.26
390892	PY(0,1)	-0.001	0.08	6.88	-0.2	80	0.35	0.06
390894	PY(2)	-0.001	0.23	7.59	-0.2	360	2.1	0.69
390851	MG(10)	-0.001	0.07	8.83	0.2	420	1.08	0.08
390852	MG(1)	0.324	5.62	7.17	0.4	3740	0.94	8.33
390854	MG(1) HM(1)	-0.001	0.06	8.58	0.3	290	1.69	0.12
390856	MG(2)	-0.001	0.07	7.36	0.4	3160	0.51	0.04
390857	MG(2)	-0.001	0.06	8.56	-0.2	450	1.13	0.09
390866		-0.001	0.05	7.18	-0.2	310	1.08	0.38
390867	MG(5) PY(1)	0.001	0.17	7.9	0.2	500	0.73	0.2
390868	MG(5) PY(2)	-0.001	0.01	8	0.2	380	1.31	0.08
391024	PY(8)	0.001	0.69	8.69	11.3	260	3.05	1.04
391026		-0.001	0.04	7.56	0.2	1480	1.75	0.04
391501	PY(2)	-0.001	0.19	10.35	0.4	490	2.75	0.09
391027	PY(1) PY(0,1)	0.001	0.17	9.3	0.2	1390	2.87	0.19
391028	PY(1)	-0.001	0.1	9.05	0.4	690	1.71	0.34
391029	PY(1,5) PO(0,5)	0.032	0.57	1.66	0.4	50	3.43	6.01
391031		-0.001	0.09	8.25	0.4	390	2.82	0.15
391032	PY(2,5) PY(0,5) PO(1)	-0.001	0.04	7.62	0.6	980	1.91	0.19
391036	PY(1,5)	-0.001	0.22	7.61	0.2	270	3.02	0.3
391037	PY(1)	-0.001	0.34	7.55	0.5	470	2.77	0.29
391038	PY(2,5)	0.001	0.78	7.5	0.5	160	1.6	0.63
391039	PY(1,5) PO(1)	-0.001	0.41	7.82	0.4	780	2.5	0.72
391040	PY(0,1)	-0.001	0.02	0.38	-0.2	60	0.12	0.03
390858	MG(2)	-0.001	0.07	7.94	0.5	290	0.93	0.82
390859	MG(2)	-0.001	0.06	8.47	0.3	460	1.55	0.14
390860	PY(2)	-0.001	0.16	7.79	-0.2	420	0.67	0.04
390861	MG(1)	-0.001	0.02	7.66	0.3	440	1.42	0.06
390862		-0.001	0.05	7.43	0.5	190	0.86	0.23
390863	MG(1)	-0.001	0.01	9.24	0.2	900	3.83	0.01
390870	MG(1)	-0.001	0.01	7.83	0.3	740	1.57	0.04
390871		0.012	0.06	7.7	0.7	1400	1.54	0.03
390872	MG(1)	-0.001	0.01	8.03	0.2	1060	1.55	0.01

TagNumber	Mineralization	Au_ppm	Ag_ppm	Al_pct	As_ppm	Ba_ppm	Be_ppm	Bi_ppm
390873	PY(1)	-0.001	0.01	8.4	0.5	1140	0.95	0.02
390874	MG(1)	-0.001	0.03	8.18	-0.2	1090	1.49	0.01
390876	PY(1)	-0.001	0.07	7.92	0.2	150	0.8	0.19
390877	PY(1)	0.008	0.28	8.45	0.2	200	1.56	0.28
390878	PY(15) MG(1)	0.043	0.95	7	0.6	210	0.64	0.65
390879	PY(1) MG(1)	0.001	0.2	7.37	4.6	30	0.66	1.59
390881		-0.001	0.04	7.32	0.5	1470	0.98	0.03
390882	MG(1)	-0.001	0.03	7.87	0.4	1010	1.75	0.03
390883		-0.001	0.14	7.94	0.2	430	1.06	0.1
390884	HM(1) MG(1)	-0.001	0.05	7.67	-0.2	860	1.53	0.03
390886	MG(1) HM(3)	-0.001	0.11	6.59	0.6	270	1.84	0.12
390951	MG(1) PY(1)	0.002	0.08	9.06	-0.2	810	1.06	0.19
390952		0.001	0.08	7.27	0.5	770	0.78	0.17
390953		0.007	0.43	6.89	-0.2	300	0.66	0.18
390954	MG(3) PO(2)	0.001	0.49	6.7	-0.2	120	1.28	0.39
390956		-0.001	0.15	7.86	-0.2	540	1.65	0.1
390957		0.001	0.45	9.02	-0.2	720	1.42	1.57
390958		0.01	0.45	7.57	-0.2	400	1.76	0.54
390959		0.001	0.16	7.71	0.5	320	0.99	0.16
390961		0.008	0.21	8.92	-0.2	690	0.87	0.05
390962		-0.001	0.19	8.08	-0.2	510	1.22	0.19
390964		0.003	0.22	6.49	-0.2	340	0.92	0.09
390966		0.006	0.71	6	-0.2	320	0.67	0.54
390967		0.003	0.04	7.91	0.6	690	1.61	0.18
390968	PO(3) PY(1)	0.002	2.13	4.33	0.3	20	1.06	0.26
390969	PY(0,1)	-0.001	0.02	7.56	-0.2	260	1.12	0.16
390970		0.001	0.09	8.59	0.4	200	1.21	1.6
390971		-0.001	0.42	7	-0.2	430	1.18	0.41
390980		-0.001	0.06	6.76	-0.2	270	3.07	0.13
390792	PY(0,01)	-0.001	0.05	7.9	0.4	430	1.69	0.15
390654	PY(1)	0.002	0.34	6.69	0.3	280	0.91	0.22
390657		-0.001	0.09	8.4	0.2	440	1.76	0.08
390658		-0.001	0.46	8.78	0.3	690	2.39	0.02
390659		-0.001	0.07	8.48	0.4	420	0.53	0.01
390660	PY(1,5)	0.003	0.65	7.93	0.4	180	2.82	0.3
390661	PY(0,1)	-0.001	0.11	8.28	-0.2	420	0.89	0.05
390662	PY(0,5) MO(0,5)	-0.001	0.12	8.81	0.5	710	0.71	0.1
390663	PY(0,5)	-0.001	0.1	9.05	0.2	430	0.97	0.07
390664	PY(1,5)	-0.001	0.16	7.41	0.3	530	0.93	0.39
390666	PY(0,5)	-0.001	0.17	8.45	0.4	730	1.31	0.18
390667	PY(0,5)	-0.001	0.13	9.83	0.2	390	1.58	0.14
390668	PY(0,5)	-0.001	0.03	8.81	0.4	440	1.7	0.19
390669	PY(0,5)	-0.001	0.19	8.54	0.2	780	1.09	0.08
390670	PY(20)	0.01	1.71	6.26	0.3	60	0.63	0.9
390671	PY(1,5)	0.002	0.36	8.36	0.4	190	1.85	0.23
390672	PY(1,5)	-0.001	0.32	8.77	0.4	510	1.42	0.18
390673	PY(2)	0.008	1.23	4.87	1.6	10	0.94	1.08
390674	PY(2)	-0.001	0.23	7.32	0.3	400	1.09	0.43
390676	PY(1)	-0.001	0.27	8.61	0.5	20	0.65	0.24
390678	PY(0,5)	-0.001	0.12	6.15	0.2	280	0.99	0.1
390679	PY(0,1)	-0.001	0.04	7.77	0.2	530	1.33	0.03
390751	PY(1) PY(1)	0.004	0.63	7.75	0.6	190	0.75	0.57
390753	PY(0,01)	-0.001	0.01	7.43	0.5	70	1.45	0.24
390754	PY(0,01)	-0.001	0.06	7.32	-0.2	340	1.86	0.1
390756	PY(1)	-0.001	0.16	8.28	0.4	780	1.3	0.1
390757	PY(1,5)	-0.001	0.08	8.75	0.6	940	1.35	0.08
390758		-0.001	0.02	7.2	0.3	3460	0.56	0.02
390759	PY(1) PY(0,5)	-0.001	0.08	8.73	0.3	430	1.04	0.13
390760		-0.001	0.04	7.27	0.4	40	0.48	0.2
390761	PY(0,1) MG(0,1)	-0.001	0.03	7.81	0.3	650	1.53	0.03
390762	PY(0,5) PY(0,5)	0.006	0.26	6.34	0.2	330	0.62	0.16
390766	PY(0,5)	-0.001	0.02	0.5	0.2	40	-0.05	0.02
390767	PY(0,5)	0.001	0.13	8.01	0.3	290	0.83	0.1
390768		-0.001	0.01	7.89	0.2	550	1.19	0.09
390769	PY(0,01)	-0.001	0.11	3.37	-0.2	160	0.37	0.03
390772	PY(1) MG(0,5)	0.001	0.17	7.71	0.3	490	0.91	0.14

TagNumber	Mineralization	Au_ppm	Ag_ppm	Al_pct	As_ppm	Ba_ppm	Be_ppm	Bi_ppm
390773	PY(1,5)	-0.001	0.2	8.41	0.5	720	2.32	0.4
390774	PY(0,5) PY(0,1)	-0.001	0.27	7.97	0.2	430	3.12	0.28
390776	PY(0,1)	-0.001	0.05	7.39	0.5	710	1.54	0.61
390777	PY(4) PY(1) MG(1)	0.006	0.97	7.28	0.3	130	0.58	0.69
390779	PY(1,5) PY(0,5)	-0.001	0.13	7.95	0.3	470	0.91	0.07
390780	PY(3,5)	-0.001	0.95	7.96	0.4	540	0.91	0.85
390781	PY(1)	0.002	0.25	8.09	0.7	370	0.94	0.15
390782	PY(3) CP(0,5) MC(0,1) MO(0,1)	-0.001	5.49	8.06	0.3	1690	1.73	0.43
390786	PY(3)	0.006	1.25	7.27	0.4	390	0.56	0.95
390787	PY(1) PY(1)	-0.001	0.16	7.74	0.5	330	1.5	0.17
390791	PY(2) PY(1)	0.003	1.02	7.21	0.5	90	1.08	0.85
390793	PY(1) PY(0,5)	-0.001	0.16	4.77	0.4	500	0.52	0.11
390794	PY(1) PY(0,5)	-0.001	0.09	2.53	0.5	130	0.58	0.07
390796		-0.001	0.06	7.35	0.4	1300	1.25	0.05
390797	PY(0,5) MG(1)	-0.001	0.11	8.05	0.3	350	1.33	0.14
390798	PY(0,5) MG(1)	0.001	0.48	6.75	-0.2	200	1.22	0.15
390799	PY(0,1) MG(1)	-0.001	0.01	8.16	-0.2	170	1.33	0.1
390800	PY(0,1) MC(0,1)	-0.001	0.1	8.71	-0.2	660	1.55	0.02
391001		-0.001	0.09	8.88	0.2	210	2.92	0.11
391002		-0.001	0.02	0.46	0.2	40	0.12	0.06
391004	PY(1)	-0.001	0.25	7.65	-0.2	100	1.81	1.26
391006		-0.001	0.1	9.19	-0.2	320	2.76	0.14
391007		-0.001	0.08	8.83	0.3	270	1.69	0.17
391008	PY(1)	-0.001	0.1	8.64	0.3	490	1.1	0.42
391011	PY(1,5)	-0.001	0.31	9.81	1.5	470	2.73	1.29
391012	PY(0,5)	-0.001	0.03	8.93	0.2	290	3.19	0.15
391010	PY(0,5)	-0.001	0.12	8.25	-0.2	310	2.63	0.09
391013	PY(0,1)	-0.001	0.08	8.69	0.2	370	1.52	0.13
391014	PY(0,5)	-0.001	0.01	1.67	0.3	50	0.4	0.07
391017		-0.001	0.04	8.85	0.6	540	1.37	0.08
391018	PY(0,1)	-0.001	0.02	3.42	0.2	110	0.56	0.05
391021	PY(4) PO(1)	0.005	0.68	7.01	1	260	2.34	0.61
391022	PY(4)	0.003	0.61	8.14	0.4	50	1	0.89
391023	PY(1) PO(1)	-0.001	0.35	6.88	0.3	60	0.67	0.63
391050		-0.001	0.05	2.82	0.3	40	0.83	0.02
391051	PY(2)	-0.001	0.01	7.17	0.8	920	0.93	0.07
391052	MG(0,5)	-0.001	0.02	8.04	-0.2	750	1.88	0.03
391053	MG(0,1) PY(0,5)	-0.001	0.05	8.17	0.3	990	1.88	0.01
391054	PY(0,5)	-0.001	0.13	6.4	0.5	200	2.21	0.15
391056		-0.001	0.04	7.3	0.2	1090	1.22	0.01
391057	PY(1)	-0.001	0.12	9.3	0.3	530	1.38	1.56
391058	PY(0,1)	-0.001	0.15	1.36	0.2	70	0.45	0.08
391061	PY(2,5)	0.127	0.42	7.41	1.2	540	2.87	0.51
391062	PY(0,1)	-0.001	0.05	8.16	0.7	1070	1.94	0.02
391063	MG(1)	-0.001	0.11	7.98	1.1	1090	2.44	0.08
391066		-0.001	0.08	8.82	7.8	650	1.13	0.09
391068		-0.001	0.01	7.36	1.4	630	0.61	0.03
390651	PY(8)	0.003	1.4	6.54	-0.2	100	0.54	0.88
390653	PY(1)	0.001	0.27	8.7	0.5	790	1.17	0.95
390697		-0.001	0.05	7.34	-0.2	920	1.18	0.06
390680	PY(2,5)	-0.001	0.02	8.78	1	750	1.16	0.1
390682		-0.001	0.3	7.93	0.5	530	1.35	0.14

TagNumber	Mineralization	Au_ppm	Ag_ppm	Al_pct	As_ppm	Ba_ppm	Be_ppm	Bi_ppm
390683	PY(0,01)	-0.001	0.15	7.87	0.3	500	0.78	0.23
390684	PY(1)	-0.001	0.14	7.99	0.4	260	1.05	0.04
390687	PY(1)	0.002	0.12	7.62	-0.2	670	1.22	0.09
390688	PY(2)	-0.001	2.18	8.45	6.9	500	0.54	0.74
390689		-0.001	0.19	8.15	0.5	720	1.27	0.13
390690		0.003	0.12	8.6	0.3	450	2.06	0.08
390691	PY(3)	-0.001	0.56	7.47	-0.2	680	1.64	0.44
390693		-0.001	1.28	7.95	-0.2	480	2.61	0.54
390696		-0.001	0.16	7.9	0.3	420	2.29	0.16
391051	PY(2)	-0.001	0.01	7.17	0.8	920	0.93	0.07
391502	MG(0,5)	-0.001	0.03	7.52	0.6	770	1.16	0.06
391503	MG(3) PY(0.1)	0.005	0.01	7.35	0.6	680	1.69	0.37
391504	PY(2)	-0.001	0.14	8.28	0.5	270	0.69	0.57
391506	MG(1) PY(0.01)	-0.001	0.07	7.41	0.7	990	0.88	0.11
391507	PY(0.1)	0.002	0.15	8.44	0.3	300	1.55	0.39
391508	PY(0.1)	-0.001	0.1	7.29	0.7	230	2.31	0.18
391509	PY(0.1)	-0.001	0.05	7.73	0.7	100	1.31	0.04
391510	PY(0.8)	-0.001	0.02	8.75	0.2	270	0.65	0.05
390869	MG(5) PY(2)	-0.001	0.41	8	0.2	120	1.53	0.28
391030	PY(1,5) PO(0,5)	-0.001	0.14	1.78	0.3	40	2.01	0.67
391033	PY(2,5) PY(0,5) PO(1)	0.001	1.09	7.21	0.7	220	1.52	1.38
391041	PY(0,1)	-0.001	0.22	8.58	0.2	500	1.83	0.36
391044	MG(0,5)	-0.001	0.01	0.05	0.3	-10	0.05	0.03
390973	PY(3) PO(2)	-0.001	0.3	8.08	-0.2	280	3.05	0.37
390976	PY(2)	-0.001	0.48	7.44	-0.2	520	2.42	0.43
390888	PY(0,1)	-0.001	0.05	7.75	0.2	360	1.7	0.08
390891	PY(8) CP(0,5) BN(0,1)	0.002	1.64	7.06	1.3	90	7.64	5.52
390853	MG(1)	0.014	2.8	6.54	0.3	480	0.74	0.54
390864	MG(1)	-0.001	0.01	5.73	0.5	780	1.68	0.04
390880	PY(1) MG(1)	0.035	0.4	7.76	-0.2	290	0.95	0.44
390960		-0.001	0.04	6.28	-0.2	820	0.89	0.03
390963		0.004	0.21	8.24	-0.2	1050	1.7	0.2
390896	PY(0,5) MO(0,5)	-0.001	0.12	6.09	-0.2	140	1.78	0.08
390677	PY(1)	-0.001	0.32	7.48	0.9	70	0.67	0.07
390752	PY(1) PY(1)	0.002	0.82	7.77	0.4	210	0.56	0.55
390763	PY(0,5) PY(0,5)	0.003	0.14	2.01	-0.2	100	0.21	0.13
390771	PY(0,01)	-0.001	0.09	8.17	0.6	570	1.09	0.05
390770	PY(0,5) PY(0,1)	-0.001	0.09	4.57	0.3	140	1.91	0.07
390778	PY(4) PY(1) MG(1)	0.008	1.51	5.43	0.3	110	0.43	1.4
390783	PY(3) CP(0,5) MC(0,1) MO(0,1)	0.005	22.8	6.54	0.3	90	1.49	1.57
390788	PY(1) PY(1)	0.006	0.7	8.08	0.6	250	0.74	0.23
390790	PY(1) PY(0,5)	-0.001	0.32	8.76	0.4	990	1.96	0.1
391003		-0.001	0.06	8.9	-0.2	350	1.96	0.11
391009	PY(1)	-0.001	0.02	1.72	0.4	80	0.27	0.26
391016	PY(0,5)	-0.001	0.11	9.06	-0.2	360	1.55	0.11
391019	PY(0,1)	0.003	0.08	9.48	0.2	530	1.65	0.12
391059	PY(0,1)	-0.001	0.05	7.57	0.3	910	2.12	0.03
391067		-0.001	0.03	5.35	1.5	80	0.91	0.01
390652	PY(8)	-0.001	0.19	8.38	-0.2	440	1.23	0.13
390681	PY(2,5)	-0.001	0.01	6.95	-0.2	490	0.73	0.02
390686	PY(1)	-0.001	0.21	7.7	0.3	80	1.18	0.14
390692	PY(3)	-0.001	0.55	8.24	0.3	1430	1.6	0.41
390694		0.008	1.47	7.8	0.4	360	2.21	0.73
391034	PY(2,5) PY(0,5) PO(1)	0.002	1.35	5.97	0.4	80	1.58	1.53
391046	MG(0,5)	-0.001	0.04	7.52	0.3	850	1.03	0.18
390656	PY(1)	-0.001	0.22	8.79	0.2	460	1.04	0.14
390764	PY(0,5) PY(0,5)	-0.001	0.01	0.4	0.2	80	-0.05	0.01
390784	PY(3) CP(0,5) MC(0,1) MO(0,1)	0.002	3.52	5.61	0.2	300	1.06	1.76

TagNumber	Mineralization	Au_ppm	Ag_ppm	Al_pct	As_ppm	Ba_ppm	Be_ppm	Bi_ppm
390789	PY(1) PY(1)	0.004	0.61	7.39	0.6	210	0.68	0.55
391020	PY(0,1)	-0.001	0.01	1.4	-0.2	40	0.55	0.02
391060	PY(0,1)	-0.001	0.06	7.87	-0.2	860	2.66	0.04
390893	PY(15)	0.012	2.82	5.46	-0.2	140	0.51	1.34

TagNumber	Ca_pct	Cd_ppm	Ce_ppm	Co_ppm	Cr_ppm	Cs_ppm	Cu_ppm	Cu_pct	Fe_pct
391042	0.04	0.02	1.32	0.3	17	0.61	2.1		0.6
391043	0.1	-0.02	1.09	0.3	17	2.08	3.3		0.6
391047	2.17	0.04	44.1	19.1	69	4.36	56		5.23
391048	2.59	0.09	34.6	10	28	2.37	46.7		2.89
391049	0.73	0.03	52.4	1	8	4.1	1.6		1.24
391511	2.46	0.07	53.9	17.9	141	2.87	22.6		3.33
391512	1.73	0.06	115	5.4	25	2.8	10.6		3.31
391513	2.26	0.05	40.7	18.5	163	8.51	41.1		4.57
391514	2.43	0.08	24.1	21.1	205	5.48	41.9		5.03
391516	2.58	0.14	59.9	17.1	184	2.74	26.8		4.25
391517	1.32	0.04	37.2	3.1	16	1.45	1.9		1.75
391518	1.3	0.05	53.1	3.3	24	1.72	7.2		1.9
391519	1.96	0.06	40.8	19.6	178	7.9	90.2		4.49
391520	2.12	0.05	29.5	17.2	155	16.85	25.4		4.04
391521	0.75	0.02	6.9	1.7	12	0.8	6.7		0.95
391522	0.44	0.04	12.35	1.3	13	1.43	2.4		0.79
391523	2.22	0.08	38.8	17.1	173	6.46	38.2		4.09
391524	0.97	0.03	9.43	1.1	8	1.45	1.3		0.98
391526	2.32	0.09	55.1	17.4	152	9.72	26.7		4
390972	3.96	0.68	40.2	49.6	39	0.51	361		9.56
390974	5.12	0.28	38.2	24.3	187	2.31	72.5		5.71
390977	2.16	0.24	75.3	31.7	162	9.51	85.8		6.7
390978	3.61	0.28	28.7	25.8	175	0.78	456		10.3
390979	3.61	0.06	27.6	6.6	25	0.62	84.1		4.27
390981	3.94	0.18	35.7	12	36	8.42	0.9		3.2
390982	0.2	-0.02	3.03	0.1	19	0.61	0.9		0.42
390983	0.37	-0.02	2.13	0.9	27	1.12	4.3		1.01
390984	1.99	0.16	34.8	17.9	74	6.37	60		3.77
390986	1.6	0.03	36.2	17.4	219	9.55	48.9		4.48
390987	6.43	0.17	14	47.3	134	0.5	70.6		10.95
390988	2.69	0.13	64.8	19.9	216	6.85	5.3		4.61
390887	0.14	-0.02	2.04	0.9	19	0.29	1.8		0.54
390889	1.73	0.05	57.5	19.7	86	1.75	92.6		5.49
390890	1.87	0.6	39.6	40.8	31	2.23	1120		10.85
390892	5.85	0.15	10.9	46.9	123	0.75	30		10.55
390894	1.34	0.13	52.5	36.2	81	7.31	96.3		7.07
390851	2.92	0.2	5.52	15.8	61	4.19	22.2		5.8
390852	2.37	0.22	44.6	21.7	39	3.14	3130		5.48
390854	4.75	0.11	51.5	22	26	1.03	17.4		5.2
390856	0.9	0.11	132	2.8	9	1.25	8.3		1.1
390857	3.37	0.13	9.06	13.9	70	4.13	21.8		4.97
390866	6.56	0.18	52.1	40.4	516	0.82	22.4		6.51
390867	1.77	0.24	23	24.3	103	5.92	26.7		8.79
390868	5.76	0.11	45.2	24.7	126	0.24	1.5		5.56
391024	1.64	0.14	47.6	60.4	104	2.86	184		10.7
391026	0.95	0.13	35.4	1.3	4	2.06	5.2		1.01
391501	3.24	0.12	272	15.9	40	0.94	44.1		2.54
391027	2.31	0.06	56.3	20.2	55	1.81	111.5		3.8
391028	3.13	0.11	28.7	23.7	131	2	47.4		4.56
391029	2.86	0.55	19.85	12.4	16	1.99	134		8.96
391031	3.14	0.1	15.45	12.7	67	7.33	17.6		3.61
391032	2.46	0.08	62.6	25.2	227	10.6	15		5.27
391036	1.26	0.08	31.4	10	128	3.38	57.7		2.78
391037	2.2	0.1	25	6.7	102	7.78	42.9		5.58
391038	4.06	0.32	47.9	25	153	1.03	277		7.06
391039	1.29	0.07	51.8	17.4	173	3.1	147.5		5.13
391040	0.07	-0.02	0.91	0.4	19	0.28	3.1		0.61
390858	5.38	0.3	52.1	24.4	203	0.64	11.5		7.3
390859	2.94	0.05	32.3	25.9	90	7.4	43.6		7.62
390860	2.27	0.06	40.3	19.8	52	3.13	66.6		6.98
390861	4.36	0.14	23.2	15.6	20	1.46	23.9		5.72
390862	7.57	0.11	25.5	46.5	453	3.27	66.2		7.84
390863	2.4	0.02	2.92	1.3	3	1.37	2		0.54
390870	2.17	0.05	57.6	9.9	19	0.85	0.9		2.57
390871	2.07	0.05	39.3	8.8	15	0.9	7		2.37
390872	1.27	0.02	59.1	8.3	18	0.87	3		2.23

TagNumber	Ca_pct	Cd_ppm	Ce_ppm	Co_ppm	Cr_ppm	Cs_ppm	Cu_ppm	Cu_pct	Fe_pct
390873	4.24	0.06	43.5	34.9	19	0.56	43.9		8.23
390874	2.48	0.04	39.6	8.4	18	0.47	1		2.28
390876	6.64	0.29	20.7	40.6	195	0.57	18.4		8.76
390877	5.86	0.22	25.6	11.2	214	0.46	17.5		8.74
390878	5.83	0.29	50.8	102	223	0.31	170		15.3
390879	13.9	0.57	32.6	29.6	174	0.15	12.4		13.05
390881	1.92	0.03	13.65	5.1	13	0.84	2		1.79
390882	2.34	0.05	49.3	8.4	19	0.77	5.3		2.33
390883	4.32	0.12	29.4	21.7	138	0.61	55.2		5.28
390884	2.43	0.04	39.6	7.7	17	0.65	1.2		2.21
390886	0.85	0.02	6.38	0.8	8	1.09	20.5		0.69
390951	2.84	0.07	44.8	18.2	56	1.23	47.5		5.91
390952	2.02	0.04	17.05	33.8	91	0.53	94.9		6.43
390953	1.29	0.25	27	34.5	61	3.78	146		10.65
390954	7.2	0.25	9.1	37	91	0.41	220		13.6
390956	2.84	0.15	18.1	8.4	51	0.93	73.2		2.77
390957	0.84	0.07	16.8	22.6	108	2.85	205		9.47
390958	3.29	0.1	19.5	18.5	28	0.43	863		3.9
390959	3.4	0.2	11.3	27.3	217	3.68	48.8		6.4
390961	2.16	0.04	67.1	18.6	113	3.15	27.3		5.8
390962	2.79	0.08	30.8	19	67	0.82	79.4		3.5
390964	1.11	0.26	23.3	30.3	64	5.67	52.7		8.04
390966	1.39	0.26	24.2	54.4	67	8.3	175		9.19
390967	6.03	0.1	97.3	28	90	0.84	29.6		6.08
390968	1.44	0.14	34.7	36.5	77	0.93	1090		7.69
390969	5.19	0.11	65.6	35.3	288	0.53	1.1		5.49
390970	10.45	0.08	31	14.8	122	0.24	16.7		7.35
390971	2.06	0.12	20.6	28	147	0.86	222		7.61
390980	2.57	0.03	19	7.9	34	5.17	19.1		2.01
390792	7.71	0.22	84	27	103	0.25	66		6.32
390654	2.07	0.2	27.2	28.3	61	5.47	121		6.79
390657	3.67	0.09	31	19.9	85	5.27	97.6		4.01
390658	3.41	0.21	80.4	20.8	38	6.67	245		5.84
390659	6.88	0.05	27.6	42.9	204	0.29	55.6		8.52
390660	1.78	0.06	21	28.7	61	2.67	265		4.46
390661	2.59	0.07	34.3	22.4	67	3.99	50.4		5.29
390662	3.23	0.14	23.2	22.8	84	3.13	52.3		6.12
390663	2.54	0.06	51.2	16.9	83	2.22	29.2		6.21
390664	1.27	0.15	13.95	16.9	46	1.21	45.2		6.62
390666	2.01	0.06	25.7	14.8	44	0.84	44.8		5.46
390667	7.42	0.3	53.7	44.5	547	0.39	224		9.79
390668	2.06	0.05	50.6	22.7	62	0.81	48		5.56
390669	2.58	0.03	9.56	10.6	32	1.54	50.9		4.95
390670	8.98	0.24	56.5	143.5	135	0.21	520		18.65
390671	7.02	0.14	87.5	45.9	120	0.42	125.5		8.83
390672	4.86	1.07	30.4	26.5	56	0.84	39.1		7.53
390673	1.3	0.13	21.6	34.5	61	0.4	97.7		10.3
390674	4.01	0.27	42.8	53.8	173	0.68	344		10.75
390676	12.8	0.21	48.1	18.5	168	0.06	15.8		9.73
390678	1.05	0.03	17.55	18.4	64	7.39	101		7.81
390679	2.7	0.12	65.3	16.5	51	2.01	21.1		4.59
390751	5.81	0.17	40.3	61.1	224	0.64	149.5		12
390753	11.1	0.15	65.2	41.2	499	0.1	12.3		7.72
390754	3.8	0.12	47.2	19.2	58	0.71	20.5		4.87
390756	2.77	0.18	37.5	11.5	59	0.99	55.5		3.97
390757	3.06	0.07	22.1	10.8	47	1.02	45.5		3.74
390758	0.98	-0.02	97.1	3.9	9	1.89	11.3		1.43
390759	2.01	0.06	13.5	13	132	1.75	26.6		3.56
390760	5.94	0.11	77.7	10.7	46	0.05	10.2		4.23
390761	2.42	0.06	41.6	8.2	18	1.68	0.8		2.44
390762	1.57	0.29	17.15	34.1	47	6.22	133.5		8.65
390766	0.09	-0.02	1.27	2.7	16	0.79	13.4		1.42
390767	3.11	0.08	11	25.9	77	4.32	55.3		7.74
390768	3.96	0.09	43.2	14.6	77	0.61	2.2		3.71
390769	0.78	0.06	13.8	11.3	22	0.86	41.8		2.42
390772	2.25	0.15	33.1	22.8	70	3.66	46.8		5.94

TagNumber	Ca_pct	Cd_ppm	Ce_ppm	Co_ppm	Cr_ppm	Cs_ppm	Cu_ppm	Cu_pct	Fe_pct
390773	5.46	0.14	81.9	35.2	169	0.35	238		7.11
390774	3.81	0.09	27.2	16.6	49	1.29	36.6		4.24
390776	5.05	0.23	61	27.2	131	0.43	5.7		5.39
390777	7.78	0.31	40.3	49.7	205	0.24	139		14.45
390779	3.8	0.19	32.4	16.2	61	0.78	27.1		4.08
390780	2.72	0.14	51.6	21.3	35	2.35	271		5.79
390781	6.43	0.19	34.4	24.4	206	0.62	68.5		8.7
390782	5.05	0.16	48.2	17.1	114	1.14	812		7.36
390786	3.58	0.26	33.1	47.8	264	0.91	207		17.1
390787	4.11	0.19	41.9	14.8	137	0.62	28.7		6.42
390791	7.88	9.71	47	55.6	165	0.31	474		12.8
390793	0.73	0.09	3.65	18.3	32	0.69	73.1		6.51
390794	0.28	0.03	0.83	0.4	11	0.32	11.6		0.94
390796	3.29	0.03	29.7	5.4	16	0.57	24.9		2.55
390797	4.62	0.12	27.2	17.4	64	1.11	25.9		6.08
390798	2.04	0.05	7.87	16.9	64	0.93	465		8.01
390799	4.38	0.07	63.6	31.9	263	0.38	4.9		5.74
390800	2.58	0.03	7.54	4.2	15	1.13	47.1		1.08
391001	3.55	0.13	25.4	12.7	81	5.1	17		3.57
391002	0.03	-0.02	6.87	1.1	17	0.65	9.2		0.88
391004	9.96	0.41	53.3	47.4	1300	3.13	69.9		6.12
391006	2.01	0.14	17.65	20.9	205	22.5	23.9		5.78
391007	4.59	0.1	24	13.6	81	2.66	15.1		3.74
391008	2.69	0.14	33.8	23.8	94	6.73	80.1		4.67
391011	0.98	0.03	52	25.2	92	2.14	89.8		6.34
391012	3.97	0.13	26.1	10.5	35	8.6	7.7		2.57
391010	2.07	0.05	16.9	9	37	3.05	29.9		2.38
391013	4.01	0.07	16	13.2	62	0.96	14		2.97
391014	0.67	0.03	4.78	0.8	11	0.51	3.7		0.65
391017	4.43	0.05	28.6	14.6	55	1.15	12.5		3.78
391018	1.55	0.03	30.7	3.4	20	1.09	7.6		1.07
391021	1.95	0.32	13.4	41.5	105	8.19	351		7.77
391022	10.3	0.16	29.3	24.3	53	3.45	757		15.3
391023	6.34	0.17	35	12.3	23	0.91	47.5		4.64
391050	0.03	0.02	9.82	1.3	9	3.12	1.4		1.05
391051	0.7	0.02	25.4	0.8	6	5.05	1.6		0.66
391052	2.59	0.08	34.9	7.9	27	2.38	3.8		2.3
391053	1.57	0.02	42.5	4	19	3.18	3.8		1.87
391054	3.7	0.29	35	13.9	170	2.1	45.5		3.72
391056	0.89	0.03	140	2.4	23	2.43	3.3		1.68
391057	2.88	0.07	48.8	21.1	55	8.18	56.5		4.23
391058	0.29	-0.02	4.72	1.6	10	0.57	8.9		0.77
391061	0.48	0.39	39.3	7.7	156	6.67	32.3		4.85
391062	1.72	0.04	46.7	7.8	63	2.02	8.1		3.03
391063	1.9	0.05	38	6.7	17	1.38	10.8		2.22
391066	1.75	0.23	38.5	16.1	101	9.43	28.4		4.44
391068	0.28	0.02	18.1	0.6	7	5.41	1.3		0.75
390651	3.89	0.16	46.4	77	173	0.25	978		19.55
390653	4.36	0.08	27.7	10	93	0.94	31.6		4.18
390697	1.4	0.05	40.1	6.3	20	0.45	2.3		2.22
390680	1.82	-0.02	54.5	35.2	21	0.41	431		9.19
390682	3.67	0.07	25	12.2	36	0.57	90.7		3.04

TagNumber	Ca_pct	Cd_ppm	Ce_ppm	Co_ppm	Cr_ppm	Cs_ppm	Cu_ppm	Cu_pct	Fe_pct
390683	3.62	0.19	9.15	11.7	76	0.92	32.2		4.71
390684	1.98	0.18	13.45	20.3	61	0.98	67.5		6.28
390687	2.39	0.14	40.2	17.4	32	1.21	50.8		5.27
390688	1.1	0.1	47.5	45.2	95	0.86	201		8.01
390689	2.68	0.16	34.8	17.3	81	1.42	62.4		5.1
390690	5.03	0.21	102.5	31	34	0.73	179.5		6.47
390691	2.68	0.15	42.2	23.1	139	1.99	98.5		4.94
390693	2.2	0.32	23.3	48.2	96	4.75	405		8.04
390696	2.28	0.18	38.8	21	208	10.2	46		4.27
391051	0.7	0.02	25.4	0.8	6	5.05	1.6		0.66
391502	0.91	0.02	45.8	0.9	7	3.88	1.6		1.04
391503	0.92	-0.02	32.4	1	7	8.16	1.4		0.99
391504	4.63	0.03	12	6.5	29	1.93	15.6		3.53
391506	0.86	0.13	49.9	1.2	7	3.84	16.6		1.07
391507	4.8	0.39	34.3	21.1	59	2.39	50.2		5.63
391508	1.86	0.04	10.3	4.2	23	6.08	12.8		2.36
391509	1.77	0.06	47.1	4.1	16	1.89	5.8		1.56
391510	6.31	0.05	31.5	42.8	25	2.66	36.5		8.88
390869	7.45	0.26	37.8	35.1	186	0.34	50		9.42
391030	1.47	0.21	13.6	3.9	21	4.59	31.2		5.49
391033	1.44	0.3	36.2	35.7	55	5.7	540		9.57
391041	2.25	0.07	19.9	20.8	85	14.7	63.8		5.16
391044	0.01	-0.02	0.21	0.2	13	0.34	1.2		0.76
390973	2.17	0.13	19.7	17.3	80	12.4	68.6		4.66
390976	2.13	0.26	25.7	15.5	122	6.43	60.3		4.65
390888	1.88	0.04	51	16.2	78	6.76	26		3.92
390891	2.71	0.43	43.2	35.6	92	2.5	304		9.04
390853	1.41	0.03	15.75	23.6	52	2.54	734		4.51
390864	1.64	0.02	1.8	0.6	5	4.72	1.2		0.47
390880	4.35	0.26	27.6	31.5	178	0.78	54		9.52
390960	1.05	-0.02	2.72	1.7	9	1.23	11.9		0.76
390963	5.89	0.19	68.6	14.2	106	0.84	35.4		6.43
390896	1.46	-0.02	3.74	1.3	9	0.42	10.1		0.44
390677	10.8	0.26	46.4	44.4	202	0.35	43.3		10.1
390752	8.81	1.43	45.1	28.7	211	0.35	50.4		9.45
390763	0.6	0.15	5.98	13.9	23	2.03	79.3		3.77
390771	2.76	0.05	21.3	21.4	65	2.21	25.6		5.17
390770	1.81	0.04	8.91	4.4	21	0.41	12.3		1.34
390778	1.85	0.35	27.9	137.5	152	1.28	1335		24.8
390783	3.8	0.19	29.3	15.8	328	0.43	10000	2.87	13.2
390788	5.92	0.19	43.5	33.3	203	0.57	51.2		9.66
390790	1.81	0.11	17.35	15.9	64	0.85	53.9		4.53
391003	1.77	0.03	35	20.1	85	21	12.8		5.4
391009	0.46	0.03	5.48	2.9	22	1.1	8.1		0.99
391016	2.48	0.07	28.4	11.4	53	2.52	44.1		3.15
391019	3.96	0.09	40.4	14.9	64	8.37	26.2		3.39
391059	1.82	0.04	15	2.9	15	4.05	3.4		1.21
391067	1.48	0.04	12.5	0.3	7	0.95	2.1		0.49
390652	2.82	0.09	16.85	9.1	62	0.77	64.4		4.49
390681	1.34	0.02	39.2	12.1	14	0.09	93.8		6.57
390686	3.76	0.2	34.9	35.7	56	0.52	135.5		8.34
390692	2.79	0.19	57.4	25.3	172	2.47	116.5		6.27
390694	1.87	0.45	34	47.6	76	5.58	558		10.95
391034	1.24	0.6	20.8	60	46	4.56	751		13.2
391046	0.54	0.15	43.5	0.8	7	17.7	4.3		0.87
390656	2.97	0.3	44.2	22.1	81	5.9	69		6.16
390764	0.02	-0.02	0.55	0.3	16	0.11	1.7		0.48
390784	2.37	0.11	45.4	25.2	89	0.6	3920		11.75

TagNumber	Ca_pct	Cd_ppm	Ce_ppm	Co_ppm	Cr_ppm	Cs_ppm	Cu_ppm	Cu_pct	Fe_pct
390789	6.28	0.33	47.2	61.8	247	0.42	218		13.4
391020	0.48	-0.02	5.58	0.8	25	0.34	1.4		0.76
391060	1.77	0.04	46.2	2.9	15	4.92	3.2		1.59
390893	2.76	0.38	33.5	282	173	1.75	581		22.9

TagNumber	Ga_ppm	Ge_ppm	Hf_ppm	In_ppm	K_pct	La_ppm	Li_ppm	Mg_pct	Mn_ppm
391042	1.83	0.07	0.3	-0.005	0.41	0.7	4.4	0.02	69
391043	2.96	-0.05	0.3	-0.005	0.81	0.6	12.5	0.01	74
391047	18.8	0.12	2.9	0.041	1.27	22.7	40.9	2.61	674
391048	21.2	0.09	2.2	0.024	1.46	16.6	23.6	0.95	442
391049	17.45	0.12	6.1	-0.005	4.66	25.9	31.2	0.16	128
391511	17.35	0.34	2.8	0.039	1.38	27.3	22.1	1.58	554
391512	21.4	0.23	9.2	0.037	3.74	56.4	29.9	0.58	289
391513	22.4	0.42	3.5	0.037	2.31	18.9	65.4	1.77	498
391514	23.4	0.47	3.8	0.056	1.94	11	40.8	1.91	660
391516	20.4	0.32	3.2	0.044	1.64	27.5	20.2	1.96	683
391517	21.5	0.15	3.7	0.017	2.67	15.9	11.7	0.49	200
391518	19.6	0.12	4.1	0.028	4.81	24.8	14	0.53	288
391519	20.6	0.3	3.4	0.034	2.03	20.3	40.2	1.78	465
391520	19.9	0.51	3.7	0.037	2.53	10.2	48.4	1.7	506
391521	11.8	-0.05	1.6	0.006	2.98	3.8	11.3	0.12	82
391522	4.79	-0.05	27.4	-0.005	0.19	7.8	5.4	0.14	90
391523	21.2	0.19	4.3	0.029	1.56	18.4	36.2	1.27	619
391524	19.1	0.07	3	-0.005	3.95	4.6	13.3	0.13	116
391526	18.75	0.17	3.1	0.039	1.92	23.1	52.6	1.65	615
390972	12.7	0.1	1.9	0.103	0.29	18.6	5.6	1.05	983
390974	14.85	0.08	3.3	0.06	0.77	18.4	38.1	1.55	1620
390977	18.6	0.13	2.7	0.033	1.71	37.6	51.7	1.42	524
390978	15.7	0.08	1.6	0.072	0.57	13.1	31.3	1.33	1640
390979	19.5	0.08	3.4	0.027	0.38	12.5	25.1	0.46	815
390981	23.7	0.13	1.9	0.066	1.03	11.3	41.4	1.13	855
390982	3.36	0.07	1.3	-0.005	0.41	1.2	9.2	0.05	57
390983	8.05	0.06	2.5	0.005	1.74	1.2	3.9	0.15	100
390984	15.6	0.12	2.4	0.018	1.21	17.5	32.8	0.94	482
390986	21.2	0.13	3.2	0.04	1.97	17.1	55.7	2.04	620
390987	19.7	0.09	1.9	0.081	1.12	6.6	24	2.82	2670
390988	18.15	0.14	2.9	0.047	1.89	34.8	17.3	1.94	763
390887	0.9	0.08	12.9	-0.005	0.08	0.9	3.7	0.12	57
390889	19.15	0.11	3.6	0.048	1.14	26.9	35.4	1.84	409
390890	14.2	0.11	1.9	0.114	1.08	19.2	8	0.91	648
390892	16.45	0.1	1	0.07	0.67	4.2	20.8	4.61	1660
390894	23.2	0.12	3.3	0.038	1.98	26.2	23.2	1.42	384
390851	22.8	-0.05	2.5	0.023	1.38	2.8	30.7	1.14	661
390852	18.3	0.16	1.1	0.066	4.95	17.9	37.9	2.25	1100
390854	25.6	0.1	1.2	0.053	1.11	20.2	24.7	2.14	1010
390856	13.85	0.15	3.5	-0.005	4.76	66.2	8.1	0.2	118
390857	20.2	0.06	2.4	0.048	1.42	3.5	25.1	1.31	1020
390866	14.75	0.1	2	0.05	0.82	20.9	27.8	6.66	1180
390867	19.35	0.09	2.2	0.058	1.66	9.8	29	1.44	2560
390868	29.4	0.09	4.2	0.049	1.05	22.4	6.5	1.95	996
391024	23.8	0.12	2.4	0.178	1.29	21.6	10.4	1.28	943
391026	20.2	0.09	3.2	0.01	3.27	18.6	16.8	0.17	116
391501	25.5	0.44	7.6	0.024	1.71	141	8.9	0.55	356
391027	25.4	0.14	3.8	0.021	2.55	28.2	28.2	1.21	364
391028	22.1	0.1	2.5	0.045	1.98	11.6	32.7	2.53	847
391029	6.96	0.05	0.4	0.153	0.25	10.2	4.1	1.47	2790
391031	20.6	0.11	1.8	0.048	1.42	5	26.5	1.47	570
391032	19.95	0.13	3.6	0.045	2.09	30.6	41.5	1.89	916
391036	19.35	0.08	4.8	0.011	1.52	14.8	19.4	0.76	237
391037	23.1	0.09	2.6	0.066	2.03	10.7	25.9	2.09	661
391038	18.3	0.1	2.7	0.073	1.17	23.3	7.5	1.39	1140
391039	20	0.09	4.2	0.032	2.28	27.2	25.7	0.87	272
391040	0.97	-0.05	0.1	-0.005	0.1	0.6	3.7	0.04	58
390858	24.7	0.11	1.2	0.107	1.49	23.4	8.3	1.49	1980
390859	21	0.09	2.5	0.046	1.56	14.4	25.2	1.62	1400
390860	18.25	0.09	1.6	0.03	1.38	19.9	25.1	1.31	1680
390861	20.9	0.07	2.6	0.052	1.11	8.5	20.9	2.17	1410
390862	15.1	0.08	1.2	0.048	1.1	10	27.6	6.15	1280
390863	24.3	0.07	-0.1	-0.005	1.89	2.3	8.3	0.12	93
390870	20.1	0.11	2.2	0.026	2.23	28.3	16.9	1.05	523
390871	18.15	0.12	1.4	0.026	2.75	15.5	19.5	0.95	461
390872	19.15	0.12	2.3	0.017	2.68	29.8	34.9	0.95	382

TagNumber	Ga_ppm	Ge_ppm	Hf_ppm	In_ppm	K_pct	La_ppm	Li_ppm	Mg_pct	Mn_ppm
390873	25.6	0.11	2.1	0.048	1.95	19.3	30	1.81	1160
390874	20.2	0.12	2.2	0.02	2.58	17.9	13.1	0.85	403
390876	20.5	0.07	1.7	0.066	0.89	7.9	12.1	3.78	1360
390877	22.9	0.08	1.5	0.08	0.91	10	6.2	2.33	1220
390878	17.45	0.13	1.2	0.079	0.69	21.4	10	2.88	1280
390879	20.5	0.1	1.4	0.079	0.03	13.7	3.9	1.73	1120
390881	16.2	0.09	3	0.01	2.95	6.6	15.5	0.47	269
390882	19.9	0.12	2.1	0.021	2.71	23.3	15.5	0.81	420
390883	17.85	0.09	2.2	0.045	1.41	11.4	10.5	2.22	1030
390884	18.55	0.11	2.5	0.025	2.48	13.4	16.9	0.79	437
390886	16.75	0.09	0.8	0.008	3.36	2.2	6.1	0.1	97
390951	25.3	-0.05	1.8	0.043	2.36	20	23.9	1.05	752
390952	20.3	-0.05	2.4	0.035	2.38	7.1	41.8	1.41	820
390953	17.9	-0.05	1.1	0.044	1.21	12	29.4	1.39	3220
390954	17.4	-0.05	1.4	0.071	0.39	3.8	18.7	2.28	4670
390956	20.7	-0.05	1.8	0.03	1.46	9.2	18.9	0.82	309
390957	24.2	-0.05	4.2	0.044	2.03	7.6	19.6	1.13	482
390958	21.5	-0.05	1.7	0.042	1.15	7.7	10.3	1.3	868
390959	22.5	-0.05	2.4	0.055	1.19	4.2	21.9	2.07	1300
390961	26.4	0.09	2.8	0.032	2.23	30.5	61.4	1.3	938
390962	18.75	0.06	2.3	0.021	1.56	15.9	13.5	1.38	516
390964	17.7	-0.05	0.5	0.051	1.12	10.2	39.7	1.49	2180
390966	16.15	-0.05	1.2	0.047	0.97	10.6	34.8	1.3	1900
390967	21.7	0.07	3.2	0.058	1.29	37.1	16.7	2.44	1220
390968	23.8	-0.05	3.6	0.025	0.04	14.3	107	3.4	1320
390969	19.15	0.07	2	0.047	1.08	31.6	8.2	2.46	1160
390970	46.5	0.05	2	0.047	1.04	15.1	10.3	0.53	955
390971	17.8	0.07	1.3	0.032	1.33	9.8	26.1	1.56	679
390980	18.3	0.08	1	0.012	1.06	10.1	16	0.66	212
390792	27.2	0.12	2.8	0.062	1.73	41.4	3.1	3.09	1340
390654	16.2	0.1	1.7	0.04	1.11	12.8	39.5	1.04	1780
390657	19.9	0.11	2.6	0.048	1.47	12.7	33.2	1.6	658
390658	21.4	0.15	2.3	0.057	1.84	38.3	33.4	2.12	651
390659	16	0.07	2.4	0.049	1.05	12.7	14.5	4.28	1220
390660	22.7	0.09	3.3	0.012	0.79	10	24.1	0.3	253
390661	20.4	0.11	1.8	0.028	1.91	15.8	40.4	1.74	810
390662	20.6	0.1	1.4	0.039	1.54	10.1	35.6	2.39	997
390663	20.8	0.13	1.2	0.036	1.04	24	19.8	1.02	892
390664	14.75	0.09	2.2	0.044	1.56	5.9	15.5	1.23	2230
390666	20.2	0.1	2.9	0.035	1.44	10.9	31.5	1.52	816
390667	35.1	0.09	1.7	0.144	1.6	22	15.4	2.06	2670
390668	21.9	0.09	2.2	0.032	1.4	22.2	25.2	2.1	971
390669	20.2	0.08	1.8	0.029	1.78	4.4	25.7	1.31	643
390670	16.9	0.1	1.2	0.054	0.24	31.8	2.4	1.64	861
390671	22.5	0.13	4.1	0.089	0.82	41.8	17.8	2.84	1280
390672	23	0.09	2.5	0.076	1.91	9.5	17.2	2.85	1360
390673	17.65	0.05	0.8	0.046	0.05	9.7	35.3	1.88	1790
390674	17.85	0.09	1.9	0.056	1.31	16.3	14.7	2.02	1200
390676	32.9	0.06	1.4	0.084	0.03	27.4	3.5	1.11	827
390678	16.2	0.06	2.1	0.034	2.11	7.7	58.4	1.52	1040
390679	18.95	0.09	3.5	0.045	1.89	30.7	26.6	1.14	906
390751	21.3	0.08	1.3	0.077	0.91	18.4	22.3	2.26	1270
390753	46.9	0.08	1.4	0.05	0.54	31.1	5.9	4.06	1430
390754	21.6	0.09	2.9	0.056	1.35	18.7	18.1	1.86	1040
390756	19.9	0.08	2.3	0.029	1.48	16.3	29.4	0.99	469
390757	21.3	0.08	2.5	0.026	1.76	9.8	28.1	1.26	493
390758	14.75	0.13	7.1	-0.005	4.44	48.1	20.7	0.33	130
390759	20.2	0.07	3.3	0.027	1.55	6.5	45.1	1.3	422
390760	31.4	0.08	1.9	0.045	0.11	39.1	9.7	0.75	772
390761	19.2	0.08	1.9	0.023	1.89	18.6	29.1	0.89	473
390762	15.25	0.07	2.4	0.048	1.71	7.3	38.8	1.39	2680
390766	2.14	-0.05	0.2	0.005	0.18	0.7	7.1	0.17	176
390767	18.6	0.05	2.5	0.046	1.5	4.4	22	1.45	2180
390768	19.45	0.08	2.6	0.033	1.8	16.1	7.5	2.04	778
390769	7.68	0.05	4.3	0.01	0.64	6.5	16.4	0.43	326
390772	18	0.08	2.1	0.043	1.42	15.4	26.4	1.18	1020

TagNumber	Ga_ppm	Ge_ppm	Hf_ppm	In_ppm	K_pct	La_ppm	Li_ppm	Mg_pct	Mn_ppm
390773	21.3	0.13	2.5	0.047	0.95	34.8	15	2.34	1000
390774	21.5	0.07	1.6	0.037	0.95	10.7	25.9	1.81	725
390776	19	0.11	1.8	0.055	1.41	25.8	9.8	3.45	1160
390777	18.65	0.09	1.2	0.104	0.56	17.6	7.3	2.97	1400
390779	17.45	0.09	1.9	0.044	1.47	14.5	14.7	1.72	771
390780	18.55	0.1	2.7	0.072	2.03	24.5	30.8	2.07	620
390781	21.7	0.08	1.1	0.095	1.33	15.5	15.3	3.79	1600
390782	17.6	0.11	3.1	0.037	2.66	27.7	8.1	2.39	1040
390786	19.8	0.08	0.9	0.098	1.12	15.7	20.3	2.54	1260
390787	20.7	0.08	1.9	0.07	1.35	15.8	6.1	2.13	1040
390791	18.3	0.09	0.9	0.09	0.37	23.3	6.6	2.05	1110
390793	13.2	0.05	1	0.019	1.15	1.9	14.4	0.8	847
390794	4.16	-0.05	0.3	-0.005	0.4	0.5	1.9	0.02	60
390796	18.5	0.09	1.2	0.014	2.95	14	8.4	0.59	406
390797	19.3	0.09	2.2	0.064	0.97	10.4	17.4	1.91	1220
390798	17.55	0.06	2.3	0.042	1.12	4	26.2	1.27	1280
390799	29.2	0.09	2.5	0.047	0.86	31.3	28.5	2.58	936
390800	19.35	0.07	1.7	0.005	1.39	4.4	23.3	0.33	144
391001	25.2	0.07	2.6	0.055	1.32	10.5	60.5	1.52	691
391002	1.89	-0.05	31.1	0.006	0.24	1.9	5.9	0.09	72
391004	19.4	0.11	1.6	0.074	0.75	25.7	21.7	4.4	2460
391006	30.2	0.11	3.9	0.056	3.01	7.5	66.6	2.33	750
391007	23.2	0.11	1.9	0.042	0.92	7.2	29.2	1.81	764
391008	20.2	0.1	3.2	0.043	1.9	15.3	45.9	1.88	845
391011	26.2	0.14	5.6	0.061	1.99	25.2	23	1.94	630
391012	22.8	0.1	2.5	0.025	1.58	12.2	16.6	1.06	781
391010	24.5	0.08	2.4	0.021	1.41	6.1	21.7	0.75	329
391013	22.8	0.1	2.1	0.024	1.17	6.6	17.8	1.5	471
391014	5.35	0.06	0.3	0.011	0.25	2.4	5.3	0.07	109
391017	24.6	0.11	1.6	0.039	1.1	11.1	36.5	1.65	618
391018	9.54	0.1	0.4	0.009	0.33	15.3	8.8	0.27	204
391021	18	0.08	3	0.063	1.44	6.7	24.3	0.95	492
391022	24	0.09	1.1	0.062	0.27	14.2	22.5	1.43	5280
391023	17.5	0.07	1.5	0.064	0.41	17.7	9.1	1	1700
391050	7.46	0.06	0.8	-0.005	0.64	5.2	113	1.48	121
391051	16.45	0.12	3.9	0.005	4.53	12	30.8	0.11	83
391052	21.3	0.12	2.4	0.023	2.39	17.2	23.5	0.91	434
391053	20.7	0.13	3.5	0.013	3.24	24.6	30.8	0.54	219
391054	17.95	0.11	2.2	0.077	0.86	14.3	24.5	1.37	866
391056	16.5	0.19	4.7	0.007	4.36	77.6	17.4	0.34	157
391057	21	0.14	3.3	0.035	2	23.6	62.5	1.72	598
391058	3.38	0.07	0.4	-0.005	0.31	2.7	20.1	0.04	69
391061	19.6	0.12	2.9	0.056	1.9	22.4	98.9	1.5	675
391062	20.3	0.16	4.3	0.038	3.05	21.7	22.6	1.38	511
391063	21.1	0.15	2.2	0.032	2.47	14.2	9.2	0.83	412
391066	20.5	0.09	3.9	0.042	1.86	18	46.9	1.99	527
391068	13.95	0.11	0.7	0.006	4.53	8.7	4.4	0.1	99
390651	16.1	0.08	0.9	0.053	0.25	21.7	86.7	1.99	1000
390653	20.8	0.11	2	0.07	1.32	12.7	11.3	1.85	797
390697	19.45	0.13	2	0.02	2.35	17.7	12.5	0.91	358
390680	23.4	0.1	3.1	0.04	1.24	23.4	26.9	2.3	896
390682	19.5	0.07	2.4	0.023	1.44	10	12.6	1.41	555

TagNumber	Ga_ppm	Ge_ppm	Hf_ppm	In_ppm	K_pct	La_ppm	Li_ppm	Mg_pct	Mn_ppm
390683	18	0.08	2.3	0.037	1.54	4.5	17.1	1.48	864
390684	15.4	0.07	2	0.033	0.72	7	13.7	0.87	2290
390687	17.25	0.1	3.1	0.057	1.87	16.5	12.7	1.51	1310
390688	15.95	0.1	1.3	0.029	1.25	23.4	32.7	0.85	251
390689	19.55	0.11	2.2	0.035	2.01	14.2	26.1	1.4	1040
390690	23.3	0.13	2.2	0.058	1.33	47.1	20.9	2.23	1400
390691	16.85	0.11	2.5	0.03	1.49	21.6	8.3	0.98	579
390693	17.6	0.08	4.5	0.036	1.46	10.8	18.5	1.12	425
390696	19	0.1	2.7	0.042	1.88	16.1	47.6	2.08	628
391051	16.45	0.12	3.9	0.005	4.53	12	30.8	0.11	83
391502	18.4	0.06	5.6	-0.005	4.27	22.9	46.5	0.11	114
391503	19.25	0.12	6.1	0.005	3.92	10.8	39.4	0.11	124
391504	19.5	0.19	2.2	0.096	1.16	5.3	14.5	1.47	808
391506	16.8	0.07	5	0.006	4.86	23.6	36.6	0.12	108
391507	21.2	0.53	2.7	0.055	0.95	14.4	68.8	2.12	1830
391508	23.3	-0.05	4	0.021	0.82	4.5	18.5	0.66	330
391509	25.3	0.16	1.2	0.021	1.09	23.2	11.1	0.47	273
391510	20.6	0.54	2.7	0.079	1.04	12.9	19.6	2.76	1320
390869	20.5	0.09	1.5	0.065	0.72	17.3	11.2	3.23	1430
391030	6.76	-0.05	0.8	0.054	0.46	6.5	5.2	0.73	1080
391033	16.85	0.11	3.4	0.025	3.15	19	27.7	0.95	325
391041	23.6	0.06	3.8	0.034	2.32	9.7	44	2.04	573
391044	0.27	-0.05	-0.1	-0.005	0.01	-0.5	9.7	-0.01	85
390973	21.9	0.09	4	0.034	1.74	10.1	46.3	1.41	428
390976	18.2	0.09	3	0.025	1.31	13	32.1	0.94	412
390888	22.2	0.09	4.8	0.033	2.11	23.6	49.2	1.64	498
390891	17.8	0.11	2.4	0.07	1.25	21	9	1.17	811
390853	17.25	0.07	4.7	0.014	1.65	7.9	35.6	1.02	437
390864	12.8	0.07	0.1	-0.005	1.63	1.2	4.2	0.04	93
390880	19.05	0.09	1.4	0.066	1.2	12.1	29.3	3.22	1130
390960	14.9	-0.05	1.3	-0.005	2.91	1.4	4.8	0.12	89
390963	23.9	0.09	3.8	0.064	1.81	27.3	21.1	2.42	1150
390896	16	-0.05	0.6	0.008	0.48	2.5	5.6	0.06	60
390677	22.6	0.08	1.3	0.075	0.2	21.6	16.3	2.34	1320
390752	21.9	0.07	1.4	0.077	0.59	21.1	16.7	2.79	1800
390763	5.38	-0.05	0.7	0.024	0.53	2.9	14.5	0.52	1100
390771	20.4	0.07	2.6	0.04	1.57	8.6	41.8	1.21	880
390770	10.45	0.05	0.8	0.009	0.3	4.4	9.4	0.43	200
390778	14.2	0.09	0.7	0.077	0.25	11.9	55.4	1.6	799
390783	18.6	0.07	1.3	0.104	0.51	15.4	10.4	2.77	1340
390788	19.15	0.08	1	0.079	1.03	20	9.3	2.7	1160
390790	20.1	0.07	2.8	0.019	2.09	6.8	23.5	1.43	808
391003	25.1	0.11	3.9	0.053	2.89	16.4	85.5	2.36	643
391009	3.68	0.05	0.7	0.008	0.31	2.6	11.5	0.3	171
391016	22.9	0.13	3.4	0.031	1	13.7	22	0.77	391
391019	24.8	0.12	2.7	0.046	1.44	14.3	39.8	1.47	594
391059	19.05	0.1	3.1	0.009	2.92	7.5	39.4	0.35	126
391067	11.2	0.06	19.4	-0.005	0.35	7.2	2.8	0.04	74
390652	15.25	0.1	1.3	0.03	1.56	8	12.9	1.58	593
390681	18	0.06	2.2	0.015	0.18	18	12.4	0.91	372
390686	18.25	0.09	2.3	0.067	0.41	14.5	5.8	1.1	2800
390692	19.4	0.16	2.6	0.04	2.79	30.1	12.9	1.49	818
390694	18.15	0.08	2.7	0.03	1.51	15.2	19.2	1.1	419
391034	14	0.09	2.5	0.029	1.8	9.1	21.9	0.72	279
391046	17.4	0.1	4.1	0.007	5.84	25.9	42.4	0.11	157
390656	19.7	0.11	2	0.044	1.29	20.3	42.2	1.12	1100
390764	0.85	-0.05	0.1	-0.005	0.39	-0.5	2.6	0.01	55
390784	16.05	0.08	4.1	0.039	0.75	22	25.8	1.85	681

TagNumber	Ga_ppm	Ge_ppm	Hf_ppm	In_ppm	K_pct	La_ppm	Li_ppm	Mg_pct	Mn_ppm
390789	19.2	0.1	1.2	0.101	0.94	20.2	21.9	3.18	1540
391020	3.26	0.05	0.3	-0.005	0.13	2.5	5.5	0.12	97
391060	21.5	0.14	3.6	0.009	3	24.5	49.2	0.41	188
390893	13.85	0.12	0.6	0.055	0.64	13.8	15.9	1.72	862

TagNumber	Mo_ppm	Na_pct	Nb_ppm	Ni_ppm	P_ppm	Pb_ppm	Rb_ppm	Re_ppm	S_pct
391042	0.28	0.2	0.6	1.6	10	3.8	13.5	-0.002	0.01
391043	0.44	0.37	0.6	1.2	10	4.8	44.6	-0.002	0.01
391047	3.23	2.9	4.4	33	820	8.7	100.5	0.002	0.42
391048	0.85	3.58	3.6	17.3	590	28.7	82.5	-0.002	0.65
391049	1.51	2.57	1.1	1.2	240	26.3	197.5	-0.002	0.01
391511	1.02	2.54	4.6	62.3	630	13.4	55.4	0.002	0.11
391512	1.05	3.09	6.9	9.3	1470	31.8	127.5	-0.002	0.07
391513	1.54	2.73	15.4	68.3	820	14.4	130	-0.002	0.16
391514	1.44	2.99	9.6	90.9	970	8.1	121	-0.002	0.23
391516	1.78	3.16	6.4	69.1	800	31.5	62.8	-0.002	0.09
391517	0.33	4.1	4.7	4.1	820	23.1	73.1	-0.002	0.01
391518	1.28	3.03	5	7.9	760	35.8	127	-0.002	0.02
391519	44.5	3.23	6.2	78	920	17.2	97	0.002	0.5
391520	1.91	2.64	7.2	73.3	800	17.1	145	-0.002	0.04
391521	116	2.11	0.6	1.8	180	25.2	66.4	0.009	0.05
391522	115	0.78	2.6	6.8	30	49.9	11.9	-0.002	0.02
391523	1.57	3.12	20.4	55.4	760	13.8	112.5	-0.002	0.21
391524	0.42	3.32	2.1	1.6	160	29.6	112.5	-0.002	0.01
391526	1.77	2.78	5.1	68.2	830	17.1	135.5	0.003	0.05
390972	30.5	2.2	4.3	65.9	1080	12.4	14.5	0.004	4.82
390974	2.71	1.25	6.4	59.3	430	6.4	41	-0.002	1.07
390977	2.83	2.96	5.1	85.3	900	17.2	126	-0.002	2.35
390978	5.51	2.13	5.2	84.7	440	9.2	32	0.002	4.3
390979	3.66	2.36	5.6	8.3	530	6.7	6.5	-0.002	0.59
390981	0.47	3.06	8	17	680	12	71.1	-0.002	0.01
390982	0.2	0.43	1.7	0.9	20	4.5	14.5	-0.002	0.01
390983	20.4	1.23	1.8	4.1	90	14.2	45.5	-0.002	0.02
390984	1.52	2.63	5.6	40	520	13.1	75.4	-0.002	0.51
390986	1.09	3.01	11.8	79	840	16.1	146.5	-0.002	0.12
390987	0.59	2.25	3.6	74.5	440	6.6	43.6	-0.002	0.22
390988	1.06	2.8	5.4	100.5	840	13.4	94.2	-0.002	0.1
390887	23.8	0.1	0.7	3.8	20	2.5	4.5	-0.002	0.02
390889	3.24	2.97	5.5	48.2	330	20.5	52.7	0.004	1.09
390890	2.6	1.66	4.4	46.5	1080	9.9	80.6	-0.002	7.48
390892	4.26	1.85	2.9	101.5	380	-0.5	40.5	0.003	0.08
390894	5.1	2.46	17.8	65.3	100	21.9	130	-0.002	1.87
390851	0.78	3.19	4.1	30	520	20.2	77	-0.002	0.11
390852	0.46	1.68	5.7	22.9	820	17.7	134.5	-0.002	0.07
390854	0.46	4.19	5.8	21.2	1810	11.8	10.9	-0.002	0.01
390856	0.17	2.33	0.6	3.2	490	27.7	114.5	-0.002	0.01
390857	0.6	2.66	3.7	18.1	800	14.6	55	-0.002	0.12
390866	0.36	1.84	4.3	223	880	5.6	33.4	-0.002	0.04
390867	1.66	2.52	4.4	44.1	470	24.5	71.5	0.002	0.35
390868	0.28	3.6	6.4	60.8	600	17.1	16.9	-0.002	-0.01
391024	8.04	2.99	5.8	101.5	880	20.1	67.8	0.002	5.94
391026	0.25	3.74	3.1	1.6	360	43.1	97	-0.002	0.02
391501	1.42	4.56	2	63.3	270	27.7	61.5	-0.002	0.58
391027	0.68	3.35	7.7	39.8	940	20	100	0.002	0.57
391028	1.17	3.53	4.4	58.3	770	11.8	69	-0.002	0.23
391029	4.38	0.45	3.1	20.4	890	6.5	16.8	-0.002	1.93
391031	0.41	3.65	4.7	24.7	600	17.1	65.3	-0.002	0.05
391032	1.1	2.55	6.4	93	930	14.2	105.5	-0.002	0.05
391036	1.84	3.28	5.7	45.3	530	27.3	101.5	0.002	0.63
391037	2.66	2.77	13.5	12	1690	19.1	117.5	-0.002	0.33
391038	1.57	2.86	5.8	56.9	760	11	72.3	-0.002	2.94
391039	5.17	2.82	7	59.8	750	33.4	99	0.002	2.05
391040	0.56	0.15	0.3	1.7	10	1.6	4.5	-0.002	0.02
390858	0.69	2.39	4.7	86.4	880	12.5	48.6	-0.002	0.07
390859	0.22	2.67	6.5	42.9	760	9.7	82.8	-0.002	0.3
390860	0.58	2.45	4.3	17.8	410	10.1	70.6	-0.002	0.58
390861	0.35	3.34	6.1	17.2	1270	10	22	-0.002	0.03
390862	0.37	1.65	3.2	197	460	7.5	42.2	-0.002	0.08
390863	0.08	4.87	2	2.7	10	9.4	90.2	-0.002	-0.01
390870	0.22	4.11	4.3	12	840	10.5	79.1	-0.002	0.01
390871	0.28	3.46	3.9	10.2	610	24.7	84.1	-0.002	0.01
390872	0.22	3.91	4.1	10.9	770	11.1	89.2	-0.002	-0.01

TagNumber	Mo_ppm	Na_pct	Nb_ppm	Ni_ppm	P_ppm	Pb_ppm	Rb_ppm	Re_ppm	S_pct
390873	0.13	2.31	13.9	35.9	2380	9.9	48.6	-0.002	0.1
390874	0.21	3.7	4	10.8	760	14.8	73.2	-0.002	-0.01
390876	0.43	2.41	2.7	124.5	600	16.3	20.7	-0.002	0.46
390877	3.36	3.23	7.7	93	670	8.6	38.3	-0.002	0.24
390878	2.18	2.25	2.7	203	730	9.8	27	0.005	7.56
390879	2.01	0.09	1.9	156	670	13.9	0.7	-0.002	0.47
390881	0.22	3.02	2.2	6.9	410	15.8	67.7	-0.002	0.01
390882	0.21	3.59	4	11.5	720	19.3	88.8	-0.002	0.01
390883	4.33	3.18	4.2	61.5	720	10.1	57.8	-0.002	0.21
390884	0.18	3.42	3.4	10	690	16.5	66.6	-0.002	0.01
390886	0.15	2.86	1.2	1.1	130	26.2	133	-0.002	0.01
390951	0.99	3.15	3.3	34.5	880	8.5	92.2	-0.002	0.44
390952	2.15	1.98	4.2	59.3	750	6.7	72	-0.002	0.11
390953	0.64	1.69	3.3	46.7	340	9.9	36.7	-0.002	3.63
390954	4.83	2.25	2.3	39.7	260	15	11.6	0.003	1.2
390956	0.83	3.49	3.2	18.4	670	16.7	85.6	-0.002	0.75
390957	2.52	3.28	4.9	56.1	790	16.5	81.1	-0.002	3.5
390958	9.3	3.54	3.6	17.3	490	38.7	51.1	0.002	0.5
390959	0.54	2.84	4.1	65.6	460	8.2	49.6	-0.002	0.31
390961	0.4	3.3	5.5	30.6	270	12.2	89	-0.002	0.29
390962	0.84	3.25	2.9	35.5	950	6.6	81	-0.002	0.43
390964	16.25	1.51	3.5	26.6	280	11.7	55.5	0.003	0.85
390966	7.66	1.61	4.2	59.7	280	13.5	49.5	0.004	2.32
390967	0.68	2.84	5.9	55.9	1730	8.5	24.6	-0.002	0.02
390968	6.61	0.23	7.2	60.4	1040	8	2.2	0.002	0.6
390969	0.43	2.91	4.4	158	1170	7	26	-0.002	0.01
390970	0.42	0.35	2.8	26.4	430	19	18	-0.002	0.24
390971	18.95	2.51	6.2	85.1	670	8.1	75.6	0.002	2.98
390980	0.56	2.18	7.4	15.3	380	10.3	59.6	-0.002	0.1
390792	0.15	2.56	7.6	54.8	1090	12.3	57.4	-0.002	0.02
390654	3.61	2.03	3.6	37.7	420	8.1	45.1	0.003	1.41
390657	0.39	3.53	5.4	49.5	640	16.1	53.5	-0.002	0.13
390658	0.66	3.6	5.6	25.4	2180	14.5	163	-0.002	0.69
390659	0.12	2.53	5.8	104	500	4.1	35.8	-0.002	0.1
390660	0.66	4.59	2.2	41.9	390	18.6	40	-0.002	1.07
390661	0.96	2.91	4.6	33.5	480	8.1	69.1	-0.002	0.54
390662	0.74	3.14	3.4	42.9	1320	13.8	32.1	-0.002	0.41
390663	3.17	3.63	4.3	31.7	440	7.8	39.6	-0.002	0.42
390664	0.72	2.44	2.7	25.9	470	11.1	76.1	-0.002	1
390666	1.85	3.46	6	17.7	1050	8.2	64.2	-0.002	0.69
390667	0.31	2.17	3.9	192.5	2760	8.6	36.8	-0.002	0.42
390668	1.38	3.3	5.1	43.7	1220	9.2	49.4	0.002	0.22
390669	0.62	3.07	4.7	13.4	960	11.3	77	-0.002	0.77
390670	16.4	0.81	3.1	236	580	20.6	5.6	0.004	10
390671	2.85	2.52	9.5	113.5	2070	9.3	35	-0.002	1.92
390672	1.46	2.89	5.3	39.5	920	8.8	44.2	-0.002	0.72
390673	11.55	1.51	3.6	46.9	220	12.7	2.5	0.004	3.28
390674	4.86	2.21	5.1	182	670	10.8	54.1	-0.002	3.4
390676	2.52	0.26	4	112.5	650	18.9	0.6	-0.002	0.79
390678	3.62	1.65	6.1	30	430	7.4	189.5	-0.002	0.66
390679	0.43	2.7	13.7	29.6	660	11.6	122.5	-0.002	0.06
390751	1.2	2.15	2.6	207	940	8.2	45.9	-0.002	2.77
390753	0.5	0.69	6.2	188.5	940	15.3	16.4	-0.002	0.01
390754	0.34	3.04	8.5	24.2	1050	9.3	44.9	-0.002	0.01
390756	0.85	3.18	3.7	22.2	730	14.8	69.6	-0.002	0.62
390757	1.31	3.48	4.1	19.2	620	9.9	76.2	0.002	0.53
390758	0.13	2.37	1.3	3.9	440	15.4	154	-0.002	0.01
390759	1.53	3.31	4.8	42.4	610	13	86.8	-0.002	0.22
390760	0.17	2.39	3.2	15.5	600	17.7	2.3	-0.002	0.01
390761	0.21	3.54	3.3	10.6	800	12.4	58.4	-0.002	-0.01
390762	1.82	1.94	4	40.5	450	13.3	93.7	0.003	1.28
390766	3.67	0.11	1	3.6	-10	1	12.2	0.002	0.09
390767	1.15	2.42	3.9	28.3	540	9	60.4	-0.002	0.54
390768	0.2	3.56	4	28.1	810	11.4	37.5	-0.002	0.01
390769	0.64	1.27	1.8	16.7	250	9.4	34.1	-0.002	0.38
390772	5.01	2.67	4.1	35.9	480	16	54.3	0.003	0.58

TagNumber	Mo_ppm	Na_pct	Nb_ppm	Ni_ppm	P_ppm	Pb_ppm	Rb_ppm	Re_ppm	S_pct
390773	4.19	3.83	5.4	93.8	1620	11.2	27.4	0.003	1.78
390774	1.64	2.92	4.3	14.2	870	14.9	25	-0.002	1.16
390776	0.42	3.17	4.6	57.3	1080	12.9	24.6	-0.002	0.03
390777	3.68	1.82	2.6	165	660	10.9	15	-0.002	4.66
390779	0.38	3.38	3.7	29	820	22.3	46.9	-0.002	0.21
390780	4.88	2.98	4.4	23.3	910	13.4	88.2	0.002	2.77
390781	1.32	2.89	2.6	129.5	770	9.4	51	-0.002	1.23
390782	37.4	2.98	5.2	52.6	1540	22	98.4	0.006	1.58
390786	7.4	2.42	2.9	145.5	1240	11.1	54	0.004	4.59
390787	1.35	3.08	7.9	50.8	510	7.5	69.3	-0.002	0.48
390791	14.5	2.23	2.7	141.5	750	181.5	15.9	0.003	6.9
390793	0.65	1.4	3.9	27.7	310	7.2	65.5	-0.002	1.19
390794	0.27	1.33	0.1	5.3	20	4.9	24.2	-0.002	0.03
390796	0.15	3.01	2.2	7.7	550	13.1	79.1	-0.002	0.02
390797	2.35	2.96	4.1	32	910	12.3	28.6	-0.002	0.32
390798	0.97	2.57	6.3	33.6	430	7.4	95.2	-0.002	0.78
390799	0.36	3.86	6.9	116.5	560	8.2	15.8	-0.002	0.01
390800	0.11	4.45	1.5	7.3	190	13.2	41.1	-0.002	0.01
391001	0.21	3.79	6	39.4	670	18.9	66.1	-0.002	0.08
391002	6.39	0.11	2.1	3.8	10	48.8	11.7	-0.002	0.03
391004	2.34	1.82	4.5	432	1530	10.6	69.1	-0.002	0.6
391006	1.67	3.68	22.5	83.9	1080	29.7	206	-0.002	0.06
391007	0.3	3.9	3.6	29.2	620	16.7	29.4	-0.002	0.05
391008	1.85	2.63	5.7	71.8	650	10.3	68.7	-0.002	0.47
391011	2.6	3.49	8.4	46.4	1130	13.5	109.5	-0.002	2.42
391012	0.47	2.24	7.3	25.7	660	10.7	76.7	-0.002	0.06
391010	0.64	3.63	7.3	19.8	270	23.8	69.8	-0.002	0.16
391013	1.17	3.59	4.3	29.6	480	11.9	46.1	-0.002	0.13
391014	0.63	0.56	0.5	1.6	290	2.6	16	-0.002	0.02
391017	0.35	4.19	3.2	29.9	660	9.4	19.1	-0.002	0.04
391018	0.44	1.29	1.4	7.6	850	5.5	20.4	-0.002	0.01
391021	10.75	2.39	3.8	104.5	380	8.1	129	-0.002	4.35
391022	2.82	1.16	5.1	57.7	590	6.4	23.8	-0.002	2.44
391023	1.55	2.08	4.3	14.6	630	6.7	27.5	-0.002	1.67
391050	1.26	0.52	0.5	4.3	50	2.9	38.6	-0.002	0.01
391051	0.79	2.65	0.8	1	90	36.4	212	-0.002	-0.01
391052	0.44	3.46	5.7	17.3	530	16.9	95.2	-0.002	0.01
391053	0.33	3.44	3.8	4.9	660	26.9	115.5	-0.002	0.02
391054	0.79	2.33	3.8	49.5	560	10.6	58.9	-0.002	0.12
391056	0.24	2.52	2.8	7.1	400	29.9	131	-0.002	0.01
391057	2.38	3.43	5.6	49.9	1160	19.6	118.5	-0.002	0.23
391058	0.85	0.58	0.5	1.9	110	3.7	13.3	-0.002	0.07
391061	44.5	1.91	3.3	29.7	450	112	196.5	0.002	0.66
391062	0.21	3.57	5.1	24.4	990	8.5	145.5	-0.002	0.01
391063	0.66	3.85	7.3	7.9	790	28.7	60.2	0.002	0.01
391066	1.42	2.13	5.7	47.9	580	20.2	72.1	0.002	0.07
391068	22	1.62	3.5	1.3	80	32.3	140	-0.002	0.01
390651	9.8	0.89	2.6	428	650	28.1	5.8	0.003	10
390653	2.43	3.53	3.5	20.6	790	8	49.8	-0.002	0.92
390697	0.58	3.54	4	9.8	590	18.2	56.2	-0.002	0.12
390680	2.03	4.12	16.5	42.7	2860	2.3	37.2	0.067	1.23
390682	0.4	3.82	4.3	31.3	700	9	49.8	-0.002	0.07

TagNumber	Mo_ppm	Na_pct	Nb_ppm	Ni_ppm	P_ppm	Pb_ppm	Rb_ppm	Re_ppm	S_pct
390683	1.34	3.17	3	28.6	740	8.4	68.3	-0.002	0.21
390684	1.34	2.68	5.4	27.6	160	22.7	28	-0.002	0.55
390687	0.49	2.72	5.9	18.8	820	5.9	101.5	-0.002	0.4
390688	25.6	3.43	1	49.5	160	11.5	57.3	0.007	4.15
390689	0.36	2.39	4.1	41.1	800	8.1	91.1	-0.002	0.49
390690	0.74	3.18	7.3	27.1	1240	9.2	25	-0.002	0.18
390691	2.1	2.88	4	56.6	710	22.8	68.9	0.003	1.97
390693	9.51	3.11	3.5	99.2	680	24.5	95.5	0.002	4
390696	1.44	3.41	6.9	91.5	920	25.4	153	-0.002	0.14
391051	0.79	2.65	0.8	1	90	36.4	212	-0.002	-0.01
391502	0.59	2.9	4.5	1.9	170	25.7	162.5	-0.002	0.01
391503	0.61	3.01	9.6	1.8	100	25.9	171.5	-0.002	0.01
391504	0.64	2.42	3.3	14.8	480	9.2	38	-0.002	0.3
391506	0.82	2.52	4.2	1.9	190	47.9	199	-0.002	0.02
391507	0.63	2.55	5	28.8	720	9	34.1	-0.002	0.39
391508	0.65	3.31	43.3	7.5	200	22.6	103	-0.002	0.1
391509	0.42	3.92	18.8	8.5	90	51.5	53	-0.002	0.05
391510	0.5	2.4	6.7	42.3	780	3.9	47.8	-0.002	0.12
390869	3.09	2.36	5.4	116.5	540	8.2	22.4	-0.002	1.57
391030	0.81	0.37	2.3	10.2	300	4.6	41.4	-0.002	0.46
391033	7.81	2.13	4.9	91.8	590	24.6	118.5	0.004	5.03
391041	4.19	3.38	9.2	60.4	670	19.7	150.5	0.002	0.54
391044	0.31	0.02	-0.1	1.1	10	0.5	0.4	0.002	-0.01
390973	5.8	3.29	13.4	45.9	570	18.1	138.5	0.002	0.53
390976	2.17	2.99	5.2	53.1	690	30.7	85.7	-0.002	1.26
390888	1.18	2.91	13.4	50.7	160	17.6	131	-0.002	0.1
390891	6.75	2.49	7.3	58.6	680	13.1	80.2	-0.002	5.73
390853	0.38	2.66	3.1	36.1	200	9	80.8	-0.002	0.01
390864	0.16	2.35	0.6	1.7	20	14.1	62.7	-0.002	-0.01
390880	3.1	2.45	3.8	111.5	810	7.2	60.1	-0.002	2.86
390960	0.48	2.51	1.4	2.5	30	34.8	86.9	-0.002	0.04
390963	2.39	2.78	8.2	46.5	1910	13.3	28.1	-0.002	0.16
390896	10000	3.45	0.8	2.9	20	42.4	15.1	2.23	1.36
390677	0.89	1.3	2.5	158	800	9.4	9.8	-0.002	0.82
390752	2.21	1.93	3	83.1	780	106.5	24.2	-0.002	1.76
390763	0.66	0.59	1.2	16.2	160	4.6	29.4	-0.002	0.66
390771	0.47	2.86	4.2	28.8	880	10.1	62.9	-0.002	0.31
390770	0.65	1.72	1.1	3.5	230	15.2	13.1	-0.002	0.27
390778	11.05	0.75	1.9	386	540	12.2	8.8	0.002	10
390783	20.4	3.35	5.5	151	670	6.1	15.9	0.008	3.1
390788	0.99	3.18	2.7	114	810	8.2	58.4	-0.002	2.49
390790	0.41	3.33	8.4	30.4	730	16.5	81.9	-0.002	0.39
391003	1.52	3.3	17.2	53.8	450	23.9	209	-0.002	0.11
391009	0.46	0.56	0.9	8.9	50	3.6	13	-0.002	0.03
391016	2.1	4.27	5.7	17.2	900	17.1	47.7	0.003	0.27
391019	0.59	3.77	4.8	28.4	840	15.8	72.8	-0.002	0.06
391059	0.3	3.06	4.8	2.9	650	24.6	94.1	-0.002	0.01
391067	3.48	2.33	0.3	1.5	60	18.4	11.7	-0.002	0.01
390652	88.8	4.45	2.5	46.9	600	20.6	54.7	0.011	0.77
390681	0.44	4.64	12	17.8	2020	1.2	6.8	-0.002	0.05
390686	0.72	1.95	3.7	44.7	800	8	16.5	-0.002	1.05
390692	1.46	2.77	5	80.9	910	19.5	110	-0.002	1.94
390694	8.82	3.07	4.3	129.5	630	16.8	102	0.002	5.49
391034	4.68	2.04	3.6	159.5	480	14.5	85.9	0.002	8.39
391046	0.44	2.12	5	1.3	250	44.3	261	-0.002	0.01
390656	1.2	3.05	4.1	35.4	590	21.8	43.7	0.002	0.66
390764	0.2	0.08	0.1	1	-10	2.8	11.4	-0.002	0.01
390784	37.6	1.9	5.7	166	1290	11.8	41.8	0.015	5.22

TagNumber	Mo_ppm	Na_pct	Nb_ppm	Ni_ppm	P_ppm	Pb_ppm	Rb_ppm	Re_ppm	S_pct
390789	2.59	2.15	3.3	177.5	800	10.7	21.6	-0.002	4.06
391020	0.36	0.61	0.2	7.3	350	3.1	5.7	-0.002	-0.01
391060	0.23	3.14	2.8	4.4	500	25.1	103.5	0.002	0.01
390893	18.2	1.55	1.9	289	760	9.7	31.5	0.002	10

TagNumber	Sb_ppm	Sc_ppm	Se_ppm	Sn_ppm	Sr_ppm	Ta_ppm	Te_ppm	Th_ppm	Ti_pct
391042	0.05	0.2	1	-0.2	26.1	0.21	-0.05	0.92	0.006
391043	-0.05	0.1	1	-0.2	24.9	0.09	-0.05	0.82	0.008
391047	-0.05	15.5	1	0.8	386	0.28	-0.05	6.15	0.422
391048	0.05	7.2	1	0.5	563	0.27	0.08	4.1	0.236
391049	-0.05	0.4	1	-0.2	240	0.05	-0.05	33.5	0.062
391511	0.68	11.3	1	0.7	678	0.31	-0.05	5.41	0.245
391512	-0.05	13.1	-1	1.3	564	0.28	-0.05	25.3	0.171
391513	-0.05	11.6	-1	2.3	600	1.18	-0.05	6.15	0.318
391514	-0.05	12.8	1	2.2	695	0.66	0.06	6.39	0.372
391516	-0.05	12.5	-1	1.2	651	0.46	0.06	13.3	0.297
391517	-0.05	2.9	-1	0.8	956	0.3	-0.05	5.28	0.209
391518	-0.05	4.6	-1	0.8	988	0.48	-0.05	8.75	0.182
391519	-0.05	13.6	-1	0.9	717	0.45	0.1	9.19	0.326
391520	-0.05	12.4	-1	1.3	537	0.72	0.05	7.88	0.302
391521	-0.05	1.7	-1	0.2	547	-0.05	-0.05	1.61	0.028
391522	-0.05	1.3	-1	-0.2	133	0.23	-0.05	152	0.044
391523	0.05	10.9	-1	3.2	603	4.89	-0.05	10.45	0.32
391524	-0.05	0.2	-1	0.5	794	0.32	-0.05	4.09	0.065
391526	0.15	11.5	-1	0.8	431	0.37	-0.05	5.31	0.286
390972	-0.05	7.8	1	0.9	333	0.37	0.23	4.8	0.162
390974	-0.05	24.4	1	1.4	170.5	0.48	0.07	2.92	0.355
390977	-0.05	13.3	1	0.5	454	0.32	0.09	5.68	0.335
390978	-0.05	20.6	1	2.3	244	0.32	0.11	2.38	0.371
390979	-0.05	5.3	1	0.8	215	0.43	-0.05	2.14	0.223
390981	-0.05	10	-1	5	632	2.01	-0.05	3.34	0.257
390982	-0.05	0.4	-1	0.2	38.5	0.25	-0.05	7.63	0.016
390983	-0.05	1.2	-1	-0.2	237	0.11	-0.05	2.45	0.069
390984	-0.05	12.5	-1	0.5	497	0.34	0.05	4.04	0.298
390986	-0.05	15.4	-1	0.6	298	0.7	-0.05	6.86	0.352
390987	-0.05	46.5	1	1	258	0.24	-0.05	0.93	0.81
390988	-0.05	13.5	-1	1.1	402	0.44	-0.05	5.94	0.323
390887	-0.05	0.5	-1	-0.2	8.9	0.06	-0.05	1.23	0.022
390889	-0.05	14.5	1	0.5	316	0.58	0.15	6.04	0.419
390890	-0.05	8.2	1	1.2	266	0.35	0.11	4.82	0.21
390892	-0.05	38.8	1	0.6	130.5	0.18	-0.05	0.37	0.721
390894	-0.05	12.8	1	0.5	337	1.51	0.17	15.1	0.403
390851	0.08	8.4	-1	0.6	649	0.25	-0.05	0.82	0.359
390852	-0.05	16.3	4	1.2	658	0.26	0.81	9.94	0.45
390854	-0.05	13	-1	1.3	980	0.26	-0.05	3.11	0.428
390856	0.06	0.3	-1	-0.2	793	-0.05	-0.05	30.5	0.081
390857	-0.05	19.4	-1	0.9	559	0.27	-0.05	5.08	0.375
390866	-0.05	27	-1	0.7	557	0.24	-0.05	2.37	0.428
390867	-0.05	29.9	1	0.9	351	0.31	0.08	1.69	0.576
390868	-0.05	17.7	1	1.1	1205	0.36	-0.05	5.39	0.356
391024	0.08	16.4	1	1.8	406	0.33	0.32	5.4	0.318
391026	0.07	1.5	-1	0.4	963	0.14	-0.05	6.99	0.115
391501	-0.05	7.8	-1	0.5	808	0.17	0.08	41.9	0.094
391027	-0.05	5.9	-1	1.7	782	0.9	0.09	10.3	0.288
391028	-0.05	16.7	1	1	725	0.38	-0.05	2.55	0.343
391029	-0.05	2.9	1	1.3	70	0.46	0.33	1.38	0.033
391031	0.07	10.2	-1	1.3	648	0.48	-0.05	2.79	0.298
391032	0.07	14.5	-1	0.7	460	0.39	-0.05	5.13	0.357
391036	-0.05	7.2	1	0.3	338	0.57	0.08	19.7	0.211
391037	-0.05	18.9	-1	1.1	360	0.95	-0.05	7.53	0.25
391038	-0.05	12.2	1	2.1	441	0.48	0.07	5.75	0.283
391039	-0.05	10.2	1	0.3	319	0.61	0.09	19.35	0.272
391040	-0.05	0.2	-1	-0.2	18.9	-0.05	-0.05	0.39	0.011
390858	0.08	24.7	-1	1.1	546	0.28	-0.05	3.56	0.45
390859	-0.05	22.8	-1	1.2	510	0.31	0.07	3.45	0.487
390860	-0.05	21.9	1	0.6	432	0.2	0.05	7.33	0.47
390861	-0.05	13.3	-1	1.1	749	0.26	-0.05	3.42	0.42
390862	-0.05	34.7	-1	0.5	442	0.26	-0.05	1.69	0.431
390863	-0.05	0.6	-1	-0.2	675	0.46	-0.05	0.91	0.026
390870	-0.05	6	-1	1	652	0.23	-0.05	4.74	0.242
390871	-0.05	6.2	-1	0.9	689	0.17	-0.05	2.8	0.221
390872	-0.05	4.8	-1	0.7	628	0.22	-0.05	5.3	0.213

TagNumber	Sb_ppm	Sc_ppm	Se_ppm	Sn_ppm	Sr_ppm	Ta_ppm	Te_ppm	Th_ppm	Ti_pct
390873	-0.05	13.8	-1	0.7	869	0.8	-0.05	1.93	1.205
390874	-0.05	4.9	-1	0.8	800	0.18	-0.05	5.01	0.205
390876	0.08	23.1	-1	1.1	446	0.18	0.06	0.71	0.896
390877	-0.05	24	-1	1.8	517	0.55	0.31	2.61	0.782
390878	0.12	27.2	1	1	418	0.17	0.83	2.29	0.915
390879	0.78	19.7	1	0.9	859	0.11	0.29	1.72	0.719
390881	-0.05	2.7	-1	0.5	756	0.12	-0.05	0.68	0.195
390882	-0.05	4.9	-1	0.8	800	0.21	-0.05	7.7	0.206
390883	-0.05	18.1	-1	1	500	0.22	0.13	5.88	0.382
390884	-0.05	5.4	-1	0.9	693	0.18	-0.05	6.45	0.2
390886	-0.05	0.7	-1	0.4	216	0.05	-0.05	11.25	0.028
390951	-0.05	12.5	1	0.9	701	0.13	0.05	3.13	0.381
390952	-0.05	18.4	-1	0.8	432	0.2	-0.05	3.03	0.43
390953	-0.05	25.5	1	0.8	340	0.19	-0.05	1.88	0.415
390954	-0.05	41.7	1	1	235	0.26	0.27	0.26	0.505
390956	0.05	6.6	1	0.6	788	0.16	0.08	4.36	0.242
390957	-0.05	15.5	1	0.8	360	0.31	0.13	4.96	0.401
390958	-0.05	13.5	1	0.8	708	0.26	-0.05	3.11	0.189
390959	-0.05	21.8	1	1.1	483	0.23	-0.05	3.43	0.444
390961	0.05	19.3	-1	0.9	573	0.22	0.05	6.33	0.652
390962	-0.05	9.9	1	0.5	647	0.23	0.15	4.29	0.333
390964	-0.05	23.5	-1	0.7	223	0.18	0.1	1.67	0.47
390966	-0.05	21.4	2	0.9	219	0.23	0.3	1.63	0.552
390967	-0.05	19	1	1.2	938	0.31	-0.05	8.96	0.49
390968	-0.05	24.8	1	0.6	48.1	0.48	0.62	3.41	0.618
390969	-0.05	23.3	-1	0.9	603	0.21	-0.05	4.5	0.406
390970	-0.05	15.8	1	1	3310	0.2	-0.05	2.37	0.501
390971	-0.05	6.5	1	0.7	333	0.31	0.37	1.17	0.529
390980	-0.05	4.5	-1	0.9	451	0.94	-0.05	1.35	0.144
390792	-0.05	25.1	-1	1.7	1330	1.43	-0.05	8.99	0.335
390654	0.05	16.1	1	0.7	306	0.25	0.2	1.77	0.346
390657	-0.05	11.8	-1	1.2	493	0.5	-0.05	4.93	0.287
390658	-0.05	16.7	1	1.6	789	0.38	-0.05	5.67	0.446
390659	0.05	35	1	0.5	220	0.37	-0.05	2.82	0.535
390660	-0.05	1.2	-1	0.9	751	0.13	0.09	13.55	0.161
390661	-0.05	14.9	1	0.8	553	0.3	-0.05	4.79	0.431
390662	-0.05	20.1	1	0.6	665	0.14	0.09	0.56	0.502
390663	-0.05	13	1	0.8	570	0.15	0.06	3.23	0.455
390664	-0.05	14.6	1	0.6	339	0.19	0.09	1.9	0.308
390666	-0.05	11	1	1	664	0.3	0.18	6.89	0.394
390667	-0.05	33.2	1	2.3	588	0.22	0.05	3.11	0.412
390668	0.06	15.5	1	0.8	627	0.19	-0.05	3.15	0.503
390669	-0.05	9	1	0.6	763	0.16	0.25	4.69	0.38
390670	0.05	14.5	1	1	1270	0.25	1.25	3.02	0.545
390671	-0.05	25.8	1	2.2	1035	0.49	0.17	14.45	0.553
390672	-0.05	21.1	1	1.3	538	0.41	0.19	1.19	0.524
390673	-0.05	31.4	3	0.8	72.3	0.17	1.73	1.5	0.485
390674	0.1	19.3	1	0.9	420	0.55	0.25	3.69	0.646
390676	0.14	18.2	1	1.1	2150	0.33	0.27	4.96	0.734
390678	0.06	21.4	1	1.7	288	0.36	0.06	2.48	0.457
390679	-0.05	14.6	-1	1.3	511	0.59	0.06	8.7	0.378
390751	0.06	28	1	1	489	0.14	0.49	2.4	0.975
390753	0.12	36.8	1	0.6	1790	0.24	-0.05	4.05	0.441
390754	-0.05	16.1	-1	1.2	595	0.56	-0.05	7.21	0.385
390756	0.07	9.2	1	0.7	825	0.19	0.07	3.87	0.289
390757	-0.05	9	1	0.8	816	0.23	0.06	3.37	0.282
390758	-0.05	0.5	-1	0.2	816	0.05	-0.05	32	0.154
390759	-0.05	14.8	1	0.8	602	0.29	-0.05	3.86	0.349
390760	-0.05	10.5	-1	1	839	0.24	-0.05	17.9	0.167
390761	-0.05	5.3	1	0.8	680	0.15	-0.05	5.32	0.219
390762	-0.05	25	1	0.7	209	0.24	0.16	1.63	0.472
390766	-0.05	1.4	-1	-0.2	16	0.05	-0.05	1.39	0.064
390767	-0.05	29.6	1	0.7	360	0.25	0.09	1.81	0.548
390768	-0.05	10.2	-1	0.7	669	0.2	-0.05	2.45	0.29
390769	-0.05	3.1	1	0.2	218	0.09	0.05	47.7	0.134
390772	-0.05	17.8	-1	0.7	486	0.28	0.06	2.54	0.449

TagNumber	Sb_ppm	Sc_ppm	Se_ppm	Sn_ppm	Sr_ppm	Ta_ppm	Te_ppm	Th_ppm	Ti_pct
390773	-0.05	22.1	-1	1	915	0.29	0.11	8.57	0.461
390774	-0.05	15.1	1	0.9	703	0.28	0.09	3.64	0.32
390776	0.07	20	-1	0.7	518	0.22	-0.05	3.09	0.389
390777	0.05	26.9	-1	1.9	913	0.15	0.62	2.2	0.866
390779	-0.05	10.4	-1	0.6	748	0.22	0.08	3.66	0.317
390780	-0.05	14.5	2	0.9	560	0.25	0.4	5.78	0.397
390781	0.09	27.2	-1	0.9	421	0.19	0.22	3.18	0.831
390782	-0.05	15.8	-1	1	1030	0.3	0.16	3.73	0.498
390786	0.05	29.4	1	1.6	336	0.16	1.2	2.46	0.977
390787	-0.05	19.7	-1	1.7	393	0.62	0.14	7.03	0.555
390791	-0.05	24.1	2	1.6	993	0.15	0.63	2.59	0.796
390793	-0.05	7.7	1	0.4	217	0.16	0.13	2.71	0.24
390794	-0.05	0.1	-1	-0.2	134.5	-0.05	-0.05	0.46	0.005
390796	-0.05	3.3	-1	0.4	1105	0.1	-0.05	2.74	0.159
390797	-0.05	17.5	1	0.9	757	0.21	0.09	4.13	0.44
390798	-0.05	22.5	1	1.6	361	0.46	0.13	3.67	0.428
390799	-0.05	21.8	-1	1.5	771	0.51	-0.05	6.51	0.485
390800	-0.05	0.9	-1	0.3	985	0.06	-0.05	0.25	0.12
391001	-0.05	11.3	-1	4.1	793	0.63	-0.05	11.6	0.295
391002	-0.05	1.4	1	-0.2	17.1	0.25	-0.05	59.7	0.04
391004	-0.05	29.5	1	2.1	252	0.32	0.06	4.43	0.389
391006	0.07	18.6	-1	1	554	1.26	-0.05	5.29	0.54
391007	-0.05	12.1	-1	1.6	1100	0.3	-0.05	2.68	0.316
391008	-0.05	17.2	-1	0.8	315	0.5	0.05	3.08	0.401
391011	-0.05	13	1	0.8	261	1.11	0.13	13.35	0.36
391012	-0.05	8.6	-1	0.4	515	1.88	-0.05	2.87	0.28
391010	-0.05	5.7	-1	1.1	631	0.49	-0.05	5.5	0.162
391013	-0.05	8.9	-1	0.8	635	0.36	-0.05	4.76	0.241
391014	-0.05	1	1	0.3	122.5	-0.05	-0.05	0.85	0.021
391017	-0.05	10.7	-1	0.8	814	0.19	-0.05	1.4	0.314
391018	-0.05	2.5	1	0.4	378	0.07	-0.05	0.78	0.064
391021	0.09	9.7	1	0.6	446	0.31	0.08	4.87	0.232
391022	0.07	22.3	1	1.4	104	0.34	0.17	1.4	0.512
391023	-0.05	9.6	1	1.6	697	0.23	0.1	1.81	0.456
391050	0.05	0.2	1	-0.2	9.9	-0.05	-0.05	4.19	0.035
391051	-0.05	0.2	-1	-0.2	346	-0.05	-0.05	31	0.041
391052	-0.05	6.5	1	0.8	525	0.48	-0.05	9.81	0.186
391053	-0.05	2.7	1	0.8	827	0.18	-0.05	6.31	0.185
391054	-0.05	13.1	1	1.9	568	0.37	0.05	5.34	0.198
391056	-0.05	1.9	1	0.5	551	0.19	-0.05	38.4	0.107
391057	-0.05	13.3	1	0.8	537	0.39	-0.05	4.32	0.401
391058	-0.05	0.3	1	-0.2	97.6	-0.05	-0.05	1.45	0.011
391061	-0.05	11.4	1	3.8	170.5	0.43	0.16	7.05	0.277
391062	-0.05	8.6	1	2.2	612	0.31	-0.05	4.8	0.289
391063	-0.05	6.1	-1	1.6	703	0.87	-0.05	7.02	0.207
391066	0.05	15.7	1	0.7	314	0.43	-0.05	4.7	0.388
391068	-0.05	1	1	0.3	261	0.27	-0.05	11.85	0.054
390651	0.05	20.7	1	1.8	415	0.15	0.82	2.7	0.701
390653	0.06	13.7	1	0.8	984	0.2	0.18	2.92	0.301
390697	-0.05	5.3	-1	0.9	566	0.17	-0.05	3.46	0.216
390680	-0.05	18.4	2	0.8	102	0.9	-0.05	2.38	1.41
390682	-0.05	6.7	-1	0.6	691	0.46	-0.05	3.75	0.28

TagNumber	Sb_ppm	Sc_ppm	Se_ppm	Sn_ppm	Sr_ppm	Ta_ppm	Te_ppm	Th_ppm	Ti_pct
390683	0.05	14.6	-1	0.5	665	0.17	0.07	2.43	0.366
390684	-0.05	24.7	1	0.3	324	0.42	0.09	2.57	0.419
390687	-0.05	12.7	-1	0.9	623	0.36	0.06	6.65	0.329
390688	-0.05	11.1	2	0.3	476	0.09	0.17	4.6	0.242
390689	-0.05	11.8	-1	0.8	574	0.19	0.07	3.69	0.405
390690	-0.05	22.8	-1	1.4	665	0.44	-0.05	18.6	0.442
390691	-0.05	10.2	-1	0.5	602	0.36	0.07	7.08	0.261
390693	-0.05	7.9	-1	0.6	532	0.41	0.31	5.24	0.241
390696	0.07	13.5	-1	1.2	595	0.67	0.06	6.39	0.322
391051	-0.05	0.2	-1	-0.2	346	-0.05	-0.05	31	0.041
391502	-0.05	0.3	-1	0.3	264	0.82	-0.05	31.1	0.072
391503	-0.05	0.4	-1	0.6	242	1.77	-0.05	14.45	0.111
391504	0.12	8.5	-1	0.7	525	0.22	0.19	2.58	0.245
391506	0.09	0.3	-1	0.3	363	0.79	-0.05	33.4	0.08
391507	-0.05	12.3	-1	1.5	490	0.33	-0.05	4.76	0.389
391508	-0.05	5.8	1	1.4	365	3.66	-0.05	5.21	0.141
391509	-0.05	4.2	-1	1.2	226	1.05	-0.05	16.4	0.129
391510	0.14	30.9	-1	0.7	378	0.4	-0.05	0.92	0.846
390869	-0.05	23.8	1	1.5	705	0.42	0.37	3.57	0.746
391030	-0.05	2.6	-1	1.1	41.5	0.25	-0.05	2.73	0.052
391033	-0.05	9.4	2	0.3	311	0.42	0.14	7.19	0.238
391041	-0.05	15.8	1	1	478	0.75	0.05	4.77	0.428
391044	-0.05	-0.1	-1	-0.2	1.2	-0.05	-0.05	0.04	-0.005
390973	-0.05	10.4	1	0.7	420	1.09	0.05	7.12	0.366
390976	-0.05	8.4	1	0.4	494	0.8	0.07	14.2	0.271
390888	-0.05	11.2	1	0.4	405	1.01	0.05	18.9	0.387
390891	-0.05	8.9	-1	1.1	355	0.72	0.13	5.47	0.228
390853	-0.05	2	1	0.4	595	0.1	0.18	1.83	0.389
390864	0.06	0.3	-1	0.3	408	0.11	-0.05	0.15	0.017
390880	-0.05	22.4	-1	1.3	281	0.36	0.31	3.16	0.973
390960	-0.05	0.8	1	0.2	432	0.24	-0.05	22.7	0.041
390963	-0.05	21.8	-1	1.3	940	0.54	0.19	9.93	0.577
390896	-0.05	0.4	3	-0.2	407	0.07	0.32	10.6	0.02
390677	0.24	23.9	1	1	1405	0.13	0.27	2.3	0.918
390752	0.1	25.4	1	0.9	816	0.17	0.84	3.58	0.889
390763	-0.05	7.7	1	0.3	60.6	0.06	0.09	0.48	0.135
390771	-0.05	15.8	1	0.7	600	0.23	0.05	3.4	0.422
390770	-0.05	3.7	-1	0.2	395	0.14	-0.05	4.34	0.074
390778	-0.05	18.8	-1	1.3	169	0.1	0.88	1.79	0.604
390783	-0.05	25.4	4	1.9	238	0.38	0.96	2.43	0.708
390788	0.1	26	1	0.9	606	0.14	0.42	2.9	0.834
390790	-0.05	14.7	-1	0.5	558	1.51	0.06	6.71	0.34
391003	-0.05	19.2	-1	0.8	404	1.1	-0.05	6.76	0.51
391009	-0.05	2.8	-1	0.2	60.8	0.07	-0.05	0.59	0.066
391016	-0.05	10.4	-1	0.9	592	0.52	0.08	6.92	0.295
391019	-0.05	12.4	-1	1.3	1080	0.28	-0.05	3.63	0.342
391059	-0.05	2.6	1	0.3	627	0.21	-0.05	0.46	0.093
391067	-0.05	0.4	1	0.2	252	-0.05	-0.05	25.5	0.009
390652	-0.05	8.7	-1	0.6	380	0.16	0.1	0.45	0.276
390681	-0.05	9.9	-1	0.6	47	0.68	-0.05	1.94	1.055
390686	-0.05	19.5	1	1	280	0.25	0.12	2.5	0.48
390692	-0.05	13.5	-1	0.4	601	0.35	0.07	7.69	0.337
390694	-0.05	11.5	1	0.5	438	0.35	0.47	5	0.309
391034	-0.05	8.6	2	0.3	236	0.3	0.17	3.81	0.209
391046	0.08	1	1	0.6	188.5	0.74	-0.05	38.7	0.053
390656	0.09	16.7	1	0.8	522	0.23	0.09	2.95	0.444
390764	-0.05	0.1	1	-0.2	22.1	-0.05	-0.05	0.44	0.006
390784	-0.05	11.1	2	1.3	357	0.29	0.6	41.1	0.417

TagNumber	Sb_ppm	Sc_ppm	Se_ppm	Sn_ppm	Sr_ppm	Ta_ppm	Te_ppm	Th_ppm	Ti_pct
390789	0.05	30.6	1	1.7	531	0.19	0.44	2.66	1.04
391020	-0.05	0.5	-1	-0.2	143.5	-0.05	-0.05	0.67	0.012
391060	-0.05	2.6	1	0.5	975	0.18	-0.05	3.7	0.195
390893	-0.05	17.2	-1	1.3	179	0.11	1.23	1.7	0.632

TagNumber	Tl_ppm	U_ppm	V_ppm	W_ppm	Y_ppm	Zn_ppm	Zr_ppm
391042	0.07	0.2	1	0.1	0.8	6	4.3
391043	0.25	0.2	1	0.1	0.1	3	7.3
391047	0.7	1.6	145	0.6	9.4	63	104
391048	0.37	1.1	76	0.4	6.5	54	71.7
391049	1.12	4.7	8	0.3	0.9	23	185.5
391511	0.36	0.9	81	1.1	11.6	66	101.5
391512	0.81	1.1	42	0.1	20	46	347
391513	0.82	0.9	97	0.6	9.5	73	126
391514	0.72	1.4	118	0.6	10.2	64	131.5
391516	0.32	6.6	94	8.6	11.9	74	111.5
391517	0.48	0.9	31	0.3	3	42	134
391518	0.9	1	31	0.1	4.2	37	147
391519	0.6	1.6	107	0.4	10.7	72	115.5
391520	1.06	1.4	93	0.5	9.9	68	129
391521	0.41	0.4	4	0.1	2.1	10	44.4
391522	0.1	32.8	10	0.4	4.3	12	500
391523	0.77	3	94	0.9	9.9	74	147.5
391524	0.62	0.9	10	0.1	1.9	16	86.8
391526	1.22	0.9	92	2.2	10.4	73	104.5
390972	0.15	3.4	45	0.9	13.8	50	69.6
390974	0.22	0.8	129	0.5	22.8	159	131
390977	0.84	1.3	108	0.3	13.2	107	103.5
390978	0.21	1.5	117	0.7	16.9	99	49.5
390979	0.06	0.9	35	0.7	8.1	57	138.5
390981	0.65	1.1	83	0.1	11.3	75	61.1
390982	0.1	1.5	1	0.2	1.3	4	26.8
390983	0.26	2.6	12	0.1	0.7	10	82.3
390984	0.71	1.4	93	0.4	9.5	70	93.3
390986	1.1	2.9	107	0.3	11.9	96	115.5
390987	0.2	0.6	300	0.2	27.1	145	63.9
390988	0.66	0.9	101	0.2	11.8	76	111
390887	0.02	3	5	0.1	1.6	3	436
390889	0.46	1.6	124	0.2	5.7	63	134
390890	0.94	3.5	38	2.6	18.6	57	67.7
390892	0.15	0.1	254	0.2	25.2	109	19.8
390894	1.22	4.6	111	0.5	4	99	114.5
390851	0.54	0.3	144	0.2	1.9	111	91.8
390852	0.68	0.9	133	0.2	15.7	135	32.7
390854	0.23	0.4	132	0.2	13.8	119	39
390856	0.61	0.4	23	0.1	1.9	53	141
390857	0.46	0.7	126	0.2	14.7	79	83.6
390866	0.25	0.8	175	0.2	12.5	80	73.5
390867	0.54	0.8	214	0.3	17.1	116	75.7
390868	0.2	1.5	154	0.1	10.1	88	98.1
391024	0.38	2.4	103	2.2	16.6	64	82.7
391026	0.53	1	11	0.1	3.2	49	113.5
391501	0.46	1.5	35	0.1	8.9	42	173
391027	0.52	1.2	77	0.6	5.1	69	136
391028	0.46	0.7	121	0.4	11	95	89.1
391029	0.15	0.9	18	0.2	11.6	103	13.8
391031	0.66	1	95	0.3	10.1	70	56.4
391032	0.97	1.4	111	0.6	11.1	89	136.5
391036	0.53	20.5	62	0.3	6.3	40	153.5
391037	0.78	5.8	106	0.4	19.9	78	83.7
391038	0.38	2.7	81	2.1	15.6	52	95.7
391039	0.59	11.7	83	0.3	8	39	141
391040	0.03	0.1	3	0.1	0.1	2	2.9
390858	0.38	1.5	184	0.2	16.9	80	40.5
390859	0.59	0.7	184	0.3	8.5	110	94.1
390860	0.53	0.4	147	0.1	12.6	70	62.5
390861	0.39	0.4	159	0.1	12.1	107	103
390862	0.44	0.4	231	0.2	12.8	83	38.6
390863	0.46	0.1	8	0.1	1.3	9	-0.5
390870	0.43	0.5	56	0.1	7.6	58	74.7
390871	0.46	1.4	53	0.1	9.6	53	46.1
390872	0.41	0.3	47	-0.1	6.7	53	78.5

TagNumber	Tl_ppm	U_ppm	V_ppm	W_ppm	Y_ppm	Zn_ppm	Zr_ppm
390873	0.4	0.4	110	0.2	14.2	104	88.3
390874	0.4	0.3	47	-0.1	6.4	53	69.5
390876	0.18	0.3	186	0.3	16	179	51.4
390877	0.21	0.8	169	0.5	13.3	102	31.1
390878	0.17	0.6	221	0.3	19.7	150	20.1
390879	-0.02	0.4	181	0.5	14.8	89	35.5
390881	0.36	0.6	40	0.1	3.2	32	82
390882	0.52	0.4	50	0.1	4.5	52	70.4
390883	0.42	1.3	137	0.2	11.6	75	77.1
390884	0.35	0.5	42	-0.1	6.2	47	78.5
390886	0.73	1.8	3	0.1	1.6	15	16.9
390951	0.65	0.4	142	0.2	6.3	93	59.5
390952	0.52	0.5	155	0.1	7.9	78	83.7
390953	0.37	0.5	160	0.1	20.1	100	37.5
390954	0.07	0.3	273	0.3	19.6	106	45.8
390956	0.57	0.4	61	0.1	4.2	102	61.9
390957	0.57	1.1	139	0.6	5.2	67	147.5
390958	0.33	1	83	0.1	10.2	68	48.2
390959	0.43	0.6	196	0.2	11.9	96	85.5
390961	0.6	0.7	215	0.1	4.9	93	96.5
390962	0.43	0.7	86	0.2	5.3	58	81.7
390964	0.55	0.2	174	-0.1	17.3	90	19.4
390966	0.47	0.3	170	0.6	15.2	107	39.4
390967	0.27	1.6	176	0.3	17.1	94	114
390968	-0.02	0.6	88	0.5	16.6	119	122
390969	0.24	1.5	164	0.2	14	79	71
390970	0.21	0.6	163	0.5	13.4	27	65.1
390971	0.45	1.3	113	0.4	4.5	89	42.8
390980	0.37	0.8	41	0.2	2.3	37	32.5
390792	0.37	1.3	250	0.1	17	103	99.2
390654	0.33	0.7	126	0.2	14.7	114	64.6
390657	0.55	2.1	92	0.2	13.4	77	99.3
390658	1.12	0.6	130	0.1	12.5	119	104
390659	0.13	0.5	252	0.2	19.6	74	95.9
390660	0.27	0.8	65	0.2	1.8	47	122.5
390661	0.56	0.5	142	0.2	5.6	95	67
390662	0.4	0.3	188	0.3	11.8	119	58.2
390663	0.32	0.5	155	0.1	6.3	86	44.9
390664	0.38	0.6	112	0.1	13.3	89	78.7
390666	0.35	1.5	131	0.2	8.6	86	116.5
390667	0.49	1.7	289	0.1	16.3	130	65.4
390668	0.27	0.4	151	0.1	10.2	108	71.8
390669	0.49	0.2	127	-0.1	4.6	75	62.5
390670	0.03	2	124	0.4	14.8	70	26.2
390671	0.22	0.8	193	0.3	30.2	133	130.5
390672	0.43	0.9	188	0.2	15.7	353	71.5
390673	0.02	0.2	126	0.3	18.1	146	28.1
390674	0.26	3	161	0.4	16.6	120	52.6
390676	-0.02	2.2	228	0.4	11.6	81	31.3
390678	1.06	1	153	0.2	2.5	131	66.3
390679	0.71	1.2	107	0.2	14.9	135	112
390751	0.24	0.6	232	0.3	16.3	118	22.8
390753	0.11	0.8	316	0.2	15.4	117	40.7
390754	0.41	2.2	144	0.3	15	109	86.6
390756	0.45	0.4	91	0.1	5.7	95	71.7
390757	0.5	0.6	88	0.1	7.9	60	77.7
390758	0.71	0.5	31	-0.1	1.9	27	250
390759	0.47	0.7	116	0.3	5.9	85	108.5
390760	0.04	0.7	181	0.2	8.7	39	53.1
390761	0.35	0.3	53	0.1	5.4	64	62.5
390762	0.6	0.5	169	0.2	18.6	128	79.4
390766	0.07	0.1	20	0.1	0.1	11	6.8
390767	0.44	0.4	204	0.1	21	74	78.4
390768	0.3	0.4	96	0.1	8.2	76	86.2
390769	0.18	0.8	35	0.1	2.5	32	143
390772	0.48	0.7	155	0.2	9.6	87	74.9

TagNumber	Tl_ppm	U_ppm	V_ppm	W_ppm	Y_ppm	Zn_ppm	Zr_ppm
390773	0.24	1.3	171	0.2	15.6	89	97
390774	0.26	1.4	102	0.2	9.5	64	59.2
390776	0.23	0.6	152	0.1	13.2	125	63.8
390777	0.1	0.5	206	0.3	17.4	144	21.6
390779	0.42	0.6	105	0.2	7.7	90	74.2
390780	0.65	1.1	159	0.3	6.6	52	104
390781	0.3	0.9	242	0.2	15.9	180	20
390782	0.63	1.4	156	0.4	6.8	110	131
390786	0.29	0.6	236	0.4	14	128	17.6
390787	0.37	0.8	145	0.3	23.8	110	51.7
390791	0.11	0.9	169	0.5	18.3	329	19.8
390793	0.35	0.3	95	0.2	2	70	35.3
390794	0.12	0.2	3	-0.1	0.3	5	4.3
390796	0.55	0.2	49	0.1	4.3	34	40.8
390797	0.25	1.2	143	0.1	15.6	82	79.6
390798	0.51	1.1	148	0.2	7.8	110	72.3
390799	0.2	1.1	159	0.4	11.2	101	79.1
390800	0.3	0.3	21	-0.1	1.2	25	61.4
391001	0.61	0.7	79	0.3	14.9	77	84.6
391002	0.08	61.7	11	0.3	5.1	6	500
391004	0.42	2	170	1.7	17	89	49.1
391006	1.87	3.4	146	0.6	9.6	167	139.5
391007	0.29	0.8	104	0.3	11.1	78	64.4
391008	0.88	1	122	0.7	14.6	84	123.5
391011	0.72	5.9	114	1.1	13.8	56	201
391012	0.98	1.1	64	0.2	11.9	34	81.4
391010	0.45	1.3	45	0.2	3.3	62	61.9
391013	0.34	1.9	71	0.4	5.1	52	71
391014	0.09	0.3	12	0.2	2.7	5	10.6
391017	0.19	0.3	96	0.1	9	70	52.7
391018	0.12	0.9	21	1	3.8	16	11.3
391021	0.84	1.1	71	0.8	7.2	60	106
391022	0.15	0.8	178	1	24.2	99	23.5
391023	0.22	0.6	77	2.5	8.2	109	49.1
391050	0.14	0.5	7	0.1	0.3	17	22.5
391051	1.3	3.2	6	0.2	0.7	11	117.5
391052	0.54	1.4	50	0.1	5	56	71.4
391053	0.63	0.4	29	-0.1	3.9	46	133
391054	0.3	1.5	79	10.9	13.7	46	78.7
391056	0.69	0.9	19	0.1	3.7	29	170.5
391057	1.32	1	118	0.9	11.9	75	127
391058	0.07	0.1	2	0.1	1.1	2	12.9
391061	1.07	2.3	107	2.4	3.8	75	105.5
391062	0.83	0.5	59	0.1	10.9	76	162
391063	0.3	1.7	47	0.1	7.7	53	70.8
391066	0.86	1.2	120	0.7	5.4	130	138.5
391068	1.33	0.3	6	0.2	1.6	13	20
390651	0.05	1.3	162	0.9	15	132	18.3
390653	0.29	0.8	101	0.4	7.8	70	80.7
390697	0.32	0.3	50	0.1	6.9	45	70.3
390680	0.26	0.4	137	0.2	17.3	113	114.5
390682	0.43	1.2	69	0.1	5.8	59	72.6

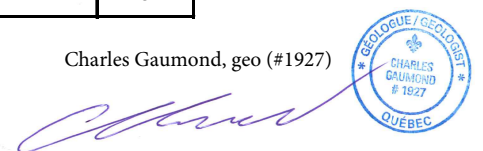
TagNumber	Tl_ppm	U_ppm	V_ppm	W_ppm	Y_ppm	Zn_ppm	Zr_ppm
390683	0.46	0.6	125	0.3	9.8	66	85.5
390684	0.2	0.3	126	0.1	25.3	57	60.3
390687	0.62	0.8	129	0.1	13.1	83	102
390688	0.34	0.3	158	0.6	4.2	47	49.1
390689	0.64	0.6	114	0.1	9.2	101	79.3
390690	0.3	0.6	203	0.1	23.8	108	68.2
390691	0.49	1.9	83	0.3	9	52	86.4
390693	0.65	17.2	84	0.2	6.2	70	154
390696	1.04	1.8	101	0.3	12.1	102	90.6
391051	1.3	3.2	6	0.2	0.7	11	117.5
391502	0.94	3.1	7	0.3	3.5	19	157
391503	0.99	3	7	0.2	5.1	18	182
391504	0.28	0.7	68	0.3	7.6	57	76.9
391506	1.17	6.2	11	0.5	4.2	55	148.5
391507	0.24	1	115	0.2	12.8	99	93.5
391508	0.69	4.5	41	0.4	9.6	44	70
391509	0.32	6.3	25	0.2	5.7	44	27.4
391510	0.2	0.2	251	0.4	26.7	74	90.2
390869	0.13	2.2	196	0.4	16.5	185	33.3
391030	0.32	1.5	18	0.2	7.4	33	26.5
391033	1.23	1.6	69	0.6	7.4	56	117
391041	1.27	0.9	127	0.4	5.6	95	135.5
391044	-0.02	0.2	-1	0.1	0.1	-2	-0.5
390973	1.11	3.3	107	0.8	5.5	93	146
390976	0.64	11.4	81	0.2	8.7	101	106.5
390888	0.97	1.8	98	0.3	2.6	87	147
390891	0.85	2.4	65	0.9	10.3	56	91.3
390853	0.4	0.7	119	0.1	0.9	97	188
390864	0.31	0.1	10	0.1	0.4	6	4.1
390880	0.35	1.6	183	6	15	138	27.1
390960	0.45	1.3	9	0.1	0.6	11	35.6
390963	0.48	2.5	205	0.2	15.2	97	136
390896	0.1	1.6	15	1.2	0.4	43	13.1
390677	0.04	0.4	230	0.3	19.4	99	24.2
390752	0.13	1.1	220	0.4	16.5	361	25.3
390763	0.18	0.2	62	0.1	6.9	44	20.8
390771	0.44	0.7	137	0.1	9	73	79.4
390770	0.07	1	23	0.1	2.1	17	22.8
390778	0.1	0.4	146	0.2	11.4	94	12.1
390783	0.1	1.4	287	0.3	5.4	110	38.7
390788	0.31	0.7	202	0.4	18	125	18.3
390790	0.6	2	105	0.2	7.4	76	89.9
391003	1.83	10.2	138	0.8	5.9	124	140
391009	0.12	0.4	22	0.1	3	15	24.3
391016	0.3	2.3	98	0.4	8.1	39	121
391019	0.68	1.5	98	0.4	11.2	75	92.8
391059	0.55	0.4	18	0.1	5	21	114
391067	0.08	6	1	0.1	2.8	9	471
390652	0.31	0.4	79	0.4	4.9	69	46.4
390681	0.04	0.5	116	0.4	14.2	46	82.5
390686	0.11	0.8	170	0.3	22.8	92	77.2
390692	0.74	1.1	104	0.3	9.9	81	91.9
390694	0.74	1.2	93	0.2	7.5	76	94.4
391034	0.94	0.9	65	0.4	6.3	50	86.2
391046	1.71	4.9	5	0.3	3.3	66	113.5
390656	0.39	0.8	147	0.2	10.6	124	74.5
390764	0.05	0.1	2	-0.1	0.1	2	1.3
390784	0.21	1.6	159	0.3	8.2	83	165

TagNumber	Tl_ppm	U_ppm	V_ppm	W_ppm	Y_ppm	Zn_ppm	Zr_ppm
390789	0.22	1	235	0.2	21.4	170	26.3
391020	0.03	0.4	4	12	1.7	3	7.9
391060	0.61	0.5	23	0.1	3.1	42	134.5
390893	0.21	0.4	147	0.3	12.5	87	10.9

Appendix 5 : Channels location and description

HOLE_NUMBER	From	To	Rock Type	Texture_Type_1	Texture_Type_2	Colour_1	Colour_2	Hardness
EJV2018TR001-G1	0	1	Paragneiss	Gneissic	Equigranular	Medium Grey		2
EJV2018TR001-R1	0	16.4	Paragneiss	Gneissic	Equigranular	Medium Grey		2
EJV2018TR001-R2	0	1.4	Paragneiss	Homogeneous	Equigranular	Medium Grey		2
EJV2018TR002-G1	0	0.45	Paragneiss	Equigranular	Gneissic	Medium Grey		2
EJV2018TR002-G1	0.45	0.9	Gabbro	Foliated	Homogeneous	Green		2
EJV2018TR003-G1	0	0.5	Diorite	Gneissic	Foliated	Medium Grey		2
EJV2018TR003-G2	0	0.4	Diorite	Foliated	Gneissic	Medium Grey		2
EJV2018TR003-G2	0.4	1	Gabbro	Foliated		Green		2
EJV2018TR003-R1	0	4.55	Diorite	Gneissic	Foliated	Medium Grey	Green	2
EJV2018TR003-R2	0	2.2	Diorite	Foliated	Gneissic	Medium Grey		2
EJV2018TR003-R2	2.2	3	Diorite	Foliated	Gneissic	Medium Grey	Green	2
EJV2018TR003-R3	0	4.9	Diorite	Gneissic	Homogeneous	Grey		2
EJV2018TR003-R3	4.9	6.1	Diorite	Foliated	Homogeneous	Grey		2
EJV2018TR003-R3	6.1	6.4	Gabbro	Foliated	Homogeneous	Green	Brown	2
EJV2018TR003-R3	6.4	7	Diorite	Gneissic	Homogeneous	Grey		2
EJV2018TR003-R3	7	8	Diorite	Massive		White	Grey	3
EJV2018TR004-G1	0	0.4	Diorite	Foliated	Heterogeneous	Grey		2
EJV2018TR004-G2	0	0.4	Diorite	Foliated	Homogeneous	Grey		2
EJV2018TR004-G2	0.4	0.9	Diorite	Foliated	Homogeneous	Grey		2
EJV2018TR004-G3	0	0.5	Diorite	Foliated	Homogeneous	Grey		2
EJV2018TR004-R1	0	3.5	Diorite	Foliated	Homogeneous	Grey		2
EJV2018TR004-R2	0	4.5	Diorite	Gneissic	Homogeneous	Grey		2
EJV2018TR004-R3	0	4	Diorite	Foliated	Homogeneous	Grey		2
EJV2018TR005-G1	0	0.8	Diorite	Homogeneous	Foliated	Green		2
EJV2018TR005-R1	0	1.1	Diorite	Homogeneous	Foliated	Grey		2
EJV2018TR005-R1	1.1	3.1	Granodiorite	Foliated	Porphyritic	Grey		2
EJV2018TR005-R1	3.1	5.4	Diorite	Homogeneous	Foliated	Grey		2
EJV2018TR005-R2	0	3.3	Diorite	Homogeneous	Foliated	Green		2
EJV2018TR005-R3	0	2	Diorite	Homogeneous	Foliated	Green		2
EJV2018TR006-G1	0	0.5	Diorite	Homogeneous	Foliated	Grey		2
EJV2018TR006-G2	0	0.7	Pegmatitic felsic intrusive	Homogeneous		Green	Pink	3
EJV2018TR006-G3	0	0.5	Pegmatitic felsic intrusive	Homogeneous	Pegmatitic	Green	Pink	3
EJV2018TR006-R1	0	2	Diorite	Homogeneous	Foliated	Grey		2
EJV2018TR006-R2	0	3.2	Diorite	Foliated	Homogeneous	Grey		2
EJV2018TR006-R3	0	5	Diorite	Foliated	Homogeneous	Grey		2
EJV2018TR006-R4	0	3	Diorite	Gneissic		Green		2
EJV2018TR006-R5	0	0.5	Diorite	Gneissic		Green		2
EJV2018TR006-R5	0.5	2.2	Granite	Massive		Pink		3

Charles Gaumond, geo (#1927)



HOLE_NUMBER	From	To	Rock Type	Texture_Type_1	Texture_Type_2	Colour_1	Colour_2	Hardness
EJV2018TR006-R6	0	3	Diorite	Gneissic		Green		2
EJV2018TR006-R7	0	1.5	Diorite	Homogeneous	Foliated	Grey		2
EJV2018TR007-G1	0	0.3	Granodiorite	Brecciated		Purple		3
EJV2018TR007-G2	0	0.3	Granodiorite	Equigranular		Dark Green		2
EJV2018TR007-G3	0	0.3	Granodiorite	Equigranular		Dark Green		2
EJV2018TR007-G4	0	0.3	Granodiorite	Equigranular		Dark Green		2
EJV2018TR007-R1	0	3	Granodiorite	Brecciated		Purple	Dark Green	3
EJV2018TR007-R1	3	14.3	Granodiorite	Brecciated		Dark Green		2
EJV2018TR007-R2	0	2.8	Granodiorite	Brecciated		Dark Green	Pink	2
EJV2018TR007-R3	0	2	Granodiorite	Brecciated		Dark Green		2
EJV2018TR008-G1	0	0.3	Granodiorite	Equigranular		Dark Green		2
EJV2018TR008-R1	0	4	Granodiorite	Brecciated		Purple	Light Green	3
EJV2018TR008-R1	4	6	Granodiorite	Equigranular		Dark Green		3
EJV2018TR008-R2	0	1	Granodiorite	Equigranular		Dark Green		2
EJV2018TR008-R3	0	4.7	Granodiorite	Equigranular		Dark Green		2

HOLE_NUMBER	Grain_Size	Magnetism	Contact_Angle	Lower_Contact	Mineral_1	Mineral_1_Pct	Mineral_2
EJV2018TR001-G1	Fine Grained (<1mm)	0			Feldspath	55	Quartz
EJV2018TR001-R1	Fine Grained (<1mm)	1			Feldspath	45	Quartz
EJV2018TR001-R2	Fine Grained (<1mm)	1			Feldspath	55	Quartz
EJV2018TR002-G1	Fine Grained (<1mm)	1	50	Sharp	Feldspath	55	Quartz
EJV2018TR002-G1	Fine Grained (<1mm)	0			Amphibole	45	Feldspath
EJV2018TR003-G1	Fine Grained (<1mm)	1			Feldspath	55	Amphibole
EJV2018TR003-G2	Fine Grained (<1mm)	1	36	Irregular	Plagioclase	55	Amphibole
EJV2018TR003-G2	Medium Grained (1-5mm)	0			Amphibole	55	Plagioclase
EJV2018TR003-R1	Fine Grained (<1mm)	1			Feldspath	60	Amphibole
EJV2018TR003-R2	Fine Grained (<1mm)	1			Feldspath	55	Amphibole
EJV2018TR003-R2	Medium Grained (1-5mm)	0			Amphibole	42	Plagioclase
EJV2018TR003-R3	Fine Grained (<1mm)	2			Plagioclase	50	Amphibole
EJV2018TR003-R3	Medium Grained (1-5mm)	0	37	Irregular	Plagioclase	60	Actinote
EJV2018TR003-R3	Medium Grained (1-5mm)	0	40	Irregular	Amphibole	55	Feldspath
EJV2018TR003-R3	Medium Grained (1-5mm)	3			Feldspath	60	Amphibole
EJV2018TR003-R3	Coarse Grained (>5mm)	1			Feldspath		Quartz
EJV2018TR004-G1	Fine Grained (<1mm)	1			Plagioclase	61	Amphibole
EJV2018TR004-G2	Fine Grained (<1mm)	1			Plagioclase	55	Chlorite
EJV2018TR004-G2	Fine Grained (<1mm)	1					
EJV2018TR004-G3	Fine Grained (<1mm)	1					
EJV2018TR004-R1	Fine Grained (<1mm)	1			Plagioclase	55	Amphibole
EJV2018TR004-R2	Fine Grained (<1mm)	1			Feldspath	50	Amphibole
EJV2018TR004-R3	Fine Grained (<1mm)	1					
EJV2018TR005-G1	Medium Grained (1-5mm)	1			Plagioclase	50	Amphibole
EJV2018TR005-R1	Fine Grained (<1mm)	1					
EJV2018TR005-R1	Medium Grained (1-5mm)	1			Plagioclase	60	Quartz
EJV2018TR005-R1	Medium Grained (1-5mm)	1					
EJV2018TR005-R2	Medium Grained (1-5mm)	1			Plagioclase	46	Amphibole
EJV2018TR005-R3	Medium Grained (1-5mm)	1			Grunerite	55	Amphibole
EJV2018TR006-G1	Medium Grained (1-5mm)	2			Plagioclase	50	Amphibole
EJV2018TR006-G2	Coarse Grained (>5mm)	1					
EJV2018TR006-G3	Coarse Grained (>5mm)	1					
EJV2018TR006-R1	Medium Grained (1-5mm)	1			Plagioclase	60	Amphibole
EJV2018TR006-R2	Medium Grained (1-5mm)	1			Plagioclase	53	Amphibole
EJV2018TR006-R3	Medium Grained (1-5mm)	3			Plagioclase	50	Amphibole
EJV2018TR006-R4	Medium Grained (1-5mm)	2					
EJV2018TR006-R5	Fine Grained (<1mm)	0					
EJV2018TR006-R5	Medium Grained (1-5mm)	0					

HOLE_NUMBER	Grain_Size	Magnetism	Contact_Angle	Lower_Contact	Mineral_1	Mineral_1_Pct	Mineral_2
EJV2018TR006-R6	Medium Grained (1-5mm)	2					
EJV2018TR006-R7	Medium Grained (1-5mm)	2			Plagioclase	55	Amphibole
EJV2018TR007-G1	Aphanitic	0					
EJV2018TR007-G2	Fine Grained (<1mm)	2					
EJV2018TR007-G3	Fine Grained (<1mm)	2					
EJV2018TR007-G4	Fine Grained (<1mm)	2					
EJV2018TR007-R1	Aphanitic	0					
EJV2018TR007-R1	Fine Grained (<1mm)	0					
EJV2018TR007-R2	Fine Grained (<1mm)	3					
EJV2018TR007-R3	Fine Grained (<1mm)	0					
EJV2018TR008-G1	Fine Grained (<1mm)	3					
EJV2018TR008-R1	Aphanitic	0					
EJV2018TR008-R1	Fine Grained (<1mm)	2					
EJV2018TR008-R2	Fine Grained (<1mm)	3					
EJV2018TR008-R3	Fine Grained (<1mm)	3					

HOLE_NUMBER	Mineral_2_Pct	Mineral_3	Mineral_3_Pct
EJV2018TR001-G1	25	Biotite	20
EJV2018TR001-R1	25	Biotite	20
EJV2018TR001-R2	25	Biotite	20
EJV2018TR002-G1	20	Biotite	20
EJV2018TR002-G1	1	Quartz	
EJV2018TR003-G1	30	Quartz	7
EJV2018TR003-G2	30	Quartz	7
EJV2018TR003-G2	30	Chlorite	8
EJV2018TR003-R1	30	Biotite	3
EJV2018TR003-R2	30	Quartz	7
EJV2018TR003-R2	50	Quartz	7
EJV2018TR003-R3	30	Quartz	7
EJV2018TR003-R3	30	Quartz	7
EJV2018TR003-R3	30	Biotite	3
EJV2018TR003-R3	30	Quartz	7
EJV2018TR003-R3		Amphibole	
EJV2018TR004-G1	25	Chlorite	10
EJV2018TR004-G2	15	Amphibole	20
EJV2018TR004-G2			
EJV2018TR004-G3			
EJV2018TR004-R1	20	Quartz	7
EJV2018TR004-R2	30	Quartz	7
EJV2018TR004-R3			
EJV2018TR005-G1	30	Chlorite	15
EJV2018TR005-R1			
EJV2018TR005-R1	25	Amphibole	5
EJV2018TR005-R1			
EJV2018TR005-R2	35	Clinopyroxene	15
EJV2018TR005-R3	25	Quartz	8
EJV2018TR006-G1	25	Chlorite	15
EJV2018TR006-G2			
EJV2018TR006-G3			
EJV2018TR006-R1	20	Quartz	5
EJV2018TR006-R2	20	Quartz	7
EJV2018TR006-R3	25	Clinopyroxene	15
EJV2018TR006-R4			
EJV2018TR006-R5			
EJV2018TR006-R5			

HOLE_NUMBER	Mineral_2_Pct	Mineral_3	Mineral_3_Pct
EJV2018TR006-R6			
EJV2018TR006-R7	25	Chlorite	15
EJV2018TR007-G1			
EJV2018TR007-G2			
EJV2018TR007-G3			
EJV2018TR007-G4			
EJV2018TR007-R1			
EJV2018TR007-R1			
EJV2018TR007-R2			
EJV2018TR007-R3			
EJV2018TR008-G1			
EJV2018TR008-R1			
EJV2018TR008-R1			
EJV2018TR008-R2			
EJV2018TR008-R3			

HOLE_NUMBER	Comments
EJV2018TR001-G1	Roche metasedimentaire de type wacke a biotite et grenat. La roche est foliee a gneissique caracterisee par l'alternance de bandes a grains fins mafiques a BO-GR-FP-QZ et de bandes a grains fins plus felsiques a FP-QZ+/-BO+/-GR. Presence de 10 a 15% grenat rose 0,1-2mm avec localement des portions a 15%. En general, la biotite varie entre 15 et 25%. Le grenat est souvent associe aux bandes riches en biotite. Bandes felsiques parfois discontinues.
EJV2018TR001-R1	Roche metasedimentaire de type wacke a biotite et grenat. La roche est foliee a gneissique caracterisee par l'alternance de bandes a grains fins mafiques a BO-GR-FP-QZ et de bandes a grains fins plus felsiques a FP-QZ+/-BO+/-GR. On observe aussi la presence de bandes plus grossieres blanchetres a QZ-FP+/-BO (injections?-mobilisat?). Ces bandes sont souvent //FO, parfois irregulieres et discontinues. Ceratines portions contiennent des fragements ovoïdes silicifies(?) ou riche en QZ+/-FP+/-CB. Presence de 5 a 10% grenat rose 0,1-2mm avec localement des portions a 15%. En general, la biotite varie entre 15 et 25%. Le grenat est souvent associe aux bandes riches en biotite.
EJV2018TR001-R2	Roche metasedimentaire de type wacke a biotite et grenat. La roche est foliee a gneissique caracterisee par l'alternance de bandes a grains fins mafiques a BO-GR-FP-QZ et de bandes a grains fins plus felsiques a FP-QZ+/-BO+/-GR. On observe aussi la presence de bandes plus grossieres blanchetres a QZ-FP+/-BO (injections?-mobilisat?). Ces bandes sont souvent //FO, parfois irregulieres et discontinues. Presence de 10 a 15% grenat rose 0,1-2mm avec localement des portions a 15%. En general, la biotite varie entre 15 et 25%. Le grenat est souvent associe aux bandes riches en biotite.
EJV2018TR002-G1	Roche metasedimentaire de type wacke a 15-25% biotite et 5-10% grenat. La roche est foliee a gneissique caracterisee par l'alternance de bandes a grains fins mafiques a BO-GR-FP-QZ et de bandes a grains fins plus felsiques a FP-QZ+/-BO+/-GR. On observe aussi la presence de bandes plus grossieres blanchetres a QZ-FP+/-BO (injections?-mobilisat?). Ces bandes sont souvent //FO, parfois irregulieres et discontinues. Contact avec le gabbro a N295 et N315 avec un pendage de 50 (sorte de pli?)
EJV2018TR002-G1	
EJV2018TR003-G1	Diorite foliee a gneissique avec quelques bandes felsiques mm a QZ-FP et une bande plus grossiere a QZ-FP+/-AM+/-HEM+/-EP
EJV2018TR003-G2	Diorite homogene foliee a gneissique legerement magnetique, a AM,+/-BO+/-CHL loc. Contact tres irregulier entre la diorite et le gabbro a N310
EJV2018TR003-G2	Gabbro(?)homogene folie, a patine rouillee, cassure verte moyen a foncee, tres mineralise. Peu magnetique sauf localement
EJV2018TR003-R1	Diorite foliee a gneissique comprenant 5-10% bandes blanchetres a grains fins a QZ-FP+/-AM. Presence aussi de 1-10% de bandes blanchetres a grains plus grossiers a QZ-FP+/-AM+/-CHL+/-EPI+/-HEM souvent irregulieres parfois discontinues de 5mm a 10cm de large
EJV2018TR003-R2	Diorite homogene folie a gneissique avec 5-10% bandes felsiques a FP-QZ a grains fins de 1-5mm et parfois presence de bandes plus grossieres a QZ-FP+/-AM+/-CHL+/-HEM+/-EPI
EJV2018TR003-R2	Diorite a grains plus grossiers que l'unité precedente, bien foliee a gneissique mais avec des bandes un peu plus grossieres, discontinues et tres irregulieres par endroits.
EJV2018TR003-R3	Diorite foliee a gneissique avec -bandes 1-10mm felsiques a % grains fins riches en QZ-FP+/-MF et 1-5% bandes felsiques plus grossieres a QZ-FP+/-MF. La diorite est dans l'ensemble homogene. Le magnetisme est moyen a localement tres fort. Moins fort a partir de 4m. Presence d'epidote disseminee, parfois en bandes // bandes gneissiques. AM parfois remplace par la chlorite (5% et+).
EJV2018TR003-R3	Meme litho qu'entre 0 et 4.9m, mais le grain est legerement plus grossier et la gneissosite est moins presente. La roche est plus foliee que gneissique. De plus, roche non magnetique. Localement beaucoup de bandes a grains grossiers a QZ-FP+/-AM, irregulieres, diffuses et discontinues (injections?). Pas ou peu de bandes felsiques a grains fins. Contact inferieur a N302/37.
EJV2018TR003-R3	Gabbro a patine brune et cassure verte moyen a foncee a grains fins a moyens. Roche foliee marquee par l'alignement des mafiques et des sulfures. Contact inferieur a N305/40.
EJV2018TR003-R3	Diorite foliee a gneissique avec -bandes 1-10mm felsiques a grains fins riches en QZ-FP+/-MF et 1-5% bandes felsiques plus grossieres a QZ-FP+/-MF. La diorite est dans l'ensemble homogene. Le magnetisme est moyen a localement fort.
EJV2018TR003-R3	
EJV2018TR004-G1	Fine to medium grained, foliated and rusty
EJV2018TR004-G2	With 30-50% leucosomes centimetric.
EJV2018TR004-G2	With 5-10% leucosomes
EJV2018TR004-G3	5%leucosomes
EJV2018TR004-R1	With 10% leucosomes centemeter sized
EJV2018TR004-R2	Diorite homogene foliee a gneissique a grains fins a moyens contenant des amphiboles (25-30%), de rare biotite, de la chlorite (AM CHL), des epidotes. Localement magnetique
EJV2018TR004-R3	10% leucosomes cm
EJV2018TR005-G1	Possibly I3A?. 15% leucosomes cm.
EJV2018TR005-R1	
EJV2018TR005-R1	With local feldspar porphyry.
EJV2018TR005-R1	
EJV2018TR005-R2	Possibly I3A? 5% leucosomes cm
EJV2018TR005-R3	Possibly I3A?
EJV2018TR006-G1	Locally banded texture from epidote altered bands
EJV2018TR006-G2	
EJV2018TR006-G3	
EJV2018TR006-R1	
EJV2018TR006-R2	
EJV2018TR006-R3	On a steep slope. 10% leucosomes cm.
EJV2018TR006-R4	I2J a texture gneissique, quelques leucosomes (1-3mm d'epaisseur). Recoupe par injections granitiques. Localement affecte par une epidotisation moderee en bande dans les plans de la schistosite.
EJV2018TR006-R5	I2J a texture gneissique, quelques leucosomes (1-3mm d'epaisseur). Recoupe par injections granitiques. Localement affecte par une epidotisation moderee en bande dans les plans de la schistosite.
EJV2018TR006-R5	Injections quartzo-feldspathique a grains moyen, massives. Localement affecte par une epidotisation moderee a forte, en veinules/stockwork et une hematization moderee penetrative (feldspath)

HOLE_NUMBER	Comments
EJV2018TR006-R6	I2J a texture gneissique, quelques leucosomes (1-3mm d'epaisseur). Recoupe par injections granitiques. Localement affecte par une epidotisation moderee en bande dans les plans de la schistosite.
EJV2018TR006-R7	With 10-12% mm-cm-sized leucosomes
EJV2018TR007-G1	
EJV2018TR007-G2	
EJV2018TR007-G3	
EJV2018TR007-G4	
EJV2018TR007-R1	L'unite est fortement brechifiee et alteree (Sil). Roche intensement metasomatisee, protolithe non reconnaissable.
EJV2018TR007-R1	Protolith difficilement identifiable da» a l'alteration (Cl-He-Ep-Sil-Mt) propylitic?. Roche de couleur verdatre en patine fraiche et beige en patine alteree; a grains fins contenant beaucoup de feldspath. Protolith difficilement identifiable da» a l'alteration (Cl-He-Ep-Sil-Mt) propylitic?. Roche de couleur verdatre en patine fraiche et beige en patine alteree; a grains fins contenant beaucoup de feldspath. Localement brechique, Frg 0,5-3cm.
EJV2018TR007-R2	Protolith difficilement da» a l'alteration (Cl-He-Ep-Sil-Mt) propylitic?. Roche de couleur verdatre en patine fraiche et beige en patine alteree; a grains fins contenant beaucoup de feldspath. Protolith difficilement identifiable da» a l'alteration (Cl-He-Ep-Sil-Mt) propylitic?. Roche de couleur verdatre en patine fraiche et beige en patine alteree; a grains fins contenant beaucoup de feldspath. Localement brechique, Frg 0,5-3cm.
EJV2018TR007-R3	Protolith difficilement da» a l'alteration (Cl-He-Ep-Sil-Mt) propylitic?. Roche de couleur verdatre en patine fraiche et beige en patine alteree; a grains fins contenant beaucoup de feldspath. Protolith difficilement identifiable da» a l'alteration (Cl-He-Ep-Sil-Mt) propylitic?. Roche de couleur verdatre en patine fraiche et beige en patine alteree; a grains fins contenant beaucoup de feldspath. Localement brechique, Frg 0,5-3cm.
EJV2018TR008-G1	
EJV2018TR008-R1	L'unite est fortement brechifiee et alteree (Sil). Roche intensement metasomatisee, protolithe non reconnaissable.
EJV2018TR008-R1	Protolith difficilement identifiable da» a l'alteration (Cl-He-Ep-Sil-Mt) propylitic?. Roche de couleur verdatre en patine fraiche et beige en patine alteree; a grains fins contenant beaucoup de feldspath. Protolith difficilement identifiable da» a l'alteration (Cl-He-Ep-Sil-Mt) propylitic?. Roche de couleur verdatre en patine fraiche et beige en patine alteree; a grains fins contenant beaucoup de feldspath. Localement brechique, Frg 0,5-3cm.
EJV2018TR008-R2	Protolith difficilement identifiable da» a l'alteration (Cl-He-Ep-Sil-Mt) propylitic?. Roche de couleur verdatre en patine fraiche et beige en patine alteree; a grains fins contenant beaucoup de feldspath. Protolith difficilement identifiable da» a l'alteration (Cl-He-Ep-Sil-Mt) propylitic?. Roche de couleur verdatre en patine fraiche et beige en patine alteree; a grains fins contenant beaucoup de feldspath. Localement brechique, Frg 0,5-3cm.
EJV2018TR008-R3	Protolith difficilement identifiable da» a l'alteration (Cl-He-Ep-Sil-Mt) propylitic?. Roche de couleur verdatre en patine fraiche et beige en patine alteree; a grains fins contenant beaucoup de feldspath. Protolith difficilement identifiable da» a l'alteration (Cl-He-Ep-Sil-Mt) propylitic?. Roche de couleur verdatre en patine fraiche et beige en patine alteree; a grains fins contenant beaucoup de feldspath. Localement brechique, Frg 0,5-3cm.

Appendix 6: Channel Sample Results

HOLE_NUMBER	SAMPLE_NUMBER	depth_from	depth_to	X_UTM_NAD83	Y_UTM_Z18
EJV2018TR001-R1	388701	0	1	473305.92	5808216.51
EJV2018TR001-R1	388702	1	2	473305.77	5808215.52
EJV2018TR001-R1	388703	2	3	473305.61	5808214.53
EJV2018TR001-R1	388704	3	4	473305.45	5808213.54
EJV2018TR001-R1	388706	4	5	473305.3	5808212.56
EJV2018TR001-R1	388707	5	6	473305.14	5808211.57
EJV2018TR001-R1	388708	6	7	473304.98	5808210.58
EJV2018TR001-R1	388709	7	8	473304.83	5808209.59
EJV2018TR001-R1	388711	8	9	473304.67	5808208.6
EJV2018TR001-R1	388712	9	10	473304.51	5808207.62
EJV2018TR001-R1	388713	10	11	473304.36	5808206.63
EJV2018TR001-R1	388714	11	12	473304.2	5808205.64
EJV2018TR001-R1	388716	12	13	473304.04	5808204.65
EJV2018TR001-R1	388717	13	14	473303.89	5808203.67
EJV2018TR001-R1	388718	14	15	473303.73	5808202.68
EJV2018TR001-R1	388719	15	16.4	473303.58	5808201.69
EJV2018TR001-G1	388721	0	1	473301.01	5808201.29
EJV2018TR001-R2	388722	0	1	473301.02	5808198.98
EJV2018TR001-R2	388723	1	1.4	473300.25	5808198.34
EJV2018TR002-G1	388724	0	0.45	473284.9	5808250.8
EJV2018TR003-R1	388726	0	1	473295.15	5807495.38
EJV2018TR003-R1	388727	1	2	473294.25	5807494.94
EJV2018TR003-R1	388728	2	3	473293.35	5807494.5
EJV2018TR003-R1	388729	3	4	473292.45	5807494.07
EJV2018TR003-R1	388731	4	4.55	473291.56	5807493.63
EJV2018TR003-G1	388732	0	0.5	473291.25	5807496.04
EJV2018TR003-G2	388733	0	0.4	473287.84	5807499.39
EJV2018TR003-G2	388734	0.4	1	473287.51	5807499.16
EJV2018TR003-R2	388736	0	1.1	473285.32	5807501.53
EJV2018TR003-R2	388737	1.1	1.5	473284.37	5807500.98
EJV2018TR003-R2	388738	1.5	1.8	473284.02	5807500.78
EJV2018TR003-R2	388739	1.8	2.2	473283.76	5807500.62
EJV2018TR003-R2	388741	2.2	3	473283.42	5807500.42
EJV2018TR003-R3	388742	0	1	473289.87	5807506.65
EJV2018TR003-R3	388743	1	2.2	473289	5807506.15
EJV2018TR003-R3	388744	2.2	3.3	473287.96	5807505.55
EJV2018TR003-R3	388746	3.3	4	473287.01	5807505
EJV2018TR003-R3	388747	4	4.4	473286.4	5807504.65
EJV2018TR003-R3	388748	4.4	4.9	473286.06	5807504.45
EJV2018TR003-R3	388749	4.9	5.8	473285.62	5807504.2
EJV2018TR003-R3	388751	5.8	6.1	473284.84	5807503.75
EJV2018TR003-R3	388752	6.1	6.4	473284.58	5807503.6
EJV2018TR003-R3	388753	6.4	7	473284.32	5807503.45
EJV2018TR003-R3	388754	7	8	473283.8	5807503.15
EJV2018TR004-R2	388756	0	1	473278.55	5807498.79
EJV2018TR004-R2	388757	1	1.5	473277.64	5807498.37
EJV2018TR004-R2	388758	1.5	2	473277.19	5807498.15
EJV2018TR004-R2	388759	2	3	473276.73	5807497.94
EJV2018TR004-R2	388760	3	4	473275.83	5807497.52
EJV2018TR004-R2	388761	4	4.5	473274.92	5807497.1
EJV2018TR004-R1	388801	0	1.1	473279.48	5807497.03
EJV2018TR004-R1	388802	1.1	2	473278.43	5807496.69
EJV2018TR004-R1	388803	2	3	473277.57	5807496.41
EJV2018TR004-R1	388804	3	3.5	473276.62	5807496.1
EJV2018TR004-G1	388806	0	0.4	473272.74	5807501.19
EJV2018TR004-G2	388807	0	0.4	473276.02	5807499.41
EJV2018TR004-G2	388808	0.4	0.9	473275.67	5807499.23
EJV2018TR004-G3	388809	0	0.5	473275.77	5807500.41
EJV2018TR004-R3	388811	0	1	473277.17	5807499.65
EJV2018TR004-R3	388812	1	1.3	473276.3	5807499.15
EJV2018TR004-R3	388813	1.3	2.3	473276.04	5807499
EJV2018TR004-R3	388814	2.3	3	473275.18	5807498.5
EJV2018TR004-R3	388816	3	4	473274.57	5807498.15
EJV2018TR005-R1	388817	0	1.1	473307.47	5807473.3
EJV2018TR005-R1	388818	1.1	2.1	473307	5807472.3
EJV2018TR005-R1	388819	2.1	3.1	473306.58	5807471.4
EJV2018TR005-R1	388820	3.1	4	473306.16	5807470.49
EJV2018TR005-R1	388821	4	5	473305.78	5807469.68
EJV2018TR005-R1	388822	5	5.4	473305.35	5807468.77
EJV2018TR005-R2	388823	0	0.8	473305.44	5807466.53
EJV2018TR005-R2	388824	0.8	1.7	473304.71	5807466.19
EJV2018TR005-R2	388826	1.7	2.5	473303.9	5807465.81
EJV2018TR005-R2	388827	2.5	3.3	473303.17	5807465.47
EJV2018TR005-G1	388828	0	0.8	473303	5807467.11
EJV2018TR005-R3	388829	0	0.3	473301.44	5807464.56
EJV2018TR005-R3	388831	0.3	1	473301.31	5807464.29
EJV2018TR005-R3	388832	1	2	473301.01	5807463.66
EJV2018TR006-R1	388833	0	0.8	473256.72	5807531.82
EJV2018TR006-R1	388834	0.8	1.8	473256.15	5807531.25
EJV2018TR006-R1	388836	1.8	2	473255.44	5807530.54
EJV2018TR006-R2	388837	0	1	473254.02	5807531.18

Charles Gaumond, geo (#1927)




2018-12-17

HOLE_NUMBER	SAMPLE_NUMBER	depth_from	depth_to	X_UTM_NAD83	Y_UTM_Z18
EJV2018TR006-R2	388838	1	2	473253.25	5807530.54
EJV2018TR006-R2	388839	2	2.6	473252.48	5807529.89
EJV2018TR006-R2	388840	2.6	3.2	473252.03	5807529.51
EJV2018TR006-R3	388841	0	1	473247.57	5807528.75
EJV2018TR006-R3	388842	1	2	473246.7	5807528.25
EJV2018TR006-R3	388843	2	3	473245.83	5807527.75
EJV2018TR006-R3	388844	3	4	473244.97	5807527.25
EJV2018TR006-R3	388846	4	5	473244.1	5807526.75
EJV2018TR006-G1	388847	0	0.5	473242.8	5807526.86
EJV2018TR006-R4	388848	0	1	473237.53	5807524.83
EJV2018TR006-R4	388849	1	1.8	473236.59	5807524.49
EJV2018TR006-R4	388851	1.8	2.5	473235.84	5807524.21
EJV2018TR006-R4	388852	2.5	3	473235.18	5807523.97
EJV2018TR006-R5	388853	0	0.5	473236.77	5807524.89
EJV2018TR006-R5	388854	0.5	1.5	473236.32	5807524.68
EJV2018TR006-R5	388856	1.5	2.2	473235.41	5807524.26
EJV2018TR006-R6	388857	0	1	473233.55	5807521.79
EJV2018TR006-R6	388858	1	2	473232.64	5807521.37
EJV2018TR006-R6	388859	2	3	473231.73	5807520.94
EJV2018TR006-R7	388860	0	0.75	473229.71	5807518.76
EJV2018TR006-R7	388861	0.75	1.5	473229.14	5807518.28
EJV2018TR006-G2	388862	0	0.7	473225.7	5807516.83
EJV2018TR006-G3	388863	0	0.5	473223.77	5807517.91
EJV2018TR007-R1	388864	0	1	472662.77	5807976.9
EJV2018TR007-R1	388866	1	2	472661.79	5807976.71
EJV2018TR007-R1	388867	2	3	472660.81	5807976.52
EJV2018TR007-R1	388868	3	4	472659.82	5807976.33
EJV2018TR007-R1	388869	4	5	472658.84	5807976.14
EJV2018TR007-R1	388871	5	6	472657.86	5807975.95
EJV2018TR007-R1	388872	6	7	472656.88	5807975.76
EJV2018TR007-R1	388873	7	8	472655.9	5807975.57
EJV2018TR007-R1	388874	8	9	472654.92	5807975.38
EJV2018TR007-R1	388876	9	10	472653.93	5807975.19
EJV2018TR007-R1	388877	10	11	472652.95	5807975
EJV2018TR007-R1	388878	11	12	472651.97	5807974.81
EJV2018TR007-R1	388879	12	13	472650.99	5807974.61
EJV2018TR007-R1	388880	13	14	472650.01	5807974.42
EJV2018TR007-R1	388881	14	14.3	472649.03	5807974.23
EJV2018TR007-R2	388882	0	0.8	472643.43	5807968.45
EJV2018TR007-R2	388883	0.8	1.8	472642.69	5807968.15
EJV2018TR007-R2	388884	1.8	2.8	472641.76	5807967.78
EJV2018TR007-R3	388886	0	0.3	472647.96	5807975.56
EJV2018TR007-R3	388887	0.3	0.9	472647.67	5807975.48
EJV2018TR007-R3	388888	0.9	1.2	472647.09	5807975.33
EJV2018TR007-R3	388889	1.2	1.5	472646.8	5807975.25
EJV2018TR007-G1	388891	0	0.3	472661.96	5807975.65
EJV2018TR007-G2	388892	0	0.3	472650.66	5807970.55
EJV2018TR007-G3	388893	0	0.3	472646.16	5807969.15
EJV2018TR007-G4	388894	0	0.3	472649.36	5807969.92
EJV2018TR008-R1	388896	0	1	472671.81	5807965.08
EJV2018TR008-R1	388897	1	2	472670.84	5807964.84
EJV2018TR008-R1	388898	2	3	472669.87	5807964.6
EJV2018TR008-R1	388899	3	4	472668.9	5807964.35
EJV2018TR008-R1	388900	4	5	472667.93	5807964.11
EJV2018TR008-R1	388901	5	6	472666.96	5807963.87
EJV2018TR008-R2	388902	0	1	472666.4	5807964.2
EJV2018TR008-R3	388903	0	0.7	472664.18	5807963.96
EJV2018TR008-R3	388904	0.7	1.7	472663.53	5807963.69
EJV2018TR008-R3	388906	1.7	2.7	472662.61	5807963.3
EJV2018TR008-R3	388907	2.7	3.7	472661.69	5807962.91
EJV2018TR008-R3	388908	3.7	4.7	472660.77	5807962.52
EJV2018TR008-G1	388909	0	0.3	472667.15	5807963.69

SAMPLE_NUMBER	comments	Au_ppm_IC P21	Ag_ppm_M S61	Al_pct_MS6 1
388701	M4; Sil-5; 0.5% Po DI SCH 0.5% Py AL SCH; SP 3	0.002	0.25	7.05
388702	M4; Sil-5; 2.5% Po DI SCH 1% Py AL SCH 0.1% Po VN VN	0.008	0.61	6.88
388703	M4; Ep-1; 2.5% Po DI SCH 1% Py AL SCH 0.1% Po VN VN QZ SF 0.6 cm	0.007	0.64	6.07
388704	M4; Oxid-1 Carb-1; 1.5% Po DI SCH 0.5% Py AL SCH	0.007	0.82	5.38
388706	M4; Oxid-1 Carb-1; 1.5% Po DI SCH 0.5% Py AL SCH QZ SF 3 cm 75Å° ; SP 3	0.005	0.63	5.86
388707	M4; Oxid-1; 1% Po DI SCH 0.5% Py AL SCH; SP 3	0.005	0.82	6.46
388708	M4; Oxid-1 Carb-1 Sil-1; 1% Po DI SCH 0.5% Py AL SCH	0.004	0.49	6.68
388709	M4; Oxid-1 Carb-1 Sil-1; 3% Po DI SCH 1% Py AL SCH	0.005	0.52	6.46
388711	M4; Oxid-1 Carb-1 Sil-1; 3% Po DI SCH 1% Py AL SCH	0.005	0.55	6.29
388712	M4; Oxid-1 Carb-1 Sil-1; 3% Po DI SCH 1% Py AL SCH	0.004	0.4	7.04
388713	M4; Oxid-1 Carb-1 Sil-1; 3% Po DI SCH 1% Py AL SCH; SP 3	0.004	0.46	6.87
388714	M4; Sil-1 Carb-1 Oxid-1 QZ 1 cm	0.006	0.48	6.86
388716	M4; Sil-1 Carb-1 Oxid-1; 2.5% Po DI SCH 0.5% Py AL SCH 0.1% Po VN VN; SP 3	0.006	0.55	6.51
388717	M4; Sil-1 Carb-1 Oxid-1; 5% Po DI SCH 1% Py AL SCH	0.005	0.58	5.98
388718	M4; Sil-1 Carb-1 Oxid-1; 4% Po DI SCH 0.5% Py AL SCH	0.004	0.46	6.54
388719	M4; Sil-1 Carb-1 Oxid-1; 2% Po DI SCH 1% Py AL SCH	0.003	0.31	7.5
388721	M4; NO ALT; 0.2% Py DI SCH 0.2% Po DI SCH; SP 3	0.0005	0.11	8.21
388722	M4; NO ALT; 0.5% Py DI SCH 0.2% Po DI SCH	0.0005	0.13	7.99
388723	M4; NO ALT; 0.5% Py DI SCH 0.2% Po DI SCH; SP 3	0.0005	0.12	7.51
388724	M4; Chl-1; 0.5% Py DI SCH 1% Po DI SCH; SP 3	0.0005	0.14	8.13
388726	I2J; Ep-1 He-1; 0.5% Py DI PER	0.001	0.12	8.02
388727	I2J; Ep-1 He-1; 0.5% Py DI PER; SP 3	0.004	0.08	7.85
388728	I2J; Ep-2 He-1; 1% Py DI PER 0.1% Mo AL PER	0.0005	0.07	7.93
388729	I2J; Ep-2 Ep-2 He-1; 0.5% Py DI PER	0.001	0.04	7.99
388731	I2J; Ep-1 Ep-1 He-1; 1% Py DI PER	0.001	0.06	8.45
388732	I2J; Ep-3 Ep-1; 1% Py DI SCH 1.5% Mt DI PER; SP 3	0.0005	0.06	8.46
388733	I2J; Ep-1 Ep-2; 1% Py DI PER; SP 2	0.001	0.25	7.54
388734	I3A; Ep-1 Ep-2; 15% Py DI SCH; SP 2	0.012	1.71	5.2
388736	I2J; Ep-3 Ep-1; 1.5% Py DI SCH	0.001	0.26	8.18
388737	I2J; Ep-3 Ep-1; 3.5% Py DI SCH	0.003	0.56	7.84
388738	I2J; Ep-3 Ep-1; 2% Py DI SCH	0.0005	0.19	8.16
388739	I2J; Ep-3 Ep-1; 3.5% Py DI SCH	0.002	0.64	7.84
388741	I2J; Ep-1; 1.5% Py DI SCH	0.0005	0.16	7.85
388742	I2J; Ep-1 He-1; 0.1% Py DI SCH; SP 3	0.0005	0.06	8.2
388743	I2J; Ep-1 He-1; 0.1% Py DI SCH	0.0005	0.05	8.13
388744	I2J; Ep-1 He-1; 0.5% Py DI SCH 1.5% Mt DI PER	0.0005	0.07	8.18
388746	I2J; Ep-4 Ep-2 He-1; 0.5% Py DI SCH 1.5% Mt DI PER	0.0005	0.07	8.13
388747	I2J; Ep-1 He-1; 1% Py DI PER	0.0005	0.21	8.44
388748	I2J; Ep-1 He-1; 2.5% Py DI SCH 0.1% Cp	0.001	0.17	8.65
388749	I2J; Ep-1; 0.5% Py DI PER	0.0005	0.32	8.26
388751	I2J; Ep-1; 1.5% Py DI PER	0.002	0.35	7.79
388752	I3A; Ep-1 Ep-4 Chl-1; 20% Py DI SCH	0.02	1.32	5.96
388753	I2J; Ep-5 Ep-2; 0.5% Py DI SCH	0.002	0.17	7.76
388754	I2J; I1G 7.00 - 8.00; Ep-5 Ep-2; 1.5% Py DI SCH	0.002	0.48	7.81
388756	I2J; Ep-2 He-1; 0.5% Py DI PER 0.1% Cp AL PER; SP 3	0.0005	0.1	8.16
388757	I2J; Ep-2 He-1; 0.5% Py DI PER 0.1% Cp AL PER; SP 3	0.005	0.1	8.42
388758	I2J; Ep-5 Ep-2 He-1; 3% Py DI PER; SP 3	0.003	1.5	7.88
388759	I2J; Ep-1 He-1; 1.5% Py DI PER 0.1% Cp AL PER 0.1% Mc AL PER; SP 3	0.001	5.89	7.98
388760	I2J; Ep-1 He-1; 0.5% Py DI PER 0.1% Cp AL PER 0.1% Mc AL PER; SP 3	0.0005	1.7	7.95
388761	I2J; Ep-1 He-1; 5% Py DI PER 0.1% Mc AL PER; SP 3	0.002	1.75	8.16
388801	I2J; NO ALT; 1% Py DI PER; SP 3 FLT 3	0.001	0.12	8.46
388802	I2J; Ep-4; 2.5% Py DI SCH 0.1% Cp DI PER; SP 3 FLT 3	0.001	0.41	7.77
388803	I2J; Ep-2; 1.5% Py DI SCH; SP 3 FLT 3	0.0005	0.32	8.43
388804	I2J; Ep-2; 1.5% Py DI SCH; SP 3 FLT 3	0.0005	0.57	8.4
388806	I2J; Ep-3 He-3; 5% Py DI SCH; SP 4	0.007	1.87	7.54
388807	I2J; He-2 Ep-3; 2% Py DI PER 3% Cp AL SCH 1% Mc AL PER; SP 5 FLT 3	0.002	71	7.9
388808	I2J; Ep-4 He-2; 5% Cp DI SCH 1% Py DI PER 1% Mc DI PER; SP 5 FLT 3	0.003	30.4	8.06
388809	I2J; Ep-5; 3% Cp DI SCH 3% Py DI PER 2% Mc DI PER	0.003	10.8	7.65
388811	I2J; He-3 Ep-3; 1% Py DI PER; SP 4	0.002	0.9	8.72
388812	I2J; Ep-4; 3% Py DI PER 4% Cp DI SCH; SP 4	0.003	3.97	7.82
388813	I2J; Ep-4; 3% Py DI PER 4% Cp DI SCH; SP 4	0.004	100	7.48
388814	I2J; Chl-1 Ep-2; 2% Py DI PER 1% Cp DI PER; SP 4	0.0005	2.53	8.55
388816	I2J; Chl-1 Ep-2; 2% Py DI PER 1% Cp DI PER; 100% VN QZ 3 cm; SP 4	0.0005	1.79	8.35
388817	I2J; Ep-2; 3% Py DI PER	0.002	0.26	8.11
388818	I1C; He-1; 0.5% Py DI PER	0.0005	0.2	8.78
388819	I1C; He-1; 0.5% Py DI PER	0.0005	0.15	8.63
388820	I2J; Ep-3; 10% Py DI SCH	0.008	0.87	7.21
388821	I2J; Ep-3; 3% Py DI PER	0.007	0.48	7.58
388822	I2J; Ep-3; 3% Py DI PER	0.004	0.48	7.28
388823	I2J; He-2; 1% Py DI PER; SP 4	0.0005	0.18	6.99
388824	I2J; He-2; 1% Py DI PER; SP 4	0.0005	0.17	7.22
388826	I2J; Ep-3 He-2; 1% Py DI PER; SP 4	0.0005	0.17	7.59
388827	I2J; Ep-3 He-2; 1% Py DI PER; SP 4	0.0005	0.18	7.64
388828	I2J; Ep-3 He-2; 2% Py DI PER	0.0005	0.28	7.55
388829	I2J; Ep-1; 1% Py DI PER	0.0005	0.06	7.56
388831	I2J; Ep-1; 2% Py DI PER	0.0005	0.12	7.84
388832	I2J; Ep-1; 0.1% Py DI PER	0.0005	0.06	7.28
388833	I2J; He-1; 1% Py DI PER; SP 4	0.007	0.09	7.44
388834	I2J; Ep-3; 4% Py DI PER; SP 4	0.018	0.49	7.57
388836	I2J; Ep-2; 2% Py DI PER; SP 4	0.001	0.16	7.29
388837	I2J; Ep-3 He-3; 4% Py DI PER	0.005	0.49	7.76

SAMPLE_NUMBER	comments	Au_ppm_IC P21	Ag_ppm_M S61	Al_pct_MS6 1
388838	I2J; Ep-3 He-3; 4% Py DI PER	0.0005	0.21	7.93
388839	I2J; Ep-3 He-3; 1% Py DI PER	0.0005	0.29	7.74
388840	I2J; Ep-3 He-3; 1% Py DI PER	0.002	0.28	7.58
388841	I2J; Ep-3; 3% Py DI PER 3% Mt AL PER; SP 3	0.0005	0.11	8.35
388842	I2J; Ep-3; 3% Py DI PER 3% Mt AL PER; SP 3	0.0005	0.06	8.03
388843	I2J; Ep-3; 3% Py DI PER 3% Mt AL PER; SP 3	0.0005	0.49	7.74
388844	I2J; Ep-3; 3% Py DI PER 3% Mt AL PER; 100% VN CL 4 cm 300Å°	0.001	0.3	7.75
388846	I2J; Ep-3; 3% Py DI PER 3% Mt AL PER	0.0005	0.26	8.28
388847	I2J; Ep-4; 5% Py DI PER	0.003	0.39	8.58
388848	I2J; NO ALTNO MIN ; SP 5	0.0005	0.04	8.6
388849	I2J; NO ALTNO MIN ; SP 5	0.0005	0.04	7.97
388851	I2J; Ep-1NO MIN ; SP 5	0.0005	0.04	7.85
388852	I2J; Ep-3NO MIN ; SP 5	0.0005	0.02	7.68
388853	I2J; Ep-4 He-3NO MIN ; SP 5	0.0005	0.02	7.49
388854	I1B; Ep-4 He-3NO MIN ; SP 5	0.0005	1.47	6.92
388856	I1B; Ep-4 He-3NO MIN ; SP 5	0.0005	0.63	7.96
388857	I2J; Ep-1; 0.1% Py DI PER; SP 5	0.0005	0.04	8.27
388858	I2J; Ep-1; 0.1% Py DI PER; SP 5	0.0005	0.04	8.31
388859	I2J; Ep-1; 0.1% Py DI PER; SP 5	0.0005	0.04	8.31
388860	I2J; Ep-3 He-2; 0.5% Py DI PER	0.0005	0.01	7.91
388861	I2J; Ep-3 He-2; 0.5% Py DI PER	0.0005	0.02	7.15
388862	I1G; He-4 Ep-4	0.0005	0.16	6.59
388863	I1G; Ep-3 He-3	0.0005	0.08	7.92
388864	I1C; Sil-5 He-4 Chl-2NO MIN ; 40% VN QZ 4 cm; BX 5	0.0005	0.01	1.46
388866	I1C; Sil-5 He-4 Chl-2NO MIN ; 40% VN QZ 4 cm; BX 5	0.0005	0.01	1.68
388867	I1C; Sil-5 He-4 Chl-2NO MIN ; 40% VN QZ 4 cm; BX 5	0.0005	0.01	3.05
388868	I1C; Sil-3 He-3 Chl-4NO MIN ; 15% VN QZ CB 1 cm; BX 3	0.0005	0.005	4.15
388869	I1C; Sil-3 He-3 Chl-4NO MIN ; 15% VN QZ CB 1 cm; BX 3	0.0005	0.01	5.71
388871	I1C; Sil-3 He-3 Chl-4NO MIN ; 15% VN QZ CB 1 cm; BX 3	0.004	0.02	6.05
388872	I1C; Sil-3 He-3 Chl-4NO MIN ; BX 3	0.0005	0.02	7.33
388873	I1C; Sil-3 He-3 Chl-4; 0.5% Py DI VN 0.5% Py AL 0.1% Cp VN ; 7% VN QZ CB 0.3 cm 340Å°	0.0005	0.12	8.13
388874	I1C; Sil-3 He-3 Chl-4; 0.5% Py DI VN 0.5% Py AL 0.1% Cp VN ; FLT 4	0.0005	0.06	7.65
388876	I1C; Sil-3 He-3 Chl-4; 0.5% Py DI VN 0.5% Py AL 0.1% Cp VN ; 30% VN QZ CB 4 cm 336Å° ; FLT 4	0.0005	0.03	8.04
388877	I1C; Sil-3 He-3 Chl-4; 0.5% Py DI VN 0.5% Py AL 0.1% Cp VN	0.0005	0.01	8.22
388878	I1C; Chl-4 He-4 Ep-2; 0.1% Py DI ; 5% VN EP QZ 0.3 cm	0.0005	0.005	8.1
388879	I1C; Chl-4 He-4 Ep-2; 0.1% Py DI ; 5% VN EP QZ 0.3 cm	0.0005	0.01	7.9
388880	I1C; Chl-4 He-4 Ep-2; 1% Py DI 0.1% Mo AL VN; 5% VN EP QZ 0.3 cm	0.0005	0.02	8.4
388881	I1C; Chl-4 He-4 Ep-2; 0.1% Py DI ; 5% VN EP QZ 0.3 cm	0.0005	0.01	7.83
388882	I1C; Chl-4 Ep-3 He-4; 0.1% Py DI PER 0.1% Cp DI VN; 3% VN EP QZ 0.3 cm; BX 3	0.0005	0.005	7.93
388883	I1C; Chl-4 Ep-3 He-4; 0.1% Py DI PER 0.1% Cp DI VN; 3% VN EP QZ 0.3 cm; BX 3	0.0005	0.005	7.95
388884	I1C; 0.1% Py DI PER 0.1% Cp DI VN; BX 3	0.0005	0.02	8.18
388886	I1C; Sil-5 Chl-4 He-4 Ep-4; 0.5% Py DI FRC; 30% VN QZ CB 4 cm; FLT 3	0.0005	0.03	7.42
388887	I1C; Chl-4 He-4 Ep-4; 0.5% Py DI FRC; 3% VN QZ CB 0.2 cm	0.0005	0.005	8.2
388888	I1C; Chl-4 He-4 Ep-4; 0.5% Py DI FRC; 15% VN QZ CB 1.5 cm	0.0005	0.005	7.64
388889	I1C; Chl-4 He-4 Ep-4; 0.5% Py DI FRC; 3% VN QZ CB 0.5 cm	0.0005	0.005	7.24
388891	I1C; Sil-5NO MIN ; 30% VN QZ 0.3 cm	0.0005	0.01	2.07
388892	I1C; Chl-4 He-4; 5% VN QZ EP 0.2 cm; FLT 3	0.0005	0.01	7.47
388893	I1C; Chl-4 He-4; 0.5% Py DI FRC; 2% VN QZ HM 0.1 cm	0.0005	0.04	7.64
388894	I1C; Chl-4 He-4; 0.1% Py DI	0.0005	0.005	8.31
388896	I1C; Sil-5 He-3NO MIN ; 40% VN QZ 0.5 cm; FRC 4	0.0005	0.03	2.03
388897	I1C; Sil-5 He-3NO MIN ; 40% VN QZ 0.5 cm; FRC 4	0.0005	0.01	4.32
388898	I1C; Sil-5 He-3NO MIN ; 40% VN QZ 0.5 cm; FRC 4	0.0005	0.01	6.75
388899	I1C; Sil-5 He-3NO MIN ; 40% VN QZ 0.5 cm; FRC 4	0.0005	0.01	8.02
388900	I1C; Chl-4 He-4 Ep-4; 1% Py DI FRC 0.1% Cp VN FRC; 5% VN QZ CB 0.3 cm	0.0005	0.04	7.64
388901	I1C; Chl-4 He-4 Ep-4; 0.1% Py DI FRC; 5% VN QZ CB 0.3 cm	0.0005	0.07	7.6
388902	I1C; Chl-4 He-4 Ep-4NO MIN ; 15% VN QZ CB 2 cm	0.0005	0.01	7.62
388903	I1C; Chl-4 He-4 Ep-4NO MIN ; 7% VN EP HM 0.5 cm	0.0005	0.01	7.71
388904	I1C; Chl-4 He-4 Ep-4NO MIN ; 7% VN EP HM 0.5 cm	0.0005	0.005	8.21
388906	I1C; Chl-4 He-4 Ep-4NO MIN ; 7% VN EP HM 0.5 cm	0.0005	0.03	7.73
388907	I1C; Chl-4 He-4 Ep-4; 5% VN QZ CB 0.7 cm; FLT 3	0.002	0.01	7.89
388908	I1C; Chl-4 He-4 Ep-4; 5% VN QZ CB 0.7 cm; FLT 3	0.0005	0.01	8.23
388909	I1C; Chl-4 He-4NO MIN ; 15% VN QZ CB 4 cm	0.0005	0.01	7.94

SAMPLE_NUMBER	As_ppm_M S61	Ba_ppm_M S61	Be_ppm_M S61	Bi_ppm_MS 61	Ca_pct_MS6 1	Cd_ppm_M S61	Ce_ppm_M S61	Co_ppm_M S61	Cr_ppm_MS 61	Cs_ppm_MS 61
388701	0.3	290	0.9	0.15	1.54	0.17	24.3	31.7	82	9.13
388702	0.1	250	0.93	0.2	1.5	0.27	27.4	43	64	7.11
388703	0.1	220	0.39	0.27	1.11	0.35	14.7	55.6	58	3.27
388704	0.1	170	0.53	0.31	0.86	0.24	18.55	55.9	52	1.93
388706	0.3	200	0.52	0.25	1.08	0.3	25.4	47.1	52	2.42
388707	0.1	210	0.75	0.3	1.36	0.32	30.5	50.7	59	2.84
388708	0.4	200	0.78	0.18	1.42	0.28	27.8	36.6	67	2.58
388709	0.1	190	0.58	0.17	1.14	0.29	22.5	61.8	62	1.9
388711	0.2	210	0.46	0.19	1.13	0.29	22.9	77.2	60	2.64
388712	0.7	240	0.47	0.12	1.26	0.27	25.4	29.1	70	2.88
388713	0.1	220	0.72	0.15	1.3	0.26	25.2	31.8	68	3.8
388714	0.4	190	0.78	0.19	1.33	0.23	23.6	41.6	66	3.31
388716	0.3	300	0.5	0.17	1.25	0.28	49	32.1	62	3.2
388717	0.2	230	0.53	0.18	1.27	0.26	31.7	34.5	60	3.07
388718	0.2	190	0.82	0.14	1.58	0.26	24.9	36.1	62	2.93
388719	0.7	250	0.82	0.1	1.79	0.44	27.5	26.9	70	3.21
388721	0.3	410	0.82	0.04	2.18	0.26	35.1	30	76	4.82
388722	0.3	430	1.18	0.03	1.72	0.22	34	32.5	86	4.64
388723	0.1	500	0.87	0.02	1.24	0.26	38.5	33.9	79	4.34
388724	0.1	440	0.75	0.1	3.26	0.22	34.8	44.3	195	4.25
388726	0.3	850	1.52	0.24	6.3	0.2	112.5	31	91	0.5
388727	0.6	1000	1.34	0.16	6	0.06	110	27.7	83	0.44
388728	0.4	990	1.29	0.14	6.08	0.07	111	28.8	76	0.33
388729	0.3	530	1.93	0.11	6.72	0.15	121	26.6	102	0.32
388731	0.6	490	2.03	0.16	7.35	0.18	131.5	31.7	136	0.41
388732	0.3	600	2.03	0.19	7.58	0.14	148.5	29.7	114	0.47
388733	0.5	310	1.95	0.2	6.43	0.27	80.5	38	364	0.8
388734	0.5	90	0.37	1.18	1.02	0.3	35.2	177.5	162	1.07
388736	0.5	250	0.84	0.08	9.13	0.14	50.5	46.9	237	0.46
388737	0.6	200	0.75	0.16	8.06	0.14	45.8	48.3	230	0.47
388738	0.7	300	0.84	0.17	8.57	0.29	53.5	45	243	0.61
388739	0.8	210	0.79	0.31	8.29	0.92	49.9	49.9	219	0.4
388741	0.4	240	1.28	0.22	6.63	1.54	42.6	44.5	156	0.38
388742	0.3	710	1.36	0.15	6.24	0.11	99.9	27.9	75	0.4
388743	0.3	980	1.53	0.15	6.27	0.12	92.9	31.2	89	0.65
388744	0.3	640	2	0.13	7.22	0.18	107	30	113	0.34
388746	0.6	820	2.23	0.37	8.14	0.25	125	34.1	111	0.45
388747	0.3	530	1.9	0.13	6.82	0.18	140	31.3	115	0.43
388748	0.3	740	1.39	0.2	5.18	0.16	109	51.8	128	0.55
388749	0.1	360	1.73	0.13	5.98	0.19	99.9	31.5	165	0.4
388751	0.1	370	1.74	0.24	4.14	0.31	68.5	31.1	250	1.01
388752	0.4	130	0.45	1.16	2.68	0.24	32.2	197.5	167	1.2
388753	0.6	230	0.59	0.14	7.98	0.16	42.2	38.4	221	0.38
388754	0.3	260	1.62	0.24	4.95	0.3	48.5	43.4	204	0.77
388756	0.5	450	1.89	0.13	5.8	0.22	75.5	29.7	118	0.47
388757	0.5	1000	1.58	0.12	6.17	0.22	90.8	29.5	122	0.46
388758	0.2	380	1.66	0.42	4.04	0.23	83.5	47.8	200	1.27
388759	0.3	820	1.52	0.19	4.36	0.14	81.1	30.6	125	1.33
388760	0.5	710	1.73	0.3	4.54	0.16	102.5	27	117	0.73
388761	0.2	1040	1.99	0.52	4.47	0.2	79.4	30.9	115	0.96
388801	0.3	760	1.95	0.14	5.71	0.21	76	31.3	121	0.6
388802	0.6	360	1.46	0.48	5.92	0.22	40.6	41.8	196	0.53
388803	0.2	800	1.6	0.23	4.7	0.13	91.3	30.8	120	1.05
388804	1.1	620	2.98	0.4	5.55	0.17	86.9	24.2	119	0.63
388806	0.4	710	3.14	0.58	4.86	0.32	63.3	41.5	102	0.8
388807	0.3	260	2.16	0.79	4.78	0.19	49	26.3	167	0.46
388808	0.4	530	1.39	0.79	4.52	0.18	70	39.6	201	0.6
388809	0.6	140	1.39	0.68	8.41	0.18	51.3	32.8	195	0.38
388811	0.1	790	1.96	0.18	5.72	0.2	76.9	30.5	133	0.56
388812	0.4	190	1.27	0.55	6.23	0.18	40.9	46.4	207	0.41
388813	0.6	210	1.81	1.36	4.66	0.18	50.7	31.1	199	0.45
388814	0.3	1000	1.57	0.26	3.7	0.14	107.5	30.3	137	1.04
388816	0.5	550	2.44	0.31	4.47	0.23	97.9	22.9	107	0.68
388817	0.9	340	1.1	0.3	7.36	0.34	44.8	43.5	200	0.55
388818	0.2	590	0.92	0.06	4.13	0.08	28.2	18.8	67	0.78
388819	0.1	560	0.87	0.06	3.75	0.06	25.8	17.7	67	0.75
388820	0.7	260	0.82	0.67	5.65	0.22	39.2	39.6	172	0.43
388821	0.1	320	0.94	0.25	7.31	0.18	48.6	46.6	208	0.54
388822	0.2	200	1.25	0.36	6.37	0.22	48.8	50.8	201	0.49
388823	0.2	260	1.94	0.25	5.2	0.26	34	40.5	179	1.44
388824	0.9	190	2.82	0.41	6.42	0.42	56	47.8	196	1.81
388826	0.2	190	1.35	0.28	7.03	0.38	49.5	48.2	198	0.5
388827	0.1	220	1.23	0.29	6.95	0.13	40.6	52.5	187	0.49
388828	0.1	260	1.4	0.3	5.29	1.25	65.5	28.8	130	0.82
388829	0.1	850	1.99	0.15	5.56	0.17	98	23.7	107	0.77
388831	0.3	490	1.68	0.24	5.92	0.19	113.5	33.7	101	0.59
388832	0.3	410	1.85	0.14	6.1	0.19	72.1	28.4	121	0.86
388833	0.6	640	1.38	0.18	5.68	0.26	92.5	26.5	110	0.52
388834	0.5	400	1.85	0.41	5.1	0.25	63.7	33.6	223	0.57
388836	0.3	790	1.39	0.35	5.57	0.24	79.7	35.6	163	0.55
388837	0.1	620	1.62	0.43	4.79	0.21	85.3	33.4	224	0.67

SAMPLE_NUMBER	As_ppm_M S61	Ba_ppm_M S61	Be_ppm_M S61	Bi_ppm_MS 61	Ca_pct_MS6 1	Cd_ppm_M S61	Ce_ppm_M S61	Co_ppm_M S61	Cr_ppm_MS 61	Cs_ppm_MS 61
388838	0.5	800	1.84	0.42	5.47	0.28	102.5	30.5	122	0.75
388839	0.1	620	1.44	0.26	5.16	0.36	104.5	27.3	123	0.71
388840	0.2	540	1.41	0.28	4.41	0.15	79.1	26.8	103	0.58
388841	0.5	970	1.98	0.2	4.75	0.18	89	29.5	110	0.63
388842	0.2	570	2.34	0.14	4.86	0.42	75.3	25.5	81	0.47
388843	0.4	450	1.53	0.21	4.56	0.24	77.5	33.2	134	0.59
388844	0.5	380	1.43	0.15	4.81	0.26	164.5	43.1	194	0.61
388846	0.7	550	1.29	0.11	4.19	0.31	84.8	28.2	178	0.73
388847	0.2	440	1.08	0.36	6.74	0.33	91.1	52.7	204	0.56
388848	0.2	490	0.79	0.14	4.53	0.13	31.9	21.2	108	1.18
388849	0.5	700	1.2	0.28	4.9	0.12	87	28.7	110	0.63
388851	0.2	440	1.35	0.09	4.37	0.2	55.6	23.7	158	0.58
388852	0.4	240	1.64	0.15	6.41	0.31	52.3	36.6	265	0.32
388853	0.4	210	1.69	0.23	8.1	0.19	62.4	39.3	337	0.26
388854	0.3	230	1.24	0.14	5.14	0.12	48.3	20.9	222	0.33
388856	0.3	310	1.05	0.12	5.76	0.12	53.3	25.1	222	0.28
388857	0.4	510	1.28	0.12	5.93	0.09	71.2	41	380	0.71
388858	0.5	410	1.42	0.23	6.9	0.15	75.5	45.2	503	0.51
388859	0.3	760	1.12	0.18	4.97	0.1	69	35.7	231	0.73
388860	0.2	370	1.44	0.07	5.78	0.08	80.7	28.2	151	0.21
388861	0.3	460	1.64	0.06	5.29	0.08	48.2	28.8	176	0.23
388862	0.5	420	0.35	0.02	1.25	0.03	19.8	2.4	14	0.5
388863	0.6	550	0.42	0.01	0.68	0.07	12.15	1.9	4	0.79
388864	0.4	50	0.52	0.005	0.12	0.01	4.89	2.1	23	0.22
388866	0.5	30	0.39	0.005	0.09	0.01	4.32	2.1	23	0.16
388867	0.3	60	0.61	0.01	0.17	0.01	9.05	4.6	21	0.23
388868	0.4	10	0.4	0.005	0.28	0.01	7.27	6	21	0.08
388869	0.5	10	0.63	0.01	0.8	0.01	22.2	14.5	15	0.1
388871	0.2	190	1.05	0.07	1.03	0.01	41.2	27.3	22	0.79
388872	0.3	200	1.31	0.04	0.69	0.01	33.7	34.5	15	0.57
388873	0.7	390	1.13	0.22	0.84	0.01	45.2	37.3	18	0.64
388874	0.8	200	0.99	0.44	0.82	0.01	56.1	35.6	17	0.72
388876	0.2	550	0.94	0.03	1.32	0.11	62.5	38.8	17	0.57
388877	0.5	900	1.14	0.12	1.95	0.03	57.7	42.4	19	1.08
388878	0.2	700	1.22	0.03	2.36	0.04	55.5	43.3	19	0.58
388879	0.2	740	1.32	0.02	2.53	0.03	56.5	43.3	18	0.69
388880	0.5	1300	1.24	0.07	2.3	0.02	63.8	44.3	19	0.71
388881	0.5	760	1.35	0.05	2.1	0.05	60.5	41.4	19	0.9
388882	0.1	1550	1.35	0.02	2.94	0.04	53.1	45.1	20	0.64
388883	0.1	930	1.4	0.02	3.29	0.04	55.4	42.9	20	0.56
388884	0.3	2140	1.44	0.04	3.79	0.09	41.6	41.1	21	0.52
388886	0.1	530	1.08	0.06	2.24	0.18	48	33.5	16	0.38
388887	0.1	820	1.24	0.03	2.43	0.06	57.5	43.1	20	0.44
388888	0.1	1000	1.27	0.02	2.94	0.04	52.5	40.4	18	0.52
388889	0.3	1050	1.11	0.03	3.75	0.06	57.7	39.9	19	0.5
388891	0.4	40	0.4	0.005	0.17	0.01	8.3	2.4	23	0.21
388892	0.1	780	1.26	0.03	1.4	0.07	52.3	41.6	18	0.64
388893	0.1	860	1.47	0.04	1.6	0.07	55.4	44.8	19	0.88
388894	0.1	500	1.12	0.03	1.31	0.01	57.8	48.2	19	0.62
388896	0.1	90	0.47	0.02	0.22	0.07	7.06	2.9	20	0.21
388897	0.4	180	0.85	0.01	0.42	0.01	20.8	4	21	0.26
388898	0.2	540	1.07	0.02	1.33	0.02	38.2	6.7	21	0.24
388899	0.3	580	1.4	0.04	2.71	0.04	43.8	19.6	18	0.59
388900	0.1	700	1.47	0.04	3.42	0.05	44.9	31.2	19	0.41
388901	0.5	820	1.35	0.05	3.81	0.06	59.1	36.8	18	0.48
388902	0.6	990	1.55	0.02	3.68	0.04	58.3	42.9	19	0.52
388903	0.1	1180	1.24	0.02	3.78	0.04	62	43.9	21	0.52
388904	0.1	1330	1.52	0.03	3.92	0.05	63.1	46.8	21	0.52
388906	0.2	1110	1.27	0.06	3.48	0.15	55.7	41.8	19	0.55
388907	0.3	910	1.36	0.04	2.7	0.04	52.4	42.2	20	0.64
388908	0.2	890	1.39	0.05	0.83	0.03	42.6	46	21	1.58
388909	0.1	1170	1.55	0.03	3.1	0.04	50.3	43.9	20	0.77

SAMPLE_NUMBER	Cu_ppm_M S61	Fe_pct_MS6 1	Ga_ppm_M S61	Ge_ppm_M S61	Hf_ppm_MS 61	In_ppm_MS 61	K_pct_MS6 1	La_ppm_MS 61	Li_ppm_MS 61	Mg_pct_MS 61
388701	57	10.5	18.4	0.07	1.6	0.055	1.39	10.4	30	1.45
388702	135	12.15	16.65	0.08	1.7	0.055	1.18	12.1	24.1	1.35
388703	167.5	14.95	14.35	0.08	0.9	0.055	0.9	6.7	21.4	1.35
388704	196	13.6	13.95	0.08	1	0.046	0.73	8.4	20.2	1.11
388706	142.5	11.1	14.45	0.07	1.1	0.043	0.8	11.2	22.1	1.05
388707	187.5	12.3	15.7	0.09	1.4	0.048	0.95	13.3	23.5	1.26
388708	118.5	12.15	17.35	0.06	1.7	0.054	0.86	11.9	18.8	1.23
388709	123.5	13.3	16.6	0.07	1.4	0.062	0.73	9.9	18.6	1.35
388711	122.5	14.1	15.95	0.07	0.6	0.059	0.86	9.9	18.1	1.26
388712	96.5	12.95	16.9	0.08	0.8	0.052	0.96	11.1	19.4	1.29
388713	107	12.2	17.85	0.08	1.4	0.057	1.17	11.1	23.7	1.42
388714	117	12.55	16.5	0.08	1.4	0.051	0.96	10.5	19.1	1.26
388716	138.5	12.5	16.9	0.07	1.2	0.057	1.18	23.3	20.9	1.28
388717	158	12.65	15	0.08	1.2	0.056	1.15	14.1	21.5	1.31
388718	117.5	11.5	17.1	0.08	1.4	0.046	1.09	11	20.5	1.29
388719	73.5	9.29	18.65	0.07	1.3	0.053	1.19	12.3	23.9	1.34
388721	51.2	5.84	20.8	0.1	1.3	0.043	1.19	16.3	27.5	1.33
388722	67.3	5.97	20.3	0.1	1	0.041	1.3	15.7	31.7	1.39
388723	76.9	5.91	19.55	0.1	0.8	0.041	1.34	18	39.3	1.42
388724	84.5	7.51	21.8	0.12	1.5	0.056	1.34	15.7	33	2.69
388726	36	6.22	22	0.19	3.4	0.05	1.53	48.5	9.9	2.39
388727	70.8	6.27	21.2	0.13	3.3	0.053	1.72	49.6	10	2.4
388728	72.9	6.44	21.4	0.15	3.2	0.052	1.42	49.3	13	2.33
388729	11.3	6.03	22.1	0.16	2.6	0.056	1	52.5	12.4	2.29
388731	57.3	7.22	22.8	0.16	3.2	0.062	1.03	61	15.6	2.92
388732	24.1	6.96	22.4	0.18	2.6	0.06	1.02	61.4	14.8	2.52
388733	63.9	9.33	23	0.13	2.2	0.097	1.16	30.6	22.6	4.64
388734	888	26.3	14.1	0.1	0.7	0.061	0.18	16.1	81.1	1.77
388736	56.9	10.9	23.6	0.08	1.2	0.076	0.94	22.4	16.9	2.74
388737	93	11.1	21.6	0.08	1.1	0.067	0.69	20.5	15.6	2.48
388738	29.3	10.55	23.7	0.08	1.2	0.08	1.04	24.1	18.3	2.78
388739	109	10.65	21.5	0.08	1.2	0.082	0.78	23	14.4	2.93
388741	49.8	9.15	21.1	0.1	1.5	0.069	1.15	16.6	17.6	3.92
388742	64.3	6.12	19.85	0.15	3.1	0.054	1.38	45.5	8.1	2.39
388743	87.8	6.86	19.7	0.14	3.2	0.052	1.67	41.7	13.4	2.54
388744	32.4	6.59	20.4	0.15	2.5	0.057	1.02	43.5	12.5	2.59
388746	95.6	8.45	19.75	0.16	2.4	0.059	1.03	59.1	18.3	2.8
388747	38.1	7.05	21.6	0.16	3.1	0.067	1.14	68.9	11.3	2.93
388748	341	9.1	20.2	0.16	3	0.07	1.62	49.2	12.9	2.56
388749	45.4	6.9	21.1	0.15	3	0.071	1.12	47.3	9.5	2.79
388751	87.1	9.5	22.7	0.11	2.3	0.09	1.39	26.6	28	3.27
388752	592	21.1	14.7	0.09	0.8	0.071	0.36	14.8	45.3	1.94
388753	30.8	10.05	20.1	0.09	1.2	0.073	1.02	20.1	13.1	3.17
388754	74.7	9.68	21.3	0.1	1.7	0.08	1.14	21.1	12.6	2.38
388756	102	6.79	22	0.12	2.6	0.077	1.26	31.2	10.6	2.57
388757	28.1	6.7	20.2	0.14	2.8	0.057	1.64	40	9.3	2.66
388758	1045	10.05	21.9	0.12	1.8	0.072	1.43	37.7	20.1	2.41
388759	314	6.44	19.85	0.14	2.9	0.06	1.81	35.1	17.7	2.45
388760	199	5.98	20.1	0.14	2.6	0.051	1.78	45.7	14.4	2.54
388761	784	8.44	21	0.17	2.9	0.05	2.16	35	16.3	2.2
388801	50.5	6.5	22.2	0.17	2.7	0.072	1.48	32.9	15	2.56
388802	91.7	8.77	20.7	0.14	1.3	0.069	1.31	19	15.1	2.35
388803	62.8	6.21	21.7	0.19	2.8	0.055	1.75	43.6	21.4	2.21
388804	53.1	6.68	20.7	0.19	2.7	0.061	1.57	41.1	10.7	2.62
388806	528	10.25	19	0.17	2.9	0.052	1.93	31.2	18.9	2.17
388807	10000	6.91	21.7	0.14	1.2	0.067	1.14	21.7	12.7	2.01
388808	10000	10.2	22.3	0.16	1.9	0.075	1.3	33.1	25.4	2.35
388809	9260	9.06	27.1	0.12	1.1	0.099	0.59	26.5	14.5	2.13
388811	403	6.76	21.7	0.17	2.5	0.063	1.66	35.3	11.3	2.53
388812	4280	10.5	22.3	0.13	1.2	0.081	0.8	19.1	13.2	2.06
388813	10000	8.59	22.1	0.14	1	0.074	0.88	25.2	14.2	2.08
388814	820	6.34	22	0.2	2.9	0.054	2.18	52.1	27	2.22
388816	362	5.45	20.4	0.16	2.8	0.053	1.66	48.2	14.1	2.15
388817	78.2	9.65	20.5	0.12	1.4	0.068	1.21	23.3	24	2.83
388818	39.5	3.6	21.2	0.12	1.5	0.033	1.48	13.4	16.8	1.96
388819	41.6	3.6	21	0.11	1.2	0.029	1.5	11.8	20.8	1.93
388820	1165	12.9	20.3	0.13	0.9	0.074	0.9	19.9	19.4	2.94
388821	118	10.05	21.5	0.09	1.2	0.075	1.14	23.2	14.8	2.99
388822	138	10.1	21.5	0.12	1.4	0.084	0.91	22.6	12.4	2.4
388823	34.8	8.04	22.8	0.09	2.4	0.074	1.16	12	25.6	2.92
388824	31.8	10.35	26.6	0.15	2.2	0.144	1.21	21.4	25.7	4.18
388826	42.2	9.8	22.8	0.11	1.7	0.079	1.08	20.1	15.6	3.4
388827	60.8	9.98	22.9	0.09	1.3	0.071	1.13	17.5	16.8	2.72
388828	86.1	7.08	21.2	0.1	1.4	0.067	1.01	31.8	20.6	2.35
388829	20.1	5.82	22.2	0.2	2.8	0.048	1.51	41.3	11.9	2.36
388831	113	7.08	22.2	0.14	2.6	0.051	1.27	50.5	10.4	2.24
388832	31.7	6.44	23	0.16	3	0.061	1.09	29.7	14.8	2.62
388833	41.6	5.72	20.5	0.16	2.6	0.053	1.64	41.2	11.7	2.24
388834	146.5	9.59	23.4	0.13	1.7	0.089	1.25	25.4	14.6	2.42
388836	46.7	7.55	20.8	0.15	2.2	0.064	1.79	34.7	13.6	2.78
388837	145.5	9.64	23.8	0.17	2.3	0.087	1.52	36.5	22.6	2.63

SAMPLE_NUMBER	Cu_ppm_M S61	Fe_pct_MS6 1	Ga_ppm_M S61	Ge_ppm_M S61	Hf_ppm_MS 61	In_ppm_MS 61	K_pct_MS6 1	La_ppm_MS 61	Li_ppm_MS 61	Mg_pct_MS 61
388838	89.4	6.7	21.2	0.17	2.8	0.054	1.89	45.3	11.9	2.47
388839	92.4	6.27	20.4	0.19	2.6	0.078	1.64	46.1	13	2.49
388840	89.5	5.44	18.7	0.13	3	0.05	1.6	34.9	11.8	2.17
388841	87.2	6.56	21	0.14	2.8	0.052	1.91	38.4	13.9	2.34
388842	23.6	5.77	20.8	0.11	2.4	0.054	1.53	32.6	11.3	2.31
388843	152.5	8.63	21	0.12	2.4	0.068	1.42	35.7	11.7	2.08
388844	159.5	8.81	23.1	0.18	4.1	0.078	1.29	79.3	17.4	2.84
388846	82.8	5.65	19.25	0.13	2.4	0.055	1.45	38.9	14	2.18
388847	296	9.9	21.1	0.16	1.9	0.08	1.08	41.7	18.9	2.91
388848	37.3	4.36	20.4	0.09	1.8	0.05	1.44	13.2	11.7	2.01
388849	36.4	6.34	19.55	0.14	2.2	0.058	1.45	38.9	10.2	2.36
388851	21.9	4.46	18.05	0.12	2.8	0.042	1.28	26.6	9.9	1.88
388852	101	6.89	22	0.11	1.6	0.063	0.97	23.6	8	2.68
388853	18	7.53	29.9	0.1	2.1	0.068	1.38	26.1	7	3.48
388854	60.7	4.63	25	0.09	1.6	0.048	1.63	25	6.4	2.11
388856	40.9	5.3	23	0.11	1.8	0.052	1.9	25.8	6.3	2.19
388857	29.7	7.61	19.9	0.13	2.2	0.06	1.33	31	13.4	3.07
388858	55.6	7.8	20.4	0.13	2	0.065	1.22	34.1	17.8	3.83
388859	96.4	6.59	19.6	0.12	2.1	0.063	1.67	30.9	16.7	2.78
388860	10.5	5.59	21.7	0.15	2.1	0.051	1.52	38.1	7.9	2.58
388861	8	5.56	19.05	0.13	1.8	0.048	1.93	22.5	10.2	2.44
388862	12.5	1.08	14.2	0.12	1.1	0.007	2.76	9.7	3.7	0.16
388863	32.4	0.73	15.35	0.12	1.6	0.007	4.05	6.7	1.9	0.11
388864	1.7	0.61	4.49	0.11	0.2	0.0025	0.24	2.8	19.1	0.37
388866	1.5	0.72	4.68	0.11	0.2	0.005	0.16	2.2	19.2	0.39
388867	6.1	1.38	8.59	0.09	0.4	0.009	0.25	5.1	21.3	0.81
388868	1.8	1.69	9.34	0.09	0.6	0.005	0.03	3.2	20	0.93
388869	1.9	3.61	17.4	0.1	1.1	0.013	0.02	9.2	32.1	2.01
388871	6.7	5.31	20.1	0.14	1.6	0.026	0.49	21	42.9	2.88
388872	20.3	6.68	26.4	0.11	1.9	0.038	0.55	13.9	52.7	3.65
388873	513	7.84	27.9	0.12	2.5	0.035	1.02	19.9	54.9	4.15
388874	232	7.34	24.4	0.12	2.1	0.033	0.48	26.8	51.7	4.21
388876	53.7	8.24	23.6	0.14	2.6	0.047	1.14	29.7	44.6	3.88
388877	346	9.31	26.5	0.15	2.9	0.062	1.88	26.2	37	3.37
388878	70.1	9.07	25.1	0.15	3	0.049	1.55	26.1	30.7	2.5
388879	29.8	8.61	26.1	0.15	2.7	0.056	1.25	26.3	32.1	2.58
388880	511	9.47	25.5	0.17	3	0.047	1.93	30.4	31	2.61
388881	419	8.54	23.4	0.16	2.6	0.048	1.19	28.1	33.9	2.84
388882	19	9.17	25.4	0.15	2.6	0.056	1.93	24.6	28.9	2.38
388883	44.6	8.76	25.7	0.14	2.5	0.05	1.07	26.1	29.6	2.29
388884	143	8.34	27.9	0.12	2.2	0.038	0.83	18.9	29.8	2.27
388886	41.7	7.96	22.5	0.12	2.2	0.044	1	22.2	26.4	1.98
388887	43.2	8.99	26.6	0.16	3	0.047	1.6	25.7	31.1	2.43
388888	17.6	8.63	25	0.14	2.8	0.049	1.85	23.9	28.8	2.18
388889	44.4	8.81	21.8	0.16	2.6	0.055	1.46	27.9	21.9	2.03
388891	2	0.98	5.52	0.025	0.2	0.006	0.18	4.5	14.8	0.4
388892	20.9	8.31	24.1	0.15	3	0.048	1.04	24.2	45.5	3.69
388893	170.5	8.65	25.8	0.15	2.8	0.048	1.41	26.3	39.6	3.1
388894	233	9.31	28	0.14	3.1	0.058	1.08	24.5	42.3	3.24
388896	15.9	0.9	5.88	0.06	0.2	0.005	0.23	4	23.6	0.44
388897	2.8	1.14	9.26	0.09	0.7	0.009	0.46	10.7	18.9	0.58
388898	2.4	1.71	14.25	0.11	1.4	0.016	1.06	20.6	16.5	0.62
388899	22.6	4.38	22.7	0.13	1.9	0.032	1.15	21.5	32.8	1.48
388900	185.5	6.2	22.9	0.13	2	0.035	0.8	22.1	33	1.56
388901	238	8.27	24.5	0.15	2.6	0.048	0.87	28.7	32.5	1.95
388902	86.7	9.16	22.2	0.15	2.7	0.055	1.21	27.5	25.9	2.14
388903	16.6	9.72	20.6	0.17	2.8	0.052	1.71	30.4	17.9	2.2
388904	20.3	10.1	25.3	0.16	2.9	0.068	1.91	30.9	22.7	2.31
388906	29.4	9.09	23.3	0.14	2.6	0.055	1.57	26.5	29	2.16
388907	70.5	8.75	24.6	0.15	2.6	0.048	1.47	25.6	37.5	2.82
388908	27.4	8.15	24.3	0.12	2.8	0.039	0.88	18.5	54.2	5.09
388909	20.3	8.85	27	0.16	2.7	0.056	2.12	23.1	33.5	2.28

SAMPLE_NUMBER	Mn_ppm_M S61	Mo_ppm_M S61	Na_pct_MS 61	Nb_ppm_M S61	Ni_ppm_MS 61	P_ppm_MS 61	Pb_ppm_M S61	Rb_ppm_M S61	Re_ppm_M S61	S_pct_MS61
388701	2960	0.94	1.62	3.8	44.2	490	12.9	49.1	0.002	1.86
388702	3360	2.78	1.54	3.5	50.1	490	11.9	36.5	0.002	4.41
388703	4320	1.65	1.09	3	64.3	420	8.8	27	0.003	5.71
388704	2640	1.37	1.23	2.4	63.8	300	8.6	23.8	0.002	5.41
388706	2720	1.26	1.52	2.7	51.3	320	15	23.9	0.002	4.29
388707	2780	1.17	1.63	3.2	66.4	720	10.1	27.6	0.003	5.89
388708	3390	0.76	1.56	3.2	46.2	400	9.2	24.3	0.001	4.03
388709	3850	1.11	1.25	3	49.4	370	7.3	21.6	0.003	3.9
388711	3570	2.67	1.3	2.9	47.6	420	8.2	24.9	0.001	4.65
388712	3730	14.35	1.63	3.4	36.4	250	10.3	27.6	0.003	3.13
388713	3350	0.89	1.54	3.3	44.4	430	10.8	34.5	0.001	3.31
388714	3540	0.69	1.63	3.4	47.3	300	11.8	28	0.003	3.95
388716	3230	1.07	1.5	3.5	43.8	330	13.8	39.1	0.001	3.82
388717	3250	1.67	1.26	3	57.5	490	9.2	39	0.002	4.93
388718	3500	0.68	1.46	3	45.6	480	9.6	32.8	0.001	3.69
388719	3400	0.53	1.91	3.4	39	550	13.9	33.7	0.001	2.29
388721	1270	1.01	2.33	3.6	42.2	450	16.7	36	0.001	0.61
388722	1160	1.22	2.42	3.8	47.1	320	12.7	38.9	0.001	0.71
388723	1080	0.93	2.3	3.9	45.2	280	10.7	40.6	0.002	0.69
388724	1490	0.74	2.35	4.8	110	560	9.2	42.2	0.001	0.72
388726	1110	1.22	2.81	6.8	57.6	1640	17.1	24	0.001	0.05
388727	1120	1.68	2.7	6.4	53.2	1690	9.5	26.8	0.001	0.08
388728	1140	3.3	2.94	6.2	57	1620	10.9	21.1	0.001	0.1
388729	1270	7.99	3.04	7.5	56.8	1520	14.2	14.5	0.001	0.03
388731	1400	3.73	2.89	9.5	83.3	1860	19.8	15.7	0.001	0.22
388732	1340	12.9	2.95	7.3	81.4	1660	15.2	19.9	0.003	0.11
388733	1820	5.68	2.19	10.4	157.5	850	6.8	45.3	0.003	0.99
388734	791	19.2	0.65	2.6	433	520	9.6	11.6	0.004	10
388736	1320	0.86	1.98	2.9	174	830	11.2	47.8	0.001	0.99
388737	1200	0.84	2.31	2.6	175.5	780	11.2	40.7	0.001	1.99
388738	1400	1.06	2.18	3	173.5	860	20.4	60.4	0.001	0.73
388739	1540	1.46	2.16	3	152.5	800	27.4	37	0.001	2.3
388741	1600	1.14	2.4	5.4	137.5	690	23.2	33.3	0.001	0.67
388742	1110	1.96	2.9	5.8	47.8	1680	13.3	18	0.001	0.09
388743	1220	10.05	2.83	5.8	56.6	1620	15	23.7	0.001	0.14
388744	1360	3.97	2.96	6.9	62.7	1600	17.1	10.7	0.001	0.05
388746	1460	3.9	2.74	7	94	1640	18.8	24.7	0.001	0.21
388747	1380	0.75	2.96	7.8	74.3	1900	17.1	14.5	0.001	0.16
388748	1300	7.73	3.1	6.1	178	1670	15	50.8	0.002	1.95
388749	1340	1.68	3.1	7.3	98.3	1770	13.7	19.7	0.001	0.34
388751	1500	1.75	2.65	11	105.5	1100	6.9	34.2	0.002	1.46
388752	890	7.18	1.34	2.2	293	580	11.1	16	0.002	10
388753	1360	0.82	2.28	2.5	149	730	7.8	40.4	0.001	0.65
388754	1280	6.18	2.64	7.2	130.5	720	10.9	51.7	0.001	1.48
388756	1360	0.73	2.77	7.7	65	1670	14.5	24.3	0.001	0.4
388757	1230	1.48	2.81	7	61.5	1640	13.6	28.4	0.002	0.19
388758	1160	4.16	2.64	8.4	124.5	1080	10.9	57.6	0.002	3.11
388759	1180	0.71	3.1	5.9	91.1	1670	9.8	34.7	0.002	0.43
388760	1170	0.79	2.96	6.2	68.4	1630	11.2	38.2	0.001	0.19
388761	1120	8.41	2.68	6.2	86.7	1470	14.6	82.3	0.003	2.28
388801	1260	1.1	2.69	7.4	68	1610	14.1	31.9	0.001	0.26
388802	1240	1.74	2.38	5.6	134	850	9.2	51.2	0.001	1.65
388803	1100	0.5	2.94	5.9	92	1640	10.4	53.7	0.001	0.53
388804	1180	20.7	2.82	8.1	59.1	1720	11.6	53.3	0.003	0.63
388806	933	49.3	2.28	5.5	116.5	1440	16.9	73.6	0.01	4.07
388807	1170	3.23	3.41	7.6	106.5	900	11.3	43.6	0.009	2.23
388808	1200	5.92	2.87	6.3	137.5	1280	10.9	40.4	0.016	3.65
388809	1260	2.2	2.39	3.3	129.5	920	7.1	25.5	0.037	2.16
388811	1220	1.27	2.81	7.2	70.1	1500	12.3	35.7	0.001	0.49
388812	1220	6.1	2.59	5.1	145.5	910	9.1	30.4	0.004	3.68
388813	1170	12.65	3.28	6.7	111	800	9.8	35.7	0.274	3.4
388814	1130	0.54	3.18	6.9	95.8	1840	12.4	75.3	0.007	0.56
388816	1000	3.15	2.96	6.9	54.9	1430	15.7	50.5	0.005	0.51
388817	1300	1.92	2.58	3.7	160.5	780	11.2	53.5	0.001	1.05
388818	569	0.61	3.92	3.8	55.8	690	15.7	48.4	0.001	0.76
388819	594	3.18	3.82	3.7	56.5	660	10.5	44.9	0.002	0.63
388820	1340	12.85	2.52	2.7	230	710	26.9	36.5	0.041	6.15
388821	1360	2.67	2.26	2.7	156.5	760	7.4	43.1	0.001	2.5
388822	1180	2.29	2.38	4.2	137	770	8.5	23	0.001	2.42
388823	1340	1.83	2.52	6.6	143	670	10.6	19.7	0.001	0.69
388824	1820	1.15	1.92	11.4	165.5	680	8.2	41.4	0.001	0.64
388826	1490	1.39	2.07	5.8	161.5	810	15	35.1	0.002	0.82
388827	1320	1.42	2.22	4.8	162.5	750	8.6	45	0.001	1.03
388828	1250	1.54	2.59	4.4	96.6	600	9.3	33.9	0.001	1.39
388829	1180	1.08	2.69	7.5	62	1860	12.5	23.8	0.001	0.26
388831	1220	2.77	2.73	6	73	2010	10.5	29	0.002	0.9
388832	1290	2.67	2.49	8.8	68.8	1810	13.9	15	0.001	0.19
388833	1180	0.5	2.96	5.9	56.4	1580	16.1	29	0.001	0.12
388834	1300	8.9	2.56	10.6	140	820	10.9	34	0.003	2.43
388836	1350	0.97	2.45	4.9	105	1280	13.5	28.5	0.001	0.49
388837	1340	7.98	2.57	10.2	117	1220	14.2	37.1	0.004	2.28

SAMPLE_NUMBER	Mn_ppm_M S61	Mo_ppm_M S61	Na_pct_MS 61	Nb_ppm_M S61	Ni_ppm_MS 61	P_ppm_MS 61	Pb_ppm_M S61	Rb_ppm_M S61	Re_ppm_M S61	S_pct_MS61
388838	1100	4.21	2.88	6	72.2	1600	21.2	43.3	0.002	1.21
388839	1360	10.1	3.37	6	65.9	1570	11.8	33	0.005	0.94
388840	1020	1.71	3.35	5.5	62.5	1410	14.9	32.2	0.017	0.89
388841	1150	0.81	3.09	7.4	64.7	1580	12	42.5	0.001	0.45
388842	1180	0.56	3.28	8.1	45.8	1400	18	28.7	0.001	0.09
388843	1180	1.51	2.89	7.5	93.4	910	16.4	49.4	0.001	0.96
388844	1380	1.77	2.47	9.3	154	890	13.9	50.2	0.001	0.79
388846	1040	0.39	3.29	5.9	75.3	830	20.7	46.8	0.001	0.18
388847	1380	2.5	2.3	4.5	168.5	1290	14	35.4	0.001	2.21
388848	740	0.34	3.36	3.7	69	670	10.4	35.7	0.001	0.08
388849	1280	0.48	2.99	5.8	77.2	1190	14.9	32.2	0.001	0.05
388851	887	0.71	3.15	5.5	73.3	730	10.4	35.6	0.001	0.01
388852	1380	3.38	2.81	6.1	143	760	13.4	18.4	0.001	0.03
388853	1680	0.85	1.95	8.4	159	990	13.4	35.8	0.001	0.005
388854	1040	0.53	2.66	6.2	77	350	10.5	43.6	0.001	0.005
388856	1080	0.37	3.04	6.2	92.7	640	11.9	48.8	0.001	0.01
388857	1400	0.34	2.73	6.2	183.5	1090	6.8	33.3	0.001	0.02
388858	1620	0.56	2.76	8	186	950	7.3	27.7	0.001	0.09
388859	1280	1.06	3.1	3.7	105	900	15.5	37.1	0.001	0.21
388860	1120	0.16	3.65	4.6	72.2	1150	7.6	37.1	0.001	0.005
388861	1120	0.12	3.24	3.9	92.7	920	8.4	31.3	0.001	0.03
388862	139	0.1	3.52	3.6	4.5	100	10.4	93	0.001	0.005
388863	89	0.13	4.94	2.7	1.9	20	22.4	114.5	0.001	0.005
388864	68	0.16	0.69	0.7	3.3	100	0.5	11.4	0.001	0.005
388866	68	0.12	0.96	0.8	3.1	90	0.25	7.7	0.001	0.005
388867	163	0.15	1.72	1.5	5.6	170	0.6	11.2	0.001	0.005
388868	215	0.1	2.68	2.7	7.1	380	0.25	0.9	0.001	0.005
388869	445	0.11	3.2	7.8	18.8	1160	0.5	0.5	0.001	0.005
388871	626	0.14	2.27	11.1	26.3	1740	1.2	20	0.001	0.005
388872	763	0.27	3.59	14.1	32.5	2250	1.4	3.9	0.001	0.005
388873	889	0.44	3.2	16	40.1	2660	2.1	17.5	0.011	0.28
388874	910	2.32	2.89	13.5	36.4	2240	1.8	10.3	0.01	0.27
388876	1020	0.25	2.78	15	40.9	2620	6.3	23.1	0.001	0.07
388877	996	2.25	2.72	16.5	44.2	2920	5	29.2	0.055	0.77
388878	962	0.38	3.34	16.6	45.8	2880	3.5	29.4	0.025	0.18
388879	1010	0.2	2.99	14.9	43	2650	3.7	27.3	0.001	0.02
388880	973	0.42	2.91	15.3	46	2880	3.5	58.3	0.012	0.64
388881	1020	0.43	2.6	13.8	42.7	2630	3.7	40.3	0.002	0.45
388882	1020	0.32	2.42	14.6	46.9	2780	3.8	39.1	0.001	0.02
388883	1060	0.23	2.64	13.3	45	2530	4.3	28.8	0.001	0.02
388884	1030	0.21	3.01	12.3	46	2200	7.5	11.9	0.001	0.06
388886	769	0.24	3.2	12.9	35.8	2120	11.8	31.7	0.002	0.09
388887	935	0.3	3.24	17.3	46.2	2900	4.2	35.2	0.003	0.12
388888	876	0.21	2.52	15.6	42.2	2630	5.1	42.2	0.002	0.01
388889	1280	0.31	2.18	14.8	40.7	2520	8.1	41.5	0.001	0.04
388891	92	0.27	1.22	0.9	3.5	120	1	8.2	0.001	0.005
388892	979	0.24	2.73	17	43.2	2670	5.9	18.1	0.002	0.03
388893	1000	0.41	2.59	12.9	45.3	2700	4.6	33	0.002	0.21
388894	1070	0.3	3.61	17.1	48.9	2990	1.7	11.4	0.011	0.32
388896	98	0.21	1.08	1	4.5	130	4.4	10.7	0.001	0.01
388897	140	0.15	2.7	1.6	5.4	210	2.3	15.7	0.001	0.01
388898	266	0.27	4.01	3.2	8.8	480	5.3	30.1	0.001	0.01
388899	572	0.15	3.56	8.4	21.3	1200	7.2	32.7	0.001	0.01
388900	835	0.22	2.95	11.9	31.2	1860	7.1	22.6	0.001	0.11
388901	1100	0.26	2.39	16.1	35.2	2550	7.7	26.2	0.001	0.29
388902	1260	0.29	2.88	16.9	43.7	2750	5.7	30.9	0.001	0.09
388903	1400	0.27	2.88	15.8	44.8	2920	6.4	44.8	0.001	0.01
388904	1440	0.33	2.71	17.1	47.4	2940	7.4	45.3	0.001	0.01
388906	1130	0.27	2.51	15.5	41.4	2670	12.7	36.1	0.001	0.05
388907	1100	0.29	2.57	16.3	42.9	2760	6	29	0.001	0.07
388908	997	0.14	2.5	17.9	45.3	2880	2.2	18.8	0.001	0.03
388909	904	0.28	2.35	14.8	44	2670	5.5	43.1	0.001	0.01

SAMPLE_NUMBER	Sb_ppm_M S61	Sc_ppm_MS 61	Se_ppm_M S61	Sn_ppm_M S61	Sr_ppm_MS 61	Ta_ppm_M S61	Te_ppm_M S61	Th_ppm_M S61	Ti_pct_MS6 1	Tl_ppm_MS 61
388701	0.05	24.6	0.5	0.8	321	0.37	0.06	1.57	0.466	0.44
388702	0.025	22.1	1	0.8	312	0.35	0.18	1.95	0.423	0.38
388703	0.025	25	2	0.6	205	0.21	0.15	0.87	0.393	0.3
388704	0.025	16.7	1	0.5	198.5	0.14	0.16	1.19	0.31	0.22
388706	0.07	17.1	1	0.5	287	0.16	0.14	1.8	0.347	0.24
388707	0.025	20.2	2	0.6	292	0.2	0.17	2.2	0.384	0.28
388708	0.025	20.5	1	0.6	341	0.21	0.1	1.85	0.411	0.24
388709	0.025	22.5	1	0.7	270	0.19	0.13	1.55	0.413	0.22
388711	0.025	20.8	1	0.7	288	0.18	0.12	1.43	0.408	0.26
388712	0.025	22.7	1	0.7	347	0.23	0.07	1.89	0.449	0.3
388713	0.025	24.1	1	0.7	326	0.21	0.07	1.68	0.44	0.33
388714	0.025	22	1	0.7	319	0.21	0.06	1.53	0.425	0.31
388716	0.05	20.7	1	0.8	279	0.21	0.08	11.8	0.425	0.38
388717	0.025	21.9	1	0.7	217	0.18	0.05	3.9	0.386	0.39
388718	0.025	20.1	1	0.6	234	0.18	0.07	1.81	0.391	0.35
388719	0.025	21.6	1	0.6	282	0.2	0.05	1.83	0.404	0.38
388721	0.025	19	1	0.6	423	0.17	0.05	2.49	0.428	0.35
388722	0.025	19.9	1	0.6	405	0.19	0.025	2.76	0.446	0.33
388723	0.025	20.4	1	0.6	402	0.16	0.025	3.26	0.447	0.32
388724	0.025	26.5	1	1	541	0.22	0.06	2.85	0.595	0.35
388726	0.07	20.8	0.5	1.1	1005	0.32	0.025	10.15	0.493	0.26
388727	0.06	18.3	1	0.9	1090	0.33	0.025	9.24	0.51	0.23
388728	0.025	18.3	1	0.9	1050	0.32	0.025	9.29	0.497	0.21
388729	0.025	19.9	1	1.3	885	0.51	0.025	11.7	0.468	0.13
388731	0.025	23.1	1	1.3	851	0.57	0.025	14.3	0.567	0.15
388732	0.025	20.9	1	1.3	932	0.59	0.025	17.35	0.471	0.13
388733	0.025	35.5	1	2.2	448	0.55	0.12	6.9	0.58	0.23
388734	0.025	17	1	1.1	79.7	0.15	1.27	2.87	0.541	0.07
388736	0.15	26.7	1	1	985	0.18	0.23	2.62	0.884	0.22
388737	0.13	25.8	1	0.9	878	0.15	0.49	2.32	0.861	0.18
388738	0.11	27.3	1	1	829	0.19	0.14	3.42	0.896	0.26
388739	0.09	26.6	1	0.9	798	0.2	0.5	3.3	0.871	0.17
388741	0.06	24.1	1	1.3	461	0.33	0.1	2.58	0.772	0.22
388742	0.025	17.9	0.5	1	1080	0.31	0.025	8.37	0.517	0.23
388743	0.025	18.2	1	1	1085	0.29	0.025	7.92	0.522	0.29
388744	0.025	21.8	1	1.3	926	0.45	0.025	14.5	0.477	0.12
388746	0.08	21.6	0.5	1.2	973	0.56	0.05	15.1	0.501	0.18
388747	0.025	23.6	1	1.6	887	0.41	0.025	14.15	0.557	0.16
388748	0.025	23.3	1	1.2	683	0.33	0.15	11.1	0.544	0.4
388749	0.025	25.1	1	1.6	666	0.41	0.025	11.5	0.499	0.21
388751	0.025	25.8	0.5	2.2	353	0.66	0.13	7.02	0.668	0.32
388752	0.025	17.1	1	1.3	262	0.14	0.89	2.31	0.631	0.11
388753	0.16	24.5	0.5	0.9	654	0.15	0.13	2.8	0.844	0.24
388754	0.025	25.8	1	1.7	504	0.55	0.29	8.7	0.71	0.29
388756	0.05	26.5	0.5	1.9	814	0.34	0.07	12.45	0.487	0.26
388757	0.025	20.8	1	1.3	1020	0.37	0.07	9.08	0.533	0.28
388758	0.025	23	1	1.8	438	0.63	0.46	15.4	0.774	0.37
388759	0.025	18.8	0.5	1.1	634	0.32	0.09	8.53	0.522	0.46
388760	0.025	19.2	0.5	1.3	624	0.38	0.06	9.06	0.505	0.38
388761	0.05	17.8	1	1.3	682	0.52	0.23	9.82	0.453	0.5
388801	0.27	24.5	0.5	1.5	889	0.37	0.05	11.85	0.49	0.33
388802	0.11	23.2	1	1.5	559	0.38	0.25	3.42	0.77	0.28
388803	0.05	20.9	1	1	747	0.3	0.1	8.32	0.489	0.42
388804	0.06	22.7	1	1.6	815	0.73	0.11	10.1	0.48	0.32
388806	0.1	18.9	1	1.3	823	0.36	0.4	7.96	0.42	0.5
388807	0.06	22.7	2	1.3	531	0.84	0.42	5.05	0.619	0.23
388808	0.05	24.2	1	1.5	545	0.45	0.55	6.22	0.683	0.31
388809	0.12	23.3	2	1.2	1335	0.23	0.41	2.6	0.85	0.16
388811	0.025	21.5	1	1.5	848	0.37	0.09	7.52	0.544	0.32
388812	0.06	25.1	1	1.7	674	0.35	0.5	3.45	0.877	0.2
388813	0.06	23.4	4	1.4	454	0.58	0.59	4.2	0.636	0.21
388814	0.025	21.9	1	1.1	589	0.35	0.1	9.99	0.53	0.53
388816	0.1	16.3	1	1.3	679	0.53	0.09	13.45	0.446	0.38
388817	0.21	23.1	1	0.9	716	0.24	0.12	2.55	0.742	0.34
388818	0.025	9.5	0.5	0.6	664	0.23	0.12	1.92	0.323	0.44
388819	0.025	9.2	1	0.6	600	0.2	0.07	1.23	0.322	0.46
388820	0.08	22.2	1	1.2	519	0.16	0.57	2.02	0.709	0.27
388821	0.19	23.6	1	1	649	0.16	0.28	2.44	0.812	0.31
388822	0.06	23.5	0.5	1.5	722	0.34	0.27	3.99	0.746	0.23
388823	0.05	18.5	1	1.9	453	0.44	0.08	2.65	0.717	0.32
388824	0.06	29.3	1	5.8	346	0.74	0.1	4.32	0.836	0.29
388826	0.1	23.7	0.5	1.5	534	0.41	0.08	3.42	0.843	0.23
388827	0.09	22.2	0.5	1.1	533	0.45	0.12	3.19	0.828	0.3
388828	0.08	19.4	0.5	1.2	631	0.3	0.19	7.71	0.529	0.28
388829	0.06	19.2	0.5	1.4	758	0.4	0.025	9.77	0.456	0.33
388831	0.05	18.2	0.5	1.2	780	0.32	0.11	10.45	0.44	0.31
388832	0.025	19.3	0.5	1.5	777	0.41	0.025	6.49	0.543	0.29
388833	0.05	18.1	1	1	653	0.31	0.025	7.84	0.474	0.33
388834	0.09	27.5	0.5	2.1	550	0.69	0.31	6.63	0.681	0.26
388836	0.1	20.6	1	1.2	649	0.26	0.08	6.17	0.615	0.35
388837	0.06	29.7	1	1.8	527	0.54	0.25	7.66	0.677	0.31

SAMPLE_NUMBER	Sb_ppm_M S61	Sc_ppm_MS 61	Se_ppm_M S61	Sn_ppm_M S61	Sr_ppm_MS 61	Ta_ppm_M S61	Te_ppm_M S61	Th_ppm_M S61	Ti_pct_MS6 1	Tl_ppm_MS 61
388838	0.05	19.5	1	1.2	749	0.35	0.1	8.95	0.483	0.41
388839	0.05	19.4	1	1	632	0.35	0.19	8.47	0.498	0.38
388840	0.05	14.9	1	1.1	591	0.32	0.14	6.89	0.438	0.36
388841	0.025	19.3	0.5	1.4	687	0.37	0.07	9.16	0.522	0.42
388842	0.025	17.1	0.5	1.6	659	0.4	0.025	8.47	0.457	0.34
388843	0.05	17.3	1	1.6	627	0.44	0.16	12.65	0.545	0.32
388844	0.05	19.7	1	2	509	0.49	0.12	33.2	0.728	0.32
388846	0.08	18.6	0.5	1.3	580	0.27	0.025	13.95	0.423	0.38
388847	0.08	23.2	1	1.1	696	0.25	0.3	6.35	0.724	0.2
388848	0.025	10.7	0.5	0.7	612	0.2	0.025	2.18	0.367	0.37
388849	0.025	16.4	0.5	1.2	664	0.38	0.025	9.58	0.483	0.32
388851	0.025	15.8	1	0.7	564	0.47	0.025	8.55	0.375	0.25
388852	0.025	24.1	0.5	1	713	0.35	0.025	4.3	0.482	0.18
388853	0.07	27.9	1	1.3	928	0.53	0.025	7.21	0.564	0.25
388854	0.025	14.7	0.5	1.2	632	0.59	0.025	10.15	0.279	0.31
388856	0.06	18.7	0.5	1.1	768	0.48	0.025	7.71	0.382	0.36
388857	0.025	29.9	0.5	0.9	687	0.3	0.025	5.53	0.48	0.31
388858	0.05	36.1	1	1.1	697	0.43	0.025	7.98	0.54	0.26
388859	0.025	26.1	0.5	0.8	619	0.2	0.025	6.82	0.467	0.37
388860	0.025	19.2	0.5	0.8	857	0.21	0.025	4.97	0.418	0.32
388861	0.025	16.4	0.5	0.7	738	0.2	0.025	3.42	0.406	0.42
388862	0.025	1.1	1	0.5	354	0.26	0.025	14.6	0.075	0.56
388863	0.025	0.9	1	0.3	267	0.21	0.025	29.5	0.055	0.62
388864	0.025	0.8	0.5	0.2	31.9	0.025	0.025	0.42	0.053	0.04
388866	0.025	0.8	1	0.2	25	0.05	0.025	0.45	0.06	0.04
388867	0.025	1.6	0.5	0.8	39.4	0.1	0.025	1.22	0.105	0.06
388868	0.025	2.5	0.5	0.4	37.6	0.18	0.025	1.41	0.192	0.01
388869	0.025	7.1	0.5	0.6	35.3	0.43	0.025	1.14	0.616	0.01
388871	0.025	10.7	1	0.6	51.9	0.62	0.025	1.56	0.902	0.1
388872	0.025	12.6	1	0.8	65.1	0.79	0.025	1.12	1.075	0.12
388873	0.025	15.6	1	0.9	72.5	0.92	0.07	1.89	1.215	0.19
388874	0.025	13.2	1	0.8	54.3	0.79	0.17	1.89	1.095	0.11
388876	0.08	14.8	0.5	1	86.6	0.94	0.025	2.22	1.315	0.22
388877	0.025	15.4	1	1	193	1.01	0.025	1.95	1.38	0.32
388878	0.025	16.6	1	0.9	175	1.03	0.025	2.18	1.39	0.28
388879	0.025	15.6	0.5	0.8	283	0.93	0.025	2.13	1.27	0.26
388880	0.025	17.8	1	0.8	201	0.95	0.05	2.64	1.31	0.35
388881	0.025	16.3	0.5	0.8	264	0.87	0.025	2.35	1.21	0.22
388882	0.025	16.5	0.5	0.9	415	0.88	0.025	2.11	1.26	0.34
388883	0.025	16	0.5	0.8	548	0.85	0.025	2.17	1.255	0.22
388884	0.025	13.5	0.5	0.8	741	0.76	0.025	1.52	1.195	0.15
388886	0.08	13.3	1	0.8	254	0.8	0.025	1.99	1.14	0.21
388887	0.025	17.2	0.5	0.9	216	1.05	0.025	2.27	1.44	0.3
388888	0.025	15.5	0.5	0.9	379	0.95	0.025	2.13	1.3	0.35
388889	0.025	15.8	0.5	0.9	640	0.9	0.025	2.4	1.205	0.28
388891	0.025	0.9	0.5	0.2	43.5	0.05	0.025	0.63	0.069	0.04
388892	0.05	15.4	1	1	114	1.01	0.025	2.24	1.285	0.18
388893	0.05	16	1	0.9	139	0.8	0.025	2.2	1.04	0.25
388894	0.025	15.8	1	1	62	1.01	0.025	1.89	1.39	0.2
388896	0.07	1.1	0.5	0.2	56.7	0.06	0.025	0.45	0.08	0.05
388897	0.025	1.9	0.5	0.3	146	0.11	0.025	1.89	0.103	0.09
388898	0.025	3.4	0.5	0.6	428	0.23	0.025	4.19	0.166	0.18
388899	0.025	8.2	0.5	0.8	683	0.49	0.025	4.03	0.63	0.21
388900	0.025	11.5	0.5	0.8	808	0.67	0.025	2.14	0.979	0.18
388901	0.025	14.5	0.5	1	742	0.92	0.08	2.36	1.235	0.21
388902	0.025	16.5	1	1	553	0.97	0.025	2.37	1.295	0.25
388903	0.025	16.4	0.5	1	530	0.93	0.025	2.41	1.265	0.3
388904	0.025	17.5	0.5	1	595	0.95	0.025	2.45	1.35	0.35
388906	0.07	15.1	1	0.9	562	0.91	0.025	2.18	1.285	0.3
388907	0.025	15.2	0.5	0.8	430	0.95	0.025	2.04	1.31	0.27
388908	0.025	16	1	0.9	58.6	1.02	0.025	2.17	1.445	0.17
388909	0.025	15.4	0.5	0.9	477	0.87	0.025	2.04	1.175	0.37

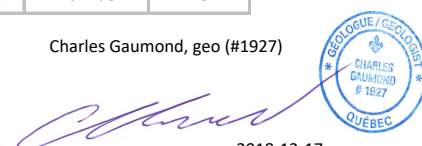
SAMPLE_NUMBER	U_ppm_MS 61	V_ppm_MS 61	W_ppm_MS 61	Zn_ppm_M S61	Zr_ppm_MS 61	Ag_ppm_O G62	Cu_pct_OG6 2
388701	0.6	183	0.4	126	58.6		
388702	0.7	147	0.5	102	60.3		
388703	0.3	155	0.3	87	31.7		
388704	0.4	136	0.1	70	36.8		
388706	0.6	133	0.3	104	41.3		
388707	0.7	140	0.1	98	51.6		
388708	0.5	166	0.2	83	66.5		
388709	0.5	171	0.1	112	50.2		
388711	0.3	167	0.2	99	20.7		
388712	0.4	171	0.2	117	28.7		
388713	0.5	182	0.1	116	52.8		
388714	0.4	138	0.1	110	51.6		
388716	0.5	146	0.1	119	39.2		
388717	0.4	148	0.1	111	44		
388718	0.4	151	0.1	105	53.8		
388719	0.4	158	0.1	149	48		
388721	0.5	143	0.1	126	41		
388722	0.5	155	0.1	122	37.5		
388723	0.5	157	0.05	172	30.8		
388724	0.6	185	0.2	112	52.1		
388726	1.6	173	0.2	122	130.5		
388727	1.6	179	0.1	84	130		
388728	1.7	180	0.2	92	128.5		
388729	1.8	168	0.2	108	96.3		
388731	2.6	201	0.3	125	118.5		
388732	2.9	172	0.3	107	91.8		
388733	0.7	229	0.2	189	67.9		
388734	0.5	141	0.2	93	18.2		
388736	0.8	237	0.3	135	24.7		
388737	0.5	217	0.2	121	21.3		
388738	1.4	242	0.3	149	24.8		
388739	1.2	215	0.4	306	25.3		
388741	1.1	205	0.2	312	36.9		
388742	1.6	180	0.2	89	119		
388743	1.3	187	0.1	100	124		
388744	1.7	181	0.2	109	91.3		
388746	2.8	190	0.2	143	84.1		
388747	1.9	198	0.2	122	112.5		
388748	1.9	202	0.1	101	110		
388749	1.5	192	0.2	113	106		
388751	1	199	0.2	172	65.6		
388752	1	154	0.3	96	15.4		
388753	1	222	0.3	138	27.5		
388754	3.1	201	0.5	149	41.9		
388756	1.5	184	0.1	123	89.8		
388757	1.5	190	0.1	115	103		
388758	2.8	201	0.3	130	52.9		
388759	1.2	219	0.1	109	111.5		
388760	1.8	200	0.2	106	93.3		
388761	2.1	166	0.2	104	107		
388801	1.4	174	0.1	112	106.5		
388802	1.7	187	0.3	124	38.7		
388803	1.2	172	0.1	96	114.5		
388804	2.2	180	0.7	104	109		
388806	1.9	147	0.3	133	122		
388807	7.9	345	0.4	97	29.4		1.47
388808	2.7	214	0.4	112	67		2.62
388809	1.3	240	0.5	80	24.9		
388811	1.5	179	0.2	115	93.3		
388812	3.1	213	0.4	110	27.9		
388813	8.5	519	0.6	92	26	159	2.48
388814	1.4	190	0.1	109	121		
388816	1.5	153	0.2	112	111.5		
388817	1.6	189	0.3	140	37.8		
388818	0.5	80	0.1	63	53.9		
388819	0.3	78	0.1	66	44.3		
388820	0.5	192	0.3	131	18.9		
388821	0.6	218	0.3	140	20		
388822	1.3	190	0.6	124	30.4		
388823	1.7	170	0.5	150	62.3		
388824	1.3	223	0.5	208	57.7		
388826	2.2	204	0.4	200	39.6		
388827	1.7	200	0.4	137	26.5		
388828	1.1	155	0.3	262	33.6		
388829	1.4	171	0.1	110	96.2		
388831	3.2	172	0.2	105	86.7		
388832	1.2	190	0.1	127	102.5		
388833	1.3	172	0.1	114	92		
388834	2.6	197	0.3	142	38.1		
388836	1.1	202	0.2	151	70.3		
388837	2.3	212	0.2	139	70.9		

SAMPLE_NUMBER	U_ppm_MS 61	V_ppm_MS 61	W_ppm_MS 61	Zn_ppm_M S61	Zr_ppm_MS 61	Ag_ppm_O G62	Cu_pct_OG6 2
388838	2	177	0.2	108	96.8		
388839	2	181	0.2	162	90.6		
388840	1.4	157	0.2	106	96.7		
388841	1.6	186	0.1	106	102.5		
388842	1.5	168	0.2	117	83.5		
388843	1.7	160	0.3	128	78.6		
388844	1.4	190	0.4	161	143		
388846	1.2	158	0.2	175	84.7		
388847	1.3	210	0.3	139	59		
388848	0.6	97	0.1	93	62.6		
388849	1.1	166	0.2	108	77.5		
388851	1.7	128	0.2	105	83.2		
388852	1.1	188	0.2	164	49.4		
388853	2.2	232	0.4	138	66.4		
388854	4.1	158	0.5	73	30.9		
388856	3.8	161	0.2	84	43.9		
388857	0.9	221	0.1	97	76.2		
388858	1.2	249	0.2	128	63.6		
388859	1	198	0.2	101	77.2		
388860	0.6	170	0.1	98	77		
388861	0.4	162	0.1	97	63.1		
388862	1.2	46	0.1	9	33.5		
388863	1.6	27	0.1	13	41.7		
388864	0.1	24	0.1	7	6		
388866	0.1	25	0.05	8	6.5		
388867	0.1	40	0.1	20	13.6		
388868	0.2	36	0.05	26	22.5		
388869	0.4	87	0.1	55	48.3		
388871	0.3	92	0.2	79	73.4		
388872	0.3	120	0.3	96	85		
388873	0.5	146	0.3	110	108.5		
388874	0.5	126	0.3	106	93		
388876	0.5	132	0.4	146	106.5		
388877	0.5	162	0.4	137	117		
388878	0.5	149	0.4	128	121		
388879	0.4	139	0.4	125	107.5		
388880	0.5	149	0.3	124	119		
388881	0.5	137	0.2	124	110		
388882	0.4	158	0.3	124	109		
388883	0.4	161	0.3	114	100		
388884	0.4	157	0.3	119	87.4		
388886	0.4	118	0.4	140	87.1		
388887	0.5	149	0.3	129	118		
388888	0.4	145	0.3	116	110.5		
388889	0.5	120	0.3	120	108.5		
388891	0.1	28	0.05	10	9.7		
388892	0.4	133	0.4	137	115.5		
388893	0.4	142	0.2	134	111		
388894	0.4	152	0.4	131	126.5		
388896	0.1	33	0.1	30	9.3		
388897	0.2	33	0.05	21	22		
388898	0.5	42	0.1	32	49		
388899	0.6	79	0.2	68	70.5		
388900	0.4	99	0.3	92	79.9		
388901	0.5	118	0.3	117	122.5		
388902	0.5	123	0.3	124	108.5		
388903	0.5	129	0.3	129	111		
388904	0.4	145	0.3	134	116.5		
388906	0.4	124	0.3	160	103		
388907	0.4	120	0.3	127	105		
388908	0.5	139	0.3	132	116		
388909	0.4	153	0.3	120	113		

Appendix 7 : Till results (Fine Fraction)

Sample_ID	UTM_Datum	UTM_Zone	X_UTM	Y_UTM	Color	Structure	Matrix_Texture	Moisture	Clast_pct
289974	83	18	480916	5815527	Beige	Compact Massif	Sabl Silt Argile	Très humide	12
290272	83	18	480859	5815682	Beige	Compact Massif	Sabl Silt	Humide	6
289970	83	18	480872	5815277	Beige	Compact Massif	Sabl Silt	Très humide	12
289969	83	18	480269	5815463	Gris/beige	Compact Massif	Sabl Silt Argile	Très humide	5
289975	83	18	482657	5815157	Beige	Compact Massif	Sabl Silt	Très humide	10
289971	83	18	481714	5815391	Beige	Compact Massif	Sabl Silt	Humide	15
289973	83	18	481433	5815867	Gris-Beige	Compact Massif	Sabl Silt	Humide	15
290277	83	18	481565	5816293	Gris	Compact Massif	Sabl Silt	Sec	17
289968	83	18	480562	5815381	Gris/beige	Compact Massif	Sabl Silt Argile	Légèrement humide	10
290273	83	18	481001	5815799	Gris	Compact Massif	Silt	Sec	5
290269	83	18	480583	5815641	Gris	Compact Massif	Silt	Sec	5
290274	83	18	481079	5815629	Beige	Compact Massif	Silt	Légèrement humide	5
289972	83	18	481453	5815561	Gris-beige	Compact Massif	Sabl Silt	Légèrement humide	12
290270	83	18	480907	5815920	Gris	Compact Massif	Silt	Sec	5
289976	83	18	482021	5815834	Gris	Compact Massif	Sabl Silt	Sec	15
290276	83	18	481172	5816544	Beige	Compact Massif	Silt	Sec	2
290271	83	18	480758	5815806	Gris	Compact Massif	Sabl Silt	Sec	7
290275	83	18	481229	5816084	Beige	Compact Massif	Sabl Silt	Humide	5
290267	83	18	480390	5815758	Gris	Compact Massif	Silt	Légèrement humide	5
290268	83	18	480488	5815806	Gris	Compact Massif	Silt	Légèrement humide	5
289954	83	18	472313	5807789	Gris/beige	Compact Massif	Silt Argile	Humide	12
289955	83	18	472401	5807666	Gris/beige	Compact Massif	Sabl Silt Argile	Légèrement humide	10
289956	83	18	472603	5807396	Gris/beige	Compact Massif	Sabl Silt	Légèrement humide	5
289953	83	18	472615	5808051	Gris/beige	Compact Massif	Sabl Silt	Légèrement humide	15
289957	83	18	472697	5807289	Gris/beige	Compact Massif	Sabl Silt	Légèrement humide	15
289952	83	18	472951	5808330	Gris/beige	Compact Massif	Sabl Silt	Humide	12
289958	83	18	472963	5807132	Beige/brun	Compact Massif	Sabl Silt	Légèrement humide	15
289959	83	18	473055	5807040	Beige/orangé	Compact Massif	Sabl Silt	Légèrement humide	8
289951	83	18	473088	5807984	Gris/beige	Compact Massif	Sabl Silt	Légèrement humide	5
290251	83	18	473152	5808137	Beige	Compact Massif	Sabl Silt Argile	Humide	5
289960	83	18	473240	5806956	Beige/brun	Compact Massif	Sabl Silt Argile	Humide	8
290252	83	18	473381	5807661	Brun	Compact Massif	Sabl Silt	Humide	5
290256	83	18	473428	5807479	Beige	Lache Massif	Sabl Silt	Sec	7
289961	83	18	473435	5806833	Brun/beige	Compact Massif	Sabl Silt	Humide	5
290254	83	18	473493	5808144	Beige	Compact Massif	Sabl Silt	Légèrement humide	5
290253	83	18	473555	5808853	Gris	Compact Massif	Sabl Silt	Légèrement humide	10
290255	83	18	473653	5808037	Beige	Compact Massif	Sabl Silt	Humide	5
289964	83	18	473663	5807096	Gris/beige	Compact Massif	Sabl Silt	Légèrement humide	10
289962	83	18	473698	5806551	Beige/brun	Compact Massif	Sabl Silt	Humide	3
289965	83	18	473758	5807173	Gris/brun	Compact Massif	Sabl Silt Argile	Humide	5
289963	83	18	473792	5806964	Beige/brun	Compact Massif	Sabl Silt Argile	Humide	10

Charles Gaumond, geo (#1927)



Sample_ID	UTM_Datum	UTM_Zone	X_UTM	Y_UTM	Color	Structure	Matrix_Texture	Moisture	Clast_pct
290257	83	18	473916	5807733	Beige	Compact Massif	Sabl Silt	Très humide	5
289966	83	18	474107	5807070	Gris/beige	Compact Massif	Sabl Silt	Légèrement humide	10
290263	83	18	474307	5807325	Gris	Compact Massif	Silt	Très humide	2
290258	83	18	474309	5807928	Gris	Lache Massif	Sabl Silt	Légèrement humide	15
290262	83	18	474353	5807627	Brun	Compact Massif	Sabl Silt	Sec	5
290259	83	18	474377	5808218	Beige	Lache Massif	Sabl Silt	Très humide	10
290260	83	18	474479	5808102	Gris	Lache Massif	Sabl Silt	Légèrement humide	7
289967	83	18	474488	5808698	Gris/beige	Compact Massif	Sabl Silt	Légèrement humide	15
290261	83	18	474583	5807985	Gris	Compact Massif	Sabl Silt	Sec	6
290264	83	18	474642	5807350	Gris	Compact Massif	Sabl Silt	Légèrement humide	12
290265	83	18	474766	5807448	Beige	Lache Massif	Sabl Silt	Sec	12
290266	83	18	475173	5807854	Gris	Compact Massif	Silt	Légèrement humide	5

Sample_ID	Clast_Roundness	Clast_Lithologies	Deposit_Interpretation	Comment_Echantillon	Analysis_Certificate_Fines
289974	Anguleux	Granitoides VolcMaf	Till Base	Profondeur : 1,2m	A18-08826Final
290272	Subarrondi	Granitoides	Till Base	0,8m	A18-08826Final
289970	Subanguleux	Granitoides	Till Base	Profondeur : 0,8m	A18-08826Final
289969	Subanguleux	Granitoides	Till Base	trou de 1m.	A18-08826Final
289975	Subanguleux	Granitoides	Till Base	Profondeur : 1,2m	A18-08826Final
289971	Subarrondi	Granitoides	Till Base	Profondeur : 1,1m. La texture n'a pas été écrite, elle est de mémoire.	A18-08826Final
289973	Subanguleux	Granitoides Intrusions Maf	Till Base	Profondeur : 1m Traces d'argile dans l'échantillon	A18-08826Final
290277	Subarrondi	Granitoides Metaseds	Till Base	0,8m	A18-08826Final
289968	Subanguleux	Granitoides	Till Base	trou de 1m.	A18-08826Final
290273	Subarrondi	Granitoides	Till Base	0,8m	A18-08826Final
290269	Subarrondi	Granitoides	Till Base	1,5m	A18-08826Final
290274	Subarrondi	Granitoides	Till Base	1m	A18-08826Final
289972	Subarrondi	Granitoides	Inconnu	Profondeur : 1,1m L'interprétation est du till de base mais elle est douteuse.	A18-08826Final
290270	Subarrondi	Granitoides	Till Base	1m	A18-08826Final
289976	Subanguleux	Granitoides	Till Base	Profondeur : 1m	A18-08826Final
290276	Subarrondi	Granitoides	Till Base	1m	A18-08826Final
290271	Subarrondi	Granitoides	Till Base	0,8m	A18-08826Final
290275	Subarrondi	Granitoides Metaseds	Till Base	1m	A18-08826Final
290267	Subarrondi	Granitoides	Till Base	1,5m	A18-08826Final
290268	Subarrondi	Granitoides	Till Base	1,5m	A18-08826Final
289954	Subanguleux	Granitoides	Till Base	trou de 1m.	A18-08826Final
289955	Subanguleux	Granitoides VQz	Till Base	trou de 0,5m.	A18-08826Final
289956	Subarrondi Subanguleux	Granitoides	Till Base	trou de 1m. DOUTEUX	A18-08826Final
289953	Subanguleux	Granitoides	Till Base	trou de 1m.	A18-08826Final
289957	Subarrondi Subanguleux	Granitoides	Till Base	trou de 1m.	A18-08826Final
289952	Subarrondi Subanguleux	Granitoides VQz	Till Base	trou ded 1m.	A18-08826Final
289958	Subarrondi Subanguleux	Granitoides VQz	Till Base	trou de 1m.	A18-08826Final
289959	Subarrondi	Granitoides	Till Base	trou de 1m. DOUTEUX	A18-08826Final
289951	Subarrondi	Granitoides Intrusions Maf	Till Base	trou de 1m	A18-08826Final
290251	Subarrondi	Granitoides	Till Base	1m	A18-08826Final
289960	Subarrondi	Granitoides	Till Base	trou de 1m.	A18-08826Final
290252	Subarrondi	Granitoides	Till Base	1.5m	A18-08826Final
290256	Subarrondi	Granitoides	Till Base	1.5m . Douteux (till de base?)	A18-08826Final
289961	Subarrondi	Granitoides	Till Base	trou de 1m.	A18-08826Final
290254	Subarrondi	Granitoides	Till Base	1.5m	A18-08826Final
290253	Subarrondi	Granitoides	Till Base	1.5m	A18-08826Final
290255	Subarrondi	Granitoides	Till Base	1m	A18-08826Final
289964	Subanguleux	Granitoides	Till Base	trou de 0.7m.	A18-08826Final
289962	Subarrondi	Granitoides	Till Base	trou de 1m.	A18-08826Final
289965	Subarrondi	Granitoides	Till Base	trou de 0.6m.	A18-08826Final
289963	Subanguleux	Granitoides	Till Base	trou de 1m.	A18-08826Final

Sample_ID	Clast_Roundness	Clast_Lithologies	Deposit_Interpretation	Comment_Echantillon	Analysis_Certificate_Fines
290257	Subarrondi	Granitoides	Till Base	1m	A18-08826Final
289966	Subarrondi	Intrusions Maf	Till Base	trou de 1m.	A18-08826Final
290263	Subarrondi	Granitoides	Till Base	1m	A18-08826Final
290258	Subarrondi	Granitoides	Till Base	1,5m	A18-08826Final
290262	Subarrondi	Granitoides	Till Base	1m	A18-08826Final
290259	Subarrondi	Granitoides	Till Base	1,5m	A18-08826Final
290260	Subarrondi	Granitoides	Till Base	1m	A18-08826Final
289967	Subanguleux	Granitoides	Till Base	trou de 1m.	A18-08826Final
290261	Subarrondi	Granitoides	Till Base		A18-08826Final
290264	Subarrondi	Granitoides	Till Base	1,5m	A18-08826Final
290265	Subarrondi	Granitoides	Till Base	1m. Till de base? Douteux	A18-08826Final
290266	Subarrondi	Granitoides	Till Base	1,5m	A18-08826Final

Sample_ID	Laboratory_Analysis_Fines	Fine_Fraction_Size	Analyzed_Fines_g	AnalyticalMethod_Au_Fines	AnalyticalDigestion_Au_Fines
289974	ActLabs	-63 microns	34.1	INAA	N/A
290272	ActLabs	-63 microns	36.2	INAA	N/A
289970	ActLabs	-63 microns	33.9	INAA	N/A
289969	ActLabs	-63 microns	32.4	INAA	N/A
289975	ActLabs	-63 microns	31	INAA	N/A
289971	ActLabs	-63 microns	33.8	INAA	N/A
289973	ActLabs	-63 microns	32.7	INAA	N/A
290277	ActLabs	-63 microns	33.7	INAA	N/A
289968	ActLabs	-63 microns	35.4	INAA	N/A
290273	ActLabs	-63 microns	35.1	INAA	N/A
290269	ActLabs	-63 microns	33.8	INAA	N/A
290274	ActLabs	-63 microns	34.1	INAA	N/A
289972	ActLabs	-63 microns	34.6	INAA	N/A
290270	ActLabs	-63 microns	34.5	INAA	N/A
289976	ActLabs	-63 microns	32.6	INAA	N/A
290276	ActLabs	-63 microns	31.1	INAA	N/A
290271	ActLabs	-63 microns	32.4	INAA	N/A
290275	ActLabs	-63 microns	34.3	INAA	N/A
290267	ActLabs	-63 microns	35.5	INAA	N/A
290268	ActLabs	-63 microns	36.9	INAA	N/A
289954	ActLabs	-63 microns	32	INAA	N/A
289955	ActLabs	-63 microns	31.5	INAA	N/A
289956	ActLabs	-63 microns	33	INAA	N/A
289953	ActLabs	-63 microns	31	INAA	N/A
289957	ActLabs	-63 microns	34.3	INAA	N/A
289952	ActLabs	-63 microns	32.4	INAA	N/A
289958	ActLabs	-63 microns	32.3	INAA	N/A
289959	ActLabs	-63 microns	35.3	INAA	N/A
289951	ActLabs	-63 microns	32.4	INAA	N/A
290251	ActLabs	-63 microns	33.4	INAA	N/A
289960	ActLabs	-63 microns	35.6	INAA	N/A
290252	ActLabs	-63 microns	30.6	INAA	N/A
290256	ActLabs	-63 microns	34.1	INAA	N/A
289961	ActLabs	-63 microns	32.7	INAA	N/A
290254	ActLabs	-63 microns	33.2	INAA	N/A
290253	ActLabs	-63 microns	32.2	INAA	N/A
290255	ActLabs	-63 microns	32	INAA	N/A
289964	ActLabs	-63 microns	31.5	INAA	N/A
289962	ActLabs	-63 microns	32.2	INAA	N/A
289965	ActLabs	-63 microns	32	INAA	N/A
289963	ActLabs	-63 microns	33.9	INAA	N/A

Sample_ID	Laboratory_Analysis_Fines	Fine_Fraction_Size	Analyzed_Fines_g	AnalyticalMethod_Au_Fines	AnalyticalDigestion_Au_Fines
290257	ActLabs	-63 microns	31.2	INAA	N/A
289966	ActLabs	-63 microns	31.3	INAA	N/A
290263	ActLabs	-63 microns	34.5	INAA	N/A
290258	ActLabs	-63 microns	32.6	INAA	N/A
290262	ActLabs	-63 microns	31.6	INAA	N/A
290259	ActLabs	-63 microns	34	INAA	N/A
290260	ActLabs	-63 microns	30.5	INAA	N/A
289967	ActLabs	-63 microns	34.5	INAA	N/A
290261	ActLabs	-63 microns	31.6	INAA	N/A
290264	ActLabs	-63 microns	32.8	INAA	N/A
290265	ActLabs	-63 microns	33.5	INAA	N/A
290266	ActLabs	-63 microns	33.9	INAA	N/A

Sample_ID	AnalyticalCode_Au_Fines	AnalyticalMethod_MEA_Fines	AnalyticalDigestion_MEA_Fines	AnalyticalCode_MEA_Fines
289974	1H	INAA+ICP-ES	4 acids	1H
290272	1H	INAA+ICP-ES	4 acids	1H
289970	1H	INAA+ICP-ES	4 acids	1H
289969	1H	INAA+ICP-ES	4 acids	1H
289975	1H	INAA+ICP-ES	4 acids	1H
289971	1H	INAA+ICP-ES	4 acids	1H
289973	1H	INAA+ICP-ES	4 acids	1H
290277	1H	INAA+ICP-ES	4 acids	1H
289968	1H	INAA+ICP-ES	4 acids	1H
290273	1H	INAA+ICP-ES	4 acids	1H
290269	1H	INAA+ICP-ES	4 acids	1H
290274	1H	INAA+ICP-ES	4 acids	1H
289972	1H	INAA+ICP-ES	4 acids	1H
290270	1H	INAA+ICP-ES	4 acids	1H
289976	1H	INAA+ICP-ES	4 acids	1H
290276	1H	INAA+ICP-ES	4 acids	1H
290271	1H	INAA+ICP-ES	4 acids	1H
290275	1H	INAA+ICP-ES	4 acids	1H
290267	1H	INAA+ICP-ES	4 acids	1H
290268	1H	INAA+ICP-ES	4 acids	1H
289954	1H	INAA+ICP-ES	4 acids	1H
289955	1H	INAA+ICP-ES	4 acids	1H
289956	1H	INAA+ICP-ES	4 acids	1H
289953	1H	INAA+ICP-ES	4 acids	1H
289957	1H	INAA+ICP-ES	4 acids	1H
289952	1H	INAA+ICP-ES	4 acids	1H
289958	1H	INAA+ICP-ES	4 acids	1H
289959	1H	INAA+ICP-ES	4 acids	1H
289951	1H	INAA+ICP-ES	4 acids	1H
290251	1H	INAA+ICP-ES	4 acids	1H
289960	1H	INAA+ICP-ES	4 acids	1H
290252	1H	INAA+ICP-ES	4 acids	1H
290256	1H	INAA+ICP-ES	4 acids	1H
289961	1H	INAA+ICP-ES	4 acids	1H
290254	1H	INAA+ICP-ES	4 acids	1H
290253	1H	INAA+ICP-ES	4 acids	1H
290255	1H	INAA+ICP-ES	4 acids	1H
289964	1H	INAA+ICP-ES	4 acids	1H
289962	1H	INAA+ICP-ES	4 acids	1H
289965	1H	INAA+ICP-ES	4 acids	1H
289963	1H	INAA+ICP-ES	4 acids	1H

Sample_ID	AnalyticalCode_Au_Fines	AnalyticalMethod_MEA_Fines	AnalyticalDigestion_MEA_Fines	AnalyticalCode_MEA_Fines
290257	1H	INAA+ICP-ES	4 acids	1H
289966	1H	INAA+ICP-ES	4 acids	1H
290263	1H	INAA+ICP-ES	4 acids	1H
290258	1H	INAA+ICP-ES	4 acids	1H
290262	1H	INAA+ICP-ES	4 acids	1H
290259	1H	INAA+ICP-ES	4 acids	1H
290260	1H	INAA+ICP-ES	4 acids	1H
289967	1H	INAA+ICP-ES	4 acids	1H
290261	1H	INAA+ICP-ES	4 acids	1H
290264	1H	INAA+ICP-ES	4 acids	1H
290265	1H	INAA+ICP-ES	4 acids	1H
290266	1H	INAA+ICP-ES	4 acids	1H

Sample_ID	Au_Fines_pp b	Ag_Fines_pp m	As_Fines_pp m	Sb_Fines_pp m	W_Fines_pp m	Bi_Fines_pp m	Zn_Fines_pp m	Cd_Fines_pp m	Pb_Fines_pp m	Cu_Fines_pp m
289974	-2	0.4	-0.5	-0.1	-1	-2	27	-0.3	19	10
290272	-2	1.1	-0.5	-0.1	-1	-2	29	-0.3	21	21
289970	-2	-0.3	1.6	-0.1	-1	-2	23	-0.3	21	11
289969	4	1	-0.5	-0.1	-1	-2	27	-0.3	22	11
289975	-2	-0.3	-0.5	-0.1	-1	-2	34	-0.3	20	17
289971	-2	-0.3	2.1	-0.1	-1	-2	29	-0.3	21	16
289973	-2	0.7	0.6	-0.1	-1	-2	29	-0.3	22	11
290277	-2	1.2	-0.5	-0.1	-1	-2	30	-0.3	21	20
289968	-2	-0.3	-0.5	-0.1	-1	-2	22	-0.3	19	9
290273	-2	0.6	-0.5	-0.1	-1	-2	23	-0.3	21	6
290269	-2	1.1	-0.5	-0.1	-1	-2	26	-0.3	20	15
290274	-2	-0.3	-0.5	0.2	-1	-2	23	-0.3	22	6
289972	-2	0.7	3.8	-0.1	-1	-2	29	-0.3	20	11
290270	6	1.3	-0.5	-0.1	-1	-2	26	-0.3	21	16
289976	-2	0.7	-0.5	-0.1	-1	-2	28	-0.3	21	9
290276	-2	0.4	-0.5	0.2	-1	-2	25	-0.3	20	14
290271	-2	1	-0.5	0.2	-1	-2	25	-0.3	19	11
290275	-2	0.6	-0.5	-0.1	-1	-2	27	-0.3	21	16
290267	-2	1.1	-0.5	-0.1	-1	-2	23	-0.3	21	5
290268	-2	0.6	-0.5	-0.1	-1	-2	27	-0.3	22	6
289954	15	0.7	0.6	-0.1	-1	-2	24	-0.3	18	11
289955	3	0.5	-0.5	-0.1	-1	-2	26	-0.3	19	19
289956	-2	1.1	2.6	-0.1	-1	-2	23	-0.3	19	8
289953	-2	1.1	-0.5	-0.1	-1	-2	31	-0.3	17	6
289957	-2	1.4	-0.5	-0.1	-1	-2	24	-0.3	18	7
289952	-2	1	-0.5	-0.1	-1	-2	24	-0.3	19	7
289958	-2	1.5	2.6	-0.1	-1	-2	37	-0.3	21	60
289959	-2	1.5	2.8	-0.1	-1	-2	26	-0.3	18	8
289951	-2	1.3	2.6	-0.1	-1	-2	27	-0.3	24	13
290251	-2	0.7	-0.5	-0.1	-1	-2	44	-0.3	28	7
289960	-2	1	2.8	-0.1	-1	-2	25	-0.3	19	11
290252	-2	0.4	-0.5	-0.1	-1	-2	25	-0.3	20	6
290256	-2	1.4	-0.5	-0.1	-1	-2	24	-0.3	19	4
289961	-2	0.4	5.1	-0.1	-1	-2	23	-0.3	19	7
290254	-2	0.9	0.9	-0.1	-1	-2	23	-0.3	19	6
290253	-2	1	-0.5	-0.1	-1	-2	26	-0.3	22	13
290255	4	1.2	-0.5	-0.1	-1	-2	22	-0.3	20	8
289964	-2	0.7	2.6	0.2	-1	-2	24	-0.3	21	8
289962	-2	-0.3	1	-0.1	-1	-2	21	-0.3	17	5
289965	-2	0.8	1.3	-0.1	-1	-2	24	-0.3	19	9
289963	-2	-0.3	1.3	-0.1	-1	-2	22	-0.3	19	7

Sample_ID	Au_Fines_pp b	Ag_Fines_pp m	As_Fines_pp m	Sb_Fines_pp m	W_Fines_pp m	Bi_Fines_pp m	Zn_Fines_pp m	Cd_Fines_pp m	Pb_Fines_pp m	Cu_Fines_pp m
290257	-2	1.3	-0.5	-0.1	-1	-2	22	-0.3	20	7
289966	-2	1	1.6	-0.1	-1	-2	21	-0.3	20	4
290263	-2	-0.3	-0.5	-0.1	-1	-2	24	-0.3	19	8
290258	-2	0.7	-0.5	-0.1	-1	-2	23	-0.3	20	8
290262	2	0.6	-0.5	-0.1	-1	-2	23	-0.3	18	10
290259	-2	-0.3	-0.5	-0.1	-1	-2	23	-0.3	19	9
290260	-2	0.3	0.8	-0.1	-1	-2	26	-0.3	19	7
289967	-2	1	-0.5	-0.1	-1	-2	24	-0.3	19	4
290261	-2	0.9	-0.5	-0.1	-1	-2	26	-0.3	20	23
290264	-2	1	0.6	-0.1	-1	-2	25	-0.3	20	10
290265	3	0.8	1.1	-0.1	-1	-2	25	-0.3	20	9
290266	4	-0.3	-0.5	-0.1	-1	-2	23	-0.3	20	6

Sample_ID	Mo_Fines_ppm	Ni_Fines_ppm	Co_Fines_ppm	Ir_Fines_ppb	Sn_Fines_ppm	U_Fines_ppm	Th_Fines_ppm	Al_Fines_pct	Ba_Fines_ppm	Be_Fines_ppm
289974	-1	21	6	-5	-0.02	2.3	13.6	6.94	410	2
290272	-1	24	6	-5	-0.02	2.2	13.9	6.76	360	2
289970	2	16	5	-5	-0.02	1	17.6	6.71	680	2
289969	-1	16	7	-5	-0.02	4.1	21.7	6.58	540	2
289975	2	24	9	-5	-0.02	1.9	14.6	6.92	510	2
289971	-1	20	9	-5	-0.02	1.8	24.1	6.82	780	2
289973	-1	21	6	-5	-0.02	1.9	17.4	6.95	390	2
290277	-1	29	8	-5	-0.02	2.1	15.4	6.78	430	2
289968	-1	15	5	-5	-0.02	2.1	17.7	6.61	610	2
290273	-1	16	5	-5	-0.02	1.9	13.1	6.62	440	2
290269	-1	20	5	-5	-0.02	2.2	13.8	6.83	460	2
290274	-1	16	5	-5	-0.02	1.4	14	6.62	380	2
289972	-1	22	9	-5	-0.02	2.5	23.2	6.69	690	2
290270	-1	20	6	-5	-0.02	2.2	20.4	6.58	380	2
289976	-1	20	7	-5	-0.02	2.5	14.9	7.04	480	2
290276	-1	22	7	-5	-0.02	0.7	13.3	6.93	420	2
290271	-1	20	5	-5	-0.02	0.9	13.3	6.55	460	2
290275	1	22	6	-5	-0.02	2.5	15.8	6.75	360	2
290267	-1	15	5	-5	-0.02	2.2	15.5	6.74	420	2
290268	-1	18	7	-5	-0.02	2.2	20.4	6.8	380	2
289954	-1	13	4	-5	-0.02	1.9	16.5	6.78	710	2
289955	-1	17	5	-5	-0.02	-0.5	16.2	6.83	550	2
289956	-1	12	8	-5	-0.02	2	16.4	6.86	740	2
289953	-1	16	6	-5	-0.02	3.5	17.7	6.86	710	2
289957	-1	14	5	-5	-0.02	1.4	19.1	6.71	800	2
289952	-1	14	-1	-5	-0.02	2.6	19	6.86	800	2
289958	1	25	8	-5	-0.02	3.1	26.8	7.14	700	2
289959	-1	12	4	-5	-0.02	-0.5	20	6.91	740	2
289951	-1	19	7	-5	-0.02	3.5	18.7	6.85	790	2
290251	-1	13	2	-5	-0.02	2.3	11	6.75	370	2
289960	1	12	-1	-5	-0.02	3.4	21.6	6.87	750	2
290252	-1	13	5	-5	-0.02	2.8	14.9	6.8	510	2
290256	-1	14	4	-5	-0.02	2.1	14.8	6.89	560	2
289961	-1	12	6	-5	-0.02	3	17.6	6.62	690	2
290254	-1	12	3	-5	-0.02	0.8	11.4	6.85	360	2
290253	-1	16	3	-5	-0.02	2.3	12.9	7.09	550	2
290255	-1	10	1	-5	-0.02	1.6	12.9	6.82	530	2
289964	-1	15	3	-5	-0.02	3.3	16.7	7.04	780	2
289962	-1	11	2	-5	-0.02	2.6	9.1	6.78	560	2
289965	-1	13	6	-5	-0.02	1	15.3	6.81	540	2
289963	-1	12	5	-5	-0.02	0.9	14.1	6.73	660	2

Sample_ID	Mo_Fines_ppm	Ni_Fines_ppm	Co_Fines_ppm	Ir_Fines_ppb	Sn_Fines_ppm	U_Fines_ppm	Th_Fines_ppm	Al_Fines_pct	Ba_Fines_ppm	Be_Fines_ppm
290257	-1	12	2	-5	-0.02	1	14.4	7.09	410	2
289966	-1	13	2	-5	-0.02	0.6	14.4	6.93	670	2
290263	-1	13	5	-5	-0.02	1.9	10.7	6.77	420	2
290258	-1	14	4	-5	-0.02	2	12.4	6.92	460	2
290262	-1	13	4	-5	-0.02	2.7	11.3	6.24	380	2
290259	-1	13	4	-5	-0.02	1	11.9	6.74	470	2
290260	-1	17	5	-5	-0.02	1.5	10.1	6.84	440	2
289967	-1	14	7	-5	-0.02	2.2	18.1	6.86	630	2
290261	-1	19	7	-5	-0.02	1.2	12.1	6.95	530	2
290264	-1	16	6	-5	-0.02	0.6	10.4	6.96	440	2
290265	-1	16	3	-5	-0.02	1	11.1	6.87	380	2
290266	-1	13	3	-5	-0.02	1.8	10.4	6.97	460	2

Sample_ID	Br_Fines_ppm	Ca_Fines_pct	Ce_Fines_ppm	Cr_Fines_ppm	Cs_Fines_ppm	Fe_Fines_pct	Hf_Fines_ppm	Hg_Fines_ppm	In_Fines_ppm	K_Fines_pct
289974	-0.5	1.99	72	71	-1	1.98	10	0	0	2.26
290272	8.9	1.9	68	63	-1	1.72	8	0	0	2.17
289970	9.3	1.9	101	75	-1	2.29	16	0	0	2.1
289969	5.3	1.91	101	74	-1	2.39	17	0	0	2.1
289975	5.8	1.99	91	91	3	2.58	12	0	0	2.2
289971	7.8	1.94	120	81	-1	2.53	17	0	0	2.19
289973	9.2	1.91	95	93	-1	1.77	12	0	0	2.24
290277	4	1.86	77	86	2	2.26	10	0	0	2.15
289968	5.8	1.81	89	75	-1	2.33	16	0	0	2.08
290273	1.2	1.9	75	64	-1	1.91	12	0	0	2.16
290269	-0.5	1.88	67	75	-1	2.08	10	0	0	2.18
290274	11.9	1.86	73	75	-1	1.98	10	0	0	2.01
289972	1.2	1.93	105	88	1	2.76	18	0	0	2.1
290270	8.8	1.83	106	82	1	2.24	13	0	0	2.07
289976	3.9	1.73	77	78	-1	2.24	11	0	0	2.19
290276	-0.5	1.78	69	78	1	1.89	9	0	0	2.18
290271	-0.5	1.76	67	67	-1	1.89	9	0	0	2.16
290275	10.8	1.9	71	77	-1	1.91	9	0	0	2.17
290267	0.9	1.81	92	71	-1	2.17	12	0	0	2.11
290268	-0.5	1.95	98	93	-1	2.49	16	0	0	2.09
289954	9.2	1.82	84	72	-1	1.98	16	0	0	2.13
289955	4.7	1.76	104	74	-1	2.5	17	0	0	2.17
289956	1.4	1.8	94	76	-1	2.27	17	0	0	2.13
289953	-0.5	1.78	103	84	-1	2.61	17	0	0	2.27
289957	8.5	1.89	91	86	1	2.54	20	0	0	2.08
289952	7.1	1.78	109	77	-1	2.56	20	0	0	2.09
289958	6.5	1.94	108	94	-1	3.28	22	0	0	2.01
289959	7.8	1.96	105	57	-1	1.97	22	0	0	2.1
289951	6.4	1.97	91	86	-1	2.53	19	0	0	2.2
290251	6.9	1.95	65	66	-1	2.04	11	0	0	2.01
289960	8.4	1.95	97	62	-1	1.87	21	0	0	2.19
290252	13.1	1.9	83	73	-1	2.27	14	0	0	2.1
290256	4.4	1.85	77	76	-1	2.37	15	0	0	2.12
289961	12.7	1.88	97	75	-1	2.56	18	0	0	1.97
290254	8.8	1.94	70	54	-1	1.77	11	0	0	2.13
290253	7.8	1.64	96	81	-1	1.9	10	0	0	2.2
290255	-0.5	1.91	80	41	-1	1.07	13	0	0	2.19
289964	7.6	1.82	100	72	-1	2.41	16	0	0	2.15
289962	7.1	1.9	63	46	-1	1.78	11	0	0	2.05
289965	13.8	1.91	80	54	-1	2.26	15	0	0	2.13
289963	9.7	1.9	75	64	-1	2.29	14	0	0	2.1

Sample_ID	Br_Fines_ppm	Ca_Fines_pct	Ce_Fines_ppm	Cr_Fines_ppm	Cs_Fines_ppm	Fe_Fines_pct	Hf_Fines_ppm	Hg_Fines_ppm	In_Fines_ppm	K_Fines_pct
290257	15.3	1.83	74	63	-1	1.55	12	0	0	2.06
289966	2.1	1.76	83	61	-1	2.16	15	0	0	2.16
290263	3.1	1.92	60	59	-1	1.8	8	0	0	2.19
290258	1.1	1.86	70	69	-1	1.97	10	0	0	2.16
290262	5.6	1.8	69	61	-1	1.83	9	0	0	2.05
290259	6.5	1.91	65	64	-1	1.88	11	0	0	2.08
290260	4.5	1.63	57	66	-1	1.88	9	0	0	2.12
289967	5.6	1.79	90	78	-1	2.57	19	0	0	2.03
290261	7.5	1.87	68	71	1	1.92	8	0	0	2.26
290264	-0.5	1.86	58	65	-1	1.99	9	0	0	1.95
290265	-0.5	1.81	58	65	-1	1.93	10	0	0	1.94
290266	3.8	1.82	76	57	-1	1.72	8	0	0	2.18

Sample_ID	La_Fines_ppm	Li_Fines_ppm	Mg_Fines_pct	Mn_Fines_ppm	Na_Fines_ppm	P_Fines_ppm	Rb_Fines_ppm	Re_Fines_ppm	S_Fines_pct
289974	40.1	9	0.71	351	26500	0.077	-15	0	-0.01
290272	36	9	0.72	365	24300	0.089	-15	0	-0.01
289970	47.9	7	0.67	342	29700	0.072	145	0	-0.01
289969	51.4	7	0.66	367	28800	0.079	20	0	-0.01
289975	48.2	16	0.9	403	25800	0.095	-15	0	-0.01
289971	56.7	10	0.77	382	30900	0.08	59	0	-0.01
289973	49.2	9	0.77	390	25400	0.087	36	0	-0.01
290277	38.5	13	0.82	392	24200	0.085	-15	0	-0.01
289968	41	6	0.61	346	28300	0.049	31	0	-0.01
290273	37.1	7	0.63	343	25200	0.075	43	0	-0.01
290269	38.4	10	0.71	357	24300	0.083	74	0	-0.01
290274	37.1	7	0.65	351	23000	0.07	-15	0	-0.01
289972	51.1	11	0.76	397	29600	0.079	85	0	-0.01
290270	49.1	10	0.7	382	23600	0.085	59	0	-0.01
289976	41.7	13	0.7	349	24900	0.048	53	0	-0.01
290276	33.2	12	0.7	323	24500	0.054	75	0	-0.01
290271	34.1	10	0.63	328	23000	0.068	-15	0	-0.01
290275	41.3	10	0.73	360	22400	0.077	-15	0	-0.01
290267	41.7	7	0.65	355	25200	0.051	62	0	-0.01
290268	50.3	8	0.74	420	24100	0.063	77	0	-0.01
289954	37	9	0.62	320	28800	0.061	-15	0	-0.01
289955	36	9	0.66	336	30000	0.061	-15	0	-0.01
289956	31.9	7	0.6	318	31400	0.044	59	0	-0.01
289953	38.2	13	0.74	363	29900	0.056	-15	0	0.01
289957	34.2	8	0.66	375	29100	0.053	74	0	-0.01
289952	41	7	0.62	335	30400	0.041	29	0	-0.01
289958	43.5	19	1	485	26600	0.026	-15	0	0.01
289959	42.1	7	0.65	362	30400	0.07	24	0	-0.01
289951	41.5	8	0.7	364	30400	0.085	-15	0	-0.01
290251	36	7	0.66	346	26500	0.073	-15	0	-0.01
289960	40.8	8	0.66	354	30200	0.064	23	0	-0.01
290252	41.8	7	0.64	358	26900	0.066	35	0	-0.01
290256	38.3	8	0.62	375	26900	0.043	20	0	-0.01
289961	36.8	7	0.62	341	30400	0.06	-15	0	-0.01
290254	37.7	6	0.61	319	25100	0.085	42	0	-0.01
290253	36.5	10	0.63	310	23400	0.033	24	0	-0.01
290255	40.2	6	0.58	333	27400	0.082	118	0	-0.01
289964	38.5	8	0.63	335	29700	0.06	-15	0	-0.01
289962	29.8	6	0.58	278	30100	0.062	94	0	-0.01
289965	41.2	7	0.66	346	28400	0.078	59	0	-0.01
289963	38.2	7	0.6	324	30100	0.059	-15	0	-0.01

Sample_ID	La_Fines_ppm	Li_Fines_ppm	Mg_Fines_pct	Mn_Fines_ppm	Na_Fines_ppm	P_Fines_ppm	Rb_Fines_ppm	Re_Fines_ppm	S_Fines_pct
290257	39.1	7	0.61	344	24900	0.071	28	0	-0.01
289966	35.8	7	0.59	317	29700	0.045	48	0	0.01
290263	30.5	8	0.63	331	24100	0.06	-15	0	-0.01
290258	35.6	8	0.62	330	25600	0.069	100	0	0.01
290262	35.6	8	0.61	271	25300	0.075	21	0	-0.01
290259	34.6	7	0.6	328	26000	0.065	-15	0	-0.01
290260	30.3	10	0.64	300	22900	0.038	71	0	-0.01
289967	41.9	7	0.64	349	30300	0.061	-15	0	-0.01
290261	34.5	11	0.71	330	24800	0.078	-15	0	-0.01
290264	29.5	9	0.64	322	24900	0.064	24	0	-0.01
290265	30.6	9	0.63	330	25700	0.056	31	0	-0.01
290266	28	8	0.58	299	26000	0.031	102	0	-0.01


Sample_ID	Sc_Fines_ppm	Se_Fines_ppm	Sr_Fines_ppm	Ta_Fines_ppm	Ti_Fines_pct	V_Fines_ppm	Y_Fines_ppm
289974	6.8	-3	514	-0.5	0.12	48	12
290272	5.6	-3	496	-0.5	0.12	48	13
289970	7.5	-3	492	-0.5	0.11	42	13
289969	7.3	-3	487	-0.5	0.11	48	13
289975	8.1	-3	522	-0.5	0.16	58	14
289971	8.6	-3	508	-0.5	0.12	47	15
289973	7.7	-3	494	-0.5	0.12	38	15
290277	6.8	-3	485	-0.5	0.13	57	13
289968	7	-3	497	-0.5	0.09	46	11
290273	6.1	-3	499	-0.5	0.09	43	12
290269	6.4	-3	504	-0.5	0.11	49	12
290274	5.9	-3	495	-0.5	0.1	49	12
289972	8	-3	496	-0.5	0.12	56	14
290270	6.9	-3	499	-0.5	0.12	51	14
289976	6.9	-3	495	-0.5	0.13	52	10
290276	6.4	-3	496	-0.5	0.11	46	10
290271	6	-3	486	-0.5	0.11	43	10
290275	6.6	-3	489	-0.5	0.12	49	13
290267	7	-3	504	-0.5	0.1	47	12
290268	7.1	-3	507	-0.5	0.11	59	14
289954	7.2	-3	513	-0.5	0.12	42	11
289955	7.9	-3	528	-0.5	0.12	45	10
289956	7.8	-3	556	-0.5	0.11	42	9
289953	8	-3	507	-0.5	0.14	52	10
289957	7.7	-3	555	-0.5	0.11	50	11
289952	7.9	-3	528	-0.5	0.11	45	11
289958	9.9	-3	521	-0.5	0.2	74	12
289959	7.7	-3	551	-0.5	0.11	34	11
289951	8.2	-3	553	-0.5	0.12	49	12
290251	6.7	-3	553	-0.5	0.12	47	12
289960	7.9	-3	559	-0.5	0.12	34	12
290252	7.2	-3	546	-0.5	0.11	48	12
290256	6.8	-3	565	-0.5	0.11	50	10
289961	7.7	-3	535	-0.5	0.11	43	11
290254	6.2	-3	545	-0.5	0.1	37	12
290253	7.1	-3	530	-0.5	0.12	44	12
290255	6.1	-3	561	-0.5	0.11	18	12
289964	7.4	-3	543	-0.5	0.12	47	11
289962	6.5	-3	536	-0.5	0.1	32	9
289965	7	-3	546	-0.5	0.12	43	11
289963	7	-3	531	-0.5	0.1	43	11

Sample_ID	Sc_Fines_ppm	Se_Fines_ppm	Sr_Fines_ppm	Ta_Fines_ppm	Ti_Fines_pct	V_Fines_ppm	Y_Fines_ppm
290257	6.7	-3	543	-0.5	0.12	37	13
289966	7.2	-3	538	-0.5	0.11	43	10
290263	5.9	-3	542	-0.5	0.11	42	10
290258	6.3	-3	541	-0.5	0.11	45	10
290262	6.2	-3	466	-0.5	0.11	40	11
290259	6.2	-3	552	-0.5	0.1	42	12
290260	6.1	-3	482	-0.5	0.12	42	8
289967	7.6	-3	533	-0.5	0.11	50	10
290261	6.4	-3	534	-0.5	0.13	46	11
290264	5.9	-3	547	-0.5	0.11	45	9
290265	6.2	-3	547	-0.5	0.11	43	8
290266	5.9	-3	558	-0.5	0.1	39	10

Appendix 8 : Till results (HMC)

Sample_ID	UTM_Datum	UTM_Zone	X_UTM	Y_UTM	Color	Structure	Matrix_Texture	Moisture	Clast_pct
289974	83	18	480916	5815527	Beige	Compact Massif	Sabl Silt Argile	Très humide	12
290272	83	18	480859	5815682	Beige	Compact Massif	Sabl Silt	Humide	6
289970	83	18	480872	5815277	Beige	Compact Massif	Sabl Silt	Très humide	12
289969	83	18	480269	5815463	Gris/beige	Compact Massif	Sabl Silt Argile	Très humide	5
289975	83	18	482657	5815157	Beige	Compact Massif	Sabl Silt	Très humide	10
289971	83	18	481714	5815391	Beige	Compact Massif	Sabl Silt	Humide	15
289973	83	18	481433	5815867	Gris-Beige	Compact Massif	Sabl Silt	Humide	15
290277	83	18	481565	5816293	Gris	Compact Massif	Sabl Silt	Sec	17
289968	83	18	480562	5815381	Gris/beige	Compact Massif	Sabl Silt Argile	Légèrement humide	10
290273	83	18	481001	5815799	Gris	Compact Massif	Silt	Sec	5
290269	83	18	480583	5815641	Gris	Compact Massif	Silt	Sec	5
290274	83	18	481079	5815629	Beige	Compact Massif	Silt	Légèrement humide	5
289972	83	18	481453	5815561	Gris-beige	Compact Massif	Sabl Silt	Légèrement humide	12
290270	83	18	480907	5815920	Gris	Compact Massif	Silt	Sec	5
289976	83	18	482021	5815834	Gris	Compact Massif	Sabl Silt	Sec	15
290276	83	18	481172	5816544	Beige	Compact Massif	Silt	Sec	2
290271	83	18	480758	5815806	Gris	Compact Massif	Sabl Silt	Sec	7
290275	83	18	481229	5816084	Beige	Compact Massif	Sabl Silt	Humide	5
290267	83	18	480390	5815758	Gris	Compact Massif	Silt	Légèrement humide	5
290268	83	18	480488	5815806	Gris	Compact Massif	Silt	Légèrement humide	5

Charles Gaumond, geo (#1927)




2018-12-17

Sample_ID	Clast_Roundness	Clast_Lithologies	Deposit_Interpretation	Comment_Echantillon	Analysis_Certificate_HMC	Laboratory_Analysis_HMC
289974	Anguleux	Granitoides VolcMaf	Till Base	Profondeur : 1,2m	A18-10217Final	ActLabs
290272	Subarrondi	Granitoides	Till Base	0,8m	A18-10217Final	ActLabs
289970	Subanguleux	Granitoides	Till Base	Profondeur : 0,8m	A18-10217Final	ActLabs
289969	Subanguleux	Granitoides	Till Base	trou de 1m.	A18-10217Final	ActLabs
289975	Subanguleux	Granitoides	Till Base	Profondeur : 1,2m	A18-10217Final	ActLabs
289971	Subarrondi	Granitoides	Till Base	Profondeur : 1,1m. La texture n'a pas été écrite, elle est de mémoire.	A18-10217Final	ActLabs
289973	Subanguleux	Granitoides Intrusions Maf	Till Base	Profondeur : 1m Traces d'argile dans l'échantillon	A18-10217Final	ActLabs
290277	Subarrondi	Granitoides Metaseds	Till Base	0,8m	A18-10217Final	ActLabs
289968	Subanguleux	Granitoides	Till Base	trou de 1m.	A18-10217Final	ActLabs
290273	Subarrondi	Granitoides	Till Base	0,8m	A18-10217Final	ActLabs
290269	Subarrondi	Granitoides	Till Base	1,5m	A18-10217Final	ActLabs
290274	Subarrondi	Granitoides	Till Base	1m	A18-10217Final	ActLabs
289972	Subarrondi	Granitoides	Inconnu	Profondeur : 1,1m L'interprétation est du till de base mais elle est douteuse.	A18-10217Final	ActLabs
290270	Subarrondi	Granitoides	Till Base	1m	A18-10217Final	ActLabs
289976	Subanguleux	Granitoides	Till Base	Profondeur : 1m	A18-10217Final	ActLabs
290276	Subarrondi	Granitoides	Till Base	1m	A18-10217Final	ActLabs
290271	Subarrondi	Granitoides	Till Base	0,8m	A18-10217Final	ActLabs
290275	Subarrondi	Granitoides Metaseds	Till Base	1m	A18-10217Final	ActLabs
290267	Subarrondi	Granitoides	Till Base	1,5m	A18-10217Final	ActLabs
290268	Subarrondi	Granitoides	Till Base	1,5m	A18-10217Final	ActLabs

Sample_ID	Analyzed_HMC_g	Analyzed_Fraction_HMC	AnalyticalMethod_Au_HMC	AnalyticalDigestion_Au_HMC	AnalyticalCode_Au_HMC	AnalyticalMethod_MEA_HMC
289974	58.6	NonMagHMC_Inf2m	INAA	N/A	3A	INAA+ICP-ES
290272	51.5	NonMagHMC_Inf2m	INAA	N/A	3A	INAA+ICP-ES
289970	55.5	NonMagHMC_Inf2m	INAA	N/A	3A	INAA+ICP-ES
289969	56.1	NonMagHMC_Inf2m	INAA	N/A	3A	INAA+ICP-ES
289975	35.8	NonMagHMC_Inf2m	INAA	N/A	3A	INAA+ICP-ES
289971	36	NonMagHMC_Inf2m	INAA	N/A	3A	INAA+ICP-ES
289973	47.5	NonMagHMC_Inf2m	INAA	N/A	3A	INAA+ICP-ES
290277	37.1	NonMagHMC_Inf2m	INAA	N/A	3A	INAA+ICP-ES
289968	61.2	NonMagHMC_Inf2m	INAA	N/A	3A	INAA+ICP-ES
290273	64.3	NonMagHMC_Inf2m	INAA	N/A	3A	INAA+ICP-ES
290269	37.7	NonMagHMC_Inf2m	INAA	N/A	3A	INAA+ICP-ES
290274	34.3	NonMagHMC_Inf2m	INAA	N/A	3A	INAA+ICP-ES
289972	50.8	NonMagHMC_Inf2m	INAA	N/A	3A	INAA+ICP-ES
290270	43.3	NonMagHMC_Inf2m	INAA	N/A	3A	INAA+ICP-ES
289976	39.1	NonMagHMC_Inf2m	INAA	N/A	3A	INAA+ICP-ES
290276	24.5	NonMagHMC_Inf2m	INAA	N/A	3A	INAA+ICP-ES
290271	21	NonMagHMC_Inf2m	INAA	N/A	3A	INAA+ICP-ES
290275	32.6	NonMagHMC_Inf2m	INAA	N/A	3A	INAA+ICP-ES
290267	36	NonMagHMC_Inf2m	INAA	N/A	3A	INAA+ICP-ES
290268	44.3	NonMagHMC_Inf2m	INAA	N/A	3A	INAA+ICP-ES

Sample_ID	AnalyticalDigestion_MEA_HMC	AnalyticalCode_MEA_HMC	Au_HMC_ppb	Au_HMC_ppt_Norm	Ag_HMC_ppm	Ag_HMC_ppb_Norm	As_HMC_ppm	As_HMC_ppb_Norm
289974	Aqua-regia	3A+3C	-5	-5	-0.2	-0.2	-2	-2
290272	Aqua-regia	3A+3C	-5	-5	-0.2	-0.2	-2	-2
289970	Aqua-regia	3A+3C	16	99.79381443	-0.2	-0.2	-2	-2
289969	Aqua-regia	3A+3C	-5	-5	-0.2	-0.2	-2	-2
289975	Aqua-regia	3A+3C	-5	-5	-0.2	-0.2	-2	-2
289971	Aqua-regia	3A+3C	-5	-5	-0.2	-0.2	-2	-2
289973	Aqua-regia	3A+3C	114	712.5	-0.2	-0.2	-2	-2
290277	Aqua-regia	3A+3C	-5	-5	-0.2	-0.2	-2	-2
289968	Aqua-regia	3A+3C	22	161.8222222	-0.2	-0.2	-2	-2
290273	Aqua-regia	3A+3C	-5	-5	-0.2	-0.2	-2	-2
290269	Aqua-regia	3A+3C	-5	-5	-0.2	-0.2	-2	-2
290274	Aqua-regia	3A+3C	96	460.097561	-0.2	-0.2	-2	-2
289972	Aqua-regia	3A+3C	-5	-5	-0.2	-0.2	-2	-2
290270	Aqua-regia	3A+3C	-5	-5	-0.2	-0.2	-2	-2
289976	Aqua-regia	3A+3C	-5	-5	-0.2	-0.2	-2	-2
290276	Aqua-regia	3A+3C	-5	-5	0.8	2.95	-2	-2
290271	Aqua-regia	3A+3C	-5	-5	-0.2	-0.2	-2	-2
290275	Aqua-regia	3A+3C	-5	-5	-0.2	-0.2	-2	-2
290267	Aqua-regia	3A+3C	-5	-5	-0.2	-0.2	-2	-2
290268	Aqua-regia	3A+3C	-5	-5	-0.2	-0.2	-2	-2

Sample_ID	Sb_HMC_pp m	Sb_HMC_ppb_ Norm	W_HMC_pp m	W_HMC_ppb_ Norm	Zn_HMC_pp m	Zn_HMC_ppb_ Norm	Cd_HMC_pp m	Cd_HMC_ppb_ Norm	Pb_HMC_pp m
289974	-0.2	-0.2	-4	-4	9	51.56756757	-0.5	-0.5	57
290272	-0.2	-0.2	-4	-4	10	55.39215686	-0.5	-0.5	65
289970	-0.2	-0.2	-4	-4	9	56.13402062	-0.5	-0.5	65
289969	-0.2	-0.2	-4	-4	9	56.1122449	-0.5	-0.5	57
289975	0.6	3.098734177	43	222.0759494	9	46.48101266	-0.5	-0.5	56
289971	-0.2	-0.2	-4	-4	9	45.55555556	-0.5	-0.5	70
289973	-0.2	-0.2	-4	-4	9	56.25	-0.5	-0.5	88
290277	-0.2	-0.2	-4	-4	9	47.96202532	-0.5	-0.5	69
289968	-0.2	-0.2	-4	-4	9	66.2	-0.5	-0.5	71
290273	-0.2	-0.2	-4	-4	8	67.6097561	-0.5	-0.5	68
290269	-0.2	-0.2	-4	-4	8	45.54666667	-0.5	-0.5	70
290274	0.3	1.437804878	-4	-4	8	38.34146341	-0.5	-0.5	60
289972	-0.2	-0.2	-4	-4	9	62	-0.5	-0.5	77
290270	-0.2	-0.2	-4	-4	8	52.21621622	-0.5	-0.5	56
289976	-0.2	-0.2	-4	-4	13	85.56716418	-0.5	-0.5	66
290276	-0.2	-0.2	-4	-4	8	29.5	-0.5	-0.5	64
290271	-0.2	-0.2	-4	-4	20	80	-0.5	-0.5	69
290275	-0.2	-0.2	-4	-4	8	43.5942029	-0.5	-0.5	70
290267	-0.2	-0.2	-4	-4	8	44.93150685	-0.5	-0.5	85
290268	-0.2	-0.2	-4	-4	8	68	-0.5	-0.5	53

Sample_ID	Pb_HMC_ppb_Norm	Cu_HMC_ppm	Cu_HMC_ppb_Norm	Mo_HMC_pm	Mo_HMC_ppb_Norm	Ni_HMC_ppm	Ni_HMC_ppb_Norm	Co_HMC_pm	Co_HMC_ppb_Norm
289974	326.5945946	6	34.37837838	-2	-2	6	34.37837838	34	194.8108108
290272	360.0490196	8	44.31372549	-2	-2	7	38.7745098	29	160.6372549
289970	405.4123711	8	49.89690722	-2	-2	9	56.13402062	28	174.6391753
289969	355.377551	7	43.64285714	-2	-2	6	37.40816327	33	205.744898
289975	289.2151899	6	30.98734177	-2	-2	5	25.82278481	32	165.2658228
289971	354.3209877	11	55.67901235	-2	-2	8	40.49382716	34	172.0987654
289973	550	7	43.75	-2	-2	6	37.5	17	106.25
290277	367.7088608	8	42.63291139	-2	-2	9	47.96202532	44	234.4810127
289968	522.2444444	7	51.48888889	-2	-2	7	51.48888889	31	228.0222222
290273	574.6829268	6	50.70731707	-2	-2	7	59.15853659	35	295.7926829
290269	398.5333333	9	51.24	4	22.77333333	8	45.54666667	38	216.3466667
290274	287.5609756	5	23.96341463	-2	-2	6	28.75609756	31	148.5731707
289972	530.4444444	7	48.22222222	3	20.66666667	8	55.11111111	31	213.5555556
290270	365.5135135	8	52.21621622	-2	-2	7	45.68918919	44	287.1891892
289976	434.4179104	8	52.65671642	-2	-2	11	72.40298507	36	236.9552239
290276	236	8	29.5	-2	-2	9	33.1875	47	173.3125
290271	276	7	28	-2	-2	8	32	39	156
290275	381.4492754	7	38.14492754	-2	-2	7	38.14492754	35	190.7246377
290267	477.3972603	6	33.69863014	-2	-2	8	44.93150685	17	95.47945205
290268	450.5	5	42.5	-2	-2	6	51	29	246.5

Sample_ID	U_HMC_ppm	U_HMC_ppb_Norm	Th_HMC_ppm	Th_HMC_ppb_Norm	Ba_HMC_ppm	Ca_HMC_pct	Ce_HMC_ppm	Cr_HMC_ppm	Cr_HMC_ppb_Norm
289974	18.4	105.427027	297	1701.72973	-200	-1	904	230	1317.837838
290272	20.8	115.2156863	346	1916.568627	-200	-1	1050	240	1329.411765
289970	20.5	127.8608247	312	1945.979381	-200	3	961	260	1621.649485
289969	20	124.6938776	307	1914.05102	-200	-1	976	250	1558.673469
289975	26.3	135.8278481	322	1662.987342	-200	-1	905	270	1394.43038
289971	12.3	62.25925926	314	1589.382716	-200	-1	931	260	1316.049383
289973	22.5	140.625	403	2518.75	-200	-1	1140	270	1687.5
290277	25.5	135.8924051	403	2147.632911	-200	-1	1200	290	1545.443038
289968	14.3	105.1844444	305	2243.444444	-200	-1	920	250	1838.888889
290273	17.7	149.5865854	337	2848.060976	-200	-1	937	220	1859.268293
290269	19	108.1733333	358	2038.213333	-200	-1	935	260	1480.266667
290274	19.5	93.45731707	373	1787.670732	-200	-1	1040	240	1150.243902
289972	19.9	137.0888889	331	2280.222222	-200	-1	963	260	1791.111111
290270	27.2	177.5351351	392	2558.594595	-200	-1	1240	320	2088.648649
289976	17.5	115.1865672	400	2632.835821	-200	-1	1160	240	1579.701493
290276	17.3	63.79375	335	1235.3125	-200	-1	934	260	958.75
290271	23.6	94.4	482	1928	-200	-1	1290	290	1160
290275	20.6	112.2550725	350	1907.246377	-200	-1	996	290	1580.289855
290267	24.8	139.2876712	554	3111.506849	-200	-1	1530	310	1741.09589
290268	17.5	148.75	264	2244	-200	-1	742	220	1870

Sample_ID	Cs_HMC_ppm	Fe_HMC_pct	Hf_HMC_ppm	La_HMC_ppm	La_HMC_ppb_Norm	Mn_HMC_ppm	Rb_HMC_ppm	S_HMC_pct	Sc_HMC_ppm	Se_HMC_ppm
289974	-2	13.4	106	646	3701.405405	432	-50	-0.01	74.8	-20
290272	-2	13.3	127	726	4021.470588	420	-50	-0.01	71.3	-20
289970	-2	13.1	108	683	4259.948454	488	-50	0.05	70.5	-20
289969	-2	13.7	119	661	4121.132653	451	-50	-0.01	77.1	-20
289975	-2	15.9	100	604	3119.392405	453	-50	-0.01	84.4	-20
289971	-2	15.3	85	591	2991.481481	448	-50	-0.01	80.8	-20
289973	-2	16	107	758	4737.5	456	-50	-0.01	89.7	-20
290277	-2	15	187	815	4343.227848	470	-50	-0.01	81.3	-20
289968	-2	14.1	122	641	4714.911111	525	-50	-0.01	78.7	-20
290273	-2	13.2	123	563	4758.036585	457	-50	-0.01	74.3	-20
290269	-2	15.6	107	647	3683.586667	387	-50	0.02	83.5	-20
290274	-2	15.3	117	713	3417.182927	426	-50	-0.01	79.6	-20
289972	-2	14.5	128	686	4725.777778	474	-50	-0.01	80.3	-20
290270	-2	15.2	192	843	5502.283784	482	-50	0.01	83.6	-20
289976	-2	16.1	151	749	4929.985075	488	-50	0.02	84.4	-20
290276	-2	17.1	108	610	2249.375	388	-50	-0.01	90	-20
290271	-2	17.4	153	846	3384	428	60	-0.01	89.7	-20
290275	-2	16.1	131	658	3585.623188	430	-50	-0.01	79.8	-20
290267	-2	15.5	201	1150	6458.90411	491	-50	-0.01	81.4	-20
290268	-2	12.5	111	531	4513.5	417	-50	-0.01	72.3	-20

Sample_ID	Sr_HMC_ppm	Ta_HMC_ppm
289974	-0.2	-1
290272	-0.2	-1
289970	-0.2	-1
289969	-0.2	-1
289975	-0.2	-1
289971	-0.2	-1
289973	-0.2	-1
290277	-0.2	-1
289968	-0.2	-1
290273	-0.2	-1
290269	-0.2	-1
290274	-0.2	-1
289972	-0.2	-1
290270	-0.2	-1
289976	-0.2	-1
290276	-0.2	-1
290271	-0.2	-1
290275	-0.2	-1
290267	-0.2	-1
290268	-0.2	-1

Appendix 9 : Certificate of analysis for grab samples



ALS Canada Ltd.
2103 Dollarton Hwy
North Vancouver BC V7H 0A7
Téléphone: +1 (604) 984 0221 Télécopieur: +1 (604) 984 0218
www.alsglobal.com/geochemistry

À: **MINIÈRE OSISKO INC.**
300, RUE ST-PAUL
BUREAU 200
QUEBEC QC G1K 7R1

Page: 1
Nombre total de pages: 4 (A - D)
plus les pages d'annexe
Finalisée date: 25-JUIL-2018
Compte: MINVIR

CERTIFICAT VO18163561

Projet: Eléonore JV
Bon de commande #: GRB-001
Ce rapport s'applique aux 103 échantillons de roche soumis à notre laboratoire de Val d'Or, QC, Canada le 7-JUIL-2018.
Les résultats sont transmis à:
CHARLES GAUMOND | CORPORATIF WEBTRIEVE

PRÉPARATION ÉCHANTILLONS

CODE ALS	DESCRIPTION
WEI-21	Poids échantillon reçu
LOG-21	Entrée échantillon - Code barre client
LOG-23	Entrée pulpe - Reçu avec code barre
CRU-QC	Test concassage QC
PUL-QC	Test concassage QC
CRU-31	Granulation - 70 % <2 mm
SPL-21	Échant. fractionné - div. riffles
PUL-31	Pulvérisé à 85 % <75 um

PROCÉDURES ANALYTIQUES

CODE ALS	DESCRIPTION	INSTRUMENT
ME-OG62	Teneur marchande éléments - quatre acides	ICP-AES
Cu-OG62	Teneur marchande Cu - quatre acides	ICP-AES
Pb-OG62	Teneur marchande Pb - quatre acides	ICP-AES
Zn-OG62	Teneur marchande Zn - quatre acides	ICP-AES
Au-ICP21	Au 30 g FA fini ICP-AES	ICP-AES
ME-MS61	ICP-MS 48 éléments, quatre acides	

Ce rapport est final et remplace tout autre rapport préliminaire portant ce numéro de certificat. Les résultats s'appliquent aux échantillons soumis. Toutes les pages de ce rapport ont été vérifiées et approuvées avant publication.

***** Voir la page d'annexe pour les commentaires en ce qui concerne ce certificat *****

Signature:

Colin Ramshaw, Vancouver Laboratory Manager



ALS Canada Ltd.
 2103 Dollarton Hwy
 North Vancouver BC V7H 0A7
 Téléphone: +1 (604) 984 0221 Télécopieur: +1 (604) 984 0218
 www.alsglobal.com/geochemistry

À: **MINIÈRE OSISKO INC.**
300, RUE ST-PAUL
BUREAU 200
QUEBEC QC G1K 7R1

Page: 2 - A
 Nombre total de pages: 4 (A - D)
 plus les pages d'annexe
 Finalisée date: 25-JUIL-2018
 Compte: MINVIR

Projet: Eléonore JV

CERTIFICAT D'ANALYSE VO18163561

Description échantillon	Méthode	WEI-21	Au-ICP21	ME-MS61	ME-MS61	ME-MS61	ME-MS61	ME-MS61	ME-MS61	ME-MS61	ME-MS61	ME-MS61	ME-MS61	ME-MS61	ME-MS61	ME-MS61
	élément unités LDI	Poids reçu kg	Au ppm	Ag ppm	Al %	As ppm	Ba ppm	Be ppm	Bi ppm	Ca %	Cd ppm	Ce ppm	Co ppm	Cr ppm	Cs ppm	Cu ppm
390651		0.66	0.003	1.40	6.54	<0.2	100	0.54	0.88	3.89	0.16	46.4	77.0	173	0.25	978
390652		0.38	<0.001	0.19	8.38	<0.2	440	1.23	0.13	2.82	0.09	16.85	9.1	62	0.77	64.4
390653		0.82	0.001	0.27	8.70	0.5	790	1.17	0.95	4.36	0.08	27.7	10.0	93	0.94	31.6
390654		0.65	0.002	0.34	6.69	0.3	280	0.91	0.22	2.07	0.20	27.2	28.3	61	5.47	121.0
390655		0.12	0.130	62.8	3.57	169.0	60	0.37	57.9	2.21	383	8.28	93.1	97	2.13	>10000
390656		1.15	<0.001	0.22	8.79	0.2	460	1.04	0.14	2.97	0.30	44.2	22.1	81	5.90	69.0
390657		0.44	<0.001	0.09	8.40	0.2	440	1.76	0.08	3.67	0.09	31.0	19.9	85	5.27	97.6
390658		0.60	<0.001	0.46	8.78	0.3	690	2.39	0.02	3.41	0.21	80.4	20.8	38	6.67	245
390659		1.19	<0.001	0.07	8.48	0.4	420	0.53	0.01	6.88	0.05	27.6	42.9	204	0.29	55.6
390660		1.13	0.003	0.65	7.93	0.4	180	2.82	0.30	1.78	0.06	21.0	28.7	61	2.67	265
390661		0.90	<0.001	0.11	8.28	<0.2	420	0.89	0.05	2.59	0.07	34.3	22.4	67	3.99	50.4
390662		1.01	<0.001	0.12	8.81	0.5	710	0.71	0.10	3.23	0.14	23.2	22.8	84	3.13	52.3
390663		1.28	<0.001	0.10	9.05	0.2	430	0.97	0.07	2.54	0.06	51.2	16.9	83	2.22	29.2
390664		0.96	<0.001	0.16	7.41	0.3	530	0.93	0.39	1.27	0.15	13.95	16.9	46	1.21	45.2
390665		0.27	<0.001	0.01	0.06	0.6	180	0.06	0.01	20.9	0.07	1.32	0.5	5	0.23	1.8
390666		0.86	<0.001	0.17	8.45	0.4	730	1.31	0.18	2.01	0.06	25.7	14.8	44	0.84	44.8
390667		1.21	<0.001	0.13	9.83	0.2	390	1.58	0.14	7.42	0.30	53.7	44.5	547	0.39	224
390668		0.81	<0.001	0.03	8.81	0.4	440	1.70	0.19	2.06	0.05	50.6	22.7	62	0.81	48.0
390669		0.94	<0.001	0.19	8.54	0.2	780	1.09	0.08	2.58	0.03	9.56	10.6	32	1.54	50.9
390670		0.92	0.010	1.71	6.26	0.3	60	0.63	0.90	8.98	0.24	56.5	143.5	135	0.21	520
390671		0.55	0.002	0.36	8.36	0.4	190	1.85	0.23	7.02	0.14	87.5	45.9	120	0.42	125.5
390672		0.88	<0.001	0.32	8.77	0.4	510	1.42	0.18	4.86	1.07	30.4	26.5	56	0.84	39.1
390673		0.53	0.008	1.23	4.87	1.6	10	0.94	1.08	1.30	0.13	21.6	34.5	61	0.40	97.7
390674		0.87	<0.001	0.23	7.32	0.3	400	1.09	0.43	4.01	0.27	42.8	53.8	173	0.68	344
390675		0.12	0.125	59.8	3.39	162.5	70	0.42	64.4	2.01	363	8.11	90.0	81	2.09	>10000
390676		0.69	<0.001	0.27	8.61	0.5	20	0.65	0.24	12.80	0.21	48.1	18.5	168	0.06	15.8
390677		0.84	<0.001	0.32	7.48	0.9	70	0.67	0.07	10.80	0.26	46.4	44.4	202	0.35	43.3
390678		0.67	<0.001	0.12	6.15	0.2	280	0.99	0.10	1.05	0.03	17.55	18.4	64	7.39	101.0
390679		0.68	<0.001	0.04	7.77	0.2	530	1.33	0.03	2.70	0.12	65.3	16.5	51	2.01	21.1
390680		0.72	<0.001	0.02	8.78	1.0	750	1.16	0.10	1.82	<0.02	54.5	35.2	21	0.41	431
390681		0.71	<0.001	0.01	6.95	<0.2	490	0.73	0.02	1.34	0.02	39.2	12.1	14	0.09	93.8
390682		0.83	<0.001	0.30	7.93	0.5	530	1.35	0.14	3.67	0.07	25.0	12.2	36	0.57	90.7
390751		0.56	0.004	0.63	7.75	0.6	190	0.75	0.57	5.81	0.17	40.3	61.1	224	0.64	149.5
390752		0.42	0.002	0.82	7.77	0.4	210	0.56	0.55	8.81	1.43	45.1	28.7	211	0.35	50.4
390753		0.64	<0.001	0.01	7.43	0.5	70	1.45	0.24	11.10	0.15	65.2	41.2	499	0.10	12.3
390754		0.48	<0.001	0.06	7.32	<0.2	340	1.86	0.10	3.80	0.12	47.2	19.2	58	0.71	20.5
390755		0.12	0.110	59.7	3.36	162.0	50	0.44	64.4	2.01	363	8.17	89.2	81	2.12	>10000
390756		0.52	<0.001	0.16	8.28	0.4	780	1.30	0.10	2.77	0.18	37.5	11.5	59	0.99	55.5
390757		0.30	<0.001	0.08	8.75	0.6	940	1.35	0.08	3.06	0.07	22.1	10.8	47	1.02	45.5
390758		0.52	<0.001	0.02	7.20	0.3	3460	0.56	0.02	0.98	<0.02	97.1	3.9	9	1.89	11.3



ALS Canada Ltd,
 2103 Dollarton Hwy
 North Vancouver BC V7H 0A7
 Téléphone: +1 (604) 984 0221 Télécopieur: +1 (604) 984 0218
 www.alsglobal.com/geochemistry

À: **MINIÈRE OSISKO INC.**
300, RUE ST-PAUL
BUREAU 200
QUEBEC QC G1K 7R1

Page: 2 - B
 Nombre total de pages: 4 (A - D)
 plus les pages d'annexe
 Finalisée date: 25-JUIL-2018
 Compte: MINVIR

Projet: Eléonore JV

CERTIFICAT D'ANALYSE VO18163561

Description échantillon	Méthode	ME-MS61	ME-MS61	ME-MS61	ME-MS61	ME-MS61	ME-MS61	ME-MS61	ME-MS61	ME-MS61	ME-MS61	ME-MS61	ME-MS61	ME-MS61	ME-MS61	
	élément unités LDI	Fe %	Ga ppm	Ge ppm	Hf ppm	In ppm	K %	La ppm	Li ppm	Mg %	Mn ppm	Mo ppm	Na %	Nb ppm	Ni ppm	P ppm
390651		19.55	16.10	0.08	0.9	0.053	0.25	21.7	86.7	1.99	1000	9.80	0.89	2.6	428	650
390652		4.49	15.25	0.10	1.3	0.030	1.56	8.0	12.9	1.58	593	88.8	4.45	2.5	46.9	600
390653		4.18	20.8	0.11	2.0	0.070	1.32	12.7	11.3	1.85	797	2.43	3.53	3.5	20.6	790
390654		6.79	16.20	0.10	1.7	0.040	1.11	12.8	39.5	1.04	1780	3.61	2.03	3.6	37.7	420
390655		17.60	14.55	0.20	0.4	2.29	0.65	2.7	31.3	1.25	674	35.8	0.72	1.6	49.4	400
390656		6.16	19.70	0.11	2.0	0.044	1.29	20.3	42.2	1.12	1100	1.20	3.05	4.1	35.4	590
390657		4.01	19.90	0.11	2.6	0.048	1.47	12.7	33.2	1.60	658	0.39	3.53	5.4	49.5	640
390658		5.84	21.4	0.15	2.3	0.057	1.84	38.3	33.4	2.12	651	0.66	3.60	5.6	25.4	2180
390659		8.52	16.00	0.07	2.4	0.049	1.05	12.7	14.5	4.28	1220	0.12	2.53	5.8	104.0	500
390660		4.46	22.7	0.09	3.3	0.012	0.79	10.0	24.1	0.30	253	0.66	4.59	2.2	41.9	390
390661		5.29	20.4	0.11	1.8	0.028	1.91	15.8	40.4	1.74	810	0.96	2.91	4.6	33.5	480
390662		6.12	20.6	0.10	1.4	0.039	1.54	10.1	35.6	2.39	997	0.74	3.14	3.4	42.9	1320
390663		6.21	20.8	0.13	1.2	0.036	1.04	24.0	19.8	1.02	892	3.17	3.63	4.3	31.7	440
390664		6.62	14.75	0.09	2.2	0.044	1.56	5.9	15.5	1.23	2230	0.72	2.44	2.7	25.9	470
390665		0.10	0.27	0.21	0.1	<0.005	0.02	0.7	10.4	14.35	318	0.08	0.03	0.1	0.5	40
390666		5.46	20.2	0.10	2.9	0.035	1.44	10.9	31.5	1.52	816	1.85	3.46	6.0	17.7	1050
390667		9.79	35.1	0.09	1.7	0.144	1.60	22.0	15.4	2.06	2670	0.31	2.17	3.9	192.5	2760
390668		5.56	21.9	0.09	2.2	0.032	1.40	22.2	25.2	2.10	971	1.38	3.30	5.1	43.7	1220
390669		4.95	20.2	0.08	1.8	0.029	1.78	4.4	25.7	1.31	643	0.62	3.07	4.7	13.4	960
390670		18.65	16.90	0.10	1.2	0.054	0.24	31.8	2.4	1.64	861	16.40	0.81	3.1	236	580
390671		8.83	22.5	0.13	4.1	0.089	0.82	41.8	17.8	2.84	1280	2.85	2.52	9.5	113.5	2070
390672		7.53	23.0	0.09	2.5	0.076	1.91	9.5	17.2	2.85	1360	1.46	2.89	5.3	39.5	920
390673		10.30	17.65	0.05	0.8	0.046	0.05	9.7	35.3	1.88	1790	11.55	1.51	3.6	46.9	220
390674		10.75	17.85	0.09	1.9	0.056	1.31	16.3	14.7	2.02	1200	4.86	2.21	5.1	182.0	670
390675		16.50	14.65	0.19	0.4	2.30	0.61	2.8	30.3	1.16	625	32.4	0.67	1.5	46.3	380
390676		9.73	32.9	0.06	1.4	0.084	0.03	27.4	3.5	1.11	827	2.52	0.26	4.0	112.5	650
390677		10.10	22.6	0.08	1.3	0.075	0.20	21.6	16.3	2.34	1320	0.89	1.30	2.5	158.0	800
390678		7.81	16.20	0.06	2.1	0.034	2.11	7.7	58.4	1.52	1040	3.62	1.65	6.1	30.0	430
390679		4.59	18.95	0.09	3.5	0.045	1.89	30.7	26.6	1.14	906	0.43	2.70	13.7	29.6	660
390680		9.19	23.4	0.10	3.1	0.040	1.24	23.4	26.9	2.30	896	2.03	4.12	16.5	42.7	2860
390681		6.57	18.00	0.06	2.2	0.015	0.18	18.0	12.4	0.91	372	0.44	4.64	12.0	17.8	2020
390682		3.04	19.50	0.07	2.4	0.023	1.44	10.0	12.6	1.41	555	0.40	3.82	4.3	31.3	700
390751		12.00	21.3	0.08	1.3	0.077	0.91	18.4	22.3	2.26	1270	1.20	2.15	2.6	207	940
390752		9.45	21.9	0.07	1.4	0.077	0.59	21.1	16.7	2.79	1800	2.21	1.93	3.0	83.1	780
390753		7.72	46.9	0.08	1.4	0.050	0.54	31.1	5.9	4.06	1430	0.50	0.69	6.2	188.5	940
390754		4.87	21.6	0.09	2.9	0.056	1.35	18.7	18.1	1.86	1040	0.34	3.04	8.5	24.2	1050
390755		16.30	14.50	0.20	0.4	2.27	0.60	2.8	31.1	1.15	625	32.0	0.67	1.5	46.2	380
390756		3.97	19.90	0.08	2.3	0.029	1.48	16.3	29.4	0.99	469	0.85	3.18	3.7	22.2	730
390757		3.74	21.3	0.08	2.5	0.026	1.76	9.8	28.1	1.26	493	1.31	3.48	4.1	19.2	620
390758		1.43	14.75	0.13	7.1	<0.005	4.44	48.1	20.7	0.33	130	0.13	2.37	1.3	3.9	440



ALS Canada Ltd.
 2103 Dollarton Hwy
 North Vancouver BC V7H 0A7
 Téléphone: +1 (604) 984 0221 Télécopieur: +1 (604) 984 0218
 www.alsglobal.com/geochemistry

À: **MINIÈRE OSISKO INC.**
300, RUE ST-PAUL
BUREAU 200
QUEBEC QC G1K 7R1

Page: 2 - C
 Nombre total de pages: 4 (A - D)
 plus les pages d'annexe
 Finalisée date: 25-JUIL-2018
 Compte: MINVIR

Projet: Eléonore JV

CERTIFICAT D'ANALYSE VO18163561

Description échantillon	Méthode élément unités LDI	ME-MS61	ME-MS61	ME-MS61	ME-MS61	ME-MS61	ME-MS61	ME-MS61	ME-MS61	ME-MS61	ME-MS61	ME-MS61	ME-MS61	ME-MS61	ME-MS61	
		Pb	Rb	Re	S	Sb	Sc	Se	Sn	Sr	Ta	Te	Th	Ti	Tl	U
		ppm	ppm	ppm	%	ppm	ppm	ppm	ppm	ppm	ppm	ppm	ppm	%	ppm	ppm
		0.5	0.1	0.002	0.01	0.05	0.1	1	0.2	0.2	0.05	0.05	0.01	0.005	0.02	0.1
390651		28.1	5.8	0.003	>10.0	0.05	20.7	1	1.8	415	0.15	0.82	2.70	0.701	0.05	1.3
390652		20.6	54.7	0.011	0.77	<0.05	8.7	<1	0.6	380	0.16	0.10	0.45	0.276	0.31	0.4
390653		8.0	49.8	<0.002	0.92	0.06	13.7	1	0.8	984	0.20	0.18	2.92	0.301	0.29	0.8
390654		8.1	45.1	0.003	1.41	0.05	16.1	1	0.7	306	0.25	0.20	1.77	0.346	0.33	0.7
390655		>10000	22.5	0.019	>10.0	89.6	12.0	61	10.9	68.8	0.13	0.09	0.69	0.240	5.60	2.8
390656		21.8	43.7	0.002	0.66	0.09	16.7	1	0.8	522	0.23	0.09	2.95	0.444	0.39	0.8
390657		16.1	53.5	<0.002	0.13	<0.05	11.8	<1	1.2	493	0.50	<0.05	4.93	0.287	0.55	2.1
390658		14.5	163.0	<0.002	0.69	<0.05	16.7	1	1.6	789	0.38	<0.05	5.67	0.446	1.12	0.6
390659		4.1	35.8	<0.002	0.10	0.05	35.0	1	0.5	220	0.37	<0.05	2.82	0.535	0.13	0.5
390660		18.6	40.0	<0.002	1.07	<0.05	1.2	<1	0.9	751	0.13	0.09	13.55	0.161	0.27	0.8
390661		8.1	69.1	<0.002	0.54	<0.05	14.9	1	0.8	553	0.30	<0.05	4.79	0.431	0.56	0.5
390662		13.8	32.1	<0.002	0.41	<0.05	20.1	1	0.6	665	0.14	0.09	0.56	0.502	0.40	0.3
390663		7.8	39.6	<0.002	0.42	<0.05	13.0	1	0.8	570	0.15	0.06	3.23	0.455	0.32	0.5
390664		11.1	76.1	<0.002	1.00	<0.05	14.6	1	0.6	339	0.19	0.09	1.90	0.308	0.38	0.6
390665		1.7	0.7	<0.002	0.01	0.08	0.2	1	<0.2	174.0	<0.05	<0.05	0.14	<0.005	0.03	0.4
390666		8.2	64.2	<0.002	0.69	<0.05	11.0	1	1.0	664	0.30	0.18	6.89	0.394	0.35	1.5
390667		8.6	36.8	<0.002	0.42	<0.05	33.2	1	2.3	588	0.22	0.05	3.11	0.412	0.49	1.7
390668		9.2	49.4	0.002	0.22	0.06	15.5	1	0.8	627	0.19	<0.05	3.15	0.503	0.27	0.4
390669		11.3	77.0	<0.002	0.77	<0.05	9.0	1	0.6	763	0.16	0.25	4.69	0.380	0.49	0.2
390670		20.6	5.6	0.004	>10.0	0.05	14.5	1	1.0	1270	0.25	1.25	3.02	0.545	0.03	2.0
390671		9.3	35.0	<0.002	1.92	<0.05	25.8	1	2.2	1035	0.49	0.17	14.45	0.553	0.22	0.8
390672		8.8	44.2	<0.002	0.72	<0.05	21.1	1	1.3	538	0.41	0.19	1.19	0.524	0.43	0.9
390673		12.7	2.5	0.004	3.28	<0.05	31.4	3	0.8	72.3	0.17	1.73	1.50	0.485	0.02	0.2
390674		10.8	54.1	<0.002	3.40	0.10	19.3	1	0.9	420	0.55	0.25	3.69	0.646	0.26	3.0
390675		>10000	24.4	0.020	>10.0	88.0	12.0	62	11.3	62.9	0.12	0.09	0.75	0.232	6.01	2.8
390676		18.9	0.6	<0.002	0.79	0.14	18.2	1	1.1	2150	0.33	0.27	4.96	0.734	<0.02	2.2
390677		9.4	9.8	<0.002	0.82	0.24	23.9	1	1.0	1405	0.13	0.27	2.30	0.918	0.04	0.4
390678		7.4	189.5	<0.002	0.66	0.06	21.4	1	1.7	288	0.36	0.06	2.48	0.457	1.06	1.0
390679		11.6	122.5	<0.002	0.06	<0.05	14.6	<1	1.3	511	0.59	0.06	8.70	0.378	0.71	1.2
390680		2.3	37.2	0.067	1.23	<0.05	18.4	2	0.8	102.0	0.90	<0.05	2.38	1.410	0.26	0.4
390681		1.2	6.8	<0.002	0.05	<0.05	9.9	<1	0.6	47.0	0.68	<0.05	1.94	1.055	0.04	0.5
390682		9.0	49.8	<0.002	0.07	<0.05	6.7	<1	0.6	691	0.46	<0.05	3.75	0.280	0.43	1.2
390751		8.2	45.9	<0.002	2.77	0.06	28.0	1	1.0	489	0.14	0.49	2.40	0.975	0.24	0.6
390752		106.5	24.2	<0.002	1.76	0.10	25.4	1	0.9	816	0.17	0.84	3.58	0.889	0.13	1.1
390753		15.3	16.4	<0.002	0.01	0.12	36.8	1	0.6	1790	0.24	<0.05	4.05	0.441	0.11	0.8
390754		9.3	44.9	<0.002	0.01	<0.05	16.1	<1	1.2	595	0.56	<0.05	7.21	0.385	0.41	2.2
390755		>10000	24.1	0.020	>10.0	87.8	12.0	60	11.0	62.4	0.13	0.09	0.77	0.230	5.96	2.7
390756		14.8	69.6	<0.002	0.62	0.07	9.2	1	0.7	825	0.19	0.07	3.87	0.289	0.45	0.4
390757		9.9	76.2	0.002	0.53	<0.05	9.0	1	0.8	816	0.23	0.06	3.37	0.282	0.50	0.6
390758		15.4	154.0	<0.002	0.01	<0.05	0.5	<1	0.2	816	0.05	<0.05	32.0	0.154	0.71	0.5



ALS Canada Ltd.
 2103 Dollarton Hwy
 North Vancouver BC V7H 0A7
 Téléphone: +1 (604) 984 0221 Télécopieur: +1 (604) 984 0218
 www.alsglobal.com/geochemistry

À: **MINIÈRE OSISKO INC.**
300, RUE ST-PAUL
BUREAU 200
QUEBEC QC G1K 7R1

Page: 2 - D
 Nombre total de pages: 4 (A - D)
 plus les pages d'annexe
 Finalisée date: 25-JUIL-2018
 Compte: MINVIR

Projet: Eléonore JV

CERTIFICAT D'ANALYSE VO18163561

Description échantillon	Méthode élément unités LDI	ME-MS61	ME-MS61	ME-MS61	ME-MS61	ME-MS61	Cu-OG62	Pb-OG62	Zn-OG62
		V	W	Y	Zn	Zr	Cu	Pb	Zn
		ppm	ppm	ppm	ppm	ppm	%	%	%
		1	0.1	0.1	2	0.5	0.001	0.001	0.001
390651		162	0.9	15.0	132	18.3			
390652		79	0.4	4.9	69	46.4			
390653		101	0.4	7.8	70	80.7			
390654		126	0.2	14.7	114	64.6			
390655		105	56.8	10.7	>10000	10.8	1.385	1.600	7.31
390656		147	0.2	10.6	124	74.5			
390657		92	0.2	13.4	77	99.3			
390658		130	0.1	12.5	119	104.0			
390659		252	0.2	19.6	74	95.9			
390660		65	0.2	1.8	47	122.5			
390661		142	0.2	5.6	95	67.0			
390662		188	0.3	11.8	119	58.2			
390663		155	0.1	6.3	86	44.9			
390664		112	0.1	13.3	89	78.7			
390665		2	0.1	0.8	20	3.6			
390666		131	0.2	8.6	86	116.5			
390667		289	0.1	16.3	130	65.4			
390668		151	0.1	10.2	108	71.8			
390669		127	<0.1	4.6	75	62.5			
390670		124	0.4	14.8	70	26.2			
390671		193	0.3	30.2	133	130.5			
390672		188	0.2	15.7	353	71.5			
390673		126	0.3	18.1	146	28.1			
390674		161	0.4	16.6	120	52.6			
390675		102	55.9	10.1	>10000	9.4	1.375	1.595	7.27
390676		228	0.4	11.6	81	31.3			
390677		230	0.3	19.4	99	24.2			
390678		153	0.2	2.5	131	66.3			
390679		107	0.2	14.9	135	112.0			
390680		137	0.2	17.3	113	114.5			
390681		116	0.4	14.2	46	82.5			
390682		69	0.1	5.8	59	72.6			
390751		232	0.3	16.3	118	22.8			
390752		220	0.4	16.5	361	25.3			
390753		316	0.2	15.4	117	40.7			
390754		144	0.3	15.0	109	86.6			
390755		101	54.7	10.0	>10000	9.4	1.340	1.555	7.07
390756		91	0.1	5.7	95	71.7			
390757		88	0.1	7.9	60	77.7			
390758		31	<0.1	1.9	27	250			



ALS Canada Ltd,
 2103 Dollarton Hwy
 North Vancouver BC V7H 0A7
 Téléphone: +1 (604) 984 0221 Télécopieur: +1 (604) 984 0218
 www.alsglobal.com/geochemistry

À: **MINIÈRE OSISKO INC.**
300, RUE ST-PAUL
BUREAU 200
QUEBEC QC G1K 7R1

Page: 3 - A
 Nombre total de pages: 4 (A - D)
 plus les pages d'annexe
 Finalisée date: 25-JUIL-2018
 Compte: MINVIR

Projet: Eléonore JV

CERTIFICAT D'ANALYSE VO18163561

Description échantillon	Méthode	WEI-21	Au-ICP21	ME-MS61	ME-MS61	ME-MS61	ME-MS61	ME-MS61	ME-MS61	ME-MS61	ME-MS61	ME-MS61	ME-MS61	ME-MS61	ME-MS61	ME-MS61
	élément	Poids reçu	Au	Ag	Al	As	Ba	Be	Bi	Ca	Cd	Ce	Co	Cr	Cs	Cu
	unités	kg	ppm	ppm	%	ppm	ppm	ppm	ppm	%	ppm	ppm	ppm	ppm	ppm	ppm
LDI		0.02	0.001	0.01	0.01	0.2	10	0.05	0.01	0.01	0.02	0.01	0.1	1	0.05	0.2
390759		0.58	<0.001	0.08	8.73	0.3	430	1.04	0.13	2.01	0.06	13.50	13.0	132	1.75	26.6
390760		0.57	<0.001	0.04	7.27	0.4	40	0.48	0.20	5.94	0.11	77.7	10.7	46	0.05	10.2
390761		0.66	<0.001	0.03	7.81	0.3	650	1.53	0.03	2.42	0.06	41.6	8.2	18	1.68	0.8
390762		0.62	0.006	0.26	6.34	0.2	330	0.62	0.16	1.57	0.29	17.15	34.1	47	6.22	133.5
390763		0.42	0.003	0.14	2.01	<0.2	100	0.21	0.13	0.60	0.15	5.98	13.9	23	2.03	79.3
390764		0.27	<0.001	0.01	0.40	0.2	80	<0.05	0.01	0.02	<0.02	0.55	0.3	16	0.11	1.7
390765		0.19	<0.001	0.01	0.04	0.3	50	0.06	0.01	19.30	0.17	1.71	0.5	2	0.20	2.0
390766		0.45	<0.001	0.02	0.50	0.2	40	<0.05	0.02	0.09	<0.02	1.27	2.7	16	0.79	13.4
390767		0.50	0.001	0.13	8.01	0.3	290	0.83	0.10	3.11	0.08	11.00	25.9	77	4.32	55.3
390768		0.40	<0.001	0.01	7.89	0.2	550	1.19	0.09	3.96	0.09	43.2	14.6	77	0.61	2.2
390769		0.34	<0.001	0.11	3.37	<0.2	160	0.37	0.03	0.78	0.06	13.80	11.3	22	0.86	41.8
390770		0.32	<0.001	0.09	4.57	0.3	140	1.91	0.07	1.81	0.04	8.91	4.4	21	0.41	12.3
390771		0.20	<0.001	0.09	8.17	0.6	570	1.09	0.05	2.76	0.05	21.3	21.4	65	2.21	25.6
390772		0.36	0.001	0.17	7.71	0.3	490	0.91	0.14	2.25	0.15	33.1	22.8	70	3.66	46.8
390773		0.46	<0.001	0.20	8.41	0.5	720	2.32	0.40	5.46	0.14	81.9	35.2	169	0.35	238
390774		0.58	<0.001	0.27	7.97	0.2	430	3.12	0.28	3.81	0.09	27.2	16.6	49	1.29	36.6
390775		0.12	0.137	63.8	3.57	172.0	150	0.47	63.4	2.12	383	7.99	95.3	85	2.26	>10000
390776		0.98	<0.001	0.05	7.39	0.5	710	1.54	0.61	5.05	0.23	61.0	27.2	131	0.43	5.7
390777		0.58	0.006	0.97	7.28	0.3	130	0.58	0.69	7.78	0.31	40.3	49.7	205	0.24	139.0
390778		0.58	0.008	1.51	5.43	0.3	110	0.43	1.40	1.85	0.35	27.9	137.5	152	1.28	1335
390779		0.57	<0.001	0.13	7.95	0.3	470	0.91	0.07	3.80	0.19	32.4	16.2	61	0.78	27.1
390780		1.01	<0.001	0.95	7.96	0.4	540	0.91	0.85	2.72	0.14	51.6	21.3	35	2.35	271
390781		0.62	0.002	0.25	8.09	0.7	370	0.94	0.15	6.43	0.19	34.4	24.4	206	0.62	68.5
390782		0.38	<0.001	5.49	8.06	0.3	1690	1.73	0.43	5.05	0.16	48.2	17.1	114	1.14	812
390783		0.49	0.005	22.8	6.54	0.3	90	1.49	1.57	3.80	0.19	29.3	15.8	328	0.43	>10000
390784		0.79	0.002	3.52	5.61	0.2	300	1.06	1.76	2.37	0.11	45.4	25.2	89	0.60	3920
390785		0.15	<0.001	0.07	0.06	<0.2	80	0.05	0.02	21.4	0.07	1.20	0.6	2	0.15	44.9
390786		0.47	0.006	1.25	7.27	0.4	390	0.56	0.95	3.58	0.26	33.1	47.8	264	0.91	207
390787		0.45	<0.001	0.16	7.74	0.5	330	1.50	0.17	4.11	0.19	41.9	14.8	137	0.62	28.7
390788		0.63	0.006	0.70	8.08	0.6	250	0.74	0.23	5.92	0.19	43.5	33.3	203	0.57	51.2
390789		0.55	0.004	0.61	7.39	0.6	210	0.68	0.55	6.28	0.33	47.2	61.8	247	0.42	218
390790		0.41	<0.001	0.32	8.76	0.4	990	1.96	0.10	1.81	0.11	17.35	15.9	64	0.85	53.9
390791		0.58	0.003	1.02	7.21	0.5	90	1.08	0.85	7.88	9.71	47.0	55.6	165	0.31	474
390792		0.54	<0.001	0.05	7.90	0.4	430	1.69	0.15	7.71	0.22	84.0	27.0	103	0.25	66.0
390793		0.65	<0.001	0.16	4.77	0.4	500	0.52	0.11	0.73	0.09	3.65	18.3	32	0.69	73.1
390794		0.59	<0.001	0.09	2.53	0.5	130	0.58	0.07	0.28	0.03	0.83	0.4	11	0.32	11.6
390795		0.11	0.146	64.5	3.56	166.0	110	0.46	63.8	2.12	383	8.07	94.5	84	2.22	>10000
390851		1.07	<0.001	0.07	8.83	0.2	420	1.08	0.08	2.92	0.20	5.52	15.8	61	4.19	22.2
390852		0.83	0.324	5.62	7.17	0.4	3740	0.94	8.33	2.37	0.22	44.6	21.7	39	3.14	3130
390853		0.71	0.014	2.80	6.54	0.3	480	0.74	0.54	1.41	0.03	15.75	23.6	52	2.54	734



ALS Canada Ltd.
 2103 Dollarton Hwy
 North Vancouver BC V7H 0A7
 Téléphone: +1 (604) 984 0221 Télécopieur: +1 (604) 984 0218
 www.alsglobal.com/geochemistry

À: **MINIÈRE OSISKO INC.**
300, RUE ST-PAUL
BUREAU 200
QUEBEC QC G1K 7R1

Page: 3 - B
 Nombre total de pages: 4 (A - D)
 plus les pages d'annexe
 Finalisée date: 25-JUIL-2018
 Compte: MINVIR

Projet: Eléonore JV

CERTIFICAT D'ANALYSE VO18163561

Description échantillon	Méthode	ME-MS61	ME-MS61	ME-MS61	ME-MS61	ME-MS61	ME-MS61	ME-MS61	ME-MS61	ME-MS61	ME-MS61	ME-MS61	ME-MS61	ME-MS61	ME-MS61	
	élément unités LDI	Fe %	Ga ppm	Ge ppm	Hf ppm	In ppm	K %	La ppm	Li ppm	Mg %	Mn ppm	Mo ppm	Na %	Nb ppm	Ni ppm	P ppm
390759		3.56	20.2	0.07	3.3	0.027	1.55	6.5	45.1	1.30	422	1.53	3.31	4.8	42.4	610
390760		4.23	31.4	0.08	1.9	0.045	0.11	39.1	9.7	0.75	772	0.17	2.39	3.2	15.5	600
390761		2.44	19.20	0.08	1.9	0.023	1.89	18.6	29.1	0.89	473	0.21	3.54	3.3	10.6	800
390762		8.65	15.25	0.07	2.4	0.048	1.71	7.3	38.8	1.39	2680	1.82	1.94	4.0	40.5	450
390763		3.77	5.38	<0.05	0.7	0.024	0.53	2.9	14.5	0.52	1100	0.66	0.59	1.2	16.2	160
390764		0.48	0.85	<0.05	0.1	<0.005	0.39	<0.5	2.6	0.01	55	0.20	0.08	0.1	1.0	<10
390765		0.15	0.19	<0.05	<0.1	<0.005	0.02	0.9	8.6	13.20	305	0.08	0.02	0.1	0.4	30
390766		1.42	2.14	<0.05	0.2	0.005	0.18	0.7	7.1	0.17	176	3.67	0.11	1.0	3.6	<10
390767		7.74	18.60	0.05	2.5	0.046	1.50	4.4	22.0	1.45	2180	1.15	2.42	3.9	28.3	540
390768		3.71	19.45	0.08	2.6	0.033	1.80	16.1	7.5	2.04	778	0.20	3.56	4.0	28.1	810
390769		2.42	7.68	0.05	4.3	0.010	0.64	6.5	16.4	0.43	326	0.64	1.27	1.8	16.7	250
390770		1.34	10.45	0.05	0.8	0.009	0.30	4.4	9.4	0.43	200	0.65	1.72	1.1	3.5	230
390771		5.17	20.4	0.07	2.6	0.040	1.57	8.6	41.8	1.21	880	0.47	2.86	4.2	28.8	880
390772		5.94	18.00	0.08	2.1	0.043	1.42	15.4	26.4	1.18	1020	5.01	2.67	4.1	35.9	480
390773		7.11	21.3	0.13	2.5	0.047	0.95	34.8	15.0	2.34	1000	4.19	3.83	5.4	93.8	1620
390774		4.24	21.5	0.07	1.6	0.037	0.95	10.7	25.9	1.81	725	1.64	2.92	4.3	14.2	870
390775		17.40	15.45	0.21	0.3	2.43	0.65	2.9	32.9	1.22	658	34.3	0.71	1.7	49.3	410
390776		5.39	19.00	0.11	1.8	0.055	1.41	25.8	9.8	3.45	1160	0.42	3.17	4.6	57.3	1080
390777		14.45	18.65	0.09	1.2	0.104	0.56	17.6	7.3	2.97	1400	3.68	1.82	2.6	165.0	660
390778		24.8	14.20	0.09	0.7	0.077	0.25	11.9	55.4	1.60	799	11.05	0.75	1.9	386	540
390779		4.08	17.45	0.09	1.9	0.044	1.47	14.5	14.7	1.72	771	0.38	3.38	3.7	29.0	820
390780		5.79	18.55	0.10	2.7	0.072	2.03	24.5	30.8	2.07	620	4.88	2.98	4.4	23.3	910
390781		8.70	21.7	0.08	1.1	0.095	1.33	15.5	15.3	3.79	1600	1.32	2.89	2.6	129.5	770
390782		7.36	17.60	0.11	3.1	0.037	2.66	27.7	8.1	2.39	1040	37.4	2.98	5.2	52.6	1540
390783		13.20	18.60	0.07	1.3	0.104	0.51	15.4	10.4	2.77	1340	20.4	3.35	5.5	151.0	670
390784		11.75	16.05	0.08	4.1	0.039	0.75	22.0	25.8	1.85	681	37.6	1.90	5.7	166.0	1290
390785		0.18	0.20	<0.05	<0.1	<0.005	0.02	0.6	6.8	14.25	349	0.18	0.02	0.1	1.1	30
390786		17.10	19.80	0.08	0.9	0.098	1.12	15.7	20.3	2.54	1260	7.40	2.42	2.9	145.5	1240
390787		6.42	20.7	0.08	1.9	0.070	1.35	15.8	6.1	2.13	1040	1.35	3.08	7.9	50.8	510
390788		9.66	19.15	0.08	1.0	0.079	1.03	20.0	9.3	2.70	1160	0.99	3.18	2.7	114.0	810
390789		13.40	19.20	0.10	1.2	0.101	0.94	20.2	21.9	3.18	1540	2.59	2.15	3.3	177.5	800
390790		4.53	20.1	0.07	2.8	0.019	2.09	6.8	23.5	1.43	808	0.41	3.33	8.4	30.4	730
390791		12.80	18.30	0.09	0.9	0.090	0.37	23.3	6.6	2.05	1110	14.50	2.23	2.7	141.5	750
390792		6.32	27.2	0.12	2.8	0.062	1.73	41.4	3.1	3.09	1340	0.15	2.56	7.6	54.8	1090
390793		6.51	13.20	0.05	1.0	0.019	1.15	1.9	14.4	0.80	847	0.65	1.40	3.9	27.7	310
390794		0.94	4.16	<0.05	0.3	<0.005	0.40	0.5	1.9	0.02	60	0.27	1.33	0.1	5.3	20
390795		17.25	15.15	0.21	0.3	2.34	0.66	2.9	31.3	1.21	658	33.5	0.71	1.6	48.8	410
390851		5.80	22.8	<0.05	2.5	0.023	1.38	2.8	30.7	1.14	661	0.78	3.19	4.1	30.0	520
390852		5.48	18.30	0.16	1.1	0.066	4.95	17.9	37.9	2.25	1100	0.46	1.68	5.7	22.9	820
390853		4.51	17.25	0.07	4.7	0.014	1.65	7.9	35.6	1.02	437	0.38	2.66	3.1	36.1	200



ALS Canada Ltd.
 2103 Dollarton Hwy
 North Vancouver BC V7H 0A7
 Téléphone: +1 (604) 984 0221 Télécopieur: +1 (604) 984 0218
 www.alsglobal.com/geochemistry

À: **MINIÈRE OSISKO INC.**
300, RUE ST-PAUL
BUREAU 200
QUEBEC QC G1K 7R1

Page: 3 - C
 Nombre total de pages: 4 (A - D)
 plus les pages d'annexe
 Finalisée date: 25-JUIL-2018
 Compte: MINVIR

Projet: Eléonore JV

CERTIFICAT D'ANALYSE VO18163561

Description échantillon	Méthode élément unités LDI	ME-MS61	ME-MS61	ME-MS61	ME-MS61	ME-MS61	ME-MS61	ME-MS61	ME-MS61	ME-MS61	ME-MS61	ME-MS61	ME-MS61	ME-MS61	ME-MS61	
		Pb	Rb	Re	S	Sb	Sc	Se	Sn	Sr	Ta	Te	Th	Ti	Tl	U
		ppm	ppm	ppm	%	ppm	ppm	ppm	ppm	ppm	ppm	ppm	ppm	%	ppm	ppm
390759		13.0	86.8	<0.002	0.22	<0.05	14.8	1	0.8	602	0.29	<0.05	3.86	0.349	0.47	0.7
390760		17.7	2.3	<0.002	0.01	<0.05	10.5	<1	1.0	839	0.24	<0.05	17.90	0.167	0.04	0.7
390761		12.4	58.4	<0.002	<0.01	<0.05	5.3	1	0.8	680	0.15	<0.05	5.32	0.219	0.35	0.3
390762		13.3	93.7	0.003	1.28	<0.05	25.0	1	0.7	209	0.24	0.16	1.63	0.472	0.60	0.5
390763		4.6	29.4	<0.002	0.66	<0.05	7.7	1	0.3	60.6	0.06	0.09	0.48	0.135	0.18	0.2
390764		2.8	11.4	<0.002	0.01	<0.05	0.1	1	<0.2	22.1	<0.05	<0.05	0.44	0.006	0.05	0.1
390765		1.6	0.7	<0.002	<0.01	0.09	0.1	1	<0.2	141.0	<0.05	<0.05	0.13	<0.005	0.03	0.3
390766		1.0	12.2	0.002	0.09	<0.05	1.4	<1	<0.2	16.0	0.05	<0.05	1.39	0.064	0.07	0.1
390767		9.0	60.4	<0.002	0.54	<0.05	29.6	1	0.7	360	0.25	0.09	1.81	0.548	0.44	0.4
390768		11.4	37.5	<0.002	0.01	<0.05	10.2	<1	0.7	669	0.20	<0.05	2.45	0.290	0.30	0.4
390769		9.4	34.1	<0.002	0.38	<0.05	3.1	1	0.2	218	0.09	0.05	47.7	0.134	0.18	0.8
390770		15.2	13.1	<0.002	0.27	<0.05	3.7	<1	0.2	395	0.14	<0.05	4.34	0.074	0.07	1.0
390771		10.1	62.9	<0.002	0.31	<0.05	15.8	1	0.7	600	0.23	0.05	3.40	0.422	0.44	0.7
390772		16.0	54.3	0.003	0.58	<0.05	17.8	<1	0.7	486	0.28	0.06	2.54	0.449	0.48	0.7
390773		11.2	27.4	0.003	1.78	<0.05	22.1	<1	1.0	915	0.29	0.11	8.57	0.461	0.24	1.3
390774		14.9	25.0	<0.002	1.16	<0.05	15.1	1	0.9	703	0.28	0.09	3.64	0.320	0.26	1.4
390775		>10000	24.3	0.018	>10.0	91.9	13.3	68	11.1	70.5	0.14	0.07	0.78	0.244	6.34	3.1
390776		12.9	24.6	<0.002	0.03	0.07	20.0	<1	0.7	518	0.22	<0.05	3.09	0.389	0.23	0.6
390777		10.9	15.0	<0.002	4.66	0.05	26.9	<1	1.9	913	0.15	0.62	2.20	0.866	0.10	0.5
390778		12.2	8.8	0.002	>10.0	<0.05	18.8	<1	1.3	169.0	0.10	0.88	1.79	0.604	0.10	0.4
390779		22.3	46.9	<0.002	0.21	<0.05	10.4	<1	0.6	748	0.22	0.08	3.66	0.317	0.42	0.6
390780		13.4	88.2	0.002	2.77	<0.05	14.5	2	0.9	560	0.25	0.40	5.78	0.397	0.65	1.1
390781		9.4	51.0	<0.002	1.23	0.09	27.2	<1	0.9	421	0.19	0.22	3.18	0.831	0.30	0.9
390782		22.0	98.4	0.006	1.58	<0.05	15.8	<1	1.0	1030	0.30	0.16	3.73	0.498	0.63	1.4
390783		6.1	15.9	0.008	3.10	<0.05	25.4	4	1.9	238	0.38	0.96	2.43	0.708	0.10	1.4
390784		11.8	41.8	0.015	5.22	<0.05	11.1	2	1.3	357	0.29	0.60	41.1	0.417	0.21	1.6
390785		2.6	0.6	<0.002	0.02	0.06	0.2	1	<0.2	141.0	<0.05	<0.05	0.19	0.005	0.03	0.2
390786		11.1	54.0	0.004	4.59	0.05	29.4	1	1.6	336	0.16	1.20	2.46	0.977	0.29	0.6
390787		7.5	69.3	<0.002	0.48	<0.05	19.7	<1	1.7	393	0.62	0.14	7.03	0.555	0.37	0.8
390788		8.2	58.4	<0.002	2.49	0.10	26.0	1	0.9	606	0.14	0.42	2.90	0.834	0.31	0.7
390789		10.7	21.6	<0.002	4.06	0.05	30.6	1	1.7	531	0.19	0.44	2.66	1.040	0.22	1.0
390790		16.5	81.9	<0.002	0.39	<0.05	14.7	<1	0.5	558	1.51	0.06	6.71	0.340	0.60	2.0
390791		181.5	15.9	0.003	6.90	<0.05	24.1	2	1.6	993	0.15	0.63	2.59	0.796	0.11	0.9
390792		12.3	57.4	<0.002	0.02	<0.05	25.1	<1	1.7	1330	1.43	<0.05	8.99	0.335	0.37	1.3
390793		7.2	65.5	<0.002	1.19	<0.05	7.7	1	0.4	217	0.16	0.13	2.71	0.240	0.35	0.3
390794		4.9	24.2	<0.002	0.03	<0.05	0.1	<1	<0.2	134.5	<0.05	<0.05	0.46	0.005	0.12	0.2
390795		>10000	24.2	0.021	>10.0	93.2	13.0	65	11.1	70.9	0.14	0.10	0.77	0.248	6.31	3.0
390851		20.2	77.0	<0.002	0.11	0.08	8.4	<1	0.6	649	0.25	<0.05	0.82	0.359	0.54	0.3
390852		17.7	134.5	<0.002	0.07	<0.05	16.3	4	1.2	658	0.26	0.81	9.94	0.450	0.68	0.9
390853		9.0	80.8	<0.002	0.01	<0.05	2.0	1	0.4	595	0.10	0.18	1.83	0.389	0.40	0.7



ALS Canada Ltd.
 2103 Dollarton Hwy
 North Vancouver BC V7H 0A7
 Téléphone: +1 (604) 984 0221 Télécopieur: +1 (604) 984 0218
 www.alsglobal.com/geochemistry

À: **MINIÈRE OSISKO INC.**
300, RUE ST-PAUL
BUREAU 200
QUEBEC QC G1K 7R1

Page: 3 - D
 Nombre total de pages: 4 (A - D)
 plus les pages d'annexe
 Finalisée date: 25-JUIL-2018
 Compte: MINVIR

Projet: Eléonore JV

CERTIFICAT D'ANALYSE VO18163561

Description échantillon	Méthode élément unités LDI	ME-MS61	ME-MS61	ME-MS61	ME-MS61	ME-MS61	Cu-OG62	Pb-OG62	Zn-OG62
		V	W	Y	Zn	Zr	Cu	Pb	Zn
		ppm	ppm	ppm	ppm	ppm	%	%	%
		1	0.1	0.1	2	0.5	0.001	0.001	0.001
390759		116	0.3	5.9	85	108.5			
390760		181	0.2	8.7	39	53.1			
390761		53	0.1	5.4	64	62.5			
390762		169	0.2	18.6	128	79.4			
390763		62	0.1	6.9	44	20.8			
390764		2	<0.1	0.1	2	1.3			
390765		2	0.1	0.8	53	1.1			
390766		20	0.1	0.1	11	6.8			
390767		204	0.1	21.0	74	78.4			
390768		96	0.1	8.2	76	86.2			
390769		35	0.1	2.5	32	143.0			
390770		23	0.1	2.1	17	22.8			
390771		137	0.1	9.0	73	79.4			
390772		155	0.2	9.6	87	74.9			
390773		171	0.2	15.6	89	97.0			
390774		102	0.2	9.5	64	59.2			
390775		107	61.2	10.8	>10000	10.0	1.370	1.590	7.25
390776		152	0.1	13.2	125	63.8			
390777		206	0.3	17.4	144	21.6			
390778		146	0.2	11.4	94	12.1			
390779		105	0.2	7.7	90	74.2			
390780		159	0.3	6.6	52	104.0			
390781		242	0.2	15.9	180	20.0			
390782		156	0.4	6.8	110	131.0			
390783		287	0.3	5.4	110	38.7	2.87		
390784		159	0.3	8.2	83	165.0			
390785		2	0.1	0.7	18	1.3			
390786		236	0.4	14.0	128	17.6			
390787		145	0.3	23.8	110	51.7			
390788		202	0.4	18.0	125	18.3			
390789		235	0.2	21.4	170	26.3			
390790		105	0.2	7.4	76	89.9			
390791		169	0.5	18.3	329	19.8			
390792		250	0.1	17.0	103	99.2			
390793		95	0.2	2.0	70	35.3			
390794		3	<0.1	0.3	5	4.3			
390795		107	59.2	10.7	>10000	10.1	1.335	1.550	7.04
390851		144	0.2	1.9	111	91.8			
390852		133	0.2	15.7	135	32.7			
390853		119	0.1	0.9	97	188.0			

**** Voir la page d'annexe pour les commentaires en ce qui concerne ce certificat ****



ALS Canada Ltd,
 2103 Dollarton Hwy
 North Vancouver BC V7H 0A7
 Téléphone: +1 (604) 984 0221 Télécopieur: +1 (604) 984 0218
 www.alsglobal.com/geochemistry

À: **MINIÈRE OSISKO INC.**
300, RUE ST-PAUL
BUREAU 200
QUEBEC QC G1K 7R1

Page: 4 - A
 Nombre total de pages: 4 (A - D)
 plus les pages d'annexe
 Finalisée date: 25-JUIL-2018
 Compte: MINVIR

Projet: Eléonore JV

CERTIFICAT D'ANALYSE VO18163561

Description échantillon	Méthode élément unités LDI	WEI-21	Au-ICP21	ME-MS61	ME-MS61	ME-MS61	ME-MS61	ME-MS61	ME-MS61	ME-MS61	ME-MS61	ME-MS61	ME-MS61	ME-MS61	ME-MS61	
		Poids reçu kg	Au ppm	Ag ppm	Al %	As ppm	Ba ppm	Be ppm	Bi ppm	Ca %	Cd ppm	Ce ppm	Co ppm	Cr ppm	Cs ppm	Cu ppm
		0.02	0.001	0.01	0.01	0.2	10	0.05	0.01	0.01	0.02	0.01	0.1	1	0.05	0.2
390854		0.46	<0.001	0.06	8.58	0.3	290	1.69	0.12	4.75	0.11	51.5	22.0	26	1.03	17.4
390855		0.12	0.122	63.0	3.54	168.0	130	0.40	62.9	2.12	383	8.12	94.8	85	2.23	>10000
390856		0.35	<0.001	0.07	7.36	0.4	3160	0.51	0.04	0.90	0.11	132.0	2.8	9	1.25	8.3
390857		0.34	<0.001	0.06	8.56	<0.2	450	1.13	0.09	3.37	0.13	9.06	13.9	70	4.13	21.8
390858		0.46	<0.001	0.07	7.94	0.5	290	0.93	0.82	5.38	0.30	52.1	24.4	203	0.64	11.5
390859		0.57	<0.001	0.06	8.47	0.3	460	1.55	0.14	2.94	0.05	32.3	25.9	90	7.40	43.6
390860		0.62	<0.001	0.16	7.79	<0.2	420	0.67	0.04	2.27	0.06	40.3	19.8	52	3.13	66.6
390861		0.45	<0.001	0.02	7.66	0.3	440	1.42	0.06	4.36	0.14	23.2	15.6	20	1.46	23.9
390862		0.44	<0.001	0.05	7.43	0.5	190	0.86	0.23	7.57	0.11	25.5	46.5	453	3.27	66.2
390863		0.85	<0.001	0.01	9.24	0.2	900	3.83	0.01	2.40	0.02	2.92	1.3	3	1.37	2.0
390864		0.31	<0.001	0.01	5.73	0.5	780	1.68	0.04	1.64	0.02	1.80	0.6	5	4.72	1.2
390865		0.17	<0.001	0.01	0.08	0.6	110	0.11	0.01	20.1	0.05	1.38	0.5	2	0.16	1.4
390866		0.48	<0.001	0.05	7.18	<0.2	310	1.08	0.38	6.56	0.18	52.1	40.4	516	0.82	22.4
390867		0.52	0.001	0.17	7.90	0.2	500	0.73	0.20	1.77	0.24	23.0	24.3	103	5.92	26.7
390868		0.63	<0.001	0.01	8.00	0.2	380	1.31	0.08	5.76	0.11	45.2	24.7	126	0.24	1.5
390869		0.63	<0.001	0.41	8.00	0.2	120	1.53	0.28	7.45	0.26	37.8	35.1	186	0.34	50.0
390870		0.32	<0.001	0.01	7.83	0.3	740	1.57	0.04	2.17	0.05	57.6	9.9	19	0.85	0.9
390871		0.36	0.012	0.06	7.70	0.7	1400	1.54	0.03	2.07	0.05	39.3	8.8	15	0.90	7.0
390872		0.77	<0.001	0.01	8.03	0.2	1060	1.55	0.01	1.27	0.02	59.1	8.3	18	0.87	3.0
390873		1.25	<0.001	0.01	8.40	0.5	1140	0.95	0.02	4.24	0.06	43.5	34.9	19	0.56	43.9
390874		1.03	<0.001	0.03	8.18	<0.2	1090	1.49	0.01	2.48	0.04	39.6	8.4	18	0.47	1.0
390875		0.12	0.132	64.3	3.55	169.0	100	0.40	60.7	2.13	386	8.12	96.1	86	2.20	>10000
390876		0.64	<0.001	0.07	7.92	0.2	150	0.80	0.19	6.64	0.29	20.7	40.6	195	0.57	18.4



ALS Canada Ltd.
 2103 Dollarton Hwy
 North Vancouver BC V7H 0A7
 Téléphone: +1 (604) 984 0221 Télécopieur: +1 (604) 984 0218
 www.alsglobal.com/geochemistry

À: **MINIÈRE OSISKO INC.**
300, RUE ST-PAUL
BUREAU 200
QUEBEC QC G1K 7R1

Page: 4 - B
 Nombre total de pages: 4 (A - D)
 plus les pages d'annexe
 Finalisée date: 25-JUIL-2018
 Compte: MINVIR

Projet: Eléonore JV

CERTIFICAT D'ANALYSE VO18163561

Description échantillon	Méthode élément unités LDI	ME-MS61	ME-MS61	ME-MS61	ME-MS61	ME-MS61	ME-MS61	ME-MS61	ME-MS61	ME-MS61	ME-MS61	ME-MS61	ME-MS61	ME-MS61	ME-MS61	
		Fe %	Ga ppm	Ge ppm	Hf ppm	In ppm	K %	La ppm	Li ppm	Mg %	Mn ppm	Mo ppm	Na %	Nb ppm	Ni ppm	P ppm
390854		5.20	25.6	0.10	1.2	0.053	1.11	20.2	24.7	2.14	1010	0.46	4.19	5.8	21.2	1810
390855		17.20	15.00	0.21	0.4	2.32	0.64	2.9	30.4	1.21	659	33.6	0.71	1.6	48.9	390
390856		1.10	13.85	0.15	3.5	<0.005	4.76	66.2	8.1	0.20	118	0.17	2.33	0.6	3.2	490
390857		4.97	20.2	0.06	2.4	0.048	1.42	3.5	25.1	1.31	1020	0.60	2.66	3.7	18.1	800
390858		7.30	24.7	0.11	1.2	0.107	1.49	23.4	8.3	1.49	1980	0.69	2.39	4.7	86.4	880
390859		7.62	21.0	0.09	2.5	0.046	1.56	14.4	25.2	1.62	1400	0.22	2.67	6.5	42.9	760
390860		6.98	18.25	0.09	1.6	0.030	1.38	19.9	25.1	1.31	1680	0.58	2.45	4.3	17.8	410
390861		5.72	20.9	0.07	2.6	0.052	1.11	8.5	20.9	2.17	1410	0.35	3.34	6.1	17.2	1270
390862		7.84	15.10	0.08	1.2	0.048	1.10	10.0	27.6	6.15	1280	0.37	1.65	3.2	197.0	460
390863		0.54	24.3	0.07	<0.1	<0.005	1.89	2.3	8.3	0.12	93	0.08	4.87	2.0	2.7	10
390864		0.47	12.80	0.07	0.1	<0.005	1.63	1.2	4.2	0.04	93	0.16	2.35	0.6	1.7	20
390865		0.11	0.31	0.09	<0.1	<0.005	0.03	0.8	8.4	13.70	317	0.09	0.04	0.1	0.4	10
390866		6.51	14.75	0.10	2.0	0.050	0.82	20.9	27.8	6.66	1180	0.36	1.84	4.3	223	880
390867		8.79	19.35	0.09	2.2	0.058	1.66	9.8	29.0	1.44	2560	1.66	2.52	4.4	44.1	470
390868		5.56	29.4	0.09	4.2	0.049	1.05	22.4	6.5	1.95	996	0.28	3.60	6.4	60.8	600
390869		9.42	20.5	0.09	1.5	0.065	0.72	17.3	11.2	3.23	1430	3.09	2.36	5.4	116.5	540
390870		2.57	20.1	0.11	2.2	0.026	2.23	28.3	16.9	1.05	523	0.22	4.11	4.3	12.0	840
390871		2.37	18.15	0.12	1.4	0.026	2.75	15.5	19.5	0.95	461	0.28	3.46	3.9	10.2	610
390872		2.23	19.15	0.12	2.3	0.017	2.68	29.8	34.9	0.95	382	0.22	3.91	4.1	10.9	770
390873		8.23	25.6	0.11	2.1	0.048	1.95	19.3	30.0	1.81	1160	0.13	2.31	13.9	35.9	2380
390874		2.28	20.2	0.12	2.2	0.020	2.58	17.9	13.1	0.85	403	0.21	3.70	4.0	10.8	760
390875		17.25	14.75	0.23	0.4	2.42	0.64	3.0	32.1	1.22	658	32.9	0.71	1.6	48.8	410
390876		8.76	20.5	0.07	1.7	0.066	0.89	7.9	12.1	3.78	1360	0.43	2.41	2.7	124.5	600



ALS Canada Ltd.
 2103 Dollarton Hwy
 North Vancouver BC V7H 0A7
 Téléphone: +1 (604) 984 0221 Télécopieur: +1 (604) 984 0218
 www.alsglobal.com/geochemistry

À: **MINIÈRE OSISKO INC.**
300, RUE ST-PAUL
BUREAU 200
QUEBEC QC G1K 7R1

Page: 4 - C
 Nombre total de pages: 4 (A - D)
 plus les pages d'annexe
 Finalisée date: 25-JUIL-2018
 Compte: MINVIR

Projet: Eléonore JV

CERTIFICAT D'ANALYSE VO18163561

Description échantillon	Méthode élément unités LDI	ME-MS61	ME-MS61	ME-MS61	ME-MS61	ME-MS61	ME-MS61	ME-MS61	ME-MS61	ME-MS61	ME-MS61	ME-MS61	ME-MS61	ME-MS61	ME-MS61	
		Pb	Rb	Re	S	Sb	Sc	Se	Sn	Sr	Ta	Te	Th	Ti	Tl	U
		ppm	ppm	ppm	%	ppm	ppm	ppm	ppm	ppm	ppm	ppm	ppm	%	ppm	ppm
		0.5	0.1	0.002	0.01	0.05	0.1	1	0.2	0.2	0.05	0.05	0.01	0.005	0.02	0.1
390854		11.8	10.9	<0.002	0.01	<0.05	13.0	<1	1.3	980	0.26	<0.05	3.11	0.428	0.23	0.4
390855		>10000	23.8	0.021	>10.0	90.8	12.8	65	10.9	71.4	0.13	0.13	0.80	0.245	6.26	3.0
390856		27.7	114.5	<0.002	0.01	0.06	0.3	<1	<0.2	793	<0.05	<0.05	30.5	0.081	0.61	0.4
390857		14.6	55.0	<0.002	0.12	<0.05	19.4	<1	0.9	559	0.27	<0.05	5.08	0.375	0.46	0.7
390858		12.5	48.6	<0.002	0.07	0.08	24.7	<1	1.1	546	0.28	<0.05	3.56	0.450	0.38	1.5
390859		9.7	82.8	<0.002	0.30	<0.05	22.8	<1	1.2	510	0.31	0.07	3.45	0.487	0.59	0.7
390860		10.1	70.6	<0.002	0.58	<0.05	21.9	1	0.6	432	0.20	0.05	7.33	0.470	0.53	0.4
390861		10.0	22.0	<0.002	0.03	<0.05	13.3	<1	1.1	749	0.26	<0.05	3.42	0.420	0.39	0.4
390862		7.5	42.2	<0.002	0.08	<0.05	34.7	<1	0.5	442	0.26	<0.05	1.69	0.431	0.44	0.4
390863		9.4	90.2	<0.002	<0.01	<0.05	0.6	<1	<0.2	675	0.46	<0.05	0.91	0.026	0.46	0.1
390864		14.1	62.7	<0.002	<0.01	0.06	0.3	<1	0.3	408	0.11	<0.05	0.15	0.017	0.31	0.1
390865		2.1	1.1	<0.002	<0.01	0.06	0.1	1	<0.2	132.0	<0.05	<0.05	0.12	<0.005	0.03	0.2
390866		5.6	33.4	<0.002	0.04	<0.05	27.0	<1	0.7	557	0.24	<0.05	2.37	0.428	0.25	0.8
390867		24.5	71.5	0.002	0.35	<0.05	29.9	1	0.9	351	0.31	0.08	1.69	0.576	0.54	0.8
390868		17.1	16.9	<0.002	<0.01	<0.05	17.7	1	1.1	1205	0.36	<0.05	5.39	0.356	0.20	1.5
390869		8.2	22.4	<0.002	1.57	<0.05	23.8	1	1.5	705	0.42	0.37	3.57	0.746	0.13	2.2
390870		10.5	79.1	<0.002	0.01	<0.05	6.0	<1	1.0	652	0.23	<0.05	4.74	0.242	0.43	0.5
390871		24.7	84.1	<0.002	0.01	<0.05	6.2	<1	0.9	689	0.17	<0.05	2.80	0.221	0.46	1.4
390872		11.1	89.2	<0.002	<0.01	<0.05	4.8	<1	0.7	628	0.22	<0.05	5.30	0.213	0.41	0.3
390873		9.9	48.6	<0.002	0.10	<0.05	13.8	<1	0.7	869	0.80	<0.05	1.93	1.205	0.40	0.4
390874		14.8	73.2	<0.002	<0.01	<0.05	4.9	<1	0.8	800	0.18	<0.05	5.01	0.205	0.40	0.3
390875		>10000	23.6	0.020	>10.0	89.7	12.3	63	12.7	71.4	0.13	0.10	0.80	0.246	6.36	3.5
390876		16.3	20.7	<0.002	0.46	0.08	23.1	<1	1.1	446	0.18	0.06	0.71	0.896	0.18	0.3



ALS Canada Ltd.
 2103 Dollarton Hwy
 North Vancouver BC V7H 0A7
 Téléphone: +1 (604) 984 0221 Télécopieur: +1 (604) 984 0218
 www.alsglobal.com/geochemistry

À: **MINIÈRE OSISKO INC.**
300, RUE ST-PAUL
BUREAU 200
QUEBEC QC G1K 7R1

Page: 4 - D
 Nombre total de pages: 4 (A - D)
 plus les pages d'annexe
 Finalisée date: 25-JUIL-2018
 Compte: MINVIR

Projet: Eléonore JV

CERTIFICAT D'ANALYSE VO18163561

Description échantillon	Méthode élément unités LDI	ME-MS61	ME-MS61	ME-MS61	ME-MS61	ME-MS61	Cu-OG62	Pb-OG62	Zn-OG62
		V	W	Y	Zn	Zr	Cu	Pb	Zn
		ppm	ppm	ppm	ppm	ppm	%	%	%
		1	0.1	0.1	2	0.5	0.001	0.001	0.001
390854		132	0.2	13.8	119	39.0			
390855		107	58.3	10.6	>10000	10.3	1.370	1.580	7.22
390856		23	0.1	1.9	53	141.0			
390857		126	0.2	14.7	79	83.6			
390858		184	0.2	16.9	80	40.5			
390859		184	0.3	8.5	110	94.1			
390860		147	0.1	12.6	70	62.5			
390861		159	0.1	12.1	107	103.0			
390862		231	0.2	12.8	83	38.6			
390863		8	0.1	1.3	9	<0.5			
390864		10	0.1	0.4	6	4.1			
390865		1	0.1	0.9	13	1.3			
390866		175	0.2	12.5	80	73.5			
390867		214	0.3	17.1	116	75.7			
390868		154	0.1	10.1	88	98.1			
390869		196	0.4	16.5	185	33.3			
390870		56	0.1	7.6	58	74.7			
390871		53	0.1	9.6	53	46.1			
390872		47	<0.1	6.7	53	78.5			
390873		110	0.2	14.2	104	88.3			
390874		47	<0.1	6.4	53	69.5			
390875		107	61.0	10.6	>10000	10.0	1.360	1.575	7.20
390876		186	0.3	16.0	179	51.4			



ALS Canada Ltd.
 2103 Dollarton Hwy
 North Vancouver BC V7H 0A7
 Téléphone: +1 (604) 984 0221 Télécopieur: +1 (604) 984 0218
 www.alsglobal.com/geochemistry

À: **MINIÈRE OSISKO INC.**
300, RUE ST-PAUL
BUREAU 200
QUEBEC QC G1K 7R1

Page: Annexe 1
Total # les pages d'annexe: 1
Finalisée date: 25-JUIL-2018
Compte: MINVIR

Projet: Eléonore JV

CERTIFICAT D'ANALYSE VO18163561

COMMENTAIRE DE CERTIFICAT

COMMENTAIRES ANALYTIQUES

Applique à la Méthode: L'analyse des terres rares peut être partiellement soluble avec cette méthode.
 ME-MS61

ADRESSE DE LABORATOIRE

Applique à la Méthode: Traité à ALS Thunder Bay, 645 Norah Crescent, Thunder Bay, ON, Canada

CRU-31	CRU-QC	LOG-21	LOG-23
PUL-31	PUL-QC	SPL-21	WEI-21

Applique à la Méthode: Traité à ALS Vancouver, 2103 Dollarton Hwy, North Vancouver, BC, Canada.

Au-ICP21	Cu-OG62	ME-MS61	ME-OG62
Pb-OG62	Zn-OG62		



ALS Canada Ltd.
2103 Dollarton Hwy
North Vancouver BC V7H 0A7
Téléphone: +1 (604) 984 0221 Télécopieur: +1 (604) 984 0218
www.alsglobal.com/geochemistry

À: **MINIÈRE OSISKO INC.**
300, RUE ST-PAUL
BUREAU 200
QUEBEC QC G1K 7R1

Page: 1
Nombre total de pages: 2 (A - D)
plus les pages d'annexe
Finalisée date: 25-JUIL-2018
Compte: MINVIR

CERTIFICAT VO18163578

Projet: Eléonore JV
Bon de commande #: GRB-002
Ce rapport s'applique aux 20 échantillons de roche soumis à notre laboratoire de Val d'Or, QC, Canada le 7-JUIL-2018.
Les résultats sont transmis à:
CHARLES GAUMOND | CORPORATIF WEBTRIEVE

PRÉPARATION ÉCHANTILLONS

CODE ALS	DESCRIPTION
WEI-21	Poids échantillon reçu
LOG-21	Entrée échantillon - Code barre client
LOG-23	Entrée pulpe - Reçu avec code barre
CRU-QC	Test concassage QC
PUL-QC	Test concassage QC
CRU-31	Granulation - 70 % <2 mm
SPL-21	Échant. fractionné - div. riffles
PUL-31	Pulvérisé à 85 % <75 um

PROCÉDURES ANALYTIQUES

CODE ALS	DESCRIPTION	INSTRUMENT
ME-OG62	Teneur marchande éléments - quatre acides	ICP-AES
Cu-OG62	Teneur marchande Cu - quatre acides	ICP-AES
Pb-OG62	Teneur marchande Pb - quatre acides	ICP-AES
Zn-OG62	Teneur marchande Zn - quatre acides	ICP-AES
Au-ICP21	Au 30 g FA fini ICP-AES	ICP-AES
ME-MS61	ICP-MS 48 éléments, quatre acides	

Ce rapport est final et remplace tout autre rapport préliminaire portant ce numéro de certificat. Les résultats s'appliquent aux échantillons soumis. Toutes les pages de ce rapport ont été vérifiées et approuvées avant publication.

***** Voir la page d'annexe pour les commentaires en ce qui concerne ce certificat *****

Signature:

Colin Ramshaw, Vancouver Laboratory Manager



ALS Canada Ltd.
 2103 Dollarton Hwy
 North Vancouver BC V7H 0A7
 Téléphone: +1 (604) 984 0221 Télécopieur: +1 (604) 984 0218
 www.alsglobal.com/geochemistry

À: **MINIÈRE OSISKO INC.**
300, RUE ST-PAUL
BUREAU 200
QUEBEC QC G1K 7R1

Page: 2 - A
 Nombre total de pages: 2 (A - D)
 plus les pages d'annexe
 Finalisée date: 25-JUIL-2018
 Compte: MINVIR

Projet: Eléonore JV

CERTIFICAT D'ANALYSE VO18163578

Description échantillon	Méthode élément unités LDI	WEI-21	Au-ICP21	ME-MS61	ME-MS61	ME-MS61	ME-MS61	ME-MS61	ME-MS61	ME-MS61	ME-MS61	ME-MS61	ME-MS61	ME-MS61	ME-MS61	
		Poids reçu kg	Au ppm	Ag ppm	Al %	As ppm	Ba ppm	Be ppm	Bi ppm	Ca %	Cd ppm	Ce ppm	Co ppm	Cr ppm	Cs ppm	Cu ppm
		0.02	0.001	0.01	0.01	0.2	10	0.05	0.01	0.01	0.02	0.01	0.1	1	0.05	0.2
390951		0.26	0.002	0.08	9.06	<0.2	810	1.06	0.19	2.84	0.07	44.8	18.2	56	1.23	47.5
390952		0.84	0.001	0.08	7.27	0.5	770	0.78	0.17	2.02	0.04	17.05	33.8	91	0.53	94.9
390953		0.29	0.007	0.43	6.89	<0.2	300	0.66	0.18	1.29	0.25	27.0	34.5	61	3.78	146.0
390954		0.39	0.001	0.49	6.70	<0.2	120	1.28	0.39	7.20	0.25	9.10	37.0	91	0.41	220
390955		0.12	0.171	60.4	3.30	157.5	150	0.43	63.8	2.00	350	8.68	94.7	81	2.26	>10000
390956		0.30	<0.001	0.15	7.86	<0.2	540	1.65	0.10	2.84	0.15	18.10	8.4	51	0.93	73.2
390957		0.81	0.001	0.45	9.02	<0.2	720	1.42	1.57	0.84	0.07	16.80	22.6	108	2.85	205
390958		0.96	0.010	0.45	7.57	<0.2	400	1.76	0.54	3.29	0.10	19.50	18.5	28	0.43	863
390959		0.21	0.001	0.16	7.71	0.5	320	0.99	0.16	3.40	0.20	11.30	27.3	217	3.68	48.8
390960		0.20	<0.001	0.04	6.28	<0.2	820	0.89	0.03	1.05	<0.02	2.72	1.7	9	1.23	11.9
390961		0.78	0.008	0.21	8.92	<0.2	690	0.87	0.05	2.16	0.04	67.1	18.6	113	3.15	27.3
390962		0.39	<0.001	0.19	8.08	<0.2	510	1.22	0.19	2.79	0.08	30.8	19.0	67	0.82	79.4
390963		0.34	0.004	0.21	8.24	<0.2	1050	1.70	0.20	5.89	0.19	68.6	14.2	106	0.84	35.4
390964		0.73	0.003	0.22	6.49	<0.2	340	0.92	0.09	1.11	0.26	23.3	30.3	64	5.67	52.7
390965		0.20	0.001	0.03	0.12	0.4	90	0.12	0.02	18.85	0.11	1.51	0.6	2	0.27	5.9
390966		0.44	0.006	0.71	6.00	<0.2	320	0.67	0.54	1.39	0.26	24.2	54.4	67	8.30	175.0
390967		0.30	0.003	0.04	7.91	0.6	690	1.61	0.18	6.03	0.10	97.3	28.0	90	0.84	29.6
390968		0.43	0.002	2.13	4.33	0.3	20	1.06	0.26	1.44	0.14	34.7	36.5	77	0.93	1090
390969		0.88	<0.001	0.02	7.56	<0.2	260	1.12	0.16	5.19	0.11	65.6	35.3	288	0.53	1.1
390970		0.46	0.001	0.09	8.59	0.4	200	1.21	1.60	10.45	0.08	31.0	14.8	122	0.24	16.7



ALS Canada Ltd.
 2103 Dollarton Hwy
 North Vancouver BC V7H 0A7
 Téléphone: +1 (604) 984 0221 Télécopieur: +1 (604) 984 0218
 www.alsglobal.com/geochemistry

À: **MINIÈRE OSISKO INC.**
300, RUE ST-PAUL
BUREAU 200
QUEBEC QC G1K 7R1

Page: 2 - B
 Nombre total de pages: 2 (A - D)
 plus les pages d'annexe
 Finalisée date: 25-JUIL-2018
 Compte: MINVIR

Projet: Eléonore JV

CERTIFICAT D'ANALYSE VO18163578

Description échantillon	Méthode élément unités LDI	ME-MS61	ME-MS61	ME-MS61	ME-MS61	ME-MS61	ME-MS61	ME-MS61	ME-MS61	ME-MS61	ME-MS61	ME-MS61	ME-MS61	ME-MS61	ME-MS61	
		Fe %	Ga ppm	Ge ppm	Hf ppm	In ppm	K %	La ppm	Li ppm	Mg %	Mn ppm	Mo ppm	Na %	Nb ppm	Ni ppm	P ppm
390951		5.91	25.3	<0.05	1.8	0.043	2.36	20.0	23.9	1.05	752	0.99	3.15	3.3	34.5	880
390952		6.43	20.3	<0.05	2.4	0.035	2.38	7.1	41.8	1.41	820	2.15	1.98	4.2	59.3	750
390953		10.65	17.90	<0.05	1.1	0.044	1.21	12.0	29.4	1.39	3220	0.64	1.69	3.3	46.7	340
390954		13.60	17.40	<0.05	1.4	0.071	0.39	3.8	18.7	2.28	4670	4.83	2.25	2.3	39.7	260
390955		16.05	16.40	0.13	0.4	2.39	0.60	3.1	29.7	1.11	624	37.1	0.66	1.7	51.2	380
390956		2.77	20.7	<0.05	1.8	0.030	1.46	9.2	18.9	0.82	309	0.83	3.49	3.2	18.4	670
390957		9.47	24.2	<0.05	4.2	0.044	2.03	7.6	19.6	1.13	482	2.52	3.28	4.9	56.1	790
390958		3.90	21.5	<0.05	1.7	0.042	1.15	7.7	10.3	1.30	868	9.30	3.54	3.6	17.3	490
390959		6.40	22.5	<0.05	2.4	0.055	1.19	4.2	21.9	2.07	1300	0.54	2.84	4.1	65.6	460
390960		0.76	14.90	<0.05	1.3	<0.005	2.91	1.4	4.8	0.12	89	0.48	2.51	1.4	2.5	30
390961		5.80	26.4	0.09	2.8	0.032	2.23	30.5	61.4	1.30	938	0.40	3.30	5.5	30.6	270
390962		3.50	18.75	0.06	2.3	0.021	1.56	15.9	13.5	1.38	516	0.84	3.25	2.9	35.5	950
390963		6.43	23.9	0.09	3.8	0.064	1.81	27.3	21.1	2.42	1150	2.39	2.78	8.2	46.5	1910
390964		8.04	17.70	<0.05	0.5	0.051	1.12	10.2	39.7	1.49	2180	16.25	1.51	3.5	26.6	280
390965		0.14	0.52	<0.05	0.1	<0.005	0.05	0.9	11.1	12.70	331	0.16	0.06	0.2	0.6	40
390966		9.19	16.15	<0.05	1.2	0.047	0.97	10.6	34.8	1.30	1900	7.66	1.61	4.2	59.7	280
390967		6.08	21.7	0.07	3.2	0.058	1.29	37.1	16.7	2.44	1220	0.68	2.84	5.9	55.9	1730
390968		7.69	23.8	<0.05	3.6	0.025	0.04	14.3	107.0	3.40	1320	6.61	0.23	7.2	60.4	1040
390969		5.49	19.15	0.07	2.0	0.047	1.08	31.6	8.2	2.46	1160	0.43	2.91	4.4	158.0	1170
390970		7.35	46.5	0.05	2.0	0.047	1.04	15.1	10.3	0.53	955	0.42	0.35	2.8	26.4	430



ALS Canada Ltd.
 2103 Dollarton Hwy
 North Vancouver BC V7H 0A7
 Téléphone: +1 (604) 984 0221 Télécopieur: +1 (604) 984 0218
 www.alsglobal.com/geochemistry

À: **MINIÈRE OSISKO INC.**
300, RUE ST-PAUL
BUREAU 200
QUEBEC QC G1K 7R1

Page: 2 - C
 Nombre total de pages: 2 (A - D)
 plus les pages d'annexe
 Finalisée date: 25-JUIL-2018
 Compte: MINVIR

Projet: Eléonore JV

CERTIFICAT D'ANALYSE VO18163578

Description échantillon	Méthode élément unités LDI	ME-MS61	ME-MS61	ME-MS61	ME-MS61	ME-MS61	ME-MS61	ME-MS61	ME-MS61	ME-MS61	ME-MS61	ME-MS61	ME-MS61	ME-MS61	ME-MS61	
		Pb	Rb	Re	S	Sb	Sc	Se	Sn	Sr	Ta	Te	Th	Ti	Tl	U
		ppm	ppm	ppm	%	ppm	ppm	ppm	ppm	ppm	ppm	ppm	ppm	%	ppm	ppm
390951		8.5	92.2	<0.002	0.44	<0.05	12.5	1	0.9	701	0.13	0.05	3.13	0.381	0.65	0.4
390952		6.7	72.0	<0.002	0.11	<0.05	18.4	<1	0.8	432	0.20	<0.05	3.03	0.430	0.52	0.5
390953		9.9	36.7	<0.002	3.63	<0.05	25.5	1	0.8	340	0.19	<0.05	1.88	0.415	0.37	0.5
390954		15.0	11.6	0.003	1.20	<0.05	41.7	1	1.0	235	0.26	0.27	0.26	0.505	0.07	0.3
390955		>10000	22.7	0.023	>10.0	93.4	12.7	68	12.3	72.5	0.14	0.07	0.82	0.227	6.45	3.1
390956		16.7	85.6	<0.002	0.75	0.05	6.6	1	0.6	788	0.16	0.08	4.36	0.242	0.57	0.4
390957		16.5	81.1	<0.002	3.50	<0.05	15.5	1	0.8	360	0.31	0.13	4.96	0.401	0.57	1.1
390958		38.7	51.1	0.002	0.50	<0.05	13.5	1	0.8	708	0.26	<0.05	3.11	0.189	0.33	1.0
390959		8.2	49.6	<0.002	0.31	<0.05	21.8	1	1.1	483	0.23	<0.05	3.43	0.444	0.43	0.6
390960		34.8	86.9	<0.002	0.04	<0.05	0.8	1	0.2	432	0.24	<0.05	22.7	0.041	0.45	1.3
390961		12.2	89.0	<0.002	0.29	0.05	19.3	<1	0.9	573	0.22	0.05	6.33	0.652	0.60	0.7
390962		6.6	81.0	<0.002	0.43	<0.05	9.9	1	0.5	647	0.23	0.15	4.29	0.333	0.43	0.7
390963		13.3	28.1	<0.002	0.16	<0.05	21.8	<1	1.3	940	0.54	0.19	9.93	0.577	0.48	2.5
390964		11.7	55.5	0.003	0.85	<0.05	23.5	<1	0.7	223	0.18	0.10	1.67	0.470	0.55	0.2
390965		4.1	2.4	<0.002	0.01	0.10	0.1	<1	<0.2	134.5	<0.05	<0.05	0.28	0.005	0.04	0.2
390966		13.5	49.5	0.004	2.32	<0.05	21.4	2	0.9	219	0.23	0.30	1.63	0.552	0.47	0.3
390967		8.5	24.6	<0.002	0.02	<0.05	19.0	1	1.2	938	0.31	<0.05	8.96	0.490	0.27	1.6
390968		8.0	2.2	0.002	0.60	<0.05	24.8	1	0.6	48.1	0.48	0.62	3.41	0.618	<0.02	0.6
390969		7.0	26.0	<0.002	0.01	<0.05	23.3	<1	0.9	603	0.21	<0.05	4.50	0.406	0.24	1.5
390970		19.0	18.0	<0.002	0.24	<0.05	15.8	1	1.0	3310	0.20	<0.05	2.37	0.501	0.21	0.6



ALS Canada Ltd.
 2103 Dollarton Hwy
 North Vancouver BC V7H 0A7
 Téléphone: +1 (604) 984 0221 Télécopieur: +1 (604) 984 0218
 www.alsglobal.com/geochemistry

À: **MINIÈRE OSISKO INC.**
300, RUE ST-PAUL
BUREAU 200
QUEBEC QC G1K 7R1

Page: 2 - D
 Nombre total de pages: 2 (A - D)
 plus les pages d'annexe
 Finalisée date: 25-JUIL-2018
 Compte: MINVIR

Projet: Eléonore JV

CERTIFICAT D'ANALYSE VO18163578

Description échantillon	Méthode élément unités LDI	ME-MS61	ME-MS61	ME-MS61	ME-MS61	ME-MS61	Cu-OG62	Pb-OG62	Zn-OG62
		V	W	Y	Zn	Zr	Cu	Pb	Zn
		ppm	ppm	ppm	ppm	ppm	%	%	%
		1	0.1	0.1	2	0.5	0.001	0.001	0.001
390951		142	0.2	6.3	93	59.5			
390952		155	0.1	7.9	78	83.7			
390953		160	0.1	20.1	100	37.5			
390954		273	0.3	19.6	106	45.8			
390955		99	60.8	11.1	>10000	11.9	1.335	1.600	7.18
390956		61	0.1	4.2	102	61.9			
390957		139	0.6	5.2	67	147.5			
390958		83	0.1	10.2	68	48.2			
390959		196	0.2	11.9	96	85.5			
390960		9	0.1	0.6	11	35.6			
390961		215	0.1	4.9	93	96.5			
390962		86	0.2	5.3	58	81.7			
390963		205	0.2	15.2	97	136.0			
390964		174	<0.1	17.3	90	19.4			
390965		3	0.1	0.8	25	2.3			
390966		170	0.6	15.2	107	39.4			
390967		176	0.3	17.1	94	114.0			
390968		88	0.5	16.6	119	122.0			
390969		164	0.2	14.0	79	71.0			
390970		163	0.5	13.4	27	65.1			



ALS Canada Ltd.
 2103 Dollarton Hwy
 North Vancouver BC V7H 0A7
 Téléphone: +1 (604) 984 0221 Télécopieur: +1 (604) 984 0218
 www.alsglobal.com/geochemistry

À: **MINIÈRE OSISKO INC.**
300, RUE ST-PAUL
BUREAU 200
QUEBEC QC G1K 7R1

Page: Annexe 1
Total # les pages d'annexe: 1
Finalisée date: 25-JUIL-2018
Compte: MINVIR

Projet: Eléonore JV

CERTIFICAT D'ANALYSE VO18163578

COMMENTAIRE DE CERTIFICAT

COMMENTAIRES ANALYTIQUES

Applique à la Méthode: L'analyse des terres rares peut être partiellement soluble avec cette méthode.
 ME-MS61

ADRESSE DE LABORATOIRE

Applique à la Méthode: Traité à ALS Thunder Bay, 645 Norah Crescent, Thunder Bay, ON, Canada

CRU-31	CRU-QC	LOG-21	LOG-23
PUL-31	PUL-QC	SPL-21	WEI-21

Applique à la Méthode: Traité à ALS Vancouver, 2103 Dollarton Hwy, North Vancouver, BC, Canada.

Au-ICP21	Cu-OG62	ME-MS61	ME-OG62
Pb-OG62	Zn-OG62		



ALS Canada Ltd.
2103 Dollarton Hwy
North Vancouver BC V7H 0A7
Téléphone: +1 (604) 984 0221 Télécopieur: +1 (604) 984 0218
www.alsglobal.com/geochemistry

À: **MINIÈRE OSISKO INC.**
300, RUE ST-PAUL
BUREAU 200
QUEBEC QC G1K 7R1

Page: 1
Nombre total de pages: 3 (A - D)
plus les pages d'annexe
Finalisée date: 30-JUIL-2018
Compte: MINVIR

CERTIFICAT VO18163592

Projet: Eléonore JV

Bon de commande #: GRB-003

Ce rapport s'applique aux 62 échantillons de channel soumis à notre laboratoire de Val d'Or, QC, Canada le 7-JUIL-2018.

Les résultats sont transmis à:

CHARLES GAUMOND

CORPORATIF WEBTRIEVE

PRÉPARATION ÉCHANTILLONS

CODE ALS	DESCRIPTION
WEI-21	Poids échantillon reçu
LOG-21	Entrée échantillon - Code barre client
LOG-23	Entrée pulpe - Reçu avec code barre
CRU-QC	Test concassage QC
PUL-QC	Test concassage QC
CRU-31	Granulation - 70 % <2 mm
SPL-21	Échant. fractionné - div. riffles
PUL-31	Pulvérisé à 85 % <75 um

PROCÉDURES ANALYTIQUES

CODE ALS	DESCRIPTION	INSTRUMENT
ME-OG62	Teneur marchande éléments - quatre acides	ICP-AES
Cu-OG62	Teneur marchande Cu - quatre acides	
Pb-OG62	Teneur marchande Pb - quatre acides	
Zn-OG62	Teneur marchande Zn - quatre acides	
Au-ICP21	Au 30 g FA fini ICP-AES	ICP-AES
ME-MS61	ICP-MS 48 éléments, quatre acides	

Ce rapport est final et remplace tout autre rapport préliminaire portant ce numéro de certificat. Les résultats s'appliquent aux échantillons soumis. Toutes les pages de ce rapport ont été vérifiées et approuvées avant publication.

***** Voir la page d'annexe pour les commentaires en ce qui concerne ce certificat *****

Signature:

Colin Ramshaw, Vancouver Laboratory Manager



ALS Canada Ltd.
 2103 Dollarton Hwy
 North Vancouver BC V7H 0A7
 Téléphone: +1 (604) 984 0221 Télécopieur: +1 (604) 984 0218
 www.alsglobal.com/geochemistry

À: **MINIÈRE OSISKO INC.**
300, RUE ST-PAUL
BUREAU 200
QUEBEC QC G1K 7R1

Page: 2 - A
 Nombre total de pages: 3 (A - D)
 plus les pages d'annexe
 Finalisée date: 30-JUIL-2018
 Compte: MINVIR

Projet: Eléonore JV

CERTIFICAT D'ANALYSE VO18163592

Description échantillon	Méthode élément unités LDI	WEI-21	Au-ICP21	ME-MS61	ME-MS61	ME-MS61	ME-MS61	ME-MS61	ME-MS61	ME-MS61	ME-MS61	ME-MS61	ME-MS61	ME-MS61	ME-MS61	
		Poids reçu kg	Au ppm	Ag ppm	Al %	As ppm	Ba ppm	Be ppm	Bi ppm	Ca %	Cd ppm	Ce ppm	Co ppm	Cr ppm	Cs ppm	Cu ppm
		0.02	0.001	0.01	0.01	0.2	10	0.05	0.01	0.01	0.02	0.01	0.1	1	0.05	0.2
390683		0.40	<0.001	0.15	7.87	0.3	500	0.78	0.23	3.62	0.19	9.15	11.7	76	0.92	32.2
390684		1.10	<0.001	0.14	7.99	0.4	260	1.05	0.04	1.98	0.18	13.45	20.3	61	0.98	67.5
390685		0.16	<0.001	0.02	0.08	0.4	210	0.05	0.02	18.75	0.22	1.01	0.4	2	0.25	1.4
390686		0.70	<0.001	0.21	7.70	0.3	80	1.18	0.14	3.76	0.20	34.9	35.7	56	0.52	135.5
390687		1.09	0.002	0.12	7.62	<0.2	670	1.22	0.09	2.39	0.14	40.2	17.4	32	1.21	50.8
390688		1.02	<0.001	2.18	8.45	6.9	500	0.54	0.74	1.10	0.10	47.5	45.2	95	0.86	201
390689		0.52	<0.001	0.19	8.15	0.5	720	1.27	0.13	2.68	0.16	34.8	17.3	81	1.42	62.4
390690		0.87	0.003	0.12	8.60	0.3	450	2.06	0.08	5.03	0.21	102.5	31.0	34	0.73	179.5
390691		0.48	<0.001	0.56	7.47	<0.2	680	1.64	0.44	2.68	0.15	42.2	23.1	139	1.99	98.5
390692		0.74	<0.001	0.55	8.24	0.3	1430	1.60	0.41	2.79	0.19	57.4	25.3	172	2.47	116.5
390693		0.76	<0.001	1.28	7.95	<0.2	480	2.61	0.54	2.20	0.32	23.3	48.2	96	4.75	405
390694		0.34	0.008	1.47	7.80	0.4	360	2.21	0.73	1.87	0.45	34.0	47.6	76	5.58	558
390695		0.12	0.115	64.0	3.48	167.5	60	0.41	62.9	2.13	369	8.37	94.7	87	2.28	>10000
390696		0.80	<0.001	0.16	7.90	0.3	420	2.29	0.16	2.28	0.18	38.8	21.0	208	10.20	46.0
390792		Not Recvd														
390793		Not Recvd														
390794		Not Recvd														
390795		Not Recvd														
390796		0.64	<0.001	0.06	7.35	0.4	1300	1.25	0.05	3.29	0.03	29.7	5.4	16	0.57	24.9
390797		0.48	<0.001	0.11	8.05	0.3	350	1.33	0.14	4.62	0.12	27.2	17.4	64	1.11	25.9
390798		0.67	0.001	0.48	6.75	<0.2	200	1.22	0.15	2.04	0.05	7.87	16.9	64	0.93	465
390799		0.43	<0.001	0.01	8.16	<0.2	170	1.33	0.10	4.38	0.07	63.6	31.9	263	0.38	4.9
390800		0.58	<0.001	0.10	8.71	<0.2	660	1.55	0.02	2.58	0.03	7.54	4.2	15	1.13	47.1
390877		0.63	0.008	0.28	8.45	0.2	200	1.56	0.28	5.86	0.22	25.6	11.2	214	0.46	17.5
390878		0.86	0.043	0.95	7.00	0.6	210	0.64	0.65	5.83	0.29	50.8	102.0	223	0.31	170.0
390879		0.68	0.001	0.20	7.37	4.6	30	0.66	1.59	13.90	0.57	32.6	29.6	174	0.15	12.4
390880		1.60	0.035	0.40	7.76	<0.2	290	0.95	0.44	4.35	0.26	27.6	31.5	178	0.78	54.0
390881		0.51	<0.001	0.04	7.32	0.5	1470	0.98	0.03	1.92	0.03	13.65	5.1	13	0.84	2.0
390882		0.40	<0.001	0.03	7.87	0.4	1010	1.75	0.03	2.34	0.05	49.3	8.4	19	0.77	5.3
390883		0.51	<0.001	0.14	7.94	0.2	430	1.06	0.10	4.32	0.12	29.4	21.7	138	0.61	55.2
390884		0.49	<0.001	0.05	7.67	<0.2	860	1.53	0.03	2.43	0.04	39.6	7.7	17	0.65	1.2
390885		0.16	<0.001	0.02	0.10	0.2	180	0.08	0.03	19.10	0.04	1.55	0.5	2	0.18	1.2
390886		0.54	<0.001	0.11	6.59	0.6	270	1.84	0.12	0.85	0.02	6.38	0.8	8	1.09	20.5
390887		0.22	<0.001	0.01	0.27	0.2	20	0.05	0.02	0.14	<0.02	2.04	0.9	19	0.29	1.8
390888		0.33	<0.001	0.05	7.75	0.2	360	1.70	0.08	1.88	0.04	51.0	16.2	78	6.76	26.0
390889		1.02	<0.001	0.31	8.34	<0.2	430	1.15	0.80	1.73	0.05	57.5	19.7	86	1.75	92.6
390890		0.55	0.001	2.59	5.64	1.7	150	2.09	4.26	1.87	0.60	39.6	40.8	31	2.23	1120
390891		0.42	0.002	1.64	7.06	1.3	90	7.64	5.52	2.71	0.43	43.2	35.6	92	2.50	304
390892		0.73	<0.001	0.08	6.88	<0.2	80	0.35	0.06	5.85	0.15	10.90	46.9	123	0.75	30.0
390893		0.76	0.012	2.82	5.46	<0.2	140	0.51	1.34	2.76	0.38	33.5	282	173	1.75	581



ALS Canada Ltd,
 2103 Dollarton Hwy
 North Vancouver BC V7H 0A7
 Téléphone: +1 (604) 984 0221 Télécopieur: +1 (604) 984 0218
 www.alsglobal.com/geochemistry

À: **MINIÈRE OSISKO INC.**
300, RUE ST-PAUL
BUREAU 200
QUEBEC QC G1K 7R1

Page: 2 - B
 Nombre total de pages: 3 (A - D)
 plus les pages d'annexe
 Finalisée date: 30-JUIL-2018
 Compte: MINVIR

Projet: Eléonore JV

CERTIFICAT D'ANALYSE VO18163592

Description échantillon	Méthode élément unités LDI	ME-MS61	ME-MS61	ME-MS61	ME-MS61	ME-MS61	ME-MS61	ME-MS61	ME-MS61	ME-MS61	ME-MS61	ME-MS61	ME-MS61	ME-MS61	ME-MS61	
		Fe %	Ga ppm	Ge ppm	Hf ppm	In ppm	K %	La ppm	Li ppm	Mg %	Mn ppm	Mo ppm	Na %	Nb ppm	Ni ppm	P ppm
390683		4.71	18.00	0.08	2.3	0.037	1.54	4.5	17.1	1.48	864	1.34	3.17	3.0	28.6	740
390684		6.28	15.40	0.07	2.0	0.033	0.72	7.0	13.7	0.87	2290	1.34	2.68	5.4	27.6	160
390685		0.11	0.28	<0.05	<0.1	<0.005	0.03	0.5	8.7	12.85	300	0.07	0.04	0.1	0.5	20
390686		8.34	18.25	0.09	2.3	0.067	0.41	14.5	5.8	1.10	2800	0.72	1.95	3.7	44.7	800
390687		5.27	17.25	0.10	3.1	0.057	1.87	16.5	12.7	1.51	1310	0.49	2.72	5.9	18.8	820
390688		8.01	15.95	0.10	1.3	0.029	1.25	23.4	32.7	0.85	251	25.6	3.43	1.0	49.5	160
390689		5.10	19.55	0.11	2.2	0.035	2.01	14.2	26.1	1.40	1040	0.36	2.39	4.1	41.1	800
390690		6.47	23.3	0.13	2.2	0.058	1.33	47.1	20.9	2.23	1400	0.74	3.18	7.3	27.1	1240
390691		4.94	16.85	0.11	2.5	0.030	1.49	21.6	8.3	0.98	579	2.10	2.88	4.0	56.6	710
390692		6.27	19.40	0.16	2.6	0.040	2.79	30.1	12.9	1.49	818	1.46	2.77	5.0	80.9	910
390693		8.04	17.60	0.08	4.5	0.036	1.46	10.8	18.5	1.12	425	9.51	3.11	3.5	99.2	680
390694		10.95	18.15	0.08	2.7	0.030	1.51	15.2	19.2	1.10	419	8.82	3.07	4.3	129.5	630
390695		16.85	14.50	0.21	0.4	2.41	0.64	3.1	28.1	1.18	653	34.9	0.69	1.7	51.2	390
390696		4.27	19.00	0.10	2.7	0.042	1.88	16.1	47.6	2.08	628	1.44	3.41	6.9	91.5	920
390792																
390793																
390794																
390795																
390796		2.55	18.50	0.09	1.2	0.014	2.95	14.0	8.4	0.59	406	0.15	3.01	2.2	7.7	550
390797		6.08	19.30	0.09	2.2	0.064	0.97	10.4	17.4	1.91	1220	2.35	2.96	4.1	32.0	910
390798		8.01	17.55	0.06	2.3	0.042	1.12	4.0	26.2	1.27	1280	0.97	2.57	6.3	33.6	430
390799		5.74	29.2	0.09	2.5	0.047	0.86	31.3	28.5	2.58	936	0.36	3.86	6.9	116.5	560
390800		1.08	19.35	0.07	1.7	0.005	1.39	4.4	23.3	0.33	144	0.11	4.45	1.5	7.3	190
390877		8.74	22.9	0.08	1.5	0.080	0.91	10.0	6.2	2.33	1220	3.36	3.23	7.7	93.0	670
390878		15.30	17.45	0.13	1.2	0.079	0.69	21.4	10.0	2.88	1280	2.18	2.25	2.7	203	730
390879		13.05	20.5	0.10	1.4	0.079	0.03	13.7	3.9	1.73	1120	2.01	0.09	1.9	156.0	670
390880		9.52	19.05	0.09	1.4	0.066	1.20	12.1	29.3	3.22	1130	3.10	2.45	3.8	111.5	810
390881		1.79	16.20	0.09	3.0	0.010	2.95	6.6	15.5	0.47	269	0.22	3.02	2.2	6.9	410
390882		2.33	19.90	0.12	2.1	0.021	2.71	23.3	15.5	0.81	420	0.21	3.59	4.0	11.5	720
390883		5.28	17.85	0.09	2.2	0.045	1.41	11.4	10.5	2.22	1030	4.33	3.18	4.2	61.5	720
390884		2.21	18.55	0.11	2.5	0.025	2.48	13.4	16.9	0.79	437	0.18	3.42	3.4	10.0	690
390885		0.12	0.29	0.07	0.1	<0.005	0.04	0.8	8.1	12.55	316	0.12	0.04	0.2	0.6	20
390886		0.69	16.75	0.09	0.8	0.008	3.36	2.2	6.1	0.10	97	0.15	2.86	1.2	1.1	130
390887		0.54	0.90	0.08	12.9	<0.005	0.08	0.9	3.7	0.12	57	23.8	0.10	0.7	3.8	20
390888		3.92	22.2	0.09	4.8	0.033	2.11	23.6	49.2	1.64	498	1.18	2.91	13.4	50.7	160
390889		5.49	19.15	0.11	3.6	0.048	1.14	26.9	35.4	1.84	409	3.24	2.97	5.5	48.2	330
390890		10.85	14.20	0.11	1.9	0.114	1.08	19.2	8.0	0.91	648	2.60	1.66	4.4	46.5	1080
390891		9.04	17.80	0.11	2.4	0.070	1.25	21.0	9.0	1.17	811	6.75	2.49	7.3	58.6	680
390892		10.55	16.45	0.10	1.0	0.070	0.67	4.2	20.8	4.61	1660	4.26	1.85	2.9	101.5	380
390893		22.9	13.85	0.12	0.6	0.055	0.64	13.8	15.9	1.72	862	18.20	1.55	1.9	289	760



ALS Canada Ltd.
 2103 Dollarton Hwy
 North Vancouver BC V7H 0A7
 Téléphone: +1 (604) 984 0221 Télécopieur: +1 (604) 984 0218
 www.alsglobal.com/geochemistry

À: **MINIÈRE OSISKO INC.**
300, RUE ST-PAUL
BUREAU 200
QUEBEC QC G1K 7R1

Page: 2 - C
 Nombre total de pages: 3 (A - D)
 plus les pages d'annexe
 Finalisée date: 30-JUIL-2018
 Compte: MINVIR

Projet: Eléonore JV

CERTIFICAT D'ANALYSE VO18163592

Description échantillon	Méthode élément unités LDI	ME-MS61	ME-MS61	ME-MS61	ME-MS61	ME-MS61	ME-MS61	ME-MS61	ME-MS61	ME-MS61	ME-MS61	ME-MS61	ME-MS61	ME-MS61	ME-MS61	
		Pb	Rb	Re	S	Sb	Sc	Se	Sn	Sr	Ta	Te	Th	Ti	Tl	U
		ppm	ppm	ppm	%	ppm	ppm	ppm	ppm	ppm	ppm	ppm	ppm	%	ppm	ppm
		0.5	0.1	0.002	0.01	0.05	0.1	1	0.2	0.2	0.05	0.05	0.01	0.005	0.02	0.1
390683		8.4	68.3	<0.002	0.21	0.05	14.6	<1	0.5	665	0.17	0.07	2.43	0.366	0.46	0.6
390684		22.7	28.0	<0.002	0.55	<0.05	24.7	1	0.3	324	0.42	0.09	2.57	0.419	0.20	0.3
390685		2.3	1.0	<0.002	0.01	0.08	0.1	1	<0.2	134.5	<0.05	<0.05	0.23	<0.005	0.04	0.3
390686		8.0	16.5	<0.002	1.05	<0.05	19.5	1	1.0	280	0.25	0.12	2.50	0.480	0.11	0.8
390687		5.9	101.5	<0.002	0.40	<0.05	12.7	<1	0.9	623	0.36	0.06	6.65	0.329	0.62	0.8
390688		11.5	57.3	0.007	4.15	<0.05	11.1	2	0.3	476	0.09	0.17	4.60	0.242	0.34	0.3
390689		8.1	91.1	<0.002	0.49	<0.05	11.8	<1	0.8	574	0.19	0.07	3.69	0.405	0.64	0.6
390690		9.2	25.0	<0.002	0.18	<0.05	22.8	<1	1.4	665	0.44	<0.05	18.60	0.442	0.30	0.6
390691		22.8	68.9	0.003	1.97	<0.05	10.2	<1	0.5	602	0.36	0.07	7.08	0.261	0.49	1.9
390692		19.5	110.0	<0.002	1.94	<0.05	13.5	<1	0.4	601	0.35	0.07	7.69	0.337	0.74	1.1
390693		24.5	95.5	0.002	4.00	<0.05	7.9	<1	0.6	532	0.41	0.31	5.24	0.241	0.65	17.2
390694		16.8	102.0	0.002	5.49	<0.05	11.5	1	0.5	438	0.35	0.47	5.00	0.309	0.74	1.2
390695		>10000	21.9	0.012	>10.0	89.1	11.5	60	11.8	72.2	0.16	0.09	0.80	0.245	6.28	2.9
390696		25.4	153.0	<0.002	0.14	0.07	13.5	<1	1.2	595	0.67	0.06	6.39	0.322	1.04	1.8
390792																
390793																
390794																
390795																
390796		13.1	79.1	<0.002	0.02	<0.05	3.3	<1	0.4	1105	0.10	<0.05	2.74	0.159	0.55	0.2
390797		12.3	28.6	<0.002	0.32	<0.05	17.5	1	0.9	757	0.21	0.09	4.13	0.440	0.25	1.2
390798		7.4	95.2	<0.002	0.78	<0.05	22.5	1	1.6	361	0.46	0.13	3.67	0.428	0.51	1.1
390799		8.2	15.8	<0.002	0.01	<0.05	21.8	<1	1.5	771	0.51	<0.05	6.51	0.485	0.20	1.1
390800		13.2	41.1	<0.002	0.01	<0.05	0.9	<1	0.3	985	0.06	<0.05	0.25	0.120	0.30	0.3
390877		8.6	38.3	<0.002	0.24	<0.05	24.0	<1	1.8	517	0.55	0.31	2.61	0.782	0.21	0.8
390878		9.8	27.0	0.005	7.56	0.12	27.2	1	1.0	418	0.17	0.83	2.29	0.915	0.17	0.6
390879		13.9	0.7	<0.002	0.47	0.78	19.7	1	0.9	859	0.11	0.29	1.72	0.719	<0.02	0.4
390880		7.2	60.1	<0.002	2.86	<0.05	22.4	<1	1.3	281	0.36	0.31	3.16	0.973	0.35	1.6
390881		15.8	67.7	<0.002	0.01	<0.05	2.7	<1	0.5	756	0.12	<0.05	0.68	0.195	0.36	0.6
390882		19.3	88.8	<0.002	0.01	<0.05	4.9	<1	0.8	800	0.21	<0.05	7.70	0.206	0.52	0.4
390883		10.1	57.8	<0.002	0.21	<0.05	18.1	<1	1.0	500	0.22	0.13	5.88	0.382	0.42	1.3
390884		16.5	66.6	<0.002	0.01	<0.05	5.4	<1	0.9	693	0.18	<0.05	6.45	0.200	0.35	0.5
390885		2.3	1.0	<0.002	0.01	0.09	0.1	1	<0.2	160.0	<0.05	<0.05	0.27	<0.005	0.04	0.2
390886		26.2	133.0	<0.002	0.01	<0.05	0.7	<1	0.4	216	0.05	<0.05	11.25	0.028	0.73	1.8
390887		2.5	4.5	<0.002	0.02	<0.05	0.5	<1	<0.2	8.9	0.06	<0.05	1.23	0.022	0.02	3.0
390888		17.6	131.0	<0.002	0.10	<0.05	11.2	1	0.4	405	1.01	0.05	18.90	0.387	0.97	1.8
390889		20.5	52.7	0.004	1.09	<0.05	14.5	1	0.5	316	0.58	0.15	6.04	0.419	0.46	1.6
390890		9.9	80.6	<0.002	7.48	<0.05	8.2	1	1.2	266	0.35	0.11	4.82	0.210	0.94	3.5
390891		13.1	80.2	<0.002	5.73	<0.05	8.9	<1	1.1	355	0.72	0.13	5.47	0.228	0.85	2.4
390892		<0.5	40.5	0.003	0.08	<0.05	38.8	1	0.6	130.5	0.18	<0.05	0.37	0.721	0.15	0.1
390893		9.7	31.5	0.002	>10.0	<0.05	17.2	<1	1.3	179.0	0.11	1.23	1.70	0.632	0.21	0.4



ALS Canada Ltd.
 2103 Dollarton Hwy
 North Vancouver BC V7H 0A7
 Téléphone: +1 (604) 984 0221 Télécopieur: +1 (604) 984 0218
 www.alsglobal.com/geochemistry

À: **MINIÈRE OSISKO INC.**
300, RUE ST-PAUL
BUREAU 200
QUEBEC QC G1K 7R1

Page: 2 - D
 Nombre total de pages: 3 (A - D)
 plus les pages d'annexe
 Finalisée date: 30-JUIL-2018
 Compte: MINVIR

Projet: Eléonore JV

CERTIFICAT D'ANALYSE VO18163592

Description échantillon	Méthode élément unités LDI	ME-MS61	ME-MS61	ME-MS61	ME-MS61	ME-MS61	Cu-OG62	Pb-OG62	Zn-OG62
		V	W	Y	Zn	Zr	Cu	Pb	Zn
		ppm	ppm	ppm	ppm	ppm	%	%	%
		1	0.1	0.1	2	0.5	0.001	0.001	0.001
390683		125	0.3	9.8	66	85.5			
390684		126	0.1	25.3	57	60.3			
390685		2	0.1	0.6	58	1.0			
390686		170	0.3	22.8	92	77.2			
390687		129	0.1	13.1	83	102.0			
390688		158	0.6	4.2	47	49.1			
390689		114	0.1	9.2	101	79.3			
390690		203	0.1	23.8	108	68.2			
390691		83	0.3	9.0	52	86.4			
390692		104	0.3	9.9	81	91.9			
390693		84	0.2	6.2	70	154.0			
390694		93	0.2	7.5	76	94.4			
390695		102	60.4	10.3	>10000	11.7	1.360	1.625	7.22
390696		101	0.3	12.1	102	90.6			
390792									
390793									
390794									
390795									
390796		49	0.1	4.3	34	40.8			
390797		143	0.1	15.6	82	79.6			
390798		148	0.2	7.8	110	72.3			
390799		159	0.4	11.2	101	79.1			
390800		21	<0.1	1.2	25	61.4			
390877		169	0.5	13.3	102	31.1			
390878		221	0.3	19.7	150	20.1			
390879		181	0.5	14.8	89	35.5			
390880		183	6.0	15.0	138	27.1			
390881		40	0.1	3.2	32	82.0			
390882		50	0.1	4.5	52	70.4			
390883		137	0.2	11.6	75	77.1			
390884		42	<0.1	6.2	47	78.5			
390885		2	0.1	0.8	12	1.7			
390886		3	0.1	1.6	15	16.9			
390887		5	0.1	1.6	3	436			
390888		98	0.3	2.6	87	147.0			
390889		124	0.2	5.7	63	134.0			
390890		38	2.6	18.6	57	67.7			
390891		65	0.9	10.3	56	91.3			
390892		254	0.2	25.2	109	19.8			
390893		147	0.3	12.5	87	10.9			

**** Voir la page d'annexe pour les commentaires en ce qui concerne ce certificat ****



ALS Canada Ltd,
 2103 Dollarton Hwy
 North Vancouver BC V7H 0A7
 Téléphone: +1 (604) 984 0221 Télécopieur: +1 (604) 984 0218
 www.alsglobal.com/geochemistry

À: **MINIÈRE OSISKO INC.**
300, RUE ST-PAUL
BUREAU 200
QUEBEC QC G1K 7R1

Page: 3 - A
 Nombre total de pages: 3 (A - D)
 plus les pages d'annexe
 Finalisée date: 30-JUIL-2018
 Compte: MINVIR

Projet: Eléonore JV

CERTIFICAT D'ANALYSE VO18163592

Description échantillon	Méthode élément unités LDI	WEI-21	Au-ICP21	ME-MS61	ME-MS61	ME-MS61	ME-MS61	ME-MS61	ME-MS61	ME-MS61	ME-MS61	ME-MS61	ME-MS61	ME-MS61	ME-MS61	
		Poids reçu kg	Au ppm	Ag ppm	Al %	As ppm	Ba ppm	Be ppm	Bi ppm	Ca %	Cd ppm	Ce ppm	Co ppm	Cr ppm	Cs ppm	Cu ppm
		0.02	0.001	0.01	0.01	0.2	10	0.05	0.01	0.01	0.02	0.01	0.1	1	0.05	0.2
390894		0.25	<0.001	0.23	7.59	<0.2	360	2.10	0.69	1.34	0.13	52.5	36.2	81	7.31	96.3
390895		0.12	0.112	62.6	3.27	161.5	50	0.46	66.8	1.99	346	8.02	89.7	82	2.08	>10000
390896		0.28	<0.001	0.12	6.09	<0.2	140	1.78	0.08	1.46	<0.02	3.74	1.3	9	0.42	10.1
390971		0.53	<0.001	0.42	7.00	<0.2	430	1.18	0.41	2.06	0.12	20.6	28.0	147	0.86	222
390972		0.31	<0.001	1.46	5.20	<0.2	70	2.10	1.13	3.96	0.68	40.2	49.6	39	0.51	361
390973		0.27	<0.001	0.30	8.08	<0.2	280	3.05	0.37	2.17	0.13	19.70	17.3	80	12.40	68.6
390974		0.72	<0.001	0.20	6.80	0.3	430	0.82	0.16	5.12	0.28	38.2	24.3	187	2.31	72.5
390975		0.12	0.125	62.3	3.30	155.5	50	0.39	61.9	2.01	349	7.73	87.2	84	1.99	>10000
390976		0.63	<0.001	0.48	7.44	<0.2	520	2.42	0.43	2.13	0.26	25.7	15.5	122	6.43	60.3
390977		0.33	<0.001	0.65	7.72	<0.2	560	1.78	0.68	2.16	0.24	75.3	31.7	162	9.51	85.8
390978		0.57	0.003	1.59	6.75	<0.2	140	1.42	0.93	3.61	0.28	28.7	25.8	175	0.78	456
390979		0.61	<0.001	0.23	7.08	<0.2	70	1.41	0.34	3.61	0.06	27.6	6.6	25	0.62	84.1
390980		0.60	<0.001	0.06	6.76	<0.2	270	3.07	0.13	2.57	0.03	19.00	7.9	34	5.17	19.1
390981		0.47	<0.001	0.04	8.19	<0.2	310	7.03	0.22	3.94	0.18	35.7	12.0	36	8.42	0.9
390982		0.63	<0.001	0.01	1.13	<0.2	40	0.49	0.09	0.20	<0.02	3.03	0.1	19	0.61	0.9
390983		0.17	<0.001	0.01	3.43	<0.2	540	0.66	0.06	0.37	<0.02	2.13	0.9	27	1.12	4.3
390984		0.53	<0.001	0.18	6.84	0.4	320	2.35	0.25	1.99	0.16	34.8	17.9	74	6.37	60.0
390985		0.25	<0.001	0.01	0.05	<0.2	80	0.05	0.03	18.75	0.07	0.97	0.4	2	0.18	1.0
390986		0.55	<0.001	0.09	7.69	0.4	320	2.90	0.10	1.60	0.03	36.2	17.4	219	9.55	48.9
390987		0.17	<0.001	0.11	7.51	<0.2	240	1.27	0.34	6.43	0.17	14.00	47.3	134	0.50	70.6
390988		0.57	<0.001	0.12	7.41	<0.2	860	2.04	0.15	2.69	0.13	64.8	19.9	216	6.85	5.3
390697		0.46	<0.001	0.05	7.34	<0.2	920	1.18	0.06	1.40	0.05	40.1	6.3	20	0.45	2.3



ALS Canada Ltd.
 2103 Dollarton Hwy
 North Vancouver BC V7H 0A7
 Téléphone: +1 (604) 984 0221 Télécopieur: +1 (604) 984 0218
 www.alsglobal.com/geochemistry

À: **MINIÈRE OSISKO INC.**
300, RUE ST-PAUL
BUREAU 200
QUEBEC QC G1K 7R1

Page: 3 - B
 Nombre total de pages: 3 (A - D)
 plus les pages d'annexe
 Finalisée date: 30-JUIL-2018
 Compte: MINVIR

Projet: Eléonore JV

CERTIFICAT D'ANALYSE VO18163592

Description échantillon	Méthode élément unités LDI	ME-MS61	ME-MS61	ME-MS61	ME-MS61	ME-MS61	ME-MS61	ME-MS61	ME-MS61	ME-MS61	ME-MS61	ME-MS61	ME-MS61	ME-MS61	ME-MS61	
		Fe %	Ga ppm	Ge ppm	Hf ppm	In ppm	K %	La ppm	Li ppm	Mg %	Mn ppm	Mo ppm	Na %	Nb ppm	Ni ppm	P ppm
390894		7.07	23.2	0.12	3.3	0.038	1.98	26.2	23.2	1.42	384	5.10	2.46	17.8	65.3	100
390895		15.80	15.25	0.22	0.4	2.30	0.60	3.1	29.3	1.10	608	36.5	0.65	1.7	49.4	360
390896		0.44	16.00	<0.05	0.6	0.008	0.48	2.5	5.6	0.06	60	>10000	3.45	0.8	2.9	20
390971		7.61	17.80	0.07	1.3	0.032	1.33	9.8	26.1	1.56	679	18.95	2.51	6.2	85.1	670
390972		9.56	12.70	0.10	1.9	0.103	0.29	18.6	5.6	1.05	983	30.5	2.20	4.3	65.9	1080
390973		4.66	21.9	0.09	4.0	0.034	1.74	10.1	46.3	1.41	428	5.80	3.29	13.4	45.9	570
390974		5.71	14.85	0.08	3.3	0.060	0.77	18.4	38.1	1.55	1620	2.71	1.25	6.4	59.3	430
390975		16.05	14.55	0.22	0.3	2.19	0.60	2.9	27.9	1.11	613	33.6	0.66	1.6	47.4	370
390976		4.65	18.20	0.09	3.0	0.025	1.31	13.0	32.1	0.94	412	2.17	2.99	5.2	53.1	690
390977		6.70	18.60	0.13	2.7	0.033	1.71	37.6	51.7	1.42	524	2.83	2.96	5.1	85.3	900
390978		10.30	15.70	0.08	1.6	0.072	0.57	13.1	31.3	1.33	1640	5.51	2.13	5.2	84.7	440
390979		4.27	19.50	0.08	3.4	0.027	0.38	12.5	25.1	0.46	815	3.66	2.36	5.6	8.3	530
390980		2.01	18.30	0.08	1.0	0.012	1.06	10.1	16.0	0.66	212	0.56	2.18	7.4	15.3	380
390981		3.20	23.7	0.13	1.9	0.066	1.03	11.3	41.4	1.13	855	0.47	3.06	8.0	17.0	680
390982		0.42	3.36	0.07	1.3	<0.005	0.41	1.2	9.2	0.05	57	0.20	0.43	1.7	0.9	20
390983		1.01	8.05	0.06	2.5	0.005	1.74	1.2	3.9	0.15	100	20.4	1.23	1.8	4.1	90
390984		3.77	15.60	0.12	2.4	0.018	1.21	17.5	32.8	0.94	482	1.52	2.63	5.6	40.0	520
390985		0.10	0.20	0.11	<0.1	<0.005	0.02	0.5	9.3	13.35	284	0.19	0.03	0.1	0.2	30
390986		4.48	21.2	0.13	3.2	0.040	1.97	17.1	55.7	2.04	620	1.09	3.01	11.8	79.0	840
390987		10.95	19.70	0.09	1.9	0.081	1.12	6.6	24.0	2.82	2670	0.59	2.25	3.6	74.5	440
390988		4.61	18.15	0.14	2.9	0.047	1.89	34.8	17.3	1.94	763	1.06	2.80	5.4	100.5	840
390697		2.22	19.45	0.13	2.0	0.020	2.35	17.7	12.5	0.91	358	0.58	3.54	4.0	9.8	590



ALS Canada Ltd.
 2103 Dollarton Hwy
 North Vancouver BC V7H 0A7
 Téléphone: +1 (604) 984 0221 Télécopieur: +1 (604) 984 0218
 www.alsglobal.com/geochemistry

À: **MINIÈRE OSISKO INC.**
300, RUE ST-PAUL
BUREAU 200
QUEBEC QC G1K 7R1

Page: 3 - C
 Nombre total de pages: 3 (A - D)
 plus les pages d'annexe
 Finalisée date: 30-JUIL-2018
 Compte: MINVIR

Projet: Eléonore JV

CERTIFICAT D'ANALYSE VO18163592

Description échantillon	Méthode élément unités LDI	ME-MS61	ME-MS61	ME-MS61	ME-MS61	ME-MS61	ME-MS61	ME-MS61	ME-MS61	ME-MS61	ME-MS61	ME-MS61	ME-MS61	ME-MS61	ME-MS61	
		Pb	Rb	Re	S	Sb	Sc	Se	Sn	Sr	Ta	Te	Th	Ti	Tl	U
		ppm	ppm	ppm	%	ppm	ppm	ppm	ppm	ppm	ppm	ppm	ppm	%	ppm	ppm
		0.5	0.1	0.002	0.01	0.05	0.1	1	0.2	0.2	0.05	0.05	0.01	0.005	0.02	0.1
390894		21.9	130.0	<0.002	1.87	<0.05	12.8	1	0.5	337	1.51	0.17	15.10	0.403	1.22	4.6
390895		>10000	20.2	0.021	>10.0	88.3	11.6	65	11.3	71.3	0.13	0.10	0.73	0.228	6.36	3.1
390896		42.4	15.1	2.23	1.36	<0.05	0.4	3	<0.2	407	0.07	0.32	10.60	0.020	0.10	1.6
390971		8.1	75.6	0.002	2.98	<0.05	6.5	1	0.7	333	0.31	0.37	1.17	0.529	0.45	1.3
390972		12.4	14.5	0.004	4.82	<0.05	7.8	1	0.9	333	0.37	0.23	4.80	0.162	0.15	3.4
390973		18.1	138.5	0.002	0.53	<0.05	10.4	1	0.7	420	1.09	0.05	7.12	0.366	1.11	3.3
390974		6.4	41.0	<0.002	1.07	<0.05	24.4	1	1.4	170.5	0.48	0.07	2.92	0.355	0.22	0.8
390975		>10000	19.2	0.021	>10.0	84.8	11.1	62	10.9	69.8	0.13	0.12	0.72	0.230	6.11	2.9
390976		30.7	85.7	<0.002	1.26	<0.05	8.4	1	0.4	494	0.80	0.07	14.20	0.271	0.64	11.4
390977		17.2	126.0	<0.002	2.35	<0.05	13.3	1	0.5	454	0.32	0.09	5.68	0.335	0.84	1.3
390978		9.2	32.0	0.002	4.30	<0.05	20.6	1	2.3	244	0.32	0.11	2.38	0.371	0.21	1.5
390979		6.7	6.5	<0.002	0.59	<0.05	5.3	1	0.8	215	0.43	<0.05	2.14	0.223	0.06	0.9
390980		10.3	59.6	<0.002	0.10	<0.05	4.5	<1	0.9	451	0.94	<0.05	1.35	0.144	0.37	0.8
390981		12.0	71.1	<0.002	0.01	<0.05	10.0	<1	5.0	632	2.01	<0.05	3.34	0.257	0.65	1.1
390982		4.5	14.5	<0.002	0.01	<0.05	0.4	<1	0.2	38.5	0.25	<0.05	7.63	0.016	0.10	1.5
390983		14.2	45.5	<0.002	0.02	<0.05	1.2	<1	<0.2	237	0.11	<0.05	2.45	0.069	0.26	2.6
390984		13.1	75.4	<0.002	0.51	<0.05	12.5	<1	0.5	497	0.34	0.05	4.04	0.298	0.71	1.4
390985		1.4	0.7	<0.002	<0.01	<0.05	0.1	<1	<0.2	149.5	<0.05	<0.05	0.39	<0.005	0.02	0.2
390986		16.1	146.5	<0.002	0.12	<0.05	15.4	<1	0.6	298	0.70	<0.05	6.86	0.352	1.10	2.9
390987		6.6	43.6	<0.002	0.22	<0.05	46.5	1	1.0	258	0.24	<0.05	0.93	0.810	0.20	0.6
390988		13.4	94.2	<0.002	0.10	<0.05	13.5	<1	1.1	402	0.44	<0.05	5.94	0.323	0.66	0.9
390697		18.2	56.2	<0.002	0.12	<0.05	5.3	<1	0.9	566	0.17	<0.05	3.46	0.216	0.32	0.3



ALS Canada Ltd.
 2103 Dollarton Hwy
 North Vancouver BC V7H 0A7
 Téléphone: +1 (604) 984 0221 Télécopieur: +1 (604) 984 0218
 www.alsglobal.com/geochemistry

À: **MINIÈRE OSISKO INC.**
300, RUE ST-PAUL
BUREAU 200
QUEBEC QC G1K 7R1

Page: 3 - D
 Nombre total de pages: 3 (A - D)
 plus les pages d'annexe
 Finalisée date: 30-JUIL-2018
 Compte: MINVIR

Projet: Eléonore JV

CERTIFICAT D'ANALYSE VO18163592

Description échantillon	Méthode élément unités LDI	ME-MS61	ME-MS61	ME-MS61	ME-MS61	ME-MS61	Cu-OG62	Pb-OG62	Zn-OG62
		V ppm 1	W ppm 0.1	Y ppm 0.1	Zn ppm 2	Zr ppm 0.5	Cu % 0.001	Pb % 0.001	Zn % 0.001
390894		111	0.5	4.0	99	114.5			
390895		95	58.7	10.3	>10000	10.5	1.365	1.625	7.23
390896		15	1.2	0.4	43	13.1			
390971		113	0.4	4.5	89	42.8			
390972		45	0.9	13.8	50	69.6			
390973		107	0.8	5.5	93	146.0			
390974		129	0.5	22.8	159	131.0			
390975		97	58.5	9.8	>10000	10.1	1.375	1.610	7.25
390976		81	0.2	8.7	101	106.5			
390977		108	0.3	13.2	107	103.5			
390978		117	0.7	16.9	99	49.5			
390979		35	0.7	8.1	57	138.5			
390980		41	0.2	2.3	37	32.5			
390981		83	0.1	11.3	75	61.1			
390982		1	0.2	1.3	4	26.8			
390983		12	0.1	0.7	10	82.3			
390984		93	0.4	9.5	70	93.3			
390985		2	0.2	0.6	17	1.2			
390986		107	0.3	11.9	96	115.5			
390987		300	0.2	27.1	145	63.9			
390988		101	0.2	11.8	76	111.0			
390697		50	0.1	6.9	45	70.3			



ALS Canada Ltd.
 2103 Dollarton Hwy
 North Vancouver BC V7H 0A7
 Téléphone: +1 (604) 984 0221 Télécopieur: +1 (604) 984 0218
 www.alsglobal.com/geochemistry

À: **MINIÈRE OSISKO INC.**
300, RUE ST-PAUL
BUREAU 200
QUEBEC QC G1K 7R1

Page: Annexe 1
Total # les pages d'annexe: 1
Finalisée date: 30-JUIL-2018
Compte: MINVIR

Projet: Eléonore JV

CERTIFICAT D'ANALYSE VO18163592

COMMENTAIRE DE CERTIFICAT

COMMENTAIRES ANALYTIQUES

Applique à la Méthode: L'analyse des terres rares peut être partiellement soluble avec cette méthode.
 ME-MS61

ADRESSE DE LABORATOIRE

Applique à la Méthode: Traité à ALS Thunder Bay, 645 Norah Crescent, Thunder Bay, ON, Canada

CRU-31	CRU-QC	LOG-21	LOG-23
PUL-31	PUL-QC	SPL-21	WEI-21

Applique à la Méthode: Traité à ALS Vancouver, 2103 Dollarton Hwy, North Vancouver, BC, Canada.

Au-ICP21	Cu-OG62	ME-MS61	ME-OG62
Pb-OG62	Zn-OG62		



ALS Canada Ltd.
 2103 Dollarton Hwy
 North Vancouver BC V7H 0A7
 Téléphone: +1 (604) 984 0221 Télécopieur: +1 (604) 984 0218
 www.alsglobal.com/geochemistry

À: **MINIÈRE OSISKO INC.**
300, RUE ST-PAUL
BUREAU 200
QUEBEC QC G1K 7R1

Page: 1
 Nombre total de pages: 2 (A - D)
 plus les pages d'annexe
 Finalisée date: 26-JUIL-2018
 Compte: MINVIR

CERTIFICAT VO18163599

Projet: Eléonore JV

Bon de commande #: EJV-001

Ce rapport s'applique aux 20 échantillons de channel soumis à notre laboratoire de Val d'Or, QC, Canada le 7-JUIL-2018.

Les résultats sont transmis à:

CHARLES GAUMOND

CORPORATIF WEBTRIEVE

PRÉPARATION ÉCHANTILLONS

CODE ALS	DESCRIPTION
WEI-21	Poids échantillon reçu
LOG-21	Entrée échantillon - Code barre client
LOG-23	Entrée pulpe - Reçu avec code barre
CRU-QC	Test concassage QC
PUL-QC	Test concassage QC
CRU-31	Granulation - 70 % <2 mm
SPL-21	Échant. fractionné - div. riffles
PUL-31	Pulvérisé à 85 % <75 um

PROCÉDURES ANALYTIQUES

CODE ALS	DESCRIPTION	INSTRUMENT
ME-OG62	Teneur marchande éléments - quatre acides	ICP-AES
Cu-OG62	Teneur marchande Cu - quatre acides	ICP-AES
Pb-OG62	Teneur marchande Pb - quatre acides	ICP-AES
Zn-OG62	Teneur marchande Zn - quatre acides	ICP-AES
Au-ICP21	Au 30 g FA fini ICP-AES	ICP-AES
ME-MS61	ICP-MS 48 éléments, quatre acides	

Ce rapport est final et remplace tout autre rapport préliminaire portant ce numéro de certificat. Les résultats s'appliquent aux échantillons soumis. Toutes les pages de ce rapport ont été vérifiées et approuvées avant publication.

***** Voir la page d'annexe pour les commentaires en ce qui concerne ce certificat *****

Signature:

Colin Ramshaw, Vancouver Laboratory Manager



ALS Canada Ltd,
 2103 Dollarton Hwy
 North Vancouver BC V7H 0A7
 Téléphone: +1 (604) 984 0221 Télécopieur: +1 (604) 984 0218
 www.alsglobal.com/geochemistry

À: **MINIÈRE OSISKO INC.**
300, RUE ST-PAUL
BUREAU 200
QUEBEC QC G1K 7R1

Page: 2 - A
 Nombre total de pages: 2 (A - D)
 plus les pages d'annexe
 Finalisée date: 26-JUIL-2018
 Compte: MINVIR

Projet: Eléonore JV

CERTIFICAT D'ANALYSE VO18163599

Description échantillon	Méthode élément unités LDI	WEI-21	Au-ICP21	ME-MS61	ME-MS61	ME-MS61	ME-MS61	ME-MS61	ME-MS61	ME-MS61	ME-MS61	ME-MS61	ME-MS61	ME-MS61	ME-MS61	
		Poids reçu kg	Au ppm	Ag ppm	Al %	As ppm	Ba ppm	Be ppm	Bi ppm	Ca %	Cd ppm	Ce ppm	Co ppm	Cr ppm	Cs ppm	Cu ppm
		0.02	0.001	0.01	0.01	0.2	10	0.05	0.01	0.01	0.02	0.01	0.1	1	0.05	0.2
388701		8.73	0.002	0.25	7.05	0.3	290	0.90	0.15	1.54	0.17	24.3	31.7	82	9.13	57.0
388702		7.13	0.008	0.61	6.88	<0.2	250	0.93	0.20	1.50	0.27	27.4	43.0	64	7.11	135.0
388703		5.29	0.007	0.64	6.07	<0.2	220	0.39	0.27	1.11	0.35	14.70	55.6	58	3.27	167.5
388704		6.26	0.007	0.82	5.38	<0.2	170	0.53	0.31	0.86	0.24	18.55	55.9	52	1.93	196.0
388705		0.12	0.127	60.6	3.35	156.0	340	0.44	65.7	2.05	360	8.88	92.7	85	2.31	>10000
388706		7.73	0.005	0.63	5.86	0.3	200	0.52	0.25	1.08	0.30	25.4	47.1	52	2.42	142.5
388707		7.74	0.005	0.82	6.46	<0.2	210	0.75	0.30	1.36	0.32	30.5	50.7	59	2.84	187.5
388708		7.08	0.004	0.49	6.68	0.4	200	0.78	0.18	1.42	0.28	27.8	36.6	67	2.58	118.5
388709		9.80	0.005	0.52	6.46	<0.2	190	0.58	0.17	1.14	0.29	22.5	61.8	62	1.90	123.5
388710		0.18	<0.001	0.01	0.05	<0.2	70	<0.05	0.01	19.40	0.04	1.23	0.6	2	0.25	2.4
388711		3.56	0.005	0.55	6.29	0.2	210	0.46	0.19	1.13	0.29	22.9	77.2	60	2.64	122.5
388712		4.64	0.004	0.40	7.04	0.7	240	0.47	0.12	1.26	0.27	25.4	29.1	70	2.88	96.5
388713		7.12	0.004	0.46	6.87	<0.2	220	0.72	0.15	1.30	0.26	25.2	31.8	68	3.80	107.0
388714		5.44	0.006	0.48	6.86	0.4	190	0.78	0.19	1.33	0.23	23.6	41.6	66	3.31	117.0
388715		0.07	1.150	44.6	4.28	120.5	270	0.80	23.8	1.50	130.5	31.6	270	27	1.25	>10000
388716		4.16	0.006	0.55	6.51	0.3	300	0.50	0.17	1.25	0.28	49.0	32.1	62	3.20	138.5
388717		3.82	0.005	0.58	5.98	0.2	230	0.53	0.18	1.27	0.26	31.7	34.5	60	3.07	158.0
388718		6.62	0.004	0.46	6.54	0.2	190	0.82	0.14	1.58	0.26	24.9	36.1	62	2.93	117.5
388719		5.98	0.003	0.31	7.50	0.7	250	0.82	0.10	1.79	0.44	27.5	26.9	70	3.21	73.5
388720		0.21	<0.001	0.01	0.07	0.7	90	<0.05	0.01	20.0	0.05	1.48	0.6	1	0.23	3.5



ALS Canada Ltd.
 2103 Dollarton Hwy
 North Vancouver BC V7H 0A7
 Téléphone: +1 (604) 984 0221 Télécopieur: +1 (604) 984 0218
 www.alsglobal.com/geochemistry

À: **MINIÈRE OSISKO INC.**
300, RUE ST-PAUL
BUREAU 200
QUEBEC QC G1K 7R1

Page: 2 - B
 Nombre total de pages: 2 (A - D)
 plus les pages d'annexe
 Finalisée date: 26-JUIL-2018
 Compte: MINVIR

Projet: Eléonore JV

CERTIFICAT D'ANALYSE VO18163599

Description échantillon	Méthode élément unités LDI	ME-MS61	ME-MS61	ME-MS61	ME-MS61	ME-MS61	ME-MS61	ME-MS61	ME-MS61	ME-MS61	ME-MS61	ME-MS61	ME-MS61	ME-MS61	ME-MS61	
		Fe %	Ga ppm	Ge ppm	Hf ppm	In ppm	K %	La ppm	Li ppm	Mg %	Mn ppm	Mo ppm	Na %	Nb ppm	Ni ppm	P ppm
388701		10.50	18.40	0.07	1.6	0.055	1.39	10.4	30.0	1.45	2960	0.94	1.62	3.8	44.2	490
388702		12.15	16.65	0.08	1.7	0.055	1.18	12.1	24.1	1.35	3360	2.78	1.54	3.5	50.1	490
388703		14.95	14.35	0.08	0.9	0.055	0.90	6.7	21.4	1.35	4320	1.65	1.09	3.0	64.3	420
388704		13.60	13.95	0.08	1.0	0.046	0.73	8.4	20.2	1.11	2640	1.37	1.23	2.4	63.8	300
388705		16.15	16.20	0.24	0.4	2.46	0.61	3.3	28.1	1.13	636	35.3	0.66	1.7	49.5	360
388706		11.10	14.45	0.07	1.1	0.043	0.80	11.2	22.1	1.05	2720	1.26	1.52	2.7	51.3	320
388707		12.30	15.70	0.09	1.4	0.048	0.95	13.3	23.5	1.26	2780	1.17	1.63	3.2	66.4	720
388708		12.15	17.35	0.06	1.7	0.054	0.86	11.9	18.8	1.23	3390	0.76	1.56	3.2	46.2	400
388709		13.30	16.60	0.07	1.4	0.062	0.73	9.9	18.6	1.35	3850	1.11	1.25	3.0	49.4	370
388710		0.17	0.19	0.05	<0.1	<0.005	0.02	0.7	8.9	13.45	317	0.09	0.02	0.1	0.7	30
388711		14.10	15.95	0.07	0.6	0.059	0.86	9.9	18.1	1.26	3570	2.67	1.30	2.9	47.6	420
388712		12.95	16.90	0.08	0.8	0.052	0.96	11.1	19.4	1.29	3730	14.35	1.63	3.4	36.4	250
388713		12.20	17.85	0.08	1.4	0.057	1.17	11.1	23.7	1.42	3350	0.89	1.54	3.3	44.4	430
388714		12.55	16.50	0.08	1.4	0.051	0.96	10.5	19.1	1.26	3540	0.69	1.63	3.4	47.3	300
388715		16.10	23.1	0.13	2.9	4.22	0.91	14.8	9.3	1.22	638	17.05	0.47	4.6	18.8	550
388716		12.50	16.90	0.07	1.2	0.057	1.18	23.3	20.9	1.28	3230	1.07	1.50	3.5	43.8	330
388717		12.65	15.00	0.08	1.2	0.056	1.15	14.1	21.5	1.31	3250	1.67	1.26	3.0	57.5	490
388718		11.50	17.10	0.08	1.4	0.046	1.09	11.0	20.5	1.29	3500	0.68	1.46	3.0	45.6	480
388719		9.29	18.65	0.07	1.3	0.053	1.19	12.3	23.9	1.34	3400	0.53	1.91	3.4	39.0	550
388720		0.12	0.26	0.07	<0.1	<0.005	0.03	0.8	8.7	13.75	314	0.11	0.02	0.1	0.8	20



ALS Canada Ltd.
 2103 Dollarton Hwy
 North Vancouver BC V7H 0A7
 Téléphone: +1 (604) 984 0221 Télécopieur: +1 (604) 984 0218
 www.alsglobal.com/geochemistry

À: **MINIÈRE OSISKO INC.**
300, RUE ST-PAUL
BUREAU 200
QUEBEC QC G1K 7R1

Page: 2 - C
 Nombre total de pages: 2 (A - D)
 plus les pages d'annexe
 Finalisée date: 26-JUIL-2018
 Compte: MINVIR

Projet: Eléonore JV

CERTIFICAT D'ANALYSE VO18163599

Description échantillon	Méthode élément unités LDI	ME-MS61	ME-MS61	ME-MS61	ME-MS61	ME-MS61	ME-MS61	ME-MS61	ME-MS61	ME-MS61	ME-MS61	ME-MS61	ME-MS61	ME-MS61	ME-MS61	
		Pb ppm	Rb ppm	Re ppm	S %	Sb ppm	Sc ppm	Se ppm	Sn ppm	Sr ppm	Ta ppm	Te ppm	Th ppm	Ti %	Tl ppm	U ppm
		0.5	0.1	0.002	0.01	0.05	0.1	1	0.2	0.2	0.05	0.05	0.01	0.005	0.02	0.1
388701		12.9	49.1	0.002	1.86	0.05	24.6	<1	0.8	321	0.37	0.06	1.57	0.466	0.44	0.6
388702		11.9	36.5	0.002	4.41	<0.05	22.1	1	0.8	312	0.35	0.18	1.95	0.423	0.38	0.7
388703		8.8	27.0	0.003	5.71	<0.05	25.0	2	0.6	205	0.21	0.15	0.87	0.393	0.30	0.3
388704		8.6	23.8	0.002	5.41	<0.05	16.7	1	0.5	198.5	0.14	0.16	1.19	0.310	0.22	0.4
388705		>10000	22.3	0.019	>10.0	92.3	11.9	63	11.7	71.3	0.13	0.10	0.77	0.232	6.36	2.9
388706		15.0	23.9	0.002	4.29	0.07	17.1	1	0.5	287	0.16	0.14	1.80	0.347	0.24	0.6
388707		10.1	27.6	0.003	5.89	<0.05	20.2	2	0.6	292	0.20	0.17	2.20	0.384	0.28	0.7
388708		9.2	24.3	<0.002	4.03	<0.05	20.5	1	0.6	341	0.21	0.10	1.85	0.411	0.24	0.5
388709		7.3	21.6	0.003	3.90	<0.05	22.5	1	0.7	270	0.19	0.13	1.55	0.413	0.22	0.5
388710		3.7	0.7	<0.002	0.02	0.09	0.2	<1	<0.2	138.5	<0.05	<0.05	0.08	<0.005	0.04	0.2
388711		8.2	24.9	<0.002	4.65	<0.05	20.8	1	0.7	288	0.18	0.12	1.43	0.408	0.26	0.3
388712		10.3	27.6	0.003	3.13	<0.05	22.7	1	0.7	347	0.23	0.07	1.89	0.449	0.30	0.4
388713		10.8	34.5	<0.002	3.31	<0.05	24.1	1	0.7	326	0.21	0.07	1.68	0.440	0.33	0.5
388714		11.8	28.0	0.003	3.95	<0.05	22.0	1	0.7	319	0.21	0.06	1.53	0.425	0.31	0.4
388715		6140	33.1	<0.002	>10.0	71.9	7.9	35	7.9	39.0	0.32	0.83	3.95	0.117	1.02	1.3
388716		13.8	39.1	<0.002	3.82	0.05	20.7	1	0.8	279	0.21	0.08	11.80	0.425	0.38	0.5
388717		9.2	39.0	0.002	4.93	<0.05	21.9	1	0.7	217	0.18	0.05	3.90	0.386	0.39	0.4
388718		9.6	32.8	<0.002	3.69	<0.05	20.1	1	0.6	234	0.18	0.07	1.81	0.391	0.35	0.4
388719		13.9	33.7	<0.002	2.29	<0.05	21.6	1	0.6	282	0.20	0.05	1.83	0.404	0.38	0.4
388720		1.1	1.2	<0.002	0.01	0.08	0.2	<1	<0.2	147.5	<0.05	<0.05	0.09	<0.005	0.05	0.2



ALS Canada Ltd.
 2103 Dollarton Hwy
 North Vancouver BC V7H 0A7
 Téléphone: +1 (604) 984 0221 Télécopieur: +1 (604) 984 0218
 www.alsglobal.com/geochemistry

À: **MINIÈRE OSISKO INC.**
300, RUE ST-PAUL
BUREAU 200
QUEBEC QC G1K 7R1

Page: 2 - D
 Nombre total de pages: 2 (A - D)
 plus les pages d'annexe
 Finalisée date: 26-JUIL-2018
 Compte: MINVIR

Projet: Eléonore JV

CERTIFICAT D'ANALYSE VO18163599

Description échantillon	Méthode élément unités LDI	ME-MS61	ME-MS61	ME-MS61	ME-MS61	ME-MS61	Cu-OG62	Pb-OG62	Zn-OG62
		V	W	Y	Zn	Zr	Cu	Pb	Zn
		ppm	ppm	ppm	ppm	ppm	%	%	%
		1	0.1	0.1	2	0.5	0.001	0.001	0.001
388701		183	0.4	19.8	126	58.6			
388702		147	0.5	18.0	102	60.3			
388703		155	0.3	22.4	87	31.7			
388704		136	0.1	14.3	70	36.8			
388705		99	57.6	10.6	>10000	12.6	1.365	1.595	7.31
388706		133	0.3	13.4	104	41.3			
388707		140	0.1	17.5	98	51.6			
388708		166	0.2	17.3	83	66.5			
388709		171	0.1	21.4	112	50.2			
388710		2	0.1	0.7	15	1.0			
388711		167	0.2	19.7	99	20.7			
388712		171	0.2	20.1	117	28.7			
388713		182	0.1	20.5	116	52.8			
388714		138	0.1	18.2	110	51.6			
388715		30	4.0	13.4	>10000	111.5	3.05		2.31
388716		146	0.1	18.1	119	39.2			
388717		148	0.1	20.2	111	44.0			
388718		151	0.1	17.0	105	53.8			
388719		158	0.1	17.5	149	48.0			
388720		1	0.1	0.7	11	1.1			



ALS Canada Ltd.
 2103 Dollarton Hwy
 North Vancouver BC V7H 0A7
 Téléphone: +1 (604) 984 0221 Télécopieur: +1 (604) 984 0218
 www.alsglobal.com/geochemistry

À: **MINIÈRE OSISKO INC.**
300, RUE ST-PAUL
BUREAU 200
QUEBEC QC G1K 7R1

Page: Annexe 1
Total # les pages d'annexe: 1
Finalisée date: 26-JUIL-2018
Compte: MINVIR

Projet: Eléonore JV

CERTIFICAT D'ANALYSE VO18163599

COMMENTAIRE DE CERTIFICAT

COMMENTAIRES ANALYTIQUES

Applique à la Méthode: L'analyse des terres rares peut être partiellement soluble avec cette méthode.
 ME-MS61

ADRESSE DE LABORATOIRE

Applique à la Méthode: Traité à ALS Thunder Bay, 645 Norah Crescent, Thunder Bay, ON, Canada
 CRU-31 CRU-QC LOG-21 LOG-23
 PUL-31 PUL-QC SPL-21 WEI-21

Applique à la Méthode: Traité à ALS Vancouver, 2103 Dollarton Hwy, North Vancouver, BC, Canada.
 Au-ICP21 Cu-OG62 ME-MS61 ME-OG62
 Pb-OG62 Zn-OG62



ALS Canada Ltd.
2103 Dollarton Hwy
North Vancouver BC V7H 0A7
Téléphone: +1 (604) 984 0221 Télécopieur: +1 (604) 984 0218
www.alsglobal.com/geochemistry

À: **MINIÈRE OSISKO INC.**
300, RUE ST-PAUL
BUREAU 200
QUEBEC QC G1K 7R1

Page: 1
Nombre total de pages: 2 (A - D)
plus les pages d'annexe
Finalisée date: 29-JUIL-2018
Compte: MINVIR

CERTIFICAT VO18163603

Projet: Eléonore JV
Bon de commande #: EJV-002
Ce rapport s'applique aux 20 échantillons de channel soumis à notre laboratoire de Val d'Or, QC, Canada le 7-JUIL-2018.
Les résultats sont transmis à:
CHARLES GAUMOND | CORPORATIF WEBTRIEVE

PRÉPARATION ÉCHANTILLONS

CODE ALS	DESCRIPTION
WEI-21	Poids échantillon reçu
LOG-21	Entrée échantillon - Code barre client
LOG-23	Entrée pulpe - Reçu avec code barre
CRU-QC	Test concassage QC
PUL-QC	Test concassage QC
CRU-31	Granulation - 70 % <2 mm
SPL-21	Échant. fractionné - div. riffles
PUL-31	Pulvérisé à 85 % <75 um

PROCÉDURES ANALYTIQUES

CODE ALS	DESCRIPTION	INSTRUMENT
ME-OG62	Teneur marchande éléments - quatre acides	ICP-AES
Cu-OG62	Teneur marchande Cu - quatre acides	
Pb-OG62	Teneur marchande Pb - quatre acides	
Zn-OG62	Teneur marchande Zn - quatre acides	
Au-ICP21	Au 30 g FA fini ICP-AES	ICP-AES
ME-MS61	ICP-MS 48 éléments, quatre acides	

Ce rapport est final et remplace tout autre rapport préliminaire portant ce numéro de certificat. Les résultats s'appliquent aux échantillons soumis. Toutes les pages de ce rapport ont été vérifiées et approuvées avant publication.

***** Voir la page d'annexe pour les commentaires en ce qui concerne ce certificat *****

Signature:

Colin Ramshaw, Vancouver Laboratory Manager



ALS Canada Ltd.
 2103 Dollarton Hwy
 North Vancouver BC V7H 0A7
 Téléphone: +1 (604) 984 0221 Télécopieur: +1 (604) 984 0218
 www.alsglobal.com/geochemistry

À: **MINIÈRE OSISKO INC.**
300, RUE ST-PAUL
BUREAU 200
QUEBEC QC G1K 7R1

Page: 2 - A
 Nombre total de pages: 2 (A - D)
 plus les pages d'annexe
 Finalisée date: 29-JUIL-2018
 Compte: MINVIR

Projet: Eléonore JV

CERTIFICAT D'ANALYSE VO18163603

Description échantillon	Méthode élément unités LDI	WEI-21	Au-ICP21	ME-MS61	ME-MS61	ME-MS61	ME-MS61	ME-MS61	ME-MS61	ME-MS61	ME-MS61	ME-MS61	ME-MS61	ME-MS61	ME-MS61	
		Poids reçu kg	Au ppm	Ag ppm	Al %	As ppm	Ba ppm	Be ppm	Bi ppm	Ca %	Cd ppm	Ce ppm	Co ppm	Cr ppm	Cs ppm	Cu ppm
		0.02	0.001	0.01	0.01	0.2	10	0.05	0.01	0.01	0.02	0.01	0.1	1	0.05	0.2
388721		5.42	<0.001	0.11	8.21	0.3	410	0.82	0.04	2.18	0.26	35.1	30.0	76	4.82	51.2
388722		7.18	<0.001	0.13	7.99	0.3	430	1.18	0.03	1.72	0.22	34.0	32.5	86	4.64	67.3
388723		2.90	<0.001	0.12	7.51	<0.2	500	0.87	0.02	1.24	0.26	38.5	33.9	79	4.34	76.9
388724		4.20	<0.001	0.14	8.13	<0.2	440	0.75	0.10	3.26	0.22	34.8	44.3	195	4.25	84.5
388725		0.12	0.107	60.2	3.47	162.5	160	0.42	63.6	2.15	380	8.98	98.2	90	2.53	>10000
388726		5.54	0.001	0.12	8.02	0.3	850	1.52	0.24	6.30	0.20	112.5	31.0	91	0.50	36.0
388727		4.72	0.004	0.08	7.85	0.6	1000	1.34	0.16	6.00	0.06	110.0	27.7	83	0.44	70.8
388728		4.59	<0.001	0.07	7.93	0.4	990	1.29	0.14	6.08	0.07	111.0	28.8	76	0.33	72.9
388729		4.18	0.001	0.04	7.99	0.3	530	1.93	0.11	6.72	0.15	121.0	26.6	102	0.32	11.3
388730		0.24	<0.001	0.01	0.06	0.7	80	0.05	0.01	19.85	0.04	1.96	0.7	1	0.21	2.7
388731		2.06	0.001	0.06	8.45	0.6	490	2.03	0.16	7.35	0.18	131.5	31.7	136	0.41	57.3
388732		2.75	<0.001	0.06	8.46	0.3	600	2.03	0.19	7.58	0.14	148.5	29.7	114	0.47	24.1
388733		2.73	0.001	0.25	7.54	0.5	310	1.95	0.20	6.43	0.27	80.5	38.0	364	0.80	63.9
388734		5.06	0.012	1.71	5.20	0.5	90	0.37	1.18	1.02	0.30	35.2	177.5	162	1.07	888
388735		0.07	1.150	45.7	4.33	114.5	310	0.65	23.6	1.50	128.5	32.5	272	27	1.15	>10000
388736		4.58	0.001	0.26	8.18	0.5	250	0.84	0.08	9.13	0.14	50.5	46.9	237	0.46	56.9
388737		1.69	0.003	0.56	7.84	0.6	200	0.75	0.16	8.06	0.14	45.8	48.3	230	0.47	93.0
388738		1.79	<0.001	0.19	8.16	0.7	300	0.84	0.17	8.57	0.29	53.5	45.0	243	0.61	29.3
388739		2.46	0.002	0.64	7.84	0.8	210	0.79	0.31	8.29	0.92	49.9	49.9	219	0.40	109.0
388740		0.23	<0.001	0.01	0.07	0.4	50	0.05	0.01	19.65	0.04	1.27	0.7	1	0.24	4.3



ALS Canada Ltd.
 2103 Dollarton Hwy
 North Vancouver BC V7H 0A7
 Téléphone: +1 (604) 984 0221 Télécopieur: +1 (604) 984 0218
 www.alsglobal.com/geochemistry

À: **MINIÈRE OSISKO INC.**
300, RUE ST-PAUL
BUREAU 200
QUEBEC QC G1K 7R1

Page: 2 - B
 Nombre total de pages: 2 (A - D)
 plus les pages d'annexe
 Finalisée date: 29-JUIL-2018
 Compte: MINVIR

Projet: Eléonore JV

CERTIFICAT D'ANALYSE VO18163603

Description échantillon	Méthode élément unités LDI	ME-MS61	ME-MS61	ME-MS61	ME-MS61	ME-MS61	ME-MS61	ME-MS61	ME-MS61	ME-MS61	ME-MS61	ME-MS61	ME-MS61	ME-MS61	ME-MS61	
		Fe %	Ga ppm	Ge ppm	Hf ppm	In ppm	K %	La ppm	Li ppm	Mg %	Mn ppm	Mo ppm	Na %	Nb ppm	Ni ppm	P ppm
388721		5.84	20.8	0.10	1.3	0.043	1.19	16.3	27.5	1.33	1270	1.01	2.33	3.6	42.2	450
388722		5.97	20.3	0.10	1.0	0.041	1.30	15.7	31.7	1.39	1160	1.22	2.42	3.8	47.1	320
388723		5.91	19.55	0.10	0.8	0.041	1.34	18.0	39.3	1.42	1080	0.93	2.30	3.9	45.2	280
388724		7.51	21.8	0.12	1.5	0.056	1.34	15.7	33.0	2.69	1490	0.74	2.35	4.8	110.0	560
388725		16.90	17.65	0.26	0.4	2.39	0.63	3.6	28.7	1.19	664	36.7	0.69	1.9	52.6	410
388726		6.22	22.0	0.19	3.4	0.050	1.53	48.5	9.9	2.39	1110	1.22	2.81	6.8	57.6	1640
388727		6.27	21.2	0.13	3.3	0.053	1.72	49.6	10.0	2.40	1120	1.68	2.70	6.4	53.2	1690
388728		6.44	21.4	0.15	3.2	0.052	1.42	49.3	13.0	2.33	1140	3.30	2.94	6.2	57.0	1620
388729		6.03	22.1	0.16	2.6	0.056	1.00	52.5	12.4	2.29	1270	7.99	3.04	7.5	56.8	1520
388730		0.09	0.26	0.17	<0.1	<0.005	0.02	1.1	7.7	13.25	319	0.06	0.03	0.1	0.5	30
388731		7.22	22.8	0.16	3.2	0.062	1.03	61.0	15.6	2.92	1400	3.73	2.89	9.5	83.3	1860
388732		6.96	22.4	0.18	2.6	0.060	1.02	61.4	14.8	2.52	1340	12.90	2.95	7.3	81.4	1660
388733		9.33	23.0	0.13	2.2	0.097	1.16	30.6	22.6	4.64	1820	5.68	2.19	10.4	157.5	850
388734		26.3	14.10	0.10	0.7	0.061	0.18	16.1	81.1	1.77	791	19.20	0.65	2.6	433	520
388735		16.25	22.4	0.14	2.9	3.93	0.92	16.3	9.3	1.24	632	15.50	0.48	4.3	18.7	560
388736		10.90	23.6	0.08	1.2	0.076	0.94	22.4	16.9	2.74	1320	0.86	1.98	2.9	174.0	830
388737		11.10	21.6	0.08	1.1	0.067	0.69	20.5	15.6	2.48	1200	0.84	2.31	2.6	175.5	780
388738		10.55	23.7	0.08	1.2	0.080	1.04	24.1	18.3	2.78	1400	1.06	2.18	3.0	173.5	860
388739		10.65	21.5	0.08	1.2	0.082	0.78	23.0	14.4	2.93	1540	1.46	2.16	3.0	152.5	800
388740		0.11	0.27	0.17	0.1	<0.005	0.03	0.8	12.4	13.80	325	0.07	0.03	0.1	0.7	20



ALS Canada Ltd.
 2103 Dollarton Hwy
 North Vancouver BC V7H 0A7
 Téléphone: +1 (604) 984 0221 Télécopieur: +1 (604) 984 0218
 www.alsglobal.com/geochemistry

À: **MINIÈRE OSISKO INC.**
300, RUE ST-PAUL
BUREAU 200
QUEBEC QC G1K 7R1

Page: 2 - C
 Nombre total de pages: 2 (A - D)
 plus les pages d'annexe
 Finalisée date: 29-JUIL-2018
 Compte: MINVIR

Projet: Eléonore JV

CERTIFICAT D'ANALYSE VO18163603

Description échantillon	Méthode élément unités LDI	ME-MS61	ME-MS61	ME-MS61	ME-MS61	ME-MS61	ME-MS61	ME-MS61	ME-MS61	ME-MS61	ME-MS61	ME-MS61	ME-MS61	ME-MS61	ME-MS61	
		Pb	Rb	Re	S	Sb	Sc	Se	Sn	Sr	Ta	Te	Th	Ti	Tl	U
		ppm	ppm	ppm	%	ppm	ppm	ppm	ppm	ppm	ppm	ppm	ppm	%	ppm	ppm
		0.5	0.1	0.002	0.01	0.05	0.1	1	0.2	0.2	0.05	0.05	0.01	0.005	0.02	0.1
388721		16.7	36.0	<0.002	0.61	<0.05	19.0	1	0.6	423	0.17	0.05	2.49	0.428	0.35	0.5
388722		12.7	38.9	<0.002	0.71	<0.05	19.9	1	0.6	405	0.19	<0.05	2.76	0.446	0.33	0.5
388723		10.7	40.6	0.002	0.69	<0.05	20.4	1	0.6	402	0.16	<0.05	3.26	0.447	0.32	0.5
388724		9.2	42.2	<0.002	0.72	<0.05	26.5	1	1.0	541	0.22	0.06	2.85	0.595	0.35	0.6
388725		>10000	23.8	0.020	>10.0	91.9	13.3	65	12.8	75.2	0.14	0.10	0.89	0.241	6.87	3.2
388726		17.1	24.0	<0.002	0.05	0.07	20.8	<1	1.1	1005	0.32	<0.05	10.15	0.493	0.26	1.6
388727		9.5	26.8	<0.002	0.08	0.06	18.3	1	0.9	1090	0.33	<0.05	9.24	0.510	0.23	1.6
388728		10.9	21.1	<0.002	0.10	<0.05	18.3	1	0.9	1050	0.32	<0.05	9.29	0.497	0.21	1.7
388729		14.2	14.5	<0.002	0.03	<0.05	19.9	1	1.3	885	0.51	<0.05	11.70	0.468	0.13	1.8
388730		1.5	0.7	<0.002	<0.01	0.08	0.2	1	<0.2	163.5	<0.05	<0.05	0.15	<0.005	0.03	0.4
388731		19.8	15.7	<0.002	0.22	<0.05	23.1	1	1.3	851	0.57	<0.05	14.30	0.567	0.15	2.6
388732		15.2	19.9	0.003	0.11	<0.05	20.9	1	1.3	932	0.59	<0.05	17.35	0.471	0.13	2.9
388733		6.8	45.3	0.003	0.99	<0.05	35.5	1	2.2	448	0.55	0.12	6.90	0.580	0.23	0.7
388734		9.6	11.6	0.004	>10.0	<0.05	17.0	1	1.1	79.7	0.15	1.27	2.87	0.541	0.07	0.5
388735		6160	35.0	<0.002	>10.0	68.7	7.5	34	7.0	37.8	0.33	0.83	3.93	0.116	0.94	1.3
388736		11.2	47.8	<0.002	0.99	0.15	26.7	1	1.0	985	0.18	0.23	2.62	0.884	0.22	0.8
388737		11.2	40.7	<0.002	1.99	0.13	25.8	1	0.9	878	0.15	0.49	2.32	0.861	0.18	0.5
388738		20.4	60.4	<0.002	0.73	0.11	27.3	1	1.0	829	0.19	0.14	3.42	0.896	0.26	1.4
388739		27.4	37.0	<0.002	2.30	0.09	26.6	1	0.9	798	0.20	0.50	3.30	0.871	0.17	1.2
388740		1.4	1.4	<0.002	0.01	0.09	0.1	1	<0.2	140.5	<0.05	<0.05	0.10	0.005	0.03	0.2



ALS Canada Ltd.
 2103 Dollarton Hwy
 North Vancouver BC V7H 0A7
 Téléphone: +1 (604) 984 0221 Télécopieur: +1 (604) 984 0218
 www.alsglobal.com/geochemistry

À: **MINIÈRE OSISKO INC.**
300, RUE ST-PAUL
BUREAU 200
QUEBEC QC G1K 7R1

Page: 2 - D
 Nombre total de pages: 2 (A - D)
 plus les pages d'annexe
 Finalisée date: 29-JUIL-2018
 Compte: MINVIR

Projet: Eléonore JV

CERTIFICAT D'ANALYSE VO18163603

Description échantillon	Méthode élément unités LDI	ME-MS61	ME-MS61	ME-MS61	ME-MS61	ME-MS61	Cu-OG62	Pb-OG62	Zn-OG62
		V	W	Y	Zn	Zr	Cu	Pb	Zn
		ppm	ppm	ppm	ppm	ppm	%	%	%
		1	0.1	0.1	2	0.5	0.001	0.001	0.001
388721		143	0.1	15.2	126	41.0			
388722		155	0.1	14.6	122	37.5			
388723		157	<0.1	13.6	172	30.8			
388724		185	0.2	13.9	112	52.1			
388725		103	61.8	11.6	>10000	12.0	1.375	1.625	7.32
388726		173	0.2	18.5	122	130.5			
388727		179	0.1	17.8	84	130.0			
388728		180	0.2	18.0	92	128.5			
388729		168	0.2	22.0	108	96.3			
388730		2	0.2	1.0	15	1.2			
388731		201	0.3	24.3	125	118.5			
388732		172	0.3	22.7	107	91.8			
388733		229	0.2	32.1	189	67.9			
388734		141	0.2	12.7	93	18.2			
388735		30	4.0	14.0	>10000	111.5	3.17		2.42
388736		237	0.3	21.0	135	24.7			
388737		217	0.2	19.2	121	21.3			
388738		242	0.3	21.9	149	24.8			
388739		215	0.4	21.2	306	25.3			
388740		2	0.1	0.6	14	1.6			



ALS Canada Ltd.
 2103 Dollarton Hwy
 North Vancouver BC V7H 0A7
 Téléphone: +1 (604) 984 0221 Télécopieur: +1 (604) 984 0218
 www.alsglobal.com/geochemistry

À: **MINIÈRE OSISKO INC.**
300, RUE ST-PAUL
BUREAU 200
QUEBEC QC G1K 7R1

Page: Annexe 1
Total # les pages d'annexe: 1
Finalisée date: 29-JUIL-2018
Compte: MINVIR

Projet: Eléonore JV

CERTIFICAT D'ANALYSE VO18163603

COMMENTAIRE DE CERTIFICAT

COMMENTAIRES ANALYTIQUES

Applique à la Méthode: L'analyse des terres rares peut être partiellement soluble avec cette méthode.
 ME-MS61

ADRESSE DE LABORATOIRE

Applique à la Méthode: Traité à ALS Thunder Bay, 645 Norah Crescent, Thunder Bay, ON, Canada
 CRU-31 CRU-QC LOG-21 LOG-23
 PUL-31 PUL-QC SPL-21 WEI-21

Applique à la Méthode: Traité à ALS Vancouver, 2103 Dollarton Hwy, North Vancouver, BC, Canada.
 Au-ICP21 Cu-OG62 ME-MS61 ME-OG62
 Pb-OG62 Zn-OG62



ALS Canada Ltd.
2103 Dollarton Hwy
North Vancouver BC V7H 0A7
Téléphone: +1 (604) 984 0221 Télécopieur: +1 (604) 984 0218
www.alsglobal.com/geochemistry

À: **MINIÈRE OSISKO INC.**
300, RUE ST-PAUL
BUREAU 200
QUEBEC QC G1K 7R1

Page: 1
Nombre total de pages: 2 (A - D)
plus les pages d'annexe
Finalisée date: 25-JUIL-2018
Compte: MINVIR

CERTIFICAT VO18163605

Projet: Eléonore JV

Bon de commande #: EJV-003

Ce rapport s'applique aux 20 échantillons de channel soumis à notre laboratoire de Val d'Or, QC, Canada le 7-JUIL-2018.

Les résultats sont transmis à:

CHARLES GAUMOND

CORPORATIF WEBTRIEVE

PRÉPARATION ÉCHANTILLONS

CODE ALS	DESCRIPTION
WEI-21	Poids échantillon reçu
LOG-21	Entrée échantillon - Code barre client
LOG-23	Entrée pulpe - Reçu avec code barre
CRU-QC	Test concassage QC
PUL-QC	Test concassage QC
CRU-31	Granulation - 70 % <2 mm
SPL-21	Échant. fractionné - div. riffles
PUL-31	Pulvérisé à 85 % <75 um

PROCÉDURES ANALYTIQUES

CODE ALS	DESCRIPTION	INSTRUMENT
ME-OG62	Teneur marchande éléments - quatre acides	ICP-AES
Cu-OG62	Teneur marchande Cu - quatre acides	ICP-AES
Pb-OG62	Teneur marchande Pb - quatre acides	ICP-AES
Zn-OG62	Teneur marchande Zn - quatre acides	ICP-AES
Au-ICP21	Au 30 g FA fini ICP-AES	ICP-AES
ME-MS61	ICP-MS 48 éléments, quatre acides	

Ce rapport est final et remplace tout autre rapport préliminaire portant ce numéro de certificat. Les résultats s'appliquent aux échantillons soumis. Toutes les pages de ce rapport ont été vérifiées et approuvées avant publication.

***** Voir la page d'annexe pour les commentaires en ce qui concerne ce certificat *****

Signature:

Colin Ramshaw, Vancouver Laboratory Manager



ALS Canada Ltd.
 2103 Dollarton Hwy
 North Vancouver BC V7H 0A7
 Téléphone: +1 (604) 984 0221 Télécopieur: +1 (604) 984 0218
 www.alsglobal.com/geochemistry

À: **MINIÈRE OSISKO INC.**
300, RUE ST-PAUL
BUREAU 200
QUEBEC QC G1K 7R1

Page: 2 - A
 Nombre total de pages: 2 (A - D)
 plus les pages d'annexe
 Finalisée date: 25-JUIL-2018
 Compte: MINVIR

Projet: Eléonore JV

CERTIFICAT D'ANALYSE VO18163605

Description échantillon	Méthode élément unités LDI	WEI-21	Au-ICP21	ME-MS61	ME-MS61	ME-MS61	ME-MS61	ME-MS61	ME-MS61	ME-MS61	ME-MS61	ME-MS61	ME-MS61	ME-MS61	ME-MS61	
		Poids reçu kg	Au ppm	Ag ppm	Al %	As ppm	Ba ppm	Be ppm	Bi ppm	Ca %	Cd ppm	Ce ppm	Co ppm	Cr ppm	Cs ppm	Cu ppm
		0.02	0.001	0.01	0.01	0.2	10	0.05	0.01	0.01	0.02	0.01	0.1	1	0.05	0.2
388741		4.28	<0.001	0.16	7.85	0.4	240	1.28	0.22	6.63	1.54	42.6	44.5	156	0.38	49.8
388742		5.22	<0.001	0.06	8.20	0.3	710	1.36	0.15	6.24	0.11	99.9	27.9	75	0.40	64.3
388743		7.35	<0.001	0.05	8.13	0.3	980	1.53	0.15	6.27	0.12	92.9	31.2	89	0.65	87.8
388744		6.53	<0.001	0.07	8.18	0.3	640	2.00	0.13	7.22	0.18	107.0	30.0	113	0.34	32.4
388745		0.12	0.111	64.1	3.49	172.5	150	0.43	61.3	2.10	379	8.30	96.7	85	2.23	>10000
388746		4.49	<0.001	0.07	8.13	0.6	820	2.23	0.37	8.14	0.25	125.0	34.1	111	0.45	95.6
388747		1.56	<0.001	0.21	8.44	0.3	530	1.90	0.13	6.82	0.18	140.0	31.3	115	0.43	38.1
388748		2.57	0.001	0.17	8.65	0.3	740	1.39	0.20	5.18	0.16	109.0	51.8	128	0.55	341
388749		6.91	<0.001	0.32	8.26	<0.2	360	1.73	0.13	5.98	0.19	99.9	31.5	165	0.40	45.4
388750		0.16	<0.001	0.02	0.06	0.6	110	0.07	0.03	19.55	0.11	1.59	0.4	2	0.79	2.3
388751		2.83	0.002	0.35	7.79	<0.2	370	1.74	0.24	4.14	0.31	68.5	31.1	250	1.01	87.1
388752		3.13	0.020	1.32	5.96	0.4	130	0.45	1.16	2.68	0.24	32.2	197.5	167	1.20	592
388753		3.45	0.002	0.17	7.76	0.6	230	0.59	0.14	7.98	0.16	42.2	38.4	221	0.38	30.8
388754		6.56	0.002	0.48	7.81	0.3	260	1.62	0.24	4.95	0.30	48.5	43.4	204	0.77	74.7
388755		0.07	1.205	43.9	4.26	121.0	120	0.74	19.50	1.48	131.5	29.5	269	26	1.17	>10000
388756		2.93	<0.001	0.10	8.16	0.5	450	1.89	0.13	5.80	0.22	75.5	29.7	118	0.47	102.0
388757		3.52	0.005	0.10	8.42	0.5	1000	1.58	0.12	6.17	0.22	90.8	29.5	122	0.46	28.1
388758		2.11	0.003	1.50	7.88	0.2	380	1.66	0.42	4.04	0.23	83.5	47.8	200	1.27	1045
388759		5.73	0.001	5.89	7.98	0.3	820	1.52	0.19	4.36	0.14	81.1	30.6	125	1.33	314
388760		3.63	<0.001	1.70	7.95	0.5	710	1.73	0.30	4.54	0.16	102.5	27.0	117	0.73	199.0



ALS Canada Ltd.
 2103 Dollarton Hwy
 North Vancouver BC V7H 0A7
 Téléphone: +1 (604) 984 0221 Télécopieur: +1 (604) 984 0218
 www.alsglobal.com/geochemistry

À: **MINIÈRE OSISKO INC.**
300, RUE ST-PAUL
BUREAU 200
QUEBEC QC G1K 7R1

Page: 2 - B
 Nombre total de pages: 2 (A - D)
 plus les pages d'annexe
 Finalisée date: 25-JUIL-2018
 Compte: MINVIR

Projet: Eléonore JV

CERTIFICAT D'ANALYSE VO18163605

Description échantillon	Méthode élément unités LDI	ME-MS61	ME-MS61	ME-MS61	ME-MS61	ME-MS61	ME-MS61	ME-MS61	ME-MS61	ME-MS61	ME-MS61	ME-MS61	ME-MS61	ME-MS61	ME-MS61	
		Fe %	Ga ppm	Ge ppm	Hf ppm	In ppm	K %	La ppm	Li ppm	Mg %	Mn ppm	Mo ppm	Na %	Nb ppm	Ni ppm	P ppm
388741		9.15	21.1	0.10	1.5	0.069	1.15	16.6	17.6	3.92	1600	1.14	2.40	5.4	137.5	690
388742		6.12	19.85	0.15	3.1	0.054	1.38	45.5	8.1	2.39	1110	1.96	2.90	5.8	47.8	1680
388743		6.86	19.70	0.14	3.2	0.052	1.67	41.7	13.4	2.54	1220	10.05	2.83	5.8	56.6	1620
388744		6.59	20.4	0.15	2.5	0.057	1.02	43.5	12.5	2.59	1360	3.97	2.96	6.9	62.7	1600
388745		17.05	14.95	0.23	0.4	2.36	0.63	3.0	32.0	1.20	649	33.5	0.70	1.6	48.5	400
388746		8.45	19.75	0.16	2.4	0.059	1.03	59.1	18.3	2.80	1460	3.90	2.74	7.0	94.0	1640
388747		7.05	21.6	0.16	3.1	0.067	1.14	68.9	11.3	2.93	1380	0.75	2.96	7.8	74.3	1900
388748		9.10	20.2	0.16	3.0	0.070	1.62	49.2	12.9	2.56	1300	7.73	3.10	6.1	178.0	1670
388749		6.90	21.1	0.15	3.0	0.071	1.12	47.3	9.5	2.79	1340	1.68	3.10	7.3	98.3	1770
388750		0.16	0.28	<0.05	<0.1	<0.005	0.02	1.0	9.7	13.10	415	0.10	0.03	0.1	0.8	20
388751		9.50	22.7	0.11	2.3	0.090	1.39	26.6	28.0	3.27	1500	1.75	2.65	11.0	105.5	1100
388752		21.1	14.70	0.09	0.8	0.071	0.36	14.8	45.3	1.94	890	7.18	1.34	2.2	293	580
388753		10.05	20.1	0.09	1.2	0.073	1.02	20.1	13.1	3.17	1360	0.82	2.28	2.5	149.0	730
388754		9.68	21.3	0.10	1.7	0.080	1.14	21.1	12.6	2.38	1280	6.18	2.64	7.2	130.5	720
388755		15.95	20.7	0.17	2.8	3.87	0.90	14.7	9.8	1.24	627	15.20	0.48	4.3	17.6	540
388756		6.79	22.0	0.12	2.6	0.077	1.26	31.2	10.6	2.57	1360	0.73	2.77	7.7	65.0	1670
388757		6.70	20.2	0.14	2.8	0.057	1.64	40.0	9.3	2.66	1230	1.48	2.81	7.0	61.5	1640
388758		10.05	21.9	0.12	1.8	0.072	1.43	37.7	20.1	2.41	1160	4.16	2.64	8.4	124.5	1080
388759		6.44	19.85	0.14	2.9	0.060	1.81	35.1	17.7	2.45	1180	0.71	3.10	5.9	91.1	1670
388760		5.98	20.1	0.14	2.6	0.051	1.78	45.7	14.4	2.54	1170	0.79	2.96	6.2	68.4	1630



ALS Canada Ltd.
 2103 Dollarton Hwy
 North Vancouver BC V7H 0A7
 Téléphone: +1 (604) 984 0221 Télécopieur: +1 (604) 984 0218
 www.alsglobal.com/geochemistry

À: **MINIÈRE OSISKO INC.**
300, RUE ST-PAUL
BUREAU 200
QUEBEC QC G1K 7R1

Page: 2 - C
 Nombre total de pages: 2 (A - D)
 plus les pages d'annexe
 Finalisée date: 25-JUIL-2018
 Compte: MINVIR

Projet: Eléonore JV

CERTIFICAT D'ANALYSE VO18163605

Description échantillon	Méthode élément unités LDI	ME-MS61	ME-MS61	ME-MS61	ME-MS61	ME-MS61	ME-MS61	ME-MS61	ME-MS61	ME-MS61	ME-MS61	ME-MS61	ME-MS61	ME-MS61	ME-MS61	
		Pb	Rb	Re	S	Sb	Sc	Se	Sn	Sr	Ta	Te	Th	Ti	Tl	U
		ppm	ppm	ppm	%	ppm	ppm	ppm	ppm	ppm	ppm	ppm	ppm	%	ppm	ppm
		0.5	0.1	0.002	0.01	0.05	0.1	1	0.2	0.2	0.05	0.05	0.01	0.005	0.02	0.1
388741		23.2	33.3	<0.002	0.67	0.06	24.1	1	1.3	461	0.33	0.10	2.58	0.772	0.22	1.1
388742		13.3	18.0	<0.002	0.09	<0.05	17.9	<1	1.0	1080	0.31	<0.05	8.37	0.517	0.23	1.6
388743		15.0	23.7	<0.002	0.14	<0.05	18.2	1	1.0	1085	0.29	<0.05	7.92	0.522	0.29	1.3
388744		17.1	10.7	<0.002	0.05	<0.05	21.8	1	1.3	926	0.45	<0.05	14.50	0.477	0.12	1.7
388745		>10000	24.0	0.023	>10.0	92.7	12.5	63	11.8	70.5	0.14	0.09	0.84	0.244	6.41	3.2
388746		18.8	24.7	<0.002	0.21	0.08	21.6	<1	1.2	973	0.56	0.05	15.10	0.501	0.18	2.8
388747		17.1	14.5	<0.002	0.16	<0.05	23.6	1	1.6	887	0.41	<0.05	14.15	0.557	0.16	1.9
388748		15.0	50.8	0.002	1.95	<0.05	23.3	1	1.2	683	0.33	0.15	11.10	0.544	0.40	1.9
388749		13.7	19.7	<0.002	0.34	<0.05	25.1	1	1.6	666	0.41	<0.05	11.50	0.499	0.21	1.5
388750		3.3	1.0	<0.002	0.01	0.15	0.2	<1	<0.2	125.5	<0.05	<0.05	0.25	<0.005	0.12	0.3
388751		6.9	34.2	0.002	1.46	<0.05	25.8	<1	2.2	353	0.66	0.13	7.02	0.668	0.32	1.0
388752		11.1	16.0	0.002	>10.0	<0.05	17.1	1	1.3	262	0.14	0.89	2.31	0.631	0.11	1.0
388753		7.8	40.4	<0.002	0.65	0.16	24.5	<1	0.9	654	0.15	0.13	2.80	0.844	0.24	1.0
388754		10.9	51.7	<0.002	1.48	<0.05	25.8	1	1.7	504	0.55	0.29	8.70	0.710	0.29	3.1
388755		5770	33.4	<0.002	>10.0	68.9	7.8	32	7.2	36.2	0.31	0.79	3.91	0.117	1.02	1.3
388756		14.5	24.3	<0.002	0.40	0.05	26.5	<1	1.9	814	0.34	0.07	12.45	0.487	0.26	1.5
388757		13.6	28.4	0.002	0.19	<0.05	20.8	1	1.3	1020	0.37	0.07	9.08	0.533	0.28	1.5
388758		10.9	57.6	0.002	3.11	<0.05	23.0	1	1.8	438	0.63	0.46	15.40	0.774	0.37	2.8
388759		9.8	34.7	0.002	0.43	<0.05	18.8	<1	1.1	634	0.32	0.09	8.53	0.522	0.46	1.2
388760		11.2	38.2	<0.002	0.19	<0.05	19.2	<1	1.3	624	0.38	0.06	9.06	0.505	0.38	1.8



ALS Canada Ltd.
 2103 Dollarton Hwy
 North Vancouver BC V7H 0A7
 Téléphone: +1 (604) 984 0221 Télécopieur: +1 (604) 984 0218
 www.alsglobal.com/geochemistry

À: **MINIÈRE OSISKO INC.**
300, RUE ST-PAUL
BUREAU 200
QUEBEC QC G1K 7R1

Page: 2 - D
 Nombre total de pages: 2 (A - D)
 plus les pages d'annexe
 Finalisée date: 25-JUIL-2018
 Compte: MINVIR

Projet: Eléonore JV

CERTIFICAT D'ANALYSE VO18163605

Description échantillon	Méthode élément unités LDI	ME-MS61	ME-MS61	ME-MS61	ME-MS61	ME-MS61	Cu-OG62	Pb-OG62	Zn-OG62
		V	W	Y	Zn	Zr	Cu	Pb	Zn
		ppm 1	ppm 0.1	ppm 0.1	ppm 2	ppm 0.5	% 0.001	% 0.001	% 0.001
388741		205	0.2	21.2	312	36.9			
388742		180	0.2	16.8	89	119.0			
388743		187	0.1	16.7	100	124.0			
388744		181	0.2	20.1	109	91.3			
388745		106	60.8	10.6	>10000	10.3	1.370	1.580	7.22
388746		190	0.2	20.8	143	84.1			
388747		198	0.2	22.5	122	112.5			
388748		202	0.1	20.5	101	110.0			
388749		192	0.2	22.2	113	106.0			
388750		3	2.2	0.5	24	1.4			
388751		199	0.2	28.8	172	65.6			
388752		154	0.3	12.0	96	15.4			
388753		222	0.3	17.7	138	27.5			
388754		201	0.5	21.7	149	41.9			
388755		30	4.1	12.9	>10000	107.0	3.13		2.35
388756		184	0.1	22.1	123	89.8			
388757		190	0.1	17.4	115	103.0			
388758		201	0.3	19.5	130	52.9			
388759		219	0.1	16.9	109	111.5			
388760		200	0.2	17.4	106	93.3			



ALS Canada Ltd.
 2103 Dollarton Hwy
 North Vancouver BC V7H 0A7
 Téléphone: +1 (604) 984 0221 Télécopieur: +1 (604) 984 0218
 www.alsglobal.com/geochemistry

À: **MINIÈRE OSISKO INC.**
300, RUE ST-PAUL
BUREAU 200
QUEBEC QC G1K 7R1

Page: Annexe 1
Total # les pages d'annexe: 1
Finalisée date: 25-JUIL-2018
Compte: MINVIR

Projet: Eléonore JV

CERTIFICAT D'ANALYSE VO18163605

COMMENTAIRE DE CERTIFICAT

COMMENTAIRES ANALYTIQUES

Applique à la Méthode: L'analyse des terres rares peut être partiellement soluble avec cette méthode.
 ME-MS61

ADRESSE DE LABORATOIRE

Applique à la Méthode: Traité à ALS Thunder Bay, 645 Norah Crescent, Thunder Bay, ON, Canada

CRU-31	CRU-QC	LOG-21	LOG-23
PUL-31	PUL-QC	SPL-21	WEI-21

Applique à la Méthode: Traité à ALS Vancouver, 2103 Dollarton Hwy, North Vancouver, BC, Canada.

Au-ICP21	Cu-OG62	ME-MS61	ME-OG62
Pb-OG62	Zn-OG62		



ALS Canada Ltd.
2103 Dollarton Hwy
North Vancouver BC V7H 0A7
Téléphone: +1 (604) 984 0221 Télécopieur: +1 (604) 984 0218
www.alsglobal.com/geochemistry

À: **MINIÈRE OSISKO INC.**
300, RUE ST-PAUL
BUREAU 200
QUEBEC QC G1K 7R1

Page: 1
Nombre total de pages: 2 (A - D)
plus les pages d'annexe
Finalisée date: 26-JUIL-2018
Compte: MINVIR

CERTIFICAT VO18163610

Projet: Eléonore JV
Bon de commande #: EJV-004
Ce rapport s'applique à 1 échantillon de channel soumis à notre laboratoire de Val d'Or, QC, Canada le 7-JUIL-2018.
Les résultats sont transmis à:
CHARLES GAUMOND | CORPORATIF WEBTRIEVE

PRÉPARATION ÉCHANTILLONS

CODE ALS	DESCRIPTION
WEI-21	Poids échantillon reçu
LOG-21	Entrée échantillon - Code barre client
CRU-QC	Test concassage QC
PUL-QC	Test concassage QC
CRU-31	Granulation - 70 % <2 mm
SPL-21	Échant. fractionné - div. riffles
PUL-31	Pulvérisé à 85 % <75 um

PROCÉDURES ANALYTIQUES

CODE ALS	DESCRIPTION	INSTRUMENT
Au-ICP21	Au 30 g FA fini ICP-AES	ICP-AES
ME-MS61	ICP-MS 48 éléments, quatre acides	

Ce rapport est final et remplace tout autre rapport préliminaire portant ce numéro de certificat. Les résultats s'appliquent aux échantillons soumis. Toutes les pages de ce rapport ont été vérifiées et approuvées avant publication.

***** Voir la page d'annexe pour les commentaires en ce qui concerne ce certificat *****

Signature:

Colin Ramshaw, Vancouver Laboratory Manager



ALS Canada Ltd.
 2103 Dollarton Hwy
 North Vancouver BC V7H 0A7
 Téléphone: +1 (604) 984 0221 Télécopieur: +1 (604) 984 0218
 www.alsglobal.com/geochemistry

À: **MINIÈRE OSISKO INC.**
300, RUE ST-PAUL
BUREAU 200
QUEBEC QC G1K 7R1

Page: 2 - A
 Nombre total de pages: 2 (A - D)
 plus les pages d'annexe
 Finalisée date: 26-JUIL-2018
 Compte: MINVIR

Projet: Eléonore JV

CERTIFICAT D'ANALYSE VO18163610
--

Description échantillon	Méthode élément unités LDI	WEI-21 Poids reçu kg 0.02	Au-ICP21 Au ppm 0.001	ME-MS61 Ag ppm 0.01	ME-MS61 Al % 0.01	ME-MS61 As ppm 0.2	ME-MS61 Ba ppm 10	ME-MS61 Be ppm 0.05	ME-MS61 Bi ppm 0.01	ME-MS61 Ca % 0.01	ME-MS61 Cd ppm 0.02	ME-MS61 Ce ppm 0.01	ME-MS61 Co ppm 0.1	ME-MS61 Cr ppm 1	ME-MS61 Cs ppm 0.05	ME-MS61 Cu ppm 0.2
388761		2.41	0.002	1.75	8.16	0.2	1040	1.99	0.52	4.47	0.20	79.4	30.9	115	0.96	784



ALS Canada Ltd.
 2103 Dollarton Hwy
 North Vancouver BC V7H 0A7
 Téléphone: +1 (604) 984 0221 Télécopieur: +1 (604) 984 0218
 www.alsglobal.com/geochemistry

À: **MINIÈRE OSISKO INC.**
300, RUE ST-PAUL
BUREAU 200
QUEBEC QC G1K 7R1

Page: 2 - B
Nombre total de pages: 2 (A - D)
plus les pages d'annexe
Finalisée date: 26-JUIL-2018
Compte: MINVIR

Projet: Eléonore JV

CERTIFICAT D'ANALYSE VO18163610

Description échantillon	Méthode élément unités LDI	ME-MS61	ME-MS61	ME-MS61	ME-MS61	ME-MS61	ME-MS61	ME-MS61	ME-MS61	ME-MS61	ME-MS61	ME-MS61	ME-MS61	ME-MS61	ME-MS61	
		Fe %	Ga ppm	Ge ppm	Hf ppm	In ppm	K %	La ppm	Li ppm	Mg %	Mn ppm	Mo ppm	Na %	Nb ppm	Ni ppm	P ppm
388761		8.44	21.0	0.17	2.9	0.050	2.16	35.0	16.3	2.20	1120	8.41	2.68	6.2	86.7	1470

**** Voir la page d'annexe pour les commentaires en ce qui concerne ce certificat ****



ALS Canada Ltd.
 2103 Dollarton Hwy
 North Vancouver BC V7H 0A7
 Téléphone: +1 (604) 984 0221 Télécopieur: +1 (604) 984 0218
 www.alsglobal.com/geochemistry

À: **MINIÈRE OSISKO INC.**
300, RUE ST-PAUL
BUREAU 200
QUEBEC QC G1K 7R1

Page: 2 - C
 Nombre total de pages: 2 (A - D)
 plus les pages d'annexe
 Finalisée date: 26-JUIL-2018
 Compte: MINVIR

Projet: Eléonore JV

CERTIFICAT D'ANALYSE VO18163610

Description échantillon	Méthode élément unités LDI	ME-MS61	ME-MS61	ME-MS61	ME-MS61	ME-MS61	ME-MS61	ME-MS61	ME-MS61	ME-MS61	ME-MS61	ME-MS61	ME-MS61	ME-MS61	ME-MS61	
		Pb	Rb	Re	S	Sb	Sc	Se	Sn	Sr	Ta	Te	Th	Ti	Tl	U
		ppm	ppm	ppm	%	ppm	ppm	ppm	ppm	ppm	ppm	ppm	ppm	%	ppm	ppm
388761		14.6	82.3	0.002	2.28	0.05	17.8	1	1.3	682	0.52	0.23	9.82	0.453	0.50	2.1



ALS Canada Ltd.
2103 Dollarton Hwy
North Vancouver BC V7H 0A7
Téléphone: +1 (604) 984 0221 Télécopieur: +1 (604) 984 0218
www.alsglobal.com/geochemistry

À: **MINIÈRE OSISKO INC.**
300, RUE ST-PAUL
BUREAU 200
QUEBEC QC G1K 7R1

Page: 2 - D
Nombre total de pages: 2 (A - D)
plus les pages d'annexe
Finalisée date: 26-JUIL-2018
Compte: MINVIR

Projet: Eléonore JV

CERTIFICAT D'ANALYSE VO18163610

Description échantillon	Méthode élément unités LDI	ME-MS61	ME-MS61	ME-MS61	ME-MS61	ME-MS61
		V	W	Y	Zn	Zr
		ppm	ppm	ppm	ppm	ppm
388761	1	166	0.1	15.7	2	107.0



ALS Canada Ltd.
2103 Dollarton Hwy
North Vancouver BC V7H 0A7
Téléphone: +1 (604) 984 0221 Télécopieur: +1 (604) 984 0218
www.alsglobal.com/geochemistry

À: **MINIÈRE OSISKO INC.**
300, RUE ST-PAUL
BUREAU 200
QUEBEC QC G1K 7R1

Page: **Annexe 1**
Total # les pages d'annexe: **1**
Finalisée date: **26-JUIL-2018**
Compte: **MINVIR**

Projet: **Eléonore JV**

CERTIFICAT D'ANALYSE VO18163610

COMMENTAIRE DE CERTIFICAT

COMMENTAIRES ANALYTIQUES

Applique à la Méthode: L'analyse des terres rares peut être partiellement soluble avec cette méthode.
ME-MS61

ADRESSE DE LABORATOIRE

Applique à la Méthode: Traité à ALS Thunder Bay, 645 Norah Crescent, Thunder Bay, ON, Canada
CRU-31 CRU-QC LOG-21 PUL-31
PUL-QC SPL-21 WEI-21

Applique à la Méthode: Traité à ALS Vancouver, 2103 Dollarton Hwy, North Vancouver, BC, Canada.
Au-ICP21 ME-MS61



ALS Canada Ltd.
2103 Dollarton Hwy
North Vancouver BC V7H 0A7
Téléphone: +1 (604) 984 0221 Télécopieur: +1 (604) 984 0218
www.alsglobal.com/geochemistry

À: **MINIÈRE OSISKO INC.**
300, RUE ST-PAUL
BUREAU 200
QUEBEC QC G1K 7R1

Page: 1
Nombre total de pages: 2 (A - D)
plus les pages d'annexe
Finalisée date: 24-JUIL-2018
Compte: MINVIR

CERTIFICAT VO18163611

Projet: Eléonore JV
Bon de commande #: EJV-005
Ce rapport s'applique aux 20 échantillons de channel soumis à notre laboratoire de Val d'Or, QC, Canada le 7-JUIL-2018.
Les résultats sont transmis à:
CHARLES GAUMOND | CORPORATIF WEBTRIEVE

PRÉPARATION ÉCHANTILLONS

CODE ALS	DESCRIPTION
WEI-21	Poids échantillon reçu
LOG-21	Entrée échantillon - Code barre client
LOG-23	Entrée pulpe - Reçu avec code barre
CRU-QC	Test concassage QC
PUL-QC	Test concassage QC
CRU-31	Granulation - 70 % <2 mm
SPL-21	Échant. fractionné - div. riffles
PUL-31	Pulvérisé à 85 % <75 um

PROCÉDURES ANALYTIQUES

CODE ALS	DESCRIPTION	INSTRUMENT
Ag-OG62	Teneur marchande Ag - quatre acides	ICP-AES
ME-OG62	Teneur marchande éléments - quatre acides	ICP-AES
Cu-OG62	Teneur marchande Cu - quatre acides	ICP-AES
Pb-OG62	Teneur marchande Pb - quatre acides	ICP-AES
Zn-OG62	Teneur marchande Zn - quatre acides	ICP-AES
Au-ICP21	Au 30 g FA fini ICP-AES	ICP-AES
ME-MS61	ICP-MS 48 éléments, quatre acides	

Ce rapport est final et remplace tout autre rapport préliminaire portant ce numéro de certificat. Les résultats s'appliquent aux échantillons soumis. Toutes les pages de ce rapport ont été vérifiées et approuvées avant publication.

***** Voir la page d'annexe pour les commentaires en ce qui concerne ce certificat *****

Signature:

Colin Ramshaw, Vancouver Laboratory Manager



ALS Canada Ltd.
 2103 Dollarton Hwy
 North Vancouver BC V7H 0A7
 Téléphone: +1 (604) 984 0221 Télécopieur: +1 (604) 984 0218
 www.alsglobal.com/geochemistry

À: **MINIÈRE OSISKO INC.**
300, RUE ST-PAUL
BUREAU 200
QUEBEC QC G1K 7R1

Page: 2 - A
 Nombre total de pages: 2 (A - D)
 plus les pages d'annexe
 Finalisée date: 24-JUIL-2018
 Compte: MINVIR

Projet: Eléonore JV

CERTIFICAT D'ANALYSE VO18163611

Description échantillon	Méthode élément unités LDI	WEI-21	Au-ICP21	ME-MS61	ME-MS61	ME-MS61	ME-MS61	ME-MS61	ME-MS61	ME-MS61	ME-MS61	ME-MS61	ME-MS61	ME-MS61	ME-MS61	
		Poids reçu kg	Au ppm	Ag ppm	Al %	As ppm	Ba ppm	Be ppm	Bi ppm	Ca %	Cd ppm	Ce ppm	Co ppm	Cr ppm	Cs ppm	Cu ppm
		0.02	0.001	0.01	0.01	0.2	10	0.05	0.01	0.01	0.02	0.01	0.1	1	0.05	0.2
388801		4.16	0.002	0.12	7.86	<0.2	740	1.86	0.14	5.60	0.16	86.3	29.3	115	0.59	44.2
388802		3.25	0.002	0.45	7.51	0.3	350	1.43	0.53	5.77	0.21	49.7	44.0	187	0.59	89.0
388803		2.55	<0.001	0.20	8.19	<0.2	780	1.66	0.23	4.62	0.13	100.0	28.7	115	1.02	59.9
388804		2.16	0.001	0.62	7.41	1.0	590	3.13	0.43	5.36	0.20	82.2	24.3	122	0.64	56.7
388805		0.12	0.111	58.8	3.26	158.0	330	0.45	61.0	1.97	347	8.27	92.9	84	2.20	>10000
388806		1.98	0.008	1.45	6.90	0.4	680	2.94	0.64	4.83	0.62	64.9	41.7	104	0.78	605
388807		1.79	0.003	64.0	7.42	<0.2	250	2.22	0.79	4.53	0.16	54.3	24.9	165	0.48	>10000
388808		4.24	0.003	28.2	7.38	<0.2	500	1.39	0.73	4.32	0.16	79.1	36.6	190	0.64	>10000
388809		2.14	0.003	10.65	7.55	0.2	140	1.39	0.67	8.12	0.16	60.3	32.3	193	0.40	8920
388810		0.17	<0.001	0.19	0.14	1.5	280	0.11	0.05	17.05	0.11	1.98	0.8	4	1.04	87.1
388811		3.39	0.002	0.75	7.86	0.4	760	1.71	0.16	5.53	0.21	84.2	29.3	133	0.56	384
388812		2.21	0.003	4.77	7.54	1.0	180	1.07	0.54	6.01	0.20	45.6	47.3	203	0.42	4150
388813		4.79	0.008	>100	7.04	1.0	200	1.77	1.32	4.41	0.14	52.9	28.1	195	0.44	>10000
388814		2.69	<0.001	2.75	7.87	<0.2	970	1.53	0.27	3.60	0.16	97.1	29.1	135	0.99	811
388815		0.07	1.160	42.8	4.23	114.5	310	0.71	21.6	1.49	128.0	30.0	270	28	1.19	>10000
388816		3.58	<0.001	1.68	7.45	0.4	520	2.30	0.30	4.26	0.23	104.0	21.5	105	0.68	358
388817		5.17	<0.001	0.24	7.64	0.9	320	1.01	0.29	6.91	0.32	47.7	41.0	191	0.53	69.9
388818		5.57	0.001	0.19	8.16	<0.2	540	0.97	0.06	3.98	0.06	28.8	17.1	64	0.75	39.6
388819		5.94	<0.001	0.15	8.18	0.4	530	0.73	0.06	3.63	0.06	26.7	16.7	68	0.75	37.6
388820		5.04	0.009	0.84	6.16	0.8	250	0.78	0.71	5.52	0.20	37.3	41.3	175	0.36	1155



ALS Canada Ltd.
 2103 Dollarton Hwy
 North Vancouver BC V7H 0A7
 Téléphone: +1 (604) 984 0221 Télécopieur: +1 (604) 984 0218
 www.alsglobal.com/geochemistry

À: **MINIÈRE OSISKO INC.**
300, RUE ST-PAUL
BUREAU 200
QUEBEC QC G1K 7R1

Page: 2 - B
 Nombre total de pages: 2 (A - D)
 plus les pages d'annexe
 Finalisée date: 24-JUIL-2018
 Compte: MINVIR

Projet: Eléonore JV

CERTIFICAT D'ANALYSE VO18163611

Description échantillon	Méthode élément unités LDI	ME-MS61	ME-MS61	ME-MS61	ME-MS61	ME-MS61	ME-MS61	ME-MS61	ME-MS61	ME-MS61	ME-MS61	ME-MS61	ME-MS61	ME-MS61	ME-MS61	
		Fe %	Ga ppm	Ge ppm	Hf ppm	In ppm	K %	La ppm	Li ppm	Mg %	Mn ppm	Mo ppm	Na %	Nb ppm	Ni ppm	P ppm
388801		6.37	23.7	0.11	3.0	0.064	1.44	35.4	12.5	2.42	1260	3.93	2.67	7.2	66.0	1630
388802		8.63	23.2	0.05	1.6	0.070	1.29	21.1	14.1	2.26	1220	1.90	2.35	5.8	137.5	860
388803		6.14	22.0	0.10	3.1	0.054	1.73	43.9	18.3	2.13	1100	0.52	2.94	5.6	88.8	1640
388804		6.36	21.9	0.17	3.1	0.060	1.46	36.0	10.4	2.39	1140	27.9	2.71	8.3	67.2	1640
388805		15.65	15.70	0.24	0.4	2.33	0.61	3.0	31.2	1.09	612	34.8	0.65	1.7	49.8	370
388806		10.05	19.75	0.13	3.4	0.063	1.87	29.2	17.6	2.04	925	62.3	2.26	5.4	114.5	1430
388807		6.54	21.4	0.13	1.2	0.065	1.07	20.8	11.5	1.85	1100	3.06	3.24	7.4	102.0	860
388808		9.63	21.6	0.13	2.0	0.071	1.24	35.9	23.1	2.17	1150	4.58	2.73	5.9	132.5	1220
388809		8.79	27.7	0.13	1.2	0.096	0.59	29.1	13.6	2.04	1240	2.38	2.34	3.3	126.0	890
388810		0.27	0.50	<0.05	<0.1	<0.005	0.03	1.4	17.1	12.10	391	0.23	0.06	0.1	2.5	70
388811		6.49	22.5	0.13	2.8	0.068	1.57	35.6	9.8	2.33	1180	1.52	2.74	7.1	69.2	1470
388812		10.20	23.5	0.13	1.3	0.092	0.79	19.0	11.9	1.95	1160	6.56	2.55	5.1	144.0	890
388813		8.09	20.9	0.11	1.2	0.065	0.83	24.6	11.9	1.92	1100	12.90	3.13	6.3	103.5	750
388814		6.14	22.8	0.18	3.1	0.061	2.15	41.8	24.8	2.07	1100	0.56	3.12	6.7	94.8	1790
388815		15.80	22.5	0.15	2.9	4.05	0.92	13.9	9.8	1.20	624	16.60	0.47	4.5	18.8	550
388816		5.19	20.7	0.15	2.8	0.055	1.57	47.6	12.7	1.95	960	2.62	2.84	6.8	53.5	1350
388817		9.27	20.7	0.10	1.5	0.068	1.17	23.3	20.9	2.64	1240	1.80	2.50	3.5	154.0	740
388818		3.38	20.7	0.12	1.5	0.028	1.41	11.3	14.4	1.78	553	0.61	3.72	3.6	51.7	650
388819		3.43	20.3	0.14	1.3	0.033	1.43	10.5	17.6	1.77	573	2.91	3.67	3.3	51.3	630
388820		12.65	21.4	0.10	1.0	0.079	0.81	16.1	18.1	2.71	1310	11.50	2.49	2.7	235	690



ALS Canada Ltd.
 2103 Dollarton Hwy
 North Vancouver BC V7H 0A7
 Téléphone: +1 (604) 984 0221 Télécopieur: +1 (604) 984 0218
 www.alsglobal.com/geochemistry

À: **MINIÈRE OSISKO INC.**
300, RUE ST-PAUL
BUREAU 200
QUEBEC QC G1K 7R1

Page: 2 - C
 Nombre total de pages: 2 (A - D)
 plus les pages d'annexe
 Finalisée date: 24-JUIL-2018
 Compte: MINVIR

Projet: Eléonore JV

CERTIFICAT D'ANALYSE VO18163611

Description échantillon	Méthode élément unités LDI	ME-MS61	ME-MS61	ME-MS61	ME-MS61	ME-MS61	ME-MS61	ME-MS61	ME-MS61	ME-MS61	ME-MS61	ME-MS61	ME-MS61	ME-MS61	ME-MS61	
		Pb	Rb	Re	S	Sb	Sc	Se	Sn	Sr	Ta	Te	Th	Ti	Tl	U
		ppm	ppm	ppm	%	ppm	ppm	ppm	ppm	ppm	ppm	ppm	ppm	%	ppm	ppm
		0.5	0.1	0.002	0.01	0.05	0.1	1	0.2	0.2	0.05	0.05	0.01	0.005	0.02	0.1
388801		12.6	26.8	<0.002	0.26	<0.05	23.1	<1	1.7	880	0.35	<0.05	12.90	0.488	0.31	1.5
388802		10.0	50.0	<0.002	1.65	0.07	22.8	1	1.8	556	0.39	0.26	4.17	0.757	0.32	1.9
388803		10.5	39.1	<0.002	0.52	<0.05	20.0	1	1.1	734	0.29	0.10	9.24	0.484	0.44	1.3
388804		18.2	30.4	0.007	0.61	0.10	20.3	1	1.8	786	0.77	0.11	9.02	0.463	0.34	2.3
388805		>10000	22.7	0.020	>10.0	90.4	12.0	64	11.5	69.3	0.14	0.05	0.71	0.218	6.24	3.0
388806		30.4	51.3	0.013	4.00	0.30	17.1	<1	1.4	815	0.37	0.41	7.61	0.413	0.50	2.0
388807		9.9	40.0	0.007	2.13	0.08	20.6	2	1.4	501	0.78	0.42	5.37	0.582	0.21	8.3
388808		10.1	39.3	0.014	3.54	0.06	23.8	1	1.5	521	0.44	0.50	7.08	0.649	0.27	2.8
388809		6.9	28.7	0.041	2.10	0.15	22.9	1	1.4	1310	0.23	0.40	2.93	0.828	0.15	1.4
388810		8.1	1.9	<0.002	0.02	0.27	0.4	<1	0.2	139.5	<0.05	<0.05	0.15	0.012	0.10	0.3
388811		12.9	27.9	<0.002	0.46	0.05	20.4	<1	1.5	818	0.37	0.10	7.99	0.528	0.34	1.6
388812		9.5	26.3	0.005	3.61	0.11	23.5	<1	1.9	663	0.35	0.47	3.67	0.845	0.20	3.3
388813		9.6	29.8	0.251	3.20	0.07	20.5	3	1.4	433	0.54	0.50	4.22	0.603	0.21	8.4
388814		13.4	48.0	0.008	0.56	0.06	19.5	1	1.1	575	0.36	0.09	8.29	0.513	0.51	1.5
388815		5980	33.0	<0.002	>10.0	70.8	7.9	32	7.5	38.1	0.33	0.83	3.71	0.117	1.03	1.3
388816		14.6	42.2	0.003	0.49	0.09	15.4	1	1.4	647	0.53	0.06	13.55	0.424	0.37	1.6
388817		10.6	43.4	<0.002	1.01	0.23	21.5	1	0.9	696	0.22	0.11	2.62	0.702	0.32	1.6
388818		14.5	37.4	<0.002	0.73	<0.05	8.7	<1	0.6	638	0.21	0.07	1.92	0.311	0.40	0.6
388819		10.2	38.8	<0.002	0.61	0.05	8.6	1	0.6	579	0.19	0.05	1.30	0.302	0.42	0.3
388820		28.8	12.4	0.042	6.04	0.09	19.3	<1	1.3	513	0.16	0.57	1.74	0.693	0.25	0.5



ALS Canada Ltd.
 2103 Dollarton Hwy
 North Vancouver BC V7H 0A7
 Téléphone: +1 (604) 984 0221 Télécopieur: +1 (604) 984 0218
 www.alsglobal.com/geochemistry

À: **MINIÈRE OSISKO INC.**
300, RUE ST-PAUL
BUREAU 200
QUEBEC QC G1K 7R1

Page: 2 - D
 Nombre total de pages: 2 (A - D)
 plus les pages d'annexe
 Finalisée date: 24-JUIL-2018
 Compte: MINVIR

Projet: Eléonore JV

CERTIFICAT D'ANALYSE VO18163611

Description échantillon	Méthode élément unités LDI	ME-MS61	ME-MS61	ME-MS61	ME-MS61	ME-MS61	Ag-OG62	Cu-OG62	Pb-OG62	Zn-OG62
		V	W	Y	Zn	Zr	Ag	Cu	Pb	Zn
		ppm	ppm	ppm	ppm	ppm	ppm	%	%	%
		1	0.1	0.1	2	0.5	1	0.001	0.001	0.001
388801		175	0.1	20.7	110	104.0				
388802		187	0.2	18.0	124	39.6				
388803		174	0.1	17.3	98	115.5				
388804		179	0.4	16.8	107	107.0				
388805		99	56.4	10.5	>10000	10.7		1.355	1.595	7.28
388806		150	0.3	12.9	201	122.0				
388807		331	0.4	20.1	83	26.8		1.415		
388808		209	0.4	17.9	98	61.3		2.64		
388809		237	0.4	19.6	74	23.9				
388810		6	0.3	0.7	36	2.0				
388811		179	0.2	19.1	111	93.9				
388812		212	0.4	18.5	106	28.1				
388813		499	0.5	16.4	82	27.3	159	2.47		
388814		190	0.1	16.3	111	114.0				
388815		30	4.2	12.6	>10000	106.0		3.08		2.31
388816		152	0.2	14.3	114	98.4				
388817		183	0.3	16.8	134	36.2				
388818		78	0.1	6.2	59	50.0				
388819		77	0.1	5.9	63	40.6				
388820		194	0.3	14.1	131	17.9				



ALS Canada Ltd.
 2103 Dollarton Hwy
 North Vancouver BC V7H 0A7
 Téléphone: +1 (604) 984 0221 Télécopieur: +1 (604) 984 0218
 www.alsglobal.com/geochemistry

À: **MINIÈRE OSISKO INC.**
300, RUE ST-PAUL
BUREAU 200
QUEBEC QC G1K 7R1

Page: Annexe 1
Total # les pages d'annexe: 1
Finalisée date: 24-JUIL-2018
Compte: MINVIR

Projet: Eléonore JV

CERTIFICAT D'ANALYSE VO18163611

COMMENTAIRE DE CERTIFICAT

COMMENTAIRES ANALYTIQUES

Applique à la Méthode: L'analyse des terres rares peut être partiellement soluble avec cette méthode.
 ME-MS61

ADRESSE DE LABORATOIRE

Applique à la Méthode: Traité à ALS Thunder Bay, 645 Norah Crescent, Thunder Bay, ON, Canada
 CRU-31 CRU-QC LOG-21 LOG-23
 PUL-31 PUL-QC SPL-21 WEI-21

Applique à la Méthode: Traité à ALS Vancouver, 2103 Dollarton Hwy, North Vancouver, BC, Canada.
 Ag-OG62 Au-ICP21 Cu-OG62 ME-MS61
 ME-OG62 Pb-OG62 Zn-OG62



ALS Canada Ltd.
2103 Dollarton Hwy
North Vancouver BC V7H 0A7
Téléphone: +1 (604) 984 0221 Télécopieur: +1 (604) 984 0218
www.alsglobal.com/geochemistry

À: **MINIÈRE OSISKO INC.**
300, RUE ST-PAUL
BUREAU 200
QUEBEC QC G1K 7R1

Page: 1
Nombre total de pages: 2 (A - D)
plus les pages d'annexe
Finalisée date: 24-JUIL-2018
Compte: MINVIR

CERTIFICAT VO18163614

Projet: Eléonore JV
Bon de commande #: EJV-006
Ce rapport s'applique aux 20 échantillons de channel soumis à notre laboratoire de Val d'Or, QC, Canada le 7-JUIL-2018.
Les résultats sont transmis à:
CHARLES GAUMOND | CORPORATIF WEBTRIEVE

PRÉPARATION ÉCHANTILLONS

CODE ALS	DESCRIPTION
WEI-21	Poids échantillon reçu
LOG-21	Entrée échantillon - Code barre client
LOG-23	Entrée pulpe - Reçu avec code barre
CRU-QC	Test concassage QC
PUL-QC	Test concassage QC
CRU-31	Granulation - 70 % <2 mm
SPL-21	Échant. fractionné - div. riffles
PUL-31	Pulvérisé à 85 % <75 um

PROCÉDURES ANALYTIQUES

CODE ALS	DESCRIPTION	INSTRUMENT
ME-OG62	Teneur marchande éléments - quatre acides	ICP-AES
Cu-OG62	Teneur marchande Cu - quatre acides	ICP-AES
Pb-OG62	Teneur marchande Pb - quatre acides	ICP-AES
Zn-OG62	Teneur marchande Zn - quatre acides	ICP-AES
Au-ICP21	Au 30 g FA fini ICP-AES	ICP-AES
ME-MS61	ICP-MS 48 éléments, quatre acides	

Ce rapport est final et remplace tout autre rapport préliminaire portant ce numéro de certificat. Les résultats s'appliquent aux échantillons soumis. Toutes les pages de ce rapport ont été vérifiées et approuvées avant publication.

***** Voir la page d'annexe pour les commentaires en ce qui concerne ce certificat *****

Signature:

Colin Ramshaw, Vancouver Laboratory Manager



ALS Canada Ltd.
 2103 Dollarton Hwy
 North Vancouver BC V7H 0A7
 Téléphone: +1 (604) 984 0221 Télécopieur: +1 (604) 984 0218
 www.alsglobal.com/geochemistry

À: **MINIÈRE OSISKO INC.**
300, RUE ST-PAUL
BUREAU 200
QUEBEC QC G1K 7R1

Page: 2 - A
 Nombre total de pages: 2 (A - D)
 plus les pages d'annexe
 Finalisée date: 24-JUIL-2018
 Compte: MINVIR

Projet: Eléonore JV

CERTIFICAT D'ANALYSE VO18163614

Description échantillon	Méthode élément unités LDI	WEI-21	Au-ICP21	ME-MS61	ME-MS61	ME-MS61	ME-MS61	ME-MS61	ME-MS61	ME-MS61	ME-MS61	ME-MS61	ME-MS61	ME-MS61	ME-MS61	
		Poids reçu kg	Au ppm	Ag ppm	Al %	As ppm	Ba ppm	Be ppm	Bi ppm	Ca %	Cd ppm	Ce ppm	Co ppm	Cr ppm	Cs ppm	Cu ppm
		0.02	0.001	0.01	0.01	0.2	10	0.05	0.01	0.01	0.02	0.01	0.1	1	0.05	0.2
388821		4.55	0.007	0.48	7.58	<0.2	320	0.94	0.25	7.31	0.18	48.6	46.6	208	0.54	118.0
388822		2.19	0.004	0.48	7.28	0.2	200	1.25	0.36	6.37	0.22	48.8	50.8	201	0.49	138.0
388823		4.23	<0.001	0.18	6.99	0.2	260	1.94	0.25	5.20	0.26	34.0	40.5	179	1.44	34.8
388824		5.10	<0.001	0.17	7.22	0.9	190	2.82	0.41	6.42	0.42	56.0	47.8	196	1.81	31.8
388825		0.12	0.121	61.3	3.39	160.5	310	0.44	61.6	2.06	362	8.24	94.6	89	2.21	>10000
388826		5.30	<0.001	0.17	7.59	0.2	190	1.35	0.28	7.03	0.38	49.5	48.2	198	0.50	42.2
388827		3.82	<0.001	0.18	7.64	<0.2	220	1.23	0.29	6.95	0.13	40.6	52.5	187	0.49	60.8
388828		2.94	<0.001	0.28	7.55	<0.2	260	1.40	0.30	5.29	1.25	65.5	28.8	130	0.82	86.1
388829		2.95	<0.001	0.06	7.56	<0.2	850	1.99	0.15	5.56	0.17	98.0	23.7	107	0.77	20.1
388830		0.15	<0.001	0.02	0.09	1.4	420	0.12	0.04	16.70	0.11	1.53	0.5	3	0.61	7.5
388831		3.68	<0.001	0.12	7.84	0.3	490	1.68	0.24	5.92	0.19	113.5	33.7	101	0.59	113.0
388832		4.59	<0.001	0.06	7.28	0.3	410	1.85	0.14	6.10	0.19	72.1	28.4	121	0.86	31.7
388833		2.33	0.007	0.09	7.44	0.6	640	1.38	0.18	5.68	0.26	92.5	26.5	110	0.52	41.6
388834		4.16	0.018	0.49	7.57	0.5	400	1.85	0.41	5.10	0.25	63.7	33.6	223	0.57	146.5
388835		0.07	1.140	42.5	4.21	114.5	330	0.77	21.6	1.46	128.5	31.1	265	28	1.20	>10000
388836		1.40	0.001	0.16	7.29	0.3	790	1.39	0.35	5.57	0.24	79.7	35.6	163	0.55	46.7
388837		4.65	0.005	0.49	7.76	<0.2	620	1.62	0.43	4.79	0.21	85.3	33.4	224	0.67	145.5
388838		3.15	<0.001	0.21	7.93	0.5	800	1.84	0.42	5.47	0.28	102.5	30.5	122	0.75	89.4
388839		2.55	<0.001	0.29	7.74	<0.2	620	1.44	0.26	5.16	0.36	104.5	27.3	123	0.71	92.4
388840		2.30	0.002	0.28	7.58	0.2	540	1.41	0.28	4.41	0.15	79.1	26.8	103	0.58	89.5



ALS Canada Ltd.
 2103 Dollarton Hwy
 North Vancouver BC V7H 0A7
 Téléphone: +1 (604) 984 0221 Télécopieur: +1 (604) 984 0218
 www.alsglobal.com/geochemistry

À: **MINIÈRE OSISKO INC.**
300, RUE ST-PAUL
BUREAU 200
QUEBEC QC G1K 7R1

Page: 2 - B
 Nombre total de pages: 2 (A - D)
 plus les pages d'annexe
 Finalisée date: 24-JUIL-2018
 Compte: MINVIR

Projet: Eléonore JV

CERTIFICAT D'ANALYSE VO18163614

Description échantillon	Méthode élément unités LDI	ME-MS61	ME-MS61	ME-MS61	ME-MS61	ME-MS61	ME-MS61	ME-MS61	ME-MS61	ME-MS61	ME-MS61	ME-MS61	ME-MS61	ME-MS61	ME-MS61	
		Fe %	Ga ppm	Ge ppm	Hf ppm	In ppm	K %	La ppm	Li ppm	Mg %	Mn ppm	Mo ppm	Na %	Nb ppm	Ni ppm	P ppm
388821		10.05	21.5	0.09	1.2	0.075	1.14	23.2	14.8	2.99	1360	2.67	2.26	2.7	156.5	760
388822		10.10	21.5	0.12	1.4	0.084	0.91	22.6	12.4	2.40	1180	2.29	2.38	4.2	137.0	770
388823		8.04	22.8	0.09	2.4	0.074	1.16	12.0	25.6	2.92	1340	1.83	2.52	6.6	143.0	670
388824		10.35	26.6	0.15	2.2	0.144	1.21	21.4	25.7	4.18	1820	1.15	1.92	11.4	165.5	680
388825		16.35	15.95	0.20	0.4	2.37	0.63	3.0	29.5	1.14	632	35.5	0.67	1.7	50.4	390
388826		9.80	22.8	0.11	1.7	0.079	1.08	20.1	15.6	3.40	1490	1.39	2.07	5.8	161.5	810
388827		9.98	22.9	0.09	1.3	0.071	1.13	17.5	16.8	2.72	1320	1.42	2.22	4.8	162.5	750
388828		7.08	21.2	0.10	1.4	0.067	1.01	31.8	20.6	2.35	1250	1.54	2.59	4.4	96.6	600
388829		5.82	22.2	0.20	2.8	0.048	1.51	41.3	11.9	2.36	1180	1.08	2.69	7.5	62.0	1860
388830		0.22	0.38	<0.05	0.1	0.005	0.02	0.8	17.8	11.85	355	0.38	0.05	0.1	1.3	30
388831		7.08	22.2	0.14	2.6	0.051	1.27	50.5	10.4	2.24	1220	2.77	2.73	6.0	73.0	2010
388832		6.44	23.0	0.16	3.0	0.061	1.09	29.7	14.8	2.62	1290	2.67	2.49	8.8	68.8	1810
388833		5.72	20.5	0.16	2.6	0.053	1.64	41.2	11.7	2.24	1180	0.50	2.96	5.9	56.4	1580
388834		9.59	23.4	0.13	1.7	0.089	1.25	25.4	14.6	2.42	1300	8.90	2.56	10.6	140.0	820
388835		15.70	23.0	0.16	3.0	4.01	0.91	14.1	9.6	1.19	615	16.20	0.47	4.5	19.1	540
388836		7.55	20.8	0.15	2.2	0.064	1.79	34.7	13.6	2.78	1350	0.97	2.45	4.9	105.0	1280
388837		9.64	23.8	0.17	2.3	0.087	1.52	36.5	22.6	2.63	1340	7.98	2.57	10.2	117.0	1220
388838		6.70	21.2	0.17	2.8	0.054	1.89	45.3	11.9	2.47	1100	4.21	2.88	6.0	72.2	1600
388839		6.27	20.4	0.19	2.6	0.078	1.64	46.1	13.0	2.49	1360	10.10	3.37	6.0	65.9	1570
388840		5.44	18.70	0.13	3.0	0.050	1.60	34.9	11.8	2.17	1020	1.71	3.35	5.5	62.5	1410



ALS Canada Ltd.
 2103 Dollarton Hwy
 North Vancouver BC V7H 0A7
 Téléphone: +1 (604) 984 0221 Télécopieur: +1 (604) 984 0218
 www.alsglobal.com/geochemistry

À: **MINIÈRE OSISKO INC.**
300, RUE ST-PAUL
BUREAU 200
QUEBEC QC G1K 7R1

Page: 2 - C
 Nombre total de pages: 2 (A - D)
 plus les pages d'annexe
 Finalisée date: 24-JUIL-2018
 Compte: MINVIR

Projet: Eléonore JV

CERTIFICAT D'ANALYSE VO18163614

Description échantillon	Méthode élément unités LDI	ME-MS61	ME-MS61	ME-MS61	ME-MS61	ME-MS61	ME-MS61	ME-MS61	ME-MS61	ME-MS61	ME-MS61	ME-MS61	ME-MS61	ME-MS61	ME-MS61	
		Pb	Rb	Re	S	Sb	Sc	Se	Sn	Sr	Ta	Te	Th	Ti	Tl	U
		ppm	ppm	ppm	%	ppm	ppm	ppm	ppm	ppm	ppm	ppm	ppm	%	ppm	ppm
		0.5	0.1	0.002	0.01	0.05	0.1	1	0.2	0.2	0.05	0.05	0.01	0.005	0.02	0.1
388821		7.4	43.1	<0.002	2.50	0.19	23.6	1	1.0	649	0.16	0.28	2.44	0.812	0.31	0.6
388822		8.5	23.0	<0.002	2.42	0.06	23.5	<1	1.5	722	0.34	0.27	3.99	0.746	0.23	1.3
388823		10.6	19.7	<0.002	0.69	0.05	18.5	1	1.9	453	0.44	0.08	2.65	0.717	0.32	1.7
388824		8.2	41.4	<0.002	0.64	0.06	29.3	1	5.8	346	0.74	0.10	4.32	0.836	0.29	1.3
388825		>10000	23.0	0.021	>10.0	92.0	12.1	64	11.8	71.3	0.14	0.07	0.72	0.229	6.20	2.9
388826		15.0	35.1	0.002	0.82	0.10	23.7	<1	1.5	534	0.41	0.08	3.42	0.843	0.23	2.2
388827		8.6	45.0	<0.002	1.03	0.09	22.2	<1	1.1	533	0.45	0.12	3.19	0.828	0.30	1.7
388828		9.3	33.9	<0.002	1.39	0.08	19.4	<1	1.2	631	0.30	0.19	7.71	0.529	0.28	1.1
388829		12.5	23.8	<0.002	0.26	0.06	19.2	<1	1.4	758	0.40	<0.05	9.77	0.456	0.33	1.4
388830		6.4	1.0	0.002	0.01	0.34	0.2	1	0.2	107.0	<0.05	<0.05	0.31	0.005	0.06	0.3
388831		10.5	29.0	0.002	0.90	0.05	18.2	<1	1.2	780	0.32	0.11	10.45	0.440	0.31	3.2
388832		13.9	15.0	<0.002	0.19	<0.05	19.3	<1	1.5	777	0.41	<0.05	6.49	0.543	0.29	1.2
388833		16.1	29.0	<0.002	0.12	0.05	18.1	1	1.0	653	0.31	<0.05	7.84	0.474	0.33	1.3
388834		10.9	34.0	0.003	2.43	0.09	27.5	<1	2.1	550	0.69	0.31	6.63	0.681	0.26	2.6
388835		5940	33.4	<0.002	>10.0	71.7	7.8	33	10.2	38.5	0.32	0.73	3.82	0.116	0.99	1.3
388836		13.5	28.5	<0.002	0.49	0.10	20.6	1	1.2	649	0.26	0.08	6.17	0.615	0.35	1.1
388837		14.2	37.1	0.004	2.28	0.06	29.7	1	1.8	527	0.54	0.25	7.66	0.677	0.31	2.3
388838		21.2	43.3	0.002	1.21	0.05	19.5	1	1.2	749	0.35	0.10	8.95	0.483	0.41	2.0
388839		11.8	33.0	0.005	0.94	0.05	19.4	1	1.0	632	0.35	0.19	8.47	0.498	0.38	2.0
388840		14.9	32.2	0.017	0.89	0.05	14.9	1	1.1	591	0.32	0.14	6.89	0.438	0.36	1.4



ALS Canada Ltd.
 2103 Dollarton Hwy
 North Vancouver BC V7H 0A7
 Téléphone: +1 (604) 984 0221 Télécopieur: +1 (604) 984 0218
 www.alsglobal.com/geochemistry

À: **MINIÈRE OSISKO INC.**
300, RUE ST-PAUL
BUREAU 200
QUEBEC QC G1K 7R1

Page: 2 - D
 Nombre total de pages: 2 (A - D)
 plus les pages d'annexe
 Finalisée date: 24-JUIL-2018
 Compte: MINVIR

Projet: Eléonore JV

CERTIFICAT D'ANALYSE VO18163614

Description échantillon	Méthode élément unités LDI	ME-MS61	ME-MS61	ME-MS61	ME-MS61	ME-MS61	Cu-OG62	Pb-OG62	Zn-OG62
		V	W	Y	Zn	Zr	Cu	Pb	Zn
		ppm	ppm	ppm	ppm	ppm	%	%	%
		1	0.1	0.1	2	0.5	0.001	0.001	0.001
388821		218	0.3	18.1	140	20.0			
388822		190	0.6	18.9	124	30.4			
388823		170	0.5	16.7	150	62.3			
388824		223	0.5	27.7	208	57.7			
388825		102	58.1	10.7	>10000	12.4	1.330	1.575	7.15
388826		204	0.4	21.8	200	39.6			
388827		200	0.4	18.2	137	26.5			
388828		155	0.3	15.8	262	33.6			
388829		171	0.1	19.0	110	96.2			
388830		4	0.2	0.6	33	2.2			
388831		172	0.2	17.4	105	86.7			
388832		190	0.1	16.5	127	102.5			
388833		172	0.1	16.0	114	92.0			
388834		197	0.3	27.0	142	38.1			
388835		30	4.2	12.6	>10000	107.0	3.12		2.36
388836		202	0.2	17.9	151	70.3			
388837		212	0.2	24.9	139	70.9			
388838		177	0.2	16.7	108	96.8			
388839		181	0.2	17.0	162	90.6			
388840		157	0.2	14.8	106	96.7			



ALS Canada Ltd.
 2103 Dollarton Hwy
 North Vancouver BC V7H 0A7
 Téléphone: +1 (604) 984 0221 Télécopieur: +1 (604) 984 0218
 www.alsglobal.com/geochemistry

À: **MINIÈRE OSISKO INC.**
300, RUE ST-PAUL
BUREAU 200
QUEBEC QC G1K 7R1

Page: Annexe 1
Total # les pages d'annexe: 1
Finalisée date: 24-JUIL-2018
Compte: MINVIR

Projet: Eléonore JV

CERTIFICAT D'ANALYSE VO18163614

COMMENTAIRE DE CERTIFICAT

COMMENTAIRES ANALYTIQUES

Applique à la Méthode: L'analyse des terres rares peut être partiellement soluble avec cette méthode.
 ME-MS61

ADRESSE DE LABORATOIRE

Applique à la Méthode: Traité à ALS Thunder Bay, 645 Norah Crescent, Thunder Bay, ON, Canada

CRU-31	CRU-QC	LOG-21	LOG-23
PUL-31	PUL-QC	SPL-21	WEI-21

Applique à la Méthode: Traité à ALS Vancouver, 2103 Dollarton Hwy, North Vancouver, BC, Canada.

Au-ICP21	Cu-OG62	ME-MS61	ME-OG62
Pb-OG62	Zn-OG62		



ALS Canada Ltd.
2103 Dollarton Hwy
North Vancouver BC V7H 0A7
Téléphone: +1 (604) 984 0221 Télécopieur: +1 (604) 984 0218
www.alsglobal.com/geochemistry

À: **MINIÈRE OSISKO INC.**
300, RUE ST-PAUL
BUREAU 200
QUEBEC QC G1K 7R1

Page: 1
Nombre total de pages: 2 (A - D)
plus les pages d'annexe
Finalisée date: 25-JUIL-2018
Compte: MINVIR

CERTIFICAT VO18163617

Projet: Eléonore JV
Bon de commande #: EJV-007
Ce rapport s'applique aux 20 échantillons de channel soumis à notre laboratoire de Val d'Or, QC, Canada le 7-JUIL-2018.
Les résultats sont transmis à:
CHARLES GAUMOND | CORPORATIF WEBTRIEVE

PRÉPARATION ÉCHANTILLONS

CODE ALS	DESCRIPTION
WEI-21	Poids échantillon reçu
LOG-21	Entrée échantillon - Code barre client
LOG-23	Entrée pulpe - Reçu avec code barre
CRU-QC	Test concassage QC
PUL-QC	Test concassage QC
CRU-31	Granulation - 70 % <2 mm
SPL-21	Échant. fractionné - div. riffles
PUL-31	Pulvérisé à 85 % <75 um

PROCÉDURES ANALYTIQUES

CODE ALS	DESCRIPTION	INSTRUMENT
ME-OG62	Teneur marchande éléments - quatre acides	ICP-AES
Cu-OG62	Teneur marchande Cu - quatre acides	ICP-AES
Pb-OG62	Teneur marchande Pb - quatre acides	ICP-AES
Zn-OG62	Teneur marchande Zn - quatre acides	ICP-AES
Au-ICP21	Au 30 g FA fini ICP-AES	ICP-AES
ME-MS61	ICP-MS 48 éléments, quatre acides	

Ce rapport est final et remplace tout autre rapport préliminaire portant ce numéro de certificat. Les résultats s'appliquent aux échantillons soumis. Toutes les pages de ce rapport ont été vérifiées et approuvées avant publication.

***** Voir la page d'annexe pour les commentaires en ce qui concerne ce certificat *****

Signature:

Colin Ramshaw, Vancouver Laboratory Manager



ALS Canada Ltd.
 2103 Dollarton Hwy
 North Vancouver BC V7H 0A7
 Téléphone: +1 (604) 984 0221 Télécopieur: +1 (604) 984 0218
 www.alsglobal.com/geochemistry

À: **MINIÈRE OSISKO INC.**
300, RUE ST-PAUL
BUREAU 200
QUEBEC QC G1K 7R1

Page: 2 - A
 Nombre total de pages: 2 (A - D)
 plus les pages d'annexe
 Finalisée date: 25-JUIL-2018
 Compte: MINVIR

Projet: Eléonore JV

CERTIFICAT D'ANALYSE VO18163617

Description échantillon	Méthode élément unités LDI	WEI-21	Au-ICP21	ME-MS61	ME-MS61	ME-MS61	ME-MS61	ME-MS61	ME-MS61	ME-MS61	ME-MS61	ME-MS61	ME-MS61	ME-MS61	ME-MS61	
		Poids reçu kg	Au ppm	Ag ppm	Al %	As ppm	Ba ppm	Be ppm	Bi ppm	Ca %	Cd ppm	Ce ppm	Co ppm	Cr ppm	Cs ppm	Cu ppm
		0.02	0.001	0.01	0.01	0.2	10	0.05	0.01	0.01	0.02	0.01	0.1	1	0.05	0.2
388841		3.93	<0.001	0.11	8.35	0.5	970	1.98	0.20	4.75	0.18	89.0	29.5	110	0.63	87.2
388842		3.29	<0.001	0.06	8.03	0.2	570	2.34	0.14	4.86	0.42	75.3	25.5	81	0.47	23.6
388843		6.55	<0.001	0.49	7.74	0.4	450	1.53	0.21	4.56	0.24	77.5	33.2	134	0.59	152.5
388844		7.51	0.001	0.30	7.75	0.5	380	1.43	0.15	4.81	0.26	164.5	43.1	194	0.61	159.5
388845		0.12	0.111	61.8	3.45	159.5	110	0.36	58.2	2.11	369	8.45	88.9	85	2.30	>10000
388846		3.27	<0.001	0.26	8.28	0.7	550	1.29	0.11	4.19	0.31	84.8	28.2	178	0.73	82.8
388847		1.31	0.003	0.39	8.58	0.2	440	1.08	0.36	6.74	0.33	91.1	52.7	204	0.56	296
388848		4.14	<0.001	0.04	8.60	0.2	490	0.79	0.14	4.53	0.13	31.9	21.2	108	1.18	37.3
388849		2.21	<0.001	0.04	7.97	0.5	700	1.20	0.28	4.90	0.12	87.0	28.7	110	0.63	36.4
388850		0.19	0.002	0.01	0.07	0.6	60	0.05	0.01	20.1	0.08	1.40	1.0	2	0.32	2.0
388851		2.70	<0.001	0.04	7.85	0.2	440	1.35	0.09	4.37	0.20	55.6	23.7	158	0.58	21.9
388852		3.17	<0.001	0.02	7.68	0.4	240	1.64	0.15	6.41	0.31	52.3	36.6	265	0.32	101.0
388853		1.65	<0.001	0.02	7.49	0.4	210	1.69	0.23	8.10	0.19	62.4	39.3	337	0.26	18.0
388854		2.58	<0.001	1.47	6.92	0.3	230	1.24	0.14	5.14	0.12	48.3	20.9	222	0.33	60.7
388855		0.07	1.170	45.4	4.44	118.0	110	0.77	20.5	1.55	131.0	30.0	284	26	1.22	>10000
388856		1.87	<0.001	0.63	7.96	0.3	310	1.05	0.12	5.76	0.12	53.3	25.1	222	0.28	40.9
388857		3.63	<0.001	0.04	8.27	0.4	510	1.28	0.12	5.93	0.09	71.2	41.0	380	0.71	29.7
388858		2.54	<0.001	0.04	8.31	0.5	410	1.42	0.23	6.90	0.15	75.5	45.2	503	0.51	55.6
388859		2.19	<0.001	0.04	8.31	0.3	760	1.12	0.18	4.97	0.10	69.0	35.7	231	0.73	96.4
388860		1.29	<0.001	0.01	7.91	0.2	370	1.44	0.07	5.78	0.08	80.7	28.2	151	0.21	10.5



ALS Canada Ltd.
 2103 Dollarton Hwy
 North Vancouver BC V7H 0A7
 Téléphone: +1 (604) 984 0221 Télécopieur: +1 (604) 984 0218
 www.alsglobal.com/geochemistry

À: **MINIÈRE OSISKO INC.**
300, RUE ST-PAUL
BUREAU 200
QUEBEC QC G1K 7R1

Page: 2 - B
 Nombre total de pages: 2 (A - D)
 plus les pages d'annexe
 Finalisée date: 25-JUIL-2018
 Compte: MINVIR

Projet: Eléonore JV

CERTIFICAT D'ANALYSE VO18163617

Description échantillon	Méthode élément unités LDI	ME-MS61	ME-MS61	ME-MS61	ME-MS61	ME-MS61	ME-MS61	ME-MS61	ME-MS61	ME-MS61	ME-MS61	ME-MS61	ME-MS61	ME-MS61	ME-MS61	
		Fe %	Ga ppm	Ge ppm	Hf ppm	In ppm	K %	La ppm	Li ppm	Mg %	Mn ppm	Mo ppm	Na %	Nb ppm	Ni ppm	P ppm
388841		6.56	21.0	0.14	2.8	0.052	1.91	38.4	13.9	2.34	1150	0.81	3.09	7.4	64.7	1580
388842		5.77	20.8	0.11	2.4	0.054	1.53	32.6	11.3	2.31	1180	0.56	3.28	8.1	45.8	1400
388843		8.63	21.0	0.12	2.4	0.068	1.42	35.7	11.7	2.08	1180	1.51	2.89	7.5	93.4	910
388844		8.81	23.1	0.18	4.1	0.078	1.29	79.3	17.4	2.84	1380	1.77	2.47	9.3	154.0	890
388845		16.65	15.30	0.23	0.4	2.38	0.64	3.1	25.8	1.16	647	34.5	0.69	1.7	46.3	400
388846		5.65	19.25	0.13	2.4	0.055	1.45	38.9	14.0	2.18	1040	0.39	3.29	5.9	75.3	830
388847		9.90	21.1	0.16	1.9	0.080	1.08	41.7	18.9	2.91	1380	2.50	2.30	4.5	168.5	1290
388848		4.36	20.4	0.09	1.8	0.050	1.44	13.2	11.7	2.01	740	0.34	3.36	3.7	69.0	670
388849		6.34	19.55	0.14	2.2	0.058	1.45	38.9	10.2	2.36	1280	0.48	2.99	5.8	77.2	1190
388850		0.11	0.25	0.15	<0.1	0.011	0.03	0.7	7.8	13.25	359	0.09	0.03	7.8	0.9	40
388851		4.46	18.05	0.12	2.8	0.042	1.28	26.6	9.9	1.88	887	0.71	3.15	5.5	73.3	730
388852		6.89	22.0	0.11	1.6	0.063	0.97	23.6	8.0	2.68	1380	3.38	2.81	6.1	143.0	760
388853		7.53	29.9	0.10	2.1	0.068	1.38	26.1	7.0	3.48	1680	0.85	1.95	8.4	159.0	990
388854		4.63	25.0	0.09	1.6	0.048	1.63	25.0	6.4	2.11	1040	0.53	2.66	6.2	77.0	350
388855		16.75	22.6	0.21	2.8	3.97	0.94	13.6	10.5	1.27	662	16.25	0.49	4.6	18.3	580
388856		5.30	23.0	0.11	1.8	0.052	1.90	25.8	6.3	2.19	1080	0.37	3.04	6.2	92.7	640
388857		7.61	19.90	0.13	2.2	0.060	1.33	31.0	13.4	3.07	1400	0.34	2.73	6.2	183.5	1090
388858		7.80	20.4	0.13	2.0	0.065	1.22	34.1	17.8	3.83	1620	0.56	2.76	8.0	186.0	950
388859		6.59	19.60	0.12	2.1	0.063	1.67	30.9	16.7	2.78	1280	1.06	3.10	3.7	105.0	900
388860		5.59	21.7	0.15	2.1	0.051	1.52	38.1	7.9	2.58	1120	0.16	3.65	4.6	72.2	1150



ALS Canada Ltd.
 2103 Dollarton Hwy
 North Vancouver BC V7H 0A7
 Téléphone: +1 (604) 984 0221 Télécopieur: +1 (604) 984 0218
 www.alsglobal.com/geochemistry

À: **MINIÈRE OSISKO INC.**
300, RUE ST-PAUL
BUREAU 200
QUEBEC QC G1K 7R1

Page: 2 - C
 Nombre total de pages: 2 (A - D)
 plus les pages d'annexe
 Finalisée date: 25-JUIL-2018
 Compte: MINVIR

Projet: Eléonore JV

CERTIFICAT D'ANALYSE VO18163617

Description échantillon	Méthode élément unités LDI	ME-MS61	ME-MS61	ME-MS61	ME-MS61	ME-MS61	ME-MS61	ME-MS61	ME-MS61	ME-MS61	ME-MS61	ME-MS61	ME-MS61	ME-MS61	ME-MS61	
		Pb	Rb	Re	S	Sb	Sc	Se	Sn	Sr	Ta	Te	Th	Ti	Tl	U
		ppm	ppm	ppm	%	ppm	ppm	ppm	ppm	ppm	ppm	ppm	ppm	%	ppm	ppm
		0.5	0.1	0.002	0.01	0.05	0.1	1	0.2	0.2	0.05	0.05	0.01	0.005	0.02	0.1
388841		12.0	42.5	<0.002	0.45	<0.05	19.3	<1	1.4	687	0.37	0.07	9.16	0.522	0.42	1.6
388842		18.0	28.7	<0.002	0.09	<0.05	17.1	<1	1.6	659	0.40	<0.05	8.47	0.457	0.34	1.5
388843		16.4	49.4	<0.002	0.96	0.05	17.3	1	1.6	627	0.44	0.16	12.65	0.545	0.32	1.7
388844		13.9	50.2	<0.002	0.79	0.05	19.7	1	2.0	509	0.49	0.12	33.2	0.728	0.32	1.4
388845		>10000	20.4	0.020	>10.0	86.6	11.1	61	11.8	68.3	0.14	0.11	0.72	0.237	6.07	2.9
388846		20.7	46.8	<0.002	0.18	0.08	18.6	<1	1.3	580	0.27	<0.05	13.95	0.423	0.38	1.2
388847		14.0	35.4	<0.002	2.21	0.08	23.2	1	1.1	696	0.25	0.30	6.35	0.724	0.20	1.3
388848		10.4	35.7	<0.002	0.08	<0.05	10.7	<1	0.7	612	0.20	<0.05	2.18	0.367	0.37	0.6
388849		14.9	32.2	<0.002	0.05	<0.05	16.4	<1	1.2	664	0.38	<0.05	9.58	0.483	0.32	1.1
388850		2.3	0.9	<0.002	<0.01	0.08	0.2	1	<0.2	171.0	<0.05	<0.05	0.13	0.005	0.05	0.2
388851		10.4	35.6	<0.002	0.01	<0.05	15.8	1	0.7	564	0.47	<0.05	8.55	0.375	0.25	1.7
388852		13.4	18.4	<0.002	0.03	<0.05	24.1	<1	1.0	713	0.35	<0.05	4.30	0.482	0.18	1.1
388853		13.4	35.8	<0.002	<0.01	0.07	27.9	1	1.3	928	0.53	<0.05	7.21	0.564	0.25	2.2
388854		10.5	43.6	<0.002	<0.01	<0.05	14.7	<1	1.2	632	0.59	<0.05	10.15	0.279	0.31	4.1
388855		6340	31.7	<0.002	>10.0	67.7	8.0	33	7.4	37.7	0.32	0.83	3.59	0.118	1.00	1.2
388856		11.9	48.8	<0.002	0.01	0.06	18.7	<1	1.1	768	0.48	<0.05	7.71	0.382	0.36	3.8
388857		6.8	33.3	<0.002	0.02	<0.05	29.9	<1	0.9	687	0.30	<0.05	5.53	0.480	0.31	0.9
388858		7.3	27.7	<0.002	0.09	0.05	36.1	1	1.1	697	0.43	<0.05	7.98	0.540	0.26	1.2
388859		15.5	37.1	<0.002	0.21	<0.05	26.1	<1	0.8	619	0.20	<0.05	6.82	0.467	0.37	1.0
388860		7.6	37.1	<0.002	<0.01	<0.05	19.2	<1	0.8	857	0.21	<0.05	4.97	0.418	0.32	0.6



ALS Canada Ltd.
 2103 Dollarton Hwy
 North Vancouver BC V7H 0A7
 Téléphone: +1 (604) 984 0221 Télécopieur: +1 (604) 984 0218
 www.alsglobal.com/geochemistry

À: **MINIÈRE OSISKO INC.**
300, RUE ST-PAUL
BUREAU 200
QUEBEC QC G1K 7R1

Page: 2 - D
 Nombre total de pages: 2 (A - D)
 plus les pages d'annexe
 Finalisée date: 25-JUIL-2018
 Compte: MINVIR

Projet: Eléonore JV

CERTIFICAT D'ANALYSE VO18163617

Description échantillon	Méthode élément unités LDI	ME-MS61	ME-MS61	ME-MS61	ME-MS61	ME-MS61	Cu-OG62	Pb-OG62	Zn-OG62
		V	W	Y	Zn	Zr	Cu	Pb	Zn
		ppm	ppm	ppm	ppm	ppm	%	%	%
		1	0.1	0.1	2	0.5	0.001	0.001	0.001
388841		186	0.1	18.6	106	102.5			
388842		168	0.2	18.3	117	83.5			
388843		160	0.3	17.3	128	78.6			
388844		190	0.4	19.6	161	143.0			
388845		102	57.4	11.1	>10000	10.4	1.335	1.545	7.05
388846		158	0.2	12.8	175	84.7			
388847		210	0.3	20.3	139	59.0			
388848		97	0.1	7.7	93	62.6			
388849		166	0.2	16.0	108	77.5			
388850		3	0.1	0.8	21	1.4			
388851		128	0.2	11.9	105	83.2			
388852		188	0.2	15.6	164	49.4			
388853		232	0.4	15.1	138	66.4			
388854		158	0.5	10.0	73	30.9			
388855		31	4.2	13.3	>10000	112.0	3.09		2.37
388856		161	0.2	13.5	84	43.9			
388857		221	0.1	17.5	97	76.2			
388858		249	0.2	19.0	128	63.6			
388859		198	0.2	15.0	101	77.2			
388860		170	0.1	14.4	98	77.0			



ALS Canada Ltd.
 2103 Dollarton Hwy
 North Vancouver BC V7H 0A7
 Téléphone: +1 (604) 984 0221 Télécopieur: +1 (604) 984 0218
 www.alsglobal.com/geochemistry

À: **MINIÈRE OSISKO INC.**
300, RUE ST-PAUL
BUREAU 200
QUEBEC QC G1K 7R1

Page: Annexe 1
Total # les pages d'annexe: 1
Finalisée date: 25-JUIL-2018
Compte: MINVIR

Projet: Eléonore JV

CERTIFICAT D'ANALYSE VO18163617

COMMENTAIRE DE CERTIFICAT

COMMENTAIRES ANALYTIQUES

Applique à la Méthode: L'analyse des terres rares peut être partiellement soluble avec cette méthode.
 ME-MS61

ADRESSE DE LABORATOIRE

Applique à la Méthode: Traité à ALS Thunder Bay, 645 Norah Crescent, Thunder Bay, ON, Canada

CRU-31	CRU-QC	LOG-21	LOG-23
PUL-31	PUL-QC	SPL-21	WEI-21

Applique à la Méthode: Traité à ALS Vancouver, 2103 Dollarton Hwy, North Vancouver, BC, Canada.

Au-ICP21	Cu-OG62	ME-MS61	ME-OG62
Pb-OG62	Zn-OG62		



ALS Canada Ltd.
2103 Dollarton Hwy
North Vancouver BC V7H 0A7
Téléphone: +1 (604) 984 0221 Télécopieur: +1 (604) 984 0218
www.alsglobal.com/geochemistry

À: **MINIÈRE OSISKO INC.**
300, RUE ST-PAUL
BUREAU 200
QUEBEC QC G1K 7R1

Page: 1
Nombre total de pages: 2 (A - D)
plus les pages d'annexe
Finalisée date: 25-JUIL-2018
Compte: MINVIR

CERTIFICAT VO18163694

Projet: Eléonore JV
Bon de commande #: EJV-008
Ce rapport s'applique aux 20 échantillons de channel soumis à notre laboratoire de Val d'Or, QC, Canada le 7-JUIL-2018.
Les résultats sont transmis à:
CHARLES GAUMOND | CORPORATIF WEBTRIEVE

PRÉPARATION ÉCHANTILLONS

CODE ALS	DESCRIPTION
WEI-21	Poids échantillon reçu
LOG-21	Entrée échantillon - Code barre client
LOG-23	Entrée pulpe - Reçu avec code barre
CRU-QC	Test concassage QC
PUL-QC	Test concassage QC
CRU-31	Granulation - 70 % <2 mm
SPL-21	Échant. fractionné - div. riffles
PUL-31	Pulvérisé à 85 % <75 um

PROCÉDURES ANALYTIQUES

CODE ALS	DESCRIPTION	INSTRUMENT
ME-OG62	Teneur marchande éléments - quatre acides	ICP-AES
Cu-OG62	Teneur marchande Cu - quatre acides	ICP-AES
Pb-OG62	Teneur marchande Pb - quatre acides	ICP-AES
Zn-OG62	Teneur marchande Zn - quatre acides	ICP-AES
Au-ICP21	Au 30 g FA fini ICP-AES	ICP-AES
ME-MS61	ICP-MS 48 éléments, quatre acides	

Ce rapport est final et remplace tout autre rapport préliminaire portant ce numéro de certificat. Les résultats s'appliquent aux échantillons soumis. Toutes les pages de ce rapport ont été vérifiées et approuvées avant publication.

***** Voir la page d'annexe pour les commentaires en ce qui concerne ce certificat *****

Signature:

Colin Ramshaw, Vancouver Laboratory Manager



ALS Canada Ltd.
 2103 Dollarton Hwy
 North Vancouver BC V7H 0A7
 Téléphone: +1 (604) 984 0221 Télécopieur: +1 (604) 984 0218
 www.alsglobal.com/geochemistry

À: **MINIÈRE OSISKO INC.**
300, RUE ST-PAUL
BUREAU 200
QUEBEC QC G1K 7R1

Page: 2 - A
 Nombre total de pages: 2 (A - D)
 plus les pages d'annexe
 Finalisée date: 25-JUIL-2018
 Compte: MINVIR

Projet: Eléonore JV

CERTIFICAT D'ANALYSE VO18163694

Description échantillon	Méthode élément unités LDI	WEI-21	Au-ICP21	ME-MS61	ME-MS61	ME-MS61	ME-MS61	ME-MS61	ME-MS61	ME-MS61	ME-MS61	ME-MS61	ME-MS61	ME-MS61	ME-MS61	
		Poids reçu kg	Au ppm	Ag ppm	Al %	As ppm	Ba ppm	Be ppm	Bi ppm	Ca %	Cd ppm	Ce ppm	Co ppm	Cr ppm	Cs ppm	Cu ppm
388861		1.87	<0.001	0.02	7.15	0.3	460	1.64	0.06	5.29	0.08	48.2	28.8	176	0.23	8.0
388862		1.63	<0.001	0.16	6.59	0.5	420	0.35	0.02	1.25	0.03	19.80	2.4	14	0.50	12.5
388863		1.22	<0.001	0.08	7.92	0.6	550	0.42	0.01	0.68	0.07	12.15	1.9	4	0.79	32.4
388864		4.81	<0.001	0.01	1.46	0.4	50	0.52	<0.01	0.12	<0.02	4.89	2.1	23	0.22	1.7
388865		0.11	0.142	61.9	3.39	165.5	260	0.43	61.5	2.09	360	8.36	90.2	82	2.35	>10000
388866		4.24	<0.001	0.01	1.68	0.5	30	0.39	<0.01	0.09	<0.02	4.32	2.1	23	0.16	1.5
388867		5.00	<0.001	0.01	3.05	0.3	60	0.61	0.01	0.17	<0.02	9.05	4.6	21	0.23	6.1
388868		2.86	<0.001	<0.01	4.15	0.4	10	0.40	<0.01	0.28	<0.02	7.27	6.0	21	0.08	1.8
388869		3.84	<0.001	0.01	5.71	0.5	10	0.63	0.01	0.80	<0.02	22.2	14.5	15	0.10	1.9
388870		0.21	<0.001	0.01	0.05	0.9	50	0.07	0.02	19.15	0.06	1.63	0.7	3	0.23	1.6
388871		4.72	0.004	0.02	6.05	0.2	190	1.05	0.07	1.03	<0.02	41.2	27.3	22	0.79	6.7
388872		4.49	<0.001	0.02	7.33	0.3	200	1.31	0.04	0.69	<0.02	33.7	34.5	15	0.57	20.3
388873		2.51	<0.001	0.12	8.13	0.7	390	1.13	0.22	0.84	<0.02	45.2	37.3	18	0.64	513
388874		3.20	<0.001	0.06	7.65	0.8	200	0.99	0.44	0.82	<0.02	56.1	35.6	17	0.72	232
388875		0.07	1.160	44.5	4.37	120.5	240	0.82	21.0	1.51	126.5	31.4	271	26	1.19	>10000
388876		1.45	<0.001	0.03	8.04	0.2	550	0.94	0.03	1.32	0.11	62.5	38.8	17	0.57	53.7
388877		3.91	<0.001	0.01	8.22	0.5	900	1.14	0.12	1.95	0.03	57.7	42.4	19	1.08	346
388878		2.61	<0.001	<0.01	8.10	0.2	700	1.22	0.03	2.36	0.04	55.5	43.3	19	0.58	70.1
388879		3.20	<0.001	0.01	7.90	0.2	740	1.32	0.02	2.53	0.03	56.5	43.3	18	0.69	29.8
388880		3.82	<0.001	0.02	8.40	0.5	1300	1.24	0.07	2.30	0.02	63.8	44.3	19	0.71	511



ALS Canada Ltd.
 2103 Dollarton Hwy
 North Vancouver BC V7H 0A7
 Téléphone: +1 (604) 984 0221 Télécopieur: +1 (604) 984 0218
 www.alsglobal.com/geochemistry

À: **MINIÈRE OSISKO INC.**
300, RUE ST-PAUL
BUREAU 200
QUEBEC QC G1K 7R1

Page: 2 - B
 Nombre total de pages: 2 (A - D)
 plus les pages d'annexe
 Finalisée date: 25-JUIL-2018
 Compte: MINVIR

Projet: Eléonore JV

CERTIFICAT D'ANALYSE VO18163694

Description échantillon	Méthode élément unités LDI	ME-MS61	ME-MS61	ME-MS61	ME-MS61	ME-MS61	ME-MS61	ME-MS61	ME-MS61	ME-MS61	ME-MS61	ME-MS61	ME-MS61	ME-MS61	ME-MS61	
		Fe %	Ga ppm	Ge ppm	Hf ppm	In ppm	K %	La ppm	Li ppm	Mg %	Mn ppm	Mo ppm	Na %	Nb ppm	Ni ppm	P ppm
388861		5.56	19.05	0.13	1.8	0.048	1.93	22.5	10.2	2.44	1120	0.12	3.24	3.9	92.7	920
388862		1.08	14.20	0.12	1.1	0.007	2.76	9.7	3.7	0.16	139	0.10	3.52	3.6	4.5	100
388863		0.73	15.35	0.12	1.6	0.007	4.05	6.7	1.9	0.11	89	0.13	4.94	2.7	1.9	20
388864		0.61	4.49	0.11	0.2	<0.005	0.24	2.8	19.1	0.37	68	0.16	0.69	0.7	3.3	100
388865		16.35	15.25	0.27	0.4	2.28	0.62	3.1	30.8	1.16	634	35.8	0.68	1.6	49.2	380
388866		0.72	4.68	0.11	0.2	0.005	0.16	2.2	19.2	0.39	68	0.12	0.96	0.8	3.1	90
388867		1.38	8.59	0.09	0.4	0.009	0.25	5.1	21.3	0.81	163	0.15	1.72	1.5	5.6	170
388868		1.69	9.34	0.09	0.6	0.005	0.03	3.2	20.0	0.93	215	0.10	2.68	2.7	7.1	380
388869		3.61	17.40	0.10	1.1	0.013	0.02	9.2	32.1	2.01	445	0.11	3.20	7.8	18.8	1160
388870		0.10	0.29	0.23	<0.1	<0.005	0.02	1.0	8.9	12.70	302	0.06	0.03	0.1	0.6	20
388871		5.31	20.1	0.14	1.6	0.026	0.49	21.0	42.9	2.88	626	0.14	2.27	11.1	26.3	1740
388872		6.68	26.4	0.11	1.9	0.038	0.55	13.9	52.7	3.65	763	0.27	3.59	14.1	32.5	2250
388873		7.84	27.9	0.12	2.5	0.035	1.02	19.9	54.9	4.15	889	0.44	3.20	16.0	40.1	2660
388874		7.34	24.4	0.12	2.1	0.033	0.48	26.8	51.7	4.21	910	2.32	2.89	13.5	36.4	2240
388875		16.30	22.8	0.20	2.8	3.93	0.93	15.2	10.6	1.24	621	17.05	0.48	4.8	18.8	550
388876		8.24	23.6	0.14	2.6	0.047	1.14	29.7	44.6	3.88	1020	0.25	2.78	15.0	40.9	2620
388877		9.31	26.5	0.15	2.9	0.062	1.88	26.2	37.0	3.37	996	2.25	2.72	16.5	44.2	2920
388878		9.07	25.1	0.15	3.0	0.049	1.55	26.1	30.7	2.50	962	0.38	3.34	16.6	45.8	2880
388879		8.61	26.1	0.15	2.7	0.056	1.25	26.3	32.1	2.58	1010	0.20	2.99	14.9	43.0	2650
388880		9.47	25.5	0.17	3.0	0.047	1.93	30.4	31.0	2.61	973	0.42	2.91	15.3	46.0	2880



ALS Canada Ltd.
 2103 Dollarton Hwy
 North Vancouver BC V7H 0A7
 Téléphone: +1 (604) 984 0221 Télécopieur: +1 (604) 984 0218
 www.alsglobal.com/geochemistry

À: **MINIÈRE OSISKO INC.**
300, RUE ST-PAUL
BUREAU 200
QUEBEC QC G1K 7R1

Page: 2 - C
 Nombre total de pages: 2 (A - D)
 plus les pages d'annexe
 Finalisée date: 25-JUIL-2018
 Compte: MINVIR

Projet: Eléonore JV

CERTIFICAT D'ANALYSE VO18163694

Description échantillon	Méthode	ME-MS61	ME-MS61	ME-MS61	ME-MS61	ME-MS61	ME-MS61	ME-MS61	ME-MS61	ME-MS61	ME-MS61	ME-MS61	ME-MS61	ME-MS61	ME-MS61	
	élément	Pb	Rb	Re	S	Sb	Sc	Se	Sn	Sr	Ta	Te	Th	Ti	Tl	U
	unités	ppm	ppm	ppm	%	ppm	ppm	ppm	ppm	ppm	ppm	ppm	ppm	%	ppm	ppm
	LDI	0.5	0.1	0.002	0.01	0.05	0.1	1	0.2	0.2	0.05	0.05	0.01	0.005	0.02	0.1
388861		8.4	31.3	<0.002	0.03	<0.05	16.4	<1	0.7	738	0.20	<0.05	3.42	0.406	0.42	0.4
388862		10.4	93.0	<0.002	<0.01	<0.05	1.1	1	0.5	354	0.26	<0.05	14.60	0.075	0.56	1.2
388863		22.4	114.5	<0.002	<0.01	<0.05	0.9	1	0.3	267	0.21	<0.05	29.5	0.055	0.62	1.6
388864		0.5	11.4	<0.002	<0.01	<0.05	0.8	<1	0.2	31.9	<0.05	<0.05	0.42	0.053	0.04	0.1
388865		>10000	21.3	0.023	>10.0	92.9	11.8	64	11.8	70.6	0.14	0.10	0.72	0.231	6.21	3.0
388866		<0.5	7.7	<0.002	<0.01	<0.05	0.8	1	0.2	25.0	0.05	<0.05	0.45	0.060	0.04	0.1
388867		0.6	11.2	<0.002	<0.01	<0.05	1.6	<1	0.8	39.4	0.10	<0.05	1.22	0.105	0.06	0.1
388868		<0.5	0.9	<0.002	<0.01	<0.05	2.5	<1	0.4	37.6	0.18	<0.05	1.41	0.192	<0.02	0.2
388869		0.5	0.5	<0.002	<0.01	<0.05	7.1	<1	0.6	35.3	0.43	<0.05	1.14	0.616	<0.02	0.4
388870		1.9	0.6	<0.002	<0.01	0.06	0.1	1	<0.2	154.5	<0.05	<0.05	0.09	<0.005	0.03	0.2
388871		1.2	20.0	<0.002	<0.01	<0.05	10.7	1	0.6	51.9	0.62	<0.05	1.56	0.902	0.10	0.3
388872		1.4	3.9	<0.002	<0.01	<0.05	12.6	1	0.8	65.1	0.79	<0.05	1.12	1.075	0.12	0.3
388873		2.1	17.5	0.011	0.28	<0.05	15.6	1	0.9	72.5	0.92	0.07	1.89	1.215	0.19	0.5
388874		1.8	10.3	0.010	0.27	<0.05	13.2	1	0.8	54.3	0.79	0.17	1.89	1.095	0.11	0.5
388875		6190	33.2	<0.002	>10.0	71.6	8.0	35	8.0	37.7	0.35	0.81	3.91	0.122	1.10	1.3
388876		6.3	23.1	<0.002	0.07	0.08	14.8	<1	1.0	86.6	0.94	<0.05	2.22	1.315	0.22	0.5
388877		5.0	29.2	0.055	0.77	<0.05	15.4	1	1.0	193.0	1.01	<0.05	1.95	1.380	0.32	0.5
388878		3.5	29.4	0.025	0.18	<0.05	16.6	1	0.9	175.0	1.03	<0.05	2.18	1.390	0.28	0.5
388879		3.7	27.3	<0.002	0.02	<0.05	15.6	<1	0.8	283	0.93	<0.05	2.13	1.270	0.26	0.4
388880		3.5	58.3	0.012	0.64	<0.05	17.8	1	0.8	201	0.95	0.05	2.64	1.310	0.35	0.5



ALS Canada Ltd.
 2103 Dollarton Hwy
 North Vancouver BC V7H 0A7
 Téléphone: +1 (604) 984 0221 Télécopieur: +1 (604) 984 0218
 www.alsglobal.com/geochemistry

À: **MINIÈRE OSISKO INC.**
300, RUE ST-PAUL
BUREAU 200
QUEBEC QC G1K 7R1

Page: 2 - D
 Nombre total de pages: 2 (A - D)
 plus les pages d'annexe
 Finalisée date: 25-JUIL-2018
 Compte: MINVIR

Projet: Eléonore JV

CERTIFICAT D'ANALYSE VO18163694

Description échantillon	Méthode élément unités LDI	ME-MS61	ME-MS61	ME-MS61	ME-MS61	ME-MS61	Cu-OG62	Pb-OG62	Zn-OG62
		V	W	Y	Zn	Zr	Cu	Pb	Zn
		ppm	ppm	ppm	ppm	ppm	%	%	%
		1	0.1	0.1	2	0.5	0.001	0.001	0.001
388861		162	0.1	10.3	97	63.1			
388862		46	0.1	1.5	9	33.5			
388863		27	0.1	1.6	13	41.7			
388864		24	0.1	1.0	7	6.0			
388865		102	59.0	10.0	>10000	10.9	1.350	1.580	7.24
388866		25	<0.1	1.1	8	6.5			
388867		40	0.1	1.9	20	13.6			
388868		36	<0.1	3.1	26	22.5			
388869		87	0.1	11.8	55	48.3			
388870		2	0.1	0.8	18	1.2			
388871		92	0.2	11.9	79	73.4			
388872		120	0.3	10.6	96	85.0			
388873		146	0.3	15.4	110	108.5			
388874		126	0.3	14.0	106	93.0			
388875		30	4.5	13.3	>10000	114.0	3.06		2.35
388876		132	0.4	16.7	146	106.5			
388877		162	0.4	16.1	137	117.0			
388878		149	0.4	17.5	128	121.0			
388879		139	0.4	15.8	125	107.5			
388880		149	0.3	18.6	124	119.0			



ALS Canada Ltd.
 2103 Dollarton Hwy
 North Vancouver BC V7H 0A7
 Téléphone: +1 (604) 984 0221 Télécopieur: +1 (604) 984 0218
 www.alsglobal.com/geochemistry

À: **MINIÈRE OSISKO INC.**
300, RUE ST-PAUL
BUREAU 200
QUEBEC QC G1K 7R1

Page: Annexe 1
Total # les pages d'annexe: 1
Finalisée date: 25-JUIL-2018
Compte: MINVIR

Projet: Eléonore JV

CERTIFICAT D'ANALYSE VO18163694

COMMENTAIRE DE CERTIFICAT

COMMENTAIRES ANALYTIQUES

Applique à la Méthode: L'analyse des terres rares peut être partiellement soluble avec cette méthode.
 ME-MS61

ADRESSE DE LABORATOIRE

Applique à la Méthode: Traité à ALS Thunder Bay, 645 Norah Crescent, Thunder Bay, ON, Canada

CRU-31	CRU-QC	LOG-21	LOG-23
PUL-31	PUL-QC	SPL-21	WEI-21

Applique à la Méthode: Traité à ALS Vancouver, 2103 Dollarton Hwy, North Vancouver, BC, Canada.

Au-ICP21	Cu-OG62	ME-MS61	ME-OG62
Pb-OG62	Zn-OG62		



ALS Canada Ltd.
2103 Dollarton Hwy
North Vancouver BC V7H 0A7
Téléphone: +1 (604) 984 0221 Télécopieur: +1 (604) 984 0218
www.alsglobal.com/geochemistry

À: **MINIÈRE OSISKO INC.**
300, RUE ST-PAUL
BUREAU 200
QUEBEC QC G1K 7R1

Page: 1
Nombre total de pages: 2 (A - D)
plus les pages d'annexe
Finalisée date: 25-JUIL-2018
Compte: MINVIR

CERTIFICAT VO18163704

Projet: Eléonore JV
Bon de commande #: EJV-009
Ce rapport s'applique aux 20 échantillons de channel soumis à notre laboratoire de Val d'Or, QC, Canada le 9-JUIL-2018.
Les résultats sont transmis à:
CHARLES GAUMOND CORPORATIF WEBTRIEVE

PRÉPARATION ÉCHANTILLONS

CODE ALS	DESCRIPTION
WEI-21	Poids échantillon reçu
LOG-21	Entrée échantillon - Code barre client
LOG-23	Entrée pulpe - Reçu avec code barre
CRU-QC	Test concassage QC
PUL-QC	Test concassage QC
CRU-31	Granulation - 70 % <2 mm
SPL-21	Échant. fractionné - div. riffles
PUL-31	Pulvérisé à 85 % <75 um

PROCÉDURES ANALYTIQUES

CODE ALS	DESCRIPTION	INSTRUMENT
ME-OG62	Teneur marchande éléments - quatre acides	ICP-AES
Cu-OG62	Teneur marchande Cu - quatre acides	ICP-AES
Pb-OG62	Teneur marchande Pb - quatre acides	ICP-AES
Zn-OG62	Teneur marchande Zn - quatre acides	ICP-AES
Au-ICP21	Au 30 g FA fini ICP-AES	ICP-AES
ME-MS61	ICP-MS 48 éléments, quatre acides	

Ce rapport est final et remplace tout autre rapport préliminaire portant ce numéro de certificat. Les résultats s'appliquent aux échantillons soumis. Toutes les pages de ce rapport ont été vérifiées et approuvées avant publication.

***** Voir la page d'annexe pour les commentaires en ce qui concerne ce certificat *****

Signature:

Colin Ramshaw, Vancouver Laboratory Manager



ALS Canada Ltd.
 2103 Dollarton Hwy
 North Vancouver BC V7H 0A7
 Téléphone: +1 (604) 984 0221 Télécopieur: +1 (604) 984 0218
 www.alsglobal.com/geochemistry

À: **MINIÈRE OSISKO INC.**
300, RUE ST-PAUL
BUREAU 200
QUEBEC QC G1K 7R1

Page: 2 - A
 Nombre total de pages: 2 (A - D)
 plus les pages d'annexe
 Finalisée date: 25-JUIL-2018
 Compte: MINVIR

Projet: Eléonore JV

CERTIFICAT D'ANALYSE VO18163704

Description échantillon	Méthode élément unités LDI	WEI-21	Au-ICP21	ME-MS61	ME-MS61	ME-MS61	ME-MS61	ME-MS61	ME-MS61	ME-MS61	ME-MS61	ME-MS61	ME-MS61	ME-MS61	ME-MS61	
		Poids reçu kg	Au ppm	Ag ppm	Al %	As ppm	Ba ppm	Be ppm	Bi ppm	Ca %	Cd ppm	Ce ppm	Co ppm	Cr ppm	Cs ppm	Cu ppm
		0.02	0.001	0.01	0.01	0.2	10	0.05	0.01	0.01	0.02	0.01	0.1	1	0.05	0.2
388881		2.21	<0.001	0.01	7.83	0.5	760	1.35	0.05	2.10	0.05	60.5	41.4	19	0.90	419
388882		2.96	<0.001	<0.01	7.93	<0.2	1550	1.35	0.02	2.94	0.04	53.1	45.1	20	0.64	19.0
388883		4.56	<0.001	<0.01	7.95	<0.2	930	1.40	0.02	3.29	0.04	55.4	42.9	20	0.56	44.6
388884		2.95	<0.001	0.02	8.18	0.3	2140	1.44	0.04	3.79	0.09	41.6	41.1	21	0.52	143.0
388885		0.12	0.129	62.6	3.48	163.0	270	0.43	64.4	2.16	373	8.45	94.2	83	2.40	>10000
388886		1.29	<0.001	0.03	7.42	<0.2	530	1.08	0.06	2.24	0.18	48.0	33.5	16	0.38	41.7
388887		2.91	<0.001	<0.01	8.20	<0.2	820	1.24	0.03	2.43	0.06	57.5	43.1	20	0.44	43.2
388888		1.73	<0.001	<0.01	7.64	<0.2	1000	1.27	0.02	2.94	0.04	52.5	40.4	18	0.52	17.6
388889		1.67	<0.001	<0.01	7.24	0.3	1050	1.11	0.03	3.75	0.06	57.7	39.9	19	0.50	44.4
388890		0.17	<0.001	0.01	0.08	0.8	60	<0.05	0.01	19.75	0.23	1.50	0.8	1	0.29	5.9
388891		0.96	<0.001	0.01	2.07	0.4	40	0.40	<0.01	0.17	<0.02	8.30	2.4	23	0.21	2.0
388892		1.96	<0.001	0.01	7.47	<0.2	780	1.26	0.03	1.40	0.07	52.3	41.6	18	0.64	20.9
388893		1.70	<0.001	0.04	7.64	<0.2	860	1.47	0.04	1.60	0.07	55.4	44.8	19	0.88	170.5
388894		0.98	<0.001	<0.01	8.31	<0.2	500	1.12	0.03	1.31	<0.02	57.8	48.2	19	0.62	233
388895		0.07	1.155	43.9	4.25	116.0	210	0.79	21.4	1.52	126.5	28.7	268	25	1.16	>10000
388896		3.32	<0.001	0.03	2.03	<0.2	90	0.47	0.02	0.22	0.07	7.06	2.9	20	0.21	15.9
388897		3.85	<0.001	0.01	4.32	0.4	180	0.85	0.01	0.42	<0.02	20.8	4.0	21	0.26	2.8
388898		4.95	<0.001	0.01	6.75	0.2	540	1.07	0.02	1.33	0.02	38.2	6.7	21	0.24	2.4
388899		4.96	<0.001	0.01	8.02	0.3	580	1.40	0.04	2.71	0.04	43.8	19.6	18	0.59	22.6
388900		4.03	<0.001	0.04	7.64	<0.2	700	1.47	0.04	3.42	0.05	44.9	31.2	19	0.41	185.5



ALS Canada Ltd.
 2103 Dollarton Hwy
 North Vancouver BC V7H 0A7
 Téléphone: +1 (604) 984 0221 Télécopieur: +1 (604) 984 0218
 www.alsglobal.com/geochemistry

À: **MINIÈRE OSISKO INC.**
300, RUE ST-PAUL
BUREAU 200
QUEBEC QC G1K 7R1

Page: 2 - B
 Nombre total de pages: 2 (A - D)
 plus les pages d'annexe
 Finalisée date: 25-JUIL-2018
 Compte: MINVIR

Projet: Eléonore JV

CERTIFICAT D'ANALYSE VO18163704

Description échantillon	Méthode élément unités LDI	ME-MS61	ME-MS61	ME-MS61	ME-MS61	ME-MS61	ME-MS61	ME-MS61	ME-MS61	ME-MS61	ME-MS61	ME-MS61	ME-MS61	ME-MS61	ME-MS61	
		Fe %	Ga ppm	Ge ppm	Hf ppm	In ppm	K %	La ppm	Li ppm	Mg %	Mn ppm	Mo ppm	Na %	Nb ppm	Ni ppm	P ppm
388881		8.54	23.4	0.16	2.6	0.048	1.19	28.1	33.9	2.84	1020	0.43	2.60	13.8	42.7	2630
388882		9.17	25.4	0.15	2.6	0.056	1.93	24.6	28.9	2.38	1020	0.32	2.42	14.6	46.9	2780
388883		8.76	25.7	0.14	2.5	0.050	1.07	26.1	29.6	2.29	1060	0.23	2.64	13.3	45.0	2530
388884		8.34	27.9	0.12	2.2	0.038	0.83	18.9	29.8	2.27	1030	0.21	3.01	12.3	46.0	2200
388885		16.80	15.70	0.28	0.4	2.38	0.63	3.0	27.9	1.20	656	35.6	0.69	1.6	50.5	390
388886		7.96	22.5	0.12	2.2	0.044	1.00	22.2	26.4	1.98	769	0.24	3.20	12.9	35.8	2120
388887		8.99	26.6	0.16	3.0	0.047	1.60	25.7	31.1	2.43	935	0.30	3.24	17.3	46.2	2900
388888		8.63	25.0	0.14	2.8	0.049	1.85	23.9	28.8	2.18	876	0.21	2.52	15.6	42.2	2630
388889		8.81	21.8	0.16	2.6	0.055	1.46	27.9	21.9	2.03	1280	0.31	2.18	14.8	40.7	2520
388890		0.12	0.32	0.08	0.2	<0.005	0.04	0.8	9.3	13.45	327	0.08	0.04	0.2	0.7	20
388891		0.98	5.52	<0.05	0.2	0.006	0.18	4.5	14.8	0.40	92	0.27	1.22	0.9	3.5	120
388892		8.31	24.1	0.15	3.0	0.048	1.04	24.2	45.5	3.69	979	0.24	2.73	17.0	43.2	2670
388893		8.65	25.8	0.15	2.8	0.048	1.41	26.3	39.6	3.10	1000	0.41	2.59	12.9	45.3	2700
388894		9.31	28.0	0.14	3.1	0.058	1.08	24.5	42.3	3.24	1070	0.30	3.61	17.1	48.9	2990
388895		16.00	21.8	0.19	3.1	3.90	0.90	13.5	10.8	1.24	631	16.30	0.47	4.3	18.3	550
388896		0.90	5.88	0.06	0.2	0.005	0.23	4.0	23.6	0.44	98	0.21	1.08	1.0	4.5	130
388897		1.14	9.26	0.09	0.7	0.009	0.46	10.7	18.9	0.58	140	0.15	2.70	1.6	5.4	210
388898		1.71	14.25	0.11	1.4	0.016	1.06	20.6	16.5	0.62	266	0.27	4.01	3.2	8.8	480
388899		4.38	22.7	0.13	1.9	0.032	1.15	21.5	32.8	1.48	572	0.15	3.56	8.4	21.3	1200
388900		6.20	22.9	0.13	2.0	0.035	0.80	22.1	33.0	1.56	835	0.22	2.95	11.9	31.2	1860



ALS Canada Ltd.
 2103 Dollarton Hwy
 North Vancouver BC V7H 0A7
 Téléphone: +1 (604) 984 0221 Télécopieur: +1 (604) 984 0218
 www.alsglobal.com/geochemistry

À: **MINIÈRE OSISKO INC.**
300, RUE ST-PAUL
BUREAU 200
QUEBEC QC G1K 7R1

Page: 2 - C
 Nombre total de pages: 2 (A - D)
 plus les pages d'annexe
 Finalisée date: 25-JUIL-2018
 Compte: MINVIR

Projet: Eléonore JV

CERTIFICAT D'ANALYSE VO18163704

Description échantillon	Méthode	ME-MS61	ME-MS61	ME-MS61	ME-MS61	ME-MS61	ME-MS61	ME-MS61	ME-MS61	ME-MS61	ME-MS61	ME-MS61	ME-MS61	ME-MS61	ME-MS61	
	élément	Pb	Rb	Re	S	Sb	Sc	Se	Sn	Sr	Ta	Te	Th	Ti	Tl	U
	unités	ppm	ppm	ppm	%	ppm	ppm	ppm	ppm	ppm	ppm	ppm	ppm	%	ppm	ppm
	LDI	0.5	0.1	0.002	0.01	0.05	0.1	1	0.2	0.2	0.05	0.05	0.01	0.005	0.02	0.1
388881		3.7	40.3	0.002	0.45	<0.05	16.3	<1	0.8	264	0.87	<0.05	2.35	1.210	0.22	0.5
388882		3.8	39.1	<0.002	0.02	<0.05	16.5	<1	0.9	415	0.88	<0.05	2.11	1.260	0.34	0.4
388883		4.3	28.8	<0.002	0.02	<0.05	16.0	<1	0.8	548	0.85	<0.05	2.17	1.255	0.22	0.4
388884		7.5	11.9	<0.002	0.06	<0.05	13.5	<1	0.8	741	0.76	<0.05	1.52	1.195	0.15	0.4
388885		>10000	22.0	0.018	>10.0	94.2	12.0	67	11.6	71.6	0.14	0.08	0.76	0.239	6.47	3.0
388886		11.8	31.7	0.002	0.09	0.08	13.3	1	0.8	254	0.80	<0.05	1.99	1.140	0.21	0.4
388887		4.2	35.2	0.003	0.12	<0.05	17.2	<1	0.9	216	1.05	<0.05	2.27	1.440	0.30	0.5
388888		5.1	42.2	0.002	0.01	<0.05	15.5	<1	0.9	379	0.95	<0.05	2.13	1.300	0.35	0.4
388889		8.1	41.5	<0.002	0.04	<0.05	15.8	<1	0.9	640	0.90	<0.05	2.40	1.205	0.28	0.5
388890		3.4	1.3	<0.002	<0.01	0.08	0.1	1	<0.2	184.5	<0.05	<0.05	0.18	0.007	0.05	0.2
388891		1.0	8.2	<0.002	<0.01	<0.05	0.9	<1	0.2	43.5	0.05	<0.05	0.63	0.069	0.04	0.1
388892		5.9	18.1	0.002	0.03	0.05	15.4	1	1.0	114.0	1.01	<0.05	2.24	1.285	0.18	0.4
388893		4.6	33.0	0.002	0.21	0.05	16.0	1	0.9	139.0	0.80	<0.05	2.20	1.040	0.25	0.4
388894		1.7	11.4	0.011	0.32	<0.05	15.8	1	1.0	62.0	1.01	<0.05	1.89	1.390	0.20	0.4
388895		5880	31.9	<0.002	>10.0	72.0	7.4	33	7.9	37.2	0.33	0.80	3.70	0.116	0.99	1.1
388896		4.4	10.7	<0.002	0.01	0.07	1.1	<1	0.2	56.7	0.06	<0.05	0.45	0.080	0.05	0.1
388897		2.3	15.7	<0.002	0.01	<0.05	1.9	<1	0.3	146.0	0.11	<0.05	1.89	0.103	0.09	0.2
388898		5.3	30.1	<0.002	0.01	<0.05	3.4	<1	0.6	428	0.23	<0.05	4.19	0.166	0.18	0.5
388899		7.2	32.7	<0.002	0.01	<0.05	8.2	<1	0.8	683	0.49	<0.05	4.03	0.630	0.21	0.6
388900		7.1	22.6	<0.002	0.11	<0.05	11.5	<1	0.8	808	0.67	<0.05	2.14	0.979	0.18	0.4



ALS Canada Ltd.
 2103 Dollarton Hwy
 North Vancouver BC V7H 0A7
 Téléphone: +1 (604) 984 0221 Télécopieur: +1 (604) 984 0218
 www.alsglobal.com/geochemistry

À: **MINIÈRE OSISKO INC.**
300, RUE ST-PAUL
BUREAU 200
QUEBEC QC G1K 7R1

Page: 2 - D
 Nombre total de pages: 2 (A - D)
 plus les pages d'annexe
 Finalisée date: 25-JUIL-2018
 Compte: MINVIR

Projet: Eléonore JV

CERTIFICAT D'ANALYSE VO18163704

Description échantillon	Méthode élément unités LDI	ME-MS61	ME-MS61	ME-MS61	ME-MS61	ME-MS61	Cu-OG62	Pb-OG62	Zn-OG62
		V ppm 1	W ppm 0.1	Y ppm 0.1	Zn ppm 2	Zr ppm 0.5	Cu % 0.001	Pb % 0.001	Zn % 0.001
388881		137	0.2	17.2	124	110.0			
388882		158	0.3	16.3	124	109.0			
388883		161	0.3	16.2	114	100.0			
388884		157	0.3	12.1	119	87.4			
388885		105	60.5	10.3	>10000	11.6	1.360	1.610	7.31
388886		118	0.4	13.6	140	87.1			
388887		149	0.3	17.9	129	118.0			
388888		145	0.3	16.4	116	110.5			
388889		120	0.3	16.7	120	108.5			
388890		2	0.1	0.9	80	8.1			
388891		28	<0.1	1.4	10	9.7			
388892		133	0.4	17.0	137	115.5			
388893		142	0.2	17.2	134	111.0			
388894		152	0.4	18.6	131	126.5			
388895		30	4.4	12.0	>10000	112.5	3.09		2.34
388896		33	0.1	1.4	30	9.3			
388897		33	<0.1	2.6	21	22.0			
388898		42	0.1	5.2	32	49.0			
388899		79	0.2	9.4	68	70.5			
388900		99	0.3	12.7	92	79.9			



ALS Canada Ltd.
 2103 Dollarton Hwy
 North Vancouver BC V7H 0A7
 Téléphone: +1 (604) 984 0221 Télécopieur: +1 (604) 984 0218
 www.alsglobal.com/geochemistry

À: **MINIÈRE OSISKO INC.**
300, RUE ST-PAUL
BUREAU 200
QUEBEC QC G1K 7R1

Page: **Annexe 1**
 Total # les pages d'annexe: **1**
 Finalisée date: **25-JUIL-2018**
 Compte: **MINVIR**

Projet: Eléonore JV

CERTIFICAT D'ANALYSE VO18163704

COMMENTAIRE DE CERTIFICAT

COMMENTAIRES ANALYTIQUES

Applique à la Méthode: L'analyse des terres rares peut être partiellement soluble avec cette méthode.
 ME-MS61

ADRESSE DE LABORATOIRE

Applique à la Méthode:	Traité à ALS Thunder Bay, 645 Norah Crescent, Thunder Bay, ON, Canada			
	CRU-31	CRU-QC	LOG-21	LOG-23
	PUL-31	PUL-QC	SPL-21	WEI-21
Applique à la Méthode:	Traité à ALS Vancouver, 2103 Dollarton Hwy, North Vancouver, BC, Canada.			
	Au-ICP21	Cu-OG62	ME-MS61	ME-OG62
	Pb-OG62	Zn-OG62		



ALS Canada Ltd.
2103 Dollarton Hwy
North Vancouver BC V7H 0A7
Téléphone: +1 (604) 984 0221 Télécopieur: +1 (604) 984 0218
www.alsglobal.com/geochemistry

À: **MINIÈRE OSISKO INC.**
300, RUE ST-PAUL
BUREAU 200
QUEBEC QC G1K 7R1

Page: 1
Nombre total de pages: 2 (A - D)
plus les pages d'annexe
Finalisée date: 24-JUIL-2018
Compte: MINVIR

CERTIFICAT VO18163711

Projet: Eléonore JV
Bon de commande #: EJV-010
Ce rapport s'applique aux 10 échantillons de channel soumis à notre laboratoire de Val d'Or, QC, Canada le 7-JUIL-2018.
Les résultats sont transmis à:
CHARLES GAUMOND | CORPORATIF WEBTRIEVE

PRÉPARATION ÉCHANTILLONS

CODE ALS	DESCRIPTION
WEI-21	Poids échantillon reçu
LOG-21	Entrée échantillon - Code barre client
LOG-23	Entrée pulpe - Reçu avec code barre
CRU-QC	Test concassage QC
PUL-QC	Test concassage QC
CRU-31	Granulation - 70 % <2 mm
SPL-21	Échant. fractionné - div. riffles
PUL-31	Pulvérisé à 85 % <75 um

PROCÉDURES ANALYTIQUES

CODE ALS	DESCRIPTION	INSTRUMENT
ME-OG62	Teneur marchande éléments - quatre acides	ICP-AES
Cu-OG62	Teneur marchande Cu - quatre acides	ICP-AES
Pb-OG62	Teneur marchande Pb - quatre acides	ICP-AES
Zn-OG62	Teneur marchande Zn - quatre acides	ICP-AES
Au-ICP21	Au 30 g FA fini ICP-AES	ICP-AES
ME-MS61	ICP-MS 48 éléments, quatre acides	

Ce rapport est final et remplace tout autre rapport préliminaire portant ce numéro de certificat. Les résultats s'appliquent aux échantillons soumis. Toutes les pages de ce rapport ont été vérifiées et approuvées avant publication.

***** Voir la page d'annexe pour les commentaires en ce qui concerne ce certificat *****

Signature:

Colin Ramshaw, Vancouver Laboratory Manager



ALS Canada Ltd.
 2103 Dollarton Hwy
 North Vancouver BC V7H 0A7
 Téléphone: +1 (604) 984 0221 Télécopieur: +1 (604) 984 0218
 www.alsglobal.com/geochemistry

À: **MINIÈRE OSISKO INC.**
300, RUE ST-PAUL
BUREAU 200
QUEBEC QC G1K 7R1

Page: 2 - A
 Nombre total de pages: 2 (A - D)
 plus les pages d'annexe
 Finalisée date: 24-JUIL-2018
 Compte: MINVIR

Projet: Eléonore JV

CERTIFICAT D'ANALYSE VO18163711

Description échantillon	Méthode élément unités LDI	WEI-21	Au-ICP21	ME-MS61	ME-MS61	ME-MS61	ME-MS61	ME-MS61	ME-MS61	ME-MS61	ME-MS61	ME-MS61	ME-MS61	ME-MS61	ME-MS61	
		Poids reçu kg	Au ppm	Ag ppm	Al %	As ppm	Ba ppm	Be ppm	Bi ppm	Ca %	Cd ppm	Ce ppm	Co ppm	Cr ppm	Cs ppm	Cu ppm
		0.02	0.001	0.01	0.01	0.2	10	0.05	0.01	0.01	0.02	0.01	0.1	1	0.05	0.2
388901		2.50	<0.001	0.07	7.60	0.5	820	1.35	0.05	3.81	0.06	59.1	36.8	18	0.48	238
388902		4.24	<0.001	0.01	7.62	0.6	990	1.55	0.02	3.68	0.04	58.3	42.9	19	0.52	86.7
388903		2.92	<0.001	0.01	7.71	<0.2	1180	1.24	0.02	3.78	0.04	62.0	43.9	21	0.52	16.6
388904		1.86	<0.001	<0.01	8.21	<0.2	1330	1.52	0.03	3.92	0.05	63.1	46.8	21	0.52	20.3
388905		0.12	0.258	62.1	3.50	168.5	210	0.40	65.5	2.17	373	8.12	95.3	86	2.23	>10000
388906		2.89	<0.001	0.03	7.73	0.2	1110	1.27	0.06	3.48	0.15	55.7	41.8	19	0.55	29.4
388907		3.88	0.002	0.01	7.89	0.3	910	1.36	0.04	2.70	0.04	52.4	42.2	20	0.64	70.5
388908		1.83	<0.001	0.01	8.23	0.2	890	1.39	0.05	0.83	0.03	42.6	46.0	21	1.58	27.4
388909		1.62	<0.001	0.01	7.94	<0.2	1170	1.55	0.03	3.10	0.04	50.3	43.9	20	0.77	20.3
388910		0.26	<0.001	0.02	0.07	0.3	80	<0.05	0.02	20.3	0.04	1.28	0.7	2	0.22	2.8



ALS Canada Ltd.
 2103 Dollarton Hwy
 North Vancouver BC V7H 0A7
 Téléphone: +1 (604) 984 0221 Télécopieur: +1 (604) 984 0218
 www.alsglobal.com/geochemistry

À: **MINIÈRE OSISKO INC.**
300, RUE ST-PAUL
BUREAU 200
QUEBEC QC G1K 7R1

Page: 2 - B
 Nombre total de pages: 2 (A - D)
 plus les pages d'annexe
 Finalisée date: 24-JUIL-2018
 Compte: MINVIR

Projet: Eléonore JV

CERTIFICAT D'ANALYSE VO18163711

Description échantillon	Méthode élément unités LDI	ME-MS61	ME-MS61	ME-MS61	ME-MS61	ME-MS61	ME-MS61	ME-MS61	ME-MS61	ME-MS61	ME-MS61	ME-MS61	ME-MS61	ME-MS61	ME-MS61	
		Fe %	Ga ppm	Ge ppm	Hf ppm	In ppm	K %	La ppm	Li ppm	Mg %	Mn ppm	Mo ppm	Na %	Nb ppm	Ni ppm	P ppm
388901		8.27	24.5	0.15	2.6	0.048	0.87	28.7	32.5	1.95	1100	0.26	2.39	16.1	35.2	2550
388902		9.16	22.2	0.15	2.7	0.055	1.21	27.5	25.9	2.14	1260	0.29	2.88	16.9	43.7	2750
388903		9.72	20.6	0.17	2.8	0.052	1.71	30.4	17.9	2.20	1400	0.27	2.88	15.8	44.8	2920
388904		10.10	25.3	0.16	2.9	0.068	1.91	30.9	22.7	2.31	1440	0.33	2.71	17.1	47.4	2940
388905		16.90	15.80	0.28	0.4	2.36	0.64	2.9	30.7	1.20	661	36.7	0.70	1.7	51.3	400
388906		9.09	23.3	0.14	2.6	0.055	1.57	26.5	29.0	2.16	1130	0.27	2.51	15.5	41.4	2670
388907		8.75	24.6	0.15	2.6	0.048	1.47	25.6	37.5	2.82	1100	0.29	2.57	16.3	42.9	2760
388908		8.15	24.3	0.12	2.8	0.039	0.88	18.5	54.2	5.09	997	0.14	2.50	17.9	45.3	2880
388909		8.85	27.0	0.16	2.7	0.056	2.12	23.1	33.5	2.28	904	0.28	2.35	14.8	44.0	2670
388910		0.13	0.24	0.08	<0.1	<0.005	0.02	0.7	7.5	13.35	325	0.12	0.03	0.1	0.6	30



ALS Canada Ltd.
 2103 Dollarton Hwy
 North Vancouver BC V7H 0A7
 Téléphone: +1 (604) 984 0221 Télécopieur: +1 (604) 984 0218
 www.alsglobal.com/geochemistry

À: **MINIÈRE OSISKO INC.**
300, RUE ST-PAUL
BUREAU 200
QUEBEC QC G1K 7R1

Page: 2 - C
 Nombre total de pages: 2 (A - D)
 plus les pages d'annexe
 Finalisée date: 24-JUIL-2018
 Compte: MINVIR

Projet: Eléonore JV

CERTIFICAT D'ANALYSE VO18163711

Description échantillon	Méthode élément unités LDI	ME-MS61	ME-MS61	ME-MS61	ME-MS61	ME-MS61	ME-MS61	ME-MS61	ME-MS61	ME-MS61	ME-MS61	ME-MS61	ME-MS61	ME-MS61	ME-MS61	
		Pb	Rb	Re	S	Sb	Sc	Se	Sn	Sr	Ta	Te	Th	Ti	Tl	U
		ppm	ppm	ppm	%	ppm	ppm	ppm	ppm	ppm	ppm	ppm	ppm	%	ppm	ppm
		0.5	0.1	0.002	0.01	0.05	0.1	1	0.2	0.2	0.05	0.05	0.01	0.005	0.02	0.1
388901		7.7	26.2	<0.002	0.29	<0.05	14.5	<1	1.0	742	0.92	0.08	2.36	1.235	0.21	0.5
388902		5.7	30.9	<0.002	0.09	<0.05	16.5	1	1.0	553	0.97	<0.05	2.37	1.295	0.25	0.5
388903		6.4	44.8	<0.002	0.01	<0.05	16.4	<1	1.0	530	0.93	<0.05	2.41	1.265	0.30	0.5
388904		7.4	45.3	<0.002	0.01	<0.05	17.5	<1	1.0	595	0.95	<0.05	2.45	1.350	0.35	0.4
388905		>10000	22.7	0.016	>10.0	96.7	11.7	65	13.6	71.2	0.15	0.09	0.75	0.239	6.20	2.8
388906		12.7	36.1	<0.002	0.05	0.07	15.1	1	0.9	562	0.91	<0.05	2.18	1.285	0.30	0.4
388907		6.0	29.0	<0.002	0.07	<0.05	15.2	<1	0.8	430	0.95	<0.05	2.04	1.310	0.27	0.4
388908		2.2	18.8	<0.002	0.03	<0.05	16.0	1	0.9	58.6	1.02	<0.05	2.17	1.445	0.17	0.5
388909		5.5	43.1	<0.002	0.01	<0.05	15.4	<1	0.9	477	0.87	<0.05	2.04	1.175	0.37	0.4
388910		1.8	0.8	<0.002	<0.01	0.09	0.1	1	<0.2	139.0	<0.05	<0.05	0.08	0.007	0.04	0.1



ALS Canada Ltd.
 2103 Dollarton Hwy
 North Vancouver BC V7H 0A7
 Téléphone: +1 (604) 984 0221 Télécopieur: +1 (604) 984 0218
 www.alsglobal.com/geochemistry

À: **MINIÈRE OSISKO INC.**
300, RUE ST-PAUL
BUREAU 200
QUEBEC QC G1K 7R1

Page: 2 - D
 Nombre total de pages: 2 (A - D)
 plus les pages d'annexe
 Finalisée date: 24-JUIL-2018
 Compte: MINVIR

Projet: Eléonore JV

CERTIFICAT D'ANALYSE VO18163711

Description échantillon	Méthode élément unités LDI	ME-MS61 V ppm 1	ME-MS61 W ppm 0.1	ME-MS61 Y ppm 0.1	ME-MS61 Zn ppm 2	ME-MS61 Zr ppm 0.5	Cu-OG62 Cu % 0.001	Pb-OG62 Pb % 0.001	Zn-OG62 Zn % 0.001
388901		118	0.3	17.1	117	122.5			
388902		123	0.3	17.7	124	108.5			
388903		129	0.3	18.4	129	111.0			
388904		145	0.3	19.1	134	116.5			
388905		106	63.2	10.3	>10000	10.9	1.335	1.575	7.17
388906		124	0.3	16.9	160	103.0			
388907		120	0.3	17.2	127	105.0			
388908		139	0.3	15.6	132	116.0			
388909		153	0.3	16.3	120	113.0			
388910		2	0.1	0.7	14	1.6			



ALS Canada Ltd.
 2103 Dollarton Hwy
 North Vancouver BC V7H 0A7
 Téléphone: +1 (604) 984 0221 Télécopieur: +1 (604) 984 0218
 www.alsglobal.com/geochemistry

À: **MINIÈRE OSISKO INC.**
300, RUE ST-PAUL
BUREAU 200
QUEBEC QC G1K 7R1

Page: Annexe 1
Total # les pages d'annexe: 1
Finalisée date: 24-JUIL-2018
Compte: MINVIR

Projet: Eléonore JV

CERTIFICAT D'ANALYSE VO18163711

COMMENTAIRE DE CERTIFICAT

COMMENTAIRES ANALYTIQUES

Applique à la Méthode: L'analyse des terres rares peut être partiellement soluble avec cette méthode.
 ME-MS61

ADRESSE DE LABORATOIRE

Applique à la Méthode: Traité à ALS Thunder Bay, 645 Norah Crescent, Thunder Bay, ON, Canada
 CRU-31 CRU-QC LOG-21 LOG-23
 PUL-31 PUL-QC SPL-21 WEI-21

Applique à la Méthode: Traité à ALS Vancouver, 2103 Dollarton Hwy, North Vancouver, BC, Canada.
 Au-ICP21 Cu-OG62 ME-MS61 ME-OG62
 Pb-OG62 Zn-OG62



ALS Canada Ltd.
2103 Dollarton Hwy
North Vancouver BC V7H 0A7
Téléphone: +1 (604) 984 0221 Télécopieur: +1 (604) 984 0218
www.alsglobal.com/geochemistry

À: **MINIÈRE OSISKO INC.**
300, RUE ST-PAUL
BUREAU 200
QUEBEC QC G1K 7R1

Page: 1
Nombre total de pages: 2 (A - D)
plus les pages d'annexe
Finalisée date: 8-OCT-2018
Compte: MINVIR

CERTIFICAT VO18247719

Projet: Eléonore JV

Bon de commande #: EJV-005

Ce rapport s'applique aux 20 échantillons de channel soumis à notre laboratoire de Val d'Or, QC, Canada le 3-OCT-2018.

Les résultats sont transmis à:

CHARLES GAUMOND

CORPORATIF WEBTRIEVE

PRÉPARATION ÉCHANTILLONS

CODE ALS	DESCRIPTION
FND-02a	Localiser échantillon au laboratoire subsidiaire

PROCÉDURES ANALYTIQUES

CODE ALS	DESCRIPTION
Ag-OG62	Teneur marchande Ag - quatre acides
ME-OG62	Teneur marchande éléments - quatre acides ICP-AES
Cu-OG62	Teneur marchande Cu - quatre acides
Pb-OG62	Teneur marchande Pb - quatre acides
Zn-OG62	Teneur marchande Zn - quatre acides
Au-ICP21	Au 30 g FA fini ICP-AES ICP-AES
ME-MS61	ICP-MS 48 éléments, quatre acides

Ce rapport est final et remplace tout autre rapport préliminaire portant ce numéro de certificat. Les résultats s'appliquent aux échantillons soumis. Toutes les pages de ce rapport ont été vérifiées et approuvées avant publication.

***** Voir la page d'annexe pour les commentaires en ce qui concerne ce certificat *****

Signature:

Colin Ramshaw, Vancouver Laboratory Manager



ALS Canada Ltd.
 2103 Dollarton Hwy
 North Vancouver BC V7H 0A7
 Téléphone: +1 (604) 984 0221 Télécopieur: +1 (604) 984 0218
 www.alsglobal.com/geochemistry

À: **MINIÈRE OSISKO INC.**
300, RUE ST-PAUL
BUREAU 200
QUEBEC QC G1K 7R1

Page: 2 - A
 Nombre total de pages: 2 (A - D)
 plus les pages d'annexe
 Finalisée date: 8-OCT-2018
 Compte: MINVIR

Projet: Eléonore JV

CERTIFICAT D'ANALYSE VO18247719

Description échantillon	Méthode élément unités LDI	Au-ICP21	ME-MS61	ME-MS61	ME-MS61	ME-MS61	ME-MS61	ME-MS61	ME-MS61	ME-MS61	ME-MS61	ME-MS61	ME-MS61	ME-MS61	ME-MS61	
		Au ppm 0.001	Ag ppm 0.01	Al % 0.01	As ppm 0.2	Ba ppm 10	Be ppm 0.05	Bi ppm 0.01	Ca % 0.01	Cd ppm 0.02	Ce ppm 0.01	Co ppm 0.1	Cr ppm 1	Cs ppm 0.05	Cu ppm 0.2	Fe % 0.01
388801		0.001	0.12	8.46	0.3	760	1.95	0.14	5.71	0.21	76.0	31.3	121	0.60	50.5	6.50
388802		0.001	0.41	7.77	0.6	360	1.46	0.48	5.92	0.22	40.6	41.8	196	0.53	91.7	8.77
388803		<0.001	0.32	8.43	0.2	800	1.60	0.23	4.70	0.13	91.3	30.8	120	1.05	62.8	6.21
388804		<0.001	0.57	8.40	1.1	620	2.98	0.40	5.55	0.17	86.9	24.2	119	0.63	53.1	6.68
388805		0.113	59.1	3.35	158.0	1660	0.43	61.7	2.04	358	8.37	95.0	85	2.08	>10000	16.15
388806		0.007	1.87	7.54	0.4	710	3.14	0.58	4.86	0.32	63.3	41.5	102	0.80	528	10.25
388807		0.002	71.0	7.90	0.3	260	2.16	0.79	4.78	0.19	49.0	26.3	167	0.46	>10000	6.91
388808		0.003	30.4	8.06	0.4	530	1.39	0.79	4.52	0.18	70.0	39.6	201	0.60	>10000	10.20
388809		0.003	10.80	7.65	0.6	140	1.39	0.68	8.41	0.18	51.3	32.8	195	0.38	9260	9.06
388810		<0.001	0.04	0.41	0.2	10	0.11	0.02	0.02	<0.02	8.94	0.2	6	0.14	18.5	0.28
388811		0.002	0.90	8.72	<0.2	790	1.96	0.18	5.72	0.20	76.9	30.5	133	0.56	403	6.76
388812		0.003	3.97	7.82	0.4	190	1.27	0.55	6.23	0.18	40.9	46.4	207	0.41	4280	10.50
388813		0.004	>100	7.48	0.6	210	1.81	1.36	4.66	0.18	50.7	31.1	199	0.45	>10000	8.59
388814		<0.001	2.53	8.55	0.3	1000	1.57	0.26	3.70	0.14	107.5	30.3	137	1.04	820	6.34
388815		1.160	44.4	4.37	115.5	730	0.85	22.2	1.53	130.5	29.0	278	28	1.10	>10000	16.45
388816		<0.001	1.79	8.35	0.5	550	2.44	0.31	4.47	0.23	97.9	22.9	107	0.68	362	5.45
388817		0.002	0.26	8.11	0.9	340	1.10	0.30	7.36	0.34	44.8	43.5	200	0.55	78.2	9.65
388818		<0.001	0.20	8.78	0.2	590	0.92	0.06	4.13	0.08	28.2	18.8	67	0.78	39.5	3.60
388819		<0.001	0.15	8.63	<0.2	560	0.87	0.06	3.75	0.06	25.8	17.7	67	0.75	41.6	3.60
388820		0.008	0.87	7.21	0.7	260	0.82	0.67	5.65	0.22	39.2	39.6	172	0.43	1165	12.90



ALS Canada Ltd.
 2103 Dollarton Hwy
 North Vancouver BC V7H 0A7
 Téléphone: +1 (604) 984 0221 Télécopieur: +1 (604) 984 0218
 www.alsglobal.com/geochemistry

À: **MINIÈRE OSISKO INC.**
300, RUE ST-PAUL
BUREAU 200
QUEBEC QC G1K 7R1

Page: 2 - B
 Nombre total de pages: 2 (A - D)
 plus les pages d'annexe
 Finalisée date: 8-OCT-2018
 Compte: MINVIR

Projet: Eléonore JV

CERTIFICAT D'ANALYSE VO18247719

Description échantillon	Méthode élément unités LDI	ME-MS61	ME-MS61	ME-MS61	ME-MS61	ME-MS61	ME-MS61	ME-MS61	ME-MS61	ME-MS61	ME-MS61	ME-MS61	ME-MS61	ME-MS61	ME-MS61	
		Ga ppm 0.05	Ge ppm 0.05	Hf ppm 0.1	In ppm 0.005	K % 0.01	La ppm 0.5	Li ppm 0.2	Mg % 0.01	Mn ppm 5	Mo ppm 0.05	Na % 0.01	Nb ppm 0.1	Ni ppm 0.2	P ppm 10	Pb ppm 0.5
388801		22.2	0.17	2.7	0.072	1.48	32.9	15.0	2.56	1260	1.10	2.69	7.4	68.0	1610	14.1
388802		20.7	0.14	1.3	0.069	1.31	19.0	15.1	2.35	1240	1.74	2.38	5.6	134.0	850	9.2
388803		21.7	0.19	2.8	0.055	1.75	43.6	21.4	2.21	1100	0.50	2.94	5.9	92.0	1640	10.4
388804		20.7	0.19	2.7	0.061	1.57	41.1	10.7	2.62	1180	20.7	2.82	8.1	59.1	1720	11.6
388805		16.05	0.25	0.6	2.33	0.62	3.4	32.5	1.13	633	34.2	0.66	1.7	50.6	380	>10000
388806		19.00	0.17	2.9	0.052	1.93	31.2	18.9	2.17	933	49.3	2.28	5.5	116.5	1440	16.9
388807		21.7	0.14	1.2	0.067	1.14	21.7	12.7	2.01	1170	3.23	3.41	7.6	106.5	900	11.3
388808		22.3	0.16	1.9	0.075	1.30	33.1	25.4	2.35	1200	5.92	2.87	6.3	137.5	1280	10.9
388809		27.1	0.12	1.1	0.099	0.59	26.5	14.5	2.13	1260	2.20	2.39	3.3	129.5	920	7.1
388810		1.07	0.05	0.2	<0.005	0.13	4.4	2.6	0.01	23	0.14	0.02	1.1	1.1	20	0.9
388811		21.7	0.17	2.5	0.063	1.66	35.3	11.3	2.53	1220	1.27	2.81	7.2	70.1	1500	12.3
388812		22.3	0.13	1.2	0.081	0.80	19.1	13.2	2.06	1220	6.10	2.59	5.1	145.5	910	9.1
388813		22.1	0.14	1.0	0.074	0.88	25.2	14.2	2.08	1170	12.65	3.28	6.7	111.0	800	9.8
388814		22.0	0.20	2.9	0.054	2.18	52.1	27.0	2.22	1130	0.54	3.18	6.9	95.8	1840	12.4
388815		22.7	0.20	2.7	4.00	0.94	14.3	11.1	1.25	649	15.45	0.49	4.6	19.2	560	6250
388816		20.4	0.16	2.8	0.053	1.66	48.2	14.1	2.15	1000	3.15	2.96	6.9	54.9	1430	15.7
388817		20.5	0.12	1.4	0.068	1.21	23.3	24.0	2.83	1300	1.92	2.58	3.7	160.5	780	11.2
388818		21.2	0.12	1.5	0.033	1.48	13.4	16.8	1.96	569	0.61	3.92	3.8	55.8	690	15.7
388819		21.0	0.11	1.2	0.029	1.50	11.8	20.8	1.93	594	3.18	3.82	3.7	56.5	660	10.5
388820		20.3	0.13	0.9	0.074	0.90	19.9	19.4	2.94	1340	12.85	2.52	2.7	230	710	26.9



ALS Canada Ltd.
 2103 Dollarton Hwy
 North Vancouver BC V7H 0A7
 Téléphone: +1 (604) 984 0221 Télécopieur: +1 (604) 984 0218
 www.alsglobal.com/geochemistry

À: **MINIÈRE OSISKO INC.**
300, RUE ST-PAUL
BUREAU 200
QUEBEC QC G1K 7R1

Page: 2 - C
 Nombre total de pages: 2 (A - D)
 plus les pages d'annexe
 Finalisée date: 8-OCT-2018
 Compte: MINVIR

Projet: Eléonore JV

CERTIFICAT D'ANALYSE VO18247719

Description échantillon	Méthode élément unités LDI	ME-MS61	ME-MS61	ME-MS61	ME-MS61	ME-MS61	ME-MS61	ME-MS61	ME-MS61	ME-MS61	ME-MS61	ME-MS61	ME-MS61	ME-MS61	ME-MS61	
		Rb ppm	Re ppm	S %	Sb ppm	Sc ppm	Se ppm	Sn ppm	Sr ppm	Ta ppm	Te ppm	Th ppm	Ti %	Tl ppm	U ppm	V ppm
		0.1	0.002	0.01	0.05	0.1	1	0.2	0.2	0.05	0.05	0.01	0.005	0.02	0.1	1
388801		31.9	<0.002	0.26	0.27	24.5	<1	1.5	889	0.37	0.05	11.85	0.490	0.33	1.4	174
388802		51.2	<0.002	1.65	0.11	23.2	1	1.5	559	0.38	0.25	3.42	0.770	0.28	1.7	187
388803		53.7	<0.002	0.53	0.05	20.9	1	1.0	747	0.30	0.10	8.32	0.489	0.42	1.2	172
388804		53.3	0.003	0.63	0.06	22.7	1	1.6	815	0.73	0.11	10.10	0.480	0.32	2.2	180
388805		20.9	0.021	>10.0	86.8	12.6	63	12.6	80.8	0.14	0.07	0.84	0.231	6.13	2.8	99
388806		73.6	0.010	4.07	0.10	18.9	1	1.3	823	0.36	0.40	7.96	0.420	0.50	1.9	147
388807		43.6	0.009	2.23	0.06	22.7	2	1.3	531	0.84	0.42	5.05	0.619	0.23	7.9	345
388808		40.4	0.016	3.65	0.05	24.2	1	1.5	545	0.45	0.55	6.22	0.683	0.31	2.7	214
388809		25.5	0.037	2.16	0.12	23.3	2	1.2	1335	0.23	0.41	2.60	0.850	0.16	1.3	240
388810		3.0	<0.002	0.01	0.14	0.6	<1	<0.2	11.4	0.05	<0.05	1.43	0.027	0.02	0.3	4
388811		35.7	<0.002	0.49	<0.05	21.5	1	1.5	848	0.37	0.09	7.52	0.544	0.32	1.5	179
388812		30.4	0.004	3.68	0.06	25.1	1	1.7	674	0.35	0.50	3.45	0.877	0.20	3.1	213
388813		35.7	0.274	3.40	0.06	23.4	4	1.4	454	0.58	0.59	4.20	0.636	0.21	8.5	519
388814		75.3	0.007	0.56	<0.05	21.9	1	1.1	589	0.35	0.10	9.99	0.530	0.53	1.4	190
388815		29.7	<0.002	>10.0	66.7	8.1	32	7.8	40.5	0.33	0.79	3.50	0.126	1.05	1.2	30
388816		50.5	0.005	0.51	0.10	16.3	1	1.3	679	0.53	0.09	13.45	0.446	0.38	1.5	153
388817		53.5	<0.002	1.05	0.21	23.1	1	0.9	716	0.24	0.12	2.55	0.742	0.34	1.6	189
388818		48.4	<0.002	0.76	<0.05	9.5	<1	0.6	664	0.23	0.12	1.92	0.323	0.44	0.5	80
388819		44.9	0.002	0.63	<0.05	9.2	1	0.6	600	0.20	0.07	1.23	0.322	0.46	0.3	78
388820		36.5	0.041	6.15	0.08	22.2	1	1.2	519	0.16	0.57	2.02	0.709	0.27	0.5	192



ALS Canada Ltd.
 2103 Dollarton Hwy
 North Vancouver BC V7H 0A7
 Téléphone: +1 (604) 984 0221 Télécopieur: +1 (604) 984 0218
 www.alsglobal.com/geochemistry

À: **MINIÈRE OSISKO INC.**
300, RUE ST-PAUL
BUREAU 200
QUEBEC QC G1K 7R1

Page: 2 - D
 Nombre total de pages: 2 (A - D)
 plus les pages d'annexe
 Finalisée date: 8-OCT-2018
 Compte: MINVIR

Projet: Eléonore JV

CERTIFICAT D'ANALYSE VO18247719

Description échantillon	Méthode élément unités LDI	ME-MS61	ME-MS61	ME-MS61	ME-MS61	Ag-OG62	Cu-OG62	Pb-OG62	Zn-OG62
		W	Y	Zn	Zr	Ag	Cu	Pb	Zn
		ppm	ppm	ppm	ppm	ppm	%	%	%
		0.1	0.1	2	0.5	1	0.001	0.001	0.001
388801		0.1	19.7	112	106.5				
388802		0.3	16.3	124	38.7				
388803		0.1	16.7	96	114.5				
388804		0.7	17.7	104	109.0				
388805		57.9	10.7	>10000	32.0		1.355	1.615	7.24
388806		0.3	13.5	133	122.0				
388807		0.4	20.3	97	29.4		1.470		
388808		0.4	17.5	112	67.0		2.62		
388809		0.5	18.3	80	24.9				
388810		0.2	1.2	2	5.3				
388811		0.2	18.4	115	93.3				
388812		0.4	18.2	110	27.9				
388813		0.6	17.0	92	26.0	159	2.48		
388814		0.1	17.8	109	121.0				
388815		4.3	12.4	>10000	112.0		3.03		2.37
388816		0.2	14.4	112	111.5				
388817		0.3	17.2	140	37.8				
388818		0.1	6.5	63	53.9				
388819		0.1	6.2	66	44.3				
388820		0.3	15.2	131	18.9				



ALS Canada Ltd.
 2103 Dollarton Hwy
 North Vancouver BC V7H 0A7
 Téléphone: +1 (604) 984 0221 Télécopieur: +1 (604) 984 0218
 www.alsglobal.com/geochemistry

À: **MINIÈRE OSISKO INC.**
300, RUE ST-PAUL
BUREAU 200
QUEBEC QC G1K 7R1

Page: Annexe 1
Total # les pages d'annexe: 1
Finalisée date: 8-OCT-2018
Compte: MINVIR

Projet: Eléonore JV

CERTIFICAT D'ANALYSE VO18247719

COMMENTAIRE DE CERTIFICAT

COMMENTAIRES ANALYTIQUES

Applique à la Méthode: L'analyse des terres rares peut être partiellement soluble avec cette méthode.
 ME-MS61

ADRESSE DE LABORATOIRE

Applique à la Méthode: Traité à ALS Vancouver, 2103 Dollarton Hwy, North Vancouver, BC, Canada.

Ag-OG62	Au-ICP21	Cu-OG62	FND-02a
ME-MS61	ME-OG62	Pb-OG62	Zn-OG62

Quality Analysis ...



Innovative Technologies

Date Submitted: 06-Jul-18
Invoice No.: A18-08826
Invoice Date: 02-Aug-18
Your Reference: ELEONORE JV

Osisko Mining Inc.
300 rue St.Paul
Suite 200
Quebec PQ G1K 7R1
Canada

ATTN: Charles Gaumont

CERTIFICATE OF ANALYSIS

53 Soil samples were submitted for analysis.

The following analytical package(s) were requested:

Code 1H INAA(INAAGEO)/Total Digestion ICP(TOTAL)

REPORT **A18-08826**

This report may be reproduced without our consent. If only selected portions of the report are reproduced, permission must be obtained. If no instructions were given at time of sample submittal regarding excess material, it will be discarded within 90 days of this report. Our liability is limited solely to the analytical cost of these analyses. Test results are representative only of material submitted for analysis.

Notes:

Elements which exceed the upper limits should be analyzed by assay techniques. Some elements are reported by multiple techniques. These are indicated by MULT.

CERTIFIED BY:

A handwritten signature in black ink, appearing to be "Emmanuel Esemé", written over a horizontal line.

Emmanuel Esemé , Ph.D.
Quality Control

ACTIVATION LABORATORIES LTD.
41 Bittern Street, Ancaster, Ontario, Canada, L9G 4V5
TELEPHONE +905 648-9611 or +1.888.228.5227 FAX +1.905.648.9613
E-MAIL Ancaster@actlabs.com ACTLABS GROUP WEBSITE www.actlabs.com

Results

Activation Laboratories Ltd.

Report: A18-08826

Analyte Symbol	Au	Ag	Cu	Cd	Mo	Pb	Ni	Zn	S	Al	As	Ba	Be	Bi	Br	Ca	Co	Cr	Cs	Eu	Fe	Hf	Hg
Unit Symbol	ppb	ppm	ppm	ppm	ppm	ppm	ppm	ppm	%	%	ppm	ppm	ppm	ppm	ppm	%	ppm	ppm	ppm	ppm	%	ppm	ppm
Lower Limit	2	0.3	1	0.3	1	3	1	1	0.01	0.01	0.5	50	1	2	0.5	0.01	1	2	1	0.2	0.01	1	1
Method Code	INAA	MULT INAA / TD-ICP	TD-ICP	TD-ICP	TD-ICP	TD-ICP	MULT INAA / TD-ICP	MULT INAA / TD-ICP	TD-ICP	TD-ICP	INAA	INAA	TD-ICP	TD-ICP	INAA	TD-ICP	INAA	INAA	INAA	INAA	INAA	INAA	INAA
289951	< 2	1.3	13	< 0.3	< 1	24	19	27	< 0.01	6.85	2.6	790	2	< 2	6.4	1.97	7	86	< 1	1.2	2.53	19	< 1
289952	< 2	1.0	7	< 0.3	< 1	19	14	24	< 0.01	6.86	< 0.5	800	2	< 2	7.1	1.78	< 1	77	< 1	1.1	2.56	20	< 1
289953	< 2	1.1	6	< 0.3	< 1	17	16	31	0.01	6.86	< 0.5	710	2	< 2	< 0.5	1.78	6	84	< 1	1.1	2.61	17	< 1
289954	15	0.7	11	< 0.3	< 1	18	13	24	< 0.01	6.78	0.6	710	2	< 2	9.2	1.82	4	72	< 1	1.1	1.98	16	< 1
289955	3	0.5	19	< 0.3	< 1	19	17	26	< 0.01	6.83	< 0.5	550	2	< 2	4.7	1.76	5	74	< 1	1.0	2.50	17	< 1
289956	< 2	1.1	8	< 0.3	< 1	19	12	23	< 0.01	6.86	2.6	740	2	< 2	1.4	1.80	8	76	< 1	0.4	2.27	17	< 1
289957	< 2	1.4	7	< 0.3	< 1	18	14	24	< 0.01	6.71	< 0.5	800	2	< 2	8.5	1.89	5	86	1	1.1	2.54	20	< 1
289958	< 2	1.5	60	< 0.3	1	21	25	37	0.01	7.14	2.6	700	2	< 2	6.5	1.94	8	94	< 1	1.1	3.28	22	< 1
289959	< 2	1.5	8	< 0.3	< 1	18	12	26	< 0.01	6.91	2.8	740	2	< 2	7.8	1.96	4	57	< 1	1.1	1.97	22	< 1
289960	< 2	1.0	11	< 0.3	1	19	12	25	< 0.01	6.87	2.8	750	2	< 2	8.4	1.95	< 1	62	< 1	1.2	1.87	21	3
289961	< 2	0.4	7	< 0.3	< 1	19	12	23	< 0.01	6.62	5.1	690	2	< 2	12.7	1.88	6	75	< 1	1.2	2.56	18	< 1
289962	< 2	< 0.3	5	< 0.3	< 1	17	11	21	< 0.01	6.78	1.0	560	2	< 2	7.1	1.90	2	46	< 1	0.8	1.78	11	< 1
289963	< 2	< 0.3	7	< 0.3	< 1	19	12	22	< 0.01	6.73	1.3	660	2	< 2	9.7	1.90	5	64	< 1	0.9	2.29	14	< 1
289964	< 2	0.7	8	< 0.3	< 1	21	15	24	< 0.01	7.04	2.6	780	2	< 2	7.6	1.82	3	72	< 1	1.0	2.41	16	< 1
289965	< 2	0.8	9	< 0.3	< 1	19	13	24	< 0.01	6.81	1.3	540	2	< 2	13.8	1.91	6	54	< 1	0.8	2.26	15	< 1
289966	< 2	1.0	4	< 0.3	< 1	20	13	21	0.01	6.93	1.6	670	2	< 2	2.1	1.76	2	61	< 1	1.3	2.16	15	< 1
289967	< 2	1.0	4	< 0.3	< 1	19	14	24	< 0.01	6.86	< 0.5	630	2	< 2	5.6	1.79	7	78	< 1	0.9	2.57	19	< 1
289968	< 2	< 0.3	9	< 0.3	< 1	19	15	22	< 0.01	6.61	< 0.5	610	2	< 2	5.8	1.81	5	75	< 1	0.9	2.33	16	< 1
289969	4	1.0	11	< 0.3	< 1	22	16	27	< 0.01	6.58	< 0.5	540	2	< 2	5.3	1.91	7	74	< 1	1.1	2.39	17	< 1
289970	< 2	< 0.3	11	< 0.3	2	21	16	23	< 0.01	6.71	1.6	680	2	< 2	9.3	1.90	5	75	< 1	0.9	2.29	16	< 1
289971	< 2	< 0.3	16	< 0.3	< 1	21	20	29	< 0.01	6.82	2.1	780	2	< 2	7.8	1.94	9	81	< 1	1.1	2.53	17	< 1
289972	< 2	0.7	11	< 0.3	< 1	20	22	29	< 0.01	6.69	3.8	690	2	< 2	1.2	1.93	9	88	1	0.9	2.76	18	< 1
289973	< 2	0.7	11	< 0.3	< 1	22	21	29	< 0.01	6.95	0.6	390	2	< 2	9.2	1.91	6	93	< 1	0.9	1.77	12	4
289974	< 2	0.4	10	< 0.3	< 1	19	21	27	< 0.01	6.94	< 0.5	410	2	< 2	< 0.5	1.99	6	71	< 1	0.8	1.98	10	< 1
289975	< 2	< 0.3	17	< 0.3	2	20	24	34	< 0.01	6.92	< 0.5	510	2	< 2	5.8	1.99	9	91	3	0.9	2.58	12	< 1
289976	< 2	0.7	9	< 0.3	< 1	21	20	28	< 0.01	7.04	< 0.5	480	2	< 2	3.9	1.73	7	78	< 1	0.7	2.24	11	< 1
290251	< 2	0.7	7	< 0.3	< 1	28	13	44	< 0.01	6.75	< 0.5	370	2	< 2	6.9	1.95	2	66	< 1	0.9	2.04	11	< 1
290252	< 2	0.4	6	< 0.3	< 1	20	13	25	< 0.01	6.80	< 0.5	510	2	< 2	13.1	1.90	5	73	< 1	0.9	2.27	14	< 1
290253	< 2	1.0	13	< 0.3	< 1	22	16	26	< 0.01	7.09	< 0.5	550	2	< 2	7.8	1.64	3	81	< 1	0.9	1.90	10	< 1
290254	< 2	0.9	6	< 0.3	< 1	19	12	23	< 0.01	6.85	0.9	360	2	< 2	8.8	1.94	3	54	< 1	0.8	1.77	11	< 1
290255	4	1.2	8	< 0.3	< 1	20	10	22	< 0.01	6.82	< 0.5	530	2	< 2	< 0.5	1.91	1	41	< 1	0.9	1.07	13	< 1
290256	< 2	1.4	4	< 0.3	< 1	19	14	24	< 0.01	6.89	< 0.5	560	2	< 2	4.4	1.85	4	76	< 1	0.9	2.37	15	< 1
290257	< 2	1.3	7	< 0.3	< 1	20	12	22	< 0.01	7.09	< 0.5	410	2	< 2	15.3	1.83	2	63	< 1	0.9	1.55	12	< 1
290258	< 2	0.7	8	< 0.3	< 1	20	14	23	0.01	6.92	< 0.5	460	2	< 2	1.1	1.86	4	69	< 1	0.8	1.97	10	< 1
290259	< 2	< 0.3	9	< 0.3	< 1	19	13	23	< 0.01	6.74	< 0.5	470	2	< 2	6.5	1.91	4	64	< 1	0.9	1.88	11	< 1
290260	< 2	0.3	7	< 0.3	< 1	19	17	26	< 0.01	6.84	0.8	440	2	< 2	4.5	1.63	5	66	< 1	0.7	1.88	9	< 1
290261	< 2	0.9	23	< 0.3	< 1	20	19	26	< 0.01	6.95	< 0.5	530	2	< 2	7.5	1.87	7	71	1	0.8	1.92	8	< 1
290262	2	0.6	10	< 0.3	< 1	18	13	23	< 0.01	6.24	< 0.5	380	2	< 2	5.6	1.80	4	61	< 1	0.9	1.83	9	< 1
290263	< 2	< 0.3	8	< 0.3	< 1	19	13	24	< 0.01	6.77	< 0.5	420	2	< 2	3.1	1.92	5	59	< 1	0.8	1.80	8	< 1
290264	< 2	1.0	10	< 0.3	< 1	20	16	25	< 0.01	6.96	0.6	440	2	< 2	< 0.5	1.86	6	65	< 1	0.7	1.99	9	< 1
290265	3	0.8	9	< 0.3	< 1	20	16	25	< 0.01	6.87	1.1	380	2	< 2	< 0.5	1.81	3	65	< 1	0.8	1.93	10	< 1

Analyte Symbol	Au	Ag	Cu	Cd	Mo	Pb	Ni	Zn	S	Al	As	Ba	Be	Bi	Br	Ca	Co	Cr	Cs	Eu	Fe	Hf	Hg
Unit Symbol	ppb	ppm	ppm	ppm	ppm	ppm	ppm	ppm	%	%	ppm	ppm	ppm	ppm	ppm	%	ppm	ppm	ppm	ppm	%	ppm	ppm
Lower Limit	2	0.3	1	0.3	1	3	1	1	0.01	0.01	0.5	50	1	2	0.5	0.01	1	2	1	0.2	0.01	1	1
Method Code	INAA	MULT INAA / TD-ICP	TD-ICP	TD-ICP	TD-ICP	TD-ICP	MULT INAA / TD-ICP	MULT INAA / TD-ICP	TD-ICP	TD-ICP	INAA	INAA	TD-ICP	TD-ICP	INAA	TD-ICP	INAA	INAA	INAA	INAA	INAA	INAA	INAA
290266	4	< 0.3	6	< 0.3	< 1	20	13	23	< 0.01	6.97	< 0.5	460	2	< 2	3.8	1.82	3	57	< 1	0.7	1.72	8	< 1
290267	< 2	1.1	5	< 0.3	< 1	21	15	23	< 0.01	6.74	< 0.5	420	2	< 2	0.9	1.81	5	71	< 1	0.8	2.17	12	< 1
290268	< 2	0.6	6	< 0.3	< 1	22	18	27	< 0.01	6.80	< 0.5	380	2	< 2	< 0.5	1.95	7	93	< 1	0.8	2.49	16	< 1
290269	< 2	1.1	15	< 0.3	< 1	20	20	26	< 0.01	6.83	< 0.5	460	2	< 2	< 0.5	1.88	5	75	< 1	0.8	2.08	10	< 1
290270	6	1.3	16	< 0.3	< 1	21	20	26	< 0.01	6.58	< 0.5	380	2	< 2	8.8	1.83	6	82	1	0.8	2.24	13	< 1
290271	< 2	1.0	11	< 0.3	< 1	19	20	25	< 0.01	6.55	< 0.5	460	2	< 2	< 0.5	1.76	5	67	< 1	0.8	1.89	9	< 1
290272	< 2	1.1	21	< 0.3	< 1	21	24	29	< 0.01	6.76	< 0.5	360	2	< 2	8.9	1.90	6	63	< 1	0.8	1.72	8	< 1
290273	< 2	0.6	6	< 0.3	< 1	21	16	23	< 0.01	6.62	< 0.5	440	2	< 2	1.2	1.90	5	64	< 1	0.7	1.91	12	< 1
290274	< 2	< 0.3	6	< 0.3	< 1	22	16	23	< 0.01	6.62	< 0.5	380	2	< 2	11.9	1.86	5	75	< 1	0.8	1.98	10	< 1
290275	< 2	0.6	16	< 0.3	1	21	22	27	< 0.01	6.75	< 0.5	360	2	< 2	10.8	1.90	6	77	< 1	0.9	1.91	9	< 1
290276	< 2	0.4	14	< 0.3	< 1	20	22	25	< 0.01	6.93	< 0.5	420	2	< 2	< 0.5	1.78	7	78	1	0.9	1.89	9	< 1
290277	< 2	1.2	20	< 0.3	< 1	21	29	30	< 0.01	6.78	< 0.5	430	2	< 2	4.0	1.86	8	86	2	0.8	2.26	10	< 1

Results

Activation Laboratories Ltd.

Report: A18-08826

Analyte Symbol	Ir	K	Li	Mg	Mn	Na	P	Rb	Sb	Sc	Se	Sr	Ta	Ti	Th	U	V	W	Y	La	Ce	Nd	Sm
Unit Symbol	ppb	%	ppm	%	ppm	%	%	ppm	ppm	ppm	ppm	ppm	ppm	%	ppm	ppm	ppm	ppm	ppm	ppm	ppm	ppm	ppm
Lower Limit	5	0.01	1	0.01	1	0.01	0.001	15	0.1	0.1	3	1	0.5	0.01	0.2	0.5	2	1	1	0.5	3	5	0.1
Method Code	INAA	TD-ICP	TD-ICP	TD-ICP	TD-ICP	INAA	TD-ICP	INAA	INAA	INAA	INAA	TD-ICP	INAA	TD-ICP	INAA	INAA	TD-ICP	INAA	TD-ICP	INAA	INAA	INAA	INAA
289951	< 5	2.20	8	0.70	364	3.04	0.085	< 15	< 0.1	8.2	< 3	553	< 0.5	0.12	18.7	3.5	49	< 1	12	41.5	91	22	6.1
289952	< 5	2.09	7	0.62	335	3.04	0.041	29	< 0.1	7.9	< 3	528	< 0.5	0.11	19.0	2.6	45	< 1	11	41.0	109	22	5.7
289953	< 5	2.27	13	0.74	363	2.99	0.056	< 15	< 0.1	8.0	< 3	507	< 0.5	0.14	17.7	3.5	52	< 1	10	38.2	103	27	5.4
289954	< 5	2.13	9	0.62	320	2.88	0.061	< 15	< 0.1	7.2	< 3	513	< 0.5	0.12	16.5	1.9	42	< 1	11	37.0	84	39	5.3
289955	< 5	2.17	9	0.66	336	3.00	0.061	< 15	< 0.1	7.9	< 3	528	< 0.5	0.12	16.2	< 0.5	45	< 1	10	36.0	104	29	5.7
289956	< 5	2.13	7	0.60	318	3.14	0.044	59	< 0.1	7.8	< 3	556	< 0.5	0.11	16.4	2.0	42	< 1	9	31.9	94	28	4.9
289957	< 5	2.08	8	0.66	375	2.91	0.053	74	< 0.1	7.7	< 3	555	< 0.5	0.11	19.1	1.4	50	< 1	11	34.2	91	29	5.1
289958	< 5	2.01	19	1.00	485	2.66	0.026	< 15	< 0.1	9.9	< 3	521	< 0.5	0.20	26.8	3.1	74	< 1	12	43.5	108	30	6.4
289959	< 5	2.10	7	0.65	362	3.04	0.070	24	< 0.1	7.7	< 3	551	< 0.5	0.11	20.0	< 0.5	34	< 1	11	42.1	105	35	5.9
289960	< 5	2.19	8	0.66	354	3.02	0.064	23	< 0.1	7.9	< 3	559	< 0.5	0.12	21.6	3.4	34	< 1	12	40.8	97	33	6.2
289961	< 5	1.97	7	0.62	341	3.04	0.060	< 15	< 0.1	7.7	< 3	535	< 0.5	0.11	17.6	3.0	43	< 1	11	36.8	97	32	5.9
289962	< 5	2.05	6	0.58	278	3.01	0.062	94	< 0.1	6.5	< 3	536	< 0.5	0.10	9.1	2.6	32	< 1	9	29.8	63	21	3.8
289963	< 5	2.10	7	0.60	324	3.01	0.059	< 15	< 0.1	7.0	< 3	531	< 0.5	0.10	14.1	0.9	43	< 1	11	38.2	75	23	4.8
289964	< 5	2.15	8	0.63	335	2.97	0.060	< 15	0.2	7.4	< 3	543	< 0.5	0.12	16.7	3.3	47	< 1	11	38.5	100	21	5.2
289965	< 5	2.13	7	0.66	346	2.84	0.078	59	< 0.1	7.0	< 3	546	< 0.5	0.12	15.3	1.0	43	< 1	11	41.2	80	27	4.9
289966	< 5	2.16	7	0.59	317	2.97	0.045	48	< 0.1	7.2	< 3	538	< 0.5	0.11	14.4	0.6	43	< 1	10	35.8	83	21	4.6
289967	< 5	2.03	7	0.64	349	3.03	0.061	< 15	< 0.1	7.6	< 3	533	< 0.5	0.11	18.1	2.2	50	< 1	10	41.9	90	20	4.7
289968	< 5	2.08	6	0.61	346	2.83	0.049	31	< 0.1	7.0	< 3	497	< 0.5	0.09	17.7	2.1	46	< 1	11	41.0	89	20	4.7
289969	< 5	2.10	7	0.66	367	2.88	0.079	20	< 0.1	7.3	< 3	487	< 0.5	0.11	21.7	4.1	48	< 1	13	51.4	101	29	5.7
289970	< 5	2.10	7	0.67	342	2.97	0.072	145	< 0.1	7.5	< 3	492	< 0.5	0.11	17.6	1.0	42	< 1	13	47.9	101	26	5.7
289971	< 5	2.19	10	0.77	382	3.09	0.080	59	< 0.1	8.6	< 3	508	< 0.5	0.12	24.1	1.8	47	< 1	15	56.7	120	42	7.0
289972	< 5	2.10	11	0.76	397	2.96	0.079	85	< 0.1	8.0	< 3	496	< 0.5	0.12	23.2	2.5	56	< 1	14	51.1	105	34	6.2
289973	< 5	2.24	9	0.77	390	2.54	0.087	36	< 0.1	7.7	< 3	494	< 0.5	0.12	17.4	1.9	38	< 1	15	49.2	95	26	5.8
289974	< 5	2.26	9	0.71	351	2.65	0.077	< 15	< 0.1	6.8	< 3	514	< 0.5	0.12	13.6	2.3	48	< 1	12	40.1	72	15	4.7
289975	< 5	2.20	16	0.90	403	2.58	0.095	< 15	< 0.1	8.1	< 3	522	< 0.5	0.16	14.6	1.9	58	< 1	14	48.2	91	25	5.9
289976	< 5	2.19	13	0.70	349	2.49	0.048	53	< 0.1	6.9	< 3	495	< 0.5	0.13	14.9	2.5	52	< 1	10	41.7	77	18	4.4
290251	< 5	2.01	7	0.66	346	2.65	0.073	< 15	< 0.1	6.7	< 3	553	< 0.5	0.12	11.0	2.3	47	< 1	12	36.0	65	22	4.6
290252	< 5	2.10	7	0.64	358	2.69	0.066	35	< 0.1	7.2	< 3	546	< 0.5	0.11	14.9	2.8	48	< 1	12	41.8	83	18	5.3
290253	< 5	2.20	10	0.63	310	2.34	0.033	24	< 0.1	7.1	< 3	530	< 0.5	0.12	12.9	2.3	44	< 1	12	36.5	96	20	4.8
290254	< 5	2.13	6	0.61	319	2.51	0.085	42	< 0.1	6.2	< 3	545	< 0.5	0.10	11.4	0.8	37	< 1	12	37.7	70	18	4.6
290255	< 5	2.19	6	0.58	333	2.74	0.082	118	< 0.1	6.1	< 3	561	< 0.5	0.11	12.9	1.6	18	< 1	12	40.2	80	20	4.7
290256	< 5	2.12	8	0.62	375	2.69	0.043	20	< 0.1	6.8	< 3	565	< 0.5	0.11	14.8	2.1	50	< 1	10	38.3	77	19	4.2
290257	< 5	2.06	7	0.61	344	2.49	0.071	28	< 0.1	6.7	< 3	543	< 0.5	0.12	14.4	1.0	37	< 1	13	39.1	74	24	5.4
290258	< 5	2.16	8	0.62	330	2.56	0.069	100	< 0.1	6.3	< 3	541	< 0.5	0.11	12.4	2.0	45	< 1	10	35.6	70	24	4.2
290259	< 5	2.08	7	0.60	328	2.60	0.065	< 15	< 0.1	6.2	< 3	552	< 0.5	0.10	11.9	1.0	42	< 1	12	34.6	65	16	4.4
290260	< 5	2.12	10	0.64	300	2.29	0.038	71	< 0.1	6.1	< 3	482	< 0.5	0.12	10.1	1.5	42	< 1	8	30.3	57	13	3.2
290261	< 5	2.26	11	0.71	330	2.48	0.078	< 15	< 0.1	6.4	< 3	534	< 0.5	0.13	12.1	1.2	46	< 1	11	34.5	68	16	4.3
290262	< 5	2.05	8	0.61	271	2.53	0.075	21	< 0.1	6.2	< 3	466	< 0.5	0.11	11.3	2.7	40	< 1	11	35.6	69	18	4.8
290263	< 5	2.19	8	0.63	331	2.41	0.060	< 15	< 0.1	5.9	< 3	542	< 0.5	0.11	10.7	1.9	42	< 1	10	30.5	60	18	3.9
290264	< 5	1.95	9	0.64	322	2.49	0.064	24	< 0.1	5.9	< 3	547	< 0.5	0.11	10.4	0.6	45	< 1	9	29.5	58	21	3.6
290265	< 5	1.94	9	0.63	330	2.57	0.056	31	< 0.1	6.2	< 3	547	< 0.5	0.11	11.1	1.0	43	< 1	8	30.6	58	18	3.5
290266	< 5	2.18	8	0.58	299	2.60	0.031	102	< 0.1	5.9	< 3	558	< 0.5	0.10	10.4	1.8	39	< 1	10	28.0	76	16	3.6

Analyte Symbol	Ir	K	Li	Mg	Mn	Na	P	Rb	Sb	Sc	Se	Sr	Ta	Ti	Th	U	V	W	Y	La	Ce	Nd	Sm
Unit Symbol	ppb	%	ppm	%	ppm	%	%	ppm	ppm	ppm	ppm	ppm	ppm	%	ppm	ppm	ppm	ppm	ppm	ppm	ppm	ppm	ppm
Lower Limit	5	0.01	1	0.01	1	0.01	0.001	15	0.1	0.1	3	1	0.5	0.01	0.2	0.5	2	1	1	0.5	3	5	0.1
Method Code	INAA	TD-ICP	TD-ICP	TD-ICP	TD-ICP	INAA	TD-ICP	INAA	INAA	INAA	INAA	TD-ICP	INAA	TD-ICP	INAA	INAA	TD-ICP	INAA	TD-ICP	INAA	INAA	INAA	INAA
290267	< 5	2.11	7	0.65	355	2.52	0.051	62	< 0.1	7.0	< 3	504	< 0.5	0.10	15.5	2.2	47	< 1	12	41.7	92	26	4.7
290268	< 5	2.09	8	0.74	420	2.41	0.063	77	< 0.1	7.1	< 3	507	< 0.5	0.11	20.4	2.2	59	< 1	14	50.3	98	22	5.7
290269	< 5	2.18	10	0.71	357	2.43	0.083	74	< 0.1	6.4	< 3	504	< 0.5	0.11	13.8	2.2	49	< 1	12	38.4	67	21	4.5
290270	< 5	2.07	10	0.70	382	2.36	0.085	59	< 0.1	6.9	< 3	499	< 0.5	0.12	20.4	2.2	51	< 1	14	49.1	106	22	5.7
290271	< 5	2.16	10	0.63	328	2.30	0.068	< 15	0.2	6.0	< 3	486	< 0.5	0.11	13.3	0.9	43	< 1	10	34.1	67	18	4.1
290272	< 5	2.17	9	0.72	365	2.43	0.089	< 15	< 0.1	5.6	< 3	496	< 0.5	0.12	13.9	2.2	48	< 1	13	36.0	68	18	4.1
290273	< 5	2.16	7	0.63	343	2.52	0.075	43	< 0.1	6.1	< 3	499	< 0.5	0.09	13.1	1.9	43	< 1	12	37.1	75	27	4.5
290274	< 5	2.01	7	0.65	351	2.30	0.070	< 15	0.2	5.9	< 3	495	< 0.5	0.10	14.0	1.4	49	< 1	12	37.1	73	11	4.4
290275	< 5	2.17	10	0.73	360	2.24	0.077	< 15	< 0.1	6.6	< 3	489	< 0.5	0.12	15.8	2.5	49	< 1	13	41.3	71	28	4.5
290276	< 5	2.18	12	0.70	323	2.45	0.054	75	0.2	6.4	< 3	496	< 0.5	0.11	13.3	0.7	46	< 1	10	33.2	69	18	4.1
290277	< 5	2.15	13	0.82	392	2.42	0.085	< 15	< 0.1	6.8	< 3	485	< 0.5	0.13	15.4	2.1	57	< 1	13	38.5	77	27	4.7

Results

Activation Laboratories Ltd.

Report: A18-08826

Analyte Symbol	Sn	Tb	Yb	Lu	Mass
Unit Symbol	%	ppm	ppm	ppm	g
Lower Limit	0.02	0.5	0.2	0.05	
Method Code	INAA	INAA	INAA	INAA	INAA
289951	< 0.02	< 0.5	1.3	0.11	32.4
289952	< 0.02	< 0.5	1.8	0.11	32.4
289953	< 0.02	< 0.5	1.4	0.10	31.0
289954	< 0.02	< 0.5	1.4	0.09	32.0
289955	< 0.02	< 0.5	1.5	0.08	31.5
289956	< 0.02	< 0.5	1.3	0.08	33.0
289957	< 0.02	< 0.5	1.4	0.11	34.3
289958	< 0.02	< 0.5	1.5	0.11	32.3
289959	< 0.02	< 0.5	1.5	0.11	35.3
289960	< 0.02	< 0.5	1.2	0.11	35.6
289961	< 0.02	< 0.5	1.3	0.11	32.7
289962	< 0.02	0.6	1.1	0.07	32.2
289963	< 0.02	< 0.5	1.1	0.09	33.9
289964	< 0.02	< 0.5	1.4	0.11	31.5
289965	< 0.02	< 0.5	1.0	0.07	32.0
289966	< 0.02	< 0.5	1.1	0.08	31.3
289967	< 0.02	< 0.5	1.2	0.09	34.5
289968	< 0.02	< 0.5	1.3	0.09	35.4
289969	< 0.02	< 0.5	1.3	0.11	32.4
289970	< 0.02	< 0.5	1.1	0.09	33.9
289971	< 0.02	< 0.5	2.2	0.12	33.8
289972	< 0.02	< 0.5	1.8	0.11	34.6
289973	< 0.02	< 0.5	1.2	0.09	32.7
289974	< 0.02	< 0.5	1.1	0.07	34.1
289975	< 0.02	< 0.5	1.3	0.08	31.0
289976	< 0.02	< 0.5	0.8	0.07	32.6
290251	< 0.02	< 0.5	1.0	0.06	33.4
290252	< 0.02	< 0.5	1.3	0.08	30.6
290253	< 0.02	< 0.5	1.4	0.06	32.2
290254	< 0.02	< 0.5	1.3	0.08	33.2
290255	< 0.02	< 0.5	1.1	0.08	32.0
290256	< 0.02	< 0.5	1.3	0.09	34.1
290257	< 0.02	< 0.5	1.1	0.07	31.2
290258	< 0.02	< 0.5	1.1	0.06	32.6
290259	< 0.02	< 0.5	1.3	0.07	34.0
290260	< 0.02	< 0.5	0.9	0.05	30.5
290261	< 0.02	< 0.5	1.3	0.05	31.6
290262	< 0.02	< 0.5	1.1	0.07	31.6
290263	< 0.02	< 0.5	1.0	0.06	34.5
290264	< 0.02	< 0.5	0.9	0.05	32.8
290265	< 0.02	< 0.5	0.9	0.05	33.5
290266	< 0.02	< 0.5	1.0	0.06	33.9

Results**Activation Laboratories Ltd.****Report: A18-08826**

Analyte Symbol	Sn	Tb	Yb	Lu	Mass
Unit Symbol	%	ppm	ppm	ppm	g
Lower Limit	0.02	0.5	0.2	0.05	
Method Code	INAA	INAA	INAA	INAA	INAA
290267	< 0.02	< 0.5	1.4	0.08	35.5
290268	< 0.02	< 0.5	1.6	0.09	36.9
290269	< 0.02	< 0.5	1.1	0.07	33.8
290270	< 0.02	< 0.5	1.7	0.07	34.5
290271	< 0.02	< 0.5	1.2	0.06	32.4
290272	< 0.02	< 0.5	0.9	0.07	36.2
290273	< 0.02	< 0.5	1.2	0.07	35.1
290274	< 0.02	< 0.5	1.1	0.07	34.1
290275	< 0.02	< 0.5	1.2	0.09	34.3
290276	< 0.02	< 0.5	1.2	0.06	31.1
290277	< 0.02	< 0.5	1.0	0.08	33.7

Analyte Symbol	Au	Ag	Ag	Cu	Cd	Mo	Pb	Ni	Ni	Zn	Zn	S	Al	As	Ba	Be	Bi	Br	Ca	Co	Cr	Cs	Eu
Unit Symbol	ppb	ppm	ppm	ppm	ppm	ppm	ppm	ppm	ppm	ppm	ppm	%	%	ppm	ppm	ppm	ppm	ppm	%	ppm	ppm	ppm	ppm
Lower Limit	2	0.3	5	1	0.3	1	3	1	20	1	50	0.01	0.01	0.5	50	1	2	0.5	0.01	1	2	1	0.2
Method Code	INAA	TD-ICP	INAA	TD-ICP	TD-ICP	TD-ICP	TD-ICP	TD-ICP	INAA	TD-ICP	INAA	TD-ICP	TD-ICP	INAA	INAA	TD-ICP	TD-ICP	INAA	TD-ICP	INAA	INAA	INAA	INAA
GXR-4 Meas		3.5		6520	0.4	322	47	43		78		1.83	6.58			2	16		1.06				
GXR-4 Cert		4.0		6520	0.860	310	52.0	42.0		73.0		1.77	7.20			1.90	19.0		1.01				
GXR-4 Meas		3.6		6440	0.5	317	49	40		75		1.81	6.45			2	18		1.04				
GXR-4 Cert		4.0		6520	0.860	310	52.0	42.0		73.0		1.77	7.20			1.90	19.0		1.01				
SDC-1 Meas				37			28	37		119			7.65			3			1.09				
SDC-1 Cert				30.000			25.00	38.0		103.00			8.34			3.00			1.00				
SDC-1 Meas				29			27	36		121			7.78			3			1.12				
SDC-1 Cert				30.000			25.00	38.0		103.00			8.34			3.00			1.00				
OREAS 132a (4 acid) Meas		56.0		458	157		> 5000			> 10000		7.78											
OREAS 132a (4 acid) Cert		57.0		461	155		36400			49800		7.93											
OREAS 132a (4 acid) Meas		57.3		459	156		> 5000			> 10000		7.87											
OREAS 132a (4 acid) Cert		57.0		461	155		36400			49800		7.93											
OREAS 134b (4 ACID) Meas		> 100		1280	584		> 5000			> 10000		> 20.0											
OREAS 134b (4 ACID) Cert		209		1350	561		134000			180000		19.7											
OREAS 134b (4 ACID) Meas		> 100		1330	573		> 5000			> 10000		> 20.0											
OREAS 134b (4 ACID) Cert		209		1350	561		134000			180000		19.7											
OREAS 97 (4 Acid) Meas		19.8		> 10000			129			611		6.86					49						
OREAS 97 (4 Acid) Cert		19.6		63100.00			147			646		6.07					40.1						
OREAS 97 (4 Acid) Meas		20.2		> 10000			134			614		6.93					33						
OREAS 97 (4 Acid) Cert		19.6		63100.00			147			646		6.07					40.1						
OREAS 98 (4 Acid) Meas		43.4		> 10000			288			1270		15.8					68						
OREAS 98 (4 Acid) Cert		45.1		14800.0			345			1360		15.5					97.2						
OREAS 98 (4 Acid) Meas		44.2		> 10000			295			1270		15.4					95						
OREAS 98 (4 Acid) Cert		45.1		14800.0			345			1360		15.5					97.2						
OREAS 132b (4 Acid) Meas		60.1		476	169		> 5000			> 10000		8.20											
OREAS 132b (4 Acid) Cert		60.7		477	165		38600			52500		8.34											
OREAS 132b (4 Acid) Meas		61.7		490	168		> 5000			> 10000		8.15											

Analyte Symbol	Au	Ag	Ag	Cu	Cd	Mo	Pb	Ni	Ni	Zn	Zn	S	Al	As	Ba	Be	Bi	Br	Ca	Co	Cr	Cs	Eu
Unit Symbol	ppb	ppm	ppm	ppm	ppm	ppm	ppm	ppm	ppm	ppm	ppm	%	%	ppm	ppm	ppm	ppm	ppm	%	ppm	ppm	ppm	ppm
Lower Limit	2	0.3	5	1	0.3	1	3	1	20	1	50	0.01	0.01	0.5	50	1	2	0.5	0.01	1	2	1	0.2
Method Code	INAA	TD-ICP	INAA	TD-ICP	TD-ICP	TD-ICP	TD-ICP	TD-ICP	INAA	TD-ICP	INAA	TD-ICP	TD-ICP	INAA	INAA	TD-ICP	TD-ICP	INAA	TD-ICP	INAA	INAA	INAA	INAA
OREAS 132b (4 Acid) Cert		60.7		477	165		38600			52500		8.34											
OREAS 133a (4 Acid) Meas		95.6		310	292		> 5000			> 10000		10.9											
OREAS 133a (4 Acid) Cert		99.9		323	296		49000			109000		11.1											
OREAS 133a (4 Acid) Meas		> 100		332	307		> 5000			> 10000		11.5											
OREAS 133a (4 Acid) Cert		99.9		323	296		49000			109000		11.1											
DNC-1a Meas				99			5	248		64													
DNC-1a Cert				100			6.3	247		70													
DNC-1a Meas				100			5	242		64													
DNC-1a Cert				100			6.3	247		70													
SBC-1 Meas				31	0.5	1	28	85		188						3	4						
SBC-1 Cert				31.0	0.40	2	35.0	83		186						3.20	0.70						
SBC-1 Meas				29	0.6	1	28	84		184						3	4						
SBC-1 Cert				31.0	0.40	2	35.0	83		186						3.20	0.70						
OREAS 45d (4-Acid) Meas				381		< 1	20	240		48		0.11	7.61			< 1	< 2		0.20				
OREAS 45d (4-Acid) Cert				371		2.500	21.8	231.0		45.7		0.049	8.150			0.79	0.31		0.185				
OREAS 45d (4-Acid) Meas				371		< 1	21	235		45		0.10	7.50			< 1	< 2		0.19				
OREAS 45d (4-Acid) Cert				371		2.500	21.8	231.0		45.7		0.049	8.150			0.79	0.31		0.185				
DMMAS 121 Meas	790													1740	1210					51	134		
DMMAS 121 Cert	726													1670	1180					45.2	142		
OREAS 96 (4 Acid) Meas		11.7		> 10000			89			440		4.25					32						
OREAS 96 (4 Acid) Cert		11.5		39300			101			457		4.19					26.3						
OREAS 96 (4 Acid) Meas		11.8		> 10000			90			436		4.26					29						
OREAS 96 (4 Acid) Cert		11.5		39300			101			457		4.19					26.3						
289955 Orig		< 0.3		25	< 0.3	< 1	20	16		26		< 0.01	6.82			2	< 2		1.75				
289955 Dup		0.9		14	< 0.3	< 1	18	17		26		0.01	6.84			2	< 2		1.77				
289966 Orig		1.0		4	< 0.3	< 1	20	14		21		0.01	6.99			2	< 2		1.78				
289966 Dup		0.9		4	< 0.3	< 1	19	13		22		0.01	6.87			2	< 2		1.75				
290256 Orig	< 2		< 5						< 20		< 50			< 0.5	560			4.4		4	76	< 1	0.9
290260 Orig		0.5		8	< 0.3	< 1	20	17		26		< 0.01	6.80			2	< 2		1.63				
290260 Dup		< 0.3		7	< 0.3	< 1	19	17		26		< 0.01	6.88			2	< 2		1.64				
290261 Orig		0.8		22	< 0.3	< 1	20	19		26		< 0.01	6.93			2	< 2		1.87				

Analyte Symbol	Au	Ag	Ag	Cu	Cd	Mo	Pb	Ni	Ni	Zn	Zn	S	Al	As	Ba	Be	Bi	Br	Ca	Co	Cr	Cs	Eu
Unit Symbol	ppb	ppm	ppm	ppm	ppm	ppm	ppm	ppm	ppm	ppm	ppm	%	%	ppm	ppm	ppm	ppm	ppm	%	ppm	ppm	ppm	ppm
Lower Limit	2	0.3	5	1	0.3	1	3	1	20	1	50	0.01	0.01	0.5	50	1	2	0.5	0.01	1	2	1	0.2
Method Code	INAA	TD-ICP	INAA	TD-ICP	TD-ICP	TD-ICP	TD-ICP	TD-ICP	INAA	TD-ICP	INAA	TD-ICP	TD-ICP	INAA	INAA	TD-ICP	TD-ICP	INAA	TD-ICP	INAA	INAA	INAA	INAA
290261 Dup		1.0		23	< 0.3	< 1	20	18		27		< 0.01	6.97			2	< 2		1.86				
Method Blank	< 2		< 5						< 20		< 50			< 0.5	< 50			< 0.5		< 1	< 2	< 1	< 0.2
Method Blank		< 0.3		1	< 0.3	< 1	< 3	< 1		< 1		< 0.01	< 0.01			< 1	< 2		< 0.01				
Method Blank		< 0.3		< 1	< 0.3	< 1	< 3	< 1		< 1		< 0.01	< 0.01			< 1	< 2		< 0.01				
Method Blank		< 0.3		< 1	< 0.3	< 1	< 3	< 1		< 1		< 0.01	< 0.01			< 1	< 2		< 0.01				
Method Blank		< 0.3		< 1	< 0.3	< 1	< 3	< 1		< 1		< 0.01	< 0.01			< 1	< 2		< 0.01				
Method Blank		< 0.3		< 1	< 0.3	< 1	< 3	< 1		< 1		< 0.01	< 0.01			< 1	< 2		< 0.01				

Analyte Symbol	Fe	Hf	Hg	Ir	K	Li	Mg	Mn	Na	P	Rb	Sb	Sc	Se	Sr	Ta	Ti	Th	U	V	W	Y	La
Unit Symbol	%	ppm	ppm	ppb	%	ppm	%	ppm	%	%	ppm	ppm	ppm	ppm	ppm	ppm	%	ppm	ppm	ppm	ppm	ppm	ppm
Lower Limit	0.01	1	1	5	0.01	1	0.01	1	0.01	0.001	15	0.1	0.1	3	1	0.5	0.01	0.2	0.5	2	1	1	0.5
Method Code	INAA	INAA	INAA	INAA	TD-ICP	TD-ICP	TD-ICP	TD-ICP	INAA	TD-ICP	INAA	INAA	INAA	INAA	TD-ICP	INAA	TD-ICP	INAA	INAA	TD-ICP	INAA	TD-ICP	INAA
GXR-4 Meas					3.23	12	1.70	161		0.140					215		0.28			92		13	
GXR-4 Cert					4.01	11.1	1.66	155		0.120					221		0.29			87.0		14.0	
GXR-4 Meas					3.66	11	1.67	154		0.137					216		0.28			90		13	
GXR-4 Cert					4.01	11.1	1.66	155		0.120					221		0.29			87.0		14.0	
SDC-1 Meas					2.48	34	1.02	847		0.058					173		0.11			40			
SDC-1 Cert					2.72	34	1.02	880.00		0.0690					180.00		0.606			102.00			
SDC-1 Meas					2.66	35	1.03	916		0.058					180		0.22			51			
SDC-1 Cert					2.72	34	1.02	880.00		0.0690					180.00		0.606			102.00			
OREAS 132a (4 acid) Meas																							
OREAS 132a (4 acid) Cert																							
OREAS 132a (4 acid) Meas																							
OREAS 132a (4 acid) Cert																							
OREAS 134b (4 ACID) Meas																							
OREAS 134b (4 ACID) Cert																							
OREAS 134b (4 ACID) Meas																							
OREAS 134b (4 ACID) Cert																							
OREAS 97 (4 Acid) Meas																							
OREAS 97 (4 Acid) Cert																							
OREAS 97 (4 Acid) Meas																							
OREAS 97 (4 Acid) Cert																							
OREAS 98 (4 Acid) Meas																							
OREAS 98 (4 Acid) Cert																							
OREAS 98 (4 Acid) Meas																							
OREAS 98 (4 Acid) Cert																							
OREAS 132b (4 Acid) Meas																							
OREAS 132b (4 Acid) Cert																							
OREAS 132b (4 Acid) Meas																							

Analyte Symbol	Fe	Hf	Hg	Ir	K	Li	Mg	Mn	Na	P	Rb	Sb	Sc	Se	Sr	Ta	Ti	Th	U	V	W	Y	La
Unit Symbol	%	ppm	ppm	ppb	%	ppm	%	ppm	%	%	ppm	ppm	ppm	ppm	ppm	ppm	%	ppm	ppm	ppm	ppm	ppm	ppm
Lower Limit	0.01	1	1	5	0.01	1	0.01	1	0.01	0.001	15	0.1	0.1	3	1	0.5	0.01	0.2	0.5	2	1	1	0.5
Method Code	INAA	INAA	INAA	INAA	TD-ICP	TD-ICP	TD-ICP	TD-ICP	INAA	TD-ICP	INAA	INAA	INAA	INAA	TD-ICP	INAA	TD-ICP	INAA	INAA	TD-ICP	INAA	TD-ICP	INAA
OREAS 132b (4 Acid) Cert																							
OREAS 133a (4 Acid) Meas																							
OREAS 133a (4 Acid) Cert																							
OREAS 133a (4 Acid) Meas																							
OREAS 133a (4 Acid) Cert																							
DNC-1a Meas						5									135		0.28			150		15	
DNC-1a Cert						5.2									144		0.29			148		18.0	
DNC-1a Meas						5									134		0.28			151		15	
DNC-1a Cert						5.2									144		0.29			148		18.0	
SBC-1 Meas						163									183		0.51			231		33	
SBC-1 Cert						163									178.0		0.51			220.0		36.5	
SBC-1 Meas						160									182		0.51			230		32	
SBC-1 Cert						163									178.0		0.51			220.0		36.5	
OREAS 45d (4-Acid) Meas					0.39	21	0.24	504		0.036					31		0.13			109		11	
OREAS 45d (4-Acid) Cert					0.412	21.5	0.245	490.000		0.042					31.30		0.773			235.0		9.53	
OREAS 45d (4-Acid) Meas					0.39	21	0.24	503		0.036					32		0.18			123		11	
OREAS 45d (4-Acid) Cert					0.412	21.5	0.245	490.000		0.042					31.30		0.773			235.0		9.53	
DMMAS 121 Meas	3.70								2.25			6.9	6.4						11.5				18.9
DMMAS 121 Cert	3.45								2.16			7.60	6.10						11.5				16.6
OREAS 96 (4 Acid) Meas																							
OREAS 96 (4 Acid) Cert																							
OREAS 96 (4 Acid) Meas																							
OREAS 96 (4 Acid) Cert																							
289955 Orig					2.17	10	0.66	337		0.055					528		0.11			45		10	
289955 Dup					2.17	9	0.66	335		0.068					528		0.12			46		10	
289966 Orig					2.18	7	0.59	317		0.046					547		0.11			44		10	
289966 Dup					2.14	7	0.59	318		0.044					529		0.11			43		10	
290256 Orig	2.37	15	< 1	< 5					2.69		20	< 0.1	6.8	< 3		< 0.5		14.8	2.1		< 1		38.3
290260 Orig					2.11	10	0.63	296		0.040					479		0.13			44		8	
290260 Dup					2.12	10	0.64	304		0.036					486		0.12			39		8	
290261 Orig					2.24	11	0.71	332		0.080					533		0.13			46		11	

Analyte Symbol	Fe	Hf	Hg	Ir	K	Li	Mg	Mn	Na	P	Rb	Sb	Sc	Se	Sr	Ta	Ti	Th	U	V	W	Y	La
Unit Symbol	%	ppm	ppm	ppb	%	ppm	%	ppm	%	%	ppm	ppm	ppm	ppm	ppm	ppm	%	ppm	ppm	ppm	ppm	ppm	ppm
Lower Limit	0.01	1	1	5	0.01	1	0.01	1	0.01	0.001	15	0.1	0.1	3	1	0.5	0.01	0.2	0.5	2	1	1	0.5
Method Code	INAA	INAA	INAA	INAA	TD-ICP	TD-ICP	TD-ICP	TD-ICP	INAA	TD-ICP	INAA	INAA	INAA	INAA	TD-ICP	INAA	TD-ICP	INAA	INAA	TD-ICP	INAA	TD-ICP	INAA
290261 Dup					2.27	10	0.71	329		0.077					536		0.13			46		11	
Method Blank	< 0.01	< 1	< 1	< 5					< 0.01		< 15	< 0.1	< 0.1	< 3		< 0.5		< 0.2	< 0.5		< 1		< 0.5
Method Blank					< 0.01	< 1	< 0.01			< 0.001					< 1		< 0.01			< 2		< 1	
Method Blank					< 0.01	< 1	< 0.01			< 0.001					< 1		< 0.01			< 2		< 1	
Method Blank					< 0.01	< 1	< 0.01			< 0.001					< 1		< 0.01			< 2		< 1	
Method Blank					< 0.01	< 1	< 0.01			< 0.001					< 1		< 0.01			< 2		< 1	
Method Blank					< 0.01	< 1	< 0.01	2		< 0.001					< 1		< 0.01			< 2		< 1	

Analyte Symbol	Ce	Nd	Sm	Sn	Tb	Yb	Lu	Mass
Unit Symbol	ppm	ppm	ppm	%	ppm	ppm	ppm	g
Lower Limit	3	5	0.1	0.02	0.5	0.2	0.05	
Method Code	INAA	INAA	INAA	INAA	INAA	INAA	INAA	INAA
GXR-4 Meas								
GXR-4 Cert								
GXR-4 Meas								
GXR-4 Cert								
SDC-1 Meas								
SDC-1 Cert								
SDC-1 Meas								
SDC-1 Cert								
OREAS 132a (4 acid) Meas								
OREAS 132a (4 acid) Cert								
OREAS 132a (4 acid) Meas								
OREAS 132a (4 acid) Cert								
OREAS 134b (4 ACID) Meas								
OREAS 134b (4 ACID) Cert								
OREAS 134b (4 ACID) Meas								
OREAS 134b (4 ACID) Cert								
OREAS 97 (4 Acid) Meas								
OREAS 97 (4 Acid) Cert								
OREAS 97 (4 Acid) Meas								
OREAS 97 (4 Acid) Cert								
OREAS 98 (4 Acid) Meas								
OREAS 98 (4 Acid) Cert								
OREAS 98 (4 Acid) Meas								
OREAS 98 (4 Acid) Cert								
OREAS 132b (4 Acid) Meas								
OREAS 132b (4 Acid) Cert								
OREAS 132b (4 Acid) Meas								

Analyte Symbol	Ce	Nd	Sm	Sn	Tb	Yb	Lu	Mass
Unit Symbol	ppm	ppm	ppm	%	ppm	ppm	ppm	g
Lower Limit	3	5	0.1	0.02	0.5	0.2	0.05	
Method Code	INAA	INAA	INAA	INAA	INAA	INAA	INAA	INAA
OREAS 132b (4 Acid) Cert								
OREAS 133a (4 Acid) Meas								
OREAS 133a (4 Acid) Cert								
OREAS 133a (4 Acid) Meas								
OREAS 133a (4 Acid) Cert								
DNC-1a Meas								
DNC-1a Cert								
DNC-1a Meas								
DNC-1a Cert								
SBC-1 Meas								
SBC-1 Cert								
SBC-1 Meas								
SBC-1 Cert								
OREAS 45d (4-Acid) Meas								
OREAS 45d (4-Acid) Cert								
OREAS 45d (4-Acid) Meas								
OREAS 45d (4-Acid) Cert								
DMMAS 121 Meas	37		2.6					
DMMAS 121 Cert	29.8		2.20					
OREAS 96 (4 Acid) Meas								
OREAS 96 (4 Acid) Cert								
OREAS 96 (4 Acid) Meas								
OREAS 96 (4 Acid) Cert								
289955 Orig								
289955 Dup								
289966 Orig								
289966 Dup								
290256 Orig	77	19	4.2	< 0.02	< 0.5	1.3	0.09	34.1
290260 Orig								
290260 Dup								
290261 Orig								

Analyte Symbol	Ce	Nd	Sm	Sn	Tb	Yb	Lu	Mass
Unit Symbol	ppm	ppm	ppm	%	ppm	ppm	ppm	g
Lower Limit	3	5	0.1	0.02	0.5	0.2	0.05	
Method Code	INAA	INAA	INAA	INAA	INAA	INAA	INAA	INAA
290261 Dup								
Method Blank	< 3	< 5	< 0.1	< 0.02	< 0.5	< 0.2	< 0.05	30.0
Method Blank								
Method Blank								
Method Blank								
Method Blank								
Method Blank								

Quality Analysis ...



Innovative Technologies

Date Submitted: 01-Aug-18
Invoice No.: A18-10217
Invoice Date: 20-Aug-18
Your Reference:

Osisko Mining Inc.
300 rue St.Paul
Suite 200
Quebec PQ G1K 7R1
Canada

ATTN: Charles Gaumont

CERTIFICATE OF ANALYSIS

20 Heavy Mineral Concentrates samples were submitted for analysis.

The following analytical package(s) were requested:

Code 3A-Large HMC INAA(INAAGEO)

Code 3C Aqua Regia ICP(AQUAGEO)

REPORT **A18-10217**

This report may be reproduced without our consent. If only selected portions of the report are reproduced, permission must be obtained. If no instructions were given at time of sample submittal regarding excess material, it will be discarded within 90 days of this report. Our liability is limited solely to the analytical cost of these analyses. Test results are representative only of material submitted for analysis.

Notes:

Unaltered silicates and resistate minerals may not be dissolved. Values which exceed upper limit should be assayed.

Footnote: INAA data may be suppressed due to high concentrations of some analytes.

CERTIFIED BY:

A handwritten signature in black ink, appearing to read "Emmanuel Esemé", is written over a horizontal line.

Emmanuel Esemé , Ph.D.
Quality Control

ACTIVATION LABORATORIES LTD.
41 Bittern Street, Ancaster, Ontario, Canada, L9G 4V5
TELEPHONE +905 648-9611 or +1.888.228.5227 FAX +1.905.648.9613
E-MAIL Ancaster@actlabs.com ACTLABS GROUP WEBSITE www.actlabs.com

Analyte Symbol	Au	Ag	As	Ba	Br	Ca	Co	Cr	Cs	Fe	Hf	Hg	Ir	Mo	Na	Ni	Rb	Sb	Sc	Se	Sr	Ta	Th
Unit Symbol	ppb	ppm	ppm	ppm	ppm	%	ppm	ppm	ppm	%	ppm	ppm	ppb	ppm	%	ppm	ppm	ppm	ppm	ppm	%	ppm	ppm
Lower Limit	5	5	2	200	5	1	5	10	2	0.02	1	5	50	20	0.05	200	50	0.2	0.1	20	0.2	1	0.5
Method Code	INAA	INAA	INAA	INAA	INAA	INAA	INAA	INAA	INAA	INAA	INAA	INAA	INAA	INAA	INAA	INAA	INAA	INAA	INAA	INAA	INAA	INAA	INAA
289968	22	< 5	< 2	< 200	< 5	< 1	31	250	< 2	14.1	122	< 5	< 50	< 20	0.26	< 200	< 50	< 0.2	78.7	< 20	< 0.2	< 1	305
289969	< 5	< 5	< 2	< 200	< 5	< 1	33	250	< 2	13.7	119	< 5	< 50	< 20	0.26	< 200	< 50	< 0.2	77.1	< 20	< 0.2	< 1	307
289970	16	< 5	< 2	< 200	< 5	3	28	260	< 2	13.1	108	< 5	< 50	< 20	0.23	< 200	< 50	< 0.2	70.5	< 20	< 0.2	< 1	312
289971	< 5	< 5	< 2	< 200	< 5	< 1	34	260	< 2	15.3	85	< 5	< 50	< 20	0.30	< 200	< 50	< 0.2	80.8	< 20	< 0.2	< 1	314
289972	< 5	< 5	< 2	< 200	< 5	< 1	31	260	< 2	14.5	128	< 5	< 50	< 20	0.35	< 200	< 50	< 0.2	80.3	< 20	< 0.2	< 1	331
289973	114	< 5	< 2	< 200	< 5	< 1	17	270	< 2	16.0	107	< 5	< 50	< 20	0.26	< 200	< 50	< 0.2	89.7	< 20	< 0.2	< 1	403
289974	< 5	< 5	< 2	< 200	< 5	< 1	34	230	< 2	13.4	106	< 5	< 50	< 20	0.31	< 200	< 50	< 0.2	74.8	< 20	< 0.2	< 1	297
289975	< 5	< 5	< 2	< 200	< 5	< 1	32	270	< 2	15.9	100	< 5	< 50	40	0.28	< 200	< 50	0.6	84.4	< 20	< 0.2	< 1	322
289976	< 5	< 5	< 2	< 200	< 5	< 1	36	240	< 2	16.1	151	< 5	< 50	< 20	0.30	< 200	< 50	< 0.2	84.4	< 20	< 0.2	< 1	400
290267	< 5	< 5	< 2	< 200	< 5	< 1	17	310	< 2	15.5	201	< 5	< 50	< 20	0.21	< 200	< 50	< 0.2	81.4	< 20	< 0.2	< 1	554
290268	< 5	< 5	< 2	< 200	< 5	< 1	29	220	< 2	12.5	111	< 5	< 50	< 20	0.40	< 200	< 50	< 0.2	72.3	< 20	< 0.2	< 1	264
290269	< 5	< 5	< 2	< 200	< 5	< 1	38	260	< 2	15.6	107	< 5	< 50	< 20	0.36	< 200	< 50	< 0.2	83.5	< 20	< 0.2	< 1	358
290270	< 5	< 5	< 2	< 200	< 5	< 1	44	320	< 2	15.2	192	< 5	< 50	< 20	0.35	< 200	< 50	< 0.2	83.6	< 20	< 0.2	< 1	392
290271	< 5	< 5	< 2	< 200	< 5	< 1	39	290	< 2	17.4	153	< 5	< 50	< 20	0.46	300	60	< 0.2	89.7	< 20	< 0.2	< 1	482
290272	< 5	< 5	< 2	< 200	< 5	< 1	29	240	< 2	13.3	127	< 5	< 50	< 20	0.34	< 200	< 50	< 0.2	71.3	< 20	< 0.2	< 1	346
290273	< 5	< 5	< 2	< 200	< 5	< 1	35	220	< 2	13.2	123	< 5	< 50	< 20	0.40	< 200	< 50	< 0.2	74.3	< 20	< 0.2	< 1	337
290274	96	< 5	< 2	< 200	< 5	< 1	31	240	< 2	15.3	117	< 5	< 50	< 20	0.30	< 200	< 50	0.3	79.6	< 20	< 0.2	< 1	373
290275	< 5	< 5	< 2	< 200	< 5	< 1	35	290	< 2	16.1	131	< 5	< 50	< 20	0.32	< 200	< 50	< 0.2	79.8	< 20	< 0.2	< 1	350
290276	< 5	< 5	< 2	< 200	< 5	< 1	47	260	< 2	17.1	108	< 5	< 50	< 20	0.40	< 200	< 50	< 0.2	90.0	< 20	< 0.2	< 1	335
290277	< 5	< 5	< 2	< 200	< 5	< 1	44	290	< 2	15.0	187	< 5	< 50	30	0.40	< 200	< 50	< 0.2	81.3	< 20	< 0.2	< 1	403

Analyte Symbol	U	W	Zn	La	Ce	Nd	Sm	Eu	Tb	Yb	Lu	Mass	Ag	Cd	Cu	Mn	Mo	Ni	Pb	Zn	S	
Unit Symbol	ppm	ppm	ppm	ppm	ppm	ppm	ppm	ppm	ppm	ppm	ppm	g	ppm	ppm	ppm	ppm	ppm	ppm	ppm	ppm	ppm	%
Lower Limit	0.5	4	200	1	3	10	0.1	0.2	2	0.2	0.05		0.2	0.5	1	2	2	1	2	1	0.01	
Method Code	INAA	INAA	INAA	INAA	INAA	INAA	INAA	INAA	INAA	INAA	INAA	INAA	AR-ICP	AR-ICP	AR-ICP	AR-ICP	AR-ICP	AR-ICP	AR-ICP	AR-ICP	AR-ICP	
289968	14.3	< 4	< 200	641	920	160	40.5	1.1	< 2	14.7	1.05	61.2	< 0.2	< 0.5	7	525	< 2	7	71	9	< 0.01	
289969	20.0	< 4	< 200	661	976	220	44.5	< 0.2	< 2	19.2	1.09	56.1	< 0.2	< 0.5	7	451	< 2	6	57	9	< 0.01	
289970	20.5	< 4	< 200	683	961	160	45.1	< 0.2	< 2	16.6	1.23	55.5	< 0.2	< 0.5	8	488	< 2	9	65	9	0.05	
289971	12.3	< 4	< 200	591	931	220	44.9	1.8	< 2	21.7	1.22	36.0	< 0.2	< 0.5	11	448	< 2	8	70	9	< 0.01	
289972	19.9	< 4	< 200	686	963	210	46.6	1.5	< 2	21.4	1.09	50.8	< 0.2	< 0.5	7	474	3	8	77	9	< 0.01	
289973	22.5	< 4	< 200	758	1140	240	51.2	< 0.2	< 2	24.5	1.34	47.5	< 0.2	< 0.5	7	456	< 2	6	88	9	< 0.01	
289974	18.4	< 4	< 200	646	904	190	42.6	1.5	< 2	16.9	1.04	58.6	< 0.2	< 0.5	6	432	< 2	6	57	9	< 0.01	
289975	26.3	43	< 200	604	905	240	46.5	2.5	< 2	23.2	1.15	35.8	< 0.2	< 0.5	6	453	< 2	5	56	9	< 0.01	
289976	17.5	< 4	< 200	749	1160	200	54.6	1.9	< 2	16.7	1.37	39.1	< 0.2	< 0.5	8	488	< 2	11	66	13	0.02	
290267	24.8	< 4	< 200	1150	1530	340	74.5	2.3	< 2	20.5	1.54	36.0	< 0.2	< 0.5	6	491	< 2	8	85	8	< 0.01	
290268	17.5	< 4	< 200	531	742	150	38.6	1.7	< 2	11.4	1.00	44.3	< 0.2	< 0.5	5	417	< 2	6	53	8	< 0.01	
290269	19.0	< 4	< 200	647	935	230	47.1	1.9	< 2	17.9	1.08	37.7	< 0.2	< 0.5	9	387	4	8	70	8	0.02	
290270	27.2	< 4	< 200	843	1240	270	56.5	1.9	< 2	19.0	1.40	43.3	< 0.2	< 0.5	8	482	< 2	7	56	8	0.01	
290271	23.6	< 4	< 200	846	1290	320	66.3	< 0.2	< 2	22.7	1.50	21.0	< 0.2	< 0.5	7	428	< 2	8	69	20	< 0.01	
290272	20.8	< 4	< 200	726	1050	210	56.9	1.8	< 2	19.5	1.02	51.5	< 0.2	< 0.5	8	420	< 2	7	65	10	< 0.01	
290273	17.7	< 4	< 200	563	937	210	46.3	1.8	< 2	14.2	2.27	64.3	< 0.2	< 0.5	6	457	< 2	7	68	8	< 0.01	
290274	19.5	< 4	< 200	713	1040	200	53.1	2.0	< 2	18.4	1.09	34.3	< 0.2	< 0.5	5	426	< 2	6	60	8	< 0.01	
290275	20.6	< 4	< 200	658	996	250	50.6	2.0	< 2	16.3	1.33	32.6	< 0.2	< 0.5	7	430	< 2	7	70	8	< 0.01	
290276	17.3	< 4	300	610	934	230	47.5	2.7	< 2	17.6	1.20	24.5	0.8	< 0.5	8	388	< 2	9	64	8	< 0.01	
290277	25.5	< 4	< 200	815	1200	300	59.7	4.1	< 2	21.2	1.28	37.1	< 0.2	< 0.5	8	470	< 2	9	69	9	< 0.01	

Analyte Symbol	Au	As	Ba	Co	Cr	Fe	Na	Sb	Sc	U	La	Ce	Sm	Ag	Cd	Cu	Mn	Mo	Ni	Pb	Zn	S
Unit Symbol	ppb	ppm	ppm	ppm	ppm	%	%	ppm	ppm	ppm	ppm	ppm	ppm	ppm	ppm	ppm	ppm	ppm	ppm	ppm	ppm	%
Lower Limit	5	2	200	5	10	0.02	0.05	0.2	0.1	0.5	1	3	0.1	0.2	0.5	1	2	2	1	2	1	0.01
Method Code	INAA	INAA	INAA	INAA	INAA	INAA	INAA	INAA	INAA	INAA	INAA	INAA	INAA	AR-ICP	AR-ICP	AR-ICP	AR-ICP	AR-ICP	AR-ICP	AR-ICP	AR-ICP	AR-ICP
GXR-4 Meas														3.3	< 0.5	6200	149	299	37	42	69	1.65
GXR-4 Cert														4.0	0.860	6520	155	310	42.0	52.0	73.0	1.77
GXR-6 Meas														0.3	< 0.5	66	1050	< 2	22	92	123	0.01
GXR-6 Cert														1.30	1.00	66.0	1010	2.40	27.0	101	118	0.0160
DMMAS 121 Meas	689	1610	1200	42	130	3.23	1.83	7.8	5.8	10.2	20	35	2.3									
DMMAS 121 Cert	726	1670	1180	45.2	142	3.45	2.16	7.60	6.10	11.5	16.6	29.8	2.20									
Oreas 621 (Aqua Regia) Meas														65.5	280	3550	543	12	25	> 5000	> 10000	4.38
Oreas 621 (Aqua Regia) Cert														68.0	278	3660	520	13.3	25.8	13600	51700	4.50
289970 Orig														< 0.2	< 0.5	8	498	< 2	9	64	9	0.05
289970 Dup														< 0.2	< 0.5	8	477	2	9	66	9	0.06
290271 Orig														< 0.2	< 0.5	7	445	< 2	8	73	32	< 0.01
290271 Dup														< 0.2	< 0.5	7	412	< 2	8	64	8	0.02
Method Blank														< 0.2	< 0.5	< 1	< 2	< 2	< 1	< 2	< 1	< 0.01
Method Blank														< 0.2	< 0.5	< 1	< 2	< 2	< 1	< 2	< 1	< 0.01